

Aqua



Terra

Bureau d'études en environnement



SUIVI DE L'ETAT DES PEUPELEMENTS RECIFAUX ET ORGANISMES ASSOCIES EN BAIE DE PRONY ET CANAL DE LA HAVANNAH



© AQUA TERRA 10/2020, ST10. *Cheilinus undulatus*

Ingénierie de l'Environnement et de la Réhabilitation



SARL AQUA TERRA - Capital : 1 000 000 XPF
Adresse postale : BP 15559 - 98804 Nouméa - Adresse bureau : Immeuble Auer, 22 rue Auer à Ducos
Tél : (687) 23 33 22 - Tél. / Fax : (687) 43 05 32
RIDET : 813725.001 RIB : BCI 17499 00010 20200002012 39
Courriel : aquaterra@aquaterra-nc.com





Caractéristiques du dossier :

Référence du document	Rap 040-20_Ver01	
Référence du contrat	PO n°L26698 / 0001 du 06/01/20	
Numéro de l'affaire	040-20	
Client	Vale Nouvelle-Calédonie	
Commune	Mont Dore	
Coordonnées (RGNC91-93 Lambert)	X	493 040
	Y	206 425
Mots clés	projet Goro Nickel, ichtyologie, communautés récifales, biocénoses marines, suivis environnementaux, mine, port	

Suivi des modifications :

N° de version	Transmis à	Action / Etat	Date
00	AQUA TERRA	En interne : pour relecture pour contrôle qualité	Décembre 2020 – Janvier 2021
	Experts partenaires	Rapport remis (format électronique) : version préliminaire (draft) pour relecture du fond	
01	VALE NC	Rapport remis au Client (format électronique)	03/02/2021
01	VALE NC	Rapport final remis au Client (1 CDRom)	

Les responsables du suivi des modifications sont :

Maître d'Ouvrage	Nicolas MARIN (Vale NC)
Entreprise	Valérie VAILLET (AQUA TERRA)

N° Document	Émis le	Par	Approuvé par	Le
Rap 040-20_V01	03/02/2021	AQUA TERRA	VALE NC	



Dans un souci constant de préserver l'environnement, nos rapports sont imprimés sur du papier certifié, en recto-verso et nos toners sont éliminés via une filière agréée.



, en recto-verso et nos toners sont éliminés via une filière agréée.

E q u i p e d e t r a v a i l

Le Mandataire pour cette étude est la SARL AQUA TERRA, avec Valérie VAILLET comme chef de projet, avec l'aide d'experts scientifiques.

Les principaux intervenants étaient donc :

Pour AQUA TERRA :

Valérie VAILLET : gérante de la société (Ingénierie de l'environnement et de la réhabilitation), ingénieur biologiste (DEA Océanographie biologique, Paris VI). Grande expérience en gestion de l'environnement et notamment à travers des campagnes d'échantillonnage sous-marin. A réalisé plusieurs missions dans le cadre du suivi des communautés coralliennes pour le projet Goro Nickel, depuis 2005. Plongeur niveau III.



Pour cette étude : responsable logistique et technique ; échantillonnage du substrat (LIT) et traitement/analyses des résultats liés, photographie sous-marine ; synthèse des données, rédaction des rapports.

Pour ACREM :

Claude CHAUVET : professeur émérite des Universités à l'Université de Nouvelle Calédonie, biologiste marin, intervenant pour l'ACREM.



A participé à de nombreuses campagnes d'échantillonnage du milieu marin et notamment dans cette zone et pour le projet Goro Nickel. Plongeur niveau III.

Pour cette étude : inventaire des communautés ichtyologiques et traitements/analyses des résultats liés ; enregistrements vidéo (films).

Pour BIOCENOSE MARINE :

Grégory LASNE : gérant de la société (Etude environnementale marine), master recherche en Environnement Océanographique Littoral et Hauturier (Bordeaux I). Compétences reconnues pour la taxonomie corallienne et l'inventaire des biocénoses benthiques marines, ainsi que la description géomorphologique et environnementale de site sous marin. Plongeur niveau III, CAH IIB, Nitrox et TDI (recycleur).



Pour cette étude : inventaire des communautés benthiques et particulièrement des coraux, ainsi que l'analyse des résultats liés ; description des habitats ; atlas photographique (photographies *in situ*).

Personne physique :

Pilote, sécurité surface, « installateur » des rubans métrés, gonfleur des blocs.

Table des Matières

EQUIPE DE TRAVAIL	3
TABLE DES MATIERES	4
LISTE DES CARTES	7
LISTE DES FIGURES	8
LISTE DES PHOTOGRAPHIES	10
LISTE DES TABLEAUX	11
1 PREAMBULE	15
2 OBJECTIF DE L'ETUDE	16
3 METHODOLOGIE	17
3.1 ZONE D'ETUDE	17
3.1.1 Contexte général	17
3.1.2 Présentation des stations	17
3.1.2.1 Les stations	17
3.1.2.2 Les transects	19
3.2 LES TRAVAUX D'ECHANTILLONNAGE	20
3.2.1 Vérification des stations	20
3.2.1.1 Positionnement	20
3.2.1.2 Matérialisation	20
3.2.1.2.1 Organisation « matérielle »	20
3.2.1.2.2 Organisation « temporelle »	20
3.2.2 Protocole pour l'étude du substrat	21
3.2.3 Protocole pour l'étude du benthos	21
3.2.4 Protocole pour l'étude des poissons	24
3.3 PERIODE D'ECHANTILLONNAGE	25
3.4 LE TRAITEMENT DES DONNEES	26
3.4.1 Pour le substrat	26
3.4.2 Pour le benthos	27
3.4.3 Pour les poissons	29
4 RESULTATS BRUTS PAR STATION	34
4.1 STATION 01 = CASY	34
4.1.1 Le substrat (ST01)	38
4.1.2 Le benthos (ST01)	39
4.1.2.1 Benthos Transect 01 A	40
4.1.2.2 Benthos Transect 01 B	41
4.1.3 Les poissons (ST01)	42
4.2 STATION 02 = CREEK BAIE NORD	48
4.2.1 Le substrat (ST02)	52
4.2.2 Le benthos (ST02)	53
4.2.2.1 Benthos Transect 02 A	54
4.2.2.2 Benthos Transect 02 B	55
4.2.3 Les poissons (ST02)	56
4.3 STATION 03 = PORT	62
4.3.1 Le substrat (ST03)	67
4.3.2 Le benthos (ST03)	68
4.3.2.1 Benthos Transect 03 A	69
4.3.2.2 Benthos Transect 03 B	70
4.3.2.3 Benthos Transect 03 C	71
4.3.3 Les poissons (ST03)	72
4.4 STATION 04 = WOODIN	77
4.4.1 Le substrat (ST04)	81
4.4.2 Le benthos (ST04)	82
4.4.2.1 Benthos Transect 04 A	83
4.4.2.2 Benthos Transect 04 B	84
4.4.2.3 Benthos Transect 04 C	85
4.4.3 Les poissons (ST04)	86
4.5 STATION 05 = RECIF IORO	92
4.5.1 Le substrat (ST05)	95
4.5.2 Le benthos (ST05)	96
4.5.2.1 Benthos Transect 05 A	97
4.5.2.2 Benthos Transect 05 B	98
4.5.2.3 Benthos Transect 05 C	99

4.5.3	Les poissons (ST05).....	100
4.6	STATION 06 = BANC IONONTEA	106
4.6.1	Le substrat (ST06).....	110
4.6.2	Le benthos (ST06).....	111
4.6.2.1	Benthos Transect 06 A	112
4.6.2.2	Benthos Transect 06 B	113
4.6.2.3	Benthos Transect 06 C	114
4.6.3	Les poissons (ST06).....	115
4.7	STATION 07 = BASSE CHAMBEYRON	121
4.7.1	Le substrat (ST07).....	125
4.7.2	Le benthos (ST07).....	126
4.7.2.1	Benthos Transect 07 A	127
4.7.2.2	Benthos Transect 07 B	128
4.7.2.3	Benthos Transect 07 C	129
4.7.3	Les poissons (ST07).....	130
4.8	STATION 08 = POINTE PUKA	137
4.8.1	Le substrat (ST08).....	141
4.8.2	Le benthos (ST08).....	142
4.8.2.1	Benthos Transect 08 A	143
4.8.2.2	Benthos Transect 08 B	144
4.8.3	Les poissons (ST08).....	145
4.9	STATION 09 = BANCS KIE	151
4.9.1	Le substrat (ST09).....	155
4.9.2	Le benthos (ST09).....	156
4.9.2.1	Benthos Transect 09 A	157
4.9.2.2	Benthos Transect 09 B	158
4.9.2.3	Benthos Transect 09 C	159
4.9.3	Les poissons (ST09).....	160
4.10	STATION 10 = ILOT KIE.....	165
4.10.1	Le substrat (ST10).....	169
4.10.2	Le benthos (ST10).....	170
4.10.2.1	Benthos Transect 10 A	171
4.10.2.2	Benthos Transect 10 B	172
4.10.2.3	Benthos Transect 10 C	173
4.10.3	Les poissons (ST10).....	174
4.11	STATION 11 = RECIF TOEMO	181
4.11.1	Le substrat (ST11).....	185
4.11.2	Le benthos (ST11).....	186
4.11.2.1	Benthos Transect 11 A	187
4.11.2.2	Benthos Transect 11 B	188
4.11.2.3	Benthos Transect 11 C	189
4.11.3	Les poissons (ST11).....	190
4.12	STATION 12 = ILOT UGO	197
4.12.1	Le substrat (ST12).....	201
4.12.2	Le benthos (ST12).....	202
4.12.2.1	Benthos Transect 12 A	203
4.12.2.2	Benthos Transect 12 B	204
4.12.3	Les poissons (ST12).....	205
5	RESULTATS GENERAUX / SYNTHESE	211
5.1	SUBSTRAT.....	211
5.2	BENTHOS	212
5.2.1	Biodiversité du benthos : généralités	212
5.2.1.1	Les contraintes en termes de potentiel « indicateur » et « réactivité ».....	212
5.2.1.2	Les contraintes naturelles de la zone d'étude	214
5.2.1.3	Les contraintes anthropiques de la zone d'étude	214
5.2.2	Répartition des 4 groupes biotiques par transect.....	215
5.2.3	Composition spécifique par site	215
5.2.3.1	Assemblage spécifique du benthos dans le canal de la Havannah	216
5.2.3.2	Assemblage spécifique du benthos dans le canal Woodin	216
5.2.3.3	Assemblage spécifique du benthos dans la baie de Prony	217
5.2.4	Répartition spatiale de la diversité benthique.....	218
5.2.4.1	La biodiversité des invertébrés.....	218
5.2.4.2	La biodiversité des macrophytes.....	218
5.3	ICHTYOLOGIE	221

5.4	ESPECES EXOGENES / ESPECES INVASIVES / ENVAHISSANTES.....	223
5.4.1	Définitions.....	223
5.4.2	Espèces exogènes / invasives.....	223
5.4.3	Espèces envahissantes.....	224
5.4.3.1	Les macroalgues.....	224
5.4.3.2	Les corallivores.....	224
6	COMPARAISON AVEC LES DONNEES HISTORIQUES.....	227
6.1	SUBSTRAT.....	227
6.2	BENTHOS.....	230
6.2.1	Variation de la biodiversité α dans le temps.....	230
6.2.1.1	Pour les invertébrés, généralités.....	231
6.2.1.2	Pour les invertébrés, depuis la dernière mission.....	232
6.2.1.3	Pour les invertébrés, depuis le début.....	232
6.2.1.3.1	Analyse par Anovar.....	233
6.2.1.3.2	Analyse par le test de Friedman.....	235
6.2.1.4	Pour les macrophytes, généralités.....	237
6.2.1.5	Pour les macrophytes, depuis le début.....	239
6.2.1.5.1	Analyse par Anovar.....	240
6.2.1.5.2	Analyse par le test de Friedman.....	241
6.2.2	Indicateurs de l'état de santé des récifs de la zone d'étude.....	244
6.2.2.1	Le blanchissement des coraux.....	244
6.2.2.2	Les maladies et les lésions coralliennes.....	248
6.2.2.2.1	Les maladies ou lésions les plus fréquemment rencontrées dans la zone d'étude.....	248
6.2.2.2.2	Les lésions rencontrées de manière épisodique dans la zone d'étude.....	253
6.2.2.3	Les principales espèces concurrentes.....	253
6.2.2.3.1	Les cyanobactéries.....	255
6.2.2.3.2	Les algues.....	256
6.2.2.3.3	Les éponges encroûtantes.....	259
6.2.2.3.4	Les astéries corallivores.....	260
6.2.2.3.5	Les mollusques corallivores.....	262
6.2.3	Evolution globale des stations par rapport à la mission précédente.....	263
6.3	ICHTYOLOGIE.....	274
6.3.1	Test paramétrique par analyse des variances (ANOVAR).....	274
6.3.1.1	Variance temporelle : comparaison entre les missions.....	275
6.3.1.1.1	En baie de Prony.....	276
6.3.1.1.2	Dans le canal de la Havannah / Woodin.....	276
6.3.1.2	Variance spatiale : comparaison entre les stations.....	282
6.3.1.2.1	En baie de Prony.....	282
6.3.1.2.2	Dans le canal de la Havannah / Woodin.....	283
6.3.1.3	Les structures de peuplement – Présence / absence des espèces.....	284
6.3.2	Test non paramétrique.....	286
6.3.3	Indice Annuel par Station (IAS) et Indice Global de mission (IGm).....	288
6.3.4	Résumé.....	289
6.3.4.1	Synopsis des résultats par station.....	289
6.3.4.2	Synopsis des résultats par mission.....	290
6.3.4.3	Le peuplement de poissons.....	290
7	SYNTHESE BIBLIOGRAPHIQUE.....	292
7.1	SYNTHESE DES EVENEMENTS CLIMATOLOGIQUES SUR LA PERIODE D'ETUDE.....	293
7.1.1	Les événements météorologiques marquants par année.....	293
7.1.1.1	2011.....	294
7.1.1.2	2013.....	294
7.1.1.3	2015.....	294
7.1.1.4	2016.....	296
7.1.1.5	2017.....	298
7.1.1.1	2018.....	299
7.1.1.2	2019.....	300
7.1.1.3	2020.....	300
7.1.2	Le phénomène ENSO.....	301
7.1.2.1	Généralités.....	301
7.1.2.2	El Niño.....	303
7.1.2.3	La Niña.....	303
7.2	CONTEXTE REGLEMENTAIRE.....	305
7.2.1	Liste rouge UICN.....	305
7.2.2	Code de l'Environnement de la Province Sud.....	306
7.2.2.1	Ecosystèmes patrimoniaux.....	306

7.2.2.2	Espèces endémiques, rares ou menacées	307
7.2.2.3	Espèces protégées	309
7.2.2.4	Espèces exotiques envahissantes.....	309
8	CONCLUSION.....	311
8.1	LE SUBSTRAT	311
8.2	LES COMMUNAUTES BENTHIQUES	312
8.2.1	<i>Etat général.....</i>	<i>312</i>
8.2.1.1	Les coraux	312
8.2.1.2	Les invertébrés	312
8.2.1.3	Les macrophytes	313
8.2.1.4	Les espèces exogènes.....	314
8.2.2	<i>Les perturbations</i>	<i>314</i>
8.2.3	<i>Synthèse.....</i>	<i>317</i>
8.3	LES POPULATIONS ICTHYOLOGIQUES.....	318
8.3.1	<i>Résultats.....</i>	<i>318</i>
8.3.2	<i>Discussion</i>	<i>320</i>
8.3.3	<i>Conclusion.....</i>	<i>321</i>
9	DISCUSSION.....	323
9.1	AMELIORATIONS PROPRES A CE SUIVI	323
9.2	AMELIORATIONS AU CAHIER DES CHARGES	324
9.3	SUGGESTIONS AU NIVEAU PROVINCIAL OU TERRITORIAL.....	327
9.4	SUGGESTIONS AU NIVEAU DES ACTIVITES ANTHROPIQUES	328
10	SOURCES.....	329
A N N E X E S		340
ANNEXE N°01.....		341
METHODOLOGIE GENERALE D'ECHANTILLONNAGE DES COMMUNAUTES RECIFALES		341
ANNEXE N°02.....		344
CARACTERISTIQUES TERRAIN DE LA CAMPAGNE D'ECHANTILLONNAGE DE OCTOBRE 2020		344
ANNEXE N°03.....		345
RESULTATS BRUTS DE L'ECHANTILLONNAGE LIT DE OCTOBRE 2020.....		345
ANNEXE N°04.....		346
RESULTATS BRUTS DE L'ECHANTILLONNAGE DU BENTHOS DE OCTOBRE 2020.....		346
ANNEXE N°05.....		353
NOMENCLATURE UICN		353

L i s t e d e s C a r t e s

Carte 01 : Localisation des stations sur carte topographique (source DITTT).....	17
Carte 02 : Localisation des stations sur photographie aérienne (source Google Earth).....	18
Carte 03 : Localisation de la station 01 (Casy).....	36
Carte 04 : Localisation de la station 02 (Creek baie nord)	50
Carte 05 : Localisation de la station 03 (Port).....	65
Carte 06 : Localisation de la station 04 (Woodin).....	79
Carte 07 : Localisation de la station 05 (Ioro).....	93
Carte 08 : Localisation de la station 06 (Ionontea).....	108
Carte 09 : Localisation de la station 07 (Basse Chambeyron)	123
Carte 10 : Localisation de la station 08 (Pointe Puka)	139
Carte 11 : Localisation de la station 09 (Bancs Kié).....	153
Carte 12 : Localisation de la station 10 (Ilot Kié).....	167
Carte 13 : Localisation de la station 11 (Toémo)	183
Carte 14 : Localisation de la station 12 (Ilot Ugo).....	199
Carte 15 : Résultats généraux : ichtyofaune, communautés benthiques, substrat par station de la baie de Prony – canal Woodin	225
Carte 16 : Résultats généraux : ichtyofaune, communautés benthiques, substrat par station pour le canal de la Havannah.....	226

L i s t e d e s F i g u r e s

<i>Figure 01 : Schéma théorique d'une station composée de 3 transects (A, B, C), de 20 m de long</i>	19
<i>Figure 02 : Diagramme schématique d'un transect</i>	21
<i>Figure 03 : Comptage visuel des poissons : méthode des transects à largeur variable</i>	24
<i>Figure 04 : Représentation du recouvrement (en %) du substrat pour ST01A</i>	38
<i>Figure 05 : Représentation du recouvrement (en %) du substrat pour ST01B</i>	38
<i>Figure 06 : Répartition par sous-groupe de la richesse spécifique des macrophytes et des invertébrés (hors coraux durs) (ST01)</i>	39
<i>Figure 07 : Structure du peuplement pour cette mission relativement à la moyenne (ST01)</i>	44
<i>Figure 08 : Evolution des paramètres biologiques ichtyologiques depuis 2007 (ST01)</i>	47
<i>Figure 09 : Ecart relatif à la moyenne des paramètres biologiques ichtyologiques depuis 2007 (ST01)</i>	47
<i>Figure 10 : Représentation du recouvrement (en %) du substrat pour ST02A</i>	52
<i>Figure 11 : Représentation du recouvrement (en %) du substrat pour ST02B</i>	52
<i>Figure 12 : Répartition par groupe de la richesse spécifique des macrophytes et des invertébrés (hors coraux durs) (ST02)</i>	53
<i>Figure 13 : Structure du peuplement pour cette mission relativement à la moyenne (ST02)</i>	58
<i>Figure 14 : Evolution des paramètres biologiques ichtyologiques depuis 2007 (ST02)</i>	61
<i>Figure 15 : Ecart relatif à la moyenne des paramètres biologiques ichtyologiques depuis 2007 (ST02)</i>	61
<i>Figure 16 : Représentation du recouvrement (en %) du substrat pour ST03A</i>	67
<i>Figure 17 : Représentation du recouvrement (en %) du substrat pour ST03B</i>	67
<i>Figure 18 : Représentation du recouvrement (en %) du substrat pour ST03C</i>	67
<i>Figure 19 : Répartition par sous-groupe de la richesse spécifique des macrophytes et des invertébrés (hors coraux durs) (ST03)</i>	68
<i>Figure 20 : Structure du peuplement pour cette mission relativement à la moyenne (ST03)</i>	74
<i>Figure 21 : Evolution des paramètres biologiques ichtyologiques depuis 2007 (ST03)</i>	76
<i>Figure 22 : Ecart relatif à la moyenne des paramètres biologiques ichtyologiques depuis 2007 (ST03)</i>	76
<i>Figure 23 : Représentation du recouvrement (en %) du substrat pour ST04A</i>	81
<i>Figure 24 : Représentation du recouvrement (en %) du substrat pour ST04B</i>	81
<i>Figure 25 : Représentation du recouvrement (en %) du substrat pour ST04C</i>	81
<i>Figure 26 : Répartition par sous-groupe de la richesse spécifique des macrophytes et des invertébrés (hors coraux durs) (ST04)</i>	82
<i>Figure 27 : Structure du peuplement pour cette mission relativement à la moyenne (ST04)</i>	89
<i>Figure 28 : Evolution des paramètres biologiques ichtyologiques depuis 2007 (ST04)</i>	91
<i>Figure 29 : Ecart relatif à la moyenne des paramètres biologiques ichtyologiques depuis 2007 (ST04)</i>	91
<i>Figure 30 : Représentation du recouvrement (en %) du substrat pour ST05A</i>	95
<i>Figure 31 : Représentation du recouvrement (en %) du substrat pour ST05B</i>	95
<i>Figure 32 : Représentation du recouvrement (en %) du substrat pour ST05C</i>	95
<i>Figure 33 : Répartition par sous-groupe de la richesse spécifique des macrophytes et des invertébrés (hors coraux durs) (ST05)</i>	96
<i>Figure 34 : Structure du peuplement pour cette mission relativement à la moyenne (ST05)</i>	102
<i>Figure 35 : Evolution des paramètres biologiques ichtyologiques depuis 2007 (ST05)</i>	105
<i>Figure 36 : Ecart relatif à la moyenne des paramètres biologiques ichtyologiques depuis 2007 (ST05)</i>	105
<i>Figure 37 : Représentation du recouvrement (en %) du substrat pour ST06A</i>	110
<i>Figure 38 : Représentation du recouvrement (en %) du substrat pour ST06B</i>	110
<i>Figure 39 : Représentation du recouvrement (en %) du substrat pour ST06C</i>	110
<i>Figure 40 : Répartition par sous-groupe de la richesse spécifique des macrophytes et des invertébrés (hors coraux durs) (ST06)</i>	111
<i>Figure 41 : Structure du peuplement pour cette mission relativement à la moyenne (ST06)</i>	117
<i>Figure 42 : Evolution des paramètres biologiques ichtyologiques depuis 2007 (ST06)</i>	120
<i>Figure 43 : Ecart relatif à la moyenne des paramètres biologiques ichtyologiques depuis 2007 (ST06)</i>	120
<i>Figure 44 : Représentation du recouvrement (en %) du substrat pour ST07A</i>	125
<i>Figure 45 : Représentation du recouvrement (en %) du substrat pour ST07B</i>	125
<i>Figure 46 : Représentation du recouvrement (en %) du substrat pour ST07C</i>	125
<i>Figure 47 : Répartition par sous-groupe de la richesse spécifique des macrophytes et des invertébrés (hors coraux</i>	

durs) (ST07)	126
Figure 48 : Structure du peuplement pour cette mission relativement à la moyenne (ST07).....	133
Figure 49 : Evolution des paramètres biologiques ichtyologiques depuis 2007 (ST07)	136
Figure 50 : Ecart relatif à la moyenne des paramètres biologiques ichtyologiques depuis 2007 (ST07)	136
Figure 51 : Représentation du recouvrement (en %) du substrat pour ST08A.....	141
Figure 52 : Représentation du recouvrement (en %) du substrat pour ST08B.....	141
Figure 53 : Répartition par sous-groupe de la richesse spécifique des macrophytes et des invertébrés (hors coraux durs) (ST08)	142
Figure 54 : Structure du peuplement pour cette mission relativement à la moyenne (ST08).....	147
Figure 55 : Evolution des paramètres biologiques ichtyologiques depuis 2007 (ST08)	150
Figure 56 : Ecart relatif à la moyenne des paramètres biologiques ichtyologiques depuis 2007 (ST08)	150
Figure 57 : Représentation du recouvrement (en %) du substrat pour ST09A.....	155
Figure 58 : Représentation du recouvrement (en %) du substrat pour ST09B.....	155
Figure 59 : Représentation du recouvrement (en %) du substrat pour ST09C.....	155
Figure 60 : Répartition par sous groupe de la richesse spécifique des macrophytes et des invertébrés (hors coraux durs) (ST09)	156
Figure 61 : Structure du peuplement pour cette mission relativement à la moyenne (ST09).....	162
Figure 62 : Evolution des paramètres biologiques ichtyologiques depuis 2007 (ST09)	164
Figure 63 : Ecart relatif à la moyenne des paramètres biologiques ichtyologiques depuis 2007 (ST09)	164
Figure 64 : Représentation du recouvrement (en %) du substrat pour ST10A.....	169
Figure 65 : Représentation du recouvrement (en %) du substrat pour ST10B.....	169
Figure 66 : Représentation du recouvrement (en %) du substrat pour ST10C.....	169
Figure 67 : Répartition par sous groupe de la richesse spécifique des macrophytes et des invertébrés (hors coraux durs) (ST10)	170
Figure 68 : Structure du peuplement pour cette mission relativement à la moyenne (ST10).....	177
Figure 69 : Evolution des paramètres biologiques ichtyologiques depuis 2007 (ST10)	180
Figure 70 : Ecart relatif à la moyenne des paramètres biologiques ichtyologiques depuis 2007 (ST10)	180
Figure 71 : Représentation du recouvrement (en %) du substrat pour ST11A.....	185
Figure 72 : Représentation du recouvrement (en %) du substrat pour ST11B.....	185
Figure 73 : Représentation du recouvrement (en %) du substrat pour ST11C.....	185
Figure 74 : Répartition par sous-groupe de la richesse spécifique des macrophytes et des invertébrés (hors coraux durs) (ST11)	186
Figure 75 : Structure du peuplement pour cette mission relativement à la moyenne (ST11).....	193
Figure 76 : Evolution des paramètres biologiques ichtyologiques depuis 2007 (ST11)	196
Figure 77 : Ecart relatif à la moyenne des paramètres biologiques ichtyologiques depuis 2007 (ST11)	196
Figure 78 : Représentation du recouvrement (en %) du substrat pour ST12A.....	201
Figure 79 : Représentation du recouvrement (en %) du substrat pour ST12B.....	201
Figure 80 : Répartition par sous-groupe de la richesse spécifique des macrophytes et des invertébrés (hors coraux durs) (ST12)	202
Figure 81 : Structure du peuplement pour cette mission relativement à la moyenne (ST12).....	207
Figure 82 : Evolution des paramètres biologiques ichtyologiques depuis 2009 (ST12)	210
Figure 83 : Ecart relatif à la moyenne des paramètres biologiques ichtyologiques depuis 2009 (ST12)	210
Figure 84 : Représentation du recouvrement (en %) du substrat partie biotique/abiotique	211
Figure 85 : Richesse taxonomique du benthos dans 2 groupes clés	215
Figure 86 : Répartition par groupe de la richesse spécifique des macrophytes et invertébrés (hors coraux durs) pour le canal de la Havannah.....	216
Figure 87 : Répartition par groupe de la richesse spécifique des macrophytes et invertébrés (hors coraux durs) pour le canal Woodin.....	217
Figure 88 : Répartition par groupe de la richesse spécifique des macrophytes et invertébrés (hors coraux durs) pour la baie de Prony.....	217
Figure 89 : Assemblage des invertébrés (hors coraux durs) et des macrophytes par groupe pour les trois sites.....	219
Figure 90 : Richesse spécifique des biocénoses* benthiques selon les groupes par station	219
Figure 91 : Richesse spécifique des biocénoses* benthiques selon les groupes par transect	220
Figure 92 : Richesse spécifique de l'ichtyofaune par station	222
Figure 93 : Densité (nb ind/m ²) de l'ichtyofaune par station	222

Figure 94 : Biomasse (g/m ²) de l'ichtyofaune par station	222
Figure 95 : Valeur de la richesse spécifique moyenne des invertébrés (hors coraux durs) depuis 2012	234
Figure 96 : Valeur de la richesse spécifique moyenne des macrophytes depuis 2012	240
Figure 97 : Abondance semi-quantitative (1 à 5) des principales espèces cibles depuis septembre 2013	254
Figure 98 : Recouvrement du corail blanchi, par transect, depuis 2012.....	264
Figure 99 : Richesse spécifique des invertébrés (hors coraux durs), par transect, depuis 2012.....	265
Figure 100 : Richesse spécifique des macrophytes, par transect, depuis 2012	265
Figure 101 : Evolution de la moyenne des paramètres ichtyologiques depuis 2007, par campagne et station (baie de Prony).....	276
Figure 102 : Evolution de la moyenne des paramètres ichtyologiques depuis 2007, par campagne et station (canal de la Havannah / Woodin)	277
Figure 103 : Synopsis des valeurs moyennes de Densités ichtyologiques depuis 2007.....	278
Figure 104 : Synopsis des valeurs moyennes de Biomasses ichtyologiques depuis 2007.....	279
Figure 105 : Synopsis des valeurs moyennes de Biodiversités 1 ichtyologiques depuis 2007.....	280
Figure 106 : Synopsis des valeurs moyennes de Biodiversités 3 ichtyologiques depuis 2007.....	281
Figure 107 : Evolution de la moyenne des paramètres ichtyologiques depuis 2007, par station et campagne (baie de Prony).....	282
Figure 108 : Evolution de la moyenne des paramètres ichtyologiques depuis 2007, par station et campagne (canal de la Havannah / Woodin)	283
Figure 109 : Représentation de la variabilité des peuplements ichtyologiques des stations.....	285
Figure 110 : Positionnement de chaque station par rapport à la moyenne.....	290
Figure 111 : Positionnement de chaque mission par rapport à la moyenne	290
Figure 112 : Météorologie dans la zone d'étude durant le mois de mars 2015	296
Figure 113 : Trajectoire du cyclone Winston entre le 22 et le 26 février 2016.....	297
Figure 114 : Cartes des anomalies de température de surface de la mer dans le Pacifique, début 2016.....	298
Figure 115 : Trajectoire des cyclones Cook et Donna (début 2017).....	299
Figure 116 : Variation de l'anomalie de la température moyenne de la surface de la mer 1980-2016.....	303
Figure 117 : Anomalies de températures de surface de la mer (9 et le 15 novembre 2017)	304
Figure 117 : Variation de l'anomalie moyenne de la température à la surface de la mer	304
Figure 118 : Ecart des valeurs obtenues en octobre 2020 à chaque station, avec la moyenne depuis 2007 (Ichtyologie).....	319
Figure 119 : Ecart par mission des résultats ichtyologiques en octobre 2020 de l'ensemble des stations, avec la moyenne depuis 2007 (Ichtyologie).....	320
Figure 120 : Exemple de schéma descriptif d'une station	324
Figure 121 : Classification de la liste rouge UICN	353

Liste des Photographies

Photographie 01 : Différents stades de travail in situ	26
Photographie 02 : Position en surface par rapport à la pointe sud de l'îlot (ST01)	36
Photographie 03 : Vue d'ensemble des transects (ST01, présente mission).....	37
Photographie 04 : Position en surface par rapport à la côte (ST02)	50
Photographie 05 : Vue d'ensemble des transects (ST02, présente mission).....	51
Photographie 06 : Vue aérienne : emplacement par rapport aux structures portuaires (ST03)	64
Photographie 07 : Position en surface par rapport aux structures portuaires (ST03).....	65
Photographie 08 : Vue d'ensemble des transects (ST03, présente mission).....	66
Photographie 09 : Position en surface par rapport à la côte (ST04)	79
Photographie 10 : Vue d'ensemble des transects (ST04, présente mission).....	80
Photographie 11 : Position en surface par rapport au feu signal (ST05).....	93
Photographie 12 : Vue d'ensemble des transects (ST05, présente mission).....	94
Photographie 13 : Position en surface (ST06).....	108
Photographie 14 : Vue d'ensemble des transects (ST06, présente mission).....	109
Photographie 15 : Position en surface (ST07).....	123
Photographie 16 : Vue d'ensemble des transects (ST07, présente mission).....	124
Photographie 17 : Position en surface par rapport à la côte (ST08)	139

Photographie 18 : Vue d'ensemble des transects (ST08, présente mission).....	140
Photographie 19 : Position en surface (ST09).....	153
Photographie 20 : Vue d'ensemble des transects (ST09, présente mission).....	154
Photographie 21 : Position en surface (ST10).....	167
Photographie 22 : Vue d'ensemble des transects (ST10, présente mission).....	168
Photographie 23 : Position en surface par rapport à la côte (ST11)	183
Photographie 24 : Vue d'ensemble des transects (ST11, présente mission).....	184
Photographie 25 : Position en surface par rapport à la côte (ST12)	199
Photographie 26 : Vue d'ensemble des transects (ST12, présente mission).....	200
Photographie 27 : Evolution du blanchissement corallien : colonie témoin du transect A de la ST04 (Woodin). 252	
Photographie 28 : Station 08 : fin de transect A : 3 autres piquets formant un quadrat.....	323

L i s t e d e s T a b l e a u x

Tableau 01 : Coordonnées des stations d'échantillonnage	18
Tableau 02 : Caractéristiques des transects selon les stations.....	19
Tableau 03 : Indices semi-quantitatifs d'abondance – cas classique	23
Tableau 04 : Indices semi-quantitatifs d'abondance – présence de grandes colonies (plusieurs m ²).....	23
Tableau 05 : Degré de blanchissement pour une espèce (/ 100 m ²)	23
Tableau 06 : Exemple de calcul pour le recouvrement du substrat.....	26
Tableau 07 : Code couleur pour la comparaison temporelle de chaque transect	27
Tableau 08 : Grille de lecture des tableaux de variations de la composition du benthos	28
Tableau 09 : Lexique des abréviations des familles.....	30
Tableau 10 : Exemple de calcul pour « poisson »	31
Tableau 11 : Clé de calcul des Indices ichthyologiques	33
Tableau 12 : Clé de cotation des Indices ichthyologiques.....	33
Tableau 13 : Variations entre mai et octobre 2020 : Les biocénoses* (ST01A).....	40
Tableau 14 : Variations entre mai et octobre 2020 : Les biocénoses* (ST01B).....	41
Tableau 15 : Données sur les poissons (ST01)	42
Tableau 16 : Liste des espèces complémentaires (ST01).....	43
Tableau 17 : Nombre d'espèces par famille ichthyologique (ST01).....	43
Tableau 18 : Synopsis des résultats et récapitulatif des années précédentes (ST01)	45
Tableau 19 : Ecart relatif à la moyenne des paramètres biologiques ichthyologiques depuis 2007 (ST01).....	45
Tableau 20 : Variations entre mai et octobre 2020 : Les biocénoses* (ST02A).....	54
Tableau 21 : Variations entre mai et octobre 2020 : Les biocénoses* (ST02B).....	55
Tableau 22 : Données sur les poissons (ST02)	56
Tableau 23 : Liste des espèces complémentaires (ST02).....	56
Tableau 24 : Nombre d'espèces par famille ichthyologique (ST02).....	57
Tableau 25 : Synopsis des résultats et récapitulatif des années précédentes (ST02)	58
Tableau 26 : Ecart relatif à la moyenne des paramètres biologiques ichthyologiques depuis 2007 (ST02).....	59
Tableau 27 : Variations entre mai et octobre 2020 : Les biocénoses* (ST03A).....	69
Tableau 28 : Variations entre mai et octobre 2020 : Les biocénoses* (ST03B).....	70
Tableau 29 : Variations entre mai et octobre 2020 : Les biocénoses* (ST03C)	71
Tableau 30 : Données sur les poissons (ST03)	72
Tableau 31 : Liste des espèces complémentaires (ST03).....	72
Tableau 32 : Nombre d'espèces par famille ichthyologique (ST03).....	73
Tableau 33 : Synopsis des résultats et récapitulatif des années précédentes (ST03)	74
Tableau 34 : Ecart relatif à la moyenne des paramètres biologiques ichthyologiques depuis 2007 (ST03).....	75
Tableau 35 : Variations entre mai et octobre 2020 : Les biocénoses* (ST04A).....	83
Tableau 36 : Variations entre mai et octobre 2020 : Les biocénoses* (ST04B).....	84
Tableau 37 : Variations entre mai et octobre 2020 : Les biocénoses* (ST04C)	85
Tableau 38 : Données sur les poissons (ST04)	86
Tableau 39 : Liste des espèces complémentaires (ST04).....	87
Tableau 40 : Nombre d'espèces par famille ichthyologique (ST04).....	88

Tableau 41 : Synopsis des résultats et récapitulatif des années précédentes (ST04)	89
Tableau 42 : Ecart relatif à la moyenne des paramètres biologiques ichtyologiques depuis 2007 (ST04)	90
Tableau 43 : Variations entre mai et octobre 2020 : Les biocénoses* (ST05A).....	97
Tableau 44 : Variations entre mai et octobre 2020 : Les biocénoses* (ST05B).....	98
Tableau 45 : Variations entre mai et octobre 2020 : Les biocénoses* (ST05C)	99
Tableau 46 : Données sur les poissons (ST05)	100
Tableau 47 : Liste des espèces complémentaires (ST05).....	101
Tableau 48 : Nombre d'espèces par famille ichtyologique (ST05).....	102
Tableau 49 : Synopsis des résultats et récapitulatif des années précédentes (ST05)	103
Tableau 50 : Ecart relatif à la moyenne des paramètres biologiques ichtyologiques depuis 2007 (ST05).....	104
Tableau 51 : Variations entre mai et octobre 2020 : Les biocénoses* (ST06A).....	112
Tableau 52 : Variations entre mai et octobre 2020 : Les biocénoses* (ST06B).....	113
Tableau 53 : Variations entre mai et octobre 2020 : Les biocénoses* (ST06C)	114
Tableau 54 : Données sur les poissons (ST06)	115
Tableau 55 : Liste des espèces complémentaires (ST06).....	116
Tableau 56 : Nombre d'espèces par famille ichtyologique (ST06).....	117
Tableau 57 : Synopsis des résultats et récapitulatif des années précédentes (ST06)	118
Tableau 58 : Ecart relatif à la moyenne des paramètres biologiques ichtyologiques depuis 2007 (ST06).....	119
Tableau 59 : Variations entre mai et octobre 2020 : Les biocénoses* (ST07A).....	127
Tableau 60 : Variations entre mai et octobre 2020 : Les biocénoses* (ST07B).....	128
Tableau 61 : Variations entre mai et octobre 2020 : Les biocénoses* (ST07C)	129
Tableau 62 : Données sur les poissons (ST07)	130
Tableau 63 : Liste des espèces complémentaires (ST07).....	131
Tableau 64 : Nombre d'espèces par famille ichtyologique (ST07).....	132
Tableau 66 : Synopsis des résultats et récapitulatif des années précédentes (ST07)	134
Tableau 65 : Ecart relatif à la moyenne des paramètres biologiques ichtyologiques depuis 2007 (ST07).....	134
Tableau 67 : Variations entre mai et octobre 2020 : Les biocénoses* (ST08A).....	143
Tableau 68 : Variations entre mai et octobre 2020 : Les biocénoses* (ST08B).....	144
Tableau 69 : Données sur les poissons (ST08)	145
Tableau 70 : Liste des espèces complémentaires (ST08).....	146
Tableau 71 : Nombre d'espèces par famille ichtyologique (ST08).....	147
Tableau 72 : Synopsis des résultats et récapitulatif des années précédentes (ST08)	148
Tableau 73 : Ecart relatif à la moyenne des paramètres biologiques ichtyologiques depuis 2007 (ST08).....	149
Tableau 74 : Variations entre mai et octobre 2020 : Les biocénoses* (ST09A).....	157
Tableau 75 : Variations entre mai et octobre 2020 : Les biocénoses* (ST09B).....	158
Tableau 76 : Variations entre mai et octobre 2020 : Les biocénoses* (ST09C)	159
Tableau 77 : Données sur les poissons (ST09)	160
Tableau 78 : Liste des espèces complémentaires (ST09).....	161
Tableau 79 : Nombre d'espèces par famille ichtyologique (ST09).....	161
Tableau 80 : Synopsis des résultats et récapitulatif des années précédentes (ST09)	163
Tableau 81 : Ecart relatif à la moyenne des paramètres biologiques ichtyologiques depuis 2007 (ST09).....	163
Tableau 82 : Variations entre mai et octobre 2020 : Les biocénoses* (ST10A).....	171
Tableau 82 : Variations entre mai et octobre 2020 : Les biocénoses* (ST10B).....	172
Tableau 82 : Variations entre mai et octobre 2020 : Les biocénoses* (ST10C)	173
Tableau 82 : Données sur les poissons (ST10)	174
Tableau 83 : Liste des espèces complémentaires (ST10).....	175
Tableau 84 : Nombre d'espèces par famille ichtyologique (ST10).....	176
Tableau 85 : Synopsis des résultats et récapitulatif des années précédentes (ST10)	178
Tableau 86 : Ecart relatif à la moyenne des paramètres biologiques ichtyologiques depuis 2007 (ST10).....	178
Tableau 87 : Variations entre mai et octobre 2020 : Les biocénoses* (ST10A).....	187
Tableau 88 : Variations entre mai et octobre 2020 : Les biocénoses* (ST10B).....	188
Tableau 89 : Variations entre mai et octobre 2020 : Les biocénoses* (ST10C)	189
Tableau 90 : Données sur les poissons (ST11)	190
Tableau 91 : Liste des espèces complémentaires (ST11).....	191
Tableau 92 : Nombre d'espèces par famille ichtyologique (ST11).....	192

Tableau 93 : <i>Synopsis des résultats et récapitulatif des années précédentes (ST11)</i>	194
Tableau 94 : <i>Ecart relatif à la moyenne des paramètres biologiques ichtyologiques depuis 2007 (ST11)</i>	194
Tableau 95 : <i>Variations entre mai et octobre 2020 : Les biocénoses* (ST12A)</i>	203
Tableau 96 : <i>Variations entre mai et octobre 2020 : Les biocénoses* (ST12B)</i>	204
Tableau 97 : <i>Données sur les poissons (ST12)</i>	205
Tableau 98 : <i>Liste des espèces complémentaires (ST12)</i>	206
Tableau 99 : <i>Nombre d'espèces par famille ichtyologique (ST12)</i>	206
Tableau 100 : <i>Synopsis des résultats et récapitulatif des années précédentes (ST12)</i>	208
Tableau 101 : <i>Ecart relatif à la moyenne des paramètres biologiques ichtyologiques depuis 2007 (ST12)</i>	208
Tableau 102 : <i>Récapitulatif des paramètres biologiques pour l'ichtyofaune</i>	221
Tableau 103 : <i>Valeur de la richesse spécifique des invertébrés (hors coraux durs) pour tous les transects depuis 2010</i>	232
Tableau 104 : <i>Analyse de la Variance de la biodiversité α des invertébrés (hors coraux durs), depuis 2012</i>	233
Tableau 105 : <i>Analyse de la Variance de la richesse spécifique des invertébrés (hors coraux durs) pour tous les transects depuis 2012</i>	233
Tableau 106 : <i>Analyses non paramétriques Friedman (analyse en colonne) de la richesse spécifique des invertébrés (hors coraux durs) depuis 2012</i>	235
Tableau 107 : <i>Classement par rang en colonne pour l'analyse non paramétrique Friedman de la richesse spécifique des invertébrés (hors coraux durs) depuis 2012</i>	235
Tableau 108 : <i>Valeur de la richesse spécifique des macrophytes pour tous les transects depuis 2010</i>	239
Tableau 109 : <i>Analyse de la Variance de la biodiversité α des macrophytes depuis 2012</i>	240
Tableau 110 : <i>Analyse de la Variance de la richesse spécifique des macrophytes pour tous les transects depuis 2012</i>	240
Tableau 111 : <i>Analyses non paramétriques Friedman (analyse en colonne) de la richesse spécifique des macrophytes depuis 2010</i>	241
Tableau 112 : <i>Classement par rang en colonne pour l'analyse non paramétrique Friedman de la richesse spécifique des macrophytes depuis 2012</i>	242
Tableau 113 : <i>Surface et causes des colonies coralliennes blanchies</i>	247
Tableau 114 : <i>Evolution du taux de recouvrement du substrat entre mai et octobre 2020 (différence en %)</i>	266
Tableau 115 : <i>Evolution de la richesse spécifique du benthos (hors coraux durs) entre mai et octobre 2020 (gain/perte en taxa)</i>	266
Tableau 116 : <i>Particularités de chaque station et évolution entre avril 2019 et octobre 2019</i>	267
Tableau 117 : <i>Analyse de la Variance temporelle des paramètres ichtyologiques (densité, biomasse, biodiversités) en baie de Prony</i>	276
Tableau 118 : <i>Analyse de la Variance temporelle des paramètres ichtyologiques (densité, biomasse, biodiversités) dans le canal de la Havannah / Woodin</i>	277
Tableau 119 : <i>Densités moyennes ichtyologiques (ind./m²) par campagne et station</i>	278
Tableau 120 : <i>Biomasses ichtyologiques (g/m²) moyennes par campagne et station</i>	279
Tableau 121 : <i>Biodiversités 1 ichtyologiques par campagne et station</i>	280
Tableau 122 : <i>Biodiversités 3 ichtyologiques par campagne et station</i>	281
Tableau 123 : <i>Analyse de la Variance spatiale des paramètres ichtyologiques (densité, biomasse, biodiversités) en baie de Prony</i>	282
Tableau 124 : <i>Analyse de la Variance spatiale des paramètres ichtyologiques (densité, biomasse, biodiversités) dans le canal de la Havannah / Woodin</i>	283
Tableau 125 : <i>Valeur des écarts (quadratiques moyens) des structures de peuplement par rapport à la structure moyenne (depuis 2007)</i>	284
Tableau 126 : <i>Fréquence moyenne de l'observation des espèces ichtyologiques</i>	286
Tableau 127 : <i>Test de Friedman (analyses spatiales et temporelles) des paramètres ichtyologiques suivis</i>	287
Tableau 128 : <i>Classement des stations (A) et des missions (B) (ichtyologie)</i>	288
Tableau 129 : <i>Cotation des stations : IAS, depuis 2012 (ichtyologie)</i>	288
Tableau 130 : <i>Cotation des missions : IGm, depuis 2007 (ichtyologie)</i>	289
Tableau 131 : <i>Qualité du peuplement ichtyologique depuis 2007</i>	291
Tableau 132 : <i>Principaux phénomènes dépressionnaires touchant la zone d'étude depuis 2003</i>	293
Tableau 133 : <i>Invertébrés inscrits sur la liste UICN et échantillonnés lors de cette mission</i>	305
Tableau 134 : <i>Extrait de la liste des espèces endémiques, rares ou menacées en Province Sud, potentiellement</i>	

<i>présentes sur la zone d'étude</i>	308
<i>Tableau 135 : Etat de santé des stations / perturbations enregistrées (pour cette mission)</i>	317
<i>Tableau 136 : Note de chaque station selon la qualité du peuplement de poissons</i>	319
<i>Tableau 137 : Qualité du peuplement ichtyologique depuis 2007</i>	320
<i>Tableau 138 : Catégories et composantes de substrat retenues pour l'échantillonnage et le traitement des données</i>	341
<i>Tableau 139 : Liste des poissons indicateurs</i>	342
<i>Tableau 140 : Rapport de plongée</i>	344
<i>Tableau 141 : Corrections des marées pour les stations dans le canal de la Havannah</i>	344
<i>Tableau 142 : Agenda des marées</i>	344
<i>Tableau 143 : Recouvrement du substrat (en %) pour toutes les catégories</i>	345
<i>Tableau 144 : Répartition du recouvrement (en %) du substrat, partie biotique/abiotique</i>	345
<i>Tableau 145 : Inventaire des Macrophytes et des Invertébrés et leur abondance (1 à 5) (stations baie de Prony et du canal Woodin)</i>	346
<i>Tableau 146 : Inventaire des Macrophytes et des Invertébrés et leur abondance (1 à 5) (stations du canal de la Havannah)</i>	347
<i>Tableau 147 : Richesse spécifique des biocénoses* benthiques par groupes et transect (*hors coraux durs)</i>	350
<i>Tableau 148 : Richesse spécifique des biocénoses* benthiques par groupes et station (*hors coraux durs)</i>	350
<i>Tableau 149 : Richesse spécifique du macrobenthos par site</i>	350
<i>Tableau 150 : Liste des espèces cibles (CdC DENV) et leur abondance (1 à 5) (stations de la baie de Prony et du canal Woodin)</i>	351
<i>Tableau 151 : Liste des espèces cibles (CdC DENV) et leur abondance (1 à 5) (stations du canal de la Havannah)</i>	352
<i>Tableau 152 : Liste Définitions des catégories UICN</i>	353

Crédit photographique : Grégory Lasne 2020 pour Biocénose Marine, Valérie Vaillet 2020, pour AQUA TERRA.

NB : toutes les photographies sous-marines (sauf mention contraire) datent de cette mission

Photographies aériennes : Google Earth

1 Préambule

La société Goro Nickel S.A.S. a réalisé un « état de référence » des habitats coralliens en 2005 dans le cadre de l'application de l'arrêté d'autorisation de mise en fonctionnement des Installations Classées pour la Protection de l'Environnement (ICPE) n° 1769-2004/PS du 15 octobre 2004.

Cette étude de référence a été réalisée sur un réseau de 11 stations de mesures localisées dans la baie de Prony, le canal de la Havannah et l'entrée du canal Woodin.

En l'absence de référence méthodologique officielle, la société Goro Nickel avait alors préconisé l'utilisation d'une variante de la méthode du Line Intercept Transect (LIT) de English & al (1997) [R42] pour cette étude. Cette méthode d'échantillonnage est largement utilisée par les experts pour l'évaluation de l'état des peuplements récifaux et des organismes associés.

Suite à la transmission des résultats de l'étude, la Direction de l'Environnement (DENV)¹ a émis un certain nombre de commentaires notamment sur la méthodologie employée. La DENV a demandé à la société Goro Nickel SAS d'organiser un atelier de travail spécifique afin d'établir un protocole de référence pour le suivi temporel futur des communautés marines.

Cet atelier de travail s'est tenu le 3 mars 2006 à Nouméa avec la participation des experts institutionnels (Institut de Recherche pour le Développement, Université de Nouvelle Calédonie, Commission du Pacifique Sud) et des bureaux d'études locaux, et une démarche méthodologique d'échantillonnage et d'analyse a été proposée au regard des objectifs fixés.

Un programme détaillé pour réaliser le suivi de l'état des peuplements récifaux et organismes associés sur un ensemble de 11 stations de mesures prédéfinies et suivant le protocole d'échantillonnage et les méthodes d'analyse validés à l'issue de l'atelier de travail précité a donc été rédigé pour servir de cahier des charges (cf. [annexe n°01](#)).

La société Goro Nickel S.A.S., puis Vale Inco Nouvelle-Calédonie et dernièrement Vale Nouvelle-Calédonie, a alors fait réaliser des campagnes annuelles de 2007 à 2010 (septembre 2007, octobre 2008, juin 2009), puis à partir de 2010 de façon semestrielle (mars-avril et septembre 2010, mars et septembre 2011, avril et octobre 2012, avril et septembre 2013, avril et octobre 2014, mars et octobre - novembre 2015, avril et novembre 2016, avril et septembre 2017, mai et novembre 2018, avril et octobre 2019, mai 2020), sur la base de ce cahier des charges, dans le cadre de la mise en place d'une base de données en vue d'une surveillance du milieu marin au démarrage de l'usine Goro Nickel.

Ce rapport présente les résultats de la campagne du 2nd semestre, réalisée en octobre 2020 (S44) et répond aux exigences du cahier des charges initial, transmis lors de l'appel d'offre².

Le Mandataire est ici la SARL AQUA TERRA, représentée par Valérie VAILLET, aidé par deux partenaires majeurs : ACREM pour la partie Ichtyologique et BIOCENOSE MARINE pour la partie Benthique³.

¹ Ancienne Direction du Développement Durable des Territoires (DDDT)

² Avec le rajout d'une nouvelle station : ST12, près de l'îlot Ugo depuis juin 2009 et la suspension d'une station : ST10, près de l'îlot Kié de 2017 à 2019 sur demande de Vale NC (possédant l'accord de la DENV)

³ Les données fournies par ces deux sociétés, le sont sous leur entière responsabilité. La SARL AQUA TERRA ne peut être tenue à une quelconque implication dans leurs résultats

2 Objectif de l'étude

L'objectif de cette étude est d'effectuer un suivi de l'état des communautés coralliennes sur un ensemble de stations de mesures afin d'alimenter une base de données qui permettra de :

- Evaluer la variabilité naturelle des stations et d'optimiser l'effort d'échantillonnage par une étude de puissance ;
- Suivre dans le temps les effets potentiels des activités industrielles du projet Vale Nouvelle-Calédonie.

Ce suivi se fait à travers l'échantillonnage de 3 thèmes : l'habitat (le substrat), les macro-invertébrés épibenthiques (simplifié par la suite en « benthos ») et les poissons.

Pour le substrat, l'analyse temporelle doit permettre de montrer les variations entre les pourcentages de couverture corallienne, de végétaux, d'éponges,

Les pourcentages de substrat biotique et de substrat abiotique doivent également être mis en évidence.

L'échantillonnage du benthos doit permettre de montrer si des changements ont lieu sur des taxons cibles.

Enfin, l'échantillonnage des poissons doit permettre d'évaluer les variations de divers paramètres liés à la structure des populations ciblées, en relation avec l'impact potentiel de l'usine et de ses activités ou toute autre cause de changements.

L'analyse temporelle a été faite selon les données historiques disponibles des campagnes précédentes réalisées depuis 2007.

Du fait de la participation de 2 autres spécialistes (ACREM en ichtyologie et BIOCENOSE MARINE en benthos), une partie de leurs données ou commentaires généraux est reprise dans le corps du rapport.
Par ailleurs, leurs résultats sont retranscrits intégralement, sous leur responsabilité, dans les paragraphes concernés.

3 Méthodologie

Les méthodologies appliquées dans le cadre de cette étude ont rigoureusement respecté le cahier des charges élaboré sous contrôle de la DENV et fourni par Vale Nouvelle-Calédonie pour l'appel d'offre préalable à ce contrat.

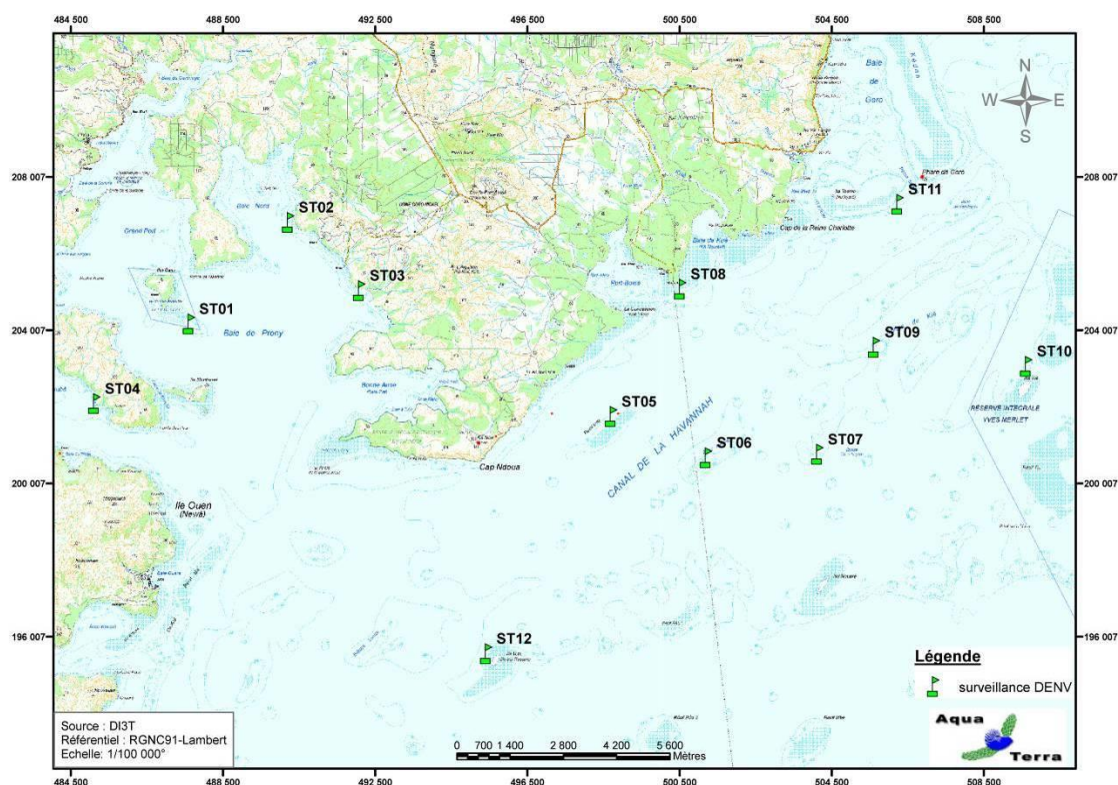
3.1 Zone d'étude

3.1.1 Contexte général

La zone d'étude générale comprend la zone principale du lagon pouvant être influencée par le projet (de manière directe ou indirecte) ainsi que des stations de référence.

C'est donc, dans le Sud de la Grande Terre : la baie de Prony, le canal Woodin et le canal de la Havannah.

Le contexte géographique général est présenté sur la [carte 01](#).



Carte 01 : Localisation des stations sur carte topographique (source DITT)

3.1.2 Présentation des stations

3.1.2.1 Les stations

Au début, l'étude portait sur les 11 stations de mesures prédéfinies.

A partir de la campagne de juin 2009, à la demande de la tribu de l'île Ouen, une station supplémentaire (ST12, Ugo) a été ajoutée.

Les 12 stations sont donc localisées ainsi :

- 7 + 1 = 8 stations dans le canal de la Havannah,
- 3 stations dans la baie du Prony,
- 1 station à l'entrée du canal Woodin.

De début 2017 à fin 2019, la ST10 n'a pas été échantillonnée (décision Client). Son suivi a repris avec la mission du 1^{er} semestre 2020.

Cette station est située dans la réserve intégrale Y. Merlet. Elle constitue du fait de sa préservation totale – elle est interdite d'accès - une véritable station de référence puisqu'elle n'est soumise à aucun facteur anthropique direct.

Elle est ainsi la seule station pouvant être considérée comme une véritable référence.

L'ensemble des 11 autres stations du réseau de suivi se trouvent dans la zone d'influence de l'usine et/ou de

l'émissaire du projet, pendant 3 ans, il n'y a pas eu de zone témoin.

→ La méthode de comparaison BACI n'était ainsi pas utilisable. Les statistiques ne peuvent se baser que sur des changements au cours du temps avec des modèles de type analyse de tendance en s'appuyant sur des séries de données assez longues [R33, R48].

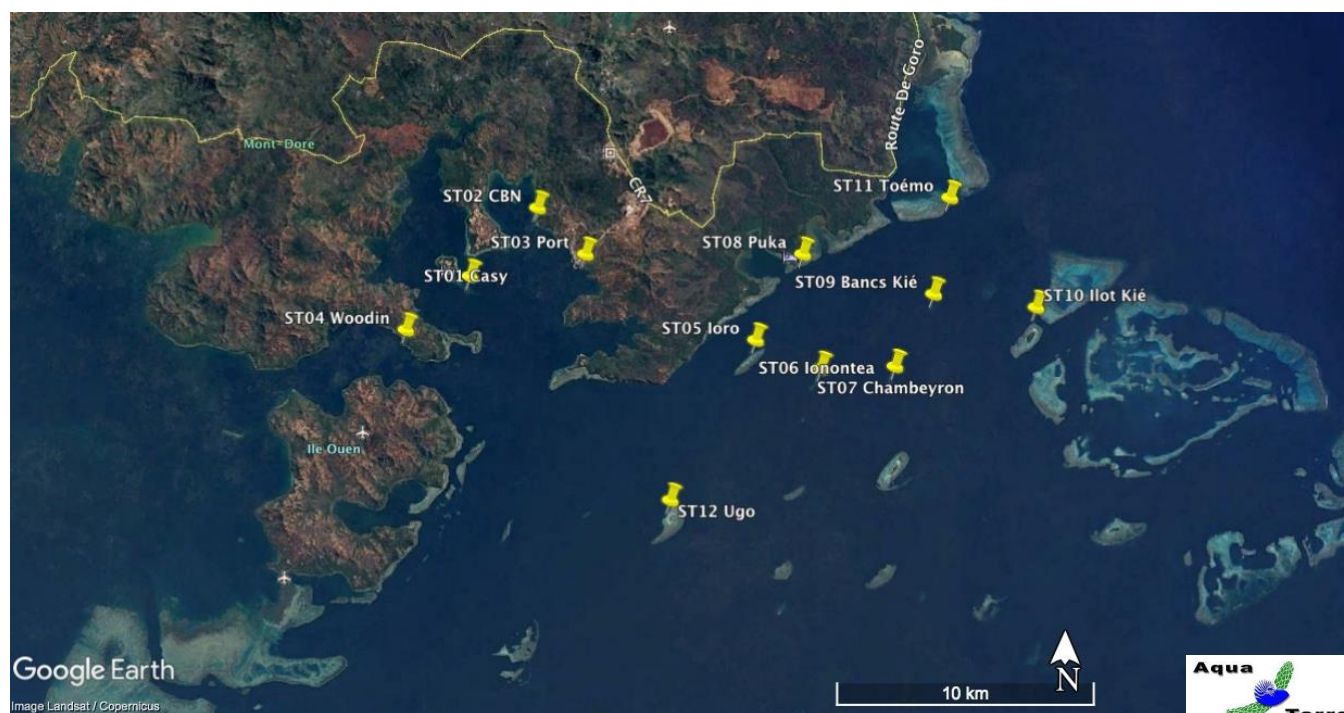
Par ailleurs, la réduction d'un élément du lot de stations du protocole expérimental de suivi, n'est pas sans influencer certains tests statistiques notamment les comparaisons globales temporelles.

Les coordonnées de ces stations sont données dans le [tableau 01](#) et elles sont positionnées sur la photographie aérienne en [carte 02](#).

Par défaut, elles correspondent au piquet de départ (0 mètre) du transect A.

Tableau 01 : Coordonnées des stations d'échantillonnage

STATIONS			Coordonnées (RGNC 91-93 Lambert)	
			LONGITUDE	LATITUDE
Baie de Prony	Ilot Casy	01	166°51.033	22°21.799
	Creek Baie Nord	02	166°52.546	22°20.356
	Port	03	166°53.639	22°21.312
Canal Woodin	Woodin	04	166°49.593	22°22.933
Canal de la Havannah	Récif Ioro	05	166°57.507	22°23.072
	Banc Ionontea	06	166°58.995	22°23.650
	Basse Chambeyron	07	167°00.671	22°23.591
	Récif pointe Puka	08	166°58.554	22°21.264
	Bancs de Kié	09	167°01.529	22°22.070
	Ilot Kié	10	167°03.862	22°22.324
	Récif Toémo	11	167°01.875	22°20.046
	Ugo	12	166°55.615	22°26.438



Carte 02 : Localisation des stations sur photographie aérienne (source Google Earth)

3.1.2.2 Les transects

En accord avec le cahier des charges de la méthodologie générale applicable pour le projet Goro Nickel et adapté aux caractéristiques morphologiques des stations, plusieurs transects ont été définis, comme décrits dans le [tableau 02](#).

Le cahier des charges prévoit de travailler sur des transects (ligne) de 20 mètres de long.

Ainsi, à chaque station, trois transects de 20 m sont positionnés, en fonction de la profondeur :

- sur le haut du tombant (noté A),
- sur le milieu du tombant (noté B),
- sur le bas du tombant (mais au maximum à 20 m de profondeur, et à l'exclusion des zones de vase et dans ce cas, le transect est effectué avant la zone de vase) (noté C).

Quatre stations n'ont que 2 transects (ST01, ST02, ST08 et ST12) et la profondeur de chacun des transects ([tableau 02](#)) provient des relevés *in situ*.

Tableau 02 : Caractéristiques des transects selon les stations

STATION	LOCALISATION	NOMBRE DE TRANSECTS	PROFONDEUR (m) DES TRANSECTS		
			A	B	C
01	Ilot Casy	2	7,5	10,5	-
02	Creek Baie Nord	2	10	11	-
03	Port	3	4,5	10	13,5
04	Woodin	3	4	11	20,5
05	Récif Ioro	3	5,5	10	20
06	Banc Ionontea	3	8,5	15,5	21,5
07	Basse Chambeyron	3	8	18	22
08	Récif pointe Puka	2	9	12	-
09	Bancs de Kié	3	8	17	20,5
11	Récif Toémo	3	6	10,5	20
12	Ugo	2	6	13,5	-

Pour matérialiser les transects, 3 piquets permanents ont été positionnés sur chacun : au départ, soit 0 m ; à 10 m et à la fin, soit 20 m. Par ailleurs un 2^{ème} piquet a été posé au point 0 m du 1^{er} transect (le plus haut).

Une station classique (avec 3 transects) peut donc être schématisée comme dans la [figure 01](#).

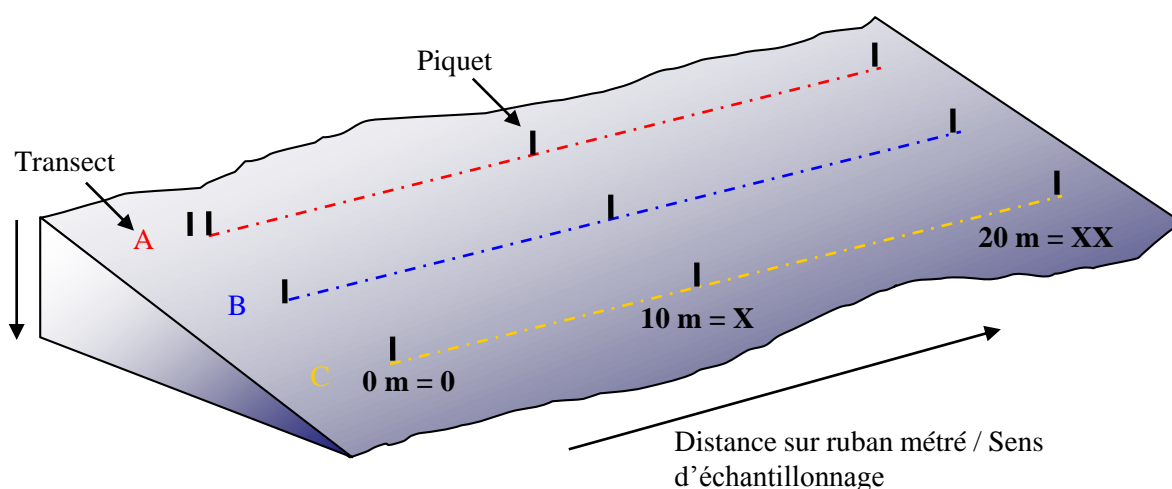


Figure 01 : Schéma théorique d'une station composée de 3 transects (A, B, C), de 20 m de long

Par mesure de commodité, dans la suite du rapport, les photos, figures etc. seront notées en abrégé par rapport à leur situation : le numéro de la station, la lettre du transect et le chiffre (en romain) de la longueur par rapport au ruban. Ainsi une photo prise sur le piquet de fin (à 20 m de distance) du transect du milieu de la station de Casy, sera abrégée en : ST01BXX.

3.2 Les travaux d'échantillonnage

3.2.1 Vérification des stations

Les travaux d'échantillonnages sur site peuvent être séparés en deux grandes phases :

- il faut au préalable localiser les stations sur le terrain (coordonnées GPS) et les vérifier sous l'eau,
- ensuite l'échantillonnage lui-même a été réalisé, selon le cahier des charges de la méthodologie générale applicable pour le projet Goro Nickel. La récolte des données a porté sur l'habitat (le substrat), le benthos et les poissons ainsi qu'en la réalisation de vidéos et de photos.

3.2.1.1 Positionnement

Les coordonnées des stations, ont été préalablement rentrées dans le GPS (appareil Garmin GPSmap 60CSx), dont la précision est métrique.

Une fois rendue sur place, l'équipe a vérifié la concordance entre ces coordonnées et les profondeurs aussi prévues selon les cartes, grâce au sondeur du bateau.

Une reconnaissance en PMT (palmes / masque / tuba, de la surface) a alors été effectuée afin de repérer les piquets marquant les transects de la station.

Les plongeurs emmènent à cette occasion une bouée qu'ils attachent au 1^{er} piquet (0 m) du 1^{er} transect haut (le A), afin de permettre la prise des coordonnées exactes par GPS.

Lorsque les transects sont éloignés les uns des autres, cette manœuvre est répétée pour chacun.

3.2.1.2 Matérialisation

La méthode de suivi temporel statistique retenue pour le projet Goro Nickel, exige que les échantillonnages soient toujours réalisés sur les mêmes zones.

Cette précision implique la matérialisation physique de la station sous l'eau.

Les stations avaient toutes été matérialisées en 2005 puis vérifiées ou rematérialisées en 2007 & 2008.

Elles sont, depuis, entretenues à chaque mission (remplacement des piquets quand nécessaire).

3.2.1.2.1 Organisation « matérielle »

Le parfait état du marquage des stations étant primordial pour un suivi temporel, les piquets absents, tombés, branlants, etc. ont été systématiquement remplacés (cf. [tableau 143](#) en [annexe n°02](#)).

Pour « planter » un piquet, les consignes importantes à respecter sont :

- choisir obligatoirement un substrat abiotique,
- enfoncés suffisamment les piquets pour que ceux-ci ne puissent plus bouger.

Pour la résistance à l'oxydation, au recouvrement par les organismes marins, ... et faciliter leur perception visuelle sous l'eau, les piquets employés pour cette campagne étaient en acier galvanisé dont les caractéristiques sont les suivantes :

- longueur : 2 mètres,
- diamètre : 12 mm,
- peinture de protection grise et bande de marquage visuel (20 cm) en haut orange fluo,
- une pointe effilée.

Pour placer à bonne distance les piquets, un ruban métré est déroulé.

3.2.1.2.2 Organisation « temporelle »

L'échantillonnage du substrat étant basé sur la méthode en continu sur une ligne fixe, il est primordial pour la fiabilité du suivi de retrouver les transects placés précédemment et de les entretenir.

Cependant, cette maintenance peut influencer sur la biocénose : les mouvements des plongeurs et le bruit occasionné par les coups sur les piquets peuvent perturber la faune pélagique (attraction ou au contraire fuite). Par ailleurs, selon le substrat, cet effort peut rendre la visibilité très mauvaise du fait de la mise en suspension de sédiments fins du fond.

Pour éviter de fausser les données d'échantillonnage, elle a donc été pratiquée en 2 temps :

- Une première plongée préalable a permis de rechercher et retrouver les stations et leurs transects et de vérifier soigneusement leur état. Les opérations de maintenance nécessaires ont alors été réalisées.
- La plongée d'échantillonnage a été effectuée ultérieurement.

3.2.2 Protocole pour l'étude du substrat

L'analyse temporelle doit permettre de montrer les variations entre les pourcentages de couverture corallienne, de végétaux, d'éponges,

Les pourcentages de substrat biotique et de substrat abiotique doivent aussi bien être mis en évidence.

Pour cela, c'est la méthode dite « LIT » qui a été appliquée.

La méthode du Line Intercept Transect (LIT) de English & al (1997) [R42] est largement utilisée par les experts locaux pour l'évaluation de l'état des peuplements récifaux et des organismes associés.

Cette méthode est dite à points fixes car seules les espèces et le substrat sous le transect sont notés.

Cette méthode permet d'évaluer la variabilité du substrat (suivi environnemental tous les semestres et/ou tous les ans). Cependant le LIT n'est pas représentatif de la biodiversité de la zone car les données présent en compte sont exclusivement celles sous le ruban.

L'évaluation du substrat a été faite le long du transect (sous le ruban) selon le principe des classes continues, avec une résolution de 10 cm.

Le principe est de noter à chaque changement de catégorie de substrat (= classe) la distance donnée par le ruban, comme schématisé dans la **figure 02** : le diagramme montre les points de transition (D) de chaque catégorie de substrat rencontré sous le transect. La différence entre deux points de transition est la "longueur" correspondante à cette catégorie.

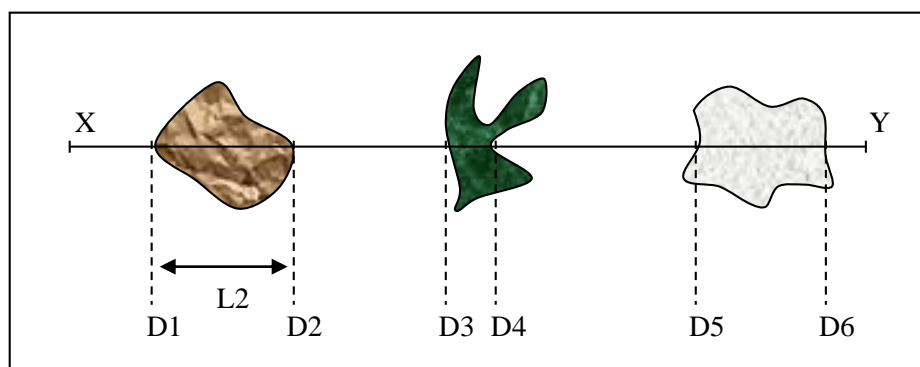


Figure 02 : Diagramme schématisique d'un transect

Les classes retenues (au nombre de 28) sont adaptées de celles préconisées par English et al. [R42] pour le « Line Intercept Transect » (« life forms »), et présentées dans le **tableau 141** en annexe n°01.

Une vidéo de chaque transect, ainsi que des photographies des objets représentatifs, ont été effectuées à des fins de stockage, permettant de revenir ultérieurement de façon qualitative sur des variations ayant été démontrées quantitativement avec le LIT.



3.2.3 Protocole pour l'étude du benthos

Cet échantillonnage doit permettre de quantifier la richesse spécifique (biodiversité) et de montrer si des

changements ont lieu sur **des taxons cibles** (cf. cahier des charges, [annexe n°01](#)).

Pour cela, c'est la méthode d'observation sur couloirs qui a été appliquée.

Le couloir fait une largeur de 5 mètres (2.5 mètres de part et d'autre de chaque transect de 20 mètres de longueur). Cette méthode donne une bonne représentation des communautés benthiques (inventaires faune et flore) car une zone importante est prospectée et étudiée (100 m² pour chaque transect soit 300 m² par station théorique).

Les taxons cibles retenus sont :

- les algues et phanérogames (présence / absence), à déterminer au niveau du genre,
- les étoiles de mer, les oursins et les holothuries (abondance), à déterminer au niveau de l'espèce,
- les crinoïdes (présence / absence),
- les clones (abondance),
- les bénitiers et les trocas (abondance).

Prestations complémentaires

1/ Listes d'inventaire détaillées et détermination au niveau taxonomique le plus bas possible

Par rapport au cahier des charges, le travail d'inventaire a été approfondi :

L'objectif proposé est de caractériser les assemblages et d'identifier les invertébrés et la flore benthiques qui contribuent le plus à la composition caractéristique unique de chaque récif.

Ainsi, la liste d'inventaire a été largement augmentée par rapport au cahier des charges. Les grands groupes d'organismes macrobenthiques (et non que les taxons cibles) ont été étudiés et leur identification a été réalisée au niveau taxonomique le plus bas possible *in situ* (sans prélèvement).

Jusqu'en novembre 2016, l'échantillonnage des stations comprenait donc : les communautés biotiques (les coraux durs dont les coraux scléactiniaires, les autres invertébrés et les macrophytes) et une description géomorphologique (le substratum).

Depuis la mission d'avril 2017 : suite aux restrictions budgétaires, Vale NC n'a pas élargie outre mesure les demandes du cahier des charges et les scléactiniaires ainsi que le substratum n'ont pas été étudiés.

Cependant, les inventaires de cette étude ne sont pas exhaustifs : de nombreuses espèces peuvent être identifiés directement sous l'eau avec certitude (ce qui nécessite une grande expertise de l'échantillonneur) au niveau du genre et de l'espèce (liste conservative) mais d'autres nécessitent d'être prélevées afin d'être observées à la binoculaire ou faire des analyses ADN (hors, aucun prélèvement n'a été réalisé pour cette étude).

L'identification s'est également appuyée sur divers ouvrages, guides de terrain et rapports [R74, R71, R72, R64, R66, R63] et la visualisation de toutes les photographies *in situ*.

Cependant, l'objectif proposé dans cette étude n'est pas de fournir une liste exhaustive de toute la diversité des récifs, mais d'évaluer l'état de santé des récifs, la composition des assemblages et d'identifier les invertébrés et la flore benthique qui contribuent le plus à la composition caractéristique unique de chacun d'eux. A travers ce travail, il est ensuite possible de réaliser une étude comparative à travers le temps et de cibler les potentiels changements de biocénoses benthiques selon les perturbations (naturelles ou anthropiques) des différents milieux.

Par ailleurs, la densité en organismes dans une zone d'étude étendue est difficile à évaluer précisément et peut conduire à de nombreuses erreurs. Aussi, afin de simplifier les opérations sous-marines et d'éviter les erreurs d'abondance, une échelle de recouvrement de 1 à 5 ([tableau 03](#)) a été mise en place au sein des groupes faunistiques suivant (détermination au niveau taxonomique le plus bas possible : générique et si possible spécifique) :

- Scléactiniaires, Millépores, Antipathaires, Gorgones, Stolonifères (coraux durs),
- Alcyonaires (coraux mous),
- Algues (macrophytes),
- Spongiaires,
- Ascidies,
- Mollusques (bivalves, gastéropodes, nudibranches),
- Echinodermes (étoiles de mer, oursins, holothuries, crinoïdes).

Cette échelle d'abondance a été modifiée par rapport à l'échelle d'abondance de English et al, 1997 [R42]. Elle a été élaborée afin de caractériser l'abondance spécifique ou générique des biocénoses marines. Ainsi les pourcentages de recouvrement ont été réduits pour les indices (numéroté de 1 à 5) afin de pouvoir décrire les

sclérentinaires, les macrophytes et les invertébrés sur l'ensemble de l'échelle.

Tableau 03 : Indices semi-quantitatifs d'abondance – cas classique

ECHELLE	RECOUVREMENT	ABONDANCE (nb individus ou colonies / 100 m ²)
1	Rare	1
2	Faible	2 à 10
3	Moyen	11 à 20
4	Fort	21 à 41
5	Important	plus de 41

Certains genres de sclérentinaires (coraux durs) s'édifient en de grandes colonies de plusieurs mètres carrés (en particulier les formes massives, *Porites* spp., *Lobophyllia* spp., *Platygyra* spp., *Diploastrea heliopora*). Une seule de ces colonies peut ainsi construire un massif atteignant jusqu'à 10 mètres de diamètre. Dans ce cas, le fait d'indiquer le nombre de colonies n'a pas de sens. Pour ces espèces, une échelle paramétrée supplémentaire de 1 à 5 tient compte des mètres carrés colonisés par les colonies sur le couloir (pourcentage de recouvrement) (tableau 04).

Tableau 04 : Indices semi-quantitatifs d'abondance – présence de grandes colonies (plusieurs m²)

ECHELLE	RECOUVREMENT	ABONDANCE (surface / 100 m ²)
1	Rare	< 0.5% (soit < 0.5 m ² / 100 m ²)
2	Faible	> 0.5% (soit > 0.5 m ² / 100 m ²)
3	Moyen	> 5% (soit > 5 m ² / 100 m ²)
4	Fort	> 10% (soit > 10 m ² / 100 m ²)
5	Important	> 15% (soit > 15 m ² / 100 m ²)

Des photographies et des vidéos ont été réalisées afin d'illustrer les observations terrain.

2/ Evaluation du blanchissement

Si les espèces recensées sont influencées par le blanchissement, elles sont alors mises en valeur dans les tableaux d'inventaire taxonomique par un surlignage de couleur rouge et une échelle de degré de blanchissement (numérotée de B1 à B5) est annotée à côté de l'abondance (cf. tableau 05).

Tableau 05 : Degré de blanchissement pour une espèce (/ 100 m²)

ECHELLE	DEGRE DE BLANCHISSEMENT	ABONDANCE (nb individus ou colonies / 100 m ²)
B1	Présence de blanchissement	1
B2	Blanchissement faible	2 à 10
B3	Blanchissement moyen	11 à 20
B4	Blanchissement fort	21 à 40
B5	Blanchissement important	41 et plus

Par ailleurs, une estimation du pourcentage de blanchissement par estimation visuelle est aussi donnée (% de recouvrement sur le couloir de 100 m²).

Jusqu'en novembre 2016, le blanchissement corallien spécifique était noté, en liant avec l'inventaire des coraux. Depuis la mission d'avril 2017 : suite aux restrictions budgétaires, Vale NC n'a pas élargie outre mesure les demandes du cahier des charges et les sclérentinaires n'étant plus inventoriés, le blanchissement n'a été évalué que par estimation visuelle du recouvrement.

3/ Les autres indicateurs à suivre

En plus des éléments cités ci-dessus, les plongeurs ont relevé tous les autres indices (négatifs ou positifs) pouvant permettre d'affiner le diagnostic de l'état de santé du milieu, notamment :

- Les cyanobactéries qui font l'objet d'un suivi de leur abondance, de leur localisation et des substrats recouverts
- Les espèces corallivores (prédatrice de coraux), qui sont particulièrement surveillées
- Les espèces exogènes et/ou envahissantes qui sont recherchées
- Le blanchissement des espèces coralliennes est noté et quantifié, au niveau de tous les taxons observés (B1 à B5) (*indicateur non relevé depuis la mission d'avril 2017*)
- Le recouvrement de coraux blanchis est également estimé (pourcentage visuel de blanchissement de la surface récifale étudiée)
- Les maladies coralliennes (particulièrement la maladie de la bande blanche et les anomalies de croissance) sont notées au niveau de tous les taxons observés
- Les perturbations récifales : dégradations mécanique et hyper sédimentation sont relevées.

3.2.4 Protocole pour l'étude des poissons

Ce protocole doit permettre d'évaluer les variations de divers paramètres liés à la structure des populations ciblées, en relation avec l'impact potentiel de l'usine et de ses activités ou toute autre cause de changements.

Pour cela, c'est la méthode dite des Transects à Largeur Variable « TLV » qui a été appliquée.

Les poissons sont échantillonnés par comptage visuel sous-marin comme précisé dans la [figure 03](#) : un ou deux plongeurs progressent le long du transect et comptent les espèces retenues de part et d'autre.

Au cours de cette opération les plongeurs notent pour chaque espèce le nombre d'individus et estiment leur taille et leur distance perpendiculaire au transect.

Lorsque que les individus d'une même espèce sont en banc, le plongeur note la distance du poisson le plus proche (D1) et la distance du poisson le plus éloigné (D2).

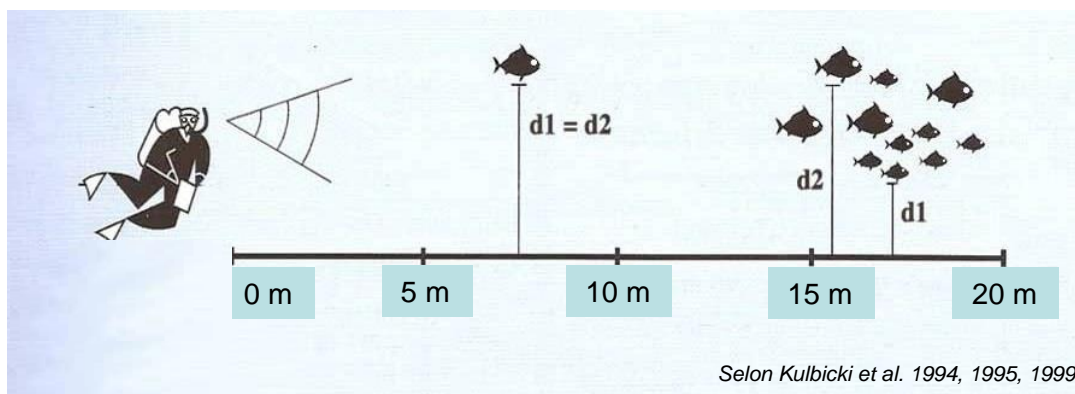


Figure 03 : Comptage visuel des poissons : méthode des transects à largeur variable

Les poissons qui doivent être comptabilisés sont listés dans le [tableau 142](#) de l'[annexe n°01](#).

Ils correspondent aux taxons indicateurs de la santé des récifs, ainsi qu'aux espèces comestibles.

Le fait d'utiliser le TLV dans le cas présent est critiquable pour plusieurs raisons.

Les raisons en sont développées en [annexe 03](#) du rapport de la mission de novembre 2016 [R23].

Un résumé des limites du protocole est rappelé ci-dessus :

La collecte des données *in situ* est faite par estimation visuelle en plongées [R51]. Le cahier des charges de la DENV impose donc la méthode des Transects à Largeurs Variables (TLV [R58]) pour le suivi poissons. Toutefois, ce même cahier des charges demande à ce que les transects d'une station soient parallèles entre eux ce qui en pratique est incompatible avec le TLV. En effet, les transects ont été placés à quelques mètres les uns des autres si bien que les distances de visibilité se chevauchent largement. De plus, le TLV préconise des transects de 50 m, or le cahier des charges fixe leur longueur à 20 m. Cette faible longueur amplifie la variabilité des comptages déjà très variables par

nature.

Tout cela, fait que les données obtenues correspondent à des indices d'abondances très approximatifs et oblige à considérer, non pas les estimations par transect mais une moyenne par station.

Prestations complémentaires

1/ Liste complète

Le biologiste responsable de cet échantillonnage est spécialisé en écologie marine et notamment dans les poissons récifaux. Il a donc échantillonné l'ichtyofaune pour toutes les espèces présentes.

2/ Zone complète

Par ailleurs la superficie échantillonnée a été agrandie à la station complète et non seulement aux seuls transects : Les poissons ont donc été repérés sur une surface de 25 ares environ. Elle comprend la zone où ont été placés les transects et deux zones équivalentes de part et d'autre de cette dernière. Le plongeur se déplace lentement en notant les nouvelles espèces et cesse lorsque plus aucune nouvelle espèce n'est repérée depuis au moins 5 mn. Il peut donc repérer des espèces supplémentaires sur la zone des transects, espèces qui étaient restées invisibles depuis la ligne matérialisée par le ruban métré - où se tient obligatoirement le plongeur qui réalise un TLV - et repérer également des espèces du voisinage qui dans d'autres conditions auraient pu se trouver sur le transect. Ce complément de biodiversité permet de limiter les erreurs d'interprétation des « absences » faites à partir de la biodiversité de la première partie.

3.3 Période d'échantillonnage

La mission terrain a été déclenchée par la date de l'appel d'offre puis celle de la commande du présent contrat. La période a été ensuite ajustée en fonction des coefficients de marée ainsi que de la lune (vives eaux ou mortes eaux) (détails dans les tableaux de l'[annexe n°02](#)).

Pour cette mission, l'échantillonnage a été effectué en octobre 2020 (S44).

Les paramètres de chaque plongée ont été notés par la personne de surface, au fur et à mesure. Ils comprenaient notamment (liste non exhaustive) :

- le numéro de la station,
- le nom du site,
- les coordonnées de la station en degrés, minutes et dixièmes de minute pour la longitude et pour la latitude,
- la date de la plongée,
- l'heure du début de la plongée sur la station,
- les conditions météorologiques lors de cette mission (vent, force et direction, pluie ou ensoleillement),
- la profondeur maximale et le temps de plongée,
- l'horaire des marées et les coefficients,
- le courant, la force approximative et la direction,
- la houle ou les vagues et le ressac qui peuvent gêner la mission,
- la visibilité,
- l'état de la station, la maintenance effectuée et les difficultés ou remarques éventuelles,
- la tâche effectuée par l'équipe et par chaque personne.

Ces données ont été regroupées dans un rapport de plongée présenté dans l'[annexe n°02](#).

Des photos représentatives des différentes étapes de la mission d'échantillonnage sont présentées en [photographie 01](#).



Mise en place d'un piquet



Piquets doublés en début de transect A avec le ruban métré déroulé



Echantillonnage poissons



Echantillonnage LIT



Echantillonnage benthos



Prise de vidéo

Photographie 01 : Différents stades de travail in situ

3.4 Le traitement des données

3.4.1 Pour le substrat

Comme vu au § 3.2.2, le principe d'échantillonnage par LIT est de noter à chaque changement de catégorie de substrat (= classe) la distance donnée par le ruban. La différence entre deux points de transition est alors la « longueur » correspondante à cette catégorie.

Le traitement consiste ici à faire le calcul du pourcentage de recouvrement de chaque classe, qui est obtenu par la somme de « ses longueurs » divisée par la longueur du substrat multipliée par 100, comme montré dans l'exemple du tableau 06 (qui se réfère à la figure 02).

Tableau 06 : Exemple de calcul pour le recouvrement du substrat

DISTANCE	LONGUEUR	CLASSE
X - D1	L1 = D1-0	S
D1 - D2	L2 = D2-D1	RC
D2 - D3	L3 = D3-D2	S
D3 - D4	L4 = D4-D3	MA
D4 - D5	L5 = D5-D4	S
D5 - D6	L6 = D6-D5	DC
D6 - Y	L7 = Y-D6	S

Ainsi, par exemple, le pourcentage de couverture en sable (S) = $(L1+L3+L5+L7) / XY * 100$

Les classes qui sont au nombre de 28 (tableau 141 en annexe n°01) ont été regroupées en 12 principales composantes comme montrées aussi dans ce tableau, afin de pouvoir simplifier les interprétations.

Ces composantes reprennent les groupes faunistiques (coraux scléactiniaires, autres coraux, alcyonaires, autres organismes, algues, algues sur corail mort) ainsi que le matériel composant le substrat (corail mort, débris, sable, dalle, vase, eau).

Elles sont alors exprimées en pourcentages pour chaque transect et présentées sous forme de graphiques pour permettre une comparaison visuelle rapide.

Les comparaisons insistent sur les rapports entre :

- Corail vivant / Corail mort ;
- Corail vivant / Algues + autres invertébrés ;
- Abiotique total / Biotique total, dont Coraux scléactiniaires.

3.4.2 Pour le benthos

La recherche de paramètres écologiques types (et représentatifs) ont été réalisés sur les taxons cibles :

- listing au niveau taxinomique demandé,
- richesse spécifique (le cas échéant),
- abondance (semi-quantitative).

Ces résultats seront comparés entre les transects, les stations et les sites.

Par ailleurs, afin de pouvoir évaluer rapidement le changement d'état d'une station d'une mission à une autre (recrutement, mortalité, blanchissement et abondance), un code couleur simple a été établi, comme décrit dans le tableau 07.

Tableau 07 : Code couleur pour la comparaison temporelle de chaque transect

Nouvelle espèce recensée	Recrutement si la colonie est juvénile et/ou nouvelle espèce recensée dans le couloir ou la zone prospectée par rapport à la dernière mission
Mortalité	Espèce absente dans le couloir par rapport à la dernière mission
Blanchissement	Espèce influencée par le blanchissement et de couleur blanche
Espèce cible	Espèce cible (biocénoses benthiques hors coraux durs)
Echelle (1 à 5)	Augmentation de l'abondance par rapport à la dernière mission
Echelle (1 à 5)	Diminution de l'abondance par rapport à la dernière mission
Echelle (1 à 5)	Pas de changement de l'abondance par rapport à la dernière mission

Prestations complémentaires

Le biologiste responsable de cet échantillonnage est spécialisé dans l'inventaire des biocénoses benthiques marines et particulièrement en taxonomie corallienne. Il a donc échantillonné le milieu pour tous les organismes (liste conservative) et ce, jusqu'au niveau taxinomique le plus bas possible.

La restitution des données comprend donc aussi :

- La liste taxinomique des biocénoses benthiques (liste conservative)
- Les tableaux (biodiversité) des groupes biotiques par sites, stations et transects
- Les tableaux (abondance) des groupes biotiques par transect
- Les tableaux de variations spécifiques des biocénoses et de l'état de santé des coraux scléactiniaires entre 2 missions
- Les particularités et commentaires des biocénoses benthiques
- La liste d'espèces classées sur la liste rouge de l'UICN
- L'analyse des indicateurs de l'état de santé des récifs :
 - a) Coraux scléactiniaires (recrutement, mortalité, maladies),
 - b) Blanchissement corallien en termes de nombre d'espèces et de recouvrement (en %),
 - c) Espèces cibles (a minima Cyanobactéries, *Drupella cornus*, *Acanthaster planci*, *Culcita novaeguineae*, *Cliona orientalis* et *C. jullieni*).

Les données sont comparées aux missions précédentes.

La grille de lecture des tableaux de variations entre 2 missions (mission actuelle vs mission précédente) est donnée dans le **tableau 08**. Pour cette étude, il est fait une différence entre les Biocénoses* et les Coraux*.

Tableau 08 : Grille de lecture des tableaux de variations de la composition du benthos

Glossaire des tableaux comparatifs de l'évolution de biodiversité, d'abondance et de l'état de santé	
Biocénoses	Ensembles des espèces vivantes coexistant dans un espace défini
Biocénoses*	Englobe l'ensemble des espèces benthiques hors Coraux* à exosquelette
Coraux*	Coraux à exosquelette (scléactiniaires, millépores, antipathaires, gorgones, stolonifères)
n	Nombre d'espèce
i	Degré d'abondance compris entre 1 et 5 (échelle semi-quantitative relative au nombre de colonie par unité de surface)
A	Abondance (nombre de colonie par unité de surface)
B	Blanchissement (nombre de colonies blanchies par unité de surface)
Genre espèce	Identification se référant à la liste taxonomique
sp.	Spécimen sans identification spécifique
spp.	Plusieurs spécimens du même genre mais pas de la même espèce sans identification spécifique
• Evolution de la richesse spécifique des Coraux* et des Biocénoses*	
Genre sp. (+n spp.)	n espèce(s) du genre cité ont nouvellement été recensée(s)
Genre sp. (-n spp.)	n espèce(s) du genre cité ont disparu
• Variation d'abondance « A »	
Ai	L'espèce est abondante au degré « i » compris entre A1 à A5
ΔAi /+ x	L'espèce est abondante au degré « i » mais a augmenté d'abondance de «+x» degré(s) depuis la mission précédente
ΔAi /- x	L'espèce est abondante au degré « i » mais a diminué d'abondance de «-x» degré(s) depuis la mission précédente
• Blanchissement corallien « B »	
n blanchies	Nombre d'espèce(s) blanchie(s)
% d'espèces blanchies	(n espèces scléactiniaires blanchies / n espèces scléactiniaires)*100
Bi	L'espèce est blanchie au degré « i » compris entre B1 à B5
• Evolution du nombre d'espèce(s) blanchie(s)	
N	Espèce nouvellement blanchie depuis à la mission précédente
+n spp. B*	Augmentation du nombre d'espèces blanchies au sein d'un genre
-n spp. B*	Diminution du nombre d'espèces blanchies au sein d'un genre
• Evolution du degré de blanchissement	
ΔB +i	Le blanchissement de l'espèce a augmenté de « i » degré(s) depuis la mission précédente (le degré actuel apparait dans les espèces blanchies)
ΔB -i	Le blanchissement de l'espèce a diminué de « i » degré(s) depuis la mission précédente (le degré actuel apparait dans les espèces blanchies)
∞	Espèce toujours blanchie mais pas de changement par rapport à la dernière mission
Øβ	L'espèce n'est plus blanchie par rapport à la mission précédente

Jusqu'en novembre 2016, l'échantillonnage des stations comprenait aussi les scléactiniaires.

Depuis la mission d'avril 2017 : suite aux restrictions budgétaires, Vale NC n'a pas élargie outre mesure les demandes du cahier des charges et les scléactiniaires n'ont pas été étudiés. La liste des biocénoses et leur description ne concernent que les invertébrés hors coraux durs.

Approche statistique

L'approche statistique s'est intéressée à la variation de la biodiversité α dans le temps, en considérant que la biodiversité α d'une station la caractérise.

Ce rapport présente les résultats obtenus lors de la dernière mission sur le peuplement benthique (coraux à exosquelette, invertébrés hors coraux durs et macrophytes) et les compare aux résultats des missions précédentes qui lui sont comparables.

Deux analyses statistiques sont proposées : par Anovar et le test de Friedman.

ANOVAR (comparaisons temporelles) : La prise en considération de l'ensemble des transects et stations de la zone donne une série statistique exploitable et permet une analyse temporelle. Toutefois, la puissance de cette analyse est lourdement entravée :

- 1) par l'amélioration du protocole au fur et à mesure des missions,
- 2) par un choix de stations très hétérogènes : baie de Prony *versus* canal Woodin et canal de la Havannah. Les stations du canal de la Havannah montrent également une grande hétérogénéité des paramètres environnementaux (stations sur des bancs à fort courant, stations exposées aux alizés et d'autres au contraire protégées à plus faible hydrodynamisme).

Test de Friedman (test de rang) : Le test de Friedman a dans le cas présent plus d'intérêt que celui de Kruskal & Wallis. Ce test, appelé «test en blocs aléatoires complets», a pour préalable d'ordonner les résultats des différents traitements à l'intérieur de chaque bloc préétablis.

Ici, sera considéré que les « traitements » sont les conditions environnementales propres à chacune des années de la série historique et que les « blocs » sont les transects qui sont chaque année réévalués, et dans ce cas, ce sera une analyse en colonnes :

$$\chi^2_{\text{obs}} = 12/pq(p+1) \cdot \sum Y_i^2 - 3q(p+1)$$

p et *q* désignant respectivement le nombre d'années (donc de colonnes) et le nombre de transects (donc de lignes).
Le degré de liberté *ddl* = *p*-1 pour l'analyse par années

L'hypothèse (H_0) du test est de s'assurer que les variations observées de mission en mission au niveau de chacune des stations sont bien aléatoires et donc pour chacune, le fruit du hasard et non qu'il existerait au cours du temps, une tendance globale à la hausse ou à la baisse des valeurs des paramètres choisis pour caractériser ces stations.

Les données quantitatives sont obtenues sans réplicat et sont donc sans intervalle de confiance. Les stations ne peuvent donc être comparées individuellement, ni entre elles, ni d'une année sur l'autre.

Seule la considération de l'ensemble des stations de la zone comme une série statistique permet le calcul d'un intervalle de confiance. Avec ce subterfuge la comparaison temporelle de la zone (et uniquement temporelle) peut alors être faite. Toutefois, la puissance de cette analyse est lourdement entravée par l'hétérogénéité des stations et les fortes variances que cette hétérogénéité entraîne.

3.4.3 Pour les poissons

Analyse des données

Les résultats des comptages par TLV reprennent la nomenclature et l'orthographe des espèces, des genres et des familles de Randall J. E. [R65] ou Fish Base [R77].

Le nom des familles est abrégé dans les différents tableaux, tel que défini dans le [tableau 09](#).

Tableau 09 : Lexique des abréviations des familles

FAMILLES	ABREVIATIONS	FAMILLES	ABREVIATIONS	FAMILLES	ABREVIATIONS
Acanthuridae	Aca	Fistulariidae	Fist	Ostraciidae	Ost
Anthiidae	Ant (Serranidae)	Gobiidae *	Gob	Pempheridae	Pem
Apogonidae	Apo	Grammistidae	Gra (Serranidae)	Pinguipedidae	Pin
Atherinidae	Ath	Haemulidae	Hae	Platacidae	Pla
Aulostomidae	Aul	Holocentridae	Hol	Plesiopidae	Ple
Balistidae *	Bal	Kyphosidae	Kyp	Pomacanthidae	Poc
Blenniidae *	Ble	Labridae *	Lab	Pomacentridae *	Pom
Caesionidae	Cae	Latridae	Lat	Priacanthidae	Pri
Canthigasteridae *	Can	Leiognathidae	Lei	Pseudochromidae *	Pse
Carangidae	Car	Lethrinidae	Let	Ptereleotridae	Pte
Carcharhinidae	Cac	Lutjanidae	Lut	Scaridae	Sca
Centriscidae	Cen	Malacanthidae	Mal	Scombridae	Scr
Chaetodontidae	Cha	Microdesmidae	Mic	Scorpaenidae *	Sco
Cirrhitidae	Cir	Monacanthidae	Mon	Siganidae	Sig
Dasyatidae	Das	Mullidae	Mul	Sphyraenidae	Sph
Diodontidae	Dio	Muraenidae	Mur	Synodontidae	Syn
Dussumieriidae	Dus	Myliobatidae	Myl	Tetraodontidae	Tet
Echeneidae	Ech	Nemipteridae *	Nem	Uranoscopidae	Ura
Ephippidae	Eph	Ophidiidae	Oph	Zanclidae	Zan
Epinephelinae	Epi (Serranidae)				

Les familles retenues par la DENV (cahier des charges) sont en caractères gras

* Familles dont les espèces de ne sont pas toutes retenues au cahier des charges DENV

La densité et la biomasse des poissons sont calculées selon les formules théoriques suivantes :

$$\text{- Densité (poissons/m}^2\text{)} = \mathbf{D} = (2L)^{-1} \sum_{i=1}^p n_i d_i^{-1}$$

$$\text{- Biomasse (g/m}^2\text{)} = \mathbf{W} = (2L)^{-1} \sum_{i=1}^p w_i d_i^{-1}$$

Où :

- L : longueur du transect (20 m)
- n_i : nombre d'individus de l'espèce i
- w_i : poids de l'espèce i (g) (de l'espèce i : donc de tous les individus i de cette espèce)
- d_i : distance moyenne de l'espèce i au transect (m)
- p : nombre d'espèces.

Le poids des individus (en g) a été estimé d'après leur taille en utilisant une relation d'allométrie taille-poids, du type :

$$w_i = a l_i^b$$

Où :

- l_i = longueur du poisson
- a et b = variables

Ces variables sont des coefficients mis au point par Kulbicki & al. [R56] pour environ 350 poissons du lagon. Ils sont utilisés couramment et notamment par la CPS dans le logiciel de traitement qu'ils ont élaboré.

Donc, dans le cas présent, par rapport aux tableaux et aux variables qui sont présentés, voici un exemple de calcul (tableau 10).

Tableau 10 : Exemple de calcul pour « poisson »

Espèce	Nombre (ni)	Longueur (li) cm	Poids (wi) g	D1	D2	Surf m ²	Densité (D) / m ²	Biomasse (W) g/m ²	a	b
<i>Pomacentrus aurifrons</i>	20	3	15,52	1	1,5	25	0,8	0,621	0,028	3,02

ni = nombre de poissons observés de cette espèce = 20

li = longueur moyenne de chaque individu = 3 cm

wi = poids de tous les individus de cette espèce = $(0.028 * 3^{3.02}) * 20 = 15.52$ g

D1 et D2 sont les distances minimale et maximale des individus observés = 1 m et 1.5 m

Surf = surface d'échantillonnage = $d_i * L = (1+1.5) / 2 * 20 = 25$ m²

D = densité eg. le nombre de poissons par m² = $20 / 25 = 0.8$ individu au m²

W = biomasse = $15.52 / 25 = 0.621$ g/m²

La stabilité spatiale et temporelle des résultats sur la zone est alors testée par des analyses paramétriques (ANOVA) et des analyses non-paramétriques de type χ^2 de Pearson et dérivés (tests de rangs de Friedman et de Kruskal-Wallis).

Une critique des méthodes employées pour l'analyse des données est présentée en annexe 03 du rapport de la mission de novembre 2016 [R23].

Prestations complémentaires

Le biologiste responsable de cet échantillonnage est spécialisé en écologie marine et notamment dans les poissons récifaux. Il a donc échantillonné l'ichtyofaune pour toutes les espèces.

En effet, en notant les effectifs de chacune des espèces rencontrées, il est possible (en plus) de calculer la biodiversité par station ce qui permet d'obtenir les **biodiversités alpha, bêta et gamma** sur la zone ; ainsi que l'**équité** (Indice de Shannon relatif)⁴.

Dans l'ensemble des résultats, quand cela n'est pas précisé, les calculs ont été fait d'après le listing simplifié du cahier des charges (tableau 142 de l'annexe n°01).

Présentation des données

Les données recueillies sont présentées par station avec un rappel des résultats des missions précédentes.

Chaque fiche-station se décline selon 4 tableaux :

- Un premier tableau donne les **résultats quantitatifs obtenus sur les TLV** (Densité et Biomasse/m²) et la Biodiversité relative à la liste du cahier des charges de la DENV.

Ce tableau présente une moyenne pour la station.

En effet, nous avons au cours des rapports précédents montré que la proximité des transects les uns par rapport aux autres, ne permettait pas d'isoler, dans le peuplement de la station, les individus par tranche bathymétrique et donc par transect. La majorité des espèces, notamment les plus grosses (loches, dawas, carangues, etc.), n'ont pas de préférence bathymétrique sur l'intervalle de profondeurs des stations, c'est-à-dire entre 4 et 20 m. Seules, de petites espèces sont inféodées à la profondeur – essentiellement entre la surface et 5 m et au-delà de 5 m – mais la plupart d'entre-elles ne figurent pas sur la liste de la DENV (gobies, blennies, syngnathes, parapercis, etc.).

⁴ L'indice de Shannon est fondé sur la théorie de l'information qui considère 2 composantes de la diversité : le nombre d'espèces et la régularité de leur distribution de fréquence. Il mesure "l'indétermination" de l'échantillonnage. C'est-à-dire l'indétermination d'un tirage limité d'individus dans un ensemble qui en contient beaucoup.

L'indice d'Équité équivaut à la répartition des effectifs entre S espèces présentes. L'indice varie entre 0 et 1. Il tend vers 0 quand la quasi-totalité des effectifs appartient à 1 seule espèce. Il tend vers 1 lorsque toutes les espèces ont la même abondance. Il est calculé en fonction de l'indice de Shannon (il est donc l'indice de Shannon de la zone exprimé relativement à sa valeur maximale, celle qu'il pourrait au maximum avoir sur cette zone et qui correspond à la situation où toutes les espèces présentes sont en effectif identique).

La biodiversité est une donnée semi-quantitative

On définit 3 niveaux de biodiversité :

La biodiversité dite α est le nombre d'espèces n présentes sur une station.

$$B_{\alpha_i} = n_i$$

La biodiversité β (B_{β}) est la diversité des valeurs de diversités α ;

La biodiversité γ (B_{γ}) est la biodiversité totale de la zone

$$B_{\gamma} = \cup B_{\alpha_{iii}}$$

- Un second tableau donne **l'ensemble des espèces** (c'est-à-dire qui appartiennent ou non à la liste DENV) repérées sur la station.
- Un troisième tableau regroupe **les espèces (liste DENV) en familles** et donne une comparaison des structures par famille depuis 2007.

Attention : Fort des remarques pertinentes de la mission INERIS nous avons modifié cette comparaison. Celle-ci se faisait à l'aide d'un χ^2 de Pearson global, en ce sens qu'il portait sur l'ensemble des données obtenues depuis 2007. Le tableau ainsi analysé comportait un grand nombre de 0 et un grand nombre de valeurs < 5 , soit deux travers qui nuisent à la signification du test.

Nous procéderons dorénavant à une transformée de variables en mettant à profit la série de données obtenue depuis 2007, et cela de la manière suivante :

Supposons qu'à une mission donnée, 13 espèces de Pomacentridés aient été observées sur une station particulière Sti et que sur toute la série historique 55 espèces aient été observées sur cette Sti - bien que le lagon néocalédonien en contienne 93. La valeur 13 sera alors transformée en la rapportant à son maximum possible (55) soit 23,6 (%).

En revanche, s'il s'agit des Siganidae, qui ne sont que 12 espèces en Calédonie et 10 dans le sud, à supposer que sur cette même Sti, 6 aient été dénombrées le même mode de transformation aboutira à la valeur 60 (%).

Notons que ces nouvelles valeurs ne sont pas de véritables % ce qui obérerait l'utilisation raisonnable d'un test de χ^2 . En effet, elles ne correspondent pas à des pourcentages pour la mission j à la station i, mais pour l'item Pomacentridae, Siganidae, etc., à la Sti... leur somme ne fait d'ailleurs pas 100 sur la Sti. Ces valeurs sont donc indépendantes et répondent aux critères d'utilisation du test de χ^2 .

En substance cette transformation a plusieurs avantages :

1° - Elle gomme les disparités naturelles entre familles. En effet, dans l'exemple précédent 13 espèces de Pomacentridés a l'air d'être une valeur forte par rapport à la valeur 8 des espèces de Siganidae. Mais en fait, si l'on considère que ces dernières ne peuvent pas dépasser 10 sur notre aire de surveillance et même 12 pour le lagon calédonien tout entier, alors que les Pomacentridés sont 55 sur cette aire de surveillance et 93 sur l'ensemble du lagon, il apparaît alors que les Siganidae sont mieux représentés que les Pomacentridés... ce qui est correctement traduit par la nouvelle variable.

2° - Elle réduit considérablement le nombre de zéros et de valeurs faibles (i.e. < 5), et écarte ainsi le risque d'avoir une matrice de données dégénérée.

3° - Elle procure des valeurs indépendantes qui peuvent donc être traitées par des tests statistiques.

- Un quatrième tableau reprend **l'historique de l'ensemble des données quantitatives**, auquel fait suite leurs **représentations graphiques**.

Comparaison des données

Afin d'apprécier l'« état » du milieu marin 2 indices synoptiques ont été créés. Ils sont calculés à partir des paramètres de densité, de biomasse et de biodiversité et permettent une appréciation globale de la qualité du peuplement au niveau de chacune des stations (IAS) pour l'un, et de l'ensemble de la zone durant le semestre écoulé (IGm) pour l'autre.

L'Indice Annuel d'une Station (**IAS**) est la moyenne des valeurs de Densité, Biomasse et de Biodiversité 1 obtenues à cette station.

L'Indice Global de mission (**IGm**) est la moyenne des valeurs moyennes de Densité, Biomasse et Biodiversité 1 obtenues sur toutes les stations lors de la mission du présent rapport.

Dans les deux cas la Biodiversité est pondérée par 2 :

$$I = (\text{Densité} + \text{Biomasse} + 2 * \text{Biodiversité}) / 4$$

Ces indices utilisent les mesures des paramètres demandés au cahier des charges (densité, biomasse et biodiversité 1) et tiennent compte des ordres de grandeur attendues dans chacune des deux zones : la baie de Prony et le Canal de la Havannah séparément, puisqu'elles sont par nature différentes (cf. [tableau 11](#)). Ainsi, il faut deux grilles de cotation. L'une est propre aux stations de la baie de Prony et l'autre aux stations du canal de la Havannah.

En effet, par nature, les valeurs des 3 paramètres ne peuvent atteindre en baie de Prony, l'ordre de grandeur des valeurs atteintes dans le canal de la Havannah. Si la même grille été appliquée, les stations de la baie Prony seraient toujours en rouge et cette grille ne serait pas informative.

Ils sont ensuite associés à une échelle de cotation allant de 1 à 4 à laquelle est associé un code couleur (cf. tableau 12).

Tableau 11 : Clé de calcul des Indices ichtyologiques

Baie de Prony	Densité (ind./m ²)	0,00 - 0,49	0,50 - 1,09	1,10 - 1,69	≥ 1,70
	Biomasse (g/m ²)	0 - 10	11 - 20	21 - 40	≥ 40
	Biodiv.(1)	0-7	8 - 15	16 - 24	≥ 25
Canal de la Havannah	Densité (ind./m ²)	< 1,00	1,00 - 1,99	2,00 - 3,00	> 3,00
	Biomasse (g/m ²)	< 100	100 - 199	200 - 400	> 400
	Biodiv.(1)	< 20	20 - 29	30 - 55	> 55
Indice & Code couleur Qualificatif		1 à 1,50 Mauvais	1,75 à 2,25 Médiocre	2,50 à 3,25 Bon	> 3,25 Très bon

Tableau 12 : Clé de cotation des Indices ichtyologiques

CODE 1 (MAUVAIS)		CODE 2 (MEDIocre)		CODE 3 (BON)		CODE 4 (EXCELLENT)	
Valeur d'Indice	Notes	Valeur d'Indice	Notes	Valeur d'Indice	Notes	Valeur d'Indice	Notes
1,00	1	1,75	4	2,50	7	3,25	10
1,25	2	2,00	5	2,75	8	3,50	11
1,50	3	2,25	6	3,00	9	≥ 3,75	12

4 Résultats bruts par station

4.1 Station 01 = Casy

Localisation géographique	Sud du platier de l'îlot Casy. Attention, la bouée de balisage de réserve (croix jaune) a été déplacée en raison d'un élargissement de la zone de réserve. La station biologique n'est plus localisable grâce à ce repère.
Nombre transects	2 transects positionnés sur la pente sédimentaire proche du platier (pente très douce). La pente est trop faible pour pouvoir installer un troisième transect (à 20 m de profondeur) à une distance raisonnable.
Description transects	Sont installés à une cinquantaine de mètres l'un de l'autre afin d'atteindre une profondeur de 7 et 10 mètres avec une orientation sud-est / nord-ouest.
	Une colonie de <i>Lobophyllia corymbosa</i> , de 2 m de diamètre, sert de point de repérage pour la fin du transect A.

Description générale

La pente douce récifale est constituée de sable coquillé sur lequel repose de nombreux massifs coralliens ainsi que de nombreux débris. Les organismes benthiques colonisent préférentiellement ce substrat dur. Les alcyonaires du genre *Sarcophyton* sont particulièrement bien développés et les algues brunes *Sargassum* spp. peuvent être présentes sur le transect B.

Cette station se caractérise par un recouvrement important en algues brunes (*Lobophora variegata*, *Sargassum*, *Distromium*, *Dictyota* et quelques *Padina*). Les macrophytes se distribuent sur du sable coquillé et sur des petits massifs coralliens répartis de manière hétérogène. Les alcyonaires occupent également une part importante du recouvrement (principalement *Sarcophyton*, *Sinularia* et *Lobophytum* et dans une moindre mesure *Dendronephthya*).

Une prolifération d'*Acanthaster planci* a entraîné une mortalité corallienne très importante.

La taille des colonies coralliennes scléactiniaires survivantes est d'ordre décimétrique (*Pocillopora damicornis*, *Barabattoia amicorum*, *Galaxea fascicularis*, *Acanthastrea echinata*, *Goniastrea cf. pectinata*). Seuls les genres *Acropora* de forme tabulaire et une colonie de *Lobophyllia corymbosa* réussissent à s'édifier et dépasser la taille métrique.

La richesse spécifique et le recouvrement corallien sont devenus très faibles (attaque des *Acanthaster* + manque de substrats durs particulièrement en B).

Caractéristiques principales

- ↪ La faune et la flore sont adaptées aux contraintes de turbidité et de sédimentation
- ↪ Les colonies coralliennes sont majoritairement de petites tailles (turn over important)
- ↪ La maladie de la bande blanche a été recensée lors de plusieurs missions sur des colonies d'*Acropora* tabulaire en A
- ↪ Le recouvrement des alcyonaires est très important (particulièrement le genre *Sarcophyton*)
- ↪ Compétition spatiale entre les alcyonaires et les coraux scléactiniaires
- ↪ Recouvrement modéré des éponges encroûtantes (*Cliona*)
- ↪ Mortalité corallienne importante en A (particulièrement les colonies du genre *Acropora*)
- ↪ Étude de la croissance de 7 colonies de *Pocillopora damicornis* colonisant les piquets du transect A (octobre 2008 à novembre 2016). En novembre 2016, il restait 5 colonies (colonies B et G mortes suite aux anomalies de température dues à el Niño du début d'année. La croissance diminue avec le temps, cependant elle n'est pas linéaire durant l'année (saisonnalité) et les périodes hivernales sont plus favorables au développement de l'exosquelette carbonaté (*Ce relevé d'information a été arrêté à la demande du Client*)
- ↪ **Présence d'*Acanthaster planci* :**
 - Prolifération d'avril 2017 à mai 2018 en A, en septembre 2017 en B
 - Seulement **1 spécimen** en novembre 2016, en novembre 2018, en avril 2019 et **en mai 2020** en A
 - Les corallivores ne sont pas restés en B car il y a trop peu de colonies coralliennes à consommer

- Absence en octobre 2019 et 2020

Variations entre mai et octobre 2020

Indicateur Corail :

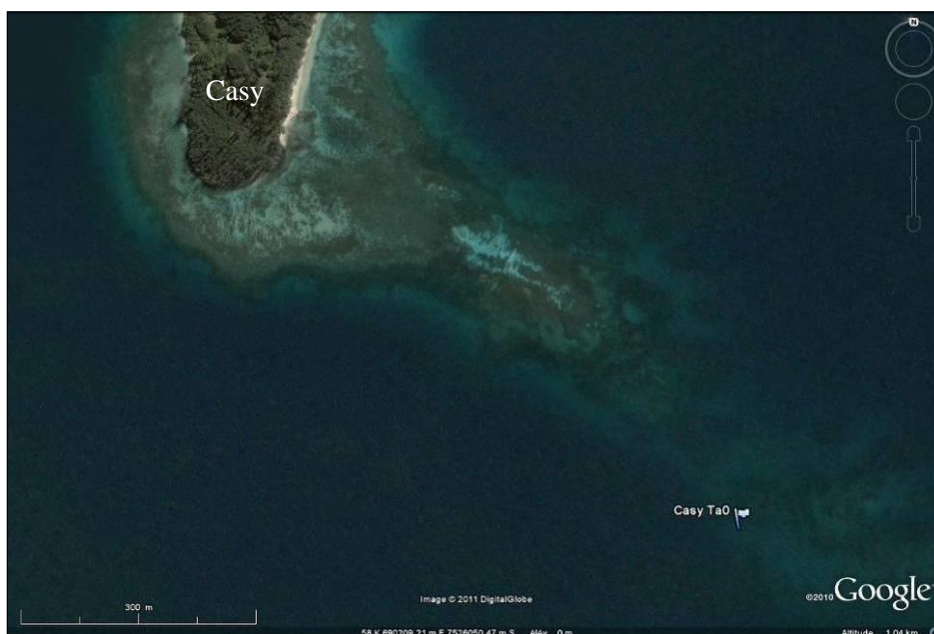
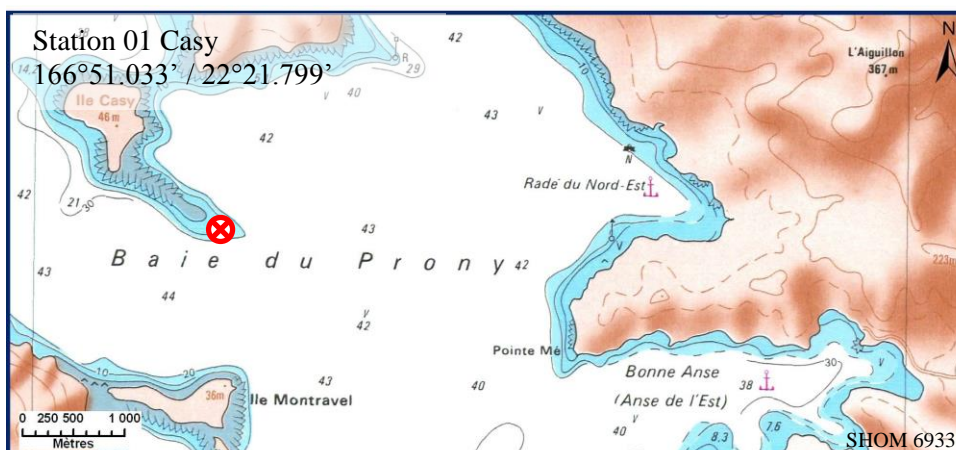
- Le recouvrement corallien est de 0.5% et 1% aux transects A et B. Très légère hausse
- Blanchissement corallien (surface totale observée) : *Octobre 2015 : 0.15% ; Avril 2016 : 2.6% ; Novembre 2016 : 0.6% ; Avril 2017 : 1.9% ; Septembre 2017 : 2.5% (lié à *Acanthaster planci*) ; Mai 2018 : 0.6% (lié à *Acanthaster planci*) ; Novembre 2018 : 0.45% ; Avril 2019 : 0.25% ; Octobre 2019 : 0% ; Mai 2020 : 0.2% ; Octobre 2020 : 0%*
- Lésions coralliennes : de nombreuses colonies coralliennes sont mortes en place (partiellement ou entièrement) suite au blanchissement corallien du début d'année 2016, à la maladie de la bande blanche et à la prolifération d'*Acanthaster* (depuis novembre 2016) :
 - Prédation des *Acanthaster* : RAS
 - Maladie de la bande blanche : RAS
 - Perturbations sédimentaires : RAS

Autres indicateurs :

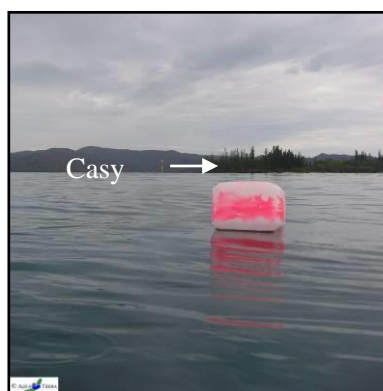
- Cyanobactéries : stable en A et augmentation en B (niveau 1 à 2). Elles colonisent des colonies coralliennes mortes en place (*Acropora* tabulaire et branchu)
- Le turf algal se développe modérément sur les débris coralliens et les colonies coralliennes mortes en place au fur et à mesure de leur dégradation
- Algues brunes *Lobophora* : stable en A et B (niveau 3 et 2)
- Algues rouges *Asparagopsis taxiformis* : absence et stable
- *Cliona orientalis* : stable
- *Cliona jullieni* : augmentation en A (niveau 2 à 3) et stable en B (niveau 3)

Les corallivores :

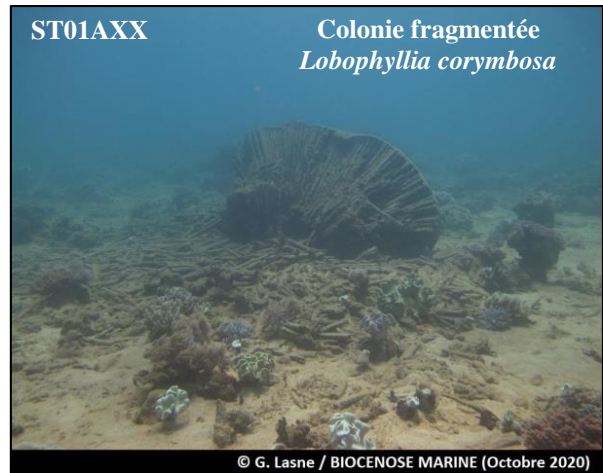
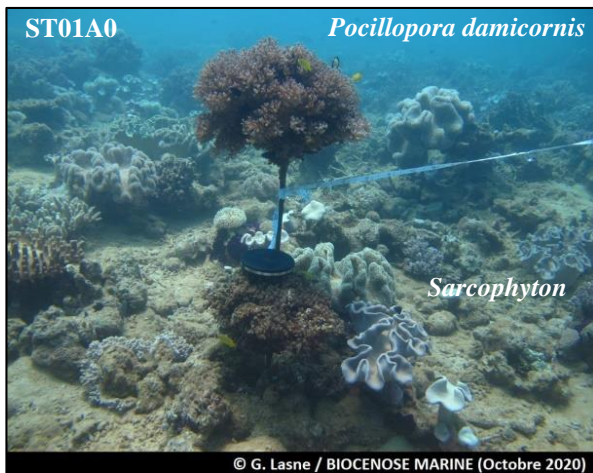
- *Acanthaster planci* : absence, diminution
- *Culcita novaeguineae* : absence, stable
- *Drupella cornus* : absence, stable



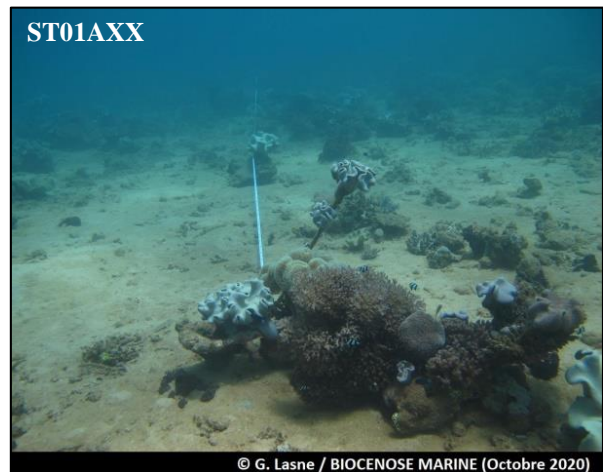
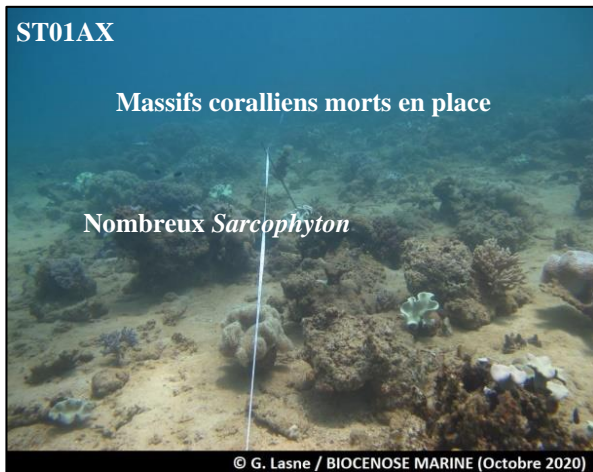
Carte 03 : Localisation de la station 01 (Casy)



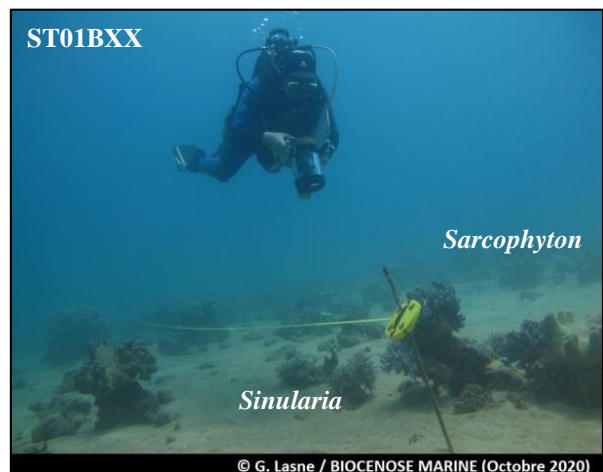
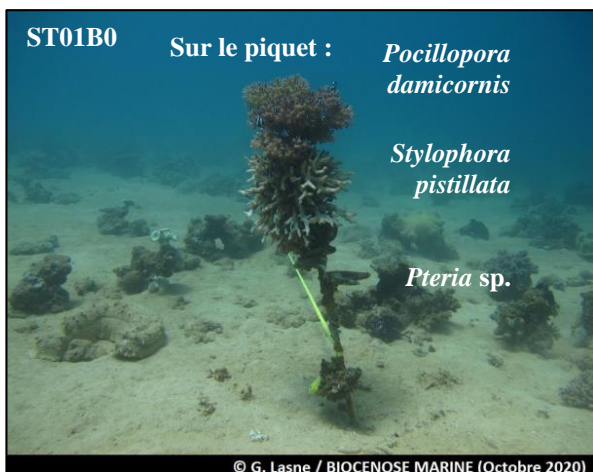
Photographie 02 : Position en surface par rapport à la pointe sud de l'îlot (ST01)



Pente sédimentaire avec de nombreux alcyonaire et colonies coralliennes mortes en place avec turf



Le recouvrement corallien a fortement diminué depuis la prolifération d'*Acanthaster planci*



Pente sédimentaire recouverte par alcyonaire et petits massifs coralliens métriques dispersés

Photographie 03 : Vue d'ensemble des transects (ST01, présente mission)

4.1.1 Le substrat (ST01)

Le pourcentage de couverture de chaque composante est donné dans la [figure 04](#) pour le transect A et dans la [figure 05](#) pour le transect B.

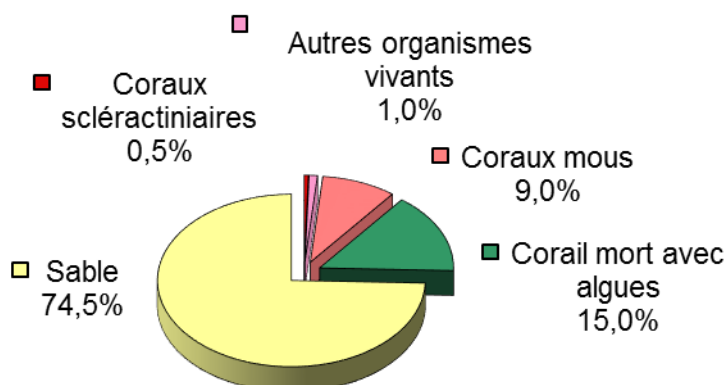


Figure 04 : Représentation du recouvrement (en %) du substrat pour ST01A

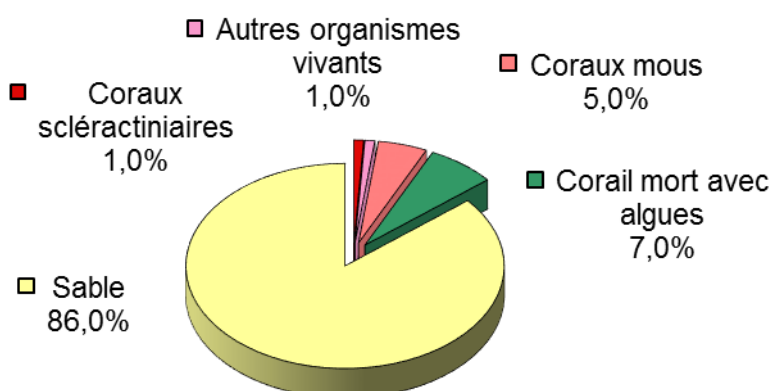


Figure 05 : Représentation du recouvrement (en %) du substrat pour ST01B

Le sable est prédominant avec respectivement 74.5% et de 86% de recouvrement pour les 2 transects. Cela entraîne évidemment que le substrat est majoritairement abiotique sur cette station.

Du fait des conséquences de la prolifération des *Acanthaster planci* en 2017- 2018, le recouvrement des coraux scléactiniaires a chuté sur les 2 transects : presque tous les coraux sont morts (il ne reste que 0.5% au transect A et 1% en B). Le reste de la partie biotique est constitué essentiellement par des alcyonaires et la classe « coraux mort recouverts d'algues ».

Il faut noter que les sargasses (algues brunes qui étaient une caractéristique de cette station) disparues lors de la campagne d'octobre 2011 ne sont pas revenues.

Les transects sont stables dans l'ensemble. Il faut cependant noter que les 2 transects sont dégradés pour ce qui est du recouvrement en scléactiniaires. Actuellement tous les coraux sont morts à part quelques rares *Pocillopora* sp. Cela est imputable à la prolifération d'*Acanthaster planci* qui a eu lieu précédemment (2017 – 2018). Ces dernières ont « disparu », faute de nourriture certainement.

4.1.2 Le benthos (ST01)

La liste des taxons cibles (cf. § 3.2.3) échantillonnés sur cette station et la liste complète des résultats bruts sont données en annexe n°04.

En octobre 2020, la richesse spécifique de la station Casy (ST01) est composée de :

- **43 espèces d'invertébrés** dont 10 espèces de mollusques ; 9 espèces de cnidaires : alcyonaires (7 taxons), actiniaires (1 taxon), zoanthaires (1 taxon) ; 12 espèces d'échinodermes : holothurides (4 taxons), échinides (3 taxons), astéries (2 taxons), ophiurides (2 taxons), crinoïdes (1 taxon) ; 7 espèces d'éponges ; 4 espèces d'ascidies
- **5 espèces de macrophytes** : algues rouges (2 taxons), algues vertes (2 taxons), algues brunes (1 taxon)
- **1 espèce de cyanobactéries.**

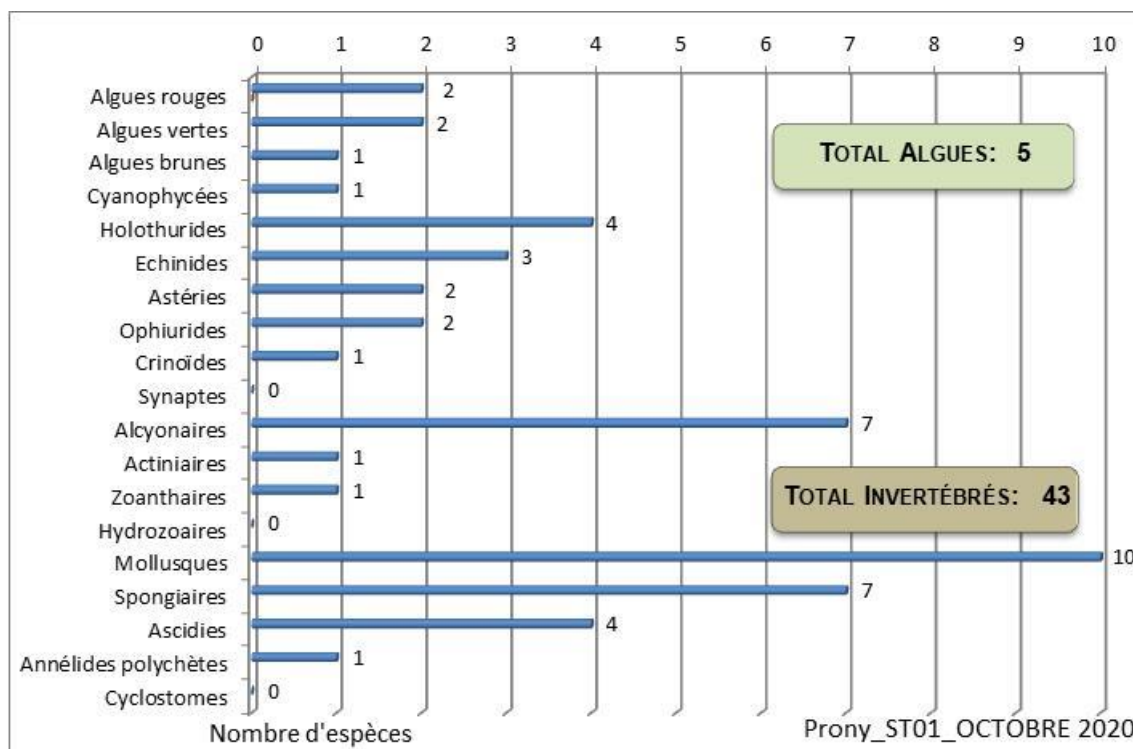


Figure 06 : Répartition par sous-groupe de la richesse spécifique des macrophytes et des invertébrés (hors coraux durs) (ST01)

4.1.2.1 Benthos Transect 01 A

En octobre 2020, la richesse spécifique du transect ST01A est composée de :

- 40 espèces d'invertébrés dont 8 espèces de mollusques ; 9 espèces de cnidaires : alcyonaires (7 taxons), actiniaires (1 taxon), zoanthaires (1 taxon) ; 11 espèces d'échinodermes : échinides (3 taxons), holothurides (3 taxons), astéries (2 taxons), ophiurides (2 taxons), crinoïdes (1 taxon) ; 7 espèces d'éponges ; 4 espèces d'ascidies
- 5 espèces de macrophytes : algues rouges (2 taxons), algues vertes (2 taxons), algues brunes (1 taxon)
- 1 espèce de cyanobactéries.

Tableau 13 : Variations entre mai et octobre 2020 : Les biocénoses (ST01A)*

Evolution de la richesse spécifique des biocénoses*	Evolution de l'abondance
Algues	
2 nouvelles espèces d'algues rouges recensées: • <i>Amphiroa</i> sp. (A2), • <i>Gibsmithia hawaiiensis</i> (A1) et 1 espèce d'algue verte disparue : • <i>Halimeda</i> sp. (1 spp./-1 spp., A2/-0).	Aucune espèce d'algues n'augmente. Aucune espèce d'algues ne diminue.
Cyanobactéries	
<input checked="" type="checkbox"/>	<input checked="" type="checkbox"/>
Cnidaires	
<input checked="" type="checkbox"/>	3 espèces de cnidaires diminuent d'abondance : ➢ pour les alcyonaires (3 espèces) : • <i>Cladiella</i> sp. (A3/- 1), • <i>Simularia</i> sp. (A3/- 1), • <i>Nephthea</i> sp. (A2/- 2).
Échinodermes	
3 espèces d'échinodermes disparues : ➢ pour les astéries (-3 espèce) : • <i>Acanthaster solaris</i> (A0/-1), • <i>Fromia indica</i> (A0/-1), • <i>Gomophia egyptiaca</i> (A0/-1).	4 espèces d'échinodermes diminuent d'abondance : ➢ pour les astéries (1 espèce) : • <i>Linckia multifora</i> (A1/- 1) ; ➢ pour les holothurides (1 sp) : • <i>Holothuria fuscopunctata</i> (A1/-1) ➢ pour les ophiurides (2 espèces) : • <i>Ophiomastix caryophyllata</i> (A2/- 1), • <i>Ophiure ind.</i> (A2/- 1).
Mollusques	
Une nouvelle espèce de mollusques recensée : ➢ pour les gastéropodes (1 espèce) : • <i>Strombus luhuanus</i> (A2). 4 espèces de mollusques disparues : ➢ pour les gastéropodes (-2 espèce) : • <i>Conus litteratus</i> (A0/-1), • <i>Coralliophila violacea</i> (A0/-2) ; ➢ pour les nudibranches (-2 espèce) : • <i>Halgerda johnsonorum</i> (A0/-1), • <i>Phyllidiella pustulosa</i> (A0/-1).	2 espèces de mollusques diminuent d'abondance : ➢ pour les bivalves (2 espèces) : • <i>Arca ventricosa</i> (A2/- 1), • <i>Isognomon isognomon</i> (A2/- 1).
Éponges	
1 nouvelle espèce d'éponges recensée : • <i>Xetospongia exigua</i> (A2). 2 espèces d'éponges disparues : • <i>Cymbastela cantharella</i> (A0/-2), • <i>Spongiaires ind.</i> (grise, digité) (A0/-2).	1 espèce d'éponges augmente d'abondance : • <i>Cliona jullieni</i> (A3/+1). 1 espèce diminue d'abondance : • <i>Spongiaires ind.</i> (noire) (A2/- 1).
Ascidies	
Une espèce d'ascidies disparue : • <i>Didemnum molle</i> (A0/-2).	3 espèces d'ascidies diminuent d'abondance : • <i>Polycarpa aurita</i> (A2/- 1), • <i>Polycarpa cryptocarpa</i> (A2/- 1), • <i>Polycarpa nigricans</i> (A2/- 2).
Bryozoaires	
<input checked="" type="checkbox"/>	<input checked="" type="checkbox"/>

4.1.2.2 Benthos Transect 01 B

En octobre 2020, la richesse spécifique du transect ST01B est composée de :

- 33 espèces d'invertébrés dont 8 espèces de mollusques ; 8 espèces de cnidaires : alcyonaires (7 taxons), zoanthaires (1 taxon) ; 6 espèces d'échinodermes : holothurides (2 taxons), ophiurides (2 taxons), crinoïdes (1 taxon), échinides (1 taxon) ; 7 espèces d'éponges ; 3 espèces d'ascidies
- 3 espèces de macrophytes : algues brunes (1 taxon), algues rouges (1 taxon), algues vertes (1 taxon)
- 1 espèce de cyanobactéries.

Tableau 14 : Variations entre mai et octobre 2020 : Les biocénoses (ST01B)*

Evolution de la richesse spécifique des biocénoses*	Evolution de l'abondance
Algues	
Une nouvelle espèce d'algue recensée, l'algue rouge : • <i>Amphiroa</i> sp. (A2). Une espèce d'algue disparue, l'algue verte : • <i>Halimeda</i> sp. (1 spp./-1 spp., A2/-0).	Aucune espèce d'algues n'augmente. Aucune espèce d'algues ne diminue.
Cyanobactéries	
<input checked="" type="checkbox"/>	Une espèce de cyanobactéries augmente d'abondance : • <i>Phormidium</i> sp. (A2/+ 1).
Cnidaires	
2 espèces de cnidaires disparues : ➤ pour les alcyonaires (-1 espèce) : • <i>Chironophthya</i> sp. (A0/-1) ; ➤ pour les zoanthaires (-1 espèce) : • <i>Zoanthidae</i> ind.sp. (A0/-2).	3 espèces de cnidaires diminuent d'abondance : ➤ pour les alcyonaires (3 espèces) : • <i>Cladiella</i> sp. (A2/- 1), • <i>Nephtea</i> sp. (A2/- 1), • <i>Xenia</i> sp. (A1/- 2).
Échinodermes	
Une nouvelle espèce d'échinodermes recensée : ➤ pour les holothurides (1 espèce) : • <i>Thelenota anax</i> (A2). 3 espèces d'échinodermes disparues : ➤ pour les astéries (-2 espèce) : • <i>Linckia multifora</i> (A0/-2), • <i>Nardoa gomophia</i> (A0/-2) ; ➤ pour les holothurides (-1 espèce) : • <i>Holothuria edulis</i> (A0/-2).	Une espèce d'échinodermes diminue d'abondance : ➤ pour les holothurides (1 espèce) : • <i>Holothuria fuscopunctata</i> (A1/- 1).
Mollusques	
Une nouvelle espèce de mollusques recensée : ➤ pour les nudibranches (1 P) : • <i>Phyllidiella pustulosa</i> (A1). Une espèce de mollusques disparue : ➤ pour les gastéropodes (-1 sp) : • <i>Coralliophila violacea</i> (A0/-2).	Une espèce de mollusques augmente d'abondance : ➤ pour les bivalves (1 sp) : • <i>Spondylus</i> sp. (A3/+ 1). Une espèce de mollusques diminue d'abondance : ➤ pour les bivalves : • <i>Isognomon isognomon</i> (A2/- 1).
Éponges	
Une nouvelle espèce d'éponges recensée : • <i>Xetospongia exigua</i> (A2). 2 espèces d'éponges disparues : • <i>Cymbastela cantharella</i> (A0/-2), • <i>Spongiaires</i> ind. (grise, digité) (A0/-2).	<input checked="" type="checkbox"/>
Ascidies	
2 espèces d'ascidies disparues : • <i>Didemnum molle</i> (A0/-2), • <i>Clavelina detorta</i> (A0/-2).	3 espèces d'ascidies diminuent d'abondance : • <i>Polycarpa aurita</i> (A2/- 1), • <i>Polycarpa cryptocarpa</i> (A1/- 2), • <i>Polycarpa nigricans</i> (A3/- 1).
Bryozoaires	
<input checked="" type="checkbox"/>	<input checked="" type="checkbox"/>

4.1.3 Les poissons (ST01)

La liste des espèces observées⁵ sur les transects et les résultats bruts sont fournis dans le [tableau 15](#).

Tableau 15 : Données sur les poissons (ST01)

Ilot Casy ST01		Transect			Transect			Station		
Fam	Espèces	A			B			Moyenne		
		Nb	Dens	Biom	Nb	Dens	Biom	Nb	Dens	Biom
Aca	<i>Acanthurus blochii</i>	1	0,01	0,44				0,50	0,01	0,22
Aca	<i>Acanthurus mata</i>	1	0,01	0,35	1	0,01	0,27	1,00	0,01	0,31
Aca	<i>Ctenochaetus striatus</i>	1	0,01	0,10				0,50	0,01	0,05
Cha	<i>Chaetodon auriga</i>	1	0,01	0,10				0,50	0,01	0,05
Cha	<i>Chaetodon lunulatus</i>	2	0,02	0,14				1,00	0,01	0,07
Cha	<i>Chaetodon ulietensis</i>	1	0,01	0,07				0,50	0,01	0,03
Cha	<i>Coradion altivelis</i>	1	0,01	0,15				0,50	0,01	0,07
Epi	<i>Cephalopholis boenak</i>				1	0,01	0,04	0,50	0,01	0,02
Epi	<i>Epinephelus maculatus</i>	1	0,01	0,35				0,50	0,01	0,17
Epi	<i>Plectropomus leopardus</i>	1	0,01	1,17				0,50	0,01	0,58
Gob	<i>Amblygobius phalaena</i>	2	0,02	0,09	2	0,02	0,09	2,00	0,02	0,09
Lab	<i>Cheilinus chlorourus</i>	1	0,01	0,07	1	0,01	0,07	1,00	0,01	0,07
Lab	<i>Hemigymnus melapterus</i>				1	0,01	0,10	0,50	0,01	0,05
Lab	<i>Labroides bicolor</i>	1	0,01	0,03				0,50	0,01	0,01
Lab	<i>Labroides dimidiatus</i>	3	0,03	0,04				1,50	0,02	0,02
Lab	<i>Thalassoma lunare</i>	2	0,02	0,05	1	0,01	0,04	1,50	0,02	0,05
Mul	<i>Parupeneus barberinoides</i>				1	0,01	0,07	0,50	0,01	0,03
Nem	<i>Scolopsis bilineatus</i>	1	0,01	0,15				0,50	0,01	0,07
Poc	<i>Centropyge bicolor</i>	2	0,02	0,09				1,00	0,01	0,04
Poc	<i>Centropyge tibicen</i>	1	0,01	0,04	1	0,01	0,01	1,00	0,01	0,02
Pom	<i>Abudefduf whitleyi</i>	2	0,02	0,14				1,00	0,01	0,07
Pom	<i>Chrysiptera rollandi</i>	3	0,03	0,02	2	0,02	0,01	2,50	0,03	0,01
Pom	<i>Dascyllus aruanus</i>	8	0,08	0,04	3	0,03	0,02	5,50	0,06	0,03
Pom	<i>Dascyllus reticulatus</i>	20	0,20	0,11	7	0,07	0,04	13,50	0,14	0,07
Pom	<i>Pomacentrus moluccensis</i>	2	0,02	0,02	4	0,04	0,05	3,00	0,03	0,03
Sca	<i>Chlorurus bleekeri</i>				1	0,01	0,68	0,50	0,01	0,34
Sca	<i>Chlorurus sordidus</i>				1	0,01	0,44	0,50	0,01	0,22
Sca	<i>Scarus flavipectoralis</i>	1	0,01	0,44	1	0,01	0,55	1,00	0,01	0,49
Sca	<i>Scarus schlegeli</i>	1	0,01	0,68				0,50	0,01	0,34
Sig	<i>Siganus vulpinus</i>	4	0,04	0,41				2,00	0,02	0,20
Zan	<i>Zanclus cornutus</i>	1	0,01	0,10				0,50	0,01	0,05
Total		65	0,65	5,35	28	0,28	2,46	46,50	0,47	3,90
Biodiversité		26			15			31		
Indice de Shannon =		4,033								
Equitabilité =		0,814								

Sur l'ensemble des transects de la station, 93 individus appartenant à 31 espèces différentes ont pu être observés. Ils représentent une densité de 0,47 poisson/m² pour une biomasse de 3,9 g/m².

79 espèces complémentaires (e.g. hors des transects et hors liste restreinte [*en rouge*]) ont été observées sur la station

⁵ Données par rapport à la liste restreinte du cahier des charges, cf. annexe n°01

(cf. tableau 16).

Tableau 16 : Liste des espèces complémentaires (ST01)

Fam	Espèces	Fam	Espèces	Fam	Espèces
Aca	<i>Acanthurus blochii</i>	Gob	<i>Oplopomus oplopomus</i>	Pin	<i>Parapercis hexoptalma</i>
Aca	<i>Acanthurus mata</i>	Gra	<i>Diploprion bifasciatum</i>	Poc	<i>Centropyge bicolor</i>
Aca	<i>Acanthurus nigricans</i>	Hol	<i>Neoniphon sammara</i>	Poc	<i>Centropyge tibicen</i>
Aca	<i>Ctenochaetus striatus</i>	Lab	<i>Anampses neoguinaicus</i>	Pom	<i>Abudefduf whitleyi</i>
Aca	<i>Zebrasoma veliferum</i>	Lab	<i>Bodianus axillaris</i>	Pom	<i>Amblyglyphidodon leucogaster</i>
Apo	<i>Apogon doederleini</i>	Lab	<i>Cheilinus chlorourus</i>	Pom	<i>Chromis atripes</i>
Apo	<i>Apogon fucata</i>	Lab	<i>Cheilinus trilobatus</i>	Pom	<i>Chrysiptera rollandi</i>
Apo	<i>Archamia leai</i>	Lab	<i>Choerodon fasciatus</i>	Pom	<i>Chrysiptera taupou</i>
Aul	<i>Aulostomus chinensis</i>	Lab	<i>Coris batuensis</i>	Pom	<i>Dascyllus aruanus</i>
Bal	<i>Sufflamen bursa</i>	Lab	<i>Epibulus insidiator</i>	Pom	<i>Dascyllus reticulatus</i>
Bal	<i>Sufflamen fraenatus</i>	Lab	<i>Halichoeres melanurus</i>	Pom	<i>Pomacentrus adelus</i>
Ble	<i>Istiblennius dussumieri</i>	Lab	<i>Halichoeres prosopion</i>	Pom	<i>Pomacentrus aurifrons</i>
Cha	<i>Chaetodon auriga</i>	Lab	<i>Hemigymnus melapterus</i>	Pom	<i>Pomacentrus chrysurus</i>
Cha	<i>Chaetodon baronessa</i>	Lab	<i>Labroides bicolor</i>	Pom	<i>Pomacentrus moluccensis</i>
Cha	<i>Chaetodon lineolatus</i>	Lab	<i>Labroides dimidiatus</i>	Sca	<i>Chlorurus bleekeri</i>
Cha	<i>Chaetodon melannotus</i>	Lab	<i>Labropsis australis</i>	Sca	<i>Chlorurus sordidus</i>
Cha	<i>Chaetodon plebeius</i>	Lab	<i>Oxycheilinus digrammus</i>	Sca	<i>Scarus flavipectoralis</i>
Cha	<i>Chaetodon ulietensis</i>	Lab	<i>Stethojulis bandanensis</i>	Sca	<i>Scarus ghobban</i>
Cha	<i>Coradion altivelis</i>	Lab	<i>Thalassoma lunare</i>	Sca	<i>Scarus schlegeli</i>
Cha	<i>Heniochus acuminatus</i>	Lut	<i>Lutjanus fulvus</i>	Sig	<i>Siganus doliatus</i>
Cha	<i>Heniochus monoceros</i>	Lut	<i>Symphorus nematophorus</i>	Sig	<i>Siganus fuscescens</i>
Epi	<i>Anyperodon leucogrammicus</i>	Mic	<i>Ptereleotris evides</i>	Sig	<i>Siganus puellus</i>
Epi	<i>Cephalopholis boenak</i>	Mul	<i>Parupeneus barberinoides</i>	Sig	<i>Siganus vulpinus</i>
Epi	<i>Epinephelus maculatus</i>	Mul	<i>Upeneus tragula</i>	Syn	<i>Synodus variegatus</i>
Epi	<i>Epinephelus merra</i>	Nem	<i>Pentapodus aureofasciatus</i>	Tet	<i>Arothron mappa</i>
Epi	<i>Plectropomus leopardus</i>	Nem	<i>Scolopsis bilineatus</i>	Zan	<i>Zanclus cornutus</i>
Gob	<i>Amblygobius phalaena</i>				

Le nombre d'espèces présentes pour chaque famille (observée depuis 2007) est donné dans le [tableau 17](#) et spécifiquement pour cette campagne sur la [figure 07](#).

Tableau 17 : Nombre d'espèces par famille ichthyologique (ST01)

Familles	Nb d'espèces vues (zone et période totale)	Nb d'espèces		Proportions	
		Campagne	Moy.	Campagne	Moy.
Acanthuridae	40	3	1,32	7,50	3,30
Chaetodontidae	30	4	1,84	13,33	6,13
Epinephelinae	26	3	1,68	11,54	6,46
Labridae	97	5	2,52	5,15	2,60
Lethrinidae	16	0	0	0	0
Lutjanidae	22	0	0	0	0
Mullidae	14	1	0,28	7,14	2,00
Pomacanthidae	14	2	0,84	14,29	6,00

Pomacentridae	92	5	5,60	5,43	6,09
Scaridae	23	4	1,80	17,39	7,83
Siganidae	10	1	0,68	10,00	6,80
Autres	257	3	2,92	1,17	1,14
Khi2 obs			13,5	8,9	
Khi2 tab					16,9

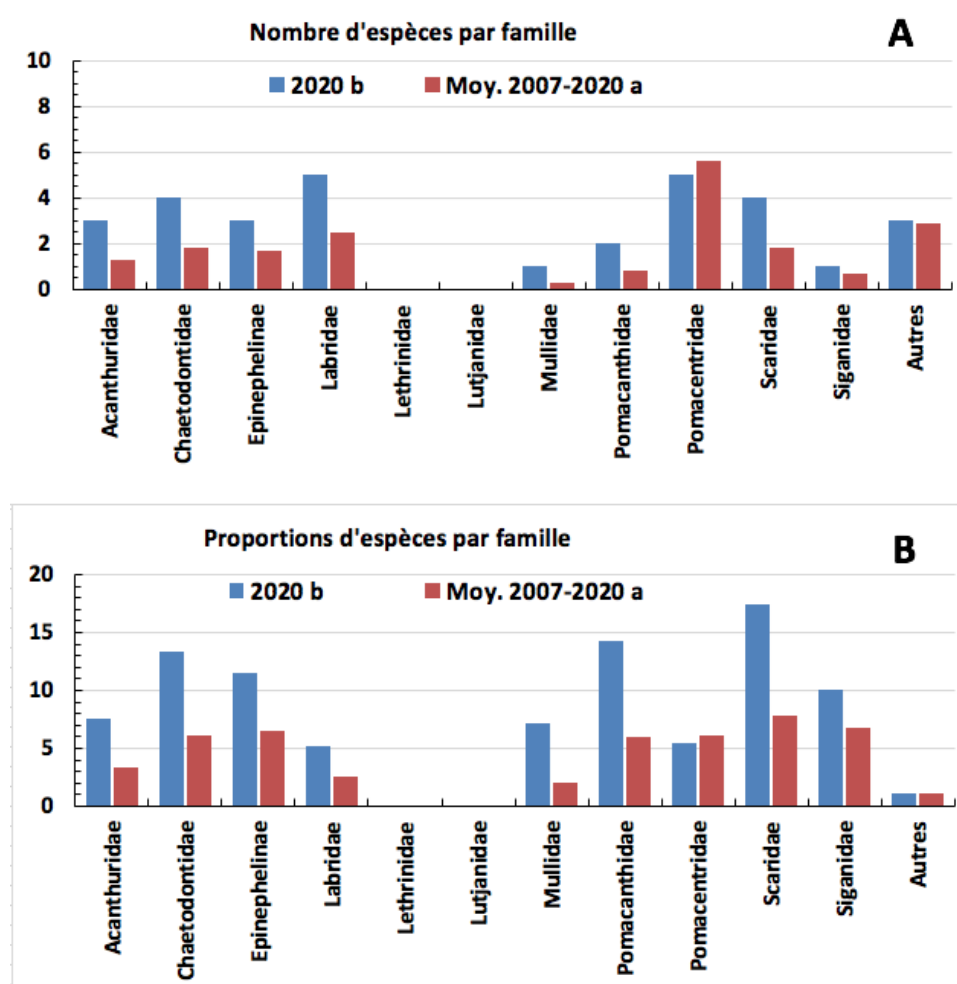


Figure 07 : Structure du peuplement pour cette mission relativement à la moyenne (ST01)

L'histogramme A compare pour une famille les effectifs vus lors de cette mission avec la moyenne et l'histogramme B compare les proportions de cet effectif vu par rapport à l'effectif total d'espèces vu pour cette même famille, sur la zone sud depuis les premières missions

Le récapitulatif des résultats en termes de :

- d'abondance (nombre d'individus, transects/liste restreinte),
- de densité (en poisson/m², transects/liste restreinte),
- de biomasse (en g/m², transects/liste restreinte),
- de biodiversité 1 (espèces observées sur les transects et de la liste restreinte),
- de biodiversité 2 (espèces observées sur la station (transects + complémentaires) et de la liste restreinte),
- de biodiversité 3 (toutes les espèces observées sur la station (transects + complémentaires / liste non restreinte)),

pour toutes les campagnes depuis 2007 est présenté dans le tableau 18 et la figure 08.

Tableau 18 : Synopsis des résultats et récapitulatif des années précédentes (ST01)

Ilot Casy ST01		Liste restreinte					Toutes espèces	
		Transect TLV				Station	Station	
		Nb. ind.	Densité	Biom. g/m ²	Biodiv.1	Biodiv.2	Biodiv.3	
2020 b	Transect A	65	0,65	5,35	26			
	Transect B	28	0,28	2,46	15			
	Moy. AB	46,50	0,47	3,90	46,50	31	79	
2020 a	Moy. AB	66,00	0,66	10,37	28	49	73	
2019 b	Moy. AB	74,00	1,23	17,66	17	50	76	
2019 a	Moy. AB	132,50	2,16	55,17	26	56	78	
2018 b	Moy. AB	94,50	1,98	19,19	26	50	74	
2018 a	Moy. AB	116,50	2,25	56,65	34	50	77	
2017 b	Moy. AB	115,50	1,28	29,91	31	46	82	
2017 a	Moy. AB	136,00	2,27	12,04	24	47	75	
2016 b	Moy. AB	135,50	0,90	11,57	287	44	8	
2016 a	Moy. AB	159,00	1,47	21,76	20	44	76	
2015 b	Moy. AB	116,50	1,50	5,17	19	50	73	
2015 a	Moy. AB	147,50	1,75	30,37	30	46	76	
2014 b	Moy. AB	74,50	0,85	21,61	21	41	75	
2014 a	Moy. AB	76,0	0,60	20,21	20	43	72	
2013 b	Moy. AB	49,00	0,56	2,43	9	21	39	
2013 a	Moy. AB	98,00	1,09	26,75	18	33	58	
2012 b	Moy. AB	67,00	0,80	2,70	12	24	49	
2012 a	Moy. AB	26,50	0,33	0,82	8	35	55	
2011 b	Moy. AB	27,00	0,36	3,97	13	27	37	
2011 a	Moy. AB	23,50	0,30	1,01	12	25	37	
2010 b	Moy. AB	21	0,33	2,30	11	35	55	
2010 a	Moy. AB	18,50	0,93	5,79	13	43	66	
2009	Moy. AB	21,00	3,50	13,08	11	28	56	
2008	Moy. AB	15,50	0,87	6,68	9	17	47	
2007	Moy. AB	17,30	2,63	14,86	16	21	34	

L'écart relatif à la moyenne [$Er_i = (X_i - X_m) / X_m$] pour ces paramètres biologiques peut alors être calculé : cf. [tableau 19](#) et représentation [figure 09](#).

Tableau 19 : Ecart relatif à la moyenne des paramètres biologiques ichtyologiques depuis 2007 (ST01)

	Nb ind.	Densité	Biom.	Biodiv.1	Biodiv.2	Biodiv.3
Variance	2 243,0	0,7	228,2	63,8	132,0	244,8
Ecart type	47,4	0,8	15,1	8,0	11,5	15,6
Moyenne	75,0	1,2	15,8	19,5	39,0	63,9
Coef. de Var.	0,6	0,7	1,0	0,4	0,3	0,2

Commentaires :

- Les valeurs de Biodiversité se sont accrues, la biodiversité 3 est proche du maximum observé.
- Beaucoup d'espèces sont présentes à l'état juvénile.
- La densité et la biomasse sont très faibles.

- Le faible nombre de Chaetodontidae (3 espèces) sur les transects ne reflète pas leur présence sur la station qui en compte au total 9.
- Pour les paramètres de « Nombre d'individus », « Densité », et « Biomasse » cette station retrouve depuis 2019 les valeurs anciennes. Ces valeurs avaient culminé entre 2014 et 2019. La biodiversité en revanche est assez stable.
- Les 3 premiers paramètres sont très variables. Ils présentent des écarts qui peuvent dépasser 200%.
- A l'inverse, les paramètres de biodiversité sont stables notamment depuis 2014.
- Toutefois, la stabilité de la biodiversité n'est que quantitative. Les chiffres masquent une structure spécifique changeante.

Les précédents rapports montrent qu'au cours du temps, mission après mission, un grand nombre d'espèces disparaissaient des listes au profit d'autres, puis elles réapparaissent - ou pas - plusieurs missions plus tard. L'analyse des structures de peuplement en utilisant les valeurs transformées : « nombre d'espèces vues » par rapport au « nombre possible des tableaux n° X-3 » (cf. § 3.4.3), montre qu'aucune station ne présente un peuplement avec une structure pérenne qui se retrouve à l'identique au long des séries historiques de mission en mission. Et c'est aussi le cas ici, bien que cette station soit en zone protégée.

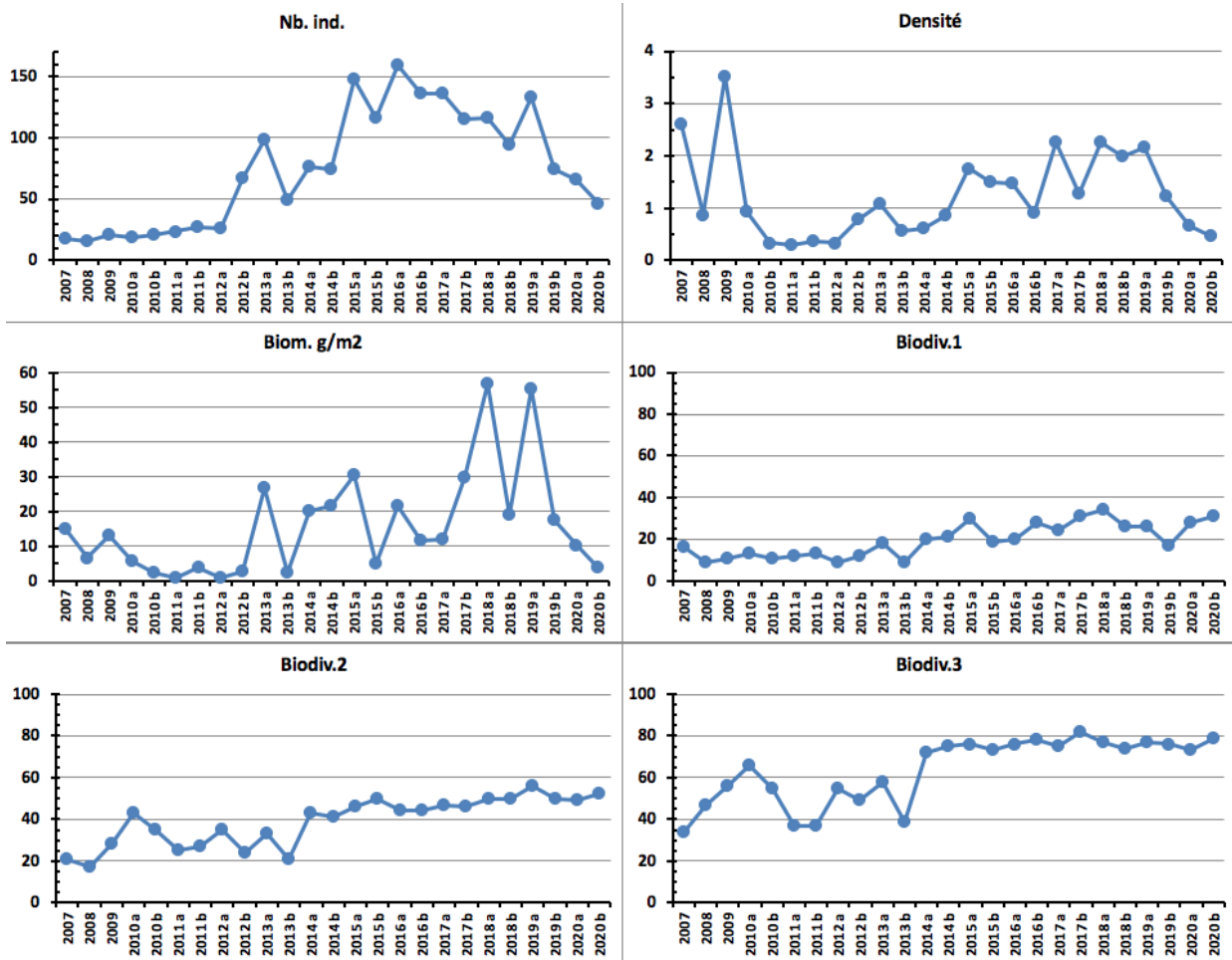


Figure 08 : Evolution des paramètres biologiques ichthyologiques depuis 2007 (ST01)

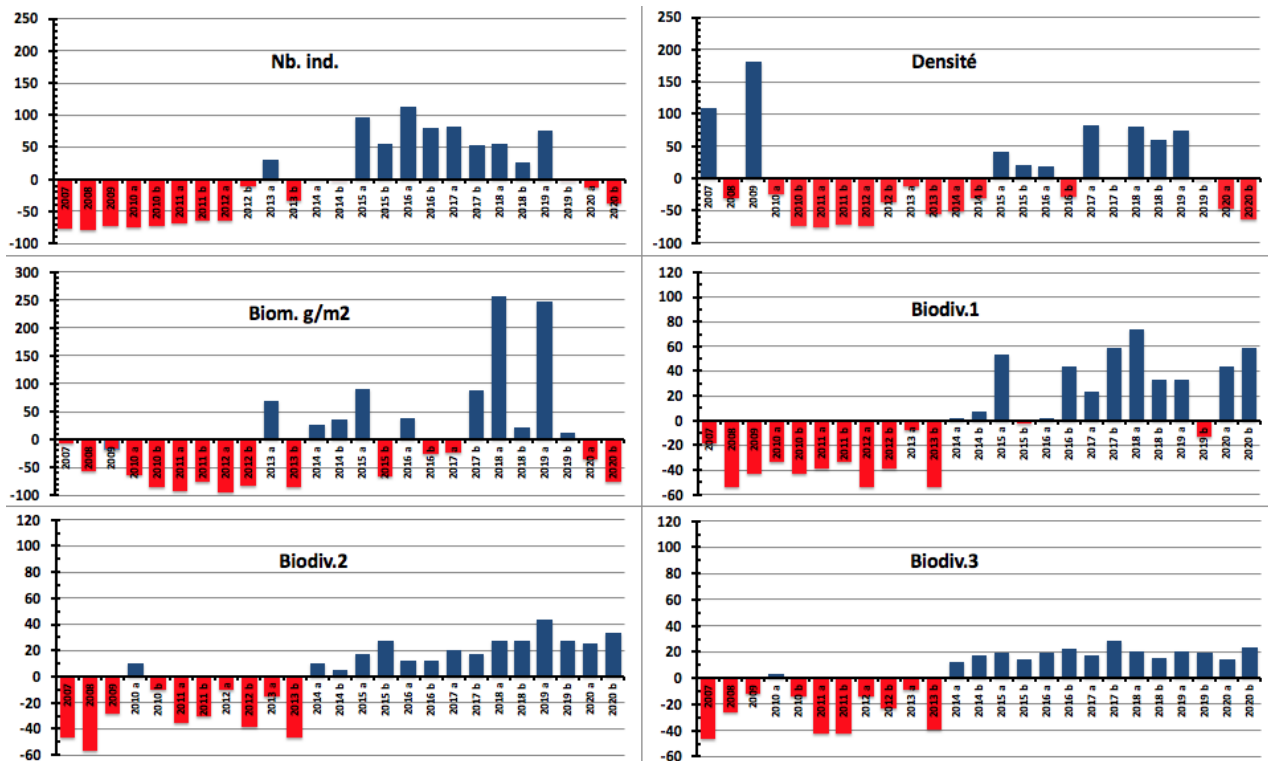


Figure 09 : Ecart relatif à la moyenne des paramètres biologiques ichthyologiques depuis 2007 (ST01)

4.2 Station 02 = Creek baie nord

Localisation géographique	Au sud de l'embouchure du creek de la Baie nord, à proximité d'un petit récif (langue récifale), face à un amas rocheux sur la plage.
Nombre transects	2 transects.
Description transects	Ils ont été installés à 10 et 12 mètres de profondeur, avec une orientation du sud vers le nord.

Description générale

Cette station est originale par l'importance de la richesse spécifique corallienne, la rareté des espèces coralliennes qui lui sont inféodées et par une multitude d'alcyonaires recouvrant le substratum (particulièrement le genre *Sarcophyton*). Les espèces benthiques vivant dans ce biotope sont adaptées aux conditions de turbidité soutenues et à un taux de sédimentation important (elles développent différentes stratégies d'adaptation pour s'édifier et survivre : peu demandeuses de lumière, grands polypes, sécrétion de mucus et/ou croissance rapide).

Caractéristiques principales

- ↪ Originalité des espèces coralliennes adaptées à un milieu turbide et à la faible pénétration de la lumière dans l'eau, par une croissance rapide, la sécrétion de mucus et/ou de grands polypes pour se dégager de la sédimentation
- ↪ Richesse spécifique parmi la plus importante des coraux de toutes les stations de suivi environnemental de la baie de Prony (*données de novembre 2016*)
- ↪ Le recouvrement corallien du transect A est particulièrement représenté par des grands massifs de coraux branchus (*Acropora* et *Anacropora*) et celui du transect B est plutôt constitué de petites colonies éparpillées sur les blocs coralliens
- ↪ Les colonies d'*Acropora* et *Anacropora* en A forment de grands massifs plurimétriques de plus en plus denses (croissance importante).
- ↪ Hyper sédimentation en B
- ↪ Abondance importante des alcyonaires sur l'ensemble de la zone (*Sarcophyton*)
- ↪ Compétition spatiale importante entre les alcyonaires, les algues vertes/brunes et les coraux
- ↪ **Présence d'*Acanthaster planci* : continue depuis 2018 :**
 - Présence de 2 spécimens en A en mai 2018
 - Prolifération en avril 2019 en A et B (respectivement 5 et 2 spécimens)
 - Prolifération en octobre 2019 en A et B (respectivement 3 et 5 spécimens)
 - Présence de 1 spécimen en A et en B en mai 2020
 - **Présence de 1 spécimen en A en octobre 2020**

Variations entre mai et octobre 2020

Indicateur Corail :

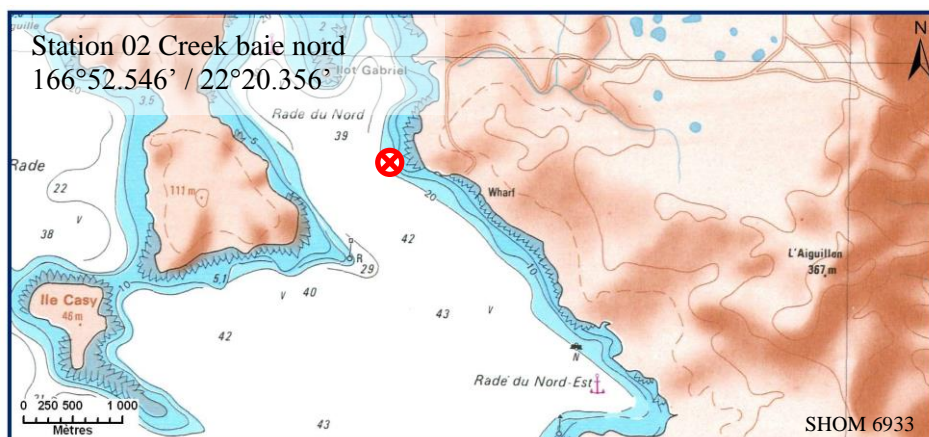
- Le recouvrement corallien est de 29.5% au transect A et 7% en B. Baisse en A (vs 35%) et stable en B
- Blanchissement corallien (surface totale observée) : *Octobre 2015 : 0.23% ; Avril 2016 : 3.35% ; Novembre 2016 : 0.15% ; Avril 2017 : 0.35% ; Septembre 2017 : 0% ; Mai 2018 : 0.4% ; Novembre 2018 : 0.05% ; Avril 2019 : 2.95% ; Octobre 2019 : 4% ; Mai 2020 : 0.9% ; Octobre 2020 : 0.4%*
- Lésions coralliennes : de nombreuses colonies coralliennes sont mortes en place (partiellement ou entièrement) suite à la prolifération d'*Acanthaster* (avril 2019 à octobre 2019), aux maladies coralliennes et aux perturbations sédimentaires :
 - Prédation des *Acanthaster* : 0.8 m² de coraux blanchis sans polype en A
 - Maladies : absence de la maladie de la bande blanche, quelques taches noires (hypermycose endolithique) induites ponctuellement par la sédimentation (sans mortalité)
 - Perturbations sédimentaires : des colonies coralliennes sont recouvertes partiellement par la sédimentation (réactions en chaîne : affaiblissement des coraux par les *Acanthaster*)

Autres indicateurs :

- Cyanobactéries : absence : augmentation en A & B (niveau 0/0 à 3/2)
- Le turf algal se développe modérément sur les débris coralliens
- **Algue brune *Lobophora* : présence importante mais stable en A et B** (respectivement niveau 5 et 2) → **caractère envahissant potentiel, particulièrement en A**
- Algue rouge *Asparagopsis taxiformis* : absente et stable
- *Cliona orientalis* : stable
- *Cliona jullieni* : stable

Les corallivores :

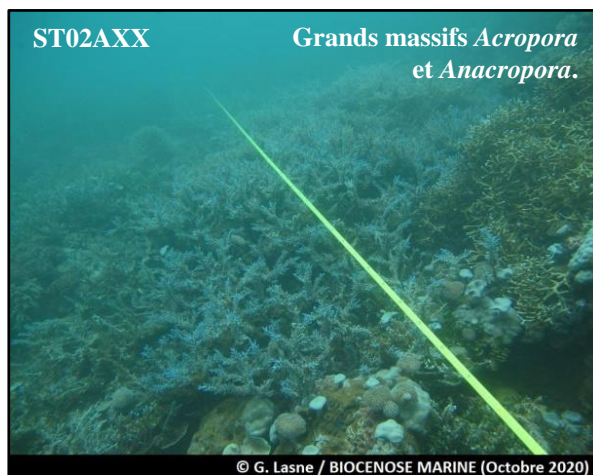
- *Acanthaster planci* : 1 spécimen en A, stable
- *Culcita novaeguineae* : absence, stable
- *Drupella cornus* : absence, stable



Carte 04 : Localisation de la station 02 (Creek baie nord)

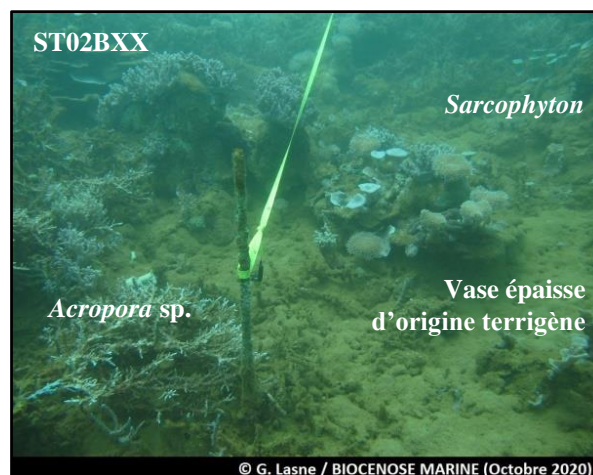
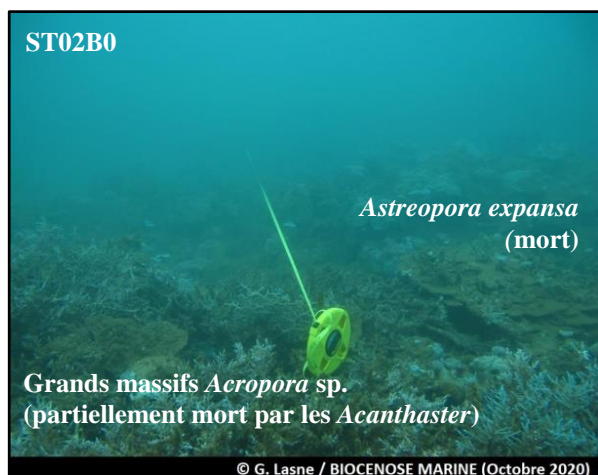


Photographie 04 : Position en surface par rapport à la côte (ST02)



Acanthaster planci (1 spécimen en A)

Développement important d'algues (*Halimeda* et *Lobophora*) à travers la base des colonies coralliennes branchues et des colonies mortes en place



Transect B : Pente sédimentaire vaseuse avec nombreux massifs coralliens de taille métrique
La mortalité corallienne est conséquente par la présence d'*Acanthaster* et l'hyper sédimentation

Photographie 05 : Vue d'ensemble des transects (ST02, présente mission)

4.2.1 Le substrat (ST02)

Le pourcentage de couverture de chaque composante est donné dans la [figure 10](#) pour le transect A et dans la [figure 11](#) pour le transect B.

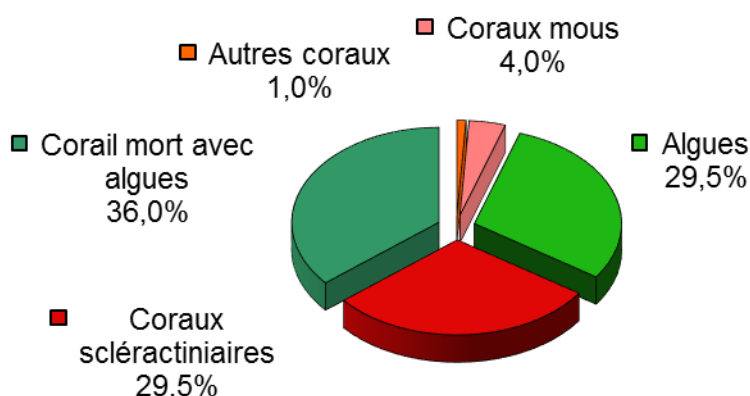


Figure 10 : Représentation du recouvrement (en %) du substrat pour ST02A

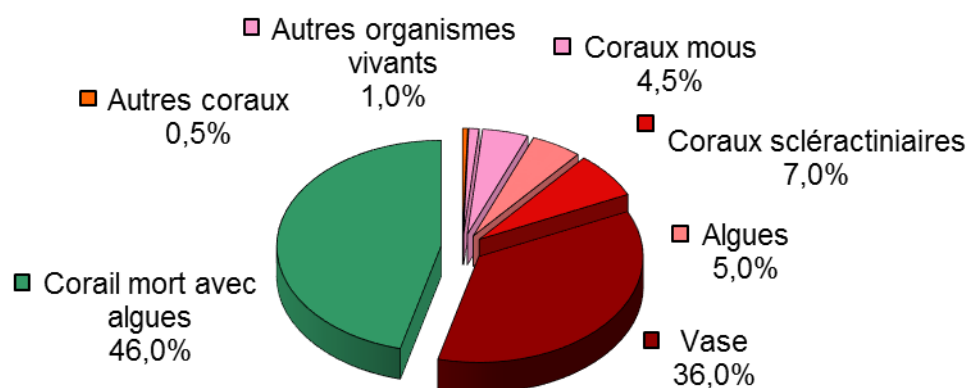


Figure 11 : Représentation du recouvrement (en %) du substrat pour ST02B

Le transect A est caractérisé par un substrat totalement biotique (100%). Le recouvrement des coraux scléactiniaires baisse très légèrement 29.5% vs 35%). Par ailleurs, les cyanobactéries sont toujours absentes et il n'y a pas de blanchissement.

Le substrat au transect B est aussi majoritairement biotique (64%), avec un taux de recouvrement des coraux scléactiniaires bas (7%, chute depuis 2019), sur un fond de vase.

Historiquement, le recouvrement est globalement stable (avec des fluctuations saisonnières des algues en A).

Les missions de 2016 avaient permis d'observer sur les 2 transects une mortalité élevée des coraux accompagnée d'un développement important des cyanobactéries. Depuis, l'absence d'indicateur de mauvais état de santé et des taux de recouvrement des scléactiniaires stables (en B) voir en hausse (en A) jusqu'en avril 2019 confirmaient que les dégradations étaient terminées et que le récif était à nouveau en bonne santé.

Malheureusement, la mission d'octobre 2019 a vu une baisse significative du recouvrement corallien (respectivement des pertes de 12% et 17%), cette mortalité étant la conséquence d'une prolifération d'*Acanthaster planci*.

Pour cette mission, les taux sont stables avec une très légère baisse par rapport à la précédente.

Présence continue depuis 2018 d'*Acanthaster planci* avec un spécimen à proximité du transect A.

4.2.2 Le benthos (ST02)

La liste des taxons cibles (cf. § 3.2.3) échantillonnés sur cette station et la liste complète des résultats bruts sont données en annexe n°04.

En octobre 2020, la richesse spécifique de la station Creek baie nord (ST02) est composée de :

- **38 espèces d'invertébrés** dont 10 espèces de mollusques ; 7 espèces de cnidaires : alcyonaires (5 taxons), zoanthaires (2 taxons) ; 11 espèces d'échinodermes : astéries (3 taxons), échinides (3 taxons), holothurides (2 taxons), ophiurides (2 taxons), synaptés (1 taxon) ; 3 espèces d'éponges ; 5 espèces d'ascidies
- **6 espèces de macrophytes** : algues brunes (3 taxons), algues vertes (2 taxons), algues rouges (1 taxon)
- **2 espèces de cyanobactéries,**

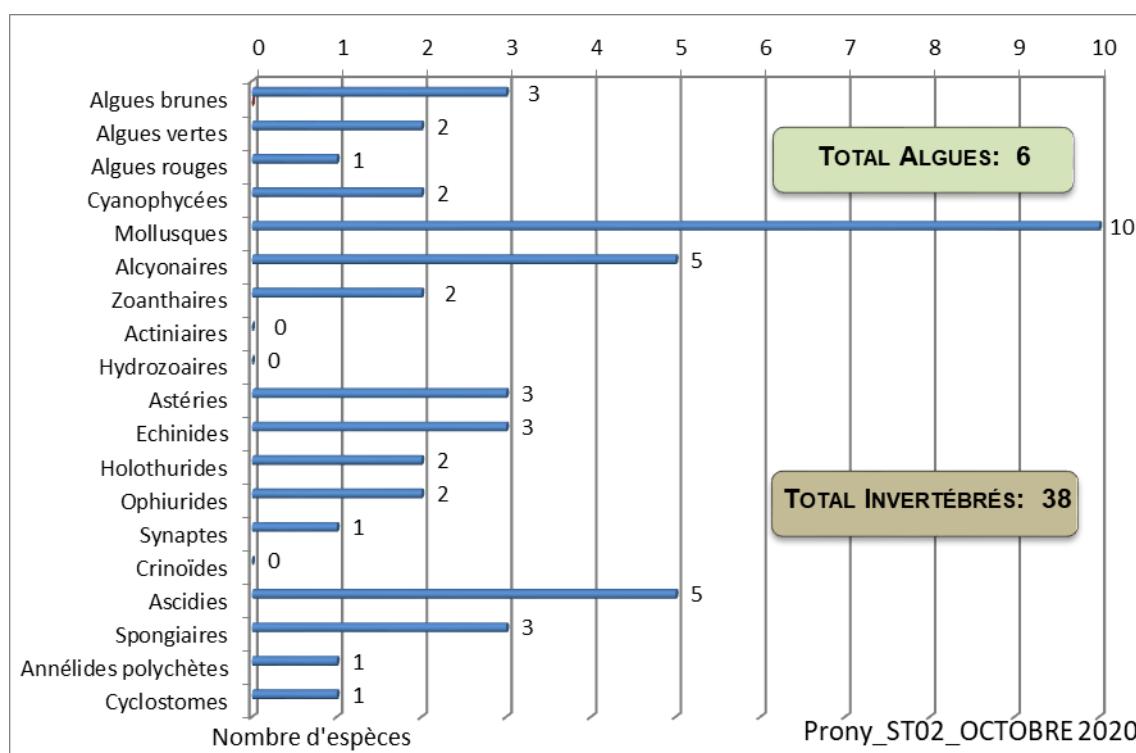


Figure 12 : Répartition par groupe de la richesse spécifique des macrophytes et des invertébrés (hors coraux durs) (ST02)

4.2.2.1 Benthos Transect 02 A

En octobre 2020, la richesse spécifique du transect ST02A est composée de :

- 30 espèces d'invertébrés dont 9 espèces de mollusques ; 6 espèces de cnidaires : alcyonaires (4 taxons), zoanthaires (2 taxons) ; 6 espèces d'échinodermes : échinides (2 taxons), ophiurides (2 taxons), astéries (1 taxon), holothurides (1 taxon) ; 2 espèces d'éponges ; 5 espèces d'ascidies
- 6 espèces de macrophytes : algues brunes (3 taxons), algues vertes (2 taxons), algues rouges (1 taxon)
- 2 espèces de cyanobactéries.

Tableau 20 : Variations entre mai et octobre 2020 : Les biocénoses (ST02A)*

Evolution de la richesse spécifique des biocénoses*	Evolution de l'abondance
Algues	
Une nouvelle espèce d'algue recensée, l'algue brune : • <i>Padina</i> sp. (A2). Une espèce d'algue disparue, l'algue verte : • <i>Halimeda</i> sp. (2spp./-1spp., A4/-0).	Aucune espèce d'algues n'augmente. Une espèce d'algue diminue, l'algue brune : • <i>Dictyota</i> sp. (A2/- 1).
Cyanobactéries	
2 nouvelles espèces de cyanobactéries recensées : • <i>Phormidium</i> sp. (A2), • <i>Symploca hydnoïdes</i> (A2).	<input checked="" type="checkbox"/>
Cnidaires	
Une nouvelle espèce de cnidaires recensée : > pour les zoanthaires (1 espèce) : • <i>Zoanthus</i> sp. (A2). 2 espèces de cnidaires disparues : > pour les alcyonaires (-2 espèce) : • <i>Simularia</i> sp. (A0/-2), • <i>Nephthea</i> sp. (A0/-2).	Une espèce de cnidaires augmente d'abondance : > pour les alcyonaires (1 espèce) : • <i>Simularia dura</i> (A4/+ 1). Une espèce de cnidaires diminue d'abondance : > pour les alcyonaires (1 espèce) : • <i>Cladiella</i> sp. (A2/- 1).
Échinodermes	
Une nouvelle espèce d'échinodermes recensée : > pour les échinides (1 espèce) : • <i>Diadema setosum</i> (A1). 3 espèces d'échinodermes disparues : > pour les astéries (-2 espèce) : • <i>Celerina heffernani</i> (A0/-1), • <i>Fromia milleporrella</i> (A0/-1) ; > pour les holothurides (-1 sp) : • <i>Holothuria edulis</i> (A0/-2).	Une espèce d'échinodermes diminue d'abondance : > pour les ophiurides (1 espèce) : • <i>Ophiomastix caryophyllata</i> (A3/- 1).
Mollusques	
Une nouvelle espèce de mollusques recensée : > pour les bivalves (1 espèce) : • <i>Pedum spondyloideum</i> (A2).	<input checked="" type="checkbox"/>
Éponges	
Une espèce d'éponges disparue : • <i>Spherospongia vagabunda</i> (A0/-2).	<input checked="" type="checkbox"/>
Ascidies	
<input checked="" type="checkbox"/>	Une espèce d'ascidies diminue d'abondance : • <i>Polycarpa nigricans</i> (A2/- 1).
Bryozoaires	
<input checked="" type="checkbox"/>	<input checked="" type="checkbox"/>

4.2.2.2 Benthos Transect 02 B

En octobre 2020, la richesse spécifique du transect ST02B est composée de :

- 31 espèces d'invertébrés dont 7 espèces de mollusques ; 7 espèces de cnidaires : alcyonaires (5 taxons), zoanthaires (2 taxons) ; 9 espèces d'échinodermes : astéries (2 taxons), échinides (2 taxons), holothurides (2 taxons), ophiurides (2 taxons), synapses (1 taxon) ; 3 espèces d'éponges ; 3 espèces d'ascidies
- 5 espèces de macrophytes : algues brunes (2 taxons), algues vertes (2 taxons), algues rouges (1 taxon)
- 1 espèce de cyanobactéries.

Tableau 21 : Variations entre mai et octobre 2020 : Les biocénoses (ST02B)*

Evolution de la richesse spécifique des biocénoses*	Evolution de l'abondance
Algues	
Aucune nouvelle espèce d'algues recensée ni n'a disparue.	Aucune espèce d'algues n'augmente ni ne diminue.
Cyanobactéries	
Une nouvelle espèce de cyanobactéries recensée : • <i>Phormidium</i> sp. (A2).	<input checked="" type="checkbox"/>
Cnidaires	
Une nouvelle espèce de cnidaires recensée : > pour les zoanthaires (1 espèce) : • <i>Zoanthus</i> sp. (A2). 2 espèces de cnidaires disparues : > pour les alcyonaires (-2 espèce) : • <i>Simularia</i> sp. (A0/-2), • <i>Nephtea</i> sp. (A0/-2).	Une espèce de cnidaires augmente d'abondance : > pour les alcyonaires (1 espèce) : • <i>Simularia dura</i> (A4/+ 1). Une espèce de cnidaires diminue d'abondance : > pour les alcyonaires (1 espèce) : • <i>Cladiella</i> sp. (A2/- 1).
Échinodermes	
Une nouvelle espèce d'échinodermes recensée : > pour les échinides (1 espèce) : • <i>Diadema setosum</i> (A1). 3 espèces d'échinodermes disparues : > pour les astéries (-2 espèce) : • <i>Celerina heffernani</i> (A0/-1), • <i>Fromia milleporrella</i> (A0/-1) ; > pour les holothurides (-1 sp) : • <i>Holothuria edulis</i> (A0/-2).	Une espèce d'échinodermes diminue d'abondance : > pour les ophiurides (1 espèce) : • <i>Ophiomastix caryophyllata</i> (A3/- 1).
Mollusques	
Une nouvelle espèce de mollusques recensée : > pour les bivalves (1 espèce) : • <i>Pedum spondyloideum</i> (A2).	<input checked="" type="checkbox"/>
Éponges	
<input checked="" type="checkbox"/>	<input checked="" type="checkbox"/>
Ascidies	
2 espèces d'ascidies disparues : • <i>Didemnum</i> sp. (blanche) (A0/-2), • <i>Clavelina detorta</i> (A0/-2).	<input checked="" type="checkbox"/>
Bryozoaires	
<input checked="" type="checkbox"/>	<input checked="" type="checkbox"/>

4.2.3 Les poissons (ST02)

La liste des espèces observées⁶ sur les transects et les résultats bruts sont fournis dans le [tableau 22](#).

Tableau 22 : Données sur les poissons (ST02)

Creek baie nord ST02		Transect			Transect			Station		
		A			B			Moyenne		
Fam	Espèces	Nb	Dens	Biom	Nb	Dens	Biom	Nb	Dens	Biom
Aca	<i>Acanthurus blochii</i>				1	0,01	0,56	0,50	0,00	0,28
Aca	<i>Naso unicornis</i>				1	0,00	5,33	0,50	0,00	2,67
Cae	<i>Caesio cuning</i>				10	0,06	0,91	5,00	0,03	0,46
Cha	<i>Chaetodon auriga</i>				2	0,01	0,15	1,00	0,01	0,07
Cha	<i>Chaetodon ephippium</i>				2	0,01	0,17	1,00	0,00	0,08
Cha	<i>Chaetodon flavirostris</i>				3	0,01	0,55	1,50	0,01	0,27
Cha	<i>Chaetodon lunulatus</i>				3	0,02	0,22	1,50	0,01	0,11
Cha	<i>Chaetodon melannotus</i>				2	0,01	0,02	1,00	0,00	0,01
Cha	<i>Chaetodon ulietensis</i>	1	0,01	0,03	1	0,01	0,07	1,00	0,01	0,05
Epi	<i>Cephalopholis boenak</i>				1	0,03	0,17	0,50	0,01	0,09
Epi	<i>Plectropomus leopardus</i>	1	0,01	2,23				0,50	0,00	1,12
Lab	<i>Hemigymnus melapterus</i>				1	0,00	0,28	0,50	0,00	0,14
Lut	<i>Lutjanus russellii</i>				1	0,00	2,25	0,50	0,00	1,13
Lut	<i>Lutjanus vitta</i>	4	0,03	3,33				2,00	0,01	1,67
Mul	<i>Parupeneus spilurus</i>	1	0,01	0,97				0,50	0,01	0,49
Nem	<i>Scolopsis bilineatus</i>	3	0,02	0,74	3	0,04	0,75	3,00	0,03	0,75
Pom	<i>Abudefduf whitleyi</i>	4	0,04	0,10	5	0,08	0,85	4,50	0,06	0,48
Pom	<i>Chrysiptera rollandi</i>	4	0,04	0,02	1	0,03	0,01	2,50	0,03	0,02
Pom	<i>Pomacentrus aurifrons</i>	25	0,25	0,14	1	0,03	0,01	13,00	0,14	0,07
Pom	<i>Pomacentrus moluccensis</i>	3	0,03	0,04	1	0,02	0,02	2,00	0,02	0,03
Sca	<i>Scarus chameleon</i>				1	0,01	0,22	0,50	0,00	0,11
Sca	<i>Scarus flavipectoralis</i>	2	0,02	2,33				1,00	0,01	1,17
Sig	<i>Siganus vulpinus</i>				2	0,01	0,09	1,00	0,00	0,04
Total		48	0,46	9,93	42	0,39	12,63	45	0,39	11,31
Biodiversité		10			19			23		
Indice de Shannon =		3,730								
Equitabilité =		0,825								

Sur l'ensemble des transects de la station, 90 individus appartenant à 23 espèces différentes ont pu être observés. Ils représentent une densité de 0.39 poisson/m² pour une biomasse de 11.31 g/m².

65 espèces complémentaires (e.g. hors des transects et hors liste restreinte [*en rouge*]) ont été observées sur la station (cf. [tableau 23](#)).

Tableau 23 : Liste des espèces complémentaires (ST02)

Fam	Espèces	Fam	Espèces	Fam	Espèces
Aca	<i>Acanthurus blochii</i>	Gra	<i>Diploprion bifasciatum</i>	Nem	<i>Scolopsis bilineatus</i>
Aca	<i>Naso unicornis</i>	Hae	<i>Plectorhinchus chaetodonoides</i>	Ple	<i>Assessor macneilli</i>

⁶ Données par rapport à la liste restreinte du cahier des charges, cf. annexe n°01

Aca	<i>Zebrasoma veliferum</i>	Hol	<i>Myripristis kuntee</i>	Poc	<i>Pomacanthus sexstriatus</i>
Apo	<i>Cheilodipterus macrodon</i>	Hol	<i>Myripristis murdjan</i>	Pom	<i>Abudefduf whitleyi</i>
Apo	<i>Cheilodipterus quinquelineatus</i>	Hol	<i>Neoniphon sammara</i>	Pom	<i>Amblyglyphidodon melanopterus</i>
Cae	<i>Caesio cuning</i>	Hol	<i>Sargocentron spiniferum</i>	Pom	<i>Chromis fumea</i>
Cha	<i>Chaetodon auriga</i>	Lab	<i>Cheilinus fasciatus</i>	Pom	<i>Chrysiptera rollandi</i>
Cha	<i>Chaetodon bennetti</i>	Lab	<i>Choerodon fasciatus</i>	Pom	<i>Chrysiptera taupou</i>
Cha	<i>Chaetodon ephippium</i>	Lab	<i>Coris gaimard</i>	Pom	<i>Dascyllus aruanus</i>
Cha	<i>Chaetodon flavirostris</i>	Lab	<i>Epibulus insidiator</i>	Pom	<i>Dascyllus reticulatus</i>
Cha	<i>Chaetodon lineolatus</i>	Lab	<i>Halichoeres argus</i>	Pom	<i>Neoglyphidodon melas</i>
Cha	<i>Chaetodon lunulatus</i>	Lab	<i>Halichoeres prosopion</i>	Pom	<i>Neopomacentrus azysron</i>
Cha	<i>Chaetodon melannotus</i>	Lab	<i>Hemigymnus melapterus</i>	Pom	<i>Pomacentrus aurifrons</i>
Cha	<i>Chaetodon plebeius</i>	Lab	<i>Labroides dimidiatus</i>	Pom	<i>Pomacentrus moluccensis</i>
Cha	<i>Chaetodon ulietensis</i>	Lab	<i>Labropsis australis</i>	Sca	<i>Scarus chameleon</i>
Epi	<i>Anyperodon leucogrammicus</i>	Lab	<i>Oxycheilinus digrammus</i>	Sca	<i>Scarus flavipectoralis</i>
Epi	<i>Cephalopholis boenak</i>	Lab	<i>Thalassoma lunare</i>	Scr	<i>Pterois volitans</i>
Epi	<i>Cromileptes altivelis</i>	Lut	<i>Lutjanus ehrenbergii</i>	Sig	<i>Siganus doliatus</i>
Epi	<i>Epinephelus maculatus</i>	Lut	<i>Lutjanus russellii</i>	Sig	<i>Siganus puellus</i>
Epi	<i>Epinephelus ongus</i>	Lut	<i>Lutjanus vitta</i>	Sig	<i>Siganus vulpinus</i>
Epi	<i>Epinephelus polyphkadion</i>	Mon	<i>Oxymonacanthus longirostris</i>	Syn	<i>Synodus variegatus</i>
Epi	<i>Plectropomus leopardus</i>	Mul	<i>Parupeneus spilurus</i>		

Le nombre d'espèces présentes pour chaque famille (observée depuis 2007) est donné dans le [tableau 24](#) et spécifiquement pour cette campagne sur la [figure 13](#).

Tableau 24 : Nombre d'espèces par famille ichthyologique (ST02)

Familles	Nb d'espèces vues (zone et période totale)	Nb d'espèces		Proportions	
		Campagne	Moy.	Campagne	Moy.
Acanthuridae	40	2	0,75	5,00	1,88
Chaetodontidae	30	6	3,92	20,00	13,06
Epinephelinae	26	2	1,79	7,69	6,89
Labridae	97	1	1,13	1,03	1,16
Lethrinidae	16	0	0,04	0,00	0,26
Lutjanidae	22	2	0,58	9,09	2,65
Mullidae	14	1	0,25	7,14	1,79
Pomacanthidae	14	0	0,29	0,00	2,08
Pomacentridae	92	4	3,67	4,35	3,99
Scaridae	23	2	1,29	8,70	5,62
Siganidae	10	1	0,83	10,00	8,33
Autres	257	2	1,29	0,78	0,50
Khi2 obs		4,7		20,7	
Khi2 tab		19,17			

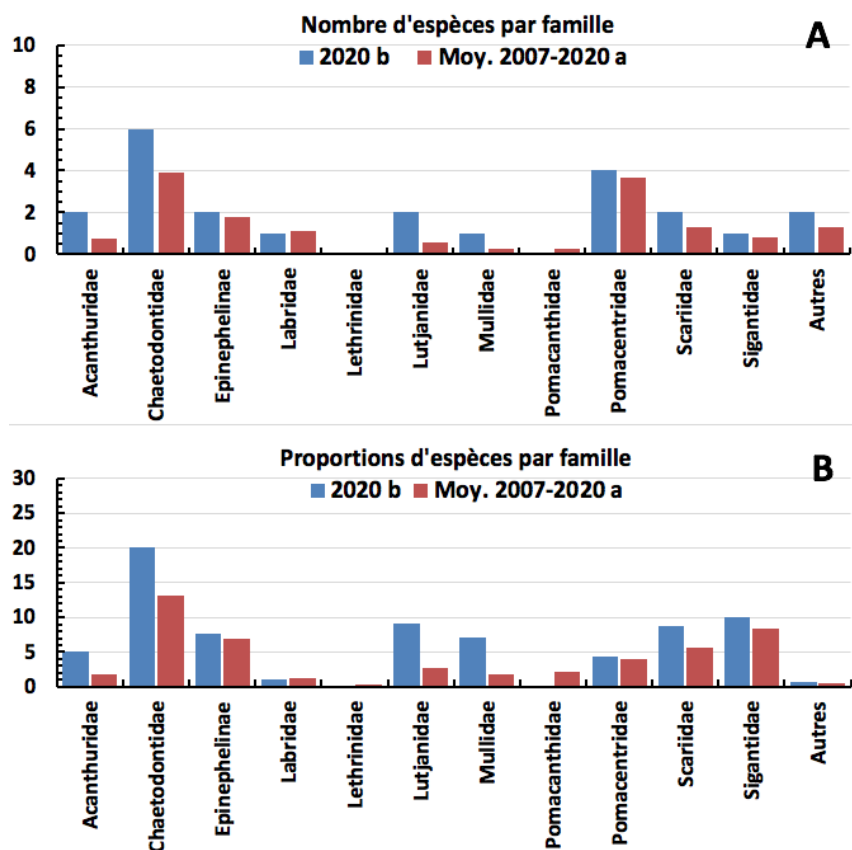


Figure 13 : Structure du peuplement pour cette mission relativement à la moyenne (ST02)

L'histogramme A compare pour une famille les effectifs vus lors de cette mission avec la moyenne et l'histogramme B compare les proportions de cet effectif vu par rapport à l'effectif total d'espèces vu pour cette même famille, sur la zone sud depuis les premières missions

Le récapitulatif des résultats en termes de :

- d'abondance (nombre d'individus, transects/liste restreinte),
- de densité (en poisson/m², transects/liste restreinte),
- de biomasse (en g/m², transects/liste restreinte),
- de biodiversité 1 (espèces observées sur les transects et de la liste restreinte),
- de biodiversité 2 (espèces observées sur la station (transects + complémentaires) et de la liste restreinte),
- de biodiversité 3 (toutes les espèces observées sur la station (transects + complémentaires / liste non restreinte)),

pour toutes les campagnes depuis 2007 est présenté dans le tableau 25 et la figure 14.

Tableau 25 : Synopsis des résultats et récapitulatif des années précédentes (ST02)

Creek baie nord ST02		Liste DENV					Toutes espèces
		Transect TLV				Station	Station
		Nb. ind.	Densité	Biom. g/m ²	Biodiv.1	Biodiv.2	Biodiv.3
2020 b	Transect A	48	0,46	9,93	48		
	Transect B	42	0,38	12,64	42		
	Moy. AB	45	0,42	11,28	23	45	65
2020 a	Moy. AB	36,50	0,37	4,37	14	28	47

2019 b	Moy. AB	63,50	1,06	8,26	16	50	70
2019 a	Moy. AB	69,00	1,07	16,91	27	41	66
2018 b	Moy. AB	188,00	3,03	14,08	16	38	54
2018 a	Moy. AB	29,50	0,74	1,45	7	19	30
2017 b	Moy. AB	51,50	0,43	4,29	14	44	72
2017 a	Moy. AB	88,50	0,98	15,73	20	30	53
2016 b	Moy. AB	84,5	0,74	6,62	22	43	66
2016 a	Moy. AB	116,00	0,89	39,32	20	41	63
2015 b	Moy. AB	88,00	1,03	20,65	17	45	70
2015 a	Moy. AB	108,00	1,06	45,06	30	45	69
2014 b	Moy. AB	292,50	6,17	71,48	27	40	69
2014 a	Moy. AB	57,00	0,71	3,59	10	39	54
2013 b	Moy. AB	103,00	1,14	21,17	29	45	61
2013 a	Moy. AB	152,50	1,91	45,07	8	49	68
2012 b	Moy. AB	88,50	1,36	20,09	16	36	51
2012 a	Moy. AB	89,00	1,10	23,17	14	41	52
2011 b	Moy. AB	134,00	1,18	100,16	16	38	54
2011 a	Moy. AB	35,50	0,45	56,40	13	27	38
2010 b	Moy. AB	45	1,41	4,23	8	39	51
2010 a	Moy. AB	33,50	1,68	6,71	10	33	47
2009	Moy. AB	29,50	1,49	6,73	9	13	34
2008	Moy. AB	35,50	1,76	26,05	12	19	30
2007	Moy. AB	33,50	1,12	5,46	6	23	33

L'écart relatif à la moyenne [$Er_i = (X_i - X_m) / X_m$] pour ces paramètres biologiques peut alors être calculé : cf. [tableau 26](#) et représentation [figure 15](#).

Tableau 26 : Ecart relatif à la moyenne des paramètres biologiques ichthyologiques depuis 2007 (ST02)

	Nb ind.	Densité	Biom.	Biodiv.1	Biodiv.2	Biodiv.3
Variance	3 668,6	1,3	592,0	50,8	99,2	180,1
Ecart type	60,6	1,2	24,3	7,1	10,0	13,4
Moyenne	84,0	1,3	23,1	16,2	36,4	54,8
Coef. de Var.	0,7	0,9	1,1	0,4	0,3	0,2

Commentaires :

- De nombreuses espèces (notamment les Chaetodontidae, Siganidae, Acanthuridae, Epinephelinae...) sont représentés par des individus juvéniles.
- Les nombres d'individus, la densité et la biomasse sur les transects présentent toujours des valeurs faibles.
- La diversité sur les transects (biodiversité 1, 2 et 3) est revenue à des valeurs élevées sans doute du fait d'une bonne visibilité.
- La demoiselle *Pomacentrus aurifrons* constitue toujours l'essentiel du peuplement des transects et rehausse ainsi la valeur des paramètres de densité et de nombre d'individus.
- Les observations, mission après mission, montrent des structures spécifiques changeantes. Mission après mission, de nombreuses espèces disparaissent des stations au profit d'autres, puis réapparaissent ou pas, une ou plusieurs missions plus tard.

Comme à la station précédente (ST01) de Casy, la structure spécifique considérée en nombre d'espèces (cf. § 3.4.3),

observée lors de cette mission ne diffère pas sensiblement de la structure moyenne obtenue sur la période. Mais en revanche, exprimée par rapport aux nombres d'espèces possibles (présentes dans la zone d'étude), les résultats divergent, du fait cette fois-ci de la bonne représentation des Chaetodons et des loches ainsi que de l'absence des Lethrinidae (Becs) et surtout des Pomacanthidae (Anges).

La mission précédente c'était au contraire leur absence qui singularisait la station. Il faut donc noter encore une fois, que ce sont deux phénomènes inverses (absence vs abondance) qui laissent la même trace "mathématique".

Ces résultats, soulignent une fois de plus la grande instabilité qualitative (i.e. spécifique) des peuplements lorsqu'ils sont décrits, comme c'est le cas, à partir de surfaces trop réduites. En effet, les listes de biodiversité 3 montrent que le nombre d'espèces de Labridae, de Siganidae, de Pomacanthidae ou même d'Epinephelinae n'a en fait pas beaucoup changé.

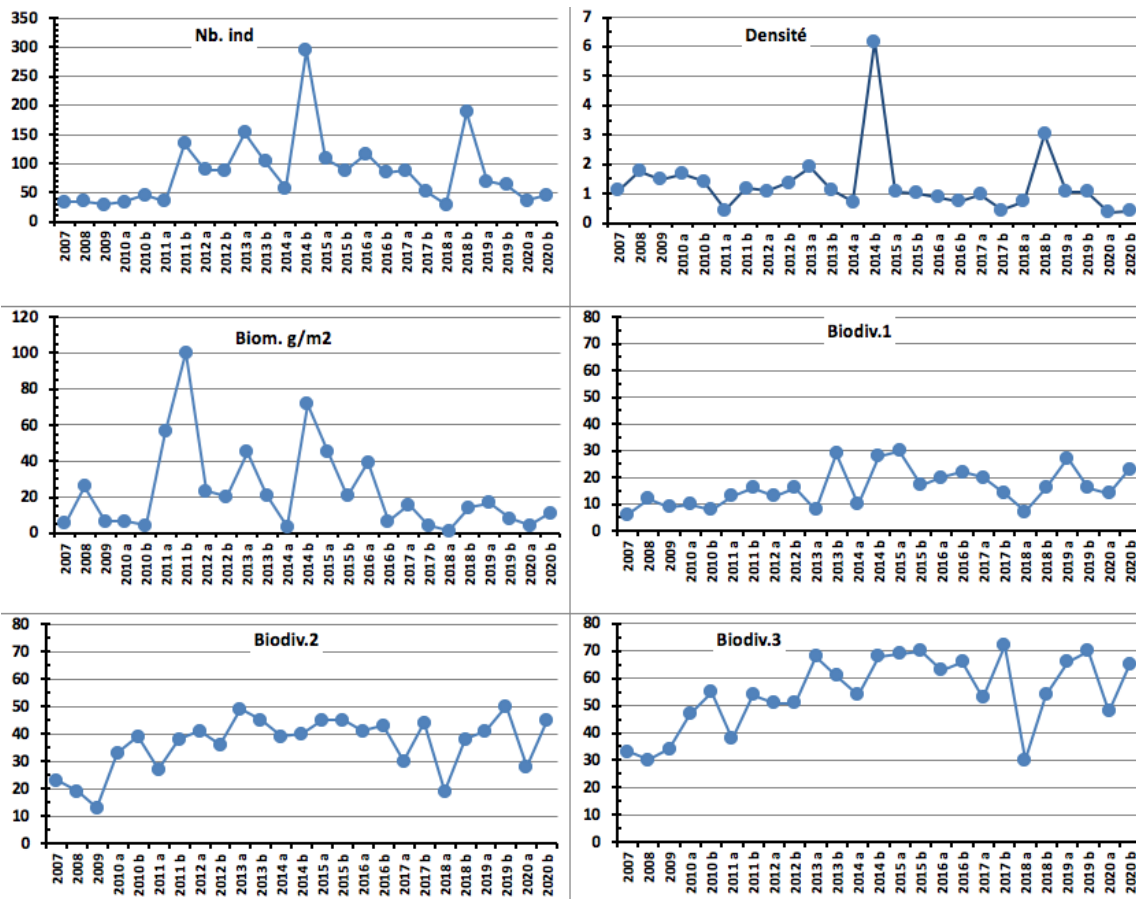


Figure 14 : Evolution des paramètres biologiques ichtyologiques depuis 2007 (ST02)

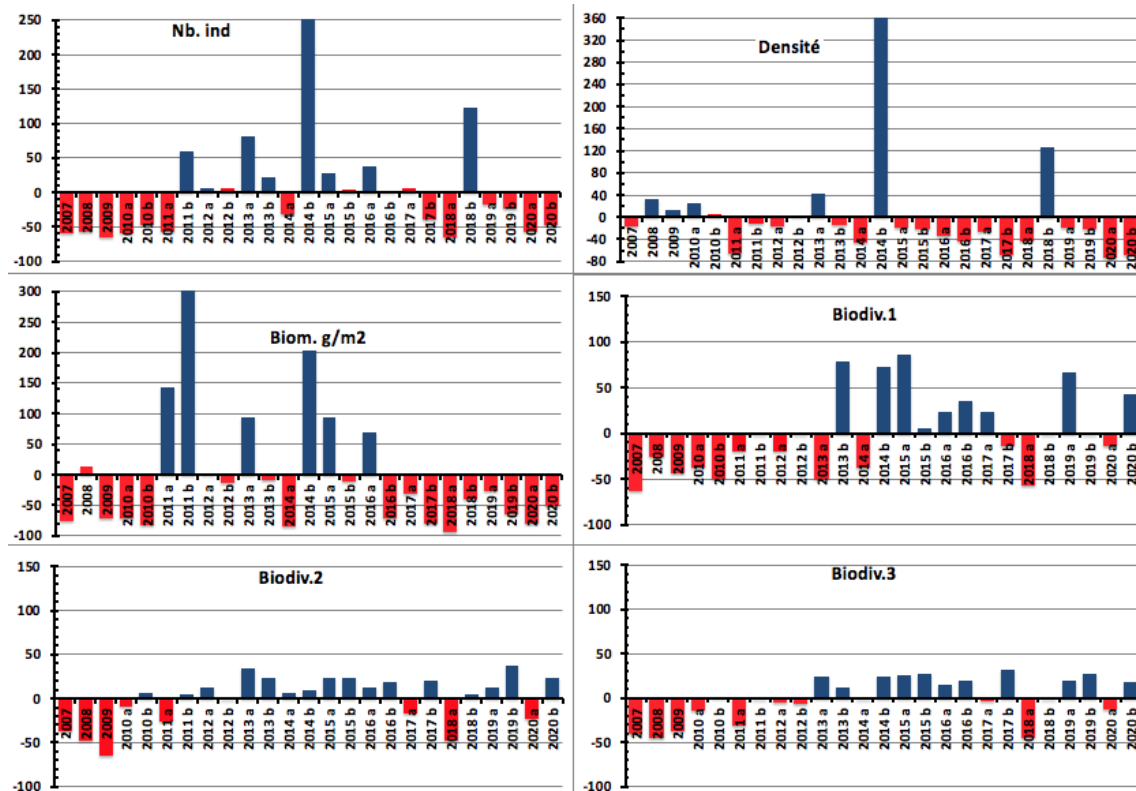


Figure 15 : Ecart relatif à la moyenne des paramètres biologiques ichtyologiques depuis 2007 (ST02)

4.3 Station 03 = Port

Localisation géographique	Au sud-est des quais du projet Goro Nickel (à +/- 150 m au plus près). Un petit creek (visible sur la photographie aérienne de la carte 05) débouche sur la côte, légèrement à l'est.
Nombre transects	3 transects.
Description transects	Ils ont été installés perpendiculairement à la pente à 5, 10 et 13 mètres de profondeur, dans une direction est-ouest.
	Le sommet de la pente sédimentaire a une inclinaison faible (entre 10 et 15°) puis cette inclinaison augmente de manière importante (35° à 40°) pour les profondeurs avoisinant les 15 mètres. Le transect A est sur un substrat peu colonisé et composé de vase sableuse avec des débris coralliens. Le transect B est en milieu de pente récifale et il est composé principalement par des coraux branchus et des débris coralliens recouverts d'algues. Le transect C est situé en bas de pente et il est composé par de la vase d'origine terrigène et des petits massifs coralliens.

Description générale

Cette station est située sur la pente récifale bordant un petit récif frangeant relativement bien préservé, mais la zone est fortement envasée. Cette sédimentation provient des apports terrigènes qui sont charriés par les creek et les rivières autour de cette zone. Lors de précipitations de nombreuses particules terrestres sont entraînées par ruissellement dans les cours d'eau créant un panache turbide se répartissant dans la baie selon les courants. En surface la visibilité peut être réduite à cause de l'apport d'eau douce de la rivière et de résurgences avec des matières en suspension (halocline : masse d'eau douce sur masse d'eau salée).

Le haut de la pente récifale (entre 3 et 6 m de profondeur) est composé de vase sableuse sur laquelle se développent des massifs coralliens épars et des *Halimeda gigas*. Ces blocs coralliens sont dispersés de manière hétérogènes et sont recouverts principalement par des algues brunes et de petites colonies coralliennes. Puis, à partir de 6 m de profondeur jusqu'en bas de pente, la pente récifale devient plus inclinée et le dépôt sédimentaire est de plus en plus important avec la profondeur. Le développement corallien va être en relation avec ce facteur limitant :

→ Les coraux branchus et les coraux à longs polypes vont se développer préférentiellement.

Pour les coraux branchus, la croissance est plus rapide que l'envasement, les colonies ne sont jamais recouvertes. Pour les coraux à longs polypes, les colonies coralliennes peuvent se dégager des dépôts vaseux par l'intermédiaire de leurs longs polypes.

→ Les colonies vont être de plus en plus petites avec la profondeur : en bas de pente récifale les colonies coralliennes sont la plupart du temps de taille décimétrique et leur assemblage caractérise un milieu turbide.

Cette station est à surveiller car la proximité du port et les mouvements de gros bateaux peuvent occasionner une remobilisation des particules sédimentaires et un envasement plus conséquent des colonies coralliennes (pouvant entraîner des proliférations de cyanobactéries et la présence de *Culcita*, astérie corallivore).

Caractéristiques principales

- ↪ Originalité des espèces coralliennes adaptées à un milieu turbide :
 - Présence de *Heliofungia actiniformis* en A
 - Présence *Alveopora catalai*, *Goniopora* spp. et d'espèces à croissance rapide *Acropora* spp. en B
 - Présence d'une colonie métrique de *Blastomussa merleti* en C (rare)
- ↪ La mortalité corallienne peut être induite par l'apport d'eau douce (dessalure) au niveau bathymétrique supérieur et par l'hyper sédimentation plus en profondeur
- ↪ Le turn over corallien est conséquent (colonies de petite taille, surtout en C). Malgré les conditions turbides importantes, les colonies juvéniles remplacent progressivement les colonies envasées
- ↪ Suite au blanchissement corallien du début d'année 2016, de nombreuses colonies d'*Acropora* tabulaires et branchues sont mortes en place dans les pourtours du transect A

- ↪ Abondance importante des alcyonaires (*Sarcophyton*)
- ↪ Le *Tridacna squamosa* en A est mort en octobre 2014
- ↪ Recouvrement très important et en constante augmentation de l'algue brune (genre *Lobophora*) en B & C
- ↪ Présence occasionnelle de *Culcita novaeguineae*

- ↪ **Présence d'*Acanthaster planci* :**
 - Seulement 1 spécimen en novembre 2018 en C
 - Prolifération en avril 2019 aux 3 transects (respectivement 1, 16 et 1 spécimens)
 - Seulement 1 spécimen en octobre 2019 en A & B
 - **Absence depuis mai 2020**

Variations entre mai et octobre 2020

Indicateur Corail :

- Le recouvrement corallien est de 3% au transect A, 6% en B et 4% en C. Légère baisse en B (vs 14%), stable en A et C
- Blanchissement corallien (surface totale observée) : *Octobre 2015 : 0% ; Avril 2016 : 1.33% ; Novembre 2016 : 0.53% ; Avril 2017 : 0% ; Septembre 2017 : 0% ; Mai 2018 : 0.17% ; Novembre 2018 : 0.20% ; Avril 2019 : 3.6% ; Octobre 2019 : 0.3% ; Mai 2020 : 0.67% ; Octobre 2020 : 0%*
- Lésions coralliennes : le développement très important des algues brunes (*Lobophora*) entraîne des lésions partielles et irréversibles sur de nombreuses colonies coralliennes (surtout en B & C)
 - Maladie corallienne : RAS
 - Perturbations sédimentaires : des dépôts sédimentaires conséquents ont été observés sur les colonies coralliennes pour l'ensemble de la station et plus particulièrement en B & C

Autres indicateurs :

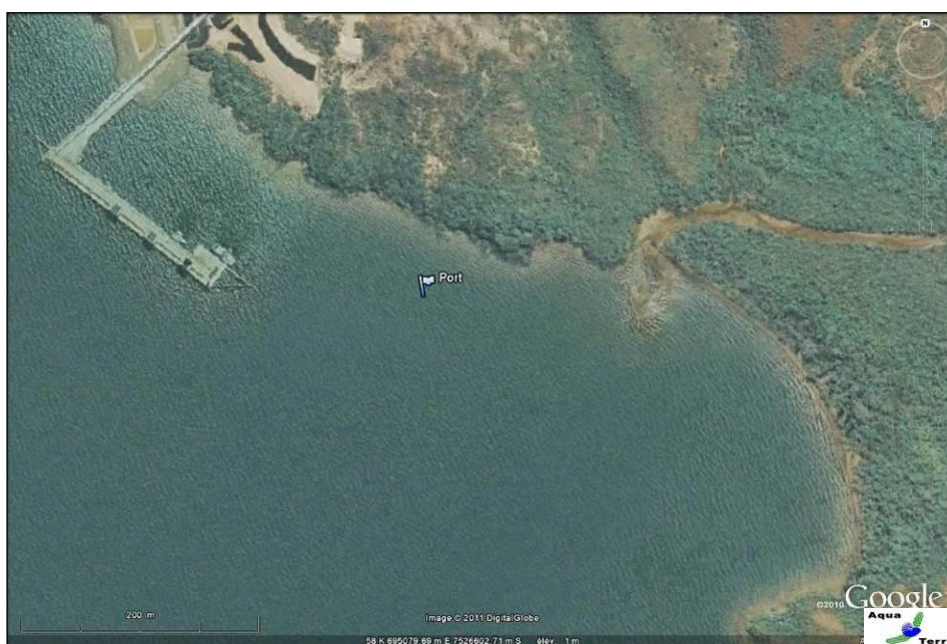
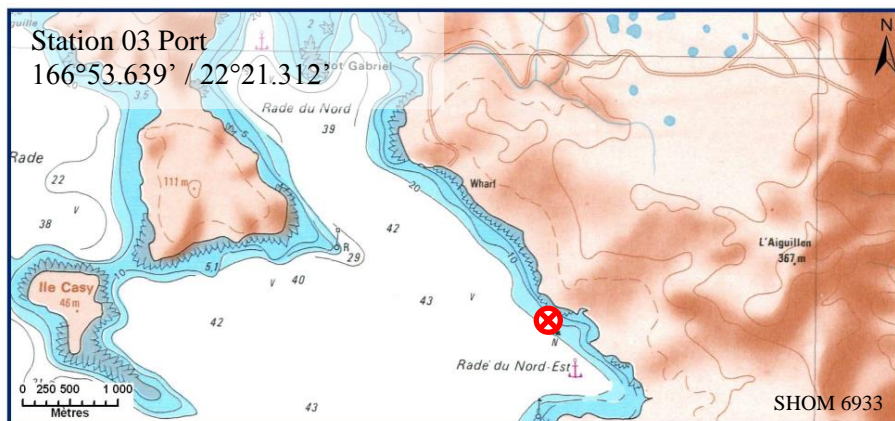
- Cyanobactéries : stable en A (niveau 2), augmentation en B (niveau 2 à 3). Elles se développent sur les débris coralliens et le substrat d'origine terrigène. Absence en C
- Le turf algal se développe modérément sur les débris coralliens et les colonies mortes en place
- **Algue brune *Lobophora* : présence importante mais stable aux 3 transects** (respectivement niveau 3, 5 et 3)
→ **caractère envahissant potentiel, particulièrement en B**
- Algue rouge *Asparagopsis taxiformis* : absente et stable
- *Cliona orientalis* : stable
- *Cliona jullieni* : variations continues entre les missions, autour du niveau 2

Les corallivores :

- *Acanthaster planci* : absence, stable
- *Culcita novaeguineae* : augmentation : 1 spécimen en C
- *Drupella cornus* : absence, stable



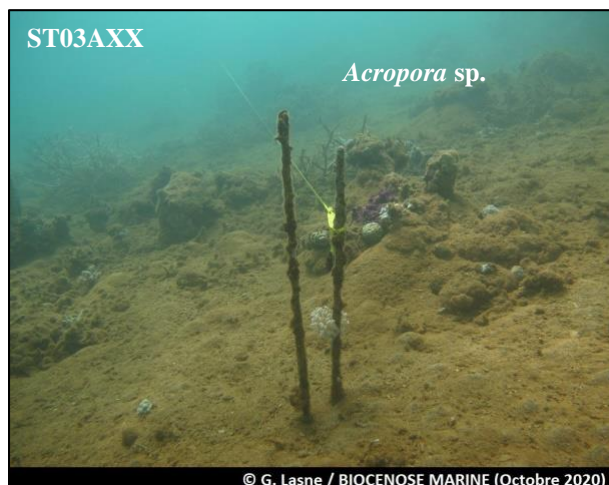
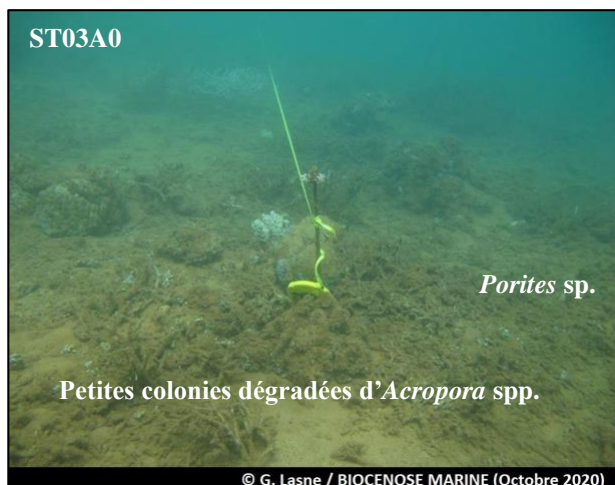
Photographie 06 : Vue aérienne : emplacement par rapport aux structures portuaires (ST03)



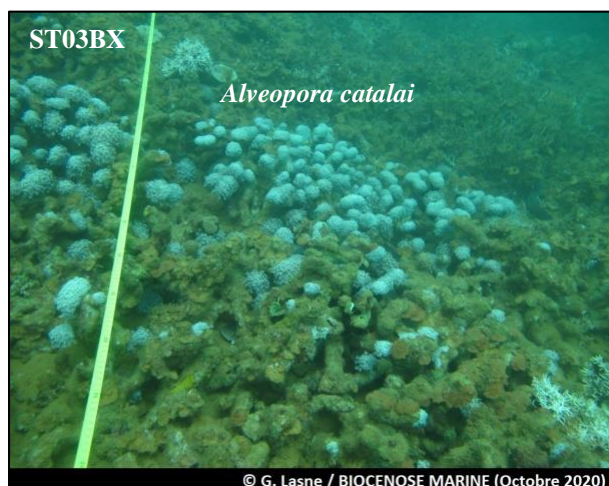
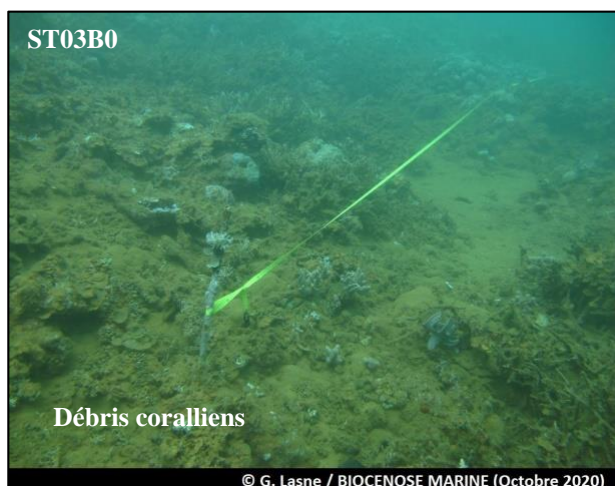
Carte 05 : Localisation de la station 03 (Port)



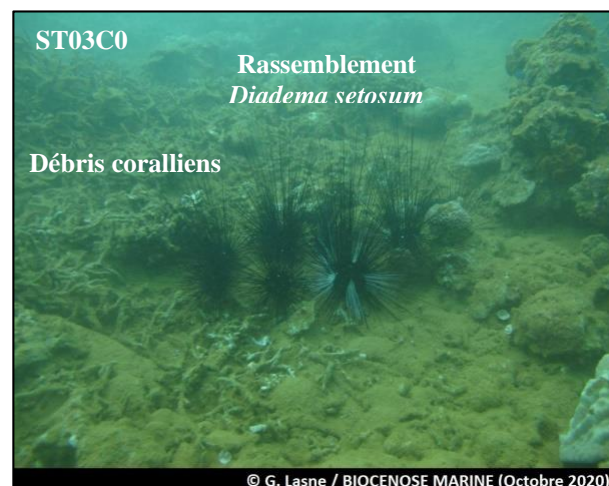
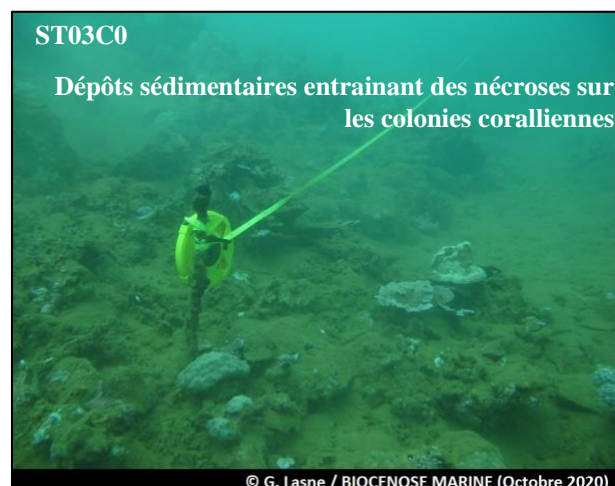
Photographie 07 : Position en surface par rapport aux structures portuaires (ST03)



**Nombreuses colonies coralliennes dégradées (sédimentation)
Substrat composé de sable vaseux (particules terrigènes) à article d'*Halimeda* et débris coralliens**



**Nombreuses colonies coralliennes mortes en place (sédimentation et anciennes *Acanthaster*)
Colonisation très importante de l'algue brune *Lobophora* dans les coraux branchus**



Photographie 08 : Vue d'ensemble des transects (ST03, présente mission)

4.3.1 Le substrat (ST03)

Le pourcentage de couverture de chaque composante est donné dans la figure 16 pour le transect A, dans la figure 17 pour le transect B et dans la figure 18 pour le transect C.

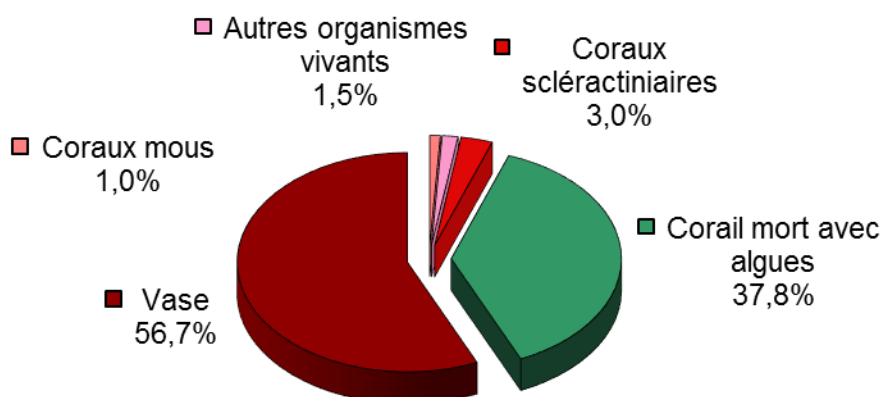


Figure 16 : Représentation du recouvrement (en %) du substrat pour ST03A

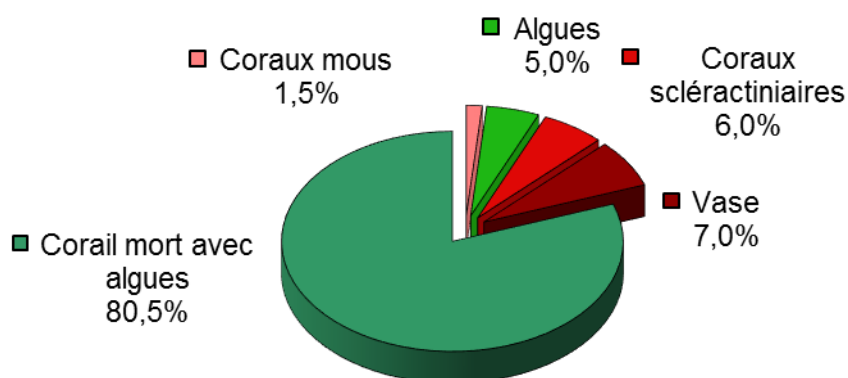


Figure 17 : Représentation du recouvrement (en %) du substrat pour ST03B

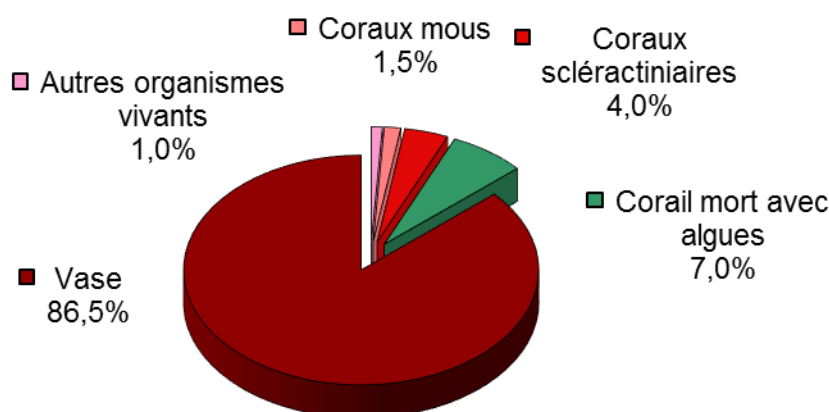


Figure 18 : Représentation du recouvrement (en %) du substrat pour ST03C

Le transect A est caractérisé par des fonds abiotiques du fait de la présence de vase (56.7 %). La partie biotique est essentiellement due à la classe « corail mort avec algues » (37.8%), les coraux scléactiniaires étant faiblement présents (3%).

Le transect B a un recouvrement biotique important (93%) dû essentiellement à la classe « corail mort avec algues » (80.5%). Les coraux scléactiniaires sont à mi pente faiblement représentés (6%). **A noter : 1% de cyanobactéries.**

Le transect C est très vaseux (86.5% de vase et d'abiotique), avec un peu de coraux scléactiniaires (4%).

La station dans son ensemble est stable, avec des fluctuations saisonnières dans le recouvrement algal.

4.3.2 Le benthos (ST03)

La liste des taxons cibles (cf. § 3.2.3) échantillonnés sur cette station et la liste complète des résultats bruts sont données en annexe n°04.

En octobre 2020, la richesse spécifique de la station Port (ST03) est composée de :

- **36 espèces d'invertébrés** dont 8 espèces de mollusques ; 8 espèces de cnidaires : alcyonaires (5 taxons), zoanthaires (2 taxons), actiniaires (1 taxon) ; 7 espèces d'échinodermes : astéries (2 taxons), holothurides (2 taxons), ophiurides (2 taxons), échinides (1 taxon) ; 9 espèces d'éponges ; 3 espèces d'ascidies
- **6 espèces de macrophytes** : algues brunes (3 taxons), algues vertes (2 taxons), algues rouges (1 taxon)
- **2 espèces de cyanobactéries.**

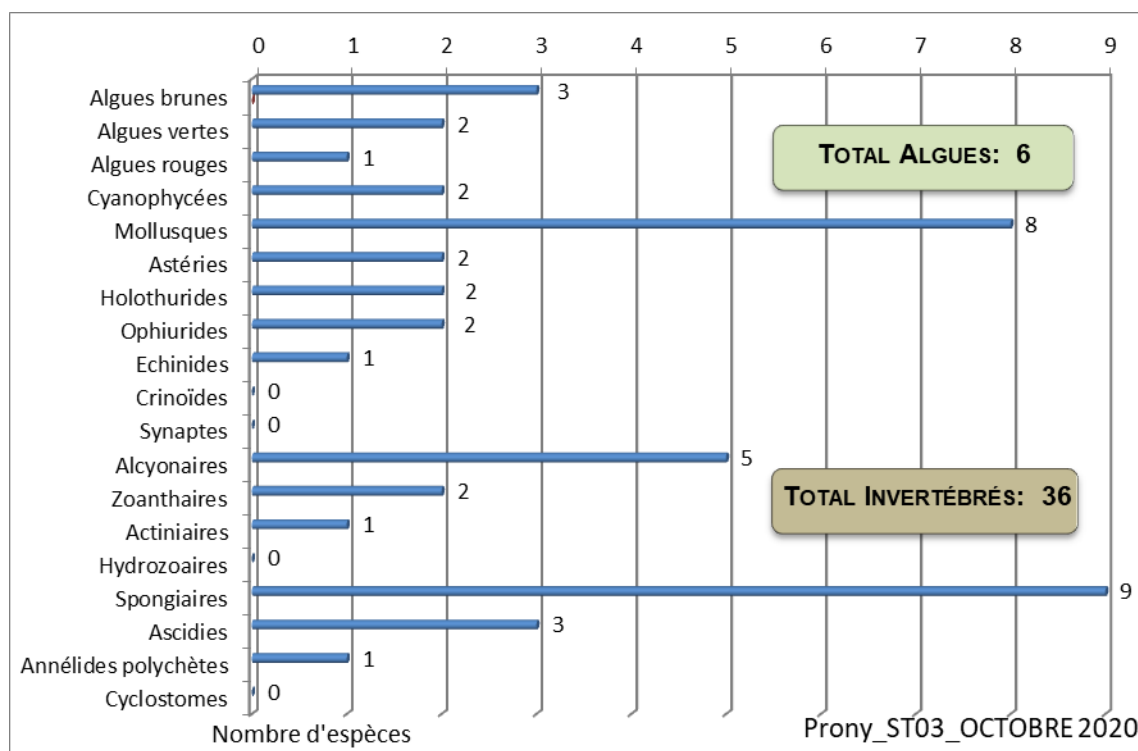


Figure 19 : Répartition par sous-groupe de la richesse spécifique des macrophytes et des invertébrés (hors coraux durs) (ST03)

4.3.2.1 Benthos Transect 03 A

En octobre 2020, la richesse spécifique du transect ST03A est composée de :

- 27 espèces d'invertébrés dont 7 espèces de mollusques ; 5 espèces de cnidaires : alcyonaires (4 taxons), zoanthaires (1 taxon) ; 6 espèces d'échinodermes : holothurides (2 taxons), ophiurides (2 taxons), astéries (1 taxon), échinides (1 taxon) ; 5 espèces d'éponges ; 3 espèces d'ascidies
- 5 espèces de macrophytes : algues brunes (2 taxons), algues vertes (2 taxons), algues rouges (1 taxon)
- 1 espèce de cyanobactéries.

Tableau 27 : Variations entre mai et octobre 2020 : Les biocénoses* (ST03A)

Evolution de la richesse spécifique des biocénoses*	Evolution de l'abondance
Algues	
Une nouvelle espèce d'algue recensée, l'algue brune : • <i>Padina</i> sp. (A2). Une espèce d'algue disparue, l'algue brune : • <i>Dictyota</i> sp. (A0/-2).	2 espèces d'algues augmentent, dont 2 espèces d'algues vertes : • <i>Halimeda</i> sp. (2spp., A3/+ 1). Aucune espèce d'algues ne diminue.
Cyanobactéries	
<input checked="" type="checkbox"/>	<input checked="" type="checkbox"/>
Cnidaires	
<input checked="" type="checkbox"/>	Une espèce de cnidaires diminue d'abondance : > pour les alcyonaires (1 espèce) : <i>Cladiella</i> sp. (A1/- 1).
Échinodermes	
2 espèces d'échinodermes disparues : > pour les astéries (-2 espèce) : • <i>Echinaster varicolor</i> (A0/-1), • <i>Fromia monilis</i> (A0/-1).	Une espèce d'échinodermes diminue d'abondance : > pour les ophiurides : • <i>Ophiomastix caryophyllata</i> (A2/- 1).
Mollusques	
Une nouvelle espèce de mollusques recensée : > pour les bivalves (1 espèce) : • <i>Pinctada margaritifera</i> (A1). 2 espèces de mollusques disparues : > pour les bivalves (-1 espèce) : • <i>Tridacna squamosa</i> (A0/-1) ; > pour les nudibranches (-1 sp) : • <i>Phyllidiella pustulosa</i> (A0/-1).	Une espèce de mollusques diminue d'abondance : > pour les bivalves (1 espèce) : • <i>Isognomon isognomon</i> (A2/- 1).
Éponges	
2 nouvelles espèces d'éponges recensées : • <i>Dactylia delicata</i> (A1), •Spongiaires ind. (orange) (A1). Une espèce d'éponges disparue : • <i>Dysidea frondosa</i> (A0/-2).	Une espèce d'éponges diminue d'abondance : • <i>Cliona jullieni</i> (A2/- 1).
Ascidies	
Une nouvelle espèce d'ascidies recensée : • <i>Polycarpa aurita</i> (A2).	Une espèce d'ascidies diminue d'abondance : • <i>Polycarpa cryptocarpa</i> (A1/- 1).
Bryozoaires	
<input checked="" type="checkbox"/>	<input checked="" type="checkbox"/>

4.3.2.2 Benthos Transect 03 B

En octobre 2020, la richesse spécifique du transect ST03B est composée de :

- 14 espèces d'invertébrés dont une espèce de mollusques ; 3 espèces de cnidaires : alcyonaires (3 taxons) ; 4 espèces d'échinodermes : ophiurides (2 taxons), échinides (1 taxon), holothurides (1 taxon) ; 5 espèces d'éponges ; une espèce d'ascidies
- 4 espèces de macrophytes : algues brunes (2 taxons), algues rouges (1 taxon), algues vertes (1 taxon)
- 2 espèces de cyanobactéries.

Tableau 28 : Variations entre mai et octobre 2020 : Les biocénoses (ST03B)*

Evolution de la richesse spécifique des biocénoses*	Evolution de l'abondance
Algues	
Une nouvelle espèce d'algue recensée, l'algue verte : • <i>Halimeda</i> sp. (A2) ; Aucune espèce d'algues n'a disparue.	Aucune espèce d'algues n'augmente. Aucune espèce d'algues ne diminue.
Cyanobactéries	
1 nouvelle sp de cyanobactéries recensée : • <i>Symploca hydroides</i> (A2).	<input checked="" type="checkbox"/>
Cnidaires	
2 espèces de cnidaires disparues : > pour les alcyonaires (-2 sp) : • <i>Cladiella</i> sp. (A0/-2), • <i>Nephtea</i> sp. (A0/-2)	<input checked="" type="checkbox"/>
Échinodermes	
2 espèces d'échinodermes disparues : > pour les astéries (-1 espèce) : • <i>Echinaster varicolor</i> (A0/-1) ; > pour les holothurides (-1 espèce) : • <i>Holothuria edulis</i> (A0/-2)	2 espèces d'échinodermes diminuent d'abondance : > pour les échinides (1 sp) : • <i>Diadema setosum</i> (A2/- 1) ; > pour les holothurides (1) : • <i>Holothuria flavomaculata</i> (A3/-1)
Mollusques	
<input checked="" type="checkbox"/>	<input checked="" type="checkbox"/>
Éponges	
3 nouvelles espèces d'éponges recensées : • <i>Dysidea arenaria</i> (A2), • <i>Dysidea frondosa</i> (A2), • <i>Dysidea herbacea</i> (A1). 1 espèce d'éponges disparue : • <i>Spherospongia vagabunda</i> (A0/-1)	Une espèce d'éponges augmente d'abondance : • <i>Cliona jullieni</i> (A2/+ 1).
Ascidies	
Une nouvelle espèce d'ascidies recensée : • <i>Polycarpa nigricans</i> (A2).	<input checked="" type="checkbox"/>
Bryozoaires	
<input checked="" type="checkbox"/>	<input checked="" type="checkbox"/>

4.3.2.3 Benthos Transect 03 C

En octobre 2020, la richesse spécifique du transect ST03C est composée de :

- 23 espèces d'invertébrés dont 4 espèces de mollusques ; 7 espèces de cnidaires : alcyonaires (5 taxons), actiniaires (1 taxon), zoanthaires (1 taxon) ; 5 espèces d'échinodermes : ophiurides (2 taxons), astéries (1 taxon), échinides (1 taxon), holothurides (1 taxon) ; 4 espèces d'éponges ; 2 espèces d'ascidies
- 2 espèces de macrophytes : algues brunes (1 taxon), algues rouges (1 taxon)
- **Aucun taxon n'a été recensé dans le groupe des cyanobactéries.**

Tableau 29 : Variations entre mai et octobre 2020 : Les biocénoses (ST03C)*

Evolution de la richesse spécifique des biocénoses*	Evolution de l'abondance
Algues	
Aucune nouvelle espèce d'algues recensée ni n'a disparue.	Aucune espèce d'algues n'augmente ni ne diminue.
Cyanobactéries	
<input checked="" type="checkbox"/>	<input checked="" type="checkbox"/>
Cnidaires	
<input checked="" type="checkbox"/>	Une espèce de cnidaires augmente d'abondance : ➤ pour les alcyonaires (1 espèce) : • <i>Sarcophyton</i> sp. (A3/+ 1). Une espèce de cnidaires diminue d'abondance : ➤ pour les alcyonaires (1 espèce) : • <i>Cladiella</i> sp. (A1/- 1).
Échinodermes	
Une nouvelle espèce d'échinodermes recensée : ➤ pour les astéries (1 espèce) : • <i>Culcita novaeguineae</i> (A1). Une espèce d'échinodermes disparue : ➤ pour les holothurides (-1 espèce) : • <i>Holothuria edulis</i> (A0/-2).	2 espèces d'échinodermes augmentent d'abondance : ➤ pour les échinides (1 sp) : • <i>Diadema setosum</i> (A3/+ 1) ; ➤ pour les holothurides (1 espèce) : <i>Holothuria flavomaculata</i> (A3/+ 1).
Mollusques	
<input checked="" type="checkbox"/>	Une espèce de mollusques augmente d'abondance : ➤ pour les bivalves (1 espèce) : • <i>Hyotissa hyotis</i> (A2/+ 1).
Éponges	
Une nouvelle espèce d'éponges recensée : • <i>Hamigera strongylata</i> (A2).	Une espèce d'éponges augmente d'abondance : • <i>Cliona jullieni</i> (A2/+ 1).
Ascidies	
2 nouvelles espèces d'ascidies recensées : • <i>Polycarpa cryptocarpa</i> (A2), • <i>Polycarpa nigricans</i> (A2).	<input checked="" type="checkbox"/>
Bryozoaires	
<input checked="" type="checkbox"/>	<input checked="" type="checkbox"/>

4.3.3 Les poissons (ST03)

La liste des espèces observées⁷ sur les transects et les résultats bruts sont fournis dans le tableau 30.

Tableau 30 : Données sur les poissons (ST03)

Port ST03		Transect			Transect			Transect			Station		
Fam	Espèces	A			B			C			Moyenne		
		Nb	Dens	Biom	Nb	Dens	Biom	Nb	Dens	Biom	Nb	Dens	Biom
Ble	<i>Meiacanthus atrodorsalis</i>				1	0,02	0,02				0,33	0,01	0,01
Can	<i>Canthigaster valentini</i>				1	0,02	0,00				0,33	0,01	0,00
Cha	<i>Chaetodon auriga</i>	1	0,02	0,07							0,33	0,01	0,02
Cha	<i>Chaetodon bennetti</i>				2	0,03	0,04				0,67	0,01	0,01
Cha	<i>Chaetodon lunulatus</i>	2	0,03	0,08							0,67	0,01	0,03
Cha	<i>Chaetodon lunulatus</i>				3	0,05	0,06				1,00	0,02	0,02
Cha	<i>Chaetodon plebeius</i>	1	0,02	0,02	1	0,02	0,01				0,67	0,01	0,01
Cha	<i>Heniochus acuminatus</i>							1	0,01	0,17	0,33	0,00	0,06
Epi	<i>Cephalopholis boenak</i>				1	0,02	0,04	1	0,01	0,04	0,67	0,01	0,03
Epi	<i>Epinephelus merra</i>				1	0,02	0,07				0,33	0,01	0,02
Epi	<i>Epinephelus tauvina</i>							1	0,01	0,56	0,33	0,00	0,19
Lut	<i>Lutjanus vitta</i>				4	0,07	0,17				1,33	0,02	0,06
Mul	<i>Parupeneus cyclostomus</i>							3	0,03	1,69	1,00	0,01	0,56
Mul	<i>Upeneus tragula</i>							5	0,04	1,44	1,67	0,01	0,48
Nem	<i>Scolopsis bilineatus</i>	2	0,03	0,34	2	0,03	0,34				1,33	0,02	0,23
Poc	<i>Pomacanthus sexstriatus</i>							1	0,01	1,33	0,33	0,00	0,44
Pom	<i>Abudefduf whitleyi</i>				4	0,07	0,29				1,33	0,02	0,10
Pom	<i>Chrysiptera rollandi</i>	4	0,07	0,04	4	0,07	0,04				2,67	0,04	0,02
Pom	<i>Dascyllus aruanus</i>	10	0,17	0,09							3,33	0,06	0,03
Pom	<i>Dascyllus reticulatus</i>	15	0,25	0,14	10	0,17	0,09				8,33	0,14	0,08
Pom	<i>Pomacentrus aurifrons</i>	20	0,33	0,18	20	0,33	0,18				13,33	0,22	0,12
Pom	<i>Pomacentrus moluccensis</i>	4	0,07	0,09	4	0,07	0,09				2,67	0,04	0,06
Sca	<i>Chlorurus sordidus</i>	2	0,03	0,49							0,67	0,01	0,16
Sca	<i>Scarus flavipectoralis</i>	3	0,05	1,00							1,00	0,02	0,33
Sig	<i>Siganus doliatus</i>	2	0,03	0,14	2	0,03	0,08				1,33	0,02	0,08
Sig	<i>Siganus vulpinus</i>	2	0,03	0,23	2	0,03	0,08				1,33	0,02	0,10
Zan	<i>Zanclus cornutus</i>	1	0,02	0,33							0,33	0,01	0,11
Total		69	1,15	3,24	62	1,03	1,61	12	0,10	5,23	47,67	0,76	3,36
Biodiversité		14			16			6			27		
Indice de Shannon =		3,781											
Equitabilité =		0,791											

Sur l'ensemble des transects de la station, 143 individus appartenant à 27 espèces différentes ont pu être observés. Ils représentent une densité de 0.76 poisson/m² pour une biomasse de 3.36 g/m².

70 espèces complémentaires (e.g. hors des transects et hors liste restreinte [*en rouge*]) ont été observées sur la station (cf. tableau 31).

Tableau 31 : Liste des espèces complémentaires (ST03)

Fam	Espèces	Fam	Espèces	Fam	Espèces
Aca	<i>Acanthurus blochii</i>	Gob	<i>Valenciennea randalli</i>	Pom	<i>Abudefduf whitleyi</i>
Aca	<i>Ctenochaetus striatus</i>	Gra	<i>Diploprion bifasciatum</i>	Pom	<i>Amblyglyphidodon leucogaster</i>
Aca	<i>Naso unicornis</i>	Lab	<i>Cheilinus chlorourus</i>	Pom	<i>Chromis amboinensis</i>

⁷ Données par rapport à la liste restreinte du cahier des charges, cf. annexe n°01

Aca	<i>Zebrasoma scopas</i>	Lab	<i>Cheilinus undulatus</i>	Pom	<i>Chrysiptera rollandi</i>
Aca	<i>Zebrasoma veliferum</i>	Lab	<i>Halichoeres argus</i>	Pom	<i>Chrysiptera taupou</i>
Apo	<i>Archamia fucata</i>	Lab	<i>Halichoeres prosopeion</i>	Pom	<i>Dascyllus aruanus</i>
Apo	<i>Cheilodipterus macrodon</i>	Lab	<i>Hemigymnus melapterus</i>	Pom	<i>Dascyllus reticulatus</i>
Apo	<i>Ostorhinchus angustatus</i>	Lab	<i>Oxycheilinus celebicus</i>	Pom	<i>Pomacentrus adelus</i>
Ble	<i>Meiacanthus atrodorsalis</i>	Lab	<i>Thalassoma lunare</i>	Pom	<i>Pomacentrus aurifrons</i>
Can	<i>Canthigaster valentini</i>	Let	<i>Lethrinus harak</i>	Pom	<i>Pomacentrus coelestis</i>
Cha	<i>Chaetodon auriga</i>	Lut	<i>Lutjanus fulvus</i>	Pom	<i>Pomacentrus moluccensis</i>
Cha	<i>Chaetodon baronessa</i>	Lut	<i>Lutjanus vitta</i>	Pom	<i>Pomacentrus nagasakiensis</i>
Cha	<i>Chaetodon bennetti</i>	Mic	<i>Gunnellichthys viridescens</i>	Pri	<i>Priacanthus hamrur</i>
Cha	<i>Chaetodon ephippium</i>	Mul	<i>Parupeneus barberinoides</i>	Sca	<i>Chlorurus sordidus</i>
Cha	<i>Chaetodon lunulatus</i>	Mul	<i>Parupeneus cyclostomus</i>	Sca	<i>Scarus flavipectoralis</i>
Cha	<i>Chaetodon plebeius</i>	Mul	<i>Parupeneus indicus</i>	Sca	<i>Scarus ghobban</i>
Cha	<i>Heniochus acuminatus</i>	Mul	<i>Upeneus tragula</i>	Sca	<i>Scarus niger</i>
Epi	<i>Cephalopholis boenak</i>	Nem	<i>Pentapodus caninus</i>	Sig	<i>Siganus corallinus</i>
Epi	<i>Epinephelus maculatus</i>	Nem	<i>Scolopsis bilineatus</i>	Sig	<i>Siganus doliatus</i>
Epi	<i>Epinephelus merra</i>	Pin	<i>Parapercis hexophtalma</i>	Sig	<i>Siganus fuscescens</i>
Epi	<i>Epinephelus ongus</i>	Poc	<i>Centropyge bicolor</i>	Sig	<i>Siganus vulpinus</i>
Epi	<i>Epinephelus tauvina</i>	Poc	<i>Centropyge bicolor</i>	Tet	<i>Arothron meleagris</i>
Epi	<i>Plectropomus leopardus</i>	Poc	<i>Pomacanthus sexstriatus</i>	Zan	<i>Zanclus cornutus</i>
Gob	<i>Valenciennesa decora</i>				

Le nombre d'espèces présentes pour chaque famille (observée depuis 2007) est donné dans le [tableau 32](#) et spécifiquement pour cette campagne sur la [figure 20](#).

Tableau 32 : Nombre d'espèces par famille ichtyologique (ST03)

Familles	Nb d'espèces vues (zone et période totale)	Nb d'espèces		Proportions	
		Campagne	Moy.	Campagne	Moy.
Acanthuridae	40	0	0,83	0,00	2,08
Chaetodontidae	30	6	2,54	20,00	8,47
Epinephelinae	26	3	1,29	11,54	4,97
Labridae	97	0	1,04	0,00	1,07
Lethrinidae	16	0	0,04	0,00	0,26
Lutjanidae	22	1	0,00	4,55	0,00
Mullidae	14	2	0,88	14,29	6,25
Pomacanthidae	14	1	0,29	7,14	2,08
Pomacentridae	92	6	4,96	6,52	5,39
Scaridae	23	2	1,38	8,70	5,98
Siganidae	10	2	1,25	20,00	12,50
Autres	257	4	3,54	1,56	1,38
Khi2 obs		6,4		14,0	
Khi2 tab				18,17	

Le récapitulatif des résultats en termes de :

- d'abondance (nombre d'individus, transects/liste restreinte),
- de densité (en poisson/m², transects/liste restreinte),
- de biomasse (en g/m², transects/liste restreinte),

- de biodiversité 1 (espèces observées sur les transects et de la liste restreinte),
- de biodiversité 2 (espèces observées sur la station (transects + complémentaires) et de la liste restreinte),
- de biodiversité 3 (toutes les espèces observées sur la station (transects + complémentaires / liste non restreinte)),

pour toutes les campagnes depuis 2007 est présenté dans le [tableau 33](#) et la [figure 21](#).

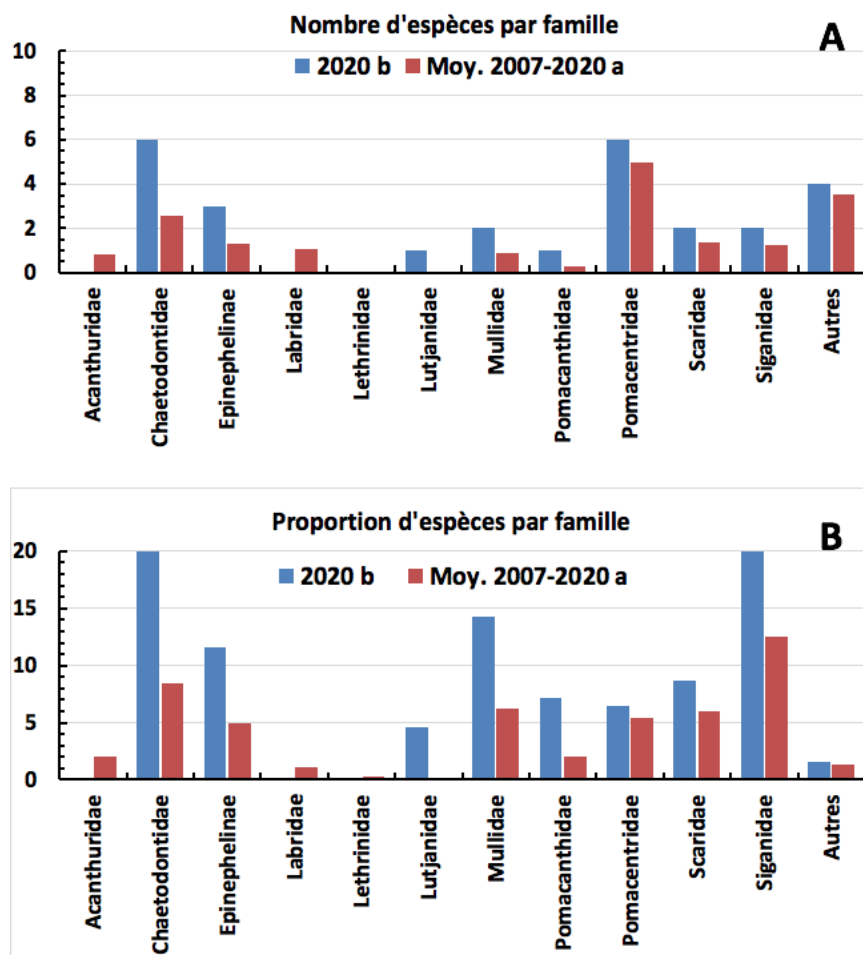


Figure 20 : Structure du peuplement pour cette mission relativement à la moyenne (ST03)

L'histogramme A compare pour une famille les effectifs vus lors de cette mission avec la moyenne et l'histogramme B compare les proportions de cet effectif vu par rapport à l'effectif total d'espèces vu pour cette même famille, sur la zone sud depuis les premières missions

Tableau 33 : Synopsis des résultats et récapitulatif des années précédentes (ST03)

Port ST03		Liste DENV					Toutes espèces
		Transect TLV				Station	Station
		Nb. ind.	Densité	Biom. g/m ²	Biodiv.1	Biodiv.2	Biodiv.3
2020 b	Transect A	69	1,15	3,24	14		
	Transect B	62	1,03	1,61	16		
	Transect C	12	0,10	5,23	6		
	Moy. ABC	47,67	0,76	3,36	27	51	70
2020 a	Moy. ABC	51,00	1,28	2,82	21	41	53
2019 b	Moy. ABC	57,33	1,43	5,26	18	47	67
2019 a	Moy. ABC	38,67	0,97	3,41	22	43	64

2018 b	Moy. ABC	39,67	0,99	2,56	18	45	61
2018 a	Moy. ABC	61,33	2,07	2,42	17	41	59
2017 b	Moy. ABC	50,33	0,82	1,33	16	46	69
2017 a	Moy. ABC	61,33	1,00	2,05	16	43	60
2016 b	Moy. ABC	43,67	0,57	1,06	23	57	72
2016 a	Moy. ABC	79,00	1,02	5,25	23	41	63
2015 b	Moy. ABC	77,33	0,99	7,54	30	56	74
2015 a	Moy. ABC	124,33	1,56	9,21	27	48	74
2014 b	Moy. ABC	58,67	1,12	6,24	20	41	66
2014 a	Moy. ABC	43,00	0,52	0,62	22	40	53
2013 b	Moy. ABC	42,00	0,51	2,54	23	32	53
2013 a	Moy. ABC	22,00	0,28	1,14	13	46	62
2012 b	Moy. ABC	32,33	0,41	1,62	18	34	55
2012 a	Moy. ABC	19,33	0,24	0,80	14	42	59
2011 b	Moy. ABC	17,67	0,22	1,50	13	46	66
2011 a	Moy. ABC	64,00	0,86	19,13	16	43	64
2010 b	Moy. ABC	31	0,31	1,26	11	43	64
2010 a	Moy. ABC	39,00	1,95	5,13	10	33	50
2009	Moy. ABC	60,66	3,03	4,55	9	16	39
2008	Moy. ABC	18,33	0,92	14,05	14	22	47
2007	Moy. ABC	32,30	1,59	14,73	15	19	34

L'écart relatif à la moyenne [$Er_i = (X_i - X_m) / X_m$] pour ces paramètres biologiques peut alors être calculé : cf. [tableau 34](#) et représentation [figure 22](#).

Tableau 34 : Ecart relatif à la moyenne des paramètres biologiques ichtyologiques depuis 2007 (ST03)

	Nb ind.	Densité	Biom.	Biodiv.1	Biodiv.2	Biodiv.3
Variance	557,55	0,43	23,37	30,47	108,96	101,74
Ecart type	23,61	0,66	4,83	5,52	10,44	10,09
Moyenne	48,55	1,02	4,80	18,16	40,96	59,92
Coef. de Var.	0,49	0,65	1,01	0,30	0,25	0,17

Commentaires :

- La totalité des poissons vus sur les transects sont des juvéniles.
- Les paramètres « nombre d'individus », « densité » et « biomasse » ont des valeurs moyennes.
- La biodiversité sur les transects et la station présente des valeurs maximales.
- Les observations montrent comme à toutes les stations, des structures fluctuantes du peuplements qui traduisent des changements naturels d'organisation (qualitatif) dans la Bx sans en modifier la valeur quantitative.
- Les écarts de structures n'apparaissent ni en nombre d'espèces, ni de façon relative au niveau des familles. Il faut « descendre » au niveau spécifique pour voir les changements.

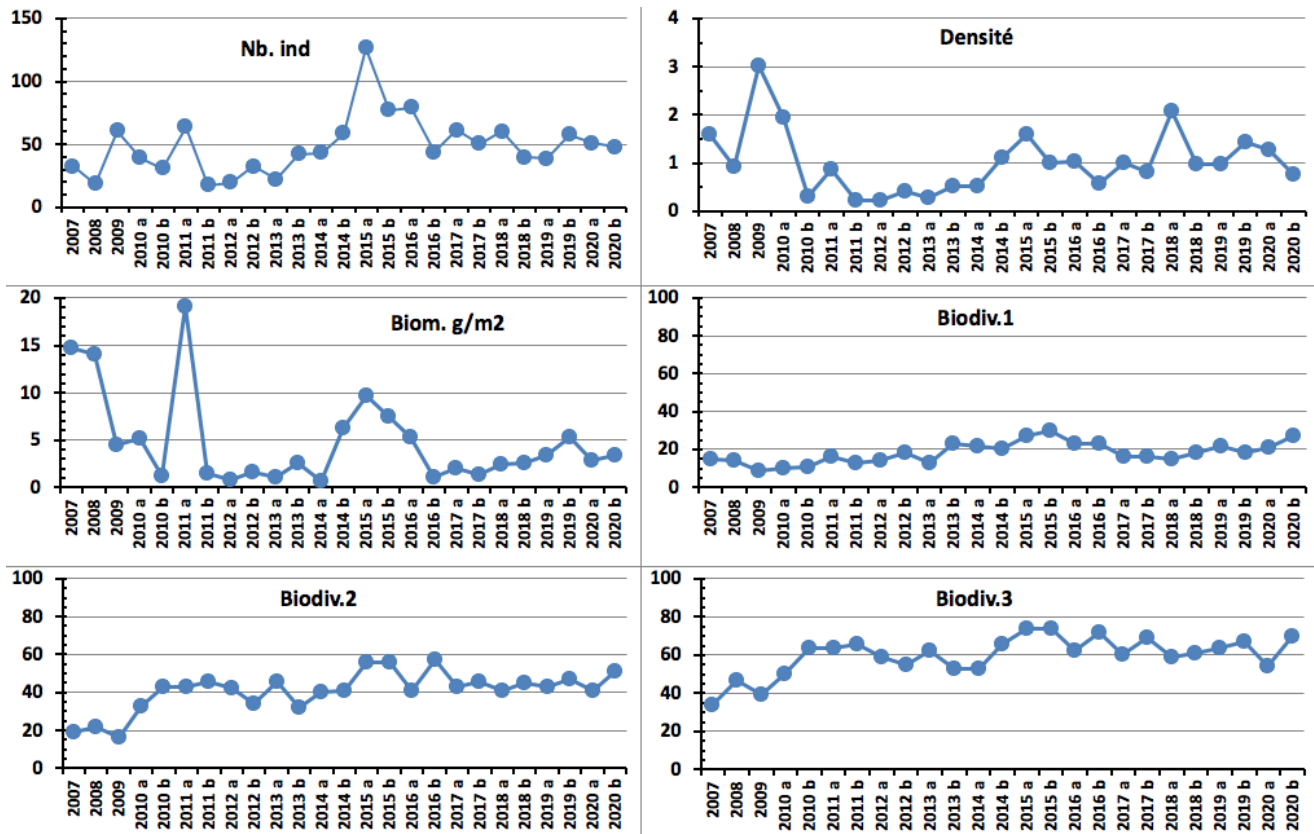


Figure 21 : Evolution des paramètres biologiques ichthyologiques depuis 2007 (ST03)

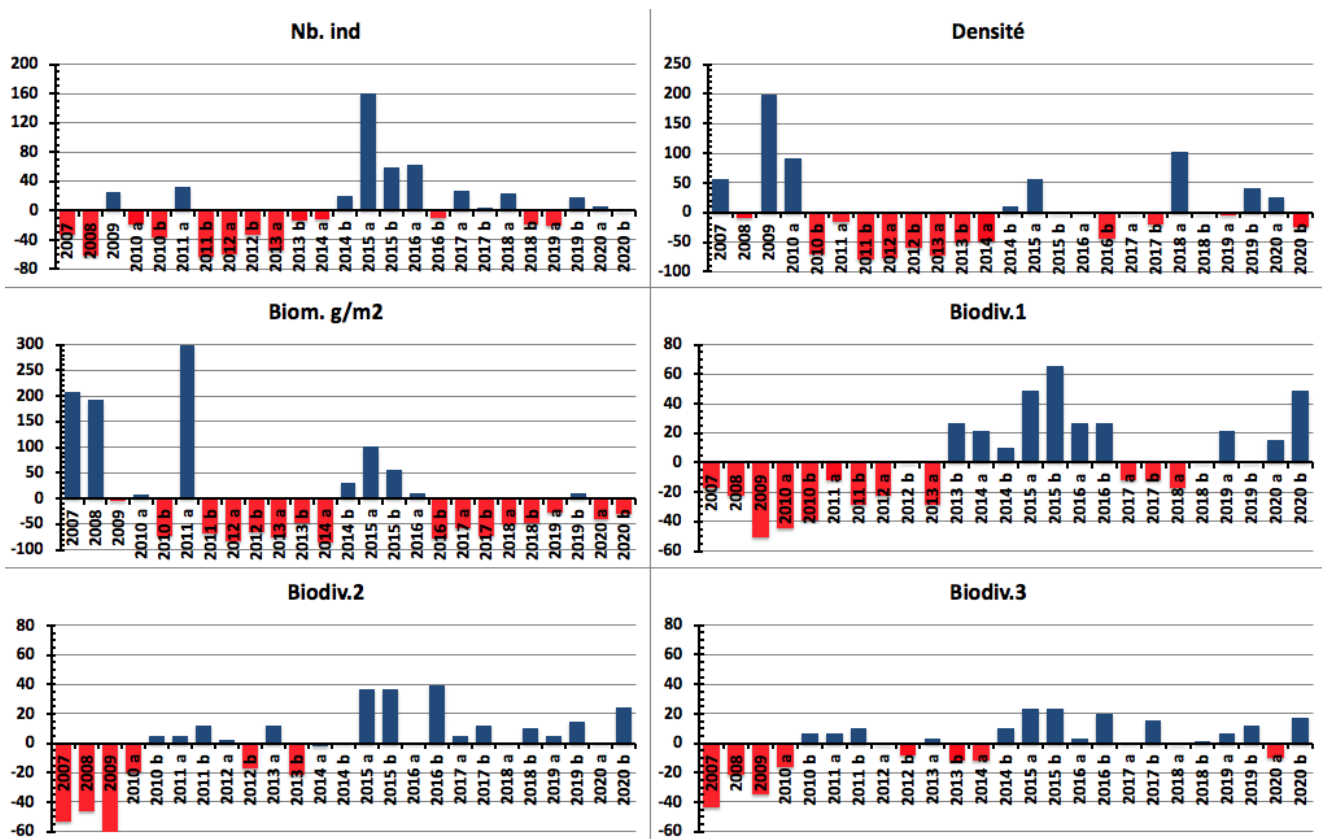


Figure 22 : Ecart relatif à la moyenne des paramètres biologiques ichthyologiques depuis 2007 (ST03)

4.4 Station 04 = Woodin

Localisation géographique	Face à un rocher blanc qui se trouve en bordure du rivage est du canal Woodin (photographie 09). Le canal Woodin proche de la baie du Prony sépare la « Grande Terre » de l'île Ouen. Ce canal est non seulement un passage privilégié pour la navigation, mais aussi pour une faune marine très importante (baleines, requins, ...). Il constitue un passage reliant les eaux du large au sud du lagon, et les courants de marées y sont permanents et souvent très forts. Les fonds sont détritiques grossiers et sont colonisés par de nombreux coraux (cependant la richesse spécifique est modérée).
Nombre transects	3 transects.
Description transects	Ils ont été positionnés à 4, 11 et 21 mètres de profondeur afin de décrire chaque zone, en parallèle à la pente et dans une direction du sud-est vers le nord-ouest.
	<p>Sur le transect A la colonisation des <i>Millepora</i> et de <i>Seriatopora hystrix</i> est importante. Le transect B est installé dans une zone à éboulis de blocs et débris coralliens branchus. La zone a subi un effondrement gravitaire provenant de l'étage supérieur. Un cyclone a certainement arraché les massifs du sommet de la pente. Les conditions hydrodynamiques sont encore importantes (courants de marées) et la luminosité réduite de manière significative avec la profondeur.</p> <p>Le transect C est en bas de pente dans une zone sableuse où de grandes colonies de <i>Tubastraea micrantha</i> s'édifient et dominent le paysage.</p>

Description générale

La station est installée sur le front récifal d'un récif frangeant. La pente est abrupte (40°), nivelée par trois étages de communautés coralliennes distinctes.

Cette station présente un écosystème qui est singulier en Nouvelle-Calédonie : en sommet de récif frangeant, les *Millepora* forment de grands massifs de 3 mètres de diamètre et les *Seriatopora hystrix* se répartissent uniformément sur le substrat dur avec un recouvrement important. Le tombant est jalonné de blocs rocheux et de débris coralliens où s'édifient de petites colonies coralliennes ainsi que des massifs de *Millepora* et des *Tubastraea micrantha*. En bas de tombant, les colonies de *Tubastraea micrantha* sont remarquablement bien développées.

Attention : Le courant dans ce canal peut être très fort et il est impératif de se présenter à un étale pour pouvoir échantillonner cette station.

Caractéristiques principales

- ↪ Originalité des espèces benthiques adaptées à un milieu d'hydrodynamisme important (courant de marée) avec une turbidité soutenue.
- ↪ Le recouvrement corallien en A est composé particulièrement par les colonies de *Millepora* sp., *Seriatopora hystrix* et *Acropora* spp. (branchu)
- ↪ Les colonies coralliennes de la famille des Pocilloporidae ont une croissance importante en A (*Seriatopora hystrix*, *Pocillopora damicornis*, *Stylophora pistillata*)
- ↪ Présence de nombreuses colonies de *Tubastraea micrantha* (taille plurimétrique). Les autres espèces sont de taille décimétrique à métrique
- ↪ La richesse spécifique des coraux diminue nettement avec la profondeur
- ↪ Mortalité corallienne et nombreux débris (hydrodynamisme important)
- ↪ Les éponges encroûtantes (*Cliona*) ont un recouvrement important en B
- ↪ Les crinoïdes sont nombreuses et installées sur les promontoires ou les colonies de *Tubastraea* exposées aux courants de marée
- ↪ Les macrophytes se développent très peu
- ↪ Dégradations mécaniques depuis mars 2015 (cyclone PAM) : formation d'un petit couloir d'effondrement en A et B et quelques grandes colonies de *Tubastraea micrantha* se sont effondrées en C mais elles continuent de s'édifier
- ↪ Suite au blanchissement corallien du début d'année 2016, de nombreuses colonies sont mortes en place en A&B. La mortalité concerne principalement les colonies *Seriatopora hystrix*, *Pocillopora damicornis* et d'*Acropora* spp.
- ↪ Selon les précipitations un petit creek se déverse sur le platier au-dessus de la station. Les transects A et B peuvent être perturbés par les particules sédimentaires (colonies mortes en place ou nécrosées)

📌 **Présence d'*Acanthaster planci* :**

- Prolifération importante en novembre 2018 aux 3 transects (51 individus / 300 m²). Ces corallivores arrivaient du bas et remontaient le récif. La mortalité corallienne était conséquente et concernait surtout les colonies d'*Acropora tabulaire*
- Présence en avril 2019 en A et B (respectivement 2 et 1 spécimens)
- Présence en octobre 2019 en A et B (respectivement 3 et 2 spécimens)
- **Absence depuis mai 2020**

Variations entre mai et octobre 2020

Indicateur Corail :

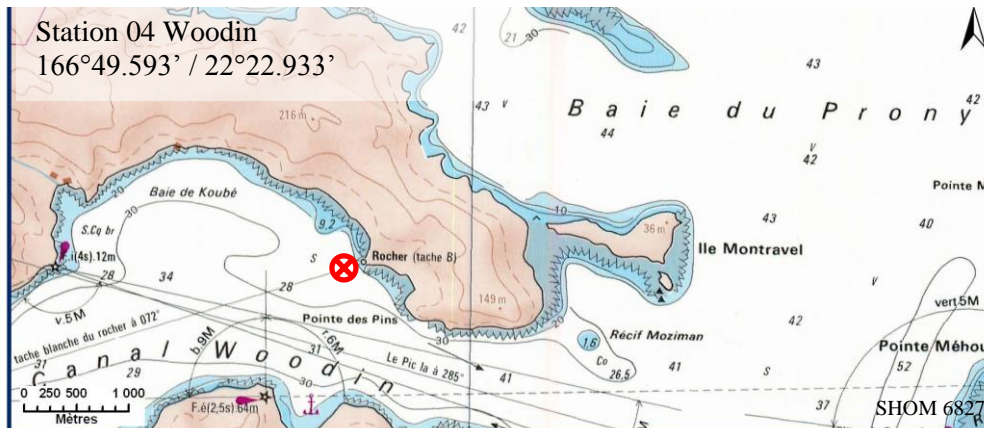
- Le recouvrement corallien est de 14% au transect A, 10% en B et 17.5% en C. Légère hausse en A et C (vs 9% et 2%), stable en B. L'augmentation en C est due à la chute des grandes colonies de *Tubastraea micrantha* sous le transect
- Blanchissement corallien (surface totale observée) : *Octobre 2015 : 0.37% ; Avril 2016 : 11.57% ; Novembre 2016 : 0.43% ; Avril 2017 : 1.07% ; Septembre 2017 : 0.17% ; Mai 2018 : 0.63% ; Novembre 2018 : 2% ; Avril 2019 : 1.43% ; Octobre 2019 : 1.23% ; Mai 2020 : 0% ; Octobre 2020 : 0%*
- Lésions coralliennes : de nombreuses colonies coralliennes sont mortes en place (partiellement ou entièrement) suite au blanchissement corallien du début d'année 2016, à la maladie de la bande blanche et surtout à la prolifération d'*Acanthaster* (depuis la mission de novembre 2018)
 - Maladie corallienne : RAS
 - Perturbations mécaniques : effondrement de colonies de *Tubastraea micrantha* en C, toujours vivantes
 - Perturbations sédimentaires : des colonies coralliennes sont recouvertes partiellement par des particules sédimentaires (réactions en chaîne : affaiblissement des coraux par les *Acanthaster*)

Autres indicateurs :

- Cyanobactéries : stable en A et B (niveau 2), absence - diminution - en C (niveau 2/0). Elles se développent sur les colonies coralliennes mortes en place (colonies affectées par *Acanthaster*)
- Le turf algal se développe abondamment en A et B sur les colonies mortes en place (anciennement blanchies : *Seriatopora hystrix*, *Pocillopora damicornis*, *Stylophora pistillata* ...). Son développement est modéré sur les débris coralliens
- Algues brunes *Lobophora* : absente et stable
- Algues rouges *Asparagopsis taxiformis* : absente et stable
- *Cliona orientalis* : stable en A (niveau 2), B (niveau 4, important) et C (niveau 2)
- *Cliona jullieni* : stable en A et B, diminution en C (niveau 3 à 2)

Les corallivores :

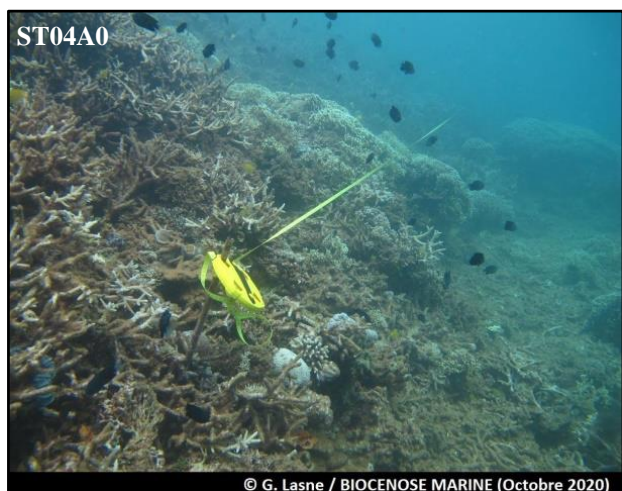
- *Culcita novaeguineae* et *Acanthaster planci* : absence, stable
- *Drupella cornus* : absence, stable



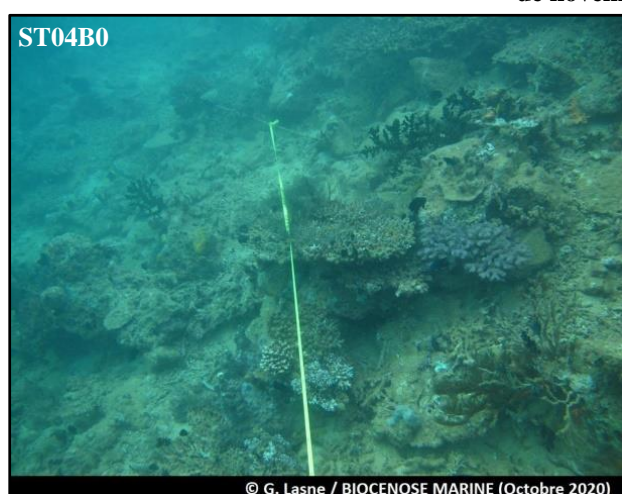
Carte 06 : Localisation de la station 04 (Woodin)



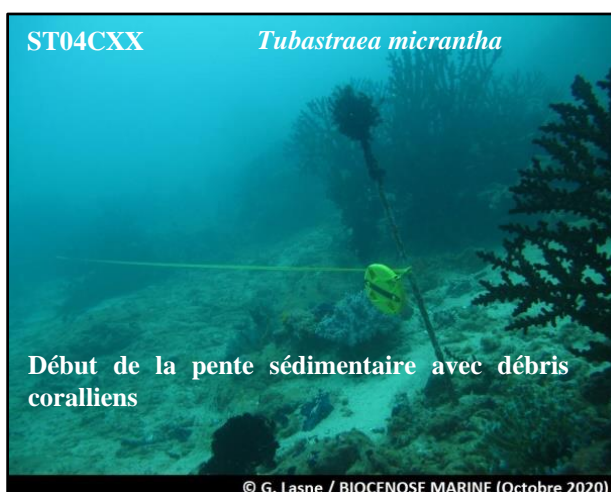
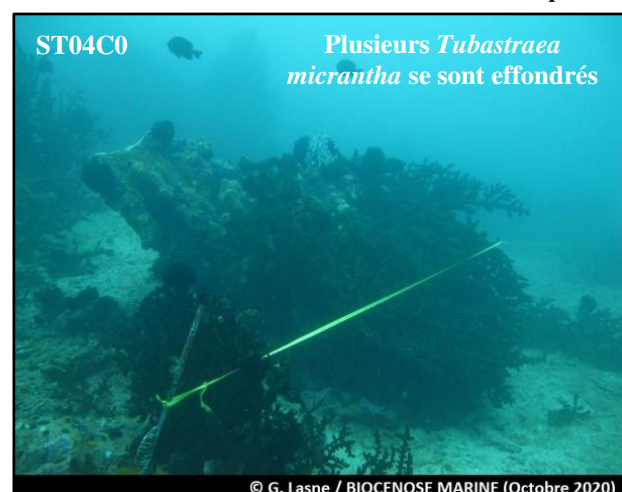
Photographie 09 : Position en surface par rapport à la côte (ST04)



Colonies coralliennes mortes en place à cause de la prolifération d'*Acanthaster* observée depuis la mission de novembre 2018



De nombreuses colonies coralliennes sont mortes en place (surtout *Acropora tabulaires*)
Ancienne prolifération d'*Acanthaster*



Les colonies de *Tubastraea micrantha* s'édifient sur la pente récifale (transects B & C)

Photographie 10 : Vue d'ensemble des transects (ST04, présente mission)

4.4.1 Le substrat (ST04)

Le pourcentage de couverture de chaque composante est donné dans la [figure 23](#) pour le transect A, dans la [figure 24](#) pour le transect B et dans la [figure 25](#) pour le transect C.

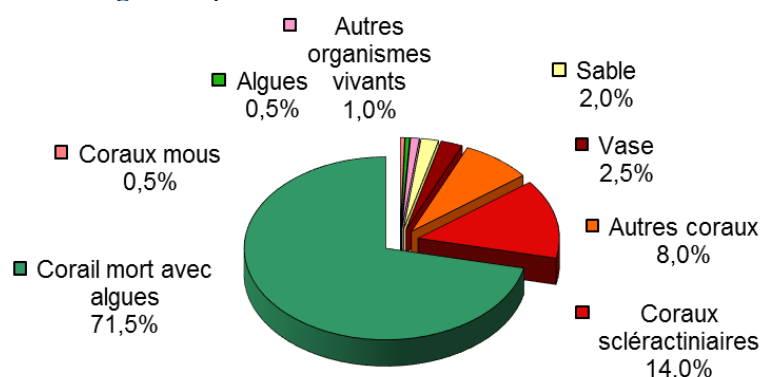


Figure 23 : Représentation du recouvrement (en %) du substrat pour ST04A

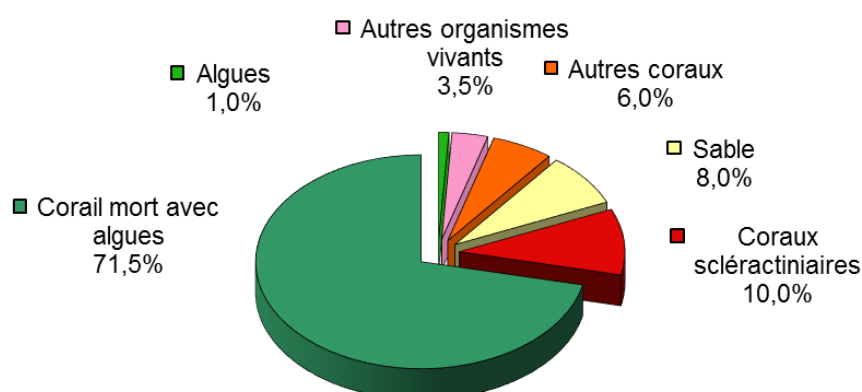


Figure 24 : Représentation du recouvrement (en %) du substrat pour ST04B

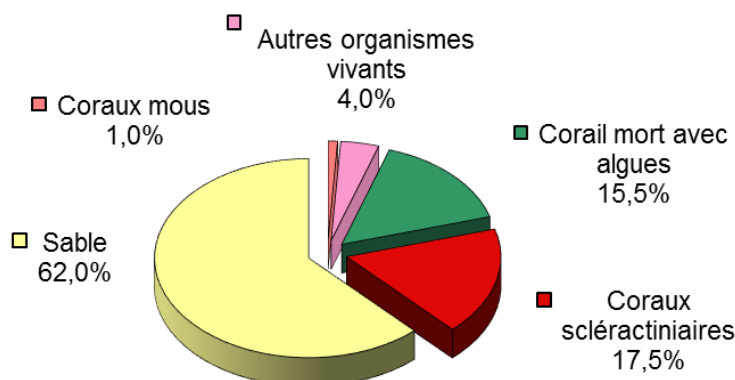


Figure 25 : Représentation du recouvrement (en %) du substrat pour ST04C

Les transects A et B ont classiquement un fort recouvrement biotique total (95.5% et 92%), dû en grande partie au « Corail mort avec algues ».

Le recouvrement des scléactiniaires qui avait fortement chuté du fait de la prolifération d'*Acanthaster planci* depuis novembre 2018 semble s'être stabilisé, voire très légèrement reprendre en A (14% vs 9% et 10% en B).

Le recouvrement du substrat du transect C est majoritairement abiotique (62%) du fait de la dominance du sable. Le taux de coraux subi une hausse (17.5% vs 2%) qui est « artificielle » : les grandes colonies de *Tubastraea micrantha* qui étaient juste au-dessus se sont effondrées sur le transect. Elles sont toujours vivantes.

La station est globalement stable dans le temps, les fluctuations principales étant dues aux mouvements du sable qui paraissent cycliques.

L'apparition des *Acanthaster planci* en 2018 a entraîné une forte mortalité des coraux scléactiniaires et une évolution négative de l'état de santé de l'ensemble du récif, qui semble dorénavant stabilisé. Une reprise par résilience est envisageable, d'autant que les *Acanthaster planci* sont absentes depuis mai 2020.

4.4.2 Le benthos (ST04)

La liste des taxons cibles (cf. § 3.2.3) échantillonnés sur cette station et la liste complète des résultats bruts sont données en annexe n°04.

En octobre 2020, la richesse spécifique de la station Woodin (ST04) est composée de :

- **40 espèces d'invertébrés** dont 11 espèces de mollusques ; 4 espèces de cnidaires : alcyonaires (2 taxons), hydrozoaires (1 taxon), zoanthaires (1 taxon) ; 8 espèces d'échinodermes : astéries (2 taxons), échinides (2 taxons), ophiurides (2 taxons), crinoïdes (1 taxon), holothurides (1 taxon) ; 10 espèces d'éponges ; 5 espèces d'ascidies
- **4 espèces de macrophytes** : algues brunes (2 taxons), algues vertes (2 taxons)
- **1 espèce de cyanobactéries.**

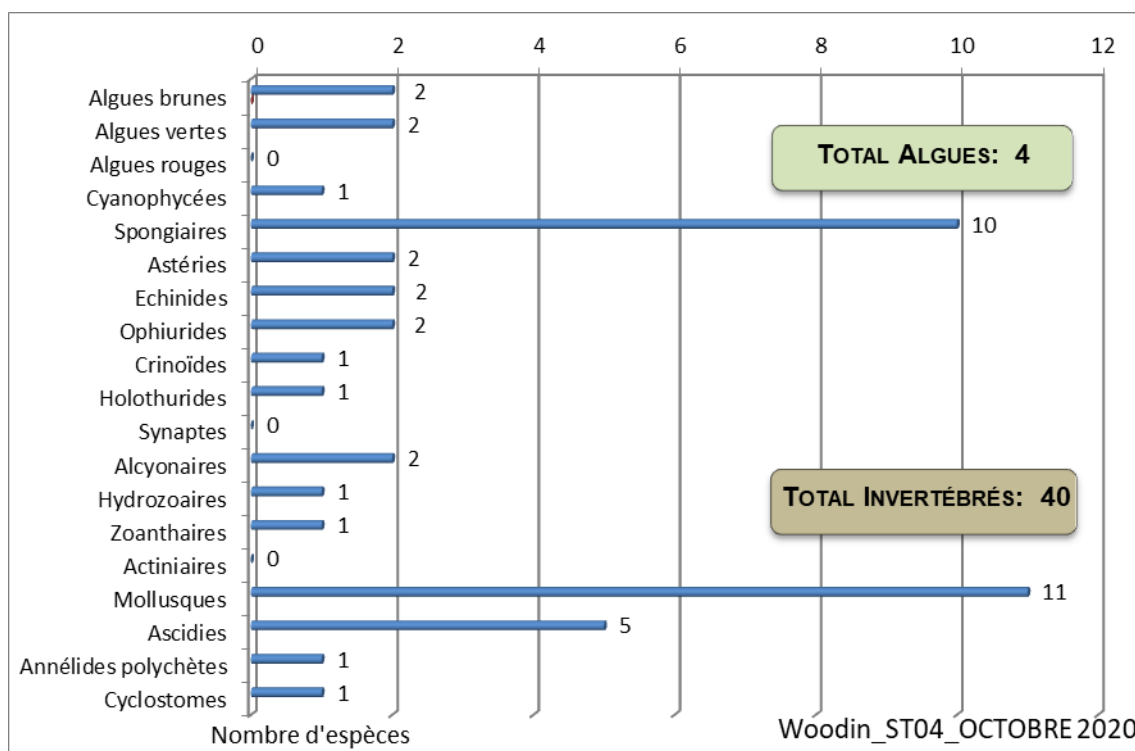


Figure 26 : Répartition par sous-groupe de la richesse spécifique des macrophytes et des invertébrés (hors coraux durs) (ST04)

4.4.2.1 Benthos Transect 04 A

En octobre 2020, la richesse spécifique du transect ST04A est composée de :

- 22 espèces d'invertébrés dont 2 espèces de mollusques ; 2 espèces de cnidaires : alcyonaires (1 taxon), hydrozoaires (1 taxon) ; 6 espèces d'échinodermes : astéries (2 taxons), ophiurides (2 taxons), crinoïdes (1 taxon), échinides (1 taxon) ; 8 espèces d'éponges ; 2 espèces d'ascidies
- 4 espèces de macrophytes : algues brunes (2 taxons), algues vertes (2 taxons)
- 1 espèce de cyanobactéries.

Tableau 35 : Variations entre mai et octobre 2020 : Les biocénoses* (ST04A)

Evolution de la richesse spécifique des biocénoses*	Evolution de l'abondance
Algues	
2 nouvelles espèces d'algues recensées, dont l'algue brune : • <i>Padina</i> sp. (A2) et l'algue verte : • <i>Chlorodesmis fastigiata</i> (A2) ; 4 espèces d'algues disparues, dont l'algue brune : • <i>Turbinaria ornata</i> (A0/-2) et l'algue rouge : • <i>Asparagopsis taxiformis</i> (A0/-2) ; et 2 espèces d'algues vertes : • <i>Caulerpa</i> sp. (A0/-1), • <i>Halimeda</i> sp. (1 spp./-1 spp., A2/-0)	Aucune espèce d'algues n'augmente. Aucune espèce d'algues ne diminue.
Cyanobactéries	
<input checked="" type="checkbox"/>	<input checked="" type="checkbox"/>
Cnidaires	
Une nouvelle espèce de cnidaires recensée : ➤ pour les alcyonaires (1 espèce) : • <i>Sarcophyton</i> sp. (A1). Une espèce de cnidaires disparue : ➤ pour les alcyonaires (-1 espèce) : • <i>Dendronephthya</i> sp. (A0/-2).	Une espèce de cnidaires augmente d'abondance : ➤ pour les hydrozoaires : •Hydrozoaires ind. (A3/+ 1).
Échinodermes	
3 nouvelles espèces d'échinodermes recensées : ➤ pour les astéries (2 espèces) : • <i>Fromia monilis</i> (A1), • <i>Gomophia egyptiaca</i> (A1) ; ➤ pour les échinides (1 espèce) : • <i>Diadema setosum</i> (A2). Une espèce d'échinodermes disparue : ➤ pour les holothurides : • <i>Holothuria edulis</i> (A0/-2).	Une espèce d'échinodermes diminue d'abondance : ➤ pour les crinoïdes (1 espèce) : •Crinoïdes ind. (A2/- 1).
Mollusques	
Une nouvelle espèce de mollusques recensée : ➤ pour les bivalves (1 espèce) : • <i>Septifer bilocularis</i> (A2). Une espèce de mollusques disparue : ➤ pour les bivalves (-1 espèce) : • <i>Spondylus</i> sp. (A0/-2).	<input checked="" type="checkbox"/>
Éponges	
Une nouvelle espèce d'éponges recensée : • <i>Dactylia delicata</i> (A2).	Une espèce d'éponges augmente d'abondance : • <i>Cymbastela cantharella</i> (A2/+ 1).
Ascidies	
2 espèces d'ascidies disparues : • <i>Didemnum molle</i> (A0/-2), • <i>Polycarpa nigricans</i> (A0/-2).	<input checked="" type="checkbox"/>
Bryozoaires	
<input checked="" type="checkbox"/>	<input checked="" type="checkbox"/>

4.4.2.2 Benthos Transect 04 B

En octobre 2020, la richesse spécifique du transect ST04B est composée de :

- 36 espèces d'invertébrés dont 10 espèces de mollusques ; 4 espèces de cnidaires : alcyonaires (2 taxons), hydrozoaires (1 taxon), zoanthaires (1 taxon) ; 6 espèces d'échinodermes : échinides (2 taxons), ophiurides (2 taxons), crinoïdes (1 taxon), holothurides (1 taxon) ; 10 espèces d'éponges ; 4 espèces d'ascidies
- 1 espèce de macrophytes : algue verte (1 taxon)
- 1 espèce de cyanobactéries.

Tableau 36 : Variations entre mai et octobre 2020 : Les biocénoses* (ST04B)

Evolution de la richesse spécifique des biocénoses*	Evolution de l'abondance
Algues	
Aucune nouvelle espèce d'algues recensée ni n'a disparue	Aucune espèce d'algues n'augmente ni ne diminue
Cyanobactéries	
<input checked="" type="checkbox"/>	<input checked="" type="checkbox"/>
Cnidaires	
2 espèces de cnidaires disparues : ➤ pour les alcyonaires (-2 espèce) : • <i>Dendronephthya</i> sp. (A0/-2), • <i>Nephtea</i> sp. (A0/-2).	Une espèce de cnidaires augmente d'abondance : ➤ pour les hydrozoaires (1 espèce) : •Hydrozoaires ind. (A4/+ 2). Une espèce de cnidaires diminue d'abondance : ➤ pour les alcyonaires (1 espèce) : • <i>Sarcophyton</i> sp. (A2/- 1).
Échinodermes	
2 espèces d'échinodermes disparues : ➤ pour les astéries (-1 espèce) : • <i>Gomophia egyptiaca</i> (A0/-1) ; ➤ pour les échinides (-1 espèce) : • <i>Echinometra mathaei</i> (A0/-2).	Une espèce d'échinodermes augmente d'abondance : ➤ pour les échinides (1 espèce) : • <i>Diadema setosum</i> (A3/+ 1). 2 espèces d'échinodermes diminuent d'abondance : ➤ pour les crinoïdes (1 espèce) : •Crinoïdes ind. (A3/- 1) ; ➤ pour les holothurides (1) : • <i>Holothuria edulis</i> (A1/- 1).
Mollusques	
3 nouvelles espèces de mollusques recensées : ➤ pour les nudibranches (3 espèces) : • <i>Phyllidia calsonhoffi</i> (A1), • <i>Phyllidiella lizae</i> (A1), • <i>Phyllidiopsis burni</i> (A1). 2 espèces de mollusques disparues : ➤ pour les bivalves (-2 espèce) : • <i>Lopha cristagalli</i> (A0/-2), • <i>Saccostrea</i> sp. (A0/-2).	Une espèce de mollusques augmente d'abondance : ➤ pour les bivalves (1 espèce) : • <i>Septifer bilocularis</i> (A3/+ 1).
Éponges	
<input checked="" type="checkbox"/>	2 espèces d'éponges augmentent d'abondance : • <i>Dactylia delicata</i> (A3/+ 2), •Spongiaires ind. (noire) (A4/+ 1). 2 espèces d'éponges diminuent d'abondance : • <i>Hamigera strongylata</i> (A3/- 1), • <i>Sphaciospongia vagabunda</i> (A2/- 1).
Ascidies	
Une nouvelle espèce d'ascidies recensée : • <i>Polycarpa papilata</i> (A2). 3 espèces d'ascidies disparues : • <i>Didemnum molle</i> (A0/-2), • <i>Clavelina detorta</i> (A0/-2), • <i>Polycarpa aurita</i> (A0/-2).	<input checked="" type="checkbox"/>
Bryozoaires	
<input checked="" type="checkbox"/>	<input checked="" type="checkbox"/>

4.4.2.3 Benthos Transect 04 C

En octobre 2020, la richesse spécifique du transect ST04C est composée de :

- 20 espèces d'invertébrés dont 5 espèces de mollusques ; 4 espèces de cnidaires : alcyonaires (2 taxons), hydrozoaires (1 taxon), zoanthaires (1 taxon) ; 3 espèces d'échinodermes : crinoïdes (1 taxon), holothurides (1 taxon), ophiurides (1 taxon) ; 7 espèces d'éponges
- **Aucun taxon n'a été recensé dans le groupe des macrophytes, des cyanobactéries et des ascidies.**

Tableau 37 : Variations entre mai et octobre 2020 : Les biocénoses* (ST04C)

Evolution de la richesse spécifique des biocénoses*	Evolution de l'abondance
Algues	
Aucune nouvelle espèce d'algues recensée ni n'a disparue.	Aucune espèce d'algues n'augmente ni ne diminue.
Cyanobactéries	
<input checked="" type="checkbox"/>	<input checked="" type="checkbox"/>
Cnidaires	
Une nouvelle espèce de cnidaires recensée : ➤ pour les alcyonaires (1 espèce) : • <i>Simularia</i> sp. (A2). Une espèce de cnidaires disparue : ➤ pour les zoanthaires (-1 espèce) : • <i>Zoanthus</i> sp. (A0/-2).	Une espèce de cnidaires diminue d'abondance : ➤ pour les alcyonaires (1 espèce) : • <i>Sarcophyton</i> sp. (A1/- 1).
Échinodermes	
Une nouvelle espèce d'échinodermes recensée : ➤ pour les holothurides (1 espèce) : • <i>Holothuria edulis</i> (A2).	Une espèce d'échinodermes augmente d'abondance : ➤ pour les crinoïdes (1 espèce) : •Crinoïdes ind. (A5/+ 1).
Mollusques	
Une nouvelle espèce de mollusques recensée : ➤ pour les bivalves (1 espèce) : • <i>Hyotissa hyotis</i> (A2). 3 espèces de mollusques disparues : ➤ pour les bivalves (-2 espèce) : • <i>Lopha cristagalli</i> (A0/-2), • <i>Saccostrea</i> sp. (A0/-2) ; ➤ pour les nudibranches (-1) : • <i>Halgerda johnsonorum</i> (A0/-1)	<input checked="" type="checkbox"/>
Éponges	
Une nouvelle espèce d'éponges recensée : • <i>Dactylia delicata</i> (A1).	2 espèces d'éponges augmentent d'abondance : • <i>Cymbastela cantharella</i> (A2/+ 1), •Spongiaires ind. (noire) (A3/+ 1). 2 espèces d'éponges diminuent d'abondance : • <i>Hamigera strongylata</i> (A2/- 1), • <i>Cliona jullieni</i> (A2/- 1).
Ascidies	
<input checked="" type="checkbox"/>	<input checked="" type="checkbox"/>
Bryozoaires	
<input checked="" type="checkbox"/>	<input checked="" type="checkbox"/>

4.4.3 Les poissons (ST04)

La liste des espèces observées⁸ sur les transects et les résultats bruts sont fournis dans le [tableau 38](#).

Tableau 38 : Données sur les poissons (ST04)

Canal Woodin ST04		Transect			Transect			Transect			Station		
		A			B			C			Moyenne		
Fam	Espèces	Nb	Dens	Biom	Nb	Dens	Biom	Nb	Dens	Biom	Nb	Dens	Biom
Aca	<i>Acanthurus blochii</i>							1	0,02	3,41	0,33	0,01	1,14
Aca	<i>Ctenochaetus cyanocheilus</i>				3	0,06	2,64				1,00	0,02	0,88
Aca	<i>Ctenochaetus striatus</i>	2	0,05	2,20	2	0,04	1,38				1,33	0,03	1,19
Aca	<i>Zebrasoma scopas</i>	1	0,03	0,50	4	0,08	1,17				1,67	0,04	0,56
Aca	<i>Zebrasoma veliferum</i>	1	0,03	0,86	1	0,02	0,40				0,67	0,02	0,42
Cae	<i>Caesio cuning</i>				30	0,60	96,00				10,00	0,20	32,00
Cha	<i>Chaetodon auriga</i>				4	0,08	1,60				1,33	0,03	0,53
Cha	<i>Chaetodon baronessa</i>							2	0,04	0,64	0,67	0,01	0,21
Cha	<i>Chaetodon ephippium</i>	2	0,05	0,73	2	0,04	0,80				1,33	0,03	0,51
Cha	<i>Chaetodon flavirostris</i>							4	0,08	2,21	1,33	0,03	0,74
Cha	<i>Chaetodon lunulatus</i>	2	0,05	0,51	3	0,06	0,61				1,67	0,04	0,38
Cha	<i>Chaetodon plebeius</i>	1	0,03	0,11	2	0,04	0,17				1,00	0,02	0,09
Cha	<i>Chaetodon speculum</i>	1	0,03	0,17							0,33	0,01	0,06
Cha	<i>Chaetodon ulietensis</i>	3	0,08	0,51							1,00	0,03	0,17
Cha	<i>Chaetodon vagabundus</i>				2	0,04	0,41				0,67	0,01	0,14
Cha	<i>Coradion altivelis</i>				4	0,08	0,82	3	0,06	0,96	2,33	0,05	0,59
Cha	<i>Heniochus acuminatus</i>				4	0,08	3,52				1,33	0,03	1,17
Cha	<i>Heniochus monoceros</i>							2	0,04	1,76	0,67	0,01	0,59
Epi	<i>Cephalopholis boenak</i>	1	0,02	0,29							0,33	0,01	0,10
Epi	<i>Epinephelus maculatus</i>							2	0,04	19,07	0,67	0,01	6,36
Epi	<i>Epinephelus merra</i>	1	0,03	0,67	2	0,04	1,38				1,00	0,02	0,68
Epi	<i>Epinephelus ongus</i>	1	0,03	1,37							0,33	0,01	0,46
Epi	<i>Plectropomus leopardus</i>							2	0,04	37,96	0,67	0,01	12,65
Hae	<i>Plectorhinchus chaetodonoides</i>							1	0,02	20,48	0,33	0,01	6,83
Lab	<i>Bodianus perditio</i>							1	0,02	13,72	0,33	0,01	4,57
Lab	<i>Cheilinus chlorourus</i>	1	0,03	0,86	1	0,02	0,88	1	0,02	1,87	1,00	0,02	1,20
Lab	<i>Halichoeres hortulanus</i>	1	0,02	3,20							0,33	0,01	1,07
Lab	<i>Hemigymmus melapterus</i>	1	0,03	2,92	2	0,04	6,40	1	0,02	2,19	1,33	0,03	3,84
Lab	<i>Labroides dimidiatus</i>				2	0,04	0,10	5	0,10	0,20	2,33	0,05	0,10
Lab	<i>Thalassoma hardwicke</i>	3	0,08	0,32							1,00	0,03	0,11
Lab	<i>Thalassoma lunare</i>	4	0,10	0,43	5	0,10	0,43				3,00	0,07	0,29
Lab	<i>Thalassoma lutescens</i>	3	0,08	0,51							1,00	0,03	0,17
Lut	<i>Lutjanus monostigma</i>							2	0,04	14,05	0,67	0,01	4,68
Lut	<i>Lutjanus russellii</i>							1	0,02	20,48	0,33	0,01	6,83
Mul	<i>Parupeneus barberinus</i>	2	0,05	8,00	2	0,04	6,40				1,33	0,03	4,80
Mul	<i>Parupeneus spilurus</i>				3	0,06	12,78				1,00	0,02	4,26
Nem	<i>Scolopsis bilineatus</i>	2	0,05	2,74	4	0,08	5,40				2,00	0,04	2,71
Poc	<i>Centropyge bicolor</i>	2	0,05	0,22	2	0,04	0,17	2	0,04	0,08	2,00	0,04	0,16
Poc	<i>Centropyge bispinosa</i>	1	0,03	0,11				3	0,06	0,12	1,33	0,03	0,08
Poc	<i>Centropyge tibicen</i>	1	0,03	0,06				2	0,04	0,08	1,00	0,02	0,05
Poc	<i>Pomacanthus semicirculatus</i>							1	0,02	4,42	0,33	0,01	1,47
Poc	<i>Pomacanthus sexstriatus</i>							1	0,02	8,64	0,33	0,01	2,88
Poc	<i>Pygoplites diacanthus</i>							2	0,04	4,39	0,67	0,01	1,46
Pom	<i>Abudefduf septemfasciatus</i>	7	0,18	0,76							2,33	0,06	0,25
Pom	<i>Abudefduf sexfasciatus</i>	5	0,13	0,54							1,67	0,04	0,18
Pom	<i>Abudefduf whitleyi</i>	10	0,25	0,63	5	0,10	0,69				5,00	0,12	0,44
Pom	<i>Chromis viridis</i>	20	0,50	0,27							6,67	0,17	0,09
Pom	<i>Chrysiptera rollandi</i>	4	0,10	0,05	3	0,06	0,03	4	0,08	0,03	3,67	0,08	0,04

⁸ Données par rapport à la liste restreinte du cahier des charges, cf. annexe n°01

Pom	<i>Chrysiptera taupou</i>	5	0,13	0,07							1,67	0,04	0,02
Pom	<i>Dascyllus aruanus</i>	15	0,38	0,20	10	0,20	0,11	10	0,20	0,20	11,67	0,26	0,17
Pom	<i>Dascyllus reticulatus</i>	20	0,50	0,27	15	0,30	0,16	10	0,20	0,09	15,00	0,33	0,17
Pom	<i>Dascyllus trimaculatus</i>				10	0,20	0,26	10	0,20	0,40	6,67	0,13	0,22
Pom	<i>Pomacentrus aurifrons</i>	20	0,50	0,27							6,67	0,17	0,09
Pom	<i>Pomacentrus coelestis</i>	4	0,10	0,05	5	0,10	0,05				3,00	0,07	0,04
Pom	<i>Pomacentrus moluccensis</i>	2	0,05	0,03	3	0,06	0,08	2	0,04	0,02	2,33	0,05	0,04
Pse	<i>Pictichromis coralensis</i>							1	0,02	0,01	0,33	0,01	0,00
Sca	<i>Chlorurus bleekeri</i>				1	0,02	17,15				0,33	0,01	5,72
Sca	<i>Chlorurus sordidus</i>	2	0,05	1,00	3	0,06	1,60				1,67	0,04	0,87
Sca	<i>Scarus flavipectoralis</i>							3	0,06	5,60	1,00	0,02	1,87
Sca	<i>Scarus ghobban</i>				1	0,02	4,87				0,33	0,01	1,62
Sca	<i>Scarus niger</i>	1	0,03	7,81	2	0,04	5,49	1	0,02	20,48	1,33	0,03	11,26
Sca	<i>Scarus schlegeli</i>				1	0,02	10,80	2	0,04	20,97	1,00	0,02	10,59
Scr	<i>Pterois radiata</i>							1	0,02	0,32	0,33	0,01	0,11
Sig	<i>Siganus corallinus</i>	2	0,05	2,74							0,67	0,02	0,91
Sig	<i>Siganus doliatus</i>	2	0,05	1,73	2	0,04	2,20				1,33	0,03	1,31
Sig	<i>Siganus fuscescens</i>							10	0,20	3,20	3,33	0,07	1,07
Sig	<i>Siganus vulpinus</i>	3	0,08	2,59							1,00	0,03	0,86
Total		159	3,97	46,32	145	2,90	186,93	93	1,86	208,05	132,33	2,91	147,10
Biodiversité		38			34			31			67		
Indice de Shannon =		5,251											
Equitabilité =		0,866											

Sur l'ensemble des transects de la station, 397 individus appartenant à 67 espèces différentes ont pu être observés. Ils représentent une densité de 2.91 poissons/m² pour une biomasse de 147.10 g/m².

126 espèces complémentaires (e.g. hors des transects et hors liste restreinte [*en rouge*]) ont été observées sur la station (cf. tableau 39).

Tableau 39 : Liste des espèces complémentaires (ST04)

Fam	Espèces	Fam	Espèces	Fam	Espèces
Aca	<i>Acanthurus blochii</i>	Lab	<i>Bodianus perditio</i>	Pom	<i>Amblyglyphidodon leucogaster</i>
Aca	<i>Acanthurus mata</i>	Lab	<i>Cheilinus chlorourus</i>	Pom	<i>Amblyglyphidodon orbicularis</i>
Aca	<i>Ctenochaetus cyanocheilus</i>	Lab	<i>Cheilinus trilobatus</i>	Pom	<i>Amphiprion clarkii</i>
Aca	<i>Ctenochaetus striatus</i>	Lab	<i>Choerodon fasciatus</i>	Pom	<i>Chromis amboinensis</i>
Aca	<i>Zebrasoma scopas</i>	Lab	<i>Coris gaimard</i>	Pom	<i>Chromis atripectoralis</i>
Apo	<i>Apogon aureus</i>	Lab	<i>Epibulus insidiator</i>	Pom	<i>Chromis viridis</i>
Apo	<i>Apogon doederleini</i>	Lab	<i>Gomphosus varius</i>	Pom	<i>Chrysiptera rollandi</i>
Apo	<i>Apogon novemfasciatus</i>	Lab	<i>Halichoeres hortulanus</i>	Pom	<i>Chrysiptera taupou</i>
Apo	<i>Ostorhinchus cyanosoma</i>	Lab	<i>Halichoeres melanurus</i>	Pom	<i>Dascyllus aruanus</i>
Aul	<i>Aulostomus chinensis</i>	Lab	<i>Halichoeres prosopion</i>	Pom	<i>Dascyllus reticulatus</i>
Aul	<i>Aulostomus chinensis</i>	Lab	<i>Hemigymnus melapterus</i>	Pom	<i>Dascyllus trimaculatus</i>
Bal	<i>Pseudobalistes fuscus</i>	Lab	<i>Labroides dimidiatus</i>	Pom	<i>Neoglyphidodon melas</i>
Bal	<i>Sufflamen fraenatus</i>	Lab	<i>Labropsis australis</i>	Pom	<i>Neopomacentrus nemurus</i>
Ble	<i>Meiacanthus atrodorsalis</i>	Lab	<i>Novaculichthys taeniourus</i>	Pom	<i>Pomacentrus aurifrons</i>
Cae	<i>Caesio cuning</i>	Lab	<i>Oxycheilinus celebicus</i>	Pom	<i>Pomacentrus coelestis</i>
Cha	<i>Chaetodon auriga</i>	Lab	<i>Oxycheilinus digrammus</i>	Pom	<i>Pomacentrus moluccensis</i>
Cha	<i>Chaetodon baronessa</i>	Lab	<i>Stethojulis bandanensis</i>	Pom	<i>Pomacentrus nagasakiensis</i>
Cha	<i>Chaetodon bennetti</i>	Lab	<i>Thalassoma hardwicke</i>	Pom	<i>Pomacentrus simsiang</i>
Cha	<i>Chaetodon ephippium</i>	Lab	<i>Thalassoma lunare</i>	Pom	<i>Stegastes aureus</i>

Cha	<i>Chaetodon flavirostris</i>	Lab	<i>Thalassoma lutescens</i>	Pri	<i>Priacanthus hamrur</i>
Cha	<i>Chaetodon lunulatus</i>	Lut	<i>Lutjanus argentimaculatus</i>	Pse	<i>Pictichromis coralensis</i>
Cha	<i>Chaetodon plebeius</i>	Lut	<i>Lutjanus bohar</i>	Sca	<i>Chlorurus bleekeri</i>
Cha	<i>Chaetodon speculum</i>	Lut	<i>Lutjanus fulviflamma</i>	Sca	<i>Chlorurus sordidus</i>
Cha	<i>Chaetodon ulietensis</i>	Lut	<i>Lutjanus monostigma</i>	Sca	<i>Scarus flavipectoralis</i>
Cha	<i>Chaetodon unimaculatus</i>	Lut	<i>Lutjanus russellii</i>	Sca	<i>Scarus ghobban</i>
Cha	<i>Chaetodon vagabundus</i>	Lut	<i>Lutjanus sebae</i>	Sca	<i>Scarus niger</i>
Cha	<i>Coradion altivelis</i>	Mon	<i>Oxymonacanthus longirostris</i>	Sca	<i>Scarus rivulatus</i>
Cha	<i>Heniochus monoceros</i>	Mul	<i>Parupeneus barberinus</i>	Sca	<i>Scarus schlegeli</i>
Cha	<i>Heniochus varius</i>	Mul	<i>Parupeneus indicus</i>	Sca	<i>Scarus spinus</i>
Epi	<i>Anyperodon leucogrammicus</i>	Mul	<i>Parupeneus spilurus</i>	Scr	<i>Pterois radiata</i>
Epi	<i>Cephalopholis boenak</i>	Nem	<i>Scolopsis bilineatus</i>	Sig	<i>Siganus corallinus</i>
Epi	<i>Epinephelus maculatus</i>	Ost	<i>Ostracion cubicus</i>	Sig	<i>Siganus doliatus</i>
Epi	<i>Epinephelus malabaricus</i>	Pin	<i>Parapercis hexophtalma</i>	Sig	<i>Siganus fuscescens</i>
Epi	<i>Epinephelus merra</i>	Poc	<i>Centropyge bicolor</i>	Sig	<i>Siganus puellus</i>
Epi	<i>Epinephelus ongus</i>	Poc	<i>Centropyge bispinosa</i>	Sig	<i>Siganus vulpinus</i>
Epi	<i>Plectropomus leopardus</i>	Poc	<i>Centropyge flavissima</i>	Sph	<i>Sphyraena jello</i>
Gra	<i>Diploprion bifasciatum</i>	Poc	<i>Centropyge tibicen</i>	Sph	<i>Sphyraena forsteri</i>
Hae	<i>Plectorhinchus chaetodonoides</i>	Poc	<i>Pomacanthus semicirculatus</i>	Syn	<i>Saurida gracilis</i>
Hae	<i>Plectorhinchus flavomaculatus</i>	Poc	<i>Pomacanthus sexstriatus</i>	Tet	<i>Arothron nigropunctatus</i>
Hae	<i>Plectorhinchus picus</i>	Poc	<i>Pygoplites diacanthus</i>	Zan	<i>Zanclus cornutus</i>
Hol	<i>Neoniphon sammara</i>	Pom	<i>Abudefduf septemfasciatus</i>		
Kyp	<i>Kyphosus cinerascens</i>	Pom	<i>Abudefduf sexfasciatus</i>		
Lab	<i>Bodianus diana</i>	Pom	<i>Abudefduf whiteyi</i>		

Le nombre d'espèces présentes pour chaque famille (observée depuis 2007) est donné dans le [tableau 40](#) et spécifiquement pour cette campagne sur la [figure 27](#).

Tableau 40 : Nombre d'espèces par famille ichthyologique (ST04)

Familles	Nb d'espèces vues (zone et période totale)	Nb d'espèces		Proportions	
		Campagne	Moy.	Campagne	Moy.
Acanthuridae	40	5	4,58	12,50	11,46
Chaetodontidae	30	12	9,67	40,00	32,22
Epinephelinae	26	5	4,63	19,23	17,79
Labridae	97	8	7,29	8,25	7,52
Lethrinidae	16	0	0,46	0,00	2,86
Lutjanidae	22	2	1,46	9,09	6,63
Mullidae	14	2	1,83	14,29	13,10
Pomacanthidae	14	6	4,79	42,86	34,23
Pomacentridae	92	12	9,83	13,04	10,69
Scaridae	23	6	4,75	26,09	20,65
Siganidae	10	4	3,08	40,00	30,83
Autres	257	5	6,17	1,95	2,40
Khi2 obs		1,5		4,9	
Khi2 tab		19,17			

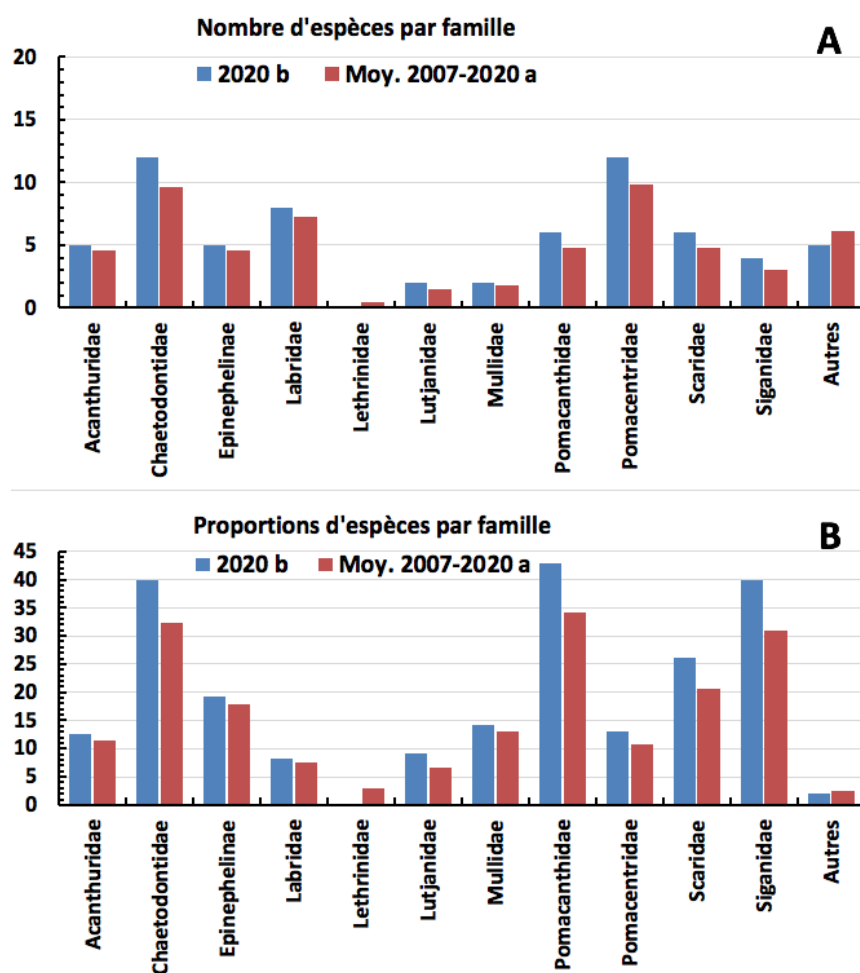


Figure 27 : Structure du peuplement pour cette mission relativement à la moyenne (ST04)

L'histogramme A compare pour une famille les effectifs vus lors de cette mission avec la moyenne et l'histogramme B compare les proportions de cet effectif vu par rapport à l'effectif total d'espèces vu pour cette même famille, sur la zone sud depuis les premières missions

Le récapitulatif des résultats en termes de :

- d'abondance (nombre d'individus, transects/liste restreinte),
- de densité (en poisson/m², transects/liste restreinte),
- de biomasse (en g/m², transects/liste restreinte),
- de biodiversité 1 (espèces observées sur les transects et de la liste restreinte),
- de biodiversité 2 (espèces observées sur la station (transects + complémentaires) et de la liste restreinte),
- de biodiversité 3 (toutes les espèces observées sur la station (transects + complémentaires / liste non restreinte)),

pour toutes les campagnes depuis 2007 est présenté dans le [tableau 41](#) et la [figure 28](#).

L'écart relatif à la moyenne [$E_{ri} = (X_i - X_m) / X_m$] pour ces paramètres biologiques peut alors être calculé : cf. [tableau 42](#) et représentation [figure 29](#).

Tableau 41 : Synopsis des résultats et récapitulatif des années précédentes (ST04)

Canal Woodin ST04		Liste DENV				Toutes espèces	
		Transect TLV				Station	Station
		Nb. ind.	Densité	Biom. g/m ²	Biodiv.1	Biodiv.2	Biodiv.3
2020 b	Transect A	159	3,97	46,32	38		

	Transect B	145	2,90	186,93	34		
	Transect C	93	1,86	208,05	31		
	Moy. ABC	132,33	2,91	147,10	67	92	126
2020 a	Moy. ABC	269,33	4,43	479,93	70	98	131
2019 b	Moy. ABC	355,00	4,56	372,66	75	91	135
2019 a	Moy. ABC	323,33	8,07	616,71	80	108	137
2018 b	Moy. ABC	534,67	7,21	438,1	74	100	135
2018 a	Moy. ABC	294,00	5,20	405,10	88	104	141
2017 b	Moy. ABC	367,67	7,68	195,95	77	103	145
2017 a	Moy. ABC	472,00	5,65	250,00	73	97	126
2016 b	Moy. ABC	315,67	3,56	108,03	68	96	117
2016 a	Moy. ABC	524,00	5,18	747,37	78	102	124
2015 b	Moy. ABC	586,67	4,64	609,65	72	90	120
2015 a	Moy. ABC	659,00	5,90	510,16	71	95	140
2014 b	Moy. ABC	177,67	2,21	392,32	50	75	115
2014 a	Moy. ABC	175,00	1,86	85,59	52	74	122
2013 b	Moy. ABC	134,57	1,32	97,56	46	72	92
2013 a	Moy. ABC	237,00	2,71	87,47	47	80	110
2012 b	Moy. ABC	99,00	1,09	105,52	46	64	90
2012 a	Moy. ABC	249,33	2,58	446,85	51	83	108
2011 b	Moy. ABC	95,33	0,95	65,36	42	68	88
2011 a	Moy. ABC	169,00	2,11	730,66	64	89	111
2010 b	Moy. ABC	81	0,84	38,60	25	70	92
2010 a	Moy. ABC	107,00	3,38	460,91	54	79	110
2009	Moy. ABC	45,00	4,07	456,26	35	55	81
2008	Moy. ABC	52,00	2,71	267,80	39	49	89
2007	Moy. ABC	95,00	5,45	408,31	37	40	54

Tableau 42 : Ecart relatif à la moyenne des paramètres biologiques ichthyologiques depuis 2007 (ST04)

	Nb ind.	Densité	Biom.	Biodiv.1	Biodiv.2	Biodiv.3
Variance	31 882	4	46 327	283	333	520
Ecart type	178,56	2,10	215,24	16,82	18,24	22,81
Moyenne	262,04	3,85	340,96	59,48	83,04	113,80
Coef. de Var.	0,72	0,61	0,67	0,30	0,23	0,21

Commentaires :

- Le nombre d'individus, la densité et la biomasse sont très chaotiques.
- Les biodiversités sont plus stables. La biodiversité totale (biodiversité 3) continue de faiblir mais conserve une valeur élevée.
- La représentation des Caesio dans la biomasse a baissée et les Acanthuridae sont faiblement représentés.
- Les Chaetodontidae, Pomacentridae et Labridae, représentent la moitié de la biodiversité totale.

La structure spécifique du peuplement de cette mission ne diffère pas de la structure moyenne établie sur la période de suivi quel que soit le mode représentation : le nombre d'espèces ou leurs proportions dans le nombre total observé durant la série historique (cf. § 3.4.3).

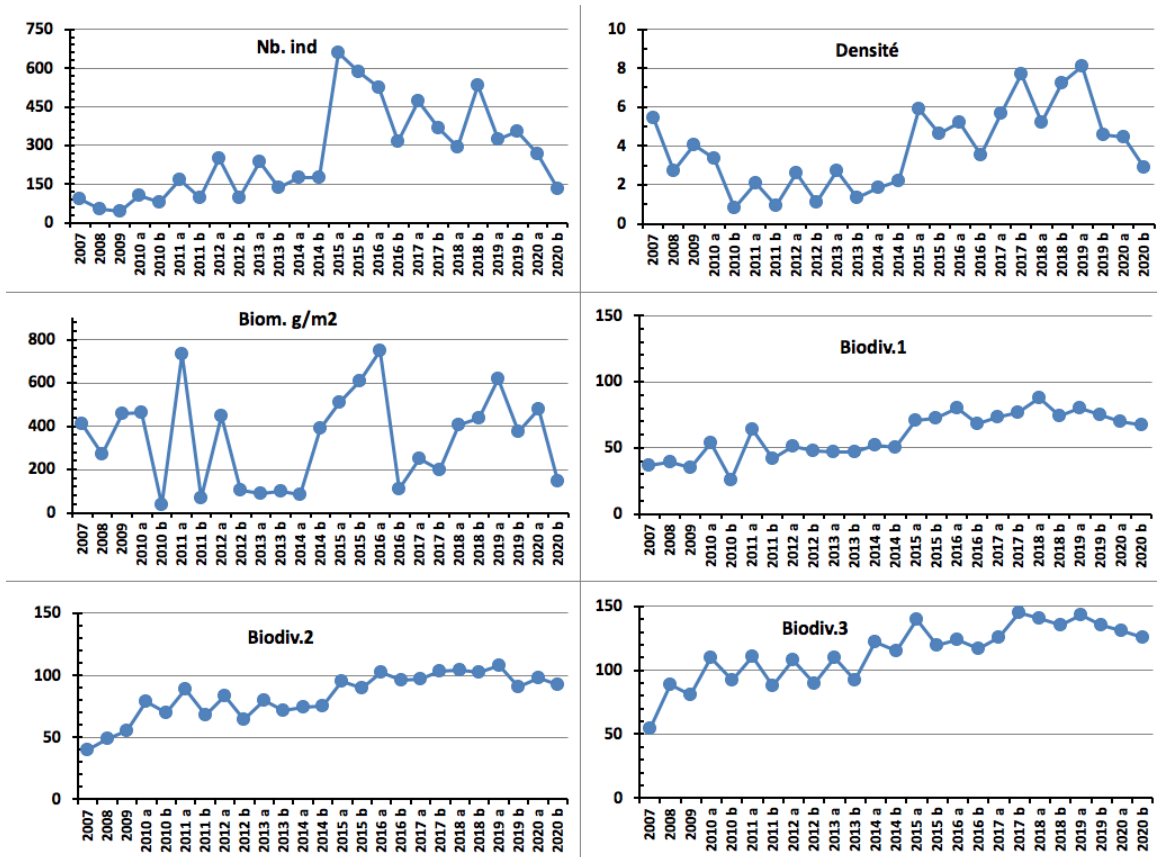


Figure 28 : Evolution des paramètres biologiques ichthyologiques depuis 2007 (ST04)

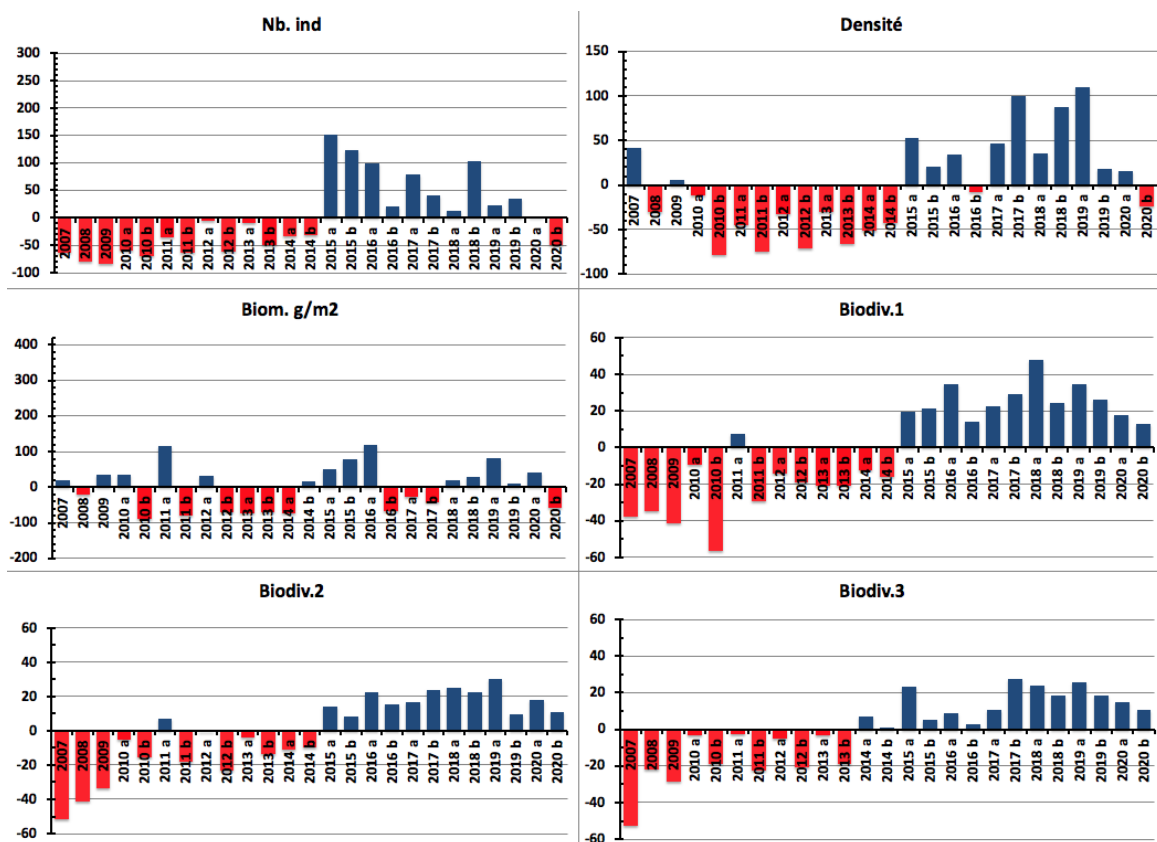


Figure 29 : Ecart relatif à la moyenne des paramètres biologiques ichthyologiques depuis 2007 (ST04)

4.5 Station 05 = Récif Ioro

Localisation géographique	Façade nord-ouest du récif de Ioro, sous le vent, à environ 200 mètres dans le sud-ouest du feu signal de Ioro (photographie 11). Ce récif est ennoyé et soumis aux courants de marée et subit sur sa façade sud-est l'assaut des vagues dues aux alizés et à son exposition au large, alors que sa façade ouest est plus protégée.
Nombre transects	3 transects.
Description transects	Ils ont été positionnés perpendiculairement à la pente à 5, 10 et 20 mètres de profondeur et sont orientés du sud-ouest vers le nord-est.
	Le transect A est installé sur la zone sommitale du récif qui est constituée par du sable fin sur lequel sont disposés de nombreux débris, des grandes colonies massives de <i>Porites</i> et des massifs coralliens épars. Ces derniers sont recouverts principalement par des corallines et des colonies coralliennes de taille décimétrique. Des <i>Cliona</i> encroûtent quelques coraux massifs (taille métrique). Le transect B se caractérise par un recouvrement important de débris, de blocs coralliens et de colonies de <i>Porites</i> (taille métrique) sur du sable coquillé. Les massifs coralliens sont épars, encore en place mais peu colonisés. Le transect C se situe en bas de pente sédimentaire (substrat sableux).

Description générale

La façade nord-ouest du récif est composée par une pente sédimentaire détritique (sable, débris et blocs coralliens) inclinée à environ 35°.

Des massifs coralliens de forme massive se développent particulièrement de la surface jusqu'à mi pente, laissant la place au fur et à mesure de la profondeur aux coraux branchus *Tubastraea micrantha* qui affectionnent les zones de courants.

Caractéristiques principales

- ↪ Présence en grand nombre de *Porites* massifs et branchus (diversité des Poritidae), *Millepora*, *Tubastraea micrantha* et d'une grande colonie pluri métrique de *Diploastrea heliopora*
- ↪ Mortalité corallienne (colonies en place) et nombreux débris
- ↪ Les spongiaires (*Cliona jullieni* et *C. orientalis*) sont relativement bien développés et colonisent les massifs et les blocs coralliens
- ↪ Diversité des échinodermes (astéries, holothuries, échinides) et mobilité bathymétrique importante (recherche de nourriture)
- ↪ **Présence d'*Acanthaster planci* : très occasionnelle :**
 - Présence en mai 2018 en A et B (1 spécimen) et en novembre 2018 en B (1 spécimen)

Variations entre mai et octobre 2020

Indicateur Corail :

- Le recouvrement corallien est de 38% au transect A, 32.5% en B et 1.5% en C. Stable
- Blanchissement corallien (surface totale observée) : *Octobre 2015 : 0% ; Avril 2016 : 0.17% ; Novembre 2016 : 0% ; Avril 2017 : 0.13% ; Septembre 2017 : 0% ; Mai 2018 : 0.4% ; Novembre 2018 : 0.07% ; Avril 2019 : 0% ; Octobre 2019 : 0.5% ; Mai 2020 : 0% ; Octobre 2020 : 0%*
- Lésions coralliennes : des colonies coralliennes sont dégradées suite aux maladies coralliennes, aux perturbations mécaniques et sédimentaires :
 - Maladie corallienne : la maladie de la bande blanche peut être observée ponctuellement sur les *Acropora* spp. (tabulaire) en A. Les anomalies de croissance sont importantes mais elles n'évoluent pas sur la grande colonie de *Diploastrea heliopora* (transect B)
 - Perturbations mécaniques et sédimentaires : les sédiments carbonatés peuvent entraîner de l'abrasion sur les colonies coralliennes

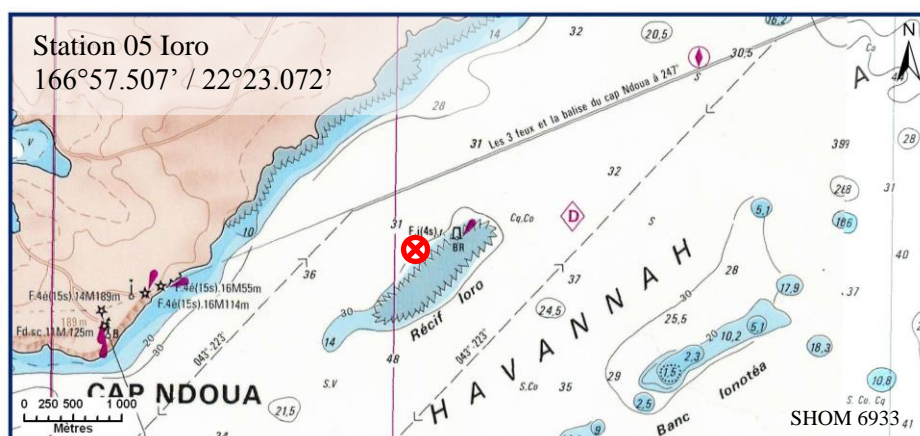
Autres indicateurs :

- Cyanobactéries : stable, absence pour les 3

- Le turf algal se développe modérément sur les débris
- Algue brune *Lobophora* : absente et stable
- Algue rouge *Asparagopsis taxiformis* : absente, diminution en A (niveau 2 à 0)
- *Cliona orientalis* : stable
- *Cliona jullieni* : stable

Les corallivores :

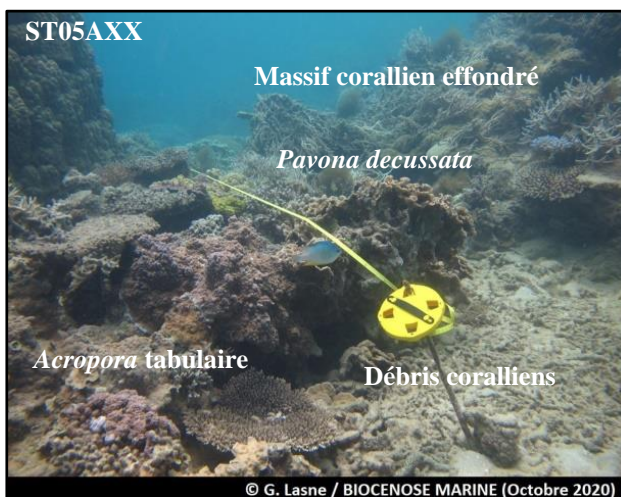
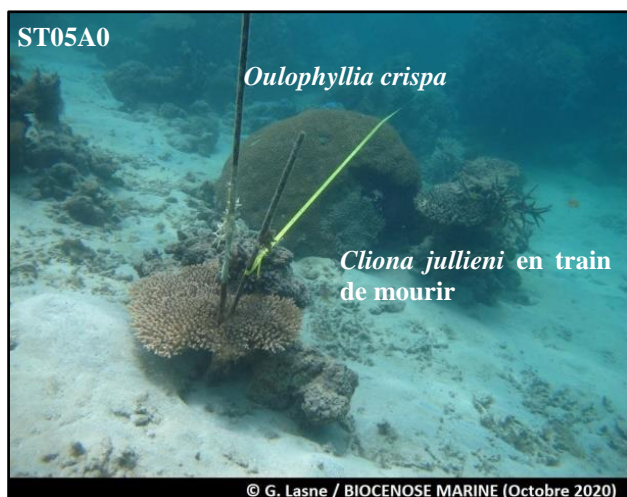
- *Culcita novaeguineae* et *Acanthaster planci* : absence, stable
- *Drupella cornus* : absence, stable



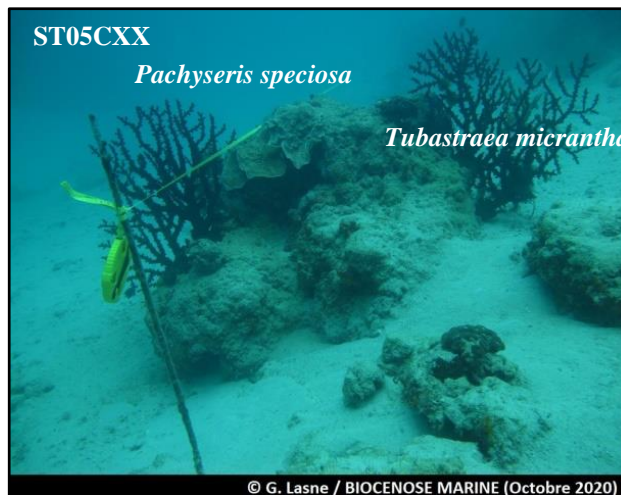
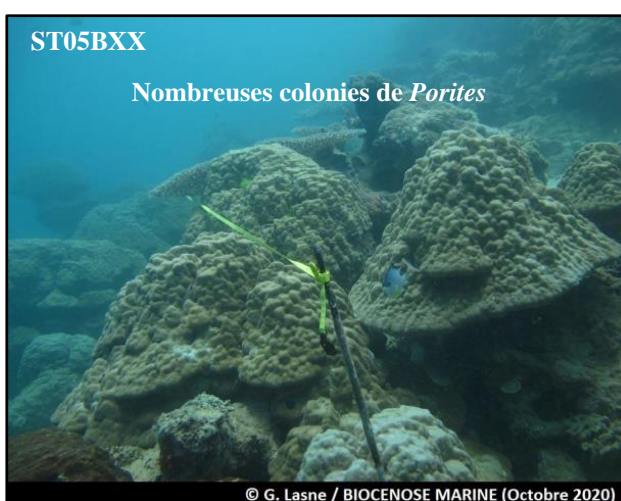
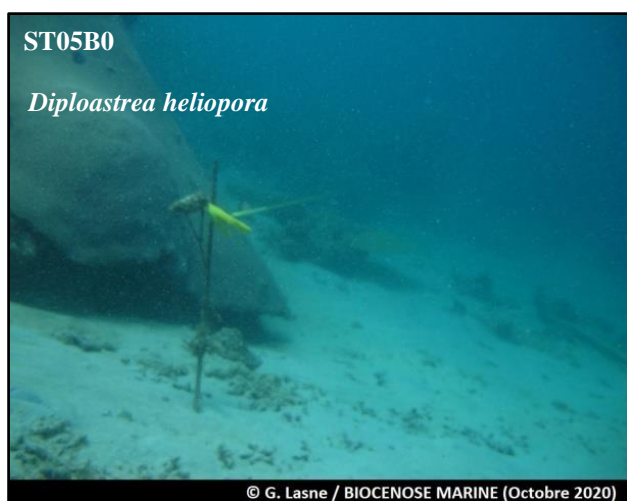
Carte 07 : Localisation de la station 05 (Ioro)



Photographie 11 : Position en surface par rapport au feu signal (ST05)



Nombreuses espèces d'holothuries pouvant coloniser le niveau bathymétrique supérieur (transect A)
(variation entre les missions)



Pente sédimentaire de sable carbonaté avec quelques massifs coralliens métriques à plurimétriques colonisés par des colonies coralliennes décimétriques et par *Tubastraea micrantha*

Photographie 12 : Vue d'ensemble des transects (ST05, présente mission)

4.5.1 Le substrat (ST05)

Le pourcentage de couverture de chaque composante est donné dans la [figure 30](#) pour le transect A, dans la [figure 31](#) pour le transect B et dans la [figure 32](#) pour le transect C.

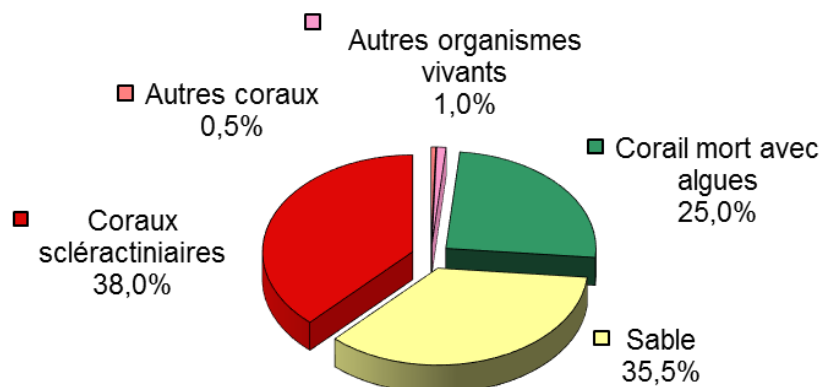


Figure 30 : Représentation du recouvrement (en %) du substrat pour ST05A

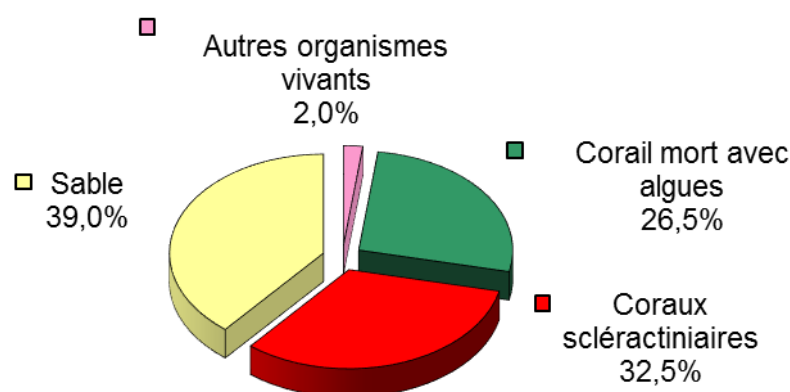


Figure 31 : Représentation du recouvrement (en %) du substrat pour ST05B

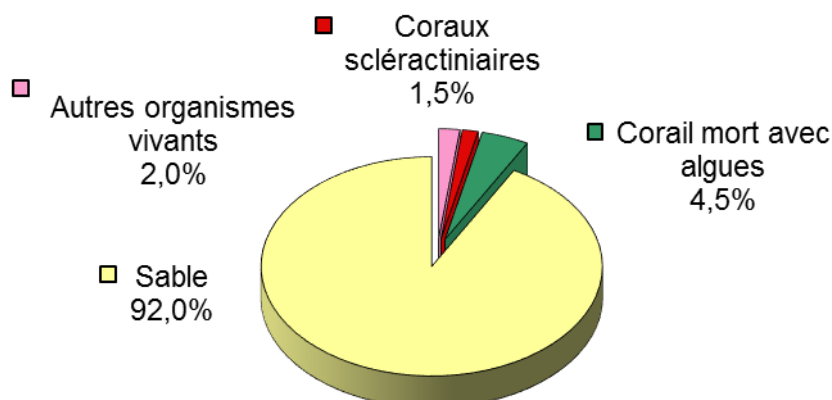


Figure 32 : Représentation du recouvrement (en %) du substrat pour ST05C

Le substrat est composé de sable dont la proportion augmente avec la profondeur (35.5%, 39% puis 92%). Les coraux scléactiniaires ne sont correctement représentés que sur les deux premiers transects (38% et 32.5%), contre que 1.5% au transect C.

Le transect C est remarquable par sa quasi absence de vie : il est positionné au-dessus du sable et croise seulement un massif corallien mort (avec turf algal) sur sa fin. Même si à cet étage le substrat est peu colonisé, ce transect n'est cependant pas représentatif de cette zone, où de très beaux *Tubastraea micrantha* peuvent notamment être observés.

Globalement cette station est stable.

4.5.2 Le benthos (ST05)

La liste des taxons cibles (cf. § 3.2.3) échantillonnés sur cette station et la liste complète des résultats bruts sont données en annexe n°04.

En octobre 2020, la richesse spécifique de la station Ioro (ST05) est composée de :

- **46 espèces d'invertébrés** dont 12 espèces de mollusques ; 5 espèces de cnidaires : alcyonaires (2 taxons), actiniaires (2 taxons), zoanthaires (1 taxon) ; 12 espèces d'échinodermes : holothurides (4 taxons), échinides (3 taxons), astéries (2 taxons), ophiurides (2 taxons), crinoïdes (1 taxon) ; 10 espèces d'éponges ; 5 espèces d'ascidies
- **8 espèces de macrophytes** : algues vertes (4 taxons), algues brunes (2 taxons), algues rouges (2 taxons)
- **Aucun taxon n'a été recensé dans le groupe des cyanobactéries.**

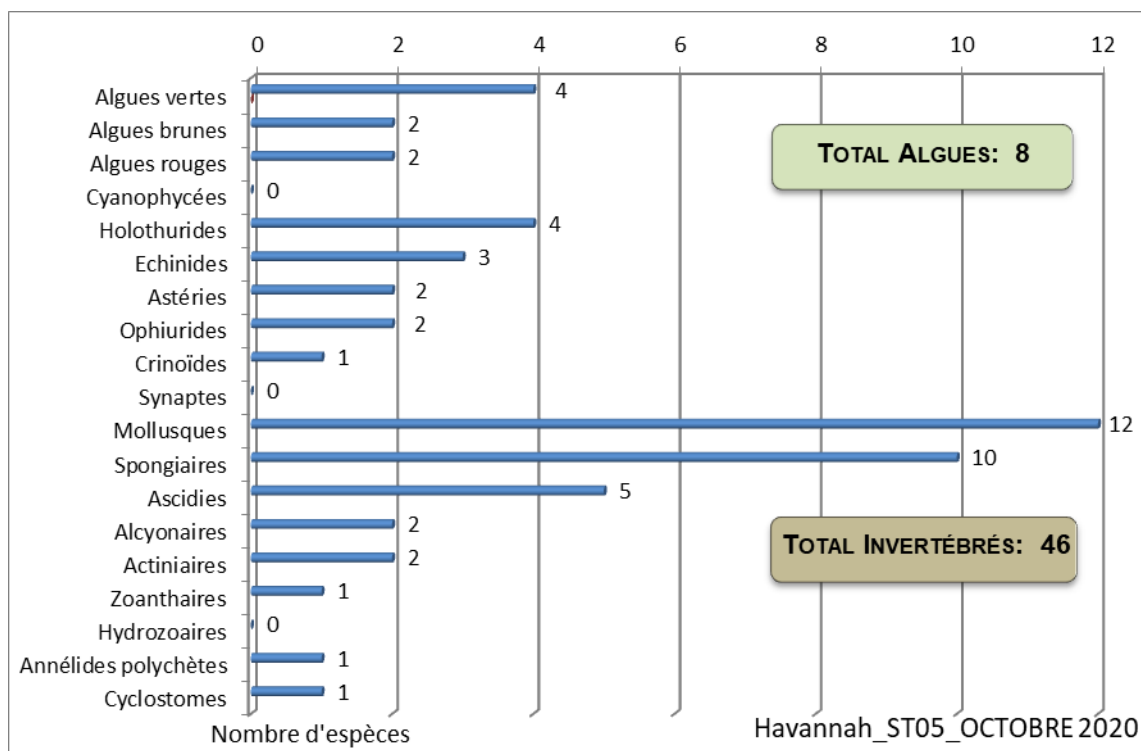


Figure 33 : Répartition par sous-groupe de la richesse spécifique des macrophytes et des invertébrés (hors coraux durs) (ST05)

4.5.2.1 Benthos Transect 05 A

En octobre 2020, la richesse spécifique du transect ST05A est composée de :

- 33 espèces d'invertébrés dont 8 espèces de mollusques ; 3 espèces de cnidaires : alcyonaires (1 taxon), actiniaires (1 taxon), zoanthaires (1 taxon) ; 10 espèces d'échinodermes : holothurides (4 taxons), échinides (3 taxons), ophiurides (2 taxons), crinoïdes (1 taxon) ; 6 espèces d'éponges ; 4 espèces d'ascidies
- 8 espèces de macrophytes : algues vertes (4 taxons), algues brunes (2 taxons), algues rouges (2 taxons)
- **Aucun taxon n'a été recensé dans le groupe des cyanobactéries.**

Tableau 43 : Variations entre mai et octobre 2020 : Les biocénoses* (ST05A)

Evolution de la richesse spécifique des biocénoses*	Evolution de l'abondance
Algues	
4 nouvelles espèces d'algues recensées, dont 2 espèces d'algues brunes : • <i>Dictyota</i> sp. (A2), • <i>Padina</i> sp. (A2) et 2 espèces d'algues rouges : • <i>Hypnea spinella</i> (A2), • <i>Trichogloea requienii</i> (A2). 3 espèces d'algues disparues, dont l'algue brune : • <i>Turbinaria ornata</i> (A0/-2) et l'algue rouge : • <i>Asparagopsis taxiformis</i> (A0/-2) ; et l'algue verte : • <i>Halimeda</i> sp. (1sp./-1sp., A2/-0).	Une espèce d'algue recensée l'algue verte : • <i>Ventricaria ventricosa</i> (A2/+ 1). Aucune espèce d'algues ne diminue.
Cyanobactéries	
<input checked="" type="checkbox"/>	<input checked="" type="checkbox"/>
Cnidaires	
<input checked="" type="checkbox"/>	<input checked="" type="checkbox"/>
Échinodermes	
4 espèces d'échinodermes disparues : ➢ pour les astéries (-3 espèce) : • <i>Fromia monilis</i> (A0/-1), • <i>Linckia multifora</i> (A0/-2), • <i>Nardoa gomophia</i> (A0/-1) ; ➢ pour les holothurides (-1 espèce) : • <i>Bohadschia vitiensis</i> (A0/-1).	Une espèce d'échinodermes augmente d'abondance : ➢ pour les holothurides (1 espèce) : • <i>Theleota ananas</i> (A2/+ 1).
Mollusques	
4 espèces de mollusques disparues : ➢ pour les bivalves (-2 espèce) : • <i>Tridacna crocea</i> (A0/-2), • <i>Tridacna squamosa</i> (A0/-2) ; ➢ pour les gastéropodes (-2 espèce) : • <i>Lambis lambis</i> (A0/-1), • <i>Lambis scorpius</i> (A0/-1).	2 espèces de mollusques augmentent d'abondance : ➢ pour les bivalves (2 espèces) : • <i>Septifer bilocularis</i> (A3/+ 1), • <i>Tridacna maxima</i> (A3/+ 1).
Éponges	
Une nouvelle espèce d'éponges recensée : • <i>Clathria rugosa</i> (A2).	Une espèce d'éponges augmente d'abondance : •Spongiaires ind. (noire) (A2/+ 1).
Ascidies	
Une nouvelle espèce d'ascidies recensée : • <i>Polycarpa cryptocarpa</i> (A2).	Une espèce d'ascidies augmente d'abondance : • <i>Polycarpa nigricans</i> (A3/+ 1).
Bryozoaires	
<input checked="" type="checkbox"/>	<input checked="" type="checkbox"/>

4.5.2.2 Benthos Transect 05 B

En octobre 2020, la richesse spécifique du transect ST05B est composée de :

- 35 espèces d'invertébrés dont 9 espèces de mollusques ; 3 espèces de cnidaires : alcyonaires (1 taxon), actiniaires (1 taxon), zoanthaires (1 taxon) ; 7 espèces d'échinodermes : échinides (2 taxons), ophiurides (2 taxons), astéries (1 taxon), crinoïdes (1 taxon), holothurides (1 taxon) ; 9 espèces d'éponges ; 5 espèces d'ascidies
- 4 espèces de macrophytes : algues vertes (3 taxons), algues rouges (1 taxon)
- **Aucun taxon n'a été recensé dans le groupe des cyanobactéries.**

Tableau 44 : Variations entre mai et octobre 2020 : Les biocénoses* (ST05B)

Evolution de la richesse spécifique des biocénoses*	Evolution de l'abondance
Algues	
Une nouvelle espèce d'algue recensée, l'algue rouge : • <i>Hypnea spinella</i> (A2). 2 espèces d'algues disparues, dont l'algue brune : • <i>Turbinaria ornata</i> (A0/-2) et l'algue rouge : • <i>Amphiroa</i> sp. (A0/-2).	Aucune espèce d'algues n'augmente. Aucune espèce d'algues ne diminue.
Cyanobactéries	
<input checked="" type="checkbox"/>	<input checked="" type="checkbox"/>
Cnidaires	
Une nouvelle espèce de cnidaires recensée : ➤ pour les alcyonaires (1 espèce) : • <i>Sarcophyton</i> sp. (A2).	<input checked="" type="checkbox"/>
Échinodermes	
3 espèces d'échinodermes disparues : ➤ pour les échinides (-1) : • <i>Echinometra mathaei</i> (A0/-2) ; ➤ pour les holothurides (-2 espèce) : • <i>Holothuria edulis</i> (A0/-2), • <i>Thekenota ananas</i> (A0/-1).	Une espèce d'échinodermes augmente d'abondance : ➤ pour les échinides (1 espèce) : • <i>Diadema setosum</i> (A3/+ 1).
Mollusques	
Une nouvelle espèce de mollusques recensée : ➤ pour les bivalves (1 espèce) : • <i>Lopha cristagalli</i> (A2). Une espèce de mollusques disparue : ➤ pour les nudibranches (-1 espèce) : • <i>Chromodoris reticulata</i> (A0/-2).	Une espèce de mollusques diminue d'abondance : ➤ pour les bivalves (1 espèce) : • <i>Pedum spondyloideum</i> (A3/- 1).
Éponges	
2 nouvelles espèces d'éponges recensées : • <i>Cymbastela cantharella</i> (A1), • <i>Spheciospongia vagabunda</i> (A2).	<input checked="" type="checkbox"/>
Ascidies	
2 nouvelles espèces d'ascidies recensées : • <i>Didemnum</i> sp. (blanche) (A2), • <i>Polycarpa clavata</i> (A1).	Une espèce d'ascidies augmente d'abondance : • <i>Polycarpa nigricans</i> (A3/+ 1).
Bryozoaires	
<input checked="" type="checkbox"/>	<input checked="" type="checkbox"/>

4.5.2.3 Benthos Transect 05 C

En octobre 2020, la richesse spécifique du transect ST05C est composée de :

- 28 espèces d'invertébrés dont 6 espèces de mollusques ; une espèce de cnidaires ; 6 espèces d'échinodermes : ophiurides (2 taxons), astéries (1 taxon), crinoïdes (1 taxon), échinides (1 taxon), holothurides (1 taxon) ; 8 espèces d'éponges ; 5 espèces d'ascidies
- **Aucun taxon n'a été recensé dans le groupe des macrophytes et des cyanobactéries.**

Tableau 45 : Variations entre mai et octobre 2020 : Les biocénoses (ST05C)*

Evolution de la richesse spécifique des biocénoses*	Evolution de l'abondance
Algues	
Aucune nouvelle espèce d'algues recensée ni n'a disparue.	Aucune espèce d'algues n'augmente ni ne diminue.
Cyanobactéries	
<input checked="" type="checkbox"/>	<input checked="" type="checkbox"/>
Cnidaires	
Une espèce de cnidaires disparue : ➤ pour les alcyonaires (-1 espèce) : • <i>Dendronephthya</i> sp. (A0/-1).	<input checked="" type="checkbox"/>
Echinodermes	
Une nouvelle espèce d'échinodermes recensée : ➤ pour les holothurides (1 espèce) : • <i>Theleota ananas</i> (A1).	Une espèce d'échinodermes augmente d'abondance : ➤ pour les crinoïdes (1 espèce) : •Crinoïdes ind. (A2/+ 1).
Mollusques	
Une nouvelle espèce de mollusques recensée : ➤ pour les bivalves (1 espèce) : • <i>Lopha cristagalli</i> (A2). Une espèce de mollusques disparue : ➤ pour les nudibranches (-1 espèce) : • <i>Phyllidia ocellata</i> (A0/-1).	<input checked="" type="checkbox"/>
Eponges	
Une nouvelle espèce d'éponges recensée : • <i>Ptilocaulis fusiformis</i> (A1).	2 espèces d'éponges augmentent d'abondance : • <i>Cymbastela cantharella</i> (A2/+ 1), •Spongiaires ind. (noire) (A2/+ 1).
Ascidies	
2 nouvelles espèces d'ascidies recensées : • <i>Polycarpa aurita</i> (A2), • <i>Polycarpa clavata</i> (A1). Une espèce d'ascidies disparue : • <i>Citorclinum laboutei</i> (A0/-1).	2 espèces d'ascidies diminuent d'abondance : • <i>Polycarpa cryptocarpa</i> (A1/- 1), • <i>Polycarpa nigricans</i> (A2/- 1).
Bryozoaires	
<input checked="" type="checkbox"/>	<input checked="" type="checkbox"/>

4.5.3 Les poissons (ST05)

La liste des espèces observées⁹ sur les transects et les résultats bruts sont fournis dans le tableau 46.

Tableau 46 : Données sur les poissons (ST05)

Banc Ioro ST05		Transect			Transect			Transect			Station		
		A			B			C			Moyenne		
Fam	Espèces	Nb	Dens	Biom	Nb	Dens	Biom	Nb	Dens	Biom	Nb	Dens	Biom
Aca	<i>Acanthurus achilles</i>				1	0,01	1,67				0,33	0,00	0,56
Aca	<i>Acanthurus blochii</i>	3	0,04	1,30	2	0,03	1,26	1	0,01	1,23	2,00	0,03	1,26
Aca	<i>Ctenochaetus cyanocheilus</i>	1	0,01	0,43							0,33	0,00	0,14
Aca	<i>Ctenochaetus striatus</i>	2	0,03	0,67	3	0,04	1,88				1,67	0,02	0,85
Aca	<i>Zebrasoma scopas</i>	2	0,03	0,50							0,67	0,01	0,17
Ble	<i>Meiacanthus atrodorsalis</i>	1	0,01	0,03							0,33	0,00	0,01
Can	<i>Canthigaster valentini</i>				1	0,01	0,01				0,33	0,00	0,00
Cha	<i>Chaetodon baronessa</i>	2	0,03	0,17							0,67	0,01	0,06
Cha	<i>Chaetodon ephippium</i>	2	0,03	0,67							0,67	0,01	0,22
Cha	<i>Chaetodon flaviviridis</i>				3	0,04	0,86				1,00	0,01	0,29
Cha	<i>Chaetodon lunulatus</i>	1	0,01	0,05							0,33	0,00	0,02
Cha	<i>Chaetodon plebeius</i>	3	0,04	0,05	2	0,03	0,12				1,67	0,02	0,06
Das	<i>Dasyatis kuhlii</i>				1	0,01	2,29				0,33	0,00	0,76
Epi	<i>Epinephelus merra</i>	1	0,01	0,25							0,33	0,00	0,08
Epi	<i>Epinephelus ongus</i>	1	0,01	0,43							0,33	0,00	0,14
Hae	<i>Plectorhinchus chaetodonoides</i>				1	0,01	7,71				0,33	0,00	2,57
Lab	<i>Cheilinus chlorourus</i>	1	0,01	0,84	1	0,01	1,40	1	0,01	1,09	1,00	0,01	1,11
Lab	<i>Cheilinus trilobatus</i>	1	0,01	2,00							0,33	0,00	0,67
Lab	<i>Gomphosus varius</i>	2	0,03	0,50							0,67	0,01	0,17
Lab	<i>Hemigymnus melapterus</i>	1	0,01	1,71	1	0,01	0,96	1	0,01	1,30	1,00	0,01	1,33
Lab	<i>Labroides dimidiatus</i>	3	0,04	0,09				2	0,03	0,06	1,67	0,02	0,05
Lab	<i>Thalassoma hardwicke</i>	5	0,06	0,27							1,67	0,02	0,09
Lab	<i>Thalassoma lunare</i>	3	0,04	0,26	4	0,06	0,39	5	0,06	0,64	4,00	0,05	0,43
Lab	<i>Thalassoma lutescens</i>	4	0,05	0,34							1,33	0,02	0,11
Let	<i>Gymnocranius grandoculis</i>							1	0,01	1,95	0,33	0,00	0,65
Lut	<i>Lutjanus adetii</i>							4	0,03	7,10	1,33	0,01	2,37
Mul	<i>Parupeneus barberinus</i>	2	0,03	0,86				3	0,04	6,00	1,67	0,02	2,29
Mul	<i>Parupeneus cyclostomus</i>							4	0,04	6,40	1,33	0,01	2,13
Mul	<i>Parupeneus spilurus</i>							2	0,02	3,20	0,67	0,01	1,07
Nem	<i>Scolopsis bilineatus</i>	6	0,08	2,00	3	0,04	0,86	4	0,05	2,74	4,33	0,06	1,87
Poc	<i>Centropyge bicolor</i>				2	0,03	0,04				0,67	0,01	0,01
Poc	<i>Centropyge bispinosa</i>	2	0,03	0,06							0,67	0,01	0,02
Poc	<i>Pomacanthus semicirculatus</i>							1	0,01	3,38	0,33	0,00	1,13
Poc	<i>Pygoplites diacanthus</i>							1	0,01	0,42	0,33	0,00	0,14
Pom	<i>Abudefduf whiteleyi</i>	9	0,11	0,49							3,00	0,04	0,16
Pom	<i>Amphiprion chrysopterus</i>	5	0,06	0,16							1,67	0,02	0,05
Pom	<i>Amphiprion perideraion</i>	5	0,06	0,08							1,67	0,02	0,03
Pom	<i>Chromis viridis</i>	15	0,19	0,24	20	0,29	0,15				11,67	0,16	0,13
Pom	<i>Chrysiptera rollandi</i>	4	0,05	0,03							1,33	0,02	0,01
Pom	<i>Chrysiptera taupou</i>	5	0,06	0,03							1,67	0,02	0,01
Pom	<i>Dascyllus aruanus</i>	10	0,13	0,07	5	0,07	0,04	10	0,17	0,21	8,33	0,12	0,11
Pom	<i>Dascyllus reticulatus</i>				5	0,07	0,04	10	0,17	0,21	5,00	0,08	0,08
Pom	<i>Dascyllus trimaculatus</i>	5	0,06	0,16	3	0,04	0,11	3	0,05	0,06	3,67	0,05	0,11
Pom	<i>Pomacentrus coelestis</i>	2	0,03	0,01							0,67	0,01	0,00
Pom	<i>Pomacentrus moluccensis</i>	3	0,04	0,05	4	0,06	0,07				2,33	0,03	0,04
Sca	<i>Cetoscarus ocellatus</i>	2	0,03	21,44							0,67	0,01	7,15
Sca	<i>Chlorurus bleekeri</i>				1	0,01	7,71				0,33	0,00	2,57
Sca	<i>Chlorurus sordidus</i>	3	0,04	3,07	3	0,04	2,89				2,00	0,03	1,99

⁹ Données par rapport à la liste restreinte du cahier des charges, cf. annexe n°01

Sca	<i>Scarus ghobban</i>							1	0,01	1,00	0,33	0,00	0,33
Sca	<i>Scarus niger</i>	1	0,01	2,00	1	0,01	4,46				0,67	0,01	2,15
Sca	<i>Scarus rivulatus</i>	1	0,01	3,91							0,33	0,00	1,30
Sca	<i>Scarus rubroviolaceus</i>				3	0,04	10,43	3	0,02	3,99	2,00	0,02	4,81
Sig	<i>Siganus doliatus</i>	2	0,03	3,43	2	0,03	2,34				1,33	0,02	1,92
Sig	<i>Siganus vulpinus</i>	3	0,04	1,65							1,00	0,01	0,55
Zan	<i>Zanclus cornutus</i>				1	0,01	1,40				0,33	0,00	0,47
Total		124	1,55	50,29	73	1,04	49,10	57	0,73	40,99	84,67	1,11	46,80
Biodiversité		38			24			18			55		
Indice de Shannon =		5,036											
Equitabilité =		0,871											

Sur l'ensemble des transects de la station, 254 individus appartenant à 55 espèces différentes ont pu être observés. Ils représentent une densité de 1.11 poissons/m² pour une biomasse de 46.80 g/m².

86 espèces complémentaires (e.g. hors des transects et hors liste restreinte [*en rouge*]) ont été observées sur la station (cf. tableau 47).

Tableau 47 : Liste des espèces complémentaires (ST05)

Fam	Espèces	Fam	Espèces	Fam	Espèces
Aca	<i>Acanthurus achilles</i>	Lab	<i>Cheilinus chlorourus</i>	Pom	<i>Amphiprion perideraion</i>
Aca	<i>Acanthurus blochii</i>	Lab	<i>Cheilinus trilobatus</i>	Pom	<i>Chromis nitida</i>
Aca	<i>Ctenochaetus cyanocheilus</i>	Lab	<i>Epibulus insidiator</i>	Pom	<i>Chromis viridis</i>
Aca	<i>Ctenochaetus striatus</i>	Lab	<i>Gomphosus varius</i>	Pom	<i>Chrysiptera rollandi</i>
Aca	<i>Zebrasoma scopas</i>	Lab	<i>Halichoeres prosopeion</i>	Pom	<i>Chrysiptera taupou</i>
Apo	<i>Apogon doederleini</i>	Lab	<i>Hemigymnus fasciatus</i>	Pom	<i>Dascyllus aruanus</i>
Apo	<i>Apogon fuscus</i>	Lab	<i>Hemigymnus melapterus</i>	Pom	<i>Dascyllus reticulatus</i>
Aul	<i>Aulostomus chinensis</i>	Lab	<i>Labroides dimidiatus</i>	Pom	<i>Dascyllus trimaculatus</i>
Bal	<i>Sufflamen bursa</i>	Lab	<i>Labropsis australis</i>	Pom	<i>Plectroglyphidodon johnstonianus</i>
Ble	<i>Meiacanthus atrodorsalis</i>	Lab	<i>Thalassoma hardwicke</i>	Pom	<i>Pomacentrus adelus</i>
Can	<i>Canthigaster valentini</i>	Lab	<i>Thalassoma lunare</i>	Pom	<i>Pomacentrus adelus</i>
Cha	<i>Chaetodon baronessa</i>	Lab	<i>Thalassoma lutescens</i>	Pom	<i>Pomacentrus coelestis</i>
Cha	<i>Chaetodon ephippium</i>	Let	<i>Gymnocranius grandoculis</i>	Pom	<i>Pomacentrus moluccensis</i>
Cha	<i>Chaetodon flavirostris</i>	Lut	<i>Lutjanus adetii</i>	Pom	<i>Pomacentrus nagasakiensis</i>
Cha	<i>Chaetodon lunulatus</i>	Lut	<i>Lutjanus fulvus</i>	Pri	<i>Priacanthus hamrur</i>
Cha	<i>Chaetodon plebeius</i>	Mon	<i>Oxymonacanthus longirostris</i>	Sca	<i>Cetoscarus ocellatus</i>
Cha	<i>Coradion altivelis</i>	Mon	<i>Oxymonacanthus longirostris</i>	Sca	<i>Chlorurus bleekeri</i>
Cir	<i>Cirrhichthys falco</i>	Mul	<i>Parupeneus barberinus</i>	Sca	<i>Chlorurus sordidus</i>
Cir	<i>Paracirrhites forsteri</i>	Mul	<i>Parupeneus cyclostomus</i>	Sca	<i>Scarus ghobban</i>
Das	<i>Dasyatis kuhlii</i>	Mul	<i>Parupeneus spilurus</i>	Sca	<i>Scarus niger</i>
Epi	<i>Epinephelus merra</i>	Nem	<i>Scolopsis bilineatus</i>	Sca	<i>Scarus rivulatus</i>
Epi	<i>Epinephelus ongus</i>	Pin	<i>Parapercis hexoptalma</i>	Sca	<i>Scarus rubroviolaceus</i>
Gra	<i>Diploprion bifasciatum</i>	Poc	<i>Centropyge bicolor</i>	Sig	<i>Siganus doliatus</i>
Hae	<i>Plectorhinchus chaetodonoides</i>	Poc	<i>Centropyge bispinosa</i>	Sig	<i>Siganus puellus</i>
Lab	<i>Anampses caeruleopunctatus</i>	Poc	<i>Pomacanthus semicirculatus</i>	Sig	<i>Siganus vulpinus</i>
Lab	<i>Anampses femininus</i>	Poc	<i>Pygoplites diacanthus</i>	Syn	<i>Saurida gracilis</i>
Lab	<i>Anampses neoguinaicus</i>	Pom	<i>Abudefduf whiteleyi</i>	Syn	<i>Synodus variegatus</i>
Lab	<i>Bodianus diana</i>	Pom	<i>Amblyglyphidodon leucogaster</i>	Zan	<i>Zanclus cornutus</i>
Lab	<i>Bodianus diana</i>	Pom	<i>Amphiprion chrysopterus</i>		

Le nombre d'espèces présentes pour chaque famille (observée depuis 2007) est donné dans le [tableau 48](#) et spécifiquement pour cette campagne sur la [figure 34](#).

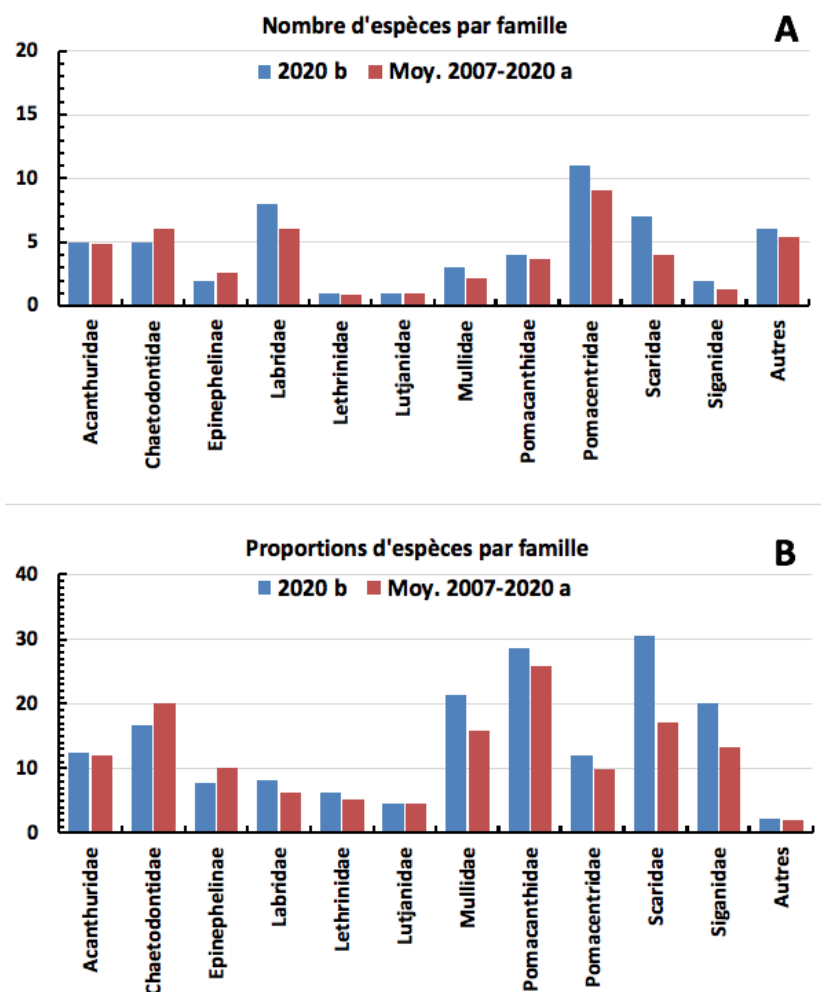


Figure 34 : Structure du peuplement pour cette mission relativement à la moyenne (ST05)

L'histogramme A compare pour une famille les effectifs vus lors de cette mission avec la moyenne et l'histogramme B compare les proportions de cet effectif vu par rapport à l'effectif total d'espèces vu pour cette même famille, sur la zone sud depuis les premières missions

Tableau 48 : Nombre d'espèces par famille ichtyologique (ST05)

Familles	Nb d'espèces vues (zone et période totale)	Nb d'espèces		Proportions	
		Campagne	Moy.	Campagne	Moy.
Acanthuridae	40	5	4,83	12,50	12,08
Chaetodontidae	30	5	6,04	16,67	20,14
Epinephelinae	26	2	2,63	7,69	10,10
Labridae	97	8	6,04	8,25	6,23
Lethrinidae	16	1	0,83	6,25	5,21
Lutjanidae	22	1	1,00	4,55	4,55
Mullidae	14	3	2,21	21,43	15,77
Pomacanthidae	14	4	3,63	28,57	25,89
Pomacentridae	92	11	9,04	11,96	9,83

Scaridae	23	7	3,96	30,43	17,21
Siganidae	10	2	1,33	20,00	13,33
Autres	257	6	5,42	2,33	2,11
Khi2 obs		2,7		10,7	
Khi2 tab				19,17	

Le récapitulatif des résultats en termes de :

- d'abondance (nombre d'individus, transects/liste restreinte),
- de densité (en poisson/m², transects/liste restreinte),
- de biomasse (en g/m², transects/liste restreinte),
- de biodiversité 1 (espèces observées sur les transects et de la liste restreinte),
- de biodiversité 2 (espèces observées sur la station (transects + complémentaires) et de la liste restreinte),
- de biodiversité 3 (toutes les espèces observées sur la station (transects + complémentaires / liste non restreinte)),

pour toutes les campagnes depuis 2007 est présenté dans le [tableau 49](#) et la [figure 35](#).

Tableau 49 : Synopsis des résultats et récapitulatif des années précédentes (ST05)

Banc Ioro ST05		Liste DENV					Toutes espèces	
		Transect TLV				Station	Station	
		Nb. ind.	Densité	Biom. g/m ²	Biodiv.1	Biodiv.2	Biodiv.3	
2020 b	Transect A	124	1,55	50,29	38			
	Transect B	73	1,04	49,10	24			
	Transect C	57	0,73	40,99	18			
	Moy. ABC	84,67	1,11	46,80	55	58	86	
2020 a	Moy. ABC	111,67	1,46	123,30	64	69	99	
2019 b	Moy. ABC	118,67	1,76	32,54	48	62	97	
2019 a	Moy. ABC	156,67	2,12	167,52	55	69	101	
2018 b	Moy. ABC	93,67	0,93	31,12	47	66	94	
2018 a	Moy. ABC	126,00	1,58	36,61	56	66	100	
2017 b	Moy. ABC	111,00	1,20	23,51	50	74	109	
2017 a	Moy. ABC	131,33	0,96	169,61	43	67	94	
2016 b	Moy. ABC	91,67	0,72	52,48	53	72	102	
2016 a	Moy. ABC	122,67	1,80	126,83	62	74	108	
2015 b	Moy. ABC	143,00	1,53	240,79	56	80	109	
2015 a	Moy. ABC	115,67	1,19	173,89	63	81	113	
2014 b	Moy. ABC	275,33	3,00	415,97	49	63	91	
2014 a	Moy. ABC	93,00	1,12	83,80	45	81	114	
2013 b	Moy. ABC	71,76	0,94	125,51	44	72	101	
2013 a	Moy. ABC	140,33	1,80	130,43	43	87	115	
2012 b	Moy. ABC	107,00	1,22	99,73	40	69	96	
2012 a	Moy. ABC	76,67	0,87	51,11	36	66	88	
2011 b	Moy. ABC	71,00	0,81	41,01	43	59	84	
2011 a	Moy. ABC	141,33	1,56	661,47	55	67	94	
2010 b	Moy. ABC	100	1,23	37,89	24	50	66	
2010 a	Moy. ABC	71,00	2,37	93,78	42	63	79	

2009	Moy. ABC	45,50	4,09	315,96	44	56	69
2008	Moy. ABC	57,30	2,02	57,97	30	41	52
2007	Moy. ABC	26,30	0,73	47,65	22	37	50

L'écart relatif à la moyenne [$Er_i=(X_i-X_m)/X_m$] pour ces paramètres biologiques peut alors être calculé : cf. [tableau 50](#) et représentation [figure 36](#).

Tableau 50 : Ecart relatif à la moyenne des paramètres biologiques ichtyologiques depuis 2007 (ST05)

	Nb ind.	Densité	Biom.	Biodiv.1	Biodiv.2	Biodiv.3
Variance	2 245	0,59	21 106	132	139	317
Ecart type	47,38	0,77	145,28	11,49	11,78	17,81
Moyenne	106,87	1,52	135,49	46,44	66,08	92,60
Coef. de Var.	0,44	0,51	1,07	0,25	0,18	0,19

Commentaires :

- Tous les paramètres ont des valeurs proches de leur moyenne établie sur la période.
- Les changements qualitatifs à l'intérieur de la Bα sont sensibles mais nombre d'entre eux portent sur des espèces qui ne figurent pas sur la liste DENV.
- Les espèces apparues en 2020 a, comme *Pomacentrus brachialis* et *P. chrysurus* n'ont pas été revues.

Ainsi, malgré sa stabilité quantitative, le peuplement de cette station, comme celui des autres stations, est qualitativement très plastique.

Décrite quantitativement de façon absolue ou relative (cf. § 3.4.3) la structure spécifique du peuplement de 2020 b ne diffère pas de la structure moyenne historique.

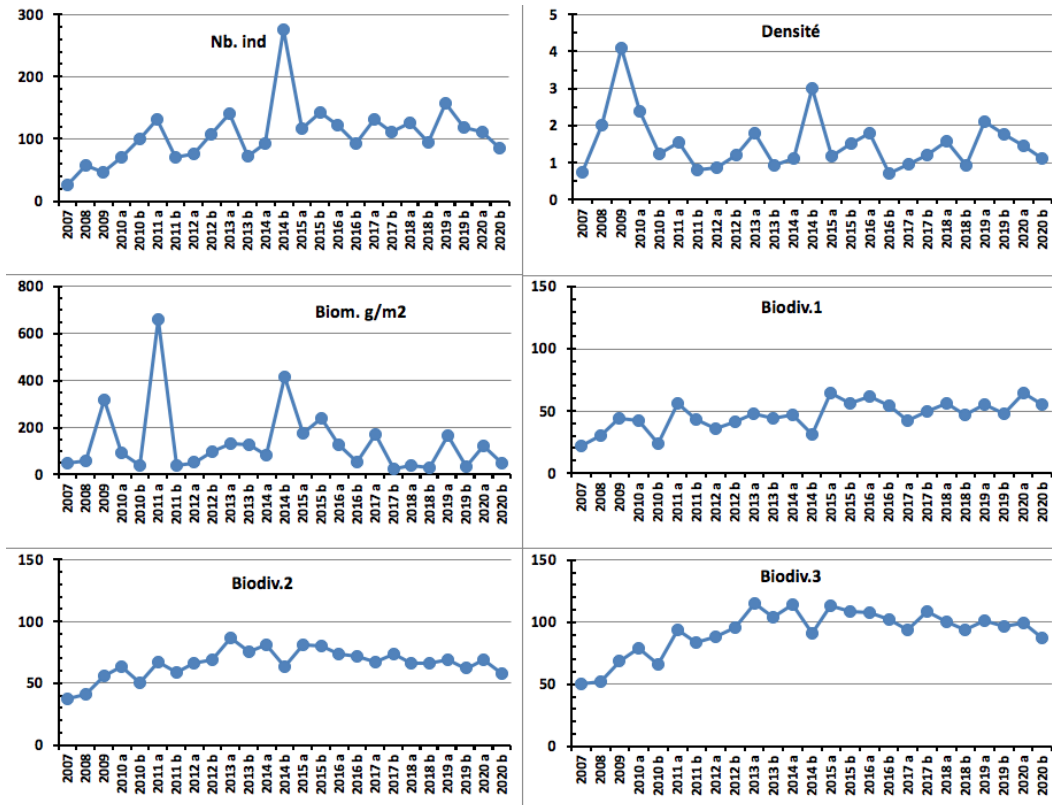


Figure 35 : Evolution des paramètres biologiques ichthyologiques depuis 2007 (ST05)

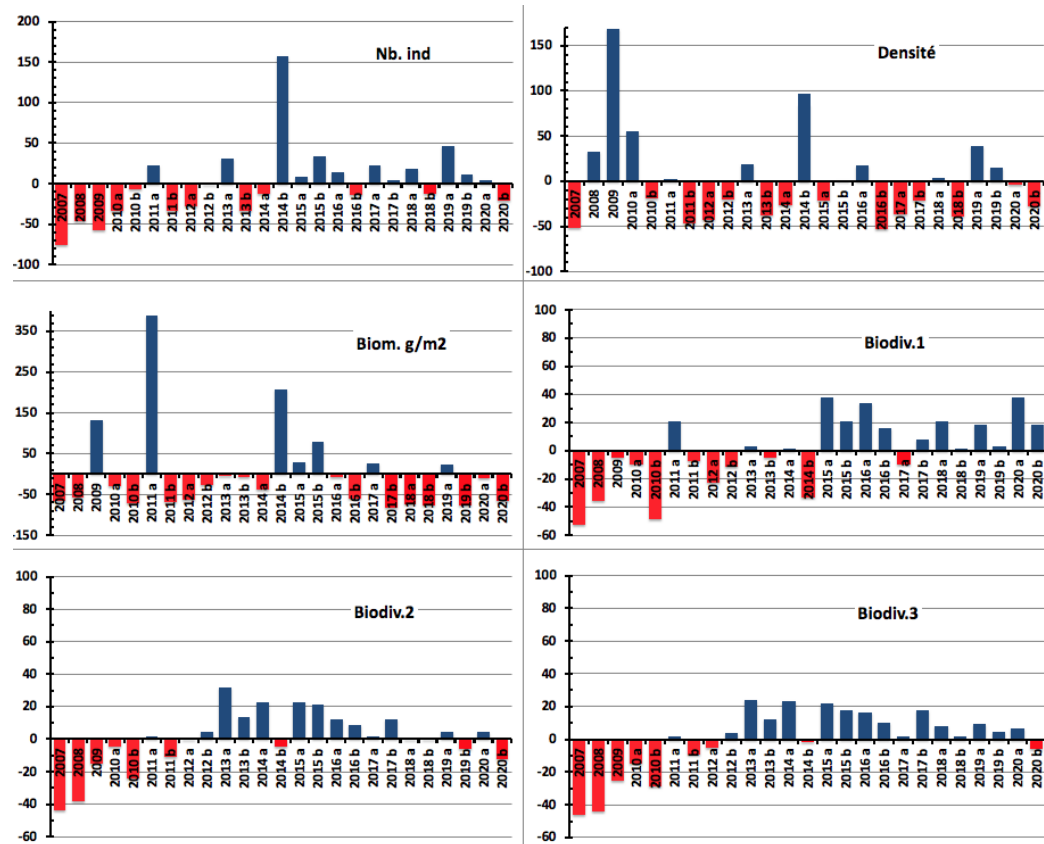


Figure 36 : Ecart relatif à la moyenne des paramètres biologiques ichthyologiques depuis 2007 (ST05)

4.6 Station 06 = Banc Ionontea

Localisation géographique	Au nord-est du banc Ionontea. Le banc Ionontea se situe au milieu du canal de la Havannah. Ce récif est totalement immergé (cf. photographie 13) et subit les forts courants de marée, l'assaut des trains de houle et le ressac. Selon les conditions et l'heure de marée il peut même se former un mascaret. Aucun abri n'est possible.
Nombre transects	3 transects.
Description transects	Ils ont été positionnés parallèlement à la rupture de pente sous une orientation du sud-ouest vers le nord-est à 9, 15 et 21 mètres de profondeur.
	Le transect A se situe au début de la rupture de pente du récif. Le transect B se trouve au milieu de la pente qui est abrupte. Cette déclivité et les conditions hydrodynamiques intenses ont généré des effondrements de débris et de blocs coralliens (10 cm à 1 m) et retourné des <i>Acropora</i> tabulaires. Le transect C se situe en bas de pente. Au-delà, les massifs coralliens sont beaucoup plus espacés et le sable parsemé de débris, représente plus de 70 % du recouvrement.

Description générale

La station est positionnée sur une pente abrupte inclinée entre 40-50° pour les profondeurs de 6 et 20 mètres. Le banc est recouvert à son sommet principalement par des coraux du genre *Acropora* tabulaires et sub massif *Pocillopora* puis par une algue brune des genres *Turbinaria* et *Sargassum*. Cette zone est fréquentée par de nombreuses tortues qui viennent se nourrir de ces algues. On note également la présence de deux couloirs d'avalanches avec des débris coralliens où les madrépores sont quasiment inexistantes.

Caractéristiques principales

- ↪ Originalité des peuplements coralliens adaptés à un milieu d'hydrodynamisme très important (courant de marée, houle et ressac)
- ↪ Dégradation des communautés benthiques sur l'ensemble de la station à cause de l'hydrodynamisme important : arrachement et casse des colonies coralliennes au transect A, puis remobilisation et accumulation de débris et de blocs coralliens pour les autres transects B&C (surtout PAM en 2015)
- ↪ Nombreux coraux tabulaires retournés sur l'ensemble de la station (mortalité conséquente par arrachement)
- ↪ Présence de grandes colonies de *Porites* massifs à mi pente (B)
- ↪ Présence de *Blastomussa wellsi* et *Physogyra lichtensteini* en C
- ↪ Suite au blanchissement corallien du début d'année 2016, quelques colonies sont mortes en place ou nécrosées en A
- ↪ Les spongiaires (*Cliona jullieni* et *C. orientalis*) se développent relativement bien et colonisent les blocs coralliens et les massifs coralliens
- ↪ Mobilité bathymétrique des échinodermes (astéries, holothuries, échinides) et des mollusques
- ↪ Forte variation de recouvrement de l'algue rouge *Asparagopsis* (saisonnalité)
- ↪ Absence de l'algue brune *Lobophora variegata*
- ↪ **Présence d'*Acanthaster planci*** : très occasionnelle :
 - Présence en avril 2019 de 1 spécimen juvénile en C

Variations entre mai et octobre 2020

Indicateur Corail :

- Le recouvrement corallien est de 38% au transect A (3^{ème} rang du réseau), 35% en B (2^{ème} rang du réseau, gain d'1 niveau) et 8% en C. Stable. La moyenne sur la station est de 27%, ce qui la place au 3^{ème} rang
- Blanchissement corallien (surface totale observée) : *Octobre 2015* : 0.33% ; *Avril 2016* : 0.5% ; *Novembre 2016* : 0.15% ; *Avril 2017* : 1.07% ; *Septembre 2017* : 0.17% ; *Mai 2018* : 0.6% ; *Novembre 2018* : 0.07% ; *Avril 2019* : 0.47% ; *Octobre 2019* : 0.3% ; *Mai 2020* : 1.13% ; *Octobre 2020* : 0.23%
- Lésions coralliennes : des colonies coralliennes sont dégradées suite aux perturbations mécaniques, à la maladie de la bande blanche et à la prédation de corallivore :

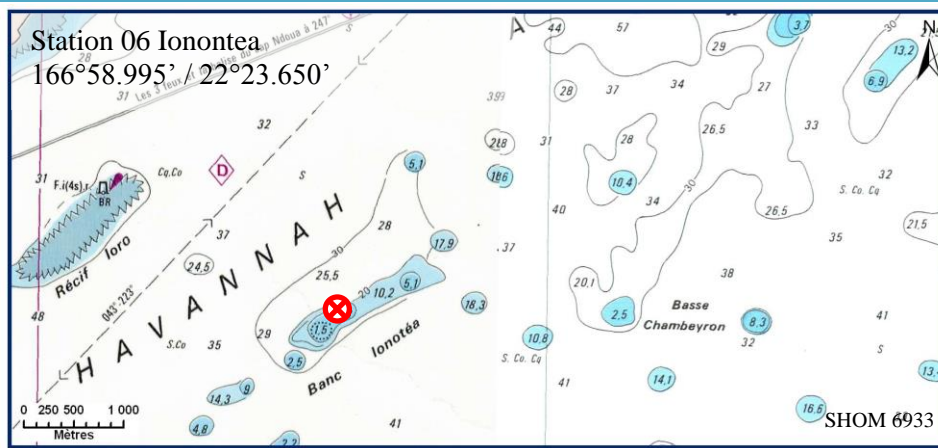
- Prédation des corallivores *Drupella cornus* : RAS pour cette mission
- Maladie corallienne : la maladie de la bande blanche se développe sur les *Acropora* spp. (tabulaire) en A : 0.7 m² de coraux blanchis sans polype
- Perturbations mécaniques (couloirs d'effondrement de débris) : les conditions hydrodynamiques sont importantes, de nombreux débris et de nombreuses colonies coralliennes ne sont plus fixées sur le substrat suite aux événements dépressionnaires

Autres indicateurs :

- Cyanobactéries : stable en A (absentes) et B (niveau 2), augmentation en C (niveau 1 à 2). Elles se développent sur les colonies mortes en place et les débris
- Le turf algal se développe modérément sur les débris coralliens et les colonies coralliennes au fur et à mesure de leur dégradation (effondrement de débris)
- Algues brunes *Lobophora* : absente et stable
- Algues rouges *Asparagopsis taxiformis* : forte augmentation aux 3 transects (niveau 0 à 3)
- *Cliona orientalis* : diminution en A (niveau 3 à 2) et stable en B et C (niveau 4 et 3)
- *Cliona jullieni* : stable

Les corallivores :

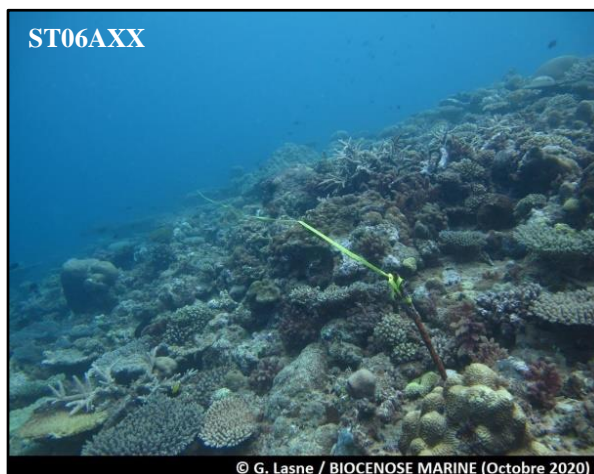
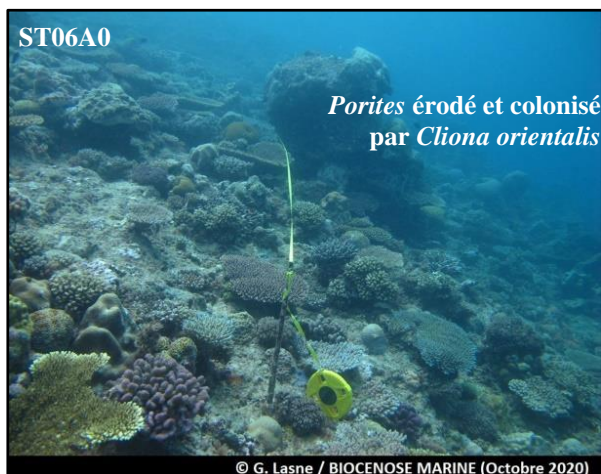
- *Acanthaster planci* et *Culcita novaeguineae* : absence, stable
- *Drupella cornus* : diminution, absence



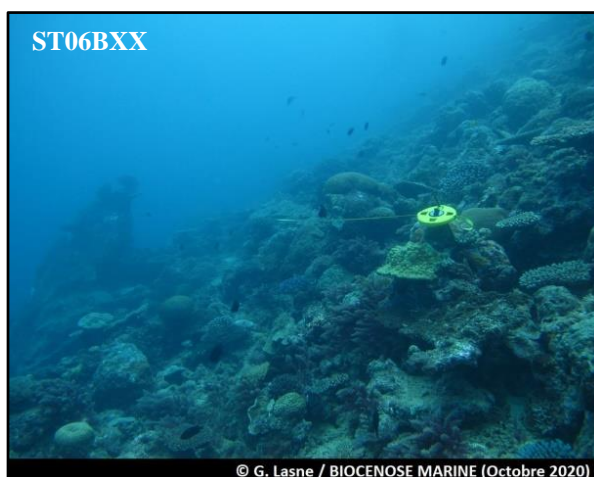
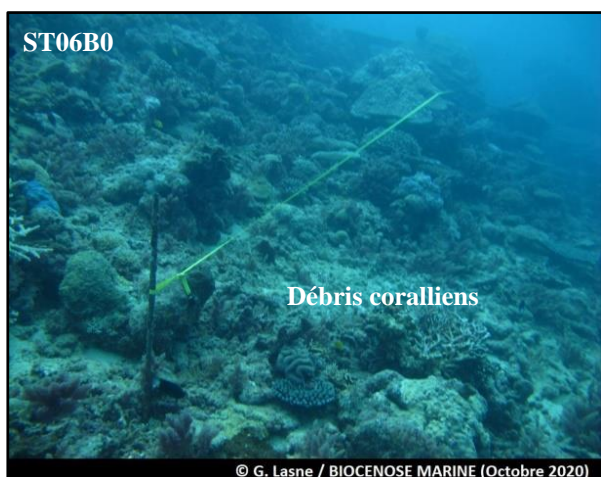
Carte 08 : Localisation de la station 06 (Ionotea)



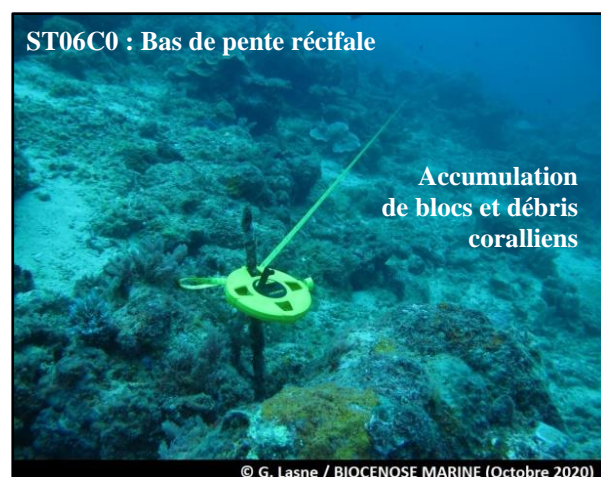
Photographie 13 : Position en surface (ST06)



Nombreuses colonies d'*Acropora* tabulaires colonisant le niveau bathymétrique supérieur ainsi que des colonies coralliennes retournées (hydrodynamisme) et mortes en place



De nombreux débris coralliens et colonies mortes ont dévalé la pente par gravité (milieu et bas de pente récifale)



Les cyanobactéries peuvent avoir un recouvrement très important selon les missions (saisonnalité)

Photographie 14 : Vue d'ensemble des transects (ST06, présente mission)

4.6.1 Le substrat (ST06)

Le pourcentage de couverture de chaque composante est donné dans la [figure 37](#) pour le transect A, dans la [figure 38](#) pour le transect B et dans la [figure 39](#) pour le transect C.

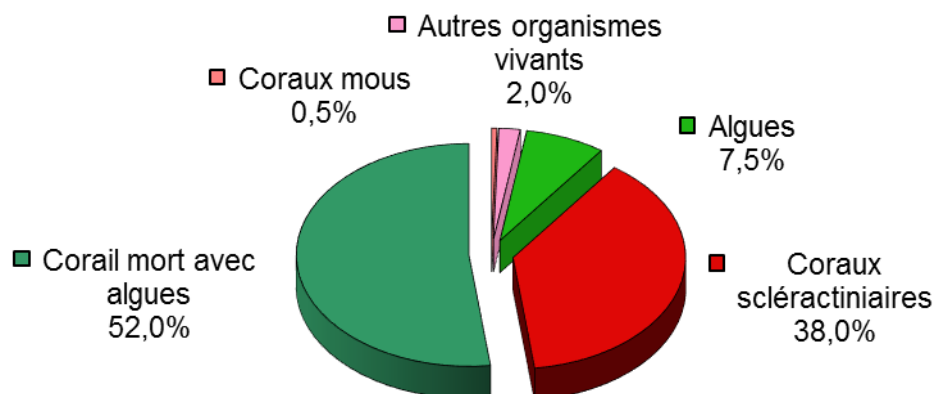


Figure 37 : Représentation du recouvrement (en %) du substrat pour ST06A

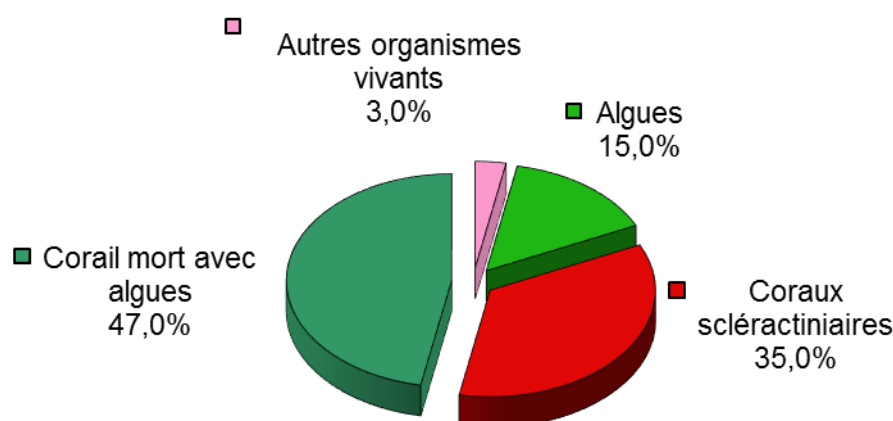


Figure 38 : Représentation du recouvrement (en %) du substrat pour ST06B

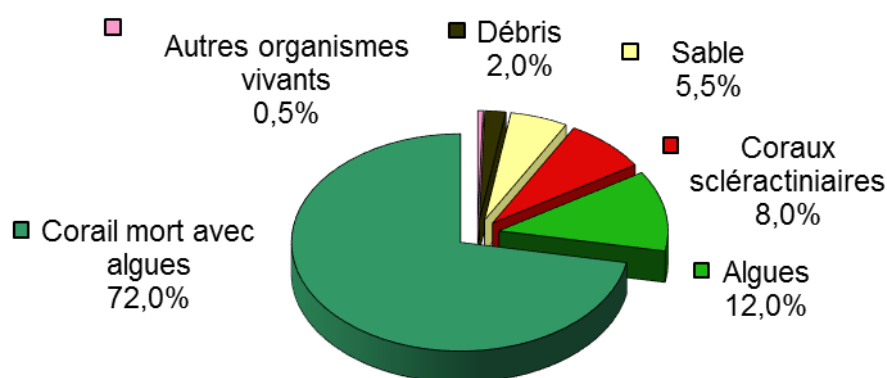


Figure 39 : Représentation du recouvrement (en %) du substrat pour ST06C

Le substrat est très recouvert à cette station, notamment de coraux morts anciennement et colonisés par des algues calcaires encroûtantes (avec ainsi 100% de substrat biotique au transect A et B et 92.5% en C).

Les coraux scléactiniaires sont bien représentés particulièrement sur les 2 transects haut (38% en A - 3^{ème} rang du réseau -, 35% en B - 2^{ème} rang du réseau, gain d'1 niveau -, et 8% en C).

A noter : 0.5% de cyanobactéries en B.

Les trois transects sont globalement stables.

4.6.2 Le benthos (ST06)

La liste des taxons cibles (cf. § 3.2.3) échantillonnés sur cette station et la liste complète des résultats bruts sont données en annexe n°04.

En octobre 2020, la richesse spécifique de la station Banc Ionontea (ST06) est composée de :

- **42 espèces d'invertébrés** dont 9 espèces de mollusques ; 5 espèces de cnidaires : alcyonnaires (2 taxons), actiniaires (1 taxon), hydrozoaires (1 taxon), zoanthaires (1 taxon) ; 8 espèces d'échinodermes : astéries (3 taxons), échinides (2 taxons), holothurides (2 taxons), crinoïdes (1 taxon) ; 10 espèces d'éponges ; 8 espèces d'ascidies
- **7 espèces de macrophytes** : algues vertes (3 taxons), algues brunes (2 taxons), algues rouges (2 taxons)
- **1 espèce de cyanobactéries.**

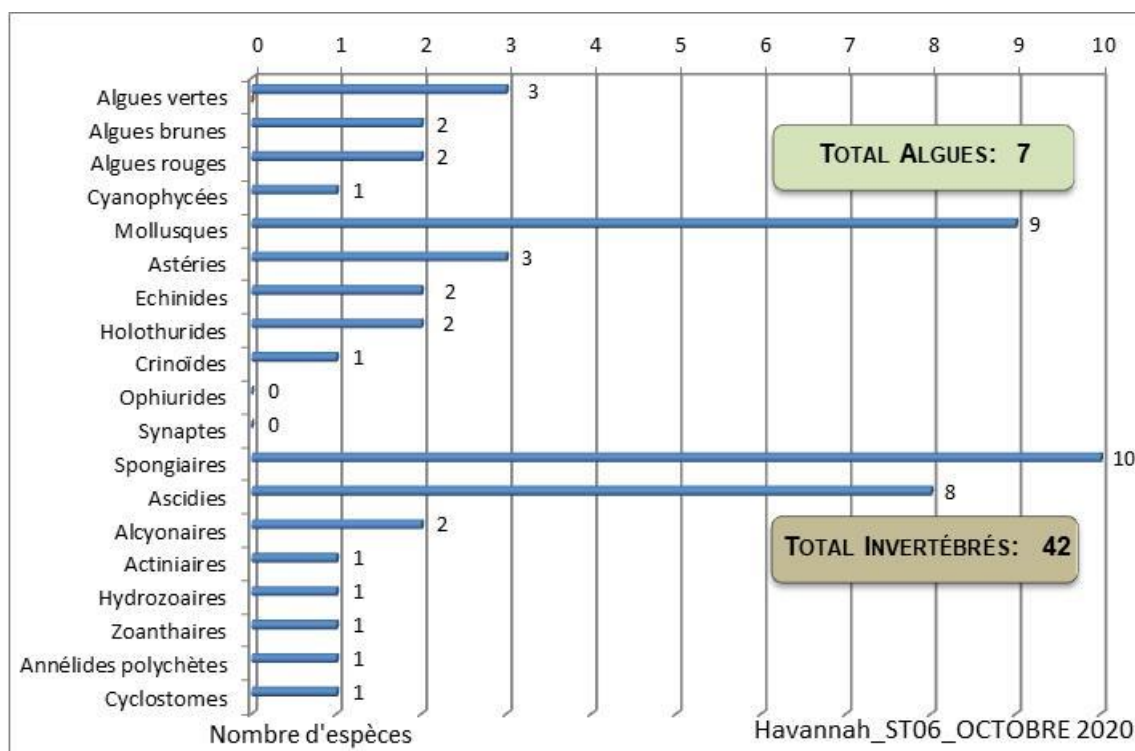


Figure 40 : Répartition par sous-groupe de la richesse spécifique des macrophytes et des invertébrés (hors coraux durs) (ST06)

4.6.2.1 Benthos Transect 06 A

En octobre 2020, la richesse spécifique du transect ST06A est composée de :

- 21 espèces d'invertébrés dont 5 espèces de mollusques ; 2 espèces de cnidaires : alcyonaires (1 taxon), zoanthaires (1 taxon) ; 4 espèces d'échinodermes : astéries (2 taxons), crinoïdes (1 taxon), échinides (1 taxon) ; 4 espèces d'éponges ; 4 espèces d'ascidies
- 3 espèces de macrophytes : algues rouges (2 taxons), algues brunes (1 taxon)
- **Aucun taxon n'a été recensé dans le groupe des cyanobactéries.**

Tableau 51 : Variations entre mai et octobre 2020 : Les biocénoses* (ST06A)

Evolution de la richesse spécifique des biocénoses*	Evolution de l'abondance
Algues	
3 nouvelles espèces d'algues recensées, dont l'algue brune : • <i>Turbinaria ornata</i> (A2) et 2 espèces d'algues rouges : • <i>Asparagopsis taxiformis</i> (A3), • <i>Trichogloea requienii</i> (A2). Aucune espèce d'algues n'a disparue.	Aucune espèce d'algues n'augmente. Aucune espèce d'algues ne diminue.
Cyanobactéries	
<input checked="" type="checkbox"/>	<input checked="" type="checkbox"/>
Cnidaires	
2 espèces de cnidaires disparues : ➤ pour les alcyonaires (-2 espèce) : • <i>Sinularia</i> sp. (A0/-2), • <i>Dendronephthya</i> sp. (A0/-2).	Une espèce de cnidaires diminue d'abondance : ➤ pour les alcyonaires (1 espèce) : • <i>Sarcophyton</i> sp. (A2/- 1).
Échinodermes	
<input checked="" type="checkbox"/>	Une espèce d'échinodermes diminue d'abondance : ➤ pour les crinoïdes (1 espèce) : •Crinoïdes ind. (A2/- 1).
Mollusques	
Une nouvelle espèce de mollusques recensée : ➤ pour les bivalves (1 espèce) : • <i>Arca ventricosa</i> (A2).	Une espèce de mollusques augmente d'abondance : ➤ pour les bivalves (1 espèce) : • <i>Septifer bilocularis</i> (A2/+ 1).
Éponges	
2 nouvelles espèces d'éponges recensées : • <i>Dysidea herbacea</i> (A1), •Spongiaires ind. (noire) (A2).	Une espèce d'éponges diminue d'abondance : • <i>Cliona orientalis</i> (A2/- 1).
Ascidies	
Une nouvelle espèce d'ascidies recensée : • <i>Polycarpa clavata</i> (A1). 2 espèces d'ascidies disparues : • <i>Didemnum</i> sp. (blanche) (A0/-2), • <i>Clavelina detorta</i> (A0/-2).	Une espèce d'ascidies augmente d'abondance : • <i>Polycarpa nigricans</i> (A4/+ 1). Une espèce d'ascidies diminue d'abondance : • <i>Polycarpa cryptocarpa</i> (A2/- 1).
Bryozoaires	
<input checked="" type="checkbox"/>	<input checked="" type="checkbox"/>

4.6.2.2 Benthos Transect 06 B

En octobre 2020, la richesse spécifique du transect ST06B est composée de :

- 30 espèces d'invertébrés dont 5 espèces de mollusques ; 4 espèces de cnidaires : alcyonaires (1 taxon), actiniaires (1 taxon), hydrozoaires (1 taxon), zoanthaires (1 taxon) ; 6 espèces d'échinodermes : astéries (2 taxons), échinides (2 taxons), crinoïdes (1 taxon), holothurides (1 taxon) ; 6 espèces d'éponges ; 7 espèces d'ascidies
- 4 espèces de macrophytes : algues rouges (2 taxons), algues vertes (2 taxons)
- 1 espèce de cyanobactéries.

Tableau 52 : Variations entre mai et octobre 2020 : Les biocénoses (ST06B)*

Evolution de la richesse spécifique des biocénoses*	Evolution de l'abondance
Algues	
3 nouvelles espèces d'algues recensées, dont 2 espèces d'algues rouges : • <i>Asparagopsis taxiformis</i> (A3), • <i>Trichogloea requienii</i> (A2) ; et l'algue verte : • <i>Chlorodesmis fastigiata</i> (A2) ; 2 espèces d'algues disparues, dont l'algue rouge : • <i>Hypnea</i> sp. (A0/-2) ; et l'algue verte : • <i>Halimeda</i> sp. (1spp./-1spp., A2/-0).	Aucune espèce d'algues n'augmente. Aucune espèce d'algues ne diminue.
Cyanobactéries	
<input checked="" type="checkbox"/>	<input checked="" type="checkbox"/>
Cnidaires	
2 espèces de cnidaires disparues : ➤ pour les alcyonaires (-2 espèce) : • <i>Simularia</i> sp. (A0/-2), • <i>Dendronephthya</i> sp. (A0/-2).	Une espèce de cnidaires diminue d'abondance : ➤ pour les alcyonaires (1 espèce) : • <i>Sarcophyton</i> sp. (A2/- 1).
Échinodermes	
<input checked="" type="checkbox"/>	Une espèce d'échinodermes diminue d'abondance : ➤ pour les crinoïdes (1) : •Crinoïdes ind. (A2/- 1).
Mollusques	
Une nouvelle espèce de mollusques recensée : ➤ pour les bivalves (1 espèce) : • <i>Arca ventricosa</i> (A2).	Une espèce de mollusques augmente d'abondance : ➤ pour les bivalves (1) : • <i>Septifer bilocularis</i> (A2/+1).
Éponges	
1 nouvelle espèce d'éponges recensée : •Spongiaires ind. (orange) (A2)	<input checked="" type="checkbox"/>
Ascidies	
Une nouvelle espèce d'ascidies recensée : • <i>Didemnum</i> sp. (violet) (A2). Une espèce d'ascidies disparue : • <i>Didemnum</i> sp. (rouge) (A0/-2).	2 espèces d'ascidies diminuent d'abondance : • <i>Polycarpa cryptocarpa</i> (A2/- 1), • <i>Polycarpa nigricans</i> (A3/- 1).
Bryozoaires	
<input checked="" type="checkbox"/>	<input checked="" type="checkbox"/>

4.6.2.3 Benthos Transect 06 C

En octobre 2020, la richesse spécifique du transect ST06C est composée de :

- 28 espèces d'invertébrés dont 3 espèces de mollusques ; 3 espèces de cnidaires : alcyonaires (2 taxons), zoanthaires (1 taxon) ; 6 espèces d'échinodermes : astéries (2 taxons), holothurides (2 taxons), crinoïdes (1 taxon), échinides (1 taxon) ; 8 espèces d'éponges ; 7 espèces d'ascidies
- 5 espèces de macrophytes : algues rouges (2 taxons), algues vertes (2 taxons), algues brunes (1 taxon)
- 1 espèce de cyanobactéries.

Tableau 53 : Variations entre mai et octobre 2020 : Les biocénoses* (ST06C)

Evolution de la richesse spécifique des biocénoses*	Evolution de l'abondance
Algues	
5 nouvelles espèces d'algues recensées, dont l'algue brune : • <i>Padina</i> sp. (A2) et 2 espèces d'algues rouges : • <i>Asparagopsis taxiformis</i> (A3), • <i>Trichogloea requienii</i> (A2) et 2 espèces d'algues vertes : • <i>Neomeris vanbosseae</i> (A2), • <i>Halimeda</i> sp. (A2) ; Une espèce d'algue disparue, l'algue rouge : • <i>Hypnea</i> sp. (A0/-2).	Aucune espèce d'algues n'augmente. Aucune espèce d'algues ne diminue.
Cyanobactéries	
<input checked="" type="checkbox"/>	Une espèce de cyanobactéries augmente d'abondance : • <i>Phormidium</i> sp. (A2/+ 1).
Cnidaires	
2 nouvelles espèces de cnidaires recensées : ➤ pour les alcyonaires (2 espèces) : • <i>Lobophytum</i> sp. (A2), • <i>Sarcophyton</i> sp. (A2).	<input checked="" type="checkbox"/>
Échinodermes	
2 nouvelles espèces d'échinodermes recensées : ➤ pour les astéries (1 espèce) : • <i>Linckia multifora</i> (A2) ; ➤ pour les holothurides (1 espèce) : • <i>Holothuria edulis</i> (A2).	<input checked="" type="checkbox"/>
Mollusques	
2 nouvelles espèces de mollusques recensées : ➤ pour les nudibranches (2 espèces) : • <i>Chromodoris elisabethina</i> (A1), • <i>Noumea catalai</i> (A1). Une espèce de mollusques disparue : ➤ pour les nudibranches (-1 espèce) : • <i>Phyllidiella pustulosa</i> (A0/-1).	<input checked="" type="checkbox"/>
Éponges	
Une nouvelle espèce d'éponges recensée : • <i>Dysidea arenaria</i> (A1). Une espèce d'éponges disparue : • <i>Spherospongia vagabunda</i> (A0/-2).	<input checked="" type="checkbox"/>
Ascidies	
3 nouvelles espèces d'ascidies recensées : • <i>Didemnum</i> sp. (blanche) (A2), • <i>Didemnum</i> sp. (violet) (A2), • <i>Polycarpa aurita</i> (A2).	2 espèces d'ascidies augmentent d'abondance : • <i>Polycarpa cryptocarpa</i> (A3/+ 1), • <i>Polycarpa nigricans</i> (A3/+ 1).
Bryozoaires	
<input checked="" type="checkbox"/>	<input checked="" type="checkbox"/>

4.6.3 Les poissons (ST06)

La liste des espèces observées¹⁰ sur les transects et les résultats bruts sont fournis dans le tableau 54.

Tableau 54 : Données sur les poissons (ST06)

Ionontea ST06		Transect			Transect			Transect			Station		
		A			B			C			Moyenne		
Fam	Espèces	Nb	Dens	Biom	Nb	Dens	Biom	Nb	Dens	Biom	Nb	Dens	Biom
Aca	<i>Acanthurus mata</i>	5	0,04	4,09				2	0,02	2,67	2,33	0,02	2,25
Aca	<i>Ctenochaetus striatus</i>	2	0,02	1,37	2	0,02	1,64				1,33	0,01	1,00
Aca	<i>Zebrasoma veliferum</i>	1	0,01	0,29							0,33	0,00	0,10
Cha	<i>Chaetodon auriga</i>	2	0,02	0,17				1	0,01	0,13	1,00	0,01	0,10
Cha	<i>Chaetodon baronessa</i>	2	0,02	0,33							0,67	0,01	0,11
Cha	<i>Chaetodon citrinellus</i>	4	0,03	0,23							1,33	0,01	0,08
Cha	<i>Chaetodon ephippium</i>	2	0,02	0,44							0,67	0,01	0,15
Cha	<i>Chaetodon lineolatus</i>	2	0,02	0,58	2	0,02	0,20				1,33	0,01	0,26
Cha	<i>Chaetodon mertensii</i>	3	0,03	0,11							1,00	0,01	0,04
Cha	<i>Chaetodon pelewensis</i>	2	0,02	0,11							0,67	0,01	0,04
Cha	<i>Chaetodon speculum</i>	2	0,02	0,07							0,67	0,01	0,02
Cha	<i>Chaetodon trifascialis</i>	4	0,03	0,08							1,33	0,01	0,03
Epi	<i>Cephalopholis sonnerati</i>							1	0,01	8,58	0,33	0,00	2,86
Epi	<i>Epinephelus merra</i>	1	0,01	0,37	1	0,01	0,35				0,67	0,01	0,24
Epi	<i>Plectropomus laevis</i>	1	0,01	4,50							0,33	0,00	1,50
Epi	<i>Plectropomus leopardus</i>				1	0,01	5,40	1	0,01	18,49	0,67	0,01	7,96
Lab	<i>Bodianus perditio</i>							1	0,01	2,60	0,33	0,00	0,87
Lab	<i>Cheilinus chlorourus</i>							1	0,01	0,68	0,33	0,00	0,23
Lab	<i>Gomphosus varius</i>	2	0,02	0,17							0,67	0,01	0,06
Lab	<i>Thalassoma amblycephalum</i>	10	0,08	0,85							3,33	0,03	0,28
Lab	<i>Thalassoma hardwicke</i>	5	0,04	0,43							1,67	0,01	0,14
Lab	<i>Thalassoma lunare</i>	5	0,04	0,29	3	0,03	0,21	3	0,04	0,75	3,67	0,04	0,41
Lab	<i>Thalassoma lutescens</i>	4	0,03	0,34	5	0,05	0,34				3,00	0,03	0,23
Lut	<i>Lutjanus adetii</i>				4	0,04	5,49	5	0,04	8,87	3,00	0,03	4,79
Mon	<i>Oxymonacanthus longirostris</i>	2	0,02	0,01							0,67	0,01	0,00
Mul	<i>Parupeneus barberinoides</i>	3	0,03	0,50							1,00	0,01	0,17
Mul	<i>Parupeneus indicus</i>				2	0,02	3,20				0,67	0,01	1,07
Nem	<i>Scolopsis bilineatus</i>	3	0,03	0,86	4	0,04	1,38				2,33	0,02	0,75
Poc	<i>Centropyge bicolor</i>	2	0,02	0,02	3	0,03	0,13	1	0,01	0,05	2,00	0,02	0,07
Poc	<i>Centropyge bispinosa</i>	1	0,01	0,01	3	0,03	0,08				1,33	0,01	0,03
Poc	<i>Centropyge flavissima</i>	3	0,03	0,06	2	0,02	0,09				1,67	0,02	0,05
Poc	<i>Centropyge tibicen</i>	2	0,02	0,02	1	0,01	0,03	1	0,01	0,03	1,33	0,01	0,03
Poc	<i>Pomacanthus sexstriatus</i>	1	0,01	0,56							0,33	0,00	0,19
Pom	<i>Amphiprion clarkii</i>	4	0,03	0,04							1,33	0,01	0,01
Pom	<i>Chromis fumea</i>				15	0,15	0,19	10	0,13	0,16	8,33	0,09	0,12
Pom	<i>Chrysiptera rollandi</i>	4	0,03	0,02	4	0,04	0,02	2	0,03	0,01	3,33	0,03	0,02
Pom	<i>Chrysiptera taupou</i>	6	0,05	0,03	5	0,05	0,06				3,67	0,03	0,03
Pom	<i>Dascyllus reticulatus</i>	10	0,08	0,05	10	0,10	0,05	4	0,05	0,03	8,00	0,08	0,04
Pom	<i>Dascyllus trimaculatus</i>				5	0,05	0,06	5	0,06	0,03	3,33	0,04	0,03
Pom	<i>Pomacentrus moluccensis</i>	3	0,03	0,03	4	0,04	0,05	3	0,04	0,05	3,33	0,03	0,04
Sca	<i>Chlorurus sordidus</i>	3	0,03	1,10	4	0,04	1,38				2,33	0,02	0,83
Sca	<i>Scarus frenatus</i>	3	0,03	1,37							1,00	0,01	0,46
Sca	<i>Scarus niger</i>	1	0,01	0,68	1	0,01	1,60				0,67	0,01	0,76
Sig	<i>Siganus argenteus</i>				5	0,05	1,73				1,67	0,02	0,58
Sig	<i>Siganus corallinus</i>	2	0,02	0,73	2	0,02	0,88				1,33	0,01	0,54
Sig	<i>Siganus vulpinus</i>	4	0,03	0,89							1,33	0,01	0,30
Total		116	0,97	21,81	88	0,27	18,34	16	0,15	42,81	81,67	0,77	29,83

¹⁰ Données par rapport à la liste restreinte du cahier des charges, cf. annexe n°01

Biodiversité	24	10	9	46
Indice de Shannon =	5,029			
Equitabilité =	0,910			

Sur l'ensemble des transects de la station, 245 individus appartenant à 46 espèces différentes ont pu être observés. Ils représentent une densité de 0.77 poisson/m² pour une biomasse de 29.83 g/m².

103 espèces complémentaires (e.g. hors des transects et hors liste restreinte [*en rouge*]) ont été observées sur la station (cf. tableau 55).

Tableau 55 : Liste des espèces complémentaires (ST06)

Fam	Espèces	Fam	Espèces	Fam	Espèces
Aca	<i>Acanthurus mata</i>	Hol	<i>Sargocentron ensifer</i>	Poc	<i>Centropyge flavissima</i>
Aca	<i>Ctenochaetus striatus</i>	Hol	<i>Sargocentron rubrum</i>	Poc	<i>Centropyge tibicen</i>
Aca	<i>Zebrasoma scopas</i>	Hol	<i>Sargocentron spiniferum</i>	Poc	<i>Genicanthus melanospilos</i>
Aca	<i>Zebrasoma veliferum</i>	Lab	<i>Anampses femininus</i>	Poc	<i>Genicanthus watanabei</i>
Ant	<i>Pseudanthias bicolor</i>	Lab	<i>Anampses neoguinaicus</i>	Poc	<i>Pomacanthus sexstriatus</i>
Ant	<i>Pseudanthias dispar</i>	Lab	<i>Bodianus diana</i>	Pom	<i>Amblyglyphidodon leucogaster</i>
Apo	<i>Apogon aureus</i>	Lab	<i>Bodianus perditio</i>	Pom	<i>Amblyglyphidodon orbicularis</i>
Apo	<i>Apogon doederleini</i>	Lab	<i>Cheilinus chlorourus</i>	Pom	<i>Amphiprion clarkii</i>
Aul	<i>Aulostomus chinensis</i>	Lab	<i>Coris batuensis</i>	Pom	<i>Chromis amboinensis</i>
Bal	<i>Sufflamen fraenatus</i>	Lab	<i>Coris gaimard</i>	Pom	<i>Chromis fumea</i>
Car	<i>Elagatis bipinnulata</i>	Lab	<i>Epibulus insidiator</i>	Pom	<i>Chromis margaritifer</i>
Cha	<i>Chaetodon auriga</i>	Lab	<i>Gomphosus varius</i>	Pom	<i>Chromis nitida</i>
Cha	<i>Chaetodon baronessa</i>	Lab	<i>Oxycheilinus celebicus</i>	Pom	<i>Chrysiptera rollandi</i>
Cha	<i>Chaetodon bennetti</i>	Lab	<i>Oxycheilinus unifasciatus</i>	Pom	<i>Chrysiptera taupou</i>
Cha	<i>Chaetodon citrinellus</i>	Lab	<i>Thalassoma amblycephalum</i>	Pom	<i>Dascyllus reticulatus</i>
Cha	<i>Chaetodon ephippium</i>	Lab	<i>Thalassoma hardwicke</i>	Pom	<i>Dascyllus trimaculatus</i>
Cha	<i>Chaetodon flaviviridis</i>	Lab	<i>Thalassoma lunare</i>	Pom	<i>Neoglyphidodon nigroris</i>
Cha	<i>Chaetodon lineolatus</i>	Lab	<i>Thalassoma lutescens</i>	Pom	<i>Plectroglyphidodon johnstonianus</i>
Cha	<i>Chaetodon mertensii</i>	Lab	<i>Thalassoma nigrofasciatum</i>	Pom	<i>Plectroglyphidodon lacrymatus</i>
Cha	<i>Chaetodon pelewensis</i>	Let	<i>Lethrinus atkinsoni</i>	Pom	<i>Pomacentrus bankanensis</i>
Cha	<i>Chaetodon speculum</i>	Lut	<i>Aprion virescens</i>	Pom	<i>Pomacentrus lepidogenys</i>
Cha	<i>Chaetodon trifascialis</i>	Lut	<i>Lutjanus adetii</i>	Pom	<i>Pomacentrus moluccensis</i>
Cha	<i>Chaetodon ulietensis</i>	Lut	<i>Lutjanus argentimaculatus</i>	Pri	<i>Priacanthus hamrur</i>
Cha	<i>Chaetodon unimaculatus</i>	Lut	<i>Lutjanus bohar</i>	Sca	<i>Chlorurus sordidus</i>
Cha	<i>Chaetodon vagabondus</i>	Lut	<i>Lutjanus fulvus</i>	Sca	<i>Scarus frenatus</i>
Cha	<i>Heniochus acuminatus</i>	Lut	<i>Macolor niger</i>	Sca	<i>Scarus niger</i>
Epi	<i>Cephalopholis sonnerati</i>	Mon	<i>Oxymonacanthus longirostris</i>	Sca	<i>Scarus rubroviolaceus</i>
Epi	<i>Cephalopholis urodeta</i>	Mul	<i>Parupeneus barberinoides</i>	Sca	<i>Scarus schlegeli</i>
Epi	<i>Epinephelus fasciatus</i>	Mul	<i>Parupeneus indicus</i>	Sig	<i>Siganus argenteus</i>
Epi	<i>Epinephelus merra</i>	Nem	<i>Pentapodus aureofasciatus</i>	Sig	<i>Siganus corallinus</i>
Epi	<i>Plectropomus laevis</i>	Nem	<i>Scolopsis bilineatus</i>	Sig	<i>Siganus vulpinus</i>
Epi	<i>Plectropomus leopardus</i>	Pin	<i>Parapercis hexoptalma</i>	Syn	<i>Synodus variegatus</i>
Hae	<i>Plectorhinchus chaetodonoides</i>	Poc	<i>Centropyge bicolor</i>	Tet	<i>Arothron stellatus</i>
Hae	<i>Plectorhinchus flavomaculatus</i>	Poc	<i>Centropyge bispinosa</i>	Zan	<i>Zanclus cornutus</i>
Hae	<i>Plectorhinchus lessonii</i>				

Le nombre d'espèces présentes pour chaque famille (observée depuis 2007) est donné dans le [tableau 56](#) et spécifiquement pour cette campagne sur la [figure 41](#).

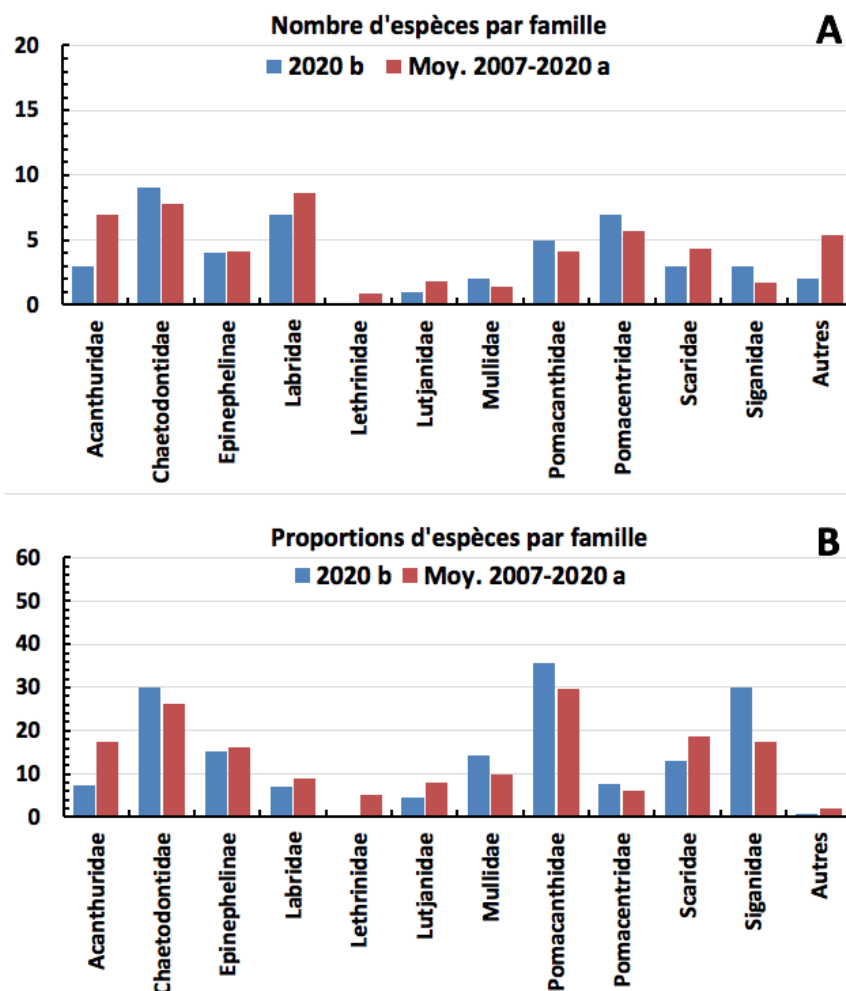


Figure 41 : Structure du peuplement pour cette mission relativement à la moyenne (ST06)

L'histogramme A compare pour une famille les effectifs vus lors de cette mission avec la moyenne et l'histogramme B compare les proportions de cet effectif vu par rapport à l'effectif total d'espèces vu pour cette même famille, sur la zone sud depuis les premières missions

Tableau 56 : Nombre d'espèces par famille ichthyologique (ST06)

Familles	Nb d'espèces vues (zone et période totale)	Nb d'espèces		Proportions	
		Campagne	Moy.	Campagne	Moy.
Acanthuridae	40	3	7,00	7,50	17,50
Chaetodontidae	30	9	7,83	30,00	26,11
Epinephelinae	26	4	4,17	15,38	16,03
Labridae	97	7	8,67	7,22	8,93
Lethrinidae	16	0	0,83	0,00	5,21
Lutjanidae	22	1	1,79	4,55	8,14
Mullidae	14	2	1,38	14,29	9,82
Pomacanthidae	14	5	4,17	35,71	29,76
Pomacentridae	92	7	5,71	7,61	6,20

Scaridae	23	3	4,29	13,04	18,66
Siganidae	10	3	1,75	30,00	17,50
Autres	257	2	5,42	0,78	2,11
Khi2 obs		8,3		28,4	
Khi2 tab				19,17	

Le récapitulatif des résultats en termes de :

- d'abondance (nombre d'individus, transects/liste restreinte),
- de densité (en poisson/m², transects/liste restreinte),
- de biomasse (en g/m², transects/liste restreinte),
- de biodiversité 1 (espèces observées sur les transects et de la liste restreinte),
- de biodiversité 2 (espèces observées sur la station (transects + complémentaires) et de la liste restreinte),
- de biodiversité 3 (toutes les espèces observées sur la station (transects + complémentaires / liste non restreinte)),

pour toutes les campagnes depuis 2007 est présenté dans le [tableau 57](#) et la [figure 42](#).

Tableau 57 : Synopsis des résultats et récapitulatif des années précédentes (ST06)

Ionontea ST06		Liste DENV					Toutes espèces
		Transect TLV				Station	Station
		Nb. ind.	Densité	Biom. g/m ²	Biodiv.1	Biodiv.2	Biodiv.3
2020 b	Transect A	116	0,97	21,81	24		
	Transect B	88	0,27	18,34	10		
	Transect C	16	0,15	42,81	9		
	Moy. ABC	81,67	0,77	29,83	46	69	103
2020 a	Moy. ABC	149,33	1,44	136,18	59	98	134
2019 b	Moy. ABC	129,67	1,43	80,08	58	87	136
2019 a	Moy. ABC	207,67	2,28	645,40	63	100	143
2018 b	Moy. ABC	267,33	4,11	269,22	74	88	123
2018 a	Moy. ABC	218,67	4,23	567,07	73	91	134
2017 b	Moy. ABC	238,00	4,47	667,45	66	88	132
2017 a	Moy. ABC	290,67	3,48	527,28	66	85	125
2016 b	Moy. ABC	184,33	1,84	149,24	53	85	118
2016 a	Moy. ABC	189,67	1,89	150,71	54	87	119
2015 b	Moy. ABC	187,00	2,27	210,72	58	87	112
2015 a	Moy. ABC	270,00	3,00	750,00	48	104	156
2014 b	Moy. ABC	226,00	2,87	622,19	46	81	126
2014 a	Moy. ABC	101,00	1,19	68,63	39	78	113
2013 b	Moy. ABC	190,33	1,98	191,60	55	87	117
2013 a	Moy. ABC	284,00	2,80	760,11	77	97	140
2012 b	Moy. ABC	142,33	1,64	151,8	53	93	125
2012 a	Moy. ABC	142,33	1,64	151,8	42	93	125
2011 b	Moy. ABC	62,33	0,75	76,87	44	88	124
2011 a	Moy. ABC	178,30	2,23	687,67	50	75	102
2010 b	Moy. ABC	190	1,91	92,96	37	58	81

2010 a	Moy. ABC	76,00	2,05	487,76	42	71	94
2009	Moy. ABC	27,00	1,17	226,52	31	33	81
2008	Moy. ABC	43,67	2,99	385,65	40	54	67
2007	Moy. ABC	42,67	2,45	1322,4	44	51	60

L'écart relatif à la moyenne [$Er_i = (X_i - X_m) / X_m$] pour ces paramètres biologiques peut alors être calculé : cf. [tableau 58](#) et représentation [figure 43](#).

Tableau 58 : Ecart relatif à la moyenne des paramètres biologiques ichtyologiques depuis 2007 (ST06)

	Nb ind.	Densité	Biom.	Biodiv.1	Biodiv.2	Biodiv.3
Variance	6 247	1,02	97 733	147	282	556
Ecart type	79,04	1,01	312,62	12,14	16,80	23,59
Moyenne	167,36	2,30	384,42	53,56	80,84	115,36
Coef. de Var.	0,47	0,44	0,81	0,23	0,21	0,20

Commentaires :

- Les valeurs faibles des paramètres d'abondance et de diversité sont très probablement imputables à l'hydrodynamisme (ni courant, ni vague, ni houle) de la station au moment de la plongée.
- Les trois premiers paramètres - nombre d'individus, densité, biomasse - ont des valeurs très faibles.
- Les biodiversités sont moyennes, voire très faibles.
- La structure spécifique du peuplement (cf. § 3.4.3) est quantitativement similaire à la moyenne historique, mais elle en diffère lorsqu'elle est exprimée de façon relative.
- La quasi-totalité des familles montrent comme d'habitude, des jeux de substitution spécifique.
- Ce dernier point est en partie à relier à la faible surface des stations, faible par rapport à la taille des aires de vie de nombreuses espèces.

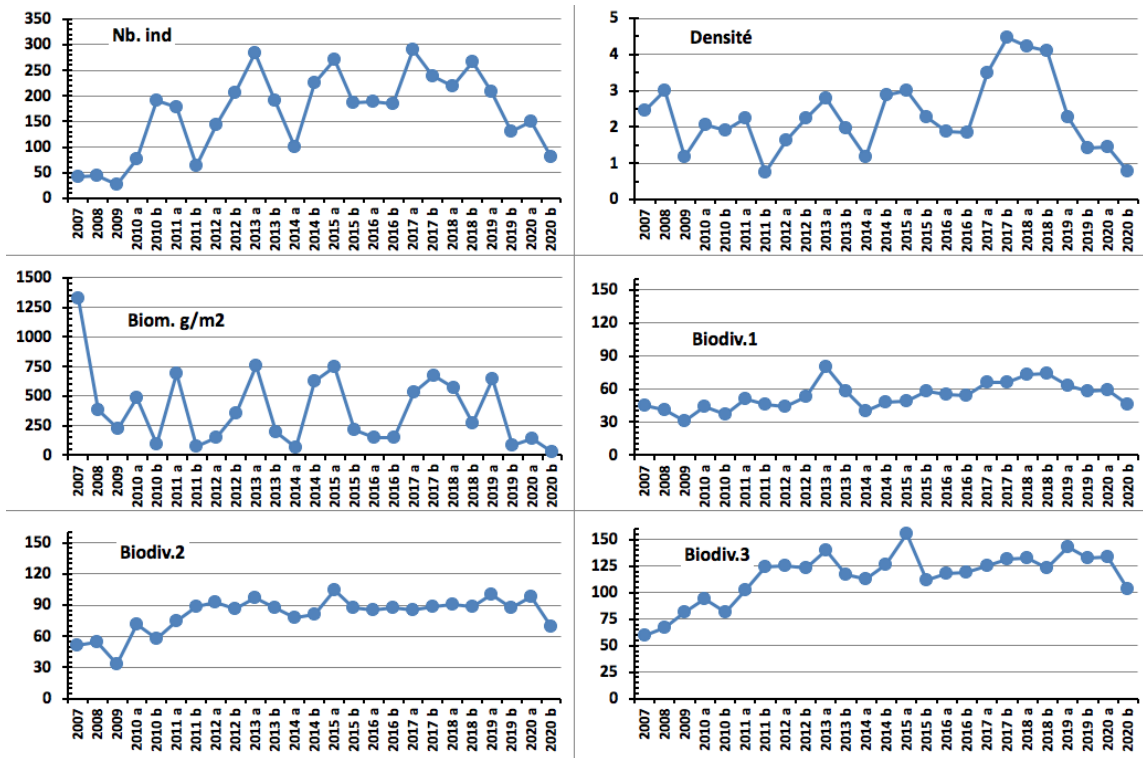


Figure 42 : Evolution des paramètres biologiques ichthyologiques depuis 2007 (ST06)

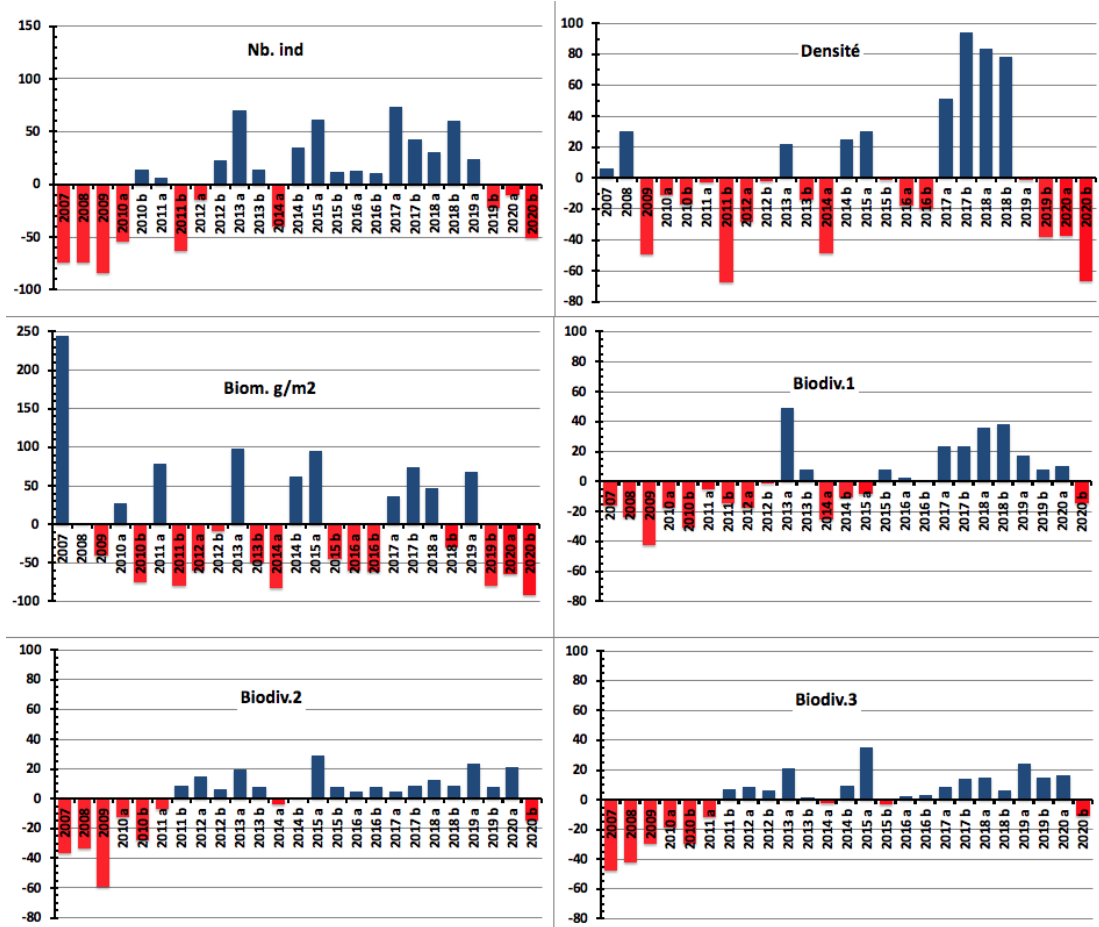


Figure 43 : Ecart relatif à la moyenne des paramètres biologiques ichthyologiques depuis 2007 (ST06)

4.7 Station 07 = Basse Chambeyron

Localisation géographique	Dans la partie ouest du récif ennoyé de Basse Chambeyron. C'est un banc isolé, totalement ennoyé (cf. photographie 15) et qui subit les forts courants de marée, l'assaut des trains de houle et le ressac. Aucun abri n'est possible.
Nombre transects	3 transects.
Description transects	Ils ont été positionnés aux profondeurs de 7, 17 et 22 mètres, avec une orientation du nord-est vers le sud-ouest.
	Ils se placent depuis la rupture du tombant récifal jusqu'à la pente sédimentaire (zone d'accumulation de débris et de roche). Cette pente est d'environ 40°.

Description générale

Le haut du plateau est soumis à de violents ressacs et courants : la majeure partie du banc est arasée et les quelques scléactiniaires qui s'y maintiennent développent des morphoses robustes.

Sur le dessus du banc (3-5 mètres), les espèces sont adaptées au ressac et sont encore en place. Juste avant la rupture de pente (5 à 7 mètres) on trouve une zone d'*Acropora* branchu (*Acropora* cf. *formosa*) mono spécifique, qui résistait paradoxalement depuis plusieurs années mais qui a été très dégradée lors des événements cycloniques du début d'année 2011. Au-delà de 6-7 mètres, la pente est inclinée à 40°, la zone présente des séquelles de dégradations mécaniques (tempêtes et cyclones) comme l'atteste un nombre conséquent de roches et de débris coralliens de tailles variées. Par le phénomène d'avalanches, les grosses colonies fixées à l'origine vers 6-7 mètres (gros *Acropora* tabulaires, *Porites* massifs, ...) ont été arrachées, détruisant les organismes fixés sur leur passage.

Caractéristiques principales

- ↗ Originalité des peuplements coralliens adaptés à un milieu d'hydrodynamisme très important (courant de marée, houle et ressac) et taille relativement petite des colonies. Cependant présence de colonie de taille métrique d'*Acropora* tabulaire en A et de *Porites* massif en C
- ↗ Croissance importante des colonies d'*Acropora* tabulaire en A en novembre 2018
- ↗ Présence de *Blastomussa wellsi* en B
- ↗ Dégradation des communautés benthiques sur l'ensemble de la station à cause de l'hydrodynamisme important : arrachement et casse des colonies coralliennes au transect A et accumulation de débris et blocs coralliens pour les autres transects B et C.
- ↗ La station présente de nombreuses zones d'accumulation de débris et de coraux tabulaires retournés (conditions hydrodynamiques exceptionnelles) :
 - Couloirs d'effondrement de part et d'autre des transects
 - Bas de pente récifale (par gravité)
- ↗ Suite au blanchissement corallien du début d'année 2016, quelques colonies sont mortes en place ou nécrosées en A
- ↗ Les spongiaires (*Cliona jullieni* et *C. orientalis*) sont relativement bien développées et colonisent les blocs coralliens et les massifs coralliens
- ↗ Mobilité bathymétrique des échinodermes (astéries, holothuries, échinides) et des mollusques (diversité et abondance variables selon les missions)
- ↗ Les crinoïdes également privilégient ce type de biotope balayé par les courants de marée
- ↗ Forte variation de recouvrement de l'algue rouge *Asparagopsis* (saisonnalité)
- ↗ Absence de l'algue brune *Lobophora variegata*

Variations entre mai et octobre 2020

Indicateur Corail :

- Le recouvrement corallien est stable, de 35.5% au transect A (3^{ème} rang du réseau), 12.5% en B et 7% en C. Légère hausse en A (vs 27.5%), stable en B et C
- Blanchissement corallien (surface totale observée) : *Octobre 2015* : 0.47% ; *Avril 2016* : 0.67% ; *Novembre 2016* : 0.03% ; *Avril 2017* : 0.13% ; *Septembre 2017* : 0.43% ; *Mai 2018* : 0.5% ; *Novembre 2018* : 0% ; *Avril 2019* : 0.33% ; *Octobre 2019* : 0.5% ; *Mai 2020* : 0.93% ; *Octobre 2020* : 0.27%
- Lésions coralliennes : des colonies coralliennes sont dégradées suite aux perturbations mécaniques, à la maladie de la bande blanche :

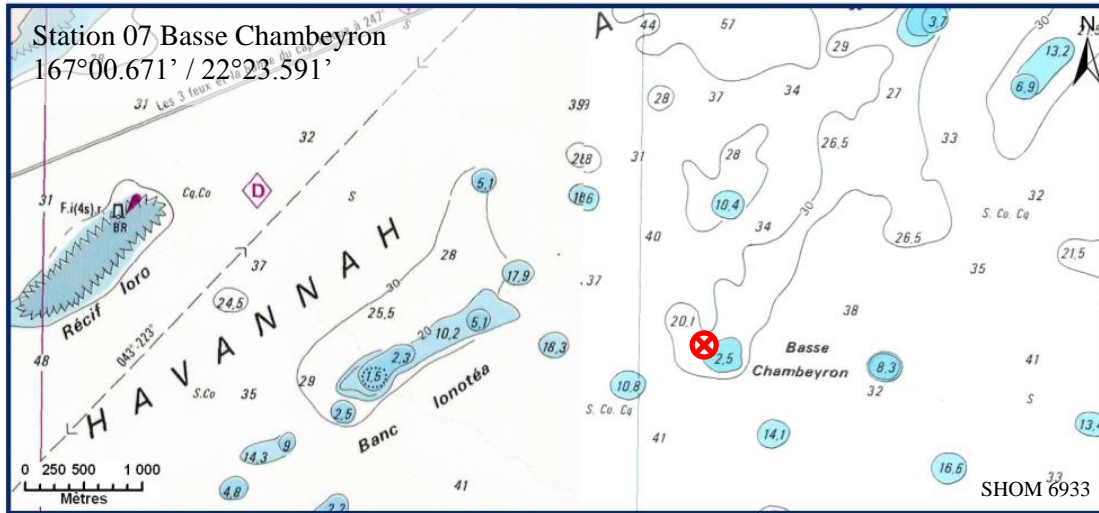
- Maladie corallienne : la maladie de la bande blanche se développe sur les *Acropora* spp. (tabulaire) en A : 0,8 m² de coraux blanchis sans polype
 - Perturbations mécaniques : les conditions hydrodynamiques sont importantes, de nombreux débris et de nombreuses colonies coralliennes ne sont plus fixées sur le substrat suite aux événements dépressionnaires
- Croissance importante des colonies d'*Acropora* tabulaire en A, depuis novembre 2018

Autres indicateurs :

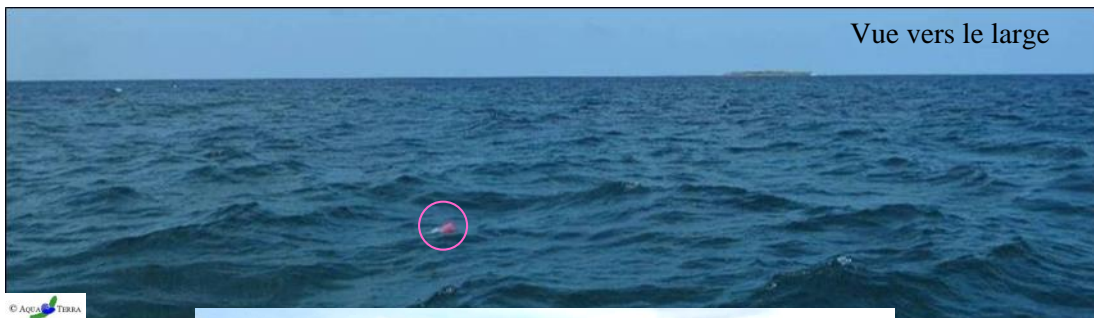
- Cyanobactéries : augmentation en A (niveau 0 à 2), stable en B et C (niveau 2). Elles se développent sur les colonies mortes en place et les débris
- Le turf algal se développe modérément sur les débris coralliens (effondrement de débris)
- Algue brune *Lobophora* : absente et stable
- Algue rouge *Asparagopsis taxiformis* : augmentation aux 3 transects (niveau 0 à 2/3/2)
- *Cliona orientalis* : stable en A et B (niveau 2/3) et diminution en C (niveau 3 à 2)
- *Cliona jullieni* : stable

Les corallivores :

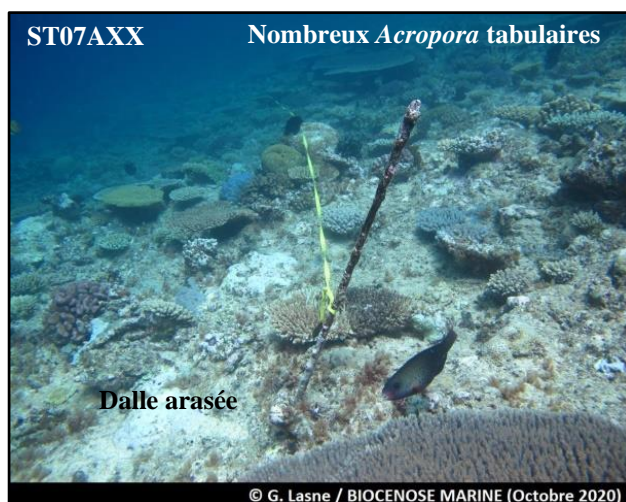
- *Acanthaster planci* et *Culcita novaeguineae* : absence, stable
- *Drupella cornus* : absence, stable



Carte 09 : Localisation de la station 07 (Basse Chambeyron)



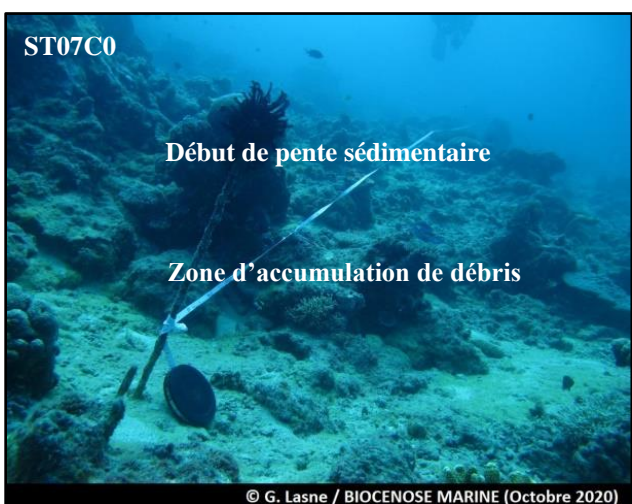
Photographie 15 : Position en surface (ST07)



Deux couloirs d'effondrement de débris coralliens se déversent de part et d'autre de la station



De nombreux débris, blocs et colonies coralliennes arrachées et remobilisées ont dévalé la pente



Le développement des cyanobactéries peut être important et cyclique sur les débris coralliens

Photographie 16 : Vue d'ensemble des transects (ST07, présente mission)

4.7.1 Le substrat (ST07)

Le pourcentage de couverture de chaque composante est donné dans la figure 44 pour le transect A, dans la figure 45 pour le transect B et dans la figure 46 pour le transect C.

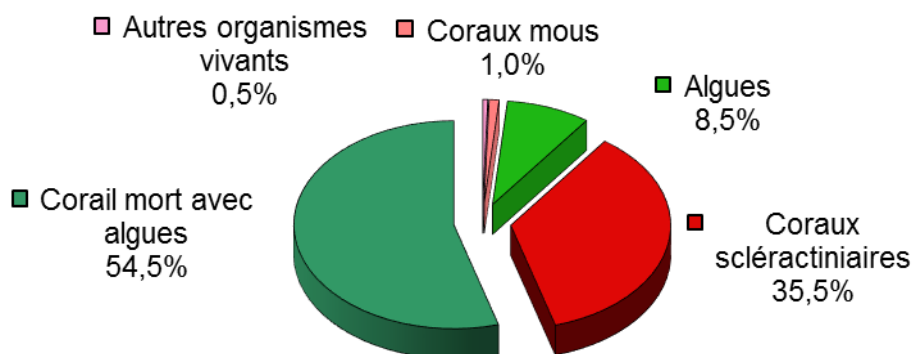


Figure 44 : Représentation du recouvrement (en %) du substrat pour ST07A

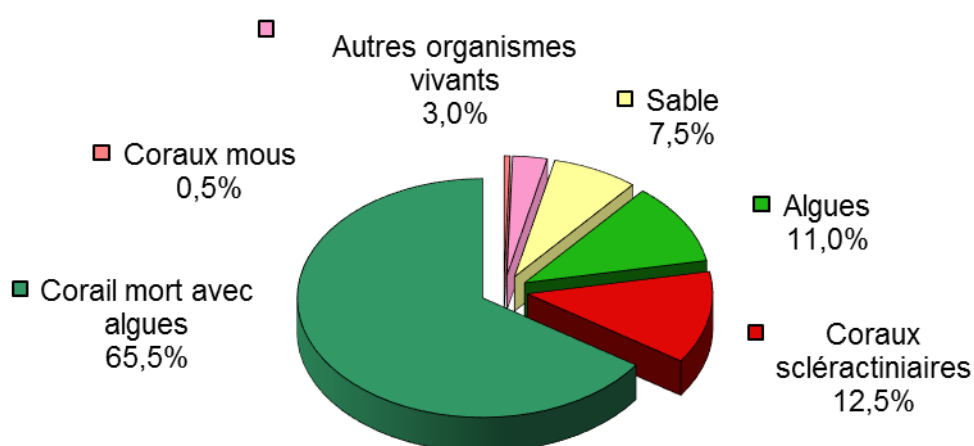


Figure 45 : Représentation du recouvrement (en %) du substrat pour ST07B

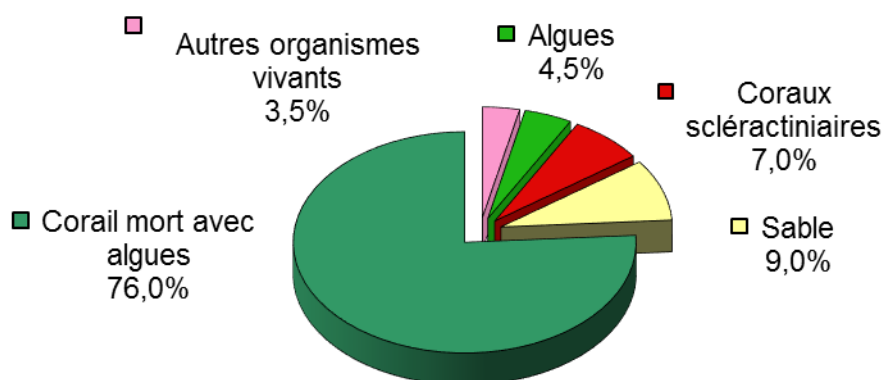


Figure 46 : Représentation du recouvrement (en %) du substrat pour ST07C

Cette station a un substrat qui est très biotique (100%, puis 92.5% et 91%). Cela est dû en partie aux coraux morts - et aux débris, classés alors dans cette catégorie - recouverts d'algues et particulièrement d'algues calcaires encroûtantes, ainsi qu'aux algues en elles-mêmes.

Les coraux scléactiniaires sont bien représentés en A (légère hausse, 3^{ème} rang du réseau pour cette mission) et faiblement en dessous (respectivement 35.5%, 12.5% et 7%).

A noter : 0.5% de cyanobactéries en C.

La station est globalement stable.

4.7.2 Le benthos (ST07)

La liste des taxons cibles (cf. § 3.2.3) échantillonnés sur cette station et la liste complète des résultats bruts sont données en annexe n°04.

En octobre 2020, la richesse spécifique de la station Basse Chambeyron (ST07) est composée de :

- **44 espèces d'invertébrés** dont 12 espèces de mollusques ; 2 espèces de cnidaires : alcyonaires (1 taxon), zoanthaires (1 taxon) ; 14 espèces d'échinodermes : holothurides (5 taxons), échinides (4 taxons), astéries (3 taxons), crinoïdes (1 taxon), ophiurides (1 taxon) ; 10 espèces d'éponges ; 5 espèces d'ascidies
- **6 espèces de macrophytes** : algues brunes (2 taxons), algues rouges (2 taxons), algues vertes (2 taxons)
- **1 espèce de cyanobactéries.**

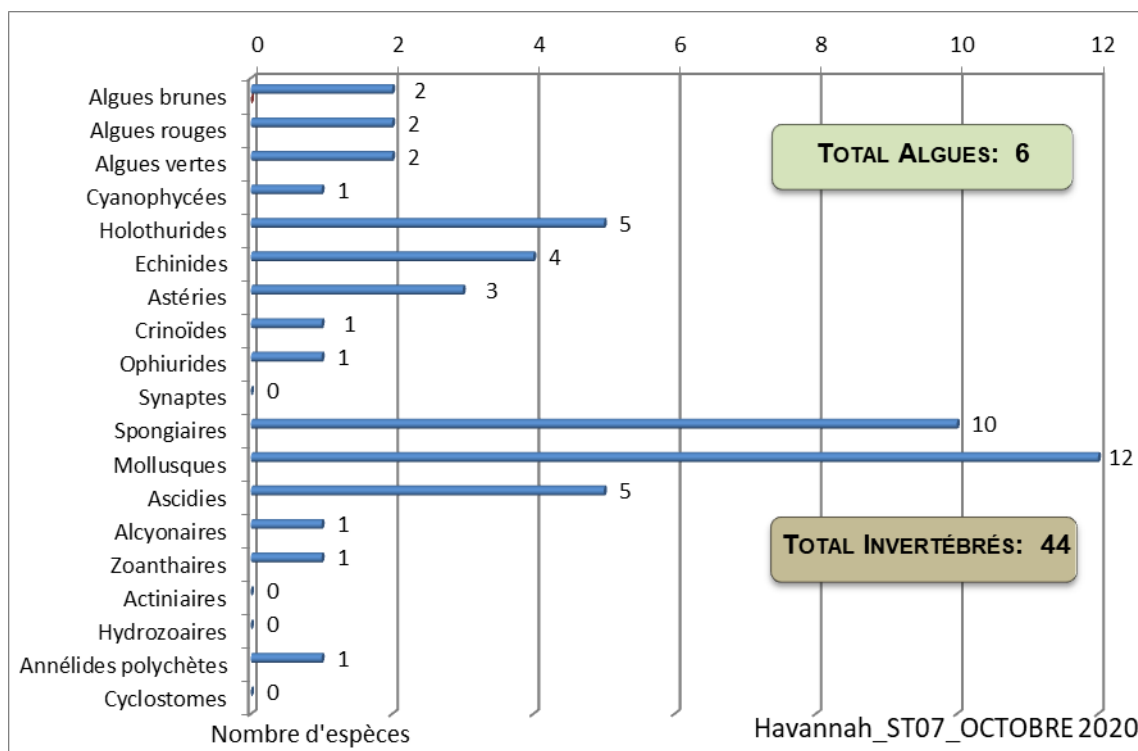


Figure 47 : Répartition par sous-groupe de la richesse spécifique des macrophytes et des invertébrés (hors coraux durs) (ST07)

4.7.2.1 Benthos Transect 07 A

En octobre 2020, la richesse spécifique du transect ST07A est composée de :

- 22 espèces d'invertébrés dont 5 espèces de mollusques ; une espèce de cnidaires ; 7 espèces d'échinodermes : échinides (2 taxons), holothurides (2 taxons), astéries (1 taxon), crinoïdes (1 taxon), ophiurides (1 taxon) ; 5 espèces d'éponges ; 3 espèces d'ascidies
- 4 espèces de macrophytes : algues vertes (2 taxons), algues brunes (1 taxon), algues rouges (1 taxon)
- 1 espèce de cyanobactéries.

Tableau 59 : Variations entre mai et octobre 2020 : Les biocénoses* (ST07A)

Evolution de la richesse spécifique des biocénoses*	Evolution de l'abondance
Algues	
3 nouvelles espèces d'algues recensées, dont l'algue rouge : • <i>Asparagopsis taxiformis</i> (A2) et 2 espèces d'algues vertes : • <i>Halimeda</i> sp. (A2), • <i>Chlorodesmis fastigiata</i> (A2) ; Aucune espèce d'algues n'a disparue.	Aucune espèce d'algues n'augmente. Aucune espèce d'algues ne diminue.
Cyanobactéries	
Une nouvelle espèce de cyanobactéries recensée : • <i>Phormidium</i> sp. (A2).	<input checked="" type="checkbox"/>
Cnidaires	
2 espèces de cnidaires disparues : ➤ pour les alcyonaires (-2 espèce) : • <i>Sarcophyton</i> sp. (A0/-2), • <i>Simularia</i> sp. (A0/-2).	<input checked="" type="checkbox"/>
Échinodermes	
3 nouvelles espèces d'échinodermes recensées : ➤ pour les échinides (1 espèce) : • <i>Echinometra mathaei</i> (A2) ; ➤ pour les holothurides (2 espèces) : • <i>Holothuria edulis</i> (A1), • <i>Thelenota anax</i> (A1).	<input checked="" type="checkbox"/>
Mollusques	
<input checked="" type="checkbox"/>	Une espèce de mollusques augmente d'abondance : ➤ pour les bivalves (1 espèce) : • <i>Pedum spondyloideum</i> (A3/+ 1).
Éponges	
2 nouvelles espèces d'éponges recensées : • <i>Dysidea frondosa</i> (A1), •Spongiaires ind. (marron) (A2). 2 espèces d'éponges disparues : • <i>Dysidea herbacea</i> (A0/-1), •Spongiaires ind. (noire) (A0/-2).	<input checked="" type="checkbox"/>
Ascidies	
Une espèce d'ascidies disparue : • <i>Clavelina detorta</i> (A0/-2).	2 espèces d'ascidies diminuent d'abondance : • <i>Polycarpa cryptocarpa</i> (A3/- 1), • <i>Polycarpa nigricans</i> (A2/- 2).
Bryozoaires	
<input checked="" type="checkbox"/>	<input checked="" type="checkbox"/>

4.7.2.2 Benthos Transect 07 B

En octobre 2020, la richesse spécifique du transect ST07B est composée de :

- 33 espèces d'invertébrés dont 7 espèces de mollusques ; 2 espèces de cnidaires : alcyonaires (1 taxon), zoanthaires (1 taxon) ; 10 espèces d'échinodermes : holothurides (4 taxons), échinides (3 taxons), astéries (1 taxon), crinoïdes (1 taxon), ophiurides (1 taxon) ; 8 espèces d'éponges ; 5 espèces d'ascidies
- 4 espèces de macrophytes : algues rouges (2 taxons), algues brunes (1 taxon), algues vertes (1 taxon)
- 1 espèce de cyanobactéries.

Tableau 60 : Variations entre mai et octobre 2020 : Les biocénoses* (ST07B)

Evolution de la richesse spécifique des biocénoses*	Evolution de l'abondance
Algues	
3 nouvelles espèces d'algues recensées, dont l'algue brune : • <i>Dictyota</i> sp. (A2) et 2 espèces d'algues rouges : • <i>Asparagopsis taxiformis</i> (A3), • <i>Trichogloea requienii</i> (A2). Une espèce d'algue disparue, l'algue rouge : • <i>Hypnea</i> sp. (A0/-2).	Aucune espèce d'algues n'augmente. Aucune espèce d'algues ne diminue.
Cyanobactéries	
<input checked="" type="checkbox"/>	<input checked="" type="checkbox"/>
Cnidaires	
Une espèce de cnidaires disparue : ➤ pour les alcyonaires (-1 espèce) : • <i>Dendronephthya</i> sp. (A0/-2).	<input checked="" type="checkbox"/>
Échinodermes	
2 nouvelles espèces d'échinodermes recensées : ➤ pour les astéries (1 espèce) : • <i>Gomophia egyptiaca</i> (A1) ; ➤ pour les holothurides (1 espèce) : • <i>Holothuria edulis</i> (A1). 2 espèces d'échinodermes disparues : ➤ pour les astéries (-1 espèce) : • <i>Linckia multifora</i> (A0/-2) ; ➤ pour les holothurides (-1 espèce) : • <i>Bohadschia argus</i> (A0/-1).	2 espèces d'échinodermes diminuent d'abondance : ➤ pour les crinoïdes (1 espèce) : •Crinoïdes ind. (A2/- 1) ; ➤ pour les holothurides (1 espèce) : • <i>Holothuria atra</i> (A1/- 1).
Mollusques	
Une espèce de mollusques disparue : ➤ pour les nudibranches (-1 espèce) : • <i>Phyllidiella pustulosa</i> (A0/-1).	<input checked="" type="checkbox"/>
Éponges	
2 nouvelles espèces d'éponges recensées : • <i>Dysidea frondosa</i> (A1), • <i>Dysidea herbacea</i> (A1). Une espèce d'éponges disparue : • <i>Clathria rugosa</i> (A0/-2).	<input checked="" type="checkbox"/>
Ascidies	
Une nouvelle espèce d'ascidies recensée : • <i>Polycarpa aurita</i> (A2). Une espèce d'ascidies disparue : • <i>Clavelina detorta</i> (A0/-2).	<input checked="" type="checkbox"/>
Bryozoaires	
<input checked="" type="checkbox"/>	<input checked="" type="checkbox"/>

4.7.2.3 Benthos Transect 07 C

En octobre 2020, la richesse spécifique du transect ST07C est composée de :

- 23 espèces d'invertébrés dont 6 espèces de mollusques ; une espèce de cnidaires ; 5 espèces d'échinodermes : holothurides (2 taxons), astéries (1 taxon), échinides (1 taxon), ophiurides (1 taxon) ; 6 espèces d'éponges ; 4 espèces d'ascidies
- 2 espèces de macrophytes : algues brunes (1 taxon), algues rouges (1 taxon)
- 1 espèce de cyanobactéries.

Tableau 61 : Variations entre mai et octobre 2020 : Les biocénoses (ST07C)*

Evolution de la richesse spécifique des biocénoses*	Evolution de l'abondance
Algues	
3 nouvelles espèces d'algues recensées, dont l'algue brune : • <i>Dictyota</i> sp. (A2) et 2 espèces d'algues rouges : • <i>Asparagopsis taxiformis</i> (A3), • <i>Trichogloea requienii</i> (A2). Une espèce d'algue disparue, l'algue rouge : • <i>Hypnea</i> sp. (A0/-2)	Aucune espèce d'algues n'augmente. Aucune espèce d'algues ne diminue.
Cyanobactéries	
<input checked="" type="checkbox"/>	<input checked="" type="checkbox"/>
Cnidaires	
Une espèce de cnidaires disparue : ➤ pour les alcyonaires (-1) : • <i>Dendronephthya</i> sp. (A0/-2).	<input checked="" type="checkbox"/>
Échinodermes	
2 nouvelles espèces d'échinodermes recensées : ➤ pour les astéries (1 espèce) : • <i>Gomophia egyptiaca</i> (A1) ; ➤ pour les holothurides (1 espèce) : • <i>Holothuria edulis</i> (A1). 2 espèces d'échinodermes disparues : ➤ pour les astéries (-1 espèce) : • <i>Linckia multifora</i> (A0/-2) ; ➤ pour les holothurides (-1) : • <i>Bohadschia argus</i> (A0/-1).	2 espèces d'échinodermes diminuent d'abondance : ➤ pour les crinoïdes (1 espèce) : •Crinoïdes ind. (A2/- 1) ; ➤ pour les holothurides (1 espèce) : • <i>Holothuria atra</i> (A1/- 1).
Mollusques	
Une espèce de mollusques disparue : ➤ pour les nudibranches (-1 espèce) : • <i>Phyllidiella pustulosa</i> (A0/-1).	<input checked="" type="checkbox"/>
Éponges	
2 nouvelles espèces d'éponges recensées : • <i>Dysidea frondosa</i> (A1), • <i>Dysidea herbacea</i> (A1). Une espèce d'éponges disparue : • <i>Clathria rugosa</i> (A0/-2).	<input checked="" type="checkbox"/>
Ascidies	
Une nouvelle espèce d'ascidies recensée : • <i>Polycarpa aurita</i> (A2). Une espèce d'ascidies disparue : • <i>Clavelina detorta</i> (A0/-2).	<input checked="" type="checkbox"/>
Bryozoaires	
<input checked="" type="checkbox"/>	<input checked="" type="checkbox"/>

4.7.3 Les poissons (ST07)

La liste des espèces observées¹¹ sur les transects et les résultats bruts sont fournis dans le tableau 62.

Tableau 62 : Données sur les poissons (ST07)

Basse Chambeyron ST07		Transect			Transect			Transect			Station		
		A			B			C			Moyenne		
Fam	Espèces	Nb	Dens	Biom	Nb	Dens	Biom	Nb	Dens	Biom	Nb	Dens	Biom
Aca	<i>Acanthurus blochii</i>							2	0,02	3,55	0,67	0,01	1,18
Aca	<i>Acanthurus dussumieri</i>							1	0,01	4,50	0,33	0,00	1,50
Aca	<i>Acanthurus mata</i>	3	0,03	4,00	30	0,21	17,55	30	0,17	30,87	21,00	0,14	17,47
Aca	<i>Ctenochaetus cyanocheilus</i>				6	0,05	2,20				2,00	0,02	0,73
Aca	<i>Ctenochaetus striatus</i>	1	0,01	0,43	4	0,03	1,46				1,67	0,02	0,63
Aca	<i>Naso brachycentron</i>				8	0,06	41,07	10	0,06	19,93	6,00	0,04	20,33
Aca	<i>Naso brevirostris</i>							10	0,06	43,67	3,33	0,02	14,56
Aca	<i>Naso lituratus</i>	1	0,02	4,06							0,33	0,01	1,35
Aca	<i>Naso lopezi</i>				6	0,04	25,54	12	0,08	40,50	6,00	0,04	22,01
Aca	<i>Naso unicornis</i>				2	0,01	26,04	10	0,06	32,32	4,00	0,02	19,45
Aca	<i>Zebrasoma scopas</i>	2	0,02	0,53	3	0,03	0,36				1,67	0,02	0,30
Aca	<i>Zebrasoma veliferum</i>	1	0,02	2,67							0,33	0,01	0,89
Ant	<i>Pseudanthias pascalus</i>	10	0,17	1,71							3,33	0,06	0,57
Ant	<i>Pseudanthias pictilis</i>	10	0,17	2,43							3,33	0,06	0,81
Ant	<i>Pseudanthias pleurotaenia</i>				10	0,08	0,36	15	0,19	0,81	8,33	0,09	0,39
Ant	<i>Pseudanthias squamipinnis</i>							15	0,19	0,81	5,00	0,06	0,27
Ble	<i>Meiacanthus atrodorsalis</i>				3	0,03	0,11				1,00	0,01	0,04
Cae	<i>Pterocaesio digramma</i>							50	0,25	16,88	16,67	0,08	5,63
Cae	<i>Pterocaesio marri</i>							50	0,25	16,88	16,67	0,08	5,63
Cha	<i>Chaetodon baronessa</i>	2	0,03	0,89	2	0,02	0,07				1,33	0,02	0,32
Cha	<i>Chaetodon citrinellus</i>	3	0,04	0,09							1,00	0,01	0,03
Cha	<i>Chaetodon ephippium</i>				3	0,03	0,36				1,00	0,01	0,12
Cha	<i>Chaetodon kleinii</i>	4	0,10	0,25				4	0,10	0,43	2,67	0,07	0,23
Cha	<i>Chaetodon lineolatus</i>							2	0,03	4,22	0,67	0,01	1,41
Cha	<i>Chaetodon lunulatus</i>	5	0,08	0,36	5	0,04	0,18				3,33	0,04	0,18
Cha	<i>Chaetodon pelewensis</i>	2	0,03	0,08							0,67	0,01	0,03
Cha	<i>Chaetodon plebeius</i>	1	0,02	0,04	2	0,02	0,07				1,00	0,01	0,04
Cha	<i>Chaetodon speculum</i>	3	0,05	0,34	2	0,02	0,17				1,67	0,02	0,17
Cha	<i>Chaetodon trifascialis</i>	2	0,03	0,04							0,67	0,01	0,01
Cha	<i>Chaetodon ulietensis</i>	1	0,02	0,07							0,33	0,01	0,02
Cha	<i>Chaetodon unimaculatus</i>	3	0,05	0,22							1,00	0,02	0,07
Cha	<i>Chaetodon vagabundus</i>	1	0,02	0,04							0,33	0,01	0,01
Cha	<i>Heniochus singularus</i>				1	0,01	0,29				0,33	0,00	0,10
Cha	<i>Heniochus varius</i>				2	0,02	0,33	2	0,03	4,57	1,33	0,02	1,64
Epi	<i>Cephalopholis urodeta</i>				3	0,02	1,18				1,00	0,01	0,39
Epi	<i>Epinephelus cyanopodus</i>							1	0,01	16,54	0,33	0,00	5,51
Epi	<i>Epinephelus fasciatus</i>				4	0,03	4,57				1,33	0,01	1,52
Epi	<i>Epinephelus maculatus</i>	1	0,02	14,29				2	0,01	9,83	1,00	0,01	8,04
Epi	<i>Epinephelus merra</i>	2	0,03	1,46							0,67	0,01	0,49
Epi	<i>Epinephelus ongus</i>				1	0,01	0,83				0,33	0,00	0,28
Epi	<i>Plectropomus laevis</i>							1	0,01	29,13	0,33	0,00	9,71
Epi	<i>Plectropomus leopardus</i>	3	0,02	46,88	3	0,02	24,00	6	0,05	25,00	4,00	0,03	31,96
Epi	<i>Variola louti</i>				1	0,01	8,00				0,33	0,00	2,67
Lab	<i>Bodianus perditio</i>	1	0,01	2,23							0,33	0,00	0,74
Lab	<i>Cheilinus chlorourus</i>	2	0,03	6,17	1	0,01	0,48				1,00	0,01	2,22
Lab	<i>Coris gaimard</i>	1	0,02	1,94				1	0,03	0,50	0,67	0,01	0,81
Lab	<i>Gomphosus varius</i>	3	0,05	1,73	3	0,03	0,26				2,00	0,03	0,66

¹¹ Données par rapport à la liste restreinte du cahier des charges, cf. annexe n°01

Lab	<i>Halichoeres hortulanus</i>	1	0,01	1,23				1	0,03	0,86	0,67	0,01	0,70
Lab	<i>Hemigymnus melapterus</i>	2	0,03	4,00	1	0,01	0,22				1,00	0,01	1,41
Lab	<i>Labroides dimidiatus</i>				5	0,03	0,14				1,67	0,01	0,05
Lab	<i>Stethojulis bandanensis</i>				1	0,01	0,07				0,33	0,00	0,02
Lab	<i>Thalassoma hardwicke</i>	5	0,08	0,57							1,67	0,03	0,19
Lab	<i>Thalassoma lunare</i>	8	0,13	0,91	5	0,03	0,14	8	0,20	0,86	7,00	0,12	0,64
Lab	<i>Thalassoma lutescens</i>	6	0,10	0,69							2,00	0,03	0,23
Lut	<i>Aprion virescens</i>				10	0,07	31,43	5	0,03	52,57	5,00	0,03	28,00
Lut	<i>Lutjanus bohar</i>				15	0,11	70,37				5,00	0,04	23,46
Mic	<i>Ptereleotris evides</i>							2	0,05	0,06	0,67	0,02	0,02
Mul	<i>Parupeneus ciliatus</i>							3	0,08	6,14	1,00	0,03	2,05
Mul	<i>Parupeneus indicus</i>							2	0,05	8,00	0,67	0,02	2,67
Mul	<i>Parupeneus multifasciatus</i>							5	0,13	20,00	1,67	0,04	6,67
Nem	<i>Scolopsis bilineatus</i>				5	0,04	1,48				1,67	0,01	0,49
Poc	<i>Centropyge bicolor</i>	3	0,05	0,22	3	0,03	0,03	4	0,10	0,13	3,33	0,06	0,13
Poc	<i>Centropyge bispinosa</i>	2	0,03	0,14	3	0,03	0,05	4	0,10	0,43	3,00	0,05	0,21
Poc	<i>Centropyge flavissima</i>	2	0,03	0,08							0,67	0,01	0,03
Poc	<i>Centropyge tibicen</i>	3	0,05	0,13	4	0,03	0,04	2	0,05	0,10	3,00	0,04	0,09
Poc	<i>Pomacanthus imperator</i>							1	0,03	4,00	0,33	0,01	1,33
Poc	<i>Pomacanthus semicirculatus</i>							2	0,05	10,65	0,67	0,02	3,55
Poc	<i>Pomacanthus sexstriatus</i>				1	0,01	0,60	1	0,03	6,08	0,67	0,01	2,23
Pom	<i>Abudefduf whiteleyi</i>	80	1,33	3,33							26,67	0,44	1,11
Pom	<i>Amphiprion chrysopterus</i>	4	0,07	0,17							1,33	0,02	0,06
Pom	<i>Chromis fumea</i>	20	0,33	0,43	20	0,17	0,21	25	0,63	0,86	21,67	0,38	0,50
Pom	<i>Chromis viridis</i>	20	0,33	0,18	30	0,25	0,32				16,67	0,19	0,17
Pom	<i>Chrysiptera taupou</i>	2	0,03	0,02	7	0,06	0,03	5	0,13	0,14	4,67	0,07	0,06
Pom	<i>Dasycyllus reticulatus</i>	15	0,25	0,14	15	0,13	0,06	20	0,50	0,43	16,67	0,29	0,21
Pom	<i>Neopomacentrus azyrson</i>				30	0,25	0,14				10,00	0,08	0,05
Pom	<i>Pomacentrus moluccensis</i>	3	0,05	0,06	4	0,03	0,08				2,33	0,03	0,05
Pom	<i>Stegastes aureus</i>	1	0,02	0,07	3	0,03	0,26				1,33	0,01	0,11
Sca	<i>Chlorurus sordidus</i>	2	0,03	1,83	5	0,04	1,44				2,33	0,03	1,09
Sca	<i>Scarus forsteni</i>	1	0,01	0,37							0,33	0,00	0,12
Sca	<i>Scarus ghobban</i>							1	0,01	3,38	0,33	0,00	1,13
Sca	<i>Scarus oviceps</i>	2	0,02	10,80							0,67	0,01	3,60
Sca	<i>Scarus schlegeli</i>	5	0,04	22,50				3	0,02	6,59	2,67	0,02	9,70
Scr	<i>Scomberomorus commerson</i>							1	0,01	44,70	0,33	0,00	14,90
Sig	<i>Siganus argenteus</i>	30	0,50	16,46				25	0,16	7,69	18,33	0,22	8,05
Sig	<i>Siganus corallinus</i>	2	0,02	2,67							0,67	0,01	0,89
Zan	<i>Zanclus cornutus</i>	1	0,01	0,44							0,33	0,00	0,15
Total		288	4,64	160,39	272	2,14	262,59	344	3,91	474,61	301,33	3,56	299,19
Biodiversité		49		42		39		86					
Indice de Shannon =		5,290											
Equitabilité =		0,823											

Sur l'ensemble des transects de la station, 904 individus appartenant à 86 espèces différentes ont pu être observés. Ils représentent une densité de 3.56 poissons/m² pour une biomasse de 299.19 g/m².

123 espèces complémentaires (e.g. hors des transects et hors liste restreinte [*en rouge*]) ont été observées sur la station (cf. tableau 63).

Tableau 63 : Liste des espèces complémentaires (ST07)

Fam	Espèces	Fam	Espèces	Fam	Espèces
Aca	<i>Acanthurus blochii</i>	Cha	<i>Heniochus varius</i>	Poc	<i>Centropyge bicolor</i>
Aca	<i>Acanthurus dussumieri</i>	Cir	<i>Cirrhitichthys falco</i>	Poc	<i>Centropyge bispinosa</i>
Aca	<i>Acanthurus mata</i>	Cir	<i>Paracirrhites arcatus</i>	Poc	<i>Centropyge flavissima</i>
Aca	<i>Ctenochaetus cyanocheilus</i>	Cir	<i>Paracirrhites forsteri</i>	Poc	<i>Centropyge tibicen</i>

Aca	<i>Ctenochaetus striatus</i>	Epi	<i>Cephalopholis urodeta</i>	Poc	<i>Genicanthus watanabei</i>
Aca	<i>Naso brachycentron</i>	Epi	<i>Epinephelus cyanopodus</i>	Poc	<i>Pomacanthus imperator</i>
Aca	<i>Naso brevirostris</i>	Epi	<i>Epinephelus fasciatus</i>	Poc	<i>Pomacanthus semicirculatus</i>
Aca	<i>Naso lituratus</i>	Epi	<i>Epinephelus maculatus</i>	Poc	<i>Pomacanthus sexstriatus</i>
Aca	<i>Naso lopezi</i>	Epi	<i>Epinephelus merra</i>	Pom	<i>Abudefduf whitleyi</i>
Aca	<i>Naso unicornis</i>	Epi	<i>Epinephelus ongus</i>	Pom	<i>Amblyglyphidodon curacao</i>
Aca	<i>Zebrasoma scopas</i>	Epi	<i>Plectropomus laevis</i>	Pom	<i>Amblyglyphidodon leucogaster</i>
Aca	<i>Zebrasoma veliferum</i>	Epi	<i>Plectropomus leopardus</i>	Pom	<i>Amphiprion chrysopterus</i>
Ant	<i>Pseudanthias pascalus</i>	Epi	<i>Variola louti</i>	Pom	<i>Chromis atripes</i>
Ant	<i>Pseudanthias pictilis</i>	Lab	<i>Anampses neoguinaicus</i>	Pom	<i>Chromis fumea</i>
Ant	<i>Pseudanthias pleurotaenia</i>	Lab	<i>Bodianus perditio</i>	Pom	<i>Chromis iomelas</i>
Ant	<i>Pseudanthias squamipinnis</i>	Lab	<i>Cheilinus chlorourus</i>	Pom	<i>Chromis leucura</i>
Apo	<i>Cheilodipterus macrodon</i>	Lab	<i>Coris batuensis</i>	Pom	<i>Chromis margaritifer</i>
Aul	<i>Aulostomus chinensis</i>	Lab	<i>Coris gaimard</i>	Pom	<i>Chromis viridis</i>
Bal	<i>Pseudobalistes fuscus</i>	Lab	<i>Gomphosus varius</i>	Pom	<i>Chrysiptera taupou</i>
Bal	<i>Sufflamen bursa</i>	Lab	<i>Halichoeres argus</i>	Pom	<i>Dascyllus reticulatus</i>
Bal	<i>Sufflamen fraenatus</i>	Lab	<i>Halichoeres hortulanus</i>	Pom	<i>Neopomacentrus azyron</i>
Ble	<i>Meiacanthus atrodorsalis</i>	Lab	<i>Halichoeres prosopeion</i>	Pom	<i>Plectroglyphidodon johnstonianus</i>
Cae	<i>Pterocaesio digramma</i>	Lab	<i>Hemigymnus fasciatus</i>	Pom	<i>Pomacentrus imitator</i>
Cae	<i>Pterocaesio marri</i>	Lab	<i>Hemigymnus melapterus</i>	Pom	<i>Pomacentrus lepidogenys</i>
Can	<i>Canthigaster valentini</i>	Lab	<i>Labroides dimidiatus</i>	Pom	<i>Pomacentrus moluccensis</i>
Car	<i>Carangoides fulvoguttatus</i>	Lab	<i>Oxycheilinus celebicus</i>	Pom	<i>Pomacentrus nagasakiensis</i>
Car	<i>Caranx melampygus</i>	Lab	<i>Stethojulis bandanensis</i>	Pom	<i>Pomacentrus simsiang</i>
Cha	<i>Chaetodon baronessa</i>	Lab	<i>Thalassoma hardwicke</i>	Pom	<i>Stegastes aureus</i>
Cha	<i>Chaetodon citrinellus</i>	Lab	<i>Thalassoma lunare</i>	Sca	<i>Cetoscarus ocellatus</i>
Cha	<i>Chaetodon ephippium</i>	Lab	<i>Thalassoma lutescens</i>	Sca	<i>Chlorurus sordidus</i>
Cha	<i>Chaetodon kleinii</i>	Lab	<i>Thalassoma nigrofasciatum</i>	Sca	<i>Scarus forsteni</i>
Cha	<i>Chaetodon lineolatus</i>	Lab	<i>Thalassoma quinquevittatum</i>	Sca	<i>Scarus ghobban</i>
Cha	<i>Chaetodon lunulatus</i>	Lut	<i>Aprion virescens</i>	Sca	<i>Scarus oviceps</i>
Cha	<i>Chaetodon pelewensis</i>	Lut	<i>Lutjanus bohar</i>	Sca	<i>Scarus schlegeli</i>
Cha	<i>Chaetodon plebeius</i>	Lut	<i>Paracaesio xanthura</i>	Scr	<i>Scomberomorus commerson</i>
Cha	<i>Chaetodon speculum</i>	Mic	<i>Ptereleotris evides</i>	Sig	<i>Siganus argenteus</i>
Cha	<i>Chaetodon trifascialis</i>	Mul	<i>Parupeneus ciliatus</i>	Sig	<i>Siganus corallinus</i>
Cha	<i>Chaetodon ulietensis</i>	Mul	<i>Parupeneus indicus</i>	Syn	<i>Saurida gracilis</i>
Cha	<i>Chaetodon unimaculatus</i>	Mul	<i>Parupeneus multifasciatus</i>	Syn	<i>Synodus dermatogenys</i>
Cha	<i>Chaetodon vagabundus</i>	Nem	<i>Scolopsis bilineatus</i>	Syn	<i>Synodus variegatus</i>
Cha	<i>Heniochus singularus</i>	Pin	<i>Parapercis millepunctata</i>	Zan	<i>Zanclus cornutus</i>

Le nombre d'espèces présentes pour chaque famille (observée depuis 2007) est donné dans le [tableau 64](#) et spécifiquement pour cette campagne sur la [figure 48](#).

Tableau 64 : Nombre d'espèces par famille ichthyologique (ST07)

Familles	Nb d'espèces vues (zone et période totale)	Nb d'espèces		Proportions	
		Campagne	Moy.	Campagne	Moy.
Acanthuridae	40	12	7,83	30,00	19,57
Chaetodontidae	30	15	7,26	50,00	24,20

Epinephelinae	26	9	4,91	34,62	18,90
Labridae	97	11	8,22	11,34	8,47
Lethrinidae	16	0	0,39	0,00	2,45
Lutjanidae	22	2	0,91	9,09	4,15
Mullidae	14	3	1,78	21,43	12,73
Pomacanthidae	14	7	4,83	50,00	34,47
Pomacentridae	92	9	6,78	9,78	7,37
Scaridae	23	5	4,48	21,74	19,47
Siganidae	10	2	0,74	20,00	7,39
Autres	257	11	6,61	4,28	2,57
Khi2 obs		4,0		18,2	
Khi2 tab				19,17	

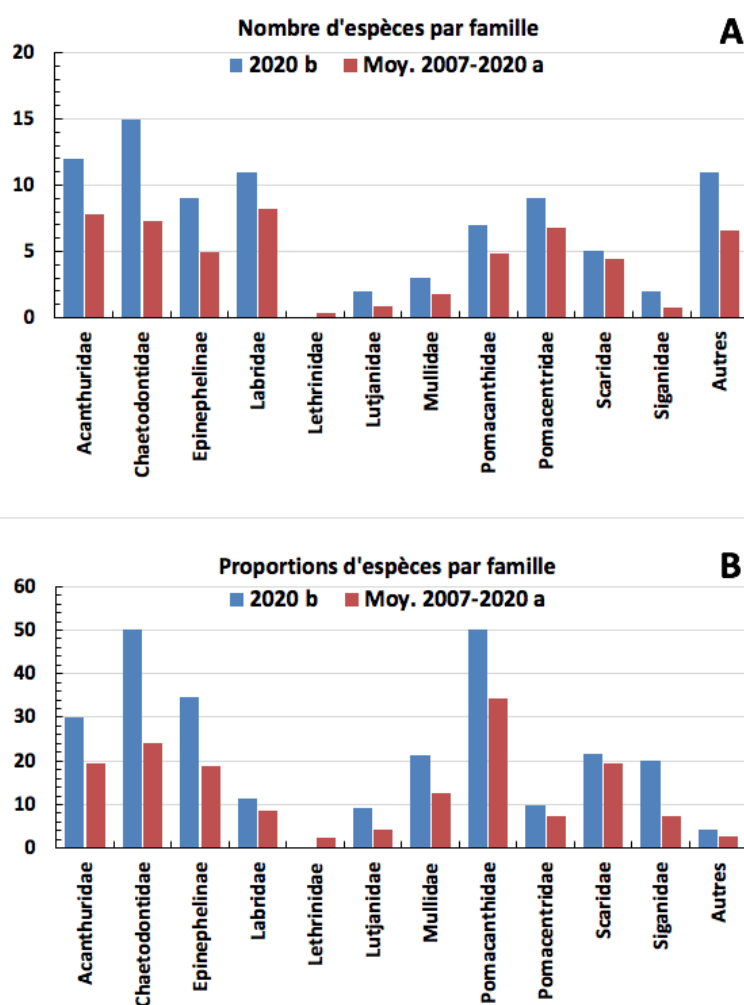


Figure 48 : Structure du peuplement pour cette mission relativement à la moyenne (ST07)

L'histogramme A compare pour une famille les effectifs vus lors de cette mission avec la moyenne et l'histogramme B compare les proportions de cet effectif vu par rapport à l'effectif total d'espèces vu pour cette même famille, sur la zone sud depuis les premières missions

Le récapitulatif des résultats en termes de :

- d'abondance (nombre d'individus, transects/liste restreinte),
- de densité (en poisson/m², transects/liste restreinte),
- de biomasse (en g/m², transects/liste restreinte),

- de biodiversité 1 (espèces observées sur les transects et de la liste restreinte),
- de biodiversité 2 (espèces observées sur la station (transects + complémentaires) et de la liste restreinte),
- de biodiversité 3 (toutes les espèces observées sur la station (transects + complémentaires / liste non restreinte)),

pour toutes les campagnes depuis 2007 est présenté dans le [tableau 65](#) et la [figure 49](#).

Tableau 65 : Synopsis des résultats et récapitulatif des années précédentes (ST07)

Basse Chambeyron ST07		Liste DENV					Toutes espèces
		Transect TLV				Station	Station
		Nb. ind.	Densité	Biom. g/m ²	Biodiv.1	Biodiv.2	Biodiv.3
2020 b	Transect A	288	4,64	160,39	49		
	Transect B	272	2,14	262,59	42		
	Transect C	344	3,91	474,61	39		
	Moy. ABC	301,33	3,56	299,19	86	90	123
2020 a	Moy. ABC	201,67	2,65	260,73	78	91	120
2019 b	Moy. ABC	661,67	6,07	1960,11	76	90	118
2019 a	Moy. ABC	370,00	4,79	1163,7	78	82	113
2018 b	Moy. ABC	201,00	3,08	152,94	57	79	110
2018 a*	Moy. ABC	182,21	2,32	257,14	51	68	104
2017 b	Moy. ABC	175,33	2,00	181,46	68	87	121
2017 a	Moy. ABC	202,33	2,91	274,64	66	83	117
2016 b	Moy. ABC	237,67	3,61	281,78	60	83	115
2016 a	Moy. ABC	235,00	3,51	260,25	58	89	120
2015 b	Moy. ABC	337,00	3,65	439,38	66	83	111
2015 a	Moy. ABC	317,00	3,37	358,85	70	83	117
2014 b	Moy. ABC	249,67	3,21	829,04	64	76	114
2014 a	Moy. ABC	156,67	1,82	110,62	43	71	112
2013 b	Moy. ABC	246,33	2,27	207,72	52	63	101
2013 a	Moy. ABC	290,00	2,26	175,08	46	69	114
2012 b	Moy. ABC	120,33	1,24	179,16	53	73	102
2012 a	Moy. ABC	171,30	1,70	113,90	44	77	100
2011 b	Moy. ABC	89,67	1,05	71,29	43	55	91
2011 a	Moy. ABC	155,67	1,62	854,66	55	58	97
2010 b	Moy. ABC	178,00	1,79	103,51	38	61	86
2010 a	Moy. ABC	79,67	2,66	84,96	45	73	113
2009	Moy. ABC	51,00	0,91	57,40	29	30	106
2008	Moy. ABC	85,33	2,73	146,76	44	49	82
2007	Moy. ABC	84,00	1,78	155,24	33	38	56

L'écart relatif à la moyenne [$E_{ri} = (X_i - X_m) / X_m$] pour ces paramètres biologiques peut alors être calculé : cf. [tableau 66](#) et représentation [figure 50](#).

Tableau 66 : Ecart relatif à la moyenne des paramètres biologiques ichtyologiques depuis 2007 (ST07)

Nb ind.	Densité	Biom.	Biodiv.1	Biodiv.2	Biodiv.3
---------	---------	-------	----------	----------	----------

Variance	8 804	1,15	184 016	224	265	230
Ecart type	88,13	0,98	288,30	12,67	15,77	15,21
Moyenne	204,42	2,62	359,15	56,12	72,04	106,52
Coef. de Var.	0,43	0,37	0,80	0,23	0,22	0,14

Commentaires :

Le courant était fort au moment de la plongée.

- La densité et la biomasse sont à des valeurs plutôt élevées.
- La structure spécifique par familles ne diffère pas de la moyenne des structures obtenues sur la période du suivi, en valeur absolue comme en valeur relative (cf. § 3.4.3).

En revanche, qualitativement, plusieurs espèces sont apparues comme *Ctenochaetus cyanocheilus*, *Cephalopholis urodeta*, *Sufflamen bursa*, ou disparues comme *Gnathanodon speciosus*, *Chaetodon auriga*, *Forcipiger flavissimus*, *Gymnocranius grandoculis*, etc. Mais, comme le montre la série historique tous ces changements ne sont que des conjonctures

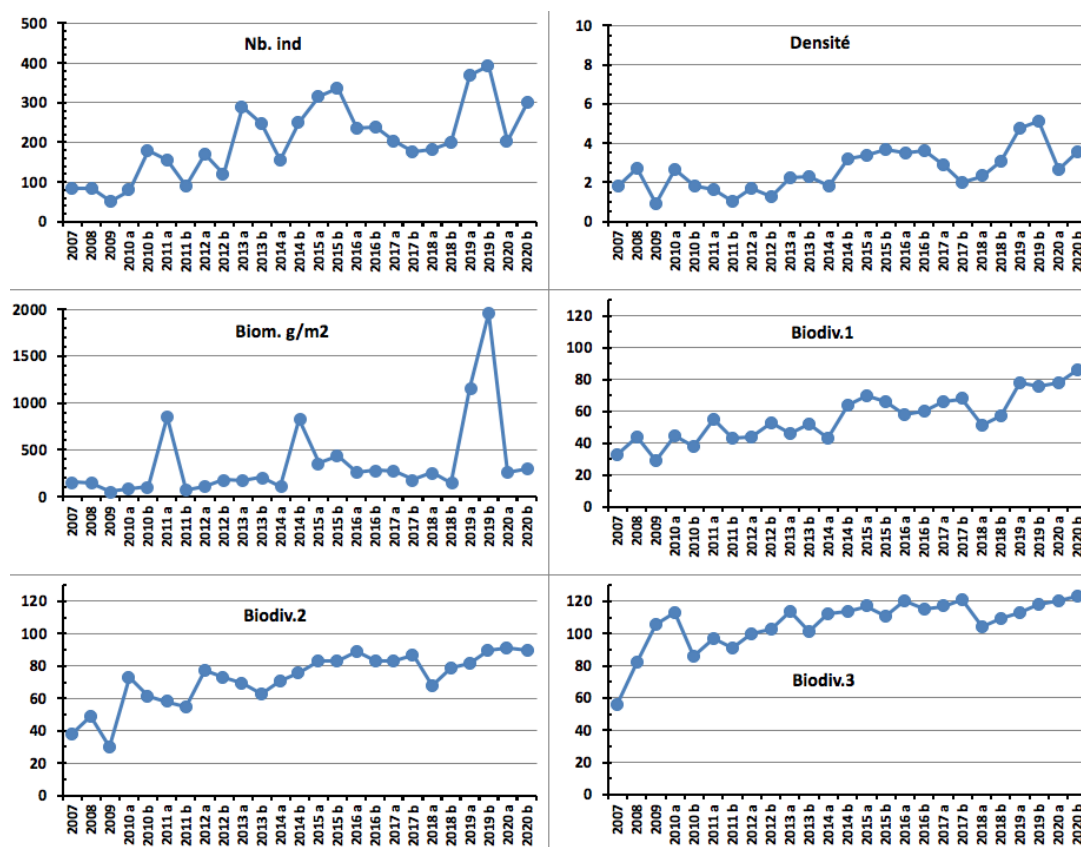


Figure 49 : Evolution des paramètres biologiques ichthyologiques depuis 2007 (ST07)

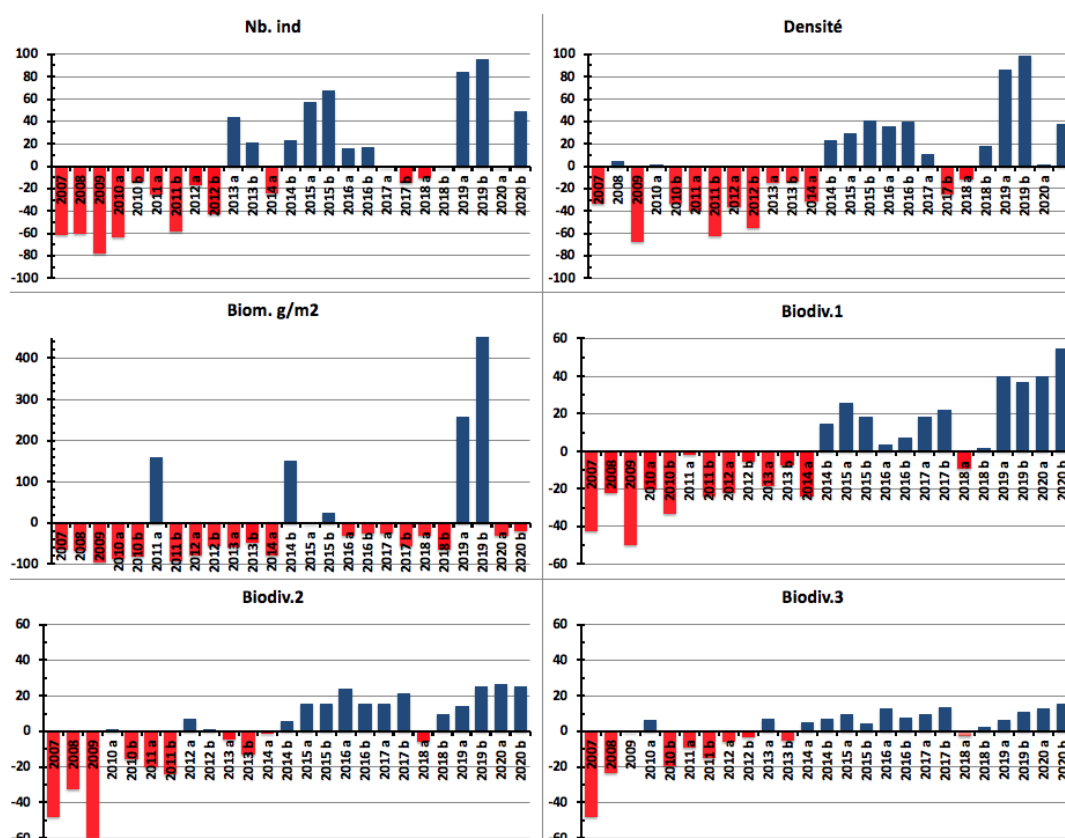


Figure 50 : Ecart relatif à la moyenne des paramètres biologiques ichthyologiques depuis 2007 (ST07)

4.8 Station 08 = Pointe Puka

Localisation géographique	Bordure du récif frangeant de la pointe Puka, au droit d'un gros amas rocheux proéminent sur le rivage, avec une petite tâche blanche (photographie 17).
Nombre transects	2 transects.
Description transects	Ils ont été positionnés perpendiculairement à la pente du récif frangeant à 9 et 12 mètres de profondeur dans un alignement du sud-ouest vers le nord-est.
	Le transect A a été installé au pied de deux éperons et traverse un sillon. Le transect B est éloigné d'une cinquantaine de mètres vers le sud du 1 ^{er} transect. Il est positionné sur la pente sédimentaire qui est composée de sable et de débris coralliens plus importants par rapport au transect supérieur (rupture de faciès). De grandes colonies de <i>Porites lobata</i> de taille pluri métrique permettent de repérer ce transect.

Description générale

La morphologie de cette station est composée de plusieurs éperons séparés par des vallées d'une dizaine de mètres de largeur jusqu'à 9 m de profondeur. Le recouvrement le plus important des madrépores se situe sur les flancs et le dessus des éperons mais la richesse spécifique est moindre. Sur le fond des vallées le sable et les débris dominent mais une multitude d'espèces coralliennes de petites tailles s'épanouissent.

Au-delà du système éperon-sillon, la pente sédimentaire recèle une richesse spécifique corallienne importante. Les colonies sont généralement de taille décimétrique et quelques grandes colonies pluri métrique de *Porites* s'éparpillent sur cette pente douce sédimentaire.

Ensuite sous le niveau bathymétrique de 11-15 mètres de profondeur, la pente sédimentaire est toujours peu inclinée. Elle est composée de sable coquillé et de grosses patates coralliennes dispersées (*Porites lobata* et *Acropora* tabulaire) ainsi que des petites colonies coralliennes adaptées à peu de luminosité et de nombreux blocs coralliens morts, de taille décimétrique.

Cette station subit des dégradations depuis 2011. Les perturbations sont d'ordre sédimentaire, mécanique et dans une moindre mesure bactérien. Du fait de réactions en chaîne, la maladie de la bande blanche, les corallivores et les cyanobactéries ont également décimé de nombreuses colonies d'*Acropora* mortes en place.

Caractéristiques principales

- ↪ Cette station est située en bordure du récif frangeant du canal de la Havannah entre les baies de Port Boisé et de Kwé. Ainsi l'influence terrigène est très importante (dépôts de particules fines) mais l'hydrodynamisme peut être également soutenu (houle et ressac)
- ↪ Présence de grandes colonies de *Porites lobata* dans la zone (anomalies de croissance en B)
- ↪ Présence de *Tubipora musica* en B
- ↪ Les spongiaires (*Cliona orientalis* et *C. jullieni*) sont relativement bien développées et colonisent les débris coralliens et les colonies coralliennes encore vivantes (compétition spatiale)

Dégradations importantes depuis la mission mars 2011 à mai 2018 : accentuées par de nombreuses dépressions tropicales :

- baisse recouvrement et diversité corallienne : mortalité importante, coraux tabulaires retournés et nombreux débris coralliens
- maladies coralliennes affectant un grand nombre d'espèce depuis mars 2011
- développement des spongiaires (*Cliona*)
- développement des corallivores (*Drupella cornus*)
- développement de turf algal et de cyanobactéries

Les colonies coralliennes malades sont pour la plupart mortes en place en octobre 2014 (maladie de la bande blanche et perte de tissu).

→ Suite à ces épisodes, la richesse corallienne augmente avec la présence de colonies juvéniles. Les nouvelles espèces sont adaptées à la turbidité

→ Les dépôts sédimentaires peuvent être soutenus selon les missions. Ils entraînent des nécroses sur les colonies coralliennes (source particulière : baie Kwé)

La diversité corallienne n'est plus étudiée (*dernier recensement en novembre 2016, ce relevé d'information n'est pas dans le cahier de charges*). Il n'est plus possible d'évaluer les variations spécifiques dans les assemblages de ce groupe. **Suite au blanchissement corallien du début d'année 2016, quelques colonies sont mortes en place ou nécrosées en A et B**

Variations entre mai et octobre 2020

Indicateur Corail :

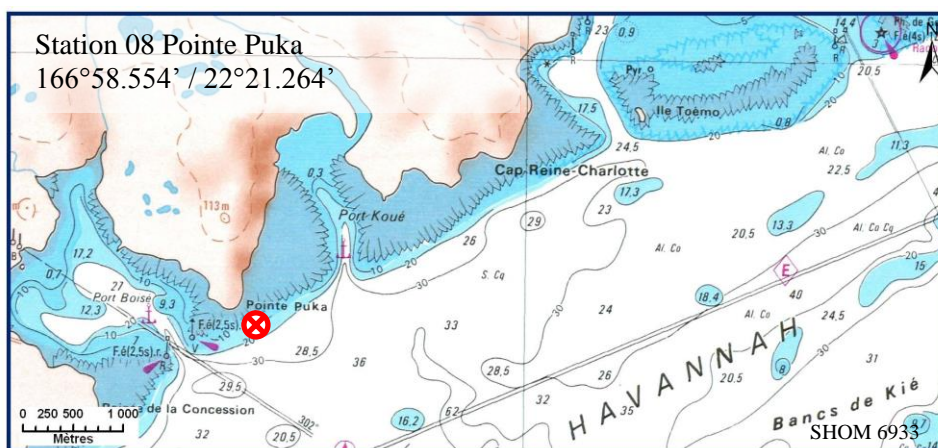
- Le recouvrement corallien est stable, de 35.5% au transect A (3^{ème} rang du réseau) et 2.5% en B. Légère hausse en A (vs 30%), stable en B
- Blanchissement corallien (surface totale observée) : *Octobre 2015 : 0.13% ; Avril 2016 : 1% ; Novembre 2016 : 0.23% ; Avril 2017 : 1.25% ; Septembre 2017 : 1.15% ; Mai 2018 : 0.9% ; Novembre 2018 : 0% ; Avril 2019 : 0.10% ; Octobre 2019 : 0% ; Mai 2020 : 0.2% ; Octobre 2020 : 0.15%*
- Lésions coralliennes : des colonies coralliennes sont dégradées suite à la maladie de la bande blanche et ponctuellement par la sédimentation :
 - Maladie corallienne : la maladie de la bande blanche est observée sur une colonie en B (0.3 m²). La maladie de la tâche noire (hypermycose endolithique) ne paraît pas être une cause de mortalité. Cette lésion persiste sur quelques Fungiidae et colonies encroûtantes (A > B). En B, les anomalies de croissance de la colonie de *Porites* plurimétrique sont toujours importantes mais elles évoluent très peu
 - Perturbations sédimentaires : absence de dépôt sédimentaire sur les colonies coralliennes. Les nécroses sur les colonies coralliennes sont surtout induites par les dépôts sédimentaires précédents et successifs

Autres indicateurs :

- Cyanobactéries : augmentation en A et B (niveau 0 à 2)
- Le turf algal se développe abondamment sur les débris coralliens et les colonies coralliennes mortes en place
- Algues brunes *Lobophora* : absente et stable
- Algues rouges *Asparagopsis taxiformis* : augmentation en A et B (niveau 0 à 3/2)
- *Cliona orientalis* : stable
- *Cliona jullieni* : stable

Les corallivores :

- *Acanthaster planci* et *Culcita novaeguineae* : absence, stable
- *Drupella cornus* : absence, stable



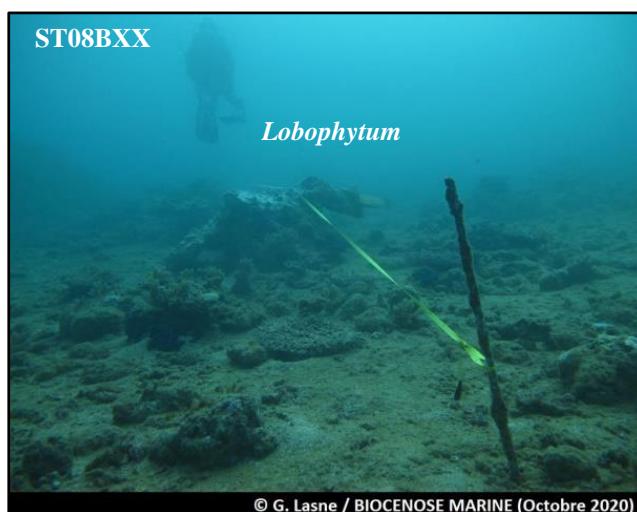
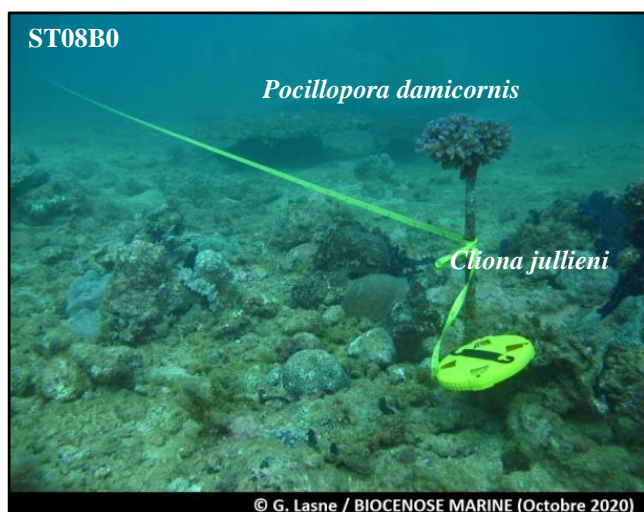
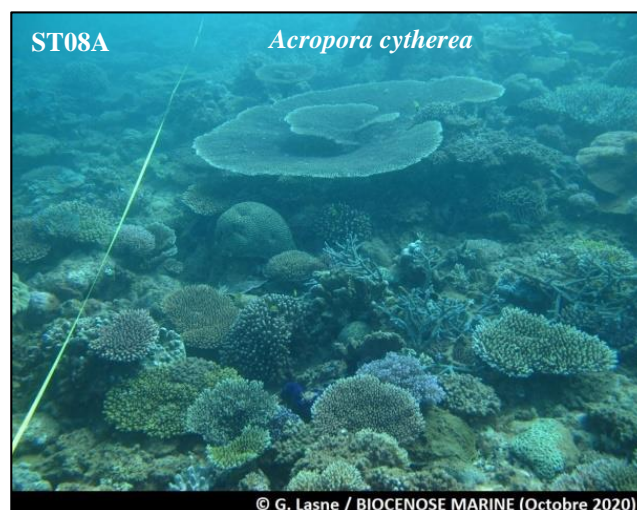
Carte 10 : Localisation de la station 08 (Pointe Puka)



Photographie 17 : Position en surface par rapport à la côte (ST08)



La résilience du récif est en cours (croissance des colonies coralliennes importante, baisse des cyanobactéries, absence de maladie de la bande blanche, etc.)



Fond de sable grossier coquillé à articles d'*Halimeda* et débris coralliens

Photographie 18 : Vue d'ensemble des transects (ST08, présente mission)

4.8.1 Le substrat (ST08)

Le pourcentage de couverture de chaque composante est donné dans la [figure 51](#) pour le transect A et dans la [figure 52](#) pour le transect B.

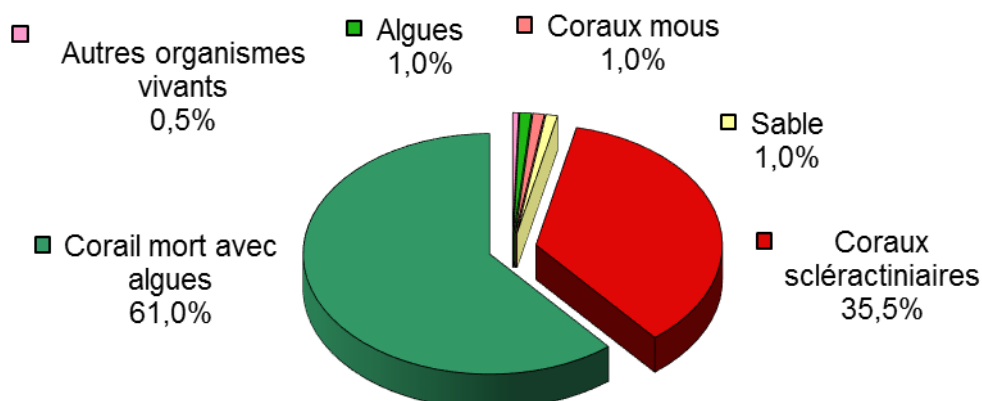


Figure 51 : Représentation du recouvrement (en %) du substrat pour ST08A

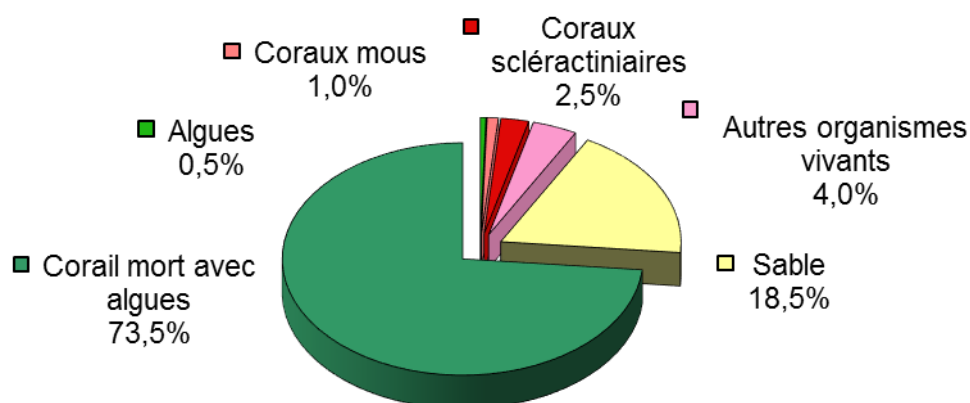


Figure 52 : Représentation du recouvrement (en %) du substrat pour ST08B

Le substrat du transect haut est composé d'une large part de coraux morts recouverts d'algues (61%) avec un bon taux de coraux scléactiniaires vivants qui augmente très légèrement (35.5% vs 30%, 3^{ème} rang du réseau). La hausse est relativement constante depuis 2017 et atteint pour cette mission le meilleur taux depuis le début du suivi. Il présente pour cette mission 99% de recouvrement biotique.

Au transect B, comme depuis 1 an, c'est la catégorie « corail mort avec d'algue » qui domine (73.5%) ce qui fait que le substrat est majoritairement biotique. Ce transect ne possède que 2.5% de coraux scléactiniaires.

Hormis les fluctuations cycliques du sable (avec les coraux morts recouverts d'algues), globalement, la station est stable.

4.8.2 Le benthos (ST08)

La liste des taxons cibles (cf. § 3.2.3) échantillonnés sur cette station et la liste complète des résultats bruts sont données en annexe n°04.

En octobre 2020, la richesse spécifique de la station Puka (ST08) est composée de :

- **38 espèces d'invertébrés** dont 10 espèces de mollusques ; 8 espèces de cnidaires : alcyonaires (3 taxons), actiniaires (3 taxons), hydrozoaires (1 taxon), zoanthaires (1 taxon) ; 8 espèces d'échinodermes : astéries (3 taxons), ophiurides (2 taxons), crinoïdes (1 taxon), échinides (1 taxon), holothurides (1 taxon) ; 6 espèces d'éponges ; 4 espèces d'ascidies
- **6 espèces de macrophytes** : algues vertes (3 taxons), algues rouges (2 taxons), algues brunes (1 taxon)
- **1 espèce de cyanobactéries.**

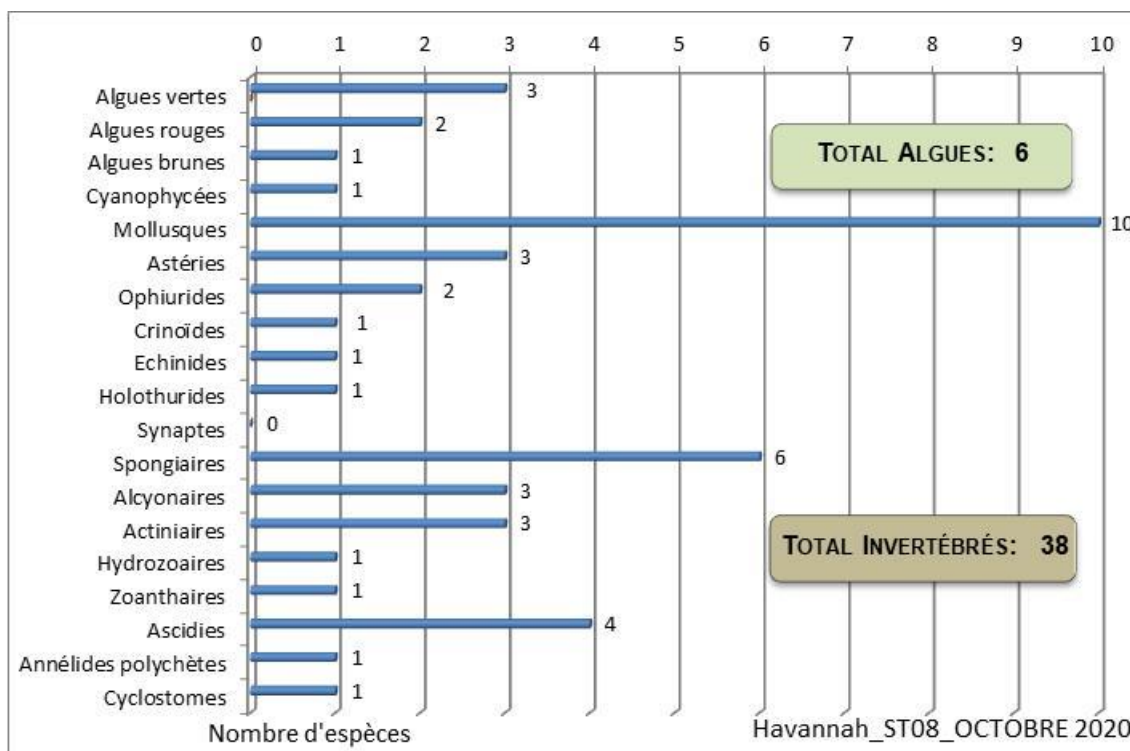


Figure 53 : Répartition par sous-groupe de la richesse spécifique des macrophytes et des invertébrés (hors coraux durs) (ST08)

4.8.2.1 Benthos Transect 08 A

En octobre 2020, la richesse spécifique du transect ST08A est composée de :

- 31 espèces d'invertébrés dont 8 espèces de mollusques ; 4 espèces de cnidaires : alcyonaires (1 taxon), actiniaires (1 taxon), hydrozoaires (1 taxon), zoanthaires (1 taxon) ; 7 espèces d'échinodermes : astéries (3 taxons), ophiurides (2 taxons), crinoïdes (1 taxon), échinides (1 taxon) ; 6 espèces d'éponges ; 4 espèces d'ascidies
- 6 espèces de macrophytes : algues vertes (3 taxons), algues rouges (2 taxons), algues brunes (1 taxon)
- 1 espèce de cyanobactéries.

Tableau 67 : Variations entre mai et octobre 2020 : Les biocénoses* (ST08A)

Evolution de la richesse spécifique des biocénoses*	Evolution de l'abondance
Algues	
3 nouvelles espèces d'algues recensées, dont 2 espèces d'algues rouges : • <i>Asparagopsis taxiformis</i> (A3), • <i>Trichogloea requienii</i> (A1) et l'algue verte : • <i>Neomeris vanbosseae</i> (A2) ; 2 espèces d'algues disparues, dont l'algue rouge : • <i>Hypnea</i> sp. (A0/-2) et l'algue verte : • <i>Halimeda</i> sp. (1sp./-1sp., A2/-0).	Aucune espèce d'algues n'augmente. Une espèce d'algue diminue l'algue verte : • <i>Chlorodesmis fastigiata</i> (A1/- 1).
Cyanobactéries	
Une nouvelle espèce de cyanobactéries recensée : • <i>Phormidium</i> sp. (A2).	<input checked="" type="checkbox"/>
Cnidaires	
3 espèces de cnidaires disparues : ➤ pour les alcyonaires (-3 espèce) : • <i>Cladiella</i> sp. (A0/-2), • <i>Lobophytum</i> sp. (A0/-2), • <i>Simularia</i> sp. (A0/-2).	Une espèce de cnidaires diminue d'abondance : ➤ pour les alcyonaires (1 espèce) : • <i>Sarcophyton</i> sp. (A2/- 1).
Échinodermes	
Une nouvelle espèce d'échinodermes recensée : ➤ pour les crinoïdes (1 espèce) : •Crinoïdes ind. (A1). Une espèce d'échinodermes disparue : ➤ pour les holothurides (-1) : • <i>Holothuria whitmaei</i> (A0/-1).	<input checked="" type="checkbox"/>
Mollusques	
Une nouvelle espèce de mollusques recensée : ➤ pour les bivalves (1 espèce) : • <i>Hyotissa hyotis</i> (A2). 2 espèces de mollusques disparues : ➤ pour les bivalves (-1 espèce) : • <i>Tridacna maxima</i> (A0/-1) ; ➤ pour les nudibranches (-1) : • <i>Phyllidiella pustulosa</i> (A0/-1).	<input checked="" type="checkbox"/>
Éponges	
Une nouvelle espèce d'éponges recensée : • <i>Hamigera strongylata</i> (A2).	<input checked="" type="checkbox"/>
Ascidies	
2 espèces d'ascidies disparues : • <i>Didemnum</i> sp. (rouge) (A0/-2), • <i>Polycarpa aurita</i> (A0/-2).	<input checked="" type="checkbox"/>
Bryozoaires	
<input checked="" type="checkbox"/>	<input checked="" type="checkbox"/>

4.8.2.2 Benthos Transect 08 B

En octobre 2020, la richesse spécifique du transect ST08B est composée de :

- 31 espèces d'invertébrés dont 5 espèces de mollusques ; 7 espèces de cnidaires : alcyonaires (3 taxons), actiniaires (2 taxons), hydrozoaires (1 taxon), zoanthaires (1 taxon) ; 7 espèces d'échinodermes : astéries (3 taxons), ophiurides (2 taxons), crinoïdes (1 taxon), holothurides (1 taxon) ; 6 espèces d'éponges ; 4 espèces d'ascidies
- 2 espèces de macrophytes : algues rouges (1 taxon), algues vertes (1 taxon)
- 1 espèce de cyanobactéries.

Tableau 68 : Variations entre mai et octobre 2020 : Les biocénoses* (ST08B)

Evolution de la richesse spécifique des biocénoses*	Evolution de l'abondance
Algues	
2 nouvelles espèces d'algues recensées, dont l'algue rouge : • <i>Asparagopsis taxiformis</i> (A2) et l'algue verte : • <i>Neomeris vanbosseae</i> (A2) ; 4 espèces d'algues disparues, dont l'algue brune : • <i>Dictyota</i> sp. (A0/-3) ; et l'algue rouge : • <i>Hypnea</i> sp. (A0/-2) et 2 espèces d'algues vertes : • <i>Halimeda</i> sp. (-2spp., A0/-2).	Aucune espèce d'algues n'augmente. Aucune espèce d'algues ne diminue.
Cyanobactéries	
Une nouvelle espèce de cyanobactéries recensée : • <i>Phormidium</i> sp. (A2).	<input checked="" type="checkbox"/>
Cnidaires	
2 espèces de cnidaires disparues : ➤ pour les alcyonaires (-1 espèce) : • <i>Cladiella</i> sp. (A0/-2) ; ➤ pour les zoanthaires (-1 espèce) : • <i>Zoanthidae</i> ind. sp. (A0/-2).	<input checked="" type="checkbox"/>
Échinodermes	
Une nouvelle espèce d'échinodermes recensée : ➤ pour les astéries (1 espèce) : • <i>Gomophia egyptiaca</i> (A1). 6 espèces d'échinodermes disparues : ➤ pour les astéries (-1 espèce) : • <i>Celerina heffernani</i> (A0/-1) ; ➤ pour les échinides (-1 espèce) : • <i>Diadema setosum</i> (A0/-1) ; ➤ pour les holothurides (-4) : • <i>Bohadschia argus</i> (A0/-1), • <i>Holothuria edulis</i> (A0/-1), • <i>Holothuria fuscopunctata</i> (A0/-1), • <i>Thekenota anax</i> (A0/-1)	Une espèce d'échinodermes augmente d'abondance : ➤ pour les astéries (1 espèce) : • <i>Linckia multiflora</i> (A2/+ 1).
Mollusques	
2 nouvelles espèces de mollusques recensées : ➤ pour les gastéropodes (2 espèces) : • <i>Conus litteratus</i> (A1), • <i>Charonia tritonis</i> (A1). 3 espèces de mollusques disparues : ➤ pour les bivalves (-3 espèce) : • <i>Arca ventricosa</i> (A0/-1), • <i>Septifer bilocularis</i> (A0/-2), • <i>Pedum spondyloideum</i> (A0/-2).	Une espèce de mollusques diminue d'abondance : ➤ pour les bivalves (1 espèce) : • <i>Spondylus</i> sp. (A1/- 1).
Éponges	
Une nouvelle espèce d'éponges recensée : • <i>Hamigera strongylata</i> (A2).	<input checked="" type="checkbox"/>
Ascidies	
2 espèces d'ascidies disparues : • <i>Polycarpa aurita</i> (A0/-2), • <i>Polycarpa clavata</i> (A0/-1).	Une espèce d'ascidies diminue d'abondance : • <i>Polycarpa cryptocarpa</i> (A2/- 1).
Bryozoaires	
<input checked="" type="checkbox"/>	<input checked="" type="checkbox"/>

4.8.3 Les poissons (ST08)

La liste des espèces observées¹² sur les transects et les résultats bruts sont fournis dans le tableau 69.

Tableau 69 : Données sur les poissons (ST08)

Puka ST08		Transect			Transect			Station		
		A			B			Moyenne		
Fam	Espèces	Nb	Dens	Biom	Nb	Dens	Biom	Nb	Dens	Biom
Aca	<i>Acanthurus blochii</i>				1	0,01	0,98	0,50	0,00	0,49
Aca	<i>Ctenochaetus striatus</i>	1	0,02	0,40				0,50	0,01	0,20
Aca	<i>Naso lituratus</i>	1	0,01	3,91				0,50	0,01	1,95
Aca	<i>Zebrasoma veliferum</i>	1	0,02	2,40				0,50	0,01	1,20
Can	<i>Canthigaster valentini</i>				2	0,01	0,01	1,00	0,01	0,00
Cha	<i>Chaetodon auriga</i>				1	0,01	0,06	0,50	0,00	0,03
Cha	<i>Chaetodon bennetti</i>	3	0,05	0,46				1,50	0,03	0,23
Cha	<i>Chaetodon flavirostris</i>				3	0,03	0,50	1,50	0,01	0,25
Cha	<i>Chaetodon lunulatus</i>				3	0,03	0,17	1,50	0,01	0,09
Cha	<i>Chaetodon mertensii</i>				2	0,02	0,07	1,00	0,01	0,04
Cha	<i>Chaetodon plebeius</i>	4	0,07	0,26	2	0,02	0,04	3,00	0,04	0,15
Cha	<i>Chaetodon ulietensis</i>	2	0,03	0,13	2	0,02	0,11	2,00	0,03	0,12
Cha	<i>Chaetodon vagabundus</i>	2	0,03	0,44				1,00	0,02	0,22
Cha	<i>Heniochus acuminatus</i>				1	0,01	0,97	0,50	0,00	0,49
Cha	<i>Heniochus singularus</i>				2	0,02	1,94	1,00	0,01	0,97
Epi	<i>Epinephelus Howlandi</i>	1	0,02	2,40				0,50	0,01	1,20
Epi	<i>Plectropomus leopardus</i>				3	0,02	46,88	1,50	0,01	23,44
Hae	<i>Plectorhinchus lessonii</i>				1	0,01	1,97	0,50	0,00	0,99
Lab	<i>Bodianus perditio</i>				1	0,01	2,46	0,50	0,00	1,23
Lab	<i>Cheilinus chlorourus</i>	1	0,02	1,01	1	0,01	1,14	1,00	0,01	1,08
Lab	<i>Hemigymnus melapterus</i>				1	0,01	1,52	0,50	0,00	0,76
Lab	<i>Labroides dimidiatus</i>				2	0,01	0,01	1,00	0,01	0,00
Lab	<i>Stethojulis bandanensis</i>				1	0,01	0,03	0,50	0,00	0,02
Lab	<i>Thalassoma lunare</i>				3	0,02	0,15	1,50	0,01	0,07
Lut	<i>Lutjanus fulvus</i>				3	0,02	2,50	1,50	0,01	1,25
Mul	<i>Parupeneus barberinoides</i>	3	0,05	1,56				1,50	0,03	0,78
Mul	<i>Parupeneus cyclostomus</i>	6	0,06	8,23				3,00	0,03	4,12
Nem	<i>Scolopsis bilineatus</i>				4	0,03	0,57	2,00	0,01	0,29
Poc	<i>Centropyge bicolor</i>	2	0,03	0,04	2	0,02	0,05	2,00	0,03	0,04
Poc	<i>Centropyge flavissima</i>				2	0,02	0,14	1,00	0,01	0,07
Poc	<i>Centropyge tibicen</i>	2	0,03	0,04	3	0,03	0,04	2,50	0,03	0,04
Pom	<i>Amphiprion chrysopterus</i>				10	0,10	0,13	5,00	0,05	0,06
Pom	<i>Chrysiptera rollandi</i>	5	0,08	0,09	4	0,04	0,02	4,50	0,06	0,06
Pom	<i>Chrysiptera taupou</i>	4	0,07	0,04	6	0,06	0,03	5,00	0,06	0,03
Pom	<i>Dascyllus aruanus</i>				8	0,08	0,04	4,00	0,04	0,02
Pom	<i>Dascyllus reticulatus</i>	15	0,25	0,14	10	0,10	0,05	12,50	0,18	0,09
Pom	<i>Dascyllus trimaculatus</i>				10	0,10	0,25	5,00	0,05	0,13

¹² Données par rapport à la liste restreinte du cahier des charges, cf. annexe n°01

Pom	<i>Pomacentrus moluccensis</i>	2	0,03	0,04				1,00	0,02	0,02
Sca	<i>Scarus flavipectoralis</i>	3	0,05	4,10				1,50	0,03	2,05
Sca	<i>Scarus niger</i>				1	0,01	1,14	0,50	0,00	0,57
Sca	<i>Scarus rubroviolaceus</i>				2	0,01	1,67	1,00	0,01	0,83
Sig	<i>Siganus doliatus</i>	2	0,03	1,46				1,00	0,02	0,73
Sig	<i>Siganus puellus</i>	3	0,05	1,73				1,50	0,03	0,86
Sig	<i>Siganus punctatus</i>	2	0,03	7,10				1,00	0,02	3,55
Zan	<i>Zanclus cornutus</i>				1	0,01	0,59	0,50	0,00	0,29
Total		65	1,04	35,95	98	0,87	66,24	81,50	0,96	51,10
Biodiversité		21		32		45				
Indice de Shannon =		4,897								
Equitabilité =		0,892								

Sur l'ensemble des transects de la station, 163 individus appartenant à 45 espèces différentes ont pu être observés. Ils représentent une densité de 0.96 poisson/m² pour une biomasse de 51.10 g/m².

104 espèces complémentaires (e.g. hors des transects et hors liste restreinte [*en rouge*]) ont été observées sur la station (cf. tableau 70).

Tableau 70 : Liste des espèces complémentaires (ST08)

Fam	Espèces	Fam	Espèces	Fam	Espèces
Aca	<i>Acanthurus blochii</i>	Hol	<i>Myripristis kuntze</i>	Mul	<i>Parupeneus indicus</i>
Aca	<i>Acanthurus nigricauda</i>	Hol	<i>Sargocentron ensifer</i>	Nem	<i>Scolopsis bilineatus</i>
Aca	<i>Ctenochaetus striatus</i>	Hol	<i>Sargocentron rubrum</i>	Pem	<i>Pempheris oualensis</i>
Aca	<i>Naso lituratus</i>	Kyp	<i>Kyphosus cinerascens</i>	Pin	<i>Parapercis cylindrica</i>
Aca	<i>Naso unicornis</i>	Lab	<i>Anampses femininus</i>	Ple	<i>Assessor macneilli</i>
Aca	<i>Zebrasoma scopas</i>	Lab	<i>Anampses melanurus</i>	Poc	<i>Centropyge bicolor</i>
Aca	<i>Zebrasoma veliferum</i>	Lab	<i>Anampses neoguinaicus</i>	Poc	<i>Centropyge flavissima</i>
Apo	<i>Cheilodipterus macrodon</i>	Lab	<i>Bodianus axillaris</i>	Poc	<i>Centropyge tibicen</i>
Aul	<i>Aulostomus chinensis</i>	Lab	<i>Bodianus perditio</i>	Pom	<i>Amblyglyphidodon leucogaster</i>
Bal	<i>Sufflamen fraenatus</i>	Lab	<i>Cheilinus chlorourus</i>	Pom	<i>Amblyglyphidodon orbicularis</i>
Ble	<i>Exallias brevis</i>	Lab	<i>Coris batuensis</i>	Pom	<i>Amphiprion chrysopterus</i>
Ble	<i>Meiacanthus atrodorsalis</i>	Lab	<i>Coris gaimard</i>	Pom	<i>Chrysiptera rollandi</i>
Can	<i>Canthigaster valentini</i>	Lab	<i>Epibulus insidiator</i>	Pom	<i>Chrysiptera taupou</i>
Cha	<i>Chaetodon auriga</i>	Lab	<i>Halichoeres argus</i>	Pom	<i>Dascyllus aruanus</i>
Cha	<i>Chaetodon baronessa</i>	Lab	<i>Halichoeres ornatissimus</i>	Pom	<i>Dascyllus reticulatus</i>
Cha	<i>Chaetodon bennetti</i>	Lab	<i>Halichoeres prosopion</i>	Pom	<i>Dascyllus trimaculatus</i>
Cha	<i>Chaetodon ephippium</i>	Lab	<i>Hemigymnus fasciatus</i>	Pom	<i>Neoglyphidodon nigroris</i>
Cha	<i>Chaetodon flavirostris</i>	Lab	<i>Hemigymnus melapterus</i>	Pom	<i>Neoglyphidodon nigroris</i>
Cha	<i>Chaetodon lunulatus</i>	Lab	<i>Labroides dimidiatus</i>	Pom	<i>Neopomacentrus azyron</i>
Cha	<i>Chaetodon mertensii</i>	Lab	<i>Labropsis australis</i>	Pom	<i>Plectroglyphidodon lacrymatus</i>
Cha	<i>Chaetodon plebeius</i>	Lab	<i>Novaculichthys taeniourus</i>	Pom	<i>Pomacentrus adelus</i>
Cha	<i>Chaetodon ulietensis</i>	Lab	<i>Stethojulis bandanensis</i>	Pom	<i>Pomacentrus moluccensis</i>
Cha	<i>Chaetodon vagabundus</i>	Lab	<i>Thalassoma lunare</i>	Pri	<i>Priacanthus hamrur</i>
Cha	<i>Heniochus acuminatus</i>	Lab	<i>Thalassoma lutescens</i>	Sca	<i>Scarus flavipectoralis</i>
Cha	<i>Heniochus singularus</i>	Let	<i>Lethrinus atkinsoni</i>	Sca	<i>Scarus ghobban</i>
Cha	<i>Heniochus varius</i>	Let	<i>Monotaxis grandoculis</i>	Sca	<i>Scarus niger</i>
Cir	<i>Cirrhitichthys falco</i>	Lut	<i>Lutjanus fulviflamma</i>	Sca	<i>Scarus psittacus</i>

Cir	<i>Cirrhilichthys falco</i>	Lut	<i>Lutjanus fulviflamma</i>	Sca	<i>Scarus rubroviolaceus</i>
Cir	<i>Paracirrhites forsteri</i>	Lut	<i>Lutjanus fulvus</i>	Sca	<i>Scarus schlegeli</i>
Epi	<i>Epinephelus Howlandi</i>	Lut	<i>Lutjanus russellii</i>	Sig	<i>Siganus doliatus</i>
Epi	<i>Epinephelus maculatus</i>	Lut	<i>Lutjanus vitta</i>	Sig	<i>Siganus puellus</i>
Epi	<i>Plectropomus leopardus</i>	Mic	<i>Gunnellichthys curiosus</i>	Sig	<i>Siganus punctatus</i>
Hae	<i>Plectorhinchus chaetodonoides</i>	Mon	<i>Oxymonacanthus longirostris</i>	Syn	<i>Synodus variegatus</i>
Hae	<i>Plectorhinchus lessonii</i>	Mul	<i>Parupeneus barberinoides</i>	Zan	<i>Zanclus cornutus</i>
Hae	<i>Plectorhinchus lineatus</i>	Mul	<i>Parupeneus cyclostomus</i>		

Le nombre d'espèces présentes pour chaque famille (observée depuis 2007) est donné dans le [tableau 71](#) et spécifiquement pour cette campagne sur la [figure 54](#).

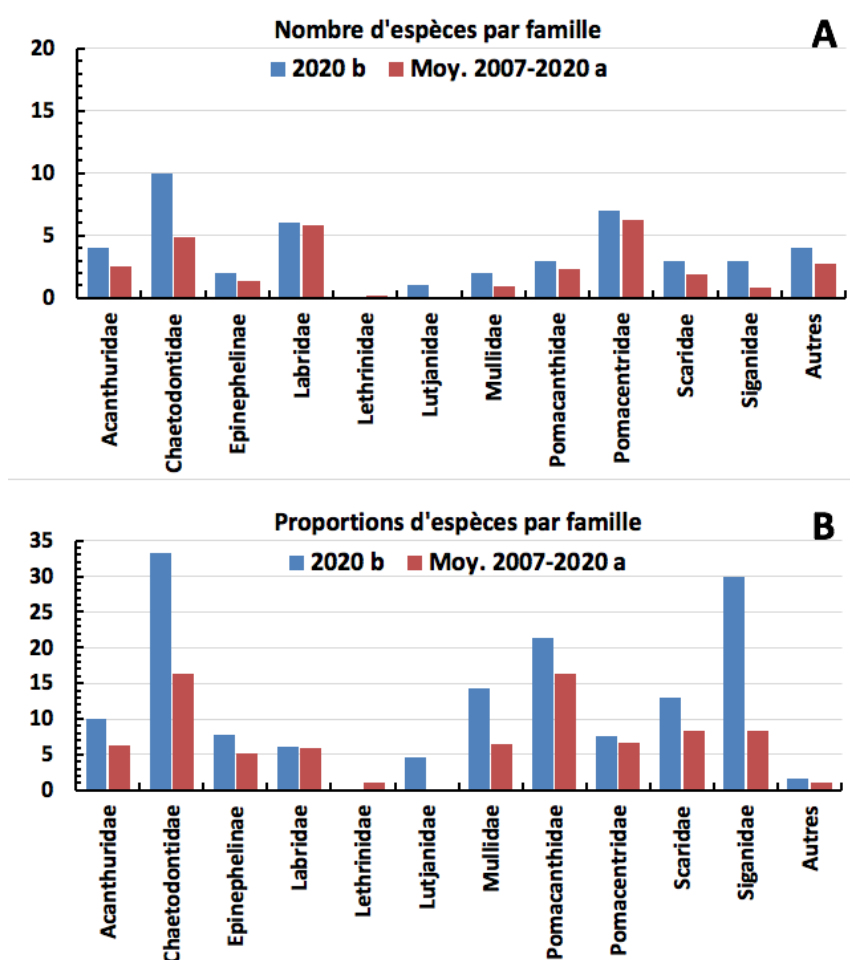


Figure 54 : Structure du peuplement pour cette mission relativement à la moyenne (ST08)

L'histogramme A compare pour une famille les effectifs vus lors de cette mission avec la moyenne et l'histogramme B compare les proportions de cet effectif vu par rapport à l'effectif total d'espèces vu pour cette même famille, sur la zone sud depuis les premières missions

Tableau 71 : Nombre d'espèces par famille ichthyologique (ST08)

Familles	Nb d'espèces vues (zone et période totale)	Nb d'espèces		Proportions	
		Campagne	Moy.	Campagne	Moy.
Acanthuridae	40	4	2,54	10,00	6,35
Chaetodontidae	30	10	4,92	33,33	16,39

Epinephelinae	26	2	1,33	7,69	5,13
Labridae	97	6	5,79	6,19	5,97
Lethrinidae	16	0	0,17	0,00	1,04
Lutjanidae	22	1	0,00	4,55	0,00
Mullidae	14	2	0,92	14,29	6,55
Pomacanthidae	14	3	2,29	21,43	16,37
Pomacentridae	92	7	6,21	7,61	6,75
Scaridae	23	3	1,92	13,04	8,33
Siganidae	10	3	0,83	30,00	8,33
Autres	257	4	2,75	1,56	1,07
Khi2 obs		8,8		24,3	
Khi2 tab				19,17	

Le récapitulatif des résultats en termes de :

- d'abondance (nombre d'individus, transects/liste restreinte),
- de densité (en poisson/m², transects/liste restreinte),
- de biomasse (en g/m², transects/liste restreinte),
- de biodiversité 1 (espèces observées sur les transects et de la liste restreinte),
- de biodiversité 2 (espèces observées sur la station (transects + complémentaires) et de la liste restreinte),
- de biodiversité 3 (toutes les espèces observées sur la station (transects + complémentaires / liste non restreinte)),

pour toutes les campagnes depuis 2007 est présenté dans le [tableau 72](#) et la [figure 55](#).

Tableau 72 : Synopsis des résultats et récapitulatif des années précédentes (ST08)

Puka ST08		Liste DENV					Toutes espèces	
		Transect TLV				Station	Station	
		Nb. ind.	Densité	Biom. g/m ²	Biodiv.1	Biodiv.2	Biodiv.3	
2020 b	Transect A	65	1,04	35,95	65			
	Transect B	98	0,87	66,24	98			
	Moy. AB	81,50	0,96	51,10	45	70	104	
2020 a	Moy. AB	54	0,45	38,91	34	70	103	
2019 b	Moy. AB	119,00	1,14	42,73	35	74	106	
2019 a	Moy. AB	81,50	0,47	12,16	32	69	101	
2018 b	Moy. AB	61,00	1,79	11,04	30	80	105	
2018 a	Moy. AB	93,00	2,16	56,60	39	70	102	
2017 b	Moy. AB	40,00	0,78	9,98	31	74	104	
2017 a	Moy. AB	61,00	1,15	56,92	31	64	88	
2016 b	Moy. AB	89,00	1,68	10,14	30	69	92	
2016 a	Moy. AB	82,00	0,94	12,41	33	71	98	
2015 b	Moy. AB	99,00	0,99	20,37	31	60	79	
2015 a	Moy. AB	109,00	1,17	27,59	38	70	101	
2014 b	Moy. AB	71,50	1,40	135,16	29	72	103	
2014 a	Moy. AB	58,00	0,47	9,29	26	58	95	
2013 b	Moy. AB	47,50	0,64	12,87	28	42	61	
2013 a	Moy. AB	78,50	0,68	27,28	26	48	76	
2012 b	Moy. AB	50,50	0,63	7,00	23	49	77	

2012 a	Moy. AB	77,00	0,70	4,93	26	64	98
2011 b	Moy. AB	85,00	1,30	39,80	33	62	101
2011 a	Moy. AB	87,50	0,68	28,37	26	48	76
2010 b	Moy. AB	31	0,46	11,73	15	32	41
2010 a	Moy. AB	91,50	3,05	57,64	29	51	80
2009	Moy. AB	55,00	3,50	53,22	28	48	66
2008	Moy. AB	45,00	1,84	87,54	30	41	68
2007	Moy. AB	64,50	2,32	67,39	28	31	44

L'écart relatif à la moyenne [$Er_i=(X_i-X_m)/X_m$] pour ces paramètres biologiques peut alors être calculé : cf. tableau 73 et représentation figure 56.

Tableau 73 : Ecart relatif à la moyenne des paramètres biologiques ichtyologiques depuis 2007 (ST08)

	Nb ind.	Densité	Biom.	Biodiv.1	Biodiv.2	Biodiv.3
Variance	491	0,66	941	34	193	366
Ecart type	22,15	0,81	30,67	5,81	13,87	19,14
Moyenne	72,50	1,25	35,69	30,24	59,52	86,72
Coef. de Var.	0,31	0,65	0,86	0,19	0,23	0,22

Commentaires :

- La densité et la biomasse présentent des valeurs hautes.
- La biodiversité est assez forte notamment sur les transects (biodiversité 1)
- Le peuplement sur les transects est composé de nombreux juvéniles.
- *Acanthurus reversus* dans le massif de *Porites lobata* n'a pas été revu, ni *Epinephelus lanceolatus* (Loche carite).

La structure spécifique du peuplement (cf. § 3.4.3) de cette mission diffère significativement de la structure historique.

La présence des nombreux et imposants massifs de *Porites* sur la zone, induit la divagation des espèces ce qui explique les changements qualitatifs importants de la B α .

Et si l'on se penche sur le détail des listes d'espèces observées, on voit par exemple :

- chez les Scaridés (poissons perroquets) *Scarus rivulatus* est toujours absent et *S. niger* est réapparu et *S. rubroviolaceus* réapparu en 2020 a est toujours là
- chez les Siganidae (Picots ou poissons lapins) *Siganus fuscescens* et *S. corallinus* sont de nouveau absents
- chez les Pomacentridae (poissons demoiselles) *Amphiprion perideraion* après une apparition en 2020 a a de nouveau disparu comme les *Chromis (margaritifer, leucura et viridis)*, et contrairement à *Plectroglyphidodon lacrymatus* et *Neopomacentrus azyron*, installés en 2019 b qui sont toujours là
- chez les Acanthuridae (poissons chirurgiens), 3 espèces, *Acanthurus nigricans*, *Acanthurus pyroferus* et *Naso litteratus* présentes en novembre 2019 sont toujours absentes. *A. nigricauda* absente depuis deux ans a réapparu
- chez les Chaetodonts (poissons papillons) *C. melannotus* re-disparait et *C. baronessa* réapparaît
- chez les Labres il y avait 19 espèces en 2019 b , 17 en 2020 a et 20 en 2020 b.

On peut penser que ces valeurs sont similaires et qu'il ne s'agit que d'aléas dus à l'observateur. C'est probable pour des genres comme *Anampses*, c'est beaucoup moins probable pour des genres comme *Bodianus*.

Ces remarques montrent à quel point les renouvellements d'espèces sur une station sont importants et que seul, un petit nombre d'espèces sont véritablement stables à l'échelle spatiale de la station.

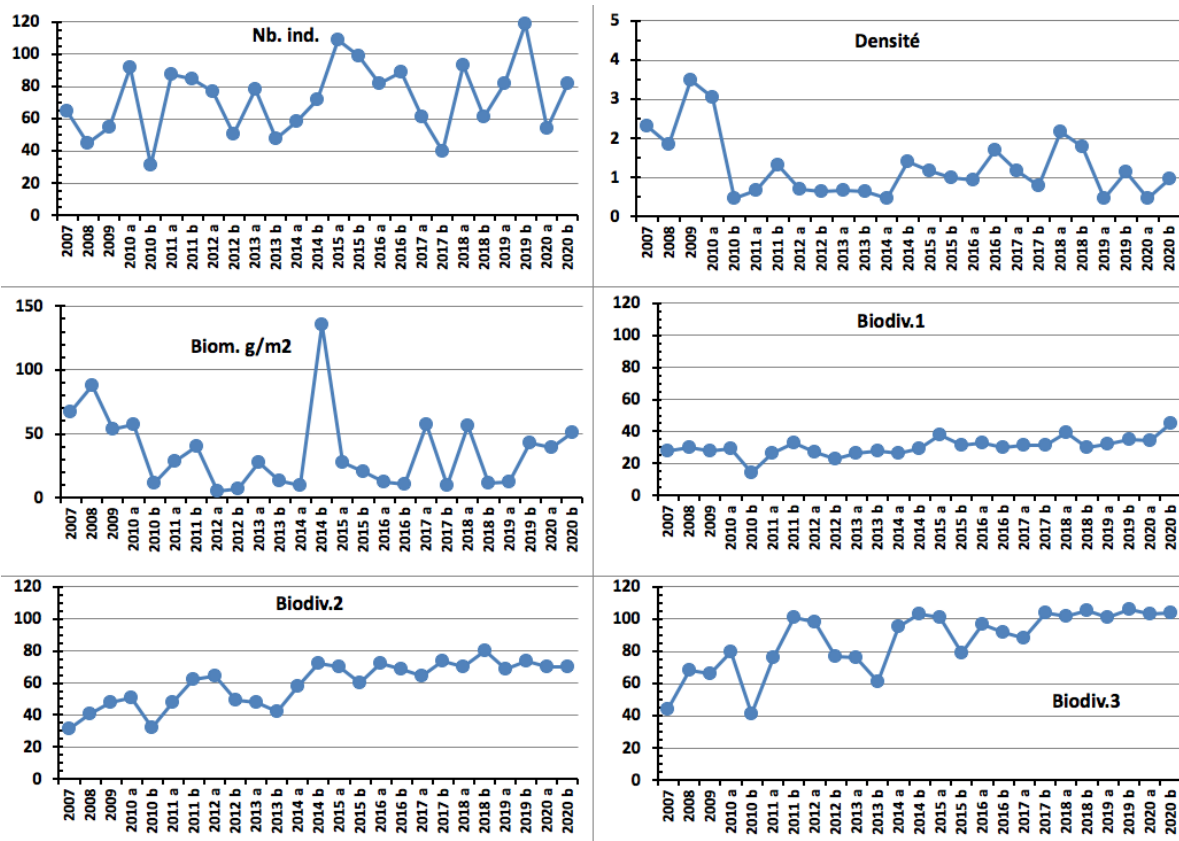


Figure 55 : Evolution des paramètres biologiques ichthyologiques depuis 2007 (ST08)

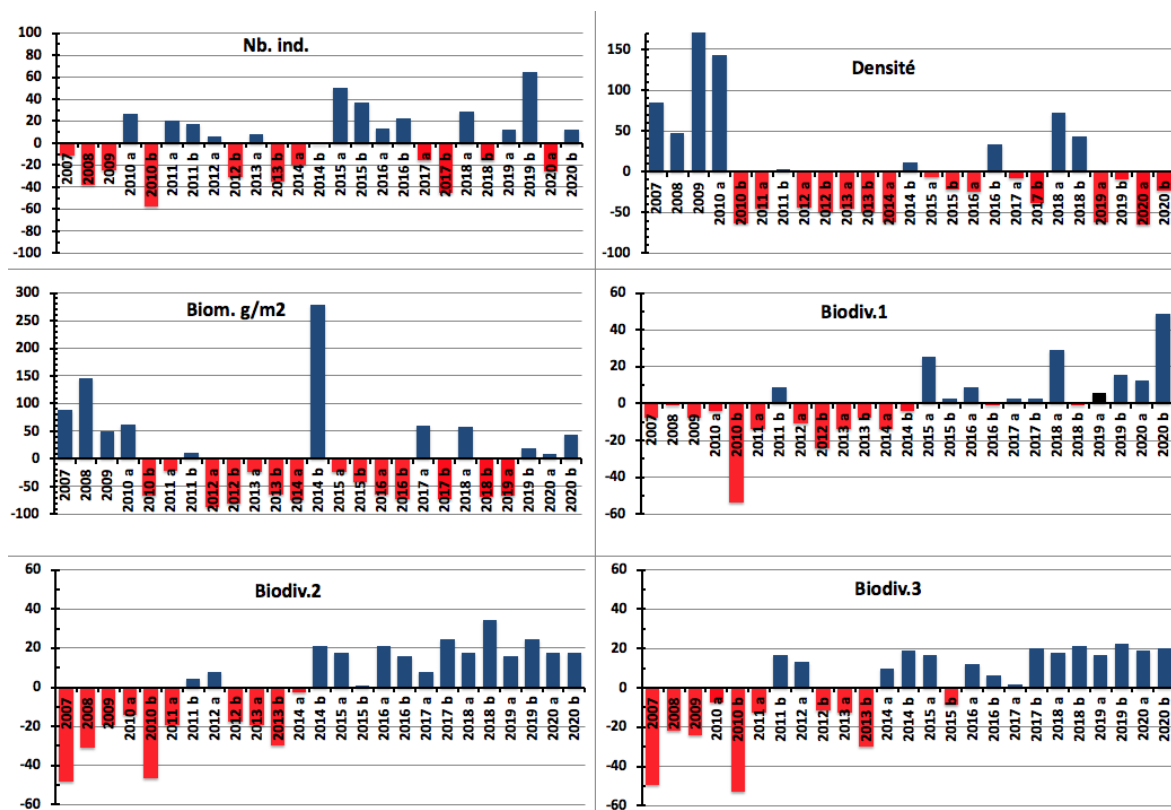


Figure 56 : Ecart relatif à la moyenne des paramètres biologiques ichthyologiques depuis 2007 (ST08)

4.9 Station 09 = Bancs Kié

Localisation géographique	Les bancs Kié sont isolés dans la partie centrale du canal de la Havannah. La station est située au sud du banc le plus ouest, qui est totalement immergé (cf. photographie 19).
Nombre transects	3 transects.
Description transects	Ils ont été positionnés à partir de la rupture de pente du récif à 7, 17 et 20 mètres de profondeur, avec une direction quasi sud-nord.
	Le transect A est installé au pied d'un petit éperon et se termine au milieu d'un sillon. Au niveau du transect B les courants de marée sont encore conséquents mais le ressac n'a plus d'influence à cette profondeur. Le transect C est situé en bas de pente.

Description générale

La partie haute du banc est à 5 mètres de profondeur. On y retrouve de grandes surfaces arasées, des colonies coralliennes robustes puis des algues résistantes au ressac et au courant comme l'espèce *Dictyosphaeria verluysii* qui est omniprésente et fixée à même la dalle puis, dans une moindre mesure, les autres genres *Asparagopsis*, *Amphiroa* et *Chlorodesmis* (caractérisant un milieu où l'hydrodynamisme est intense).

La pente est relativement abrupte (45°) et recouverte par de nombreux débris coralliens branchus. Seules les plus grosses colonies massives, branchues robustes et foliacées semblent avoir résistées au cyclone « Erica » et à la série de tempêtes et cyclones du début d'année 2011. La majorité des colonies coralliennes est de taille décimétrique.

Cette zone semble être soumise de manière quasi permanente aux très forts courants de marées auxquels se rajoutent de très violents ressacs dus aux houles fréquentes.

Caractéristiques principales

- ↗ Les conditions hydrodynamiques sont soutenues durant toute l'année (courant, ressac, houle)
- ↗ Originalité des peuplements coralliens adaptés à un milieu d'hydrodynamisme important (courant de marée, houle et ressac) :
 - Développement des gorgones depuis avril 2016
 - Développement des alcyonaires, macrophytes et ascidies (recouvrement et richesse spécifique élevée)
 - Saisonnalité des algues rouges (*Trichogloea requienii* et d'*Asparagopsis taxiformis*)
- ↗ Taille majoritairement petite des colonies. Cependant présence d'une colonie de taille métrique de *Turbinaria stellulata* en B
- ↗ La pente récifale est abrupte et la dalle est arasée par les courants de marée et la houle
- ↗ Le développement des coraux est restreint par la contrainte hydrodynamique. De nombreuses colonies coralliennes ont été retournées par les agents hydrodynamiques sur l'ensemble de la station lors de la dépression Fréda (début d'année 2013) et le passage plus ou moins éloigné du cyclone Pam. Ces colonies désolidarisées de leur substrat, dévalent progressivement la pente récifale
- ↗ Mobilité bathymétrique des échinodermes (astéries, holothuries, échinides) (diversité et abondance)
- ↗ Les crinoïdes affectionnent ce milieu balayé par les courants de marée
- ↗ Suite au blanchissement corallien du début d'année 2016, quelques colonies sont mortes en place ou nécrosées en A

Variations entre mai et octobre 2020

Indicateur Corail :

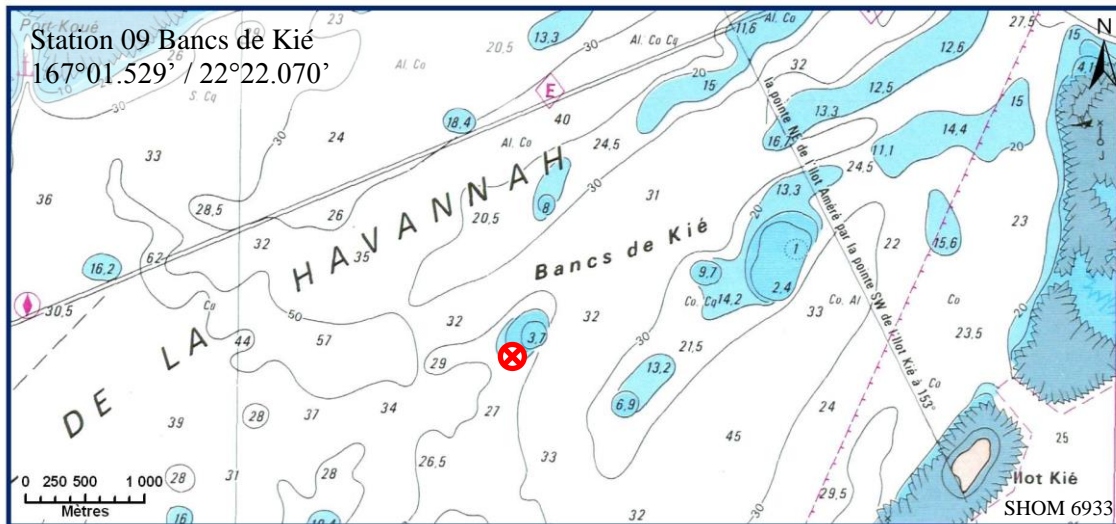
- Le recouvrement corallien est de 18% au transect A, 16% en B et 16% en C. Stable
- Blanchissement corallien (surface totale observée) : *Octobre 2015 : 0.1% ; Avril 2016 : 0.27% ; Novembre 2016 : 0.27% ; Avril 2017 : 1.1% ; Septembre 2017 : 0.2% ; Mai 2018 : 0.63% ; Novembre 2018 : 0.63% ; Avril 2019 : 0.10% ; Octobre 2019 : 0.73% ; Mai 2020 : 0.5% ; Octobre 2020 : 0.10%*
- Lésions coralliennes : des colonies coralliennes sont dégradées suite aux perturbations mécaniques, à la maladie de la bande blanche et à la prédation de corallivores :
 - Prédation des corallivores *Drupella cornus* : RAS pour cette mission
 - Maladie corallienne : la maladie de la bande blanche est observée sur une colonie en C (0.3 m²)
 - Perturbations mécaniques : les conditions hydrodynamiques sont importantes, de nombreux débris et de nombreuses colonies coralliennes ne sont plus fixées sur le substrat suite aux événements dépressionnaires

Autres indicateurs :

- Cyanobactéries : absentes en A (diminution, niveau 2 à 0) et stable en B et C (niveau 2)
- Le turf algal se développe sur les débris coralliens et la dalle
- Algue brune *Lobophora* : absente et stable
- Algue rouge *Asparagopsis taxiformis* : diminution en A (niveau 4 à 2), stable en B (niveau 2) et augmentation en C (niveau 2 à 3).
- *Cliona orientalis* : diminution en A (niveau 3 à 2) et augmentation en B (niveau 2 à 3), stable en C (niveau 3)
- *Cliona jullieni* : stable (niveau 2)

Les corallivores :

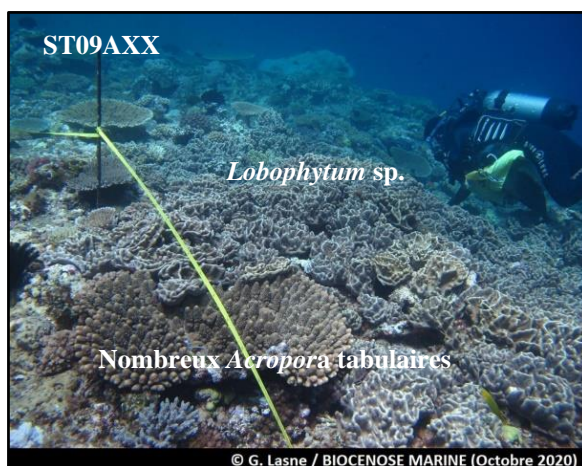
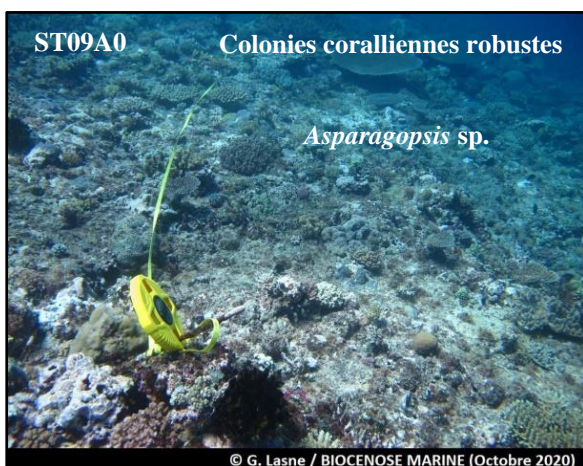
- *Acanthaster planci* et *Culcita novaeguineae* : absence, stable
- *Drupella cornus* : absence, diminution (niveau 2 à 0)



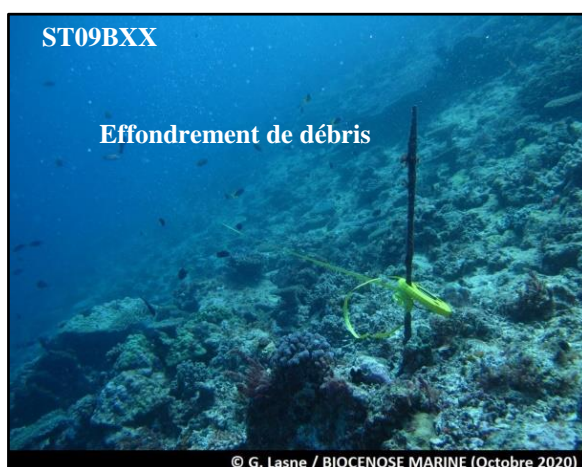
Carte 11 : Localisation de la station 09 (Bancs Kié)



Photographie 19 : Position en surface (ST09)



Les biocénoses benthiques sont robustes et adaptées aux conditions hydrodynamiques intenses toute l'année



La pente récifale a subi des effondrements de débris et de colonies plus en amont (STB&C)



Les macrophytes sont diversifiées et abondantes sur toute la station

Photographie 20 : Vue d'ensemble des transects (ST09, présente mission)

4.9.1 Le substrat (ST09)

Le pourcentage de couverture de chaque composante est donné dans la [figure 57](#) pour le transect A, dans la [figure 58](#) pour le transect B et dans la [figure 59](#) pour le transect C.

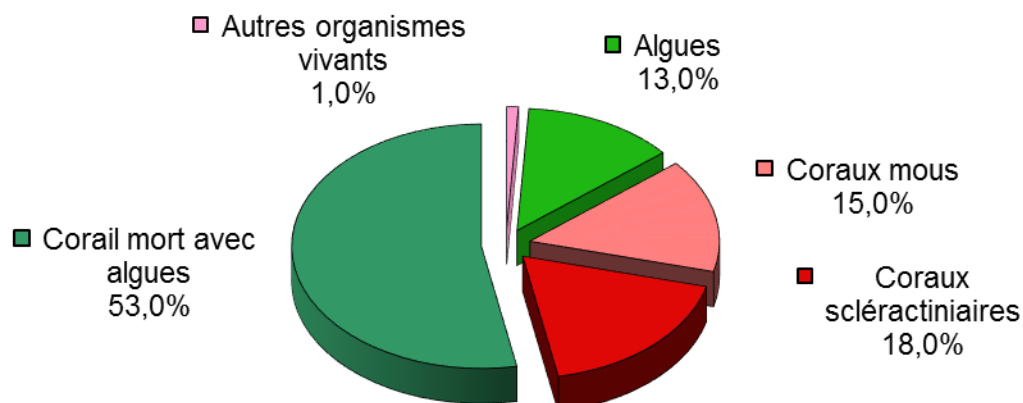


Figure 57 : Représentation du recouvrement (en %) du substrat pour ST09A

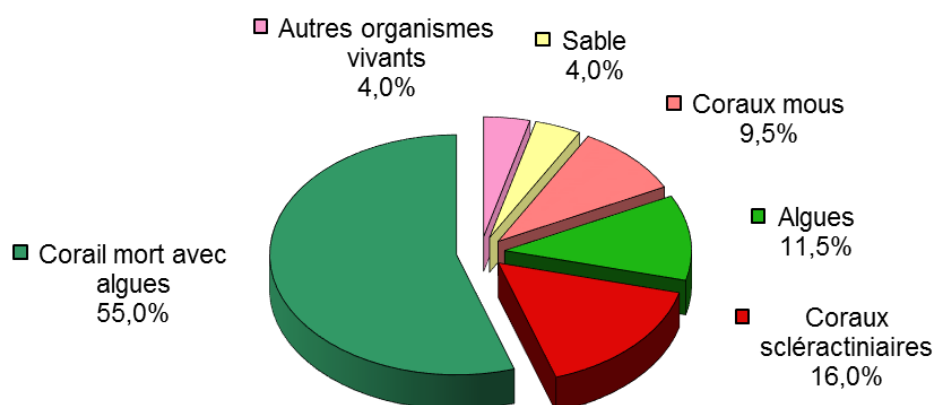


Figure 58 : Représentation du recouvrement (en %) du substrat pour ST09B

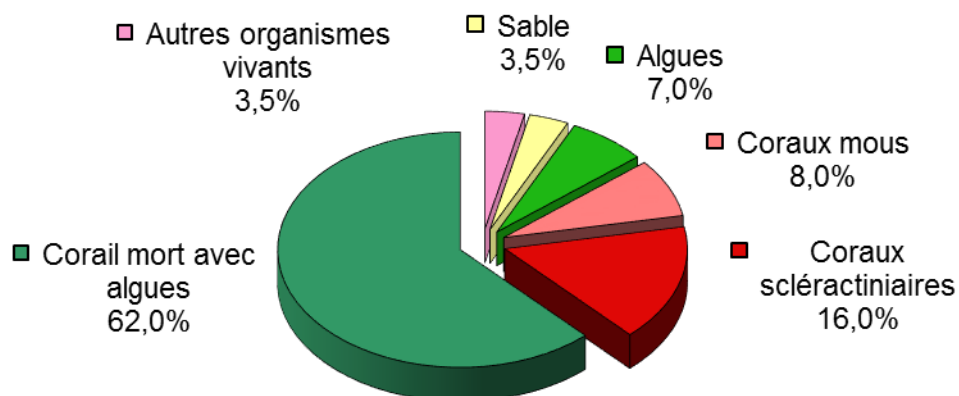


Figure 59 : Représentation du recouvrement (en %) du substrat pour ST09C

A cette station, le substrat est majoritairement composé de coraux morts encroûtés par une multitude d'organismes vivants (dont des algues calcaires) (respectivement 53%, 55%, 62%) : de ce fait, cette station est remarquable par sa couverture biotique, respectivement : 100%, 96% et 96.5%, le complément étant surtout du fait des algues. Les coraux scléactiniaires sont moyennement représentés avec respectivement 18%, 16% et 16%.

Disparition des cyanobactéries en C.

Globalement, la station est stable.

4.9.2 Le benthos (ST09)

La liste des taxons cibles (cf. § 3.2.3) échantillonnés sur cette station et la liste complète des résultats bruts sont données en annexe n°04.

En octobre 2020, la richesse spécifique de la station Bancs Kié (ST09) est composée de :

- **61 espèces d'invertébrés** dont 11 espèces de mollusques ; 14 espèces de cnidaires : alcyonaires (9 taxons), actiniaires (3 taxons), hydrozoaires (1 taxon), zoanthaires (1 taxon) ; 12 espèces d'échinodermes : échinides (5 taxons), astéries (3 taxons), holothurides (2 taxons), crinoïdes (1 taxon), ophiurides (1 taxon) ; 10 espèces d'éponges ; 12 espèces d'ascidies
- **17 espèces de macrophytes** : algues vertes (10 taxons), algues rouges (4 taxons), algues brunes (3 taxons)
- **1 espèce de cyanobactéries.**

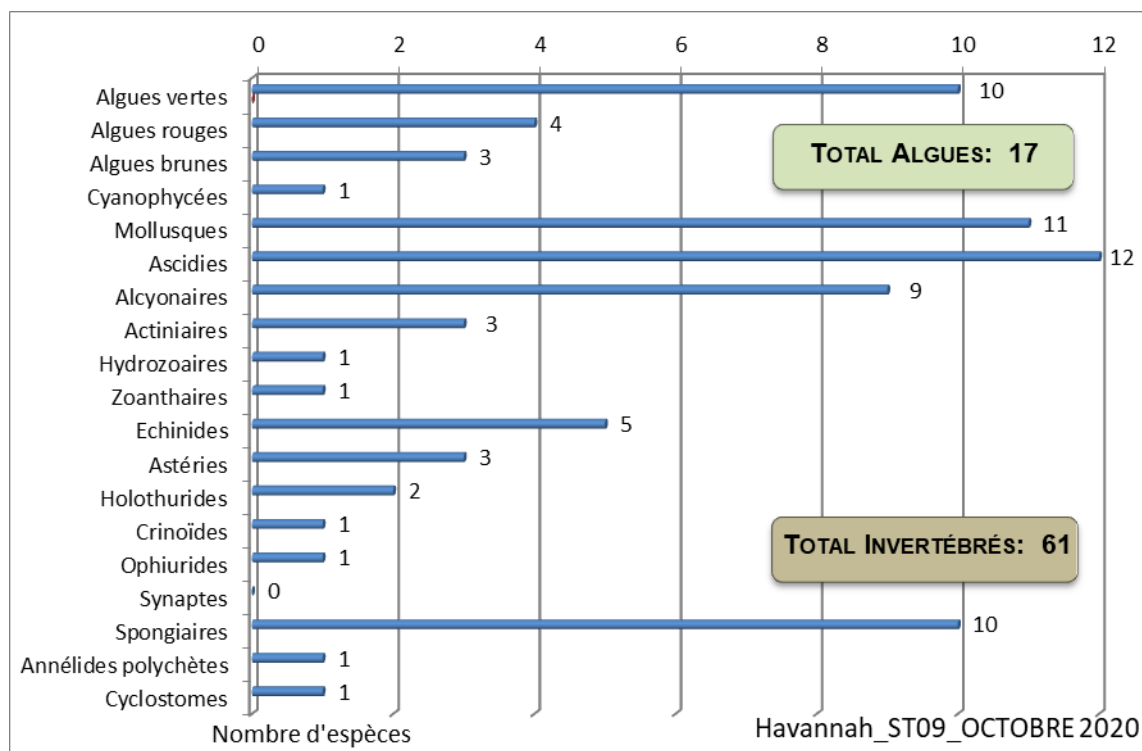


Figure 60 : Répartition par sous groupe de la richesse spécifique des macrophytes et des invertébrés (hors coraux durs) (ST09)

4.9.2.1 Benthos Transect 09 A

En octobre 2020, la richesse spécifique du transect ST09A est composée de :

- 36 espèces d'invertébrés dont 9 espèces de mollusques ; 7 espèces de cnidaires : alcyonaires (6 taxons), zoanthaires (1 taxon) ; 7 espèces d'échinodermes : astéries (2 taxons), échinides (2 taxons), crinoïdes (1 taxon), holothurides (1 taxon), ophiurides (1 taxon) ; 3 espèces d'éponges ; 8 espèces d'ascidies
- 7 espèces de macrophytes : algues vertes (4 taxons), algues rouges (2 taxons), algues brunes (1 taxon)
- **Aucun taxon n'a été recensé dans le groupe des cyanobactéries.**

Tableau 74 : Variations entre mai et octobre 2020 : Les biocénoses* (ST09A)

Evolution de la richesse spécifique des biocénoses*	Evolution de l'abondance
Algues	
2 nouvelles espèces d'algues recensées, dont 2 espèces d'algues vertes : • <i>Bornetella oligospora</i> (A2), • <i>Halimeda</i> sp. (A2) ; Aucune espèce d'algues n'a disparue.	Aucune espèce d'algues n'augmente. 2 espèces d'algues diminuent, dont l'algue rouge : • <i>Asparagopsis taxiformis</i> (A2/- 2) et l'algue verte : • <i>Dictyosphaeria verluysii</i> (A2/- 2).
Cyanobactéries	
Une espèce de cyanobactéries disparue : • <i>Phormidium</i> sp. (A0/-2).	<input checked="" type="checkbox"/>
Cnidaires	
Une espèce de cnidaires disparue : ➤ pour les hydrozoaires (-1 espèce) : •Hydrozoaires ind. (A0/-2).	Une espèce de cnidaires augmente d'abondance : ➤ pour les zoanthaires (1 espèce) : • <i>Palythoa tuberculosa</i> (A3/+ 1).
Échinodermes	
Une nouvelle espèce d'échinodermes recensée : ➤ pour les astéries (1 espèce) : • <i>Nardoa gomophia</i> (A1).	Une espèce d'échinodermes diminue d'abondance : ➤ pour les astéries (1 espèce) : • <i>Gomophia egyptiaca</i> (A1/- 1).
Mollusques	
2 nouvelles espèces de mollusques recensées : ➤ pour les gastéropodes (1 espèce) : • <i>Tectus pyramis</i> (A1) ; ➤ pour les nudibranches (1 espèce) : • <i>Notodoris citrina</i> (A2). Une espèce de mollusques disparue : ➤ pour les gastéropodes (-1 espèce) : • <i>Drupella cornus</i> (A0/-2).	Une espèce de mollusques diminue d'abondance : ➤ pour les bivalves (1 espèce) : • <i>Tridacna maxima</i> (A1/- 1).
Éponges	
2 espèces d'éponges disparues : •Spongiaires ind. (noire) (A0/-2), • <i>Sphaciospongia vagabunda</i> (A0/-2).	Une espèce d'éponges diminue d'abondance : • <i>Cliona orientalis</i> (A2/- 1).
Ascidies	
Une espèce d'ascidies disparue : • <i>Clavelina detorta</i> (A0/-2).	2 espèces d'ascidies augmentent d'abondance : • <i>Polycarpa aurita</i> (A3/+ 1), • <i>Polycarpa cryptocarpa</i> (A3/+ 1). 2 espèces d'ascidies diminuent d'abondance : •Encroûtante sp. (verte) (A2/- 1), •Encroûtante sp. (violet, blanc) (A2/- 1).
Bryozoaires	
<input checked="" type="checkbox"/>	<input checked="" type="checkbox"/>

4.9.2.2 Benthos Transect 09 B

En octobre 2020, la richesse spécifique du transect ST09B est composée de :

- 50 espèces d'invertébrés dont 7 espèces de mollusques ; 13 espèces de cnidaires : alcyonaires (8 taxons), actiniaires (3 taxons), hydrozoaires (1 taxon), zoanthaires (1 taxon) ; 11 espèces d'échinodermes : échinides (5 taxons), astéries (3 taxons), crinoïdes (1 taxon), holothurides (1 taxon), ophiurides (1 taxon) ; 7 espèces d'éponges ; 10 espèces d'ascidies
- 14 espèces de macrophytes : algues vertes (9 taxons), algues rouges (4 taxons), algues brunes (1 taxon)
- 1 espèce de cyanobactéries.

Tableau 75 : Variations entre mai et octobre 2020 : Les biocénoses* (ST09B)

Evolution de la richesse spécifique des biocénoses*	Evolution de l'abondance
Algues	
Une nouvelle espèce d'algue recensée, l'algue rouge : • <i>Trichogloea requienii</i> (A2). 4 espèces d'algues disparues, dont l'algue brune : • <i>Turbinaria ornata</i> (A0/-2) et 3 espèces d'algues rouges : • <i>Plocamium</i> sp. (A0/-2), • <i>Galaxaura</i> sp. (A0/-2), • <i>Hypnea</i> sp. (A0/-2).	Aucune espèce d'algues n'augmente. 6 espèces d'algues diminuent, dont l'algue rouge : • <i>Amphiroa</i> sp. (A2/- 1) et 5 espèces d'algues vertes : • <i>Codium platyclados</i> (A2/- 1), • <i>Codium</i> sp. (A2/- 1), • <i>Codium spongiosum</i> (A2/- 1), • <i>Bornetella oligospora</i> (A2/- 1), • <i>Neomeris vanbosseae</i> (A2/- 1).
Cyanobactéries	
<input checked="" type="checkbox"/>	<input checked="" type="checkbox"/>
Cnidaires	
Une espèce de cnidaires disparue : ➤ pour les alcyonaires (-1 espèce) : • <i>Cladiella</i> sp. (A0/-2).	2 espèces de cnidaires diminuent d'abondance : ➤ pour les alcyonaires (1 espèce) : • <i>Sarcophyton</i> sp. (A3/- 1) ; ➤ pour les hydrozoaires (1) : •Hydrozoaires ind. (A2/- 1).
Échinodermes	
2 nouvelles espèces d'échinodermes recensées : ➤ pour les astéries (2 espèces) : • <i>Gomophia egyptiaca</i> (A1), • <i>Nardoa gomophia</i> (A1). 2 espèces d'échinodermes disparues : ➤ pour les astéries (-2 espèce) : • <i>Celerina heffernani</i> (A0/-1), • <i>Fromia indica</i> (A0/-2).	2 espèces d'échinodermes augmentent d'abondance : ➤ pour les crinoïdes (1 espèce) : •Crinoïdes ind. (A4/+ 1) ; ➤ pour les échinides (1 espèce) : • <i>Diadema savignyi</i> (A2/+ 1).
Mollusques	
3 espèces de mollusques disparues : ➤ pour les bivalves (-2 espèce) : • <i>Isognomon isognomon</i> (A0/-2), • <i>Tridacna squamosa</i> (A0/-1) ; ➤ pour les gastéropodes (-1 espèce) : • <i>Drupella cornus</i> (A0/-2).	<input checked="" type="checkbox"/>
Éponges	
Une espèce d'éponges disparue : • <i>Spheciospongia vagabunda</i> (A0/-2).	2 espèces d'éponges augmentent d'abondance : • <i>Cliona orientalis</i> (A3/+ 1), •Spongiaires ind. (noire) (A3/+ 1). Une espèce d'éponges diminue d'abondance : • <i>Dysidea herbacea</i> (A1/- 1).
Ascidies	
Une nouvelle espèce d'ascidies recensée : • <i>Didemnum</i> sp. (rouge) (A2). 2 espèces d'ascidies disparues : • <i>Didemnum molle</i> (A0/-2), • <i>Clavelina detorta</i> (A0/-2).	Une espèce d'ascidies augmente d'abondance : • <i>Polycarpa aurita</i> (A3/+ 1). 4 espèces d'ascidies diminuent d'abondance : •Encroûtante sp. (verte) (A2/- 1), • <i>Polycarpa clavata</i> (A1/- 1), • <i>Polycarpa cryptocarpa</i> (A2/- 1), • <i>Polycarpa nigricans</i> (A3/- 1).
Bryozoaires	
<input checked="" type="checkbox"/>	Une espèce de bryozoaires diminue d'abondance : • <i>Alcyonidium</i> sp. (A2/- 1).

4.9.2.3 Benthos Transect 09 C

En octobre 2020, la richesse spécifique du transect ST09C est composée de :

- 43 espèces d'invertébrés dont 4 espèces de mollusques ; 11 espèces de cnidaires : alcyonaires (8 taxons), actiniaires (1 taxon), hydrozoaires (1 taxon), zoanthaires (1 taxon) ; 8 espèces d'échinodermes : échinides (4 taxons), astéries (2 taxons), crinoïdes (1 taxon), ophiurides (1 taxon) ; 9 espèces d'éponges ; 9 espèces d'ascidies
- 10 espèces de macrophytes : algues vertes (6 taxons), algues brunes (2 taxons), algues rouges (2 taxons)
- 1 espèce de cyanobactéries.

Tableau 76 : Variations entre mai et octobre 2020 : Les biocénoses* (ST09C)

Evolution de la richesse spécifique des biocénoses*	Evolution de l'abondance
Algues	
Une nouvelle espèce d'algue recensée, l'algue brune : • <i>Padina</i> sp. (A2). 2 espèces d'algues disparues, dont 2 espèces d'algues rouges : • <i>Plocamium</i> sp. (A0/-2), • <i>Hypnea</i> sp. (A0/-2).	Une espèce d'algue recensée, l'algue rouge : • <i>Asparagopsis taxiformis</i> (A3/+ 1). 4 espèces d'algues diminuent, dont 4 espèces d'algues vertes : • <i>Codium platyclados</i> (A2/- 1), • <i>Codium</i> sp. (A2/- 1), • <i>Codium spongiosum</i> (A2/- 1), • <i>Bornetella oligospora</i> (A2/- 1).
Cyanobactéries	
<input checked="" type="checkbox"/>	<input checked="" type="checkbox"/>
Cnidaires	
Une espèce de cnidaires disparue : ➤ pour les alcyonaires (-1 espèce) : • <i>Cladiella</i> sp. (A0/-2).	2 espèces de cnidaires diminuent d'abondance : ➤ pour les alcyonaires (1 espèce) : • <i>Dendronephthya</i> sp. (A4/- 1) ; ➤ pour les hydrozoaires (1 espèce) : •Hydrozoaires ind. (A2/- 1).
Échinodermes	
2 nouvelles espèces d'échinodermes recensées : ➤ pour les astéries (1 espèce) : • <i>Gomophia egyptiaca</i> (A2) ; ➤ pour les échinides (1 espèce) : • <i>Echinometra mathaei</i> (A2). 2 espèces d'échinodermes disparues : ➤ pour les astéries (-2 espèce) : • <i>Fromia indica</i> (A0/-2), • <i>Fromia monilis</i> (A0/-1).	<input checked="" type="checkbox"/>
Mollusques	
<input checked="" type="checkbox"/>	<input checked="" type="checkbox"/>
Éponges	
<input checked="" type="checkbox"/>	Une espèce d'éponges augmente d'abondance : • <i>Dysidea arenaria</i> (A2/+ 1).
Ascidies	
Une espèce d'ascidies disparue : • <i>Didemnum molle</i> (A0/-3).	Une espèce d'ascidies augmente d'abondance : • <i>Polycarpa aurita</i> (A3/+ 1). 2 espèces d'ascidies diminuent d'abondance : • <i>Polycarpa cryptocarpa</i> (A2/- 2), • <i>Polycarpa nigricans</i> (A4/- 1).
Bryozoaires	
<input checked="" type="checkbox"/>	Une espèce de bryozoaires diminue d'abondance : • <i>Alcyonidium</i> sp. (A2/- 1).

4.9.3 Les poissons (ST09)

La liste des espèces observées¹³ sur les transects et les résultats bruts sont fournis dans le tableau 77.

Tableau 77 : Données sur les poissons (ST09)

Bancs Kié ST09		Transect			Transect			Transect			Station		
Fam	Espèces	A			B			C			Moyenne		
		Nb	Dens	Biom	Nb	Dens	Biom	Nb	Dens	Biom	Nb	Dens	Biom
Aca	<i>Acanthurus mata</i>				7	0,06	2,02				2,33	0,02	0,67
Aca	<i>Acanthurus olivaceus</i>				1	0,01	0,68				0,33	0,00	0,23
Aca	<i>Ctenochaetus cyanocheilus</i>				2	0,02	0,69				0,67	0,01	0,23
Aca	<i>Ctenochaetus striatus</i>				1	0,01	0,27	3	0,02	1,18	1,33	0,01	0,48
Aca	<i>Zebрасoma scopas</i>				1	0,01	0,12				0,33	0,00	0,04
Ant	<i>Pseudanthias cooperi</i>	5	0,06	0,64							1,67	0,02	0,21
Ant	<i>Pseudanthias hypselosoma</i>							10	0,08	0,85	3,33	0,03	0,28
Ant	<i>P. pleurotaenia</i>	10	0,13	2,50	10	0,10	2,00	10	0,08	1,67	10,00	0,10	2,06
Ant	<i>P. squamipinnis</i>	10	0,13	0,54							3,33	0,04	0,18
Cha	<i>Chaetodon auriga</i>	2	0,03	0,26	1	0,01	0,04				1,00	0,01	0,10
Cha	<i>Chaetodon citrinellus</i>	2	0,03	0,06	2	0,02	0,05				1,33	0,02	0,04
Cha	<i>Chaetodon kleinii</i>	3	0,04	0,09				4	0,03	0,14	2,33	0,02	0,08
Cha	<i>Chaetodon melannotus</i>	2	0,03	0,11							0,67	0,01	0,04
Cha	<i>Chaetodon plebeius</i>							2	0,02	0,07	0,67	0,01	0,02
Cha	<i>Chaetodon trifascialis</i>	2	0,03	0,03	2	0,02	0,05				1,33	0,02	0,03
Cha	<i>Heniochus acuminatus</i>	1	0,01	0,43							0,33	0,00	0,14
Epi	<i>Cephalopholis boenak</i>				1	0,01	0,12				0,33	0,00	0,04
Epi	<i>Cephalopholis urodeta</i>				2	0,02	0,69				0,67	0,01	0,23
Lab	<i>Cheilinus chlorourus</i>	1	0,01	0,33	1	0,01	0,46				0,67	0,01	0,26
Lab	<i>Cheilinus undulatus</i>	1	0,01	13,72							0,33	0,00	4,57
Lab	<i>Gomphosus varius</i>	2	0,03	0,17							0,67	0,01	0,06
Lab	<i>Halichoeres hortulanus</i>	1	0,01	0,43							0,33	0,00	0,14
Lab	<i>Novaculichthys taeniourus</i>	1	0,01	0,84							0,33	0,00	0,28
Lab	<i>Thalassoma hardwicke</i>	3	0,04	0,38							1,00	0,01	0,13
Lab	<i>Thalassoma lunare</i>	5	0,06	0,27	4	0,04	0,41	4	0,03	0,23	4,33	0,05	0,30
Lab	<i>Thalassoma lutescens</i>	5	0,06	0,43	5	0,05	0,51				3,33	0,04	0,31
Lut	<i>Lutjanus bohar</i>							1	0,01	8,00	0,33	0,00	2,67
Mul	<i>Parupeneus barberinus</i>				2	0,02	0,88	2	0,02	0,44	1,33	0,01	0,44
Mul	<i>Parupeneus multifasciatus</i>	3	0,04	2,53							1,00	0,01	0,84
Nem	<i>Scolopsis bilineatus</i>	2	0,03	0,86	4	0,04	1,06	4	0,03	1,15	3,33	0,03	1,03
Poc	<i>Centropyge bicolor</i>	2	0,03	0,06	1	0,01	0,02	3	0,03	0,06	2,00	0,02	0,05
Poc	<i>Centropyge bispinosa</i>	2	0,03	0,06	3	0,03	0,08	4	0,03	0,04	3,00	0,03	0,06
Poc	<i>Centropyge flavissima</i>	3	0,04	0,16				2	0,02	0,07	1,67	0,02	0,08
Poc	<i>Centropyge tibicen</i>	4	0,05	0,13	2	0,02	0,05	3	0,03	0,03	3,00	0,03	0,07
Pom	<i>Amphiprion chrysopterus</i>	6	0,08	0,19	5	0,05	0,13				3,67	0,04	0,10
Pom	<i>Chromis funea</i>	15	0,19	0,24	10	0,10	0,13	20	0,17	0,21	15,00	0,15	0,19
Pom	<i>Chromis viridis</i>	20	0,25	0,14							6,67	0,08	0,05
Pom	<i>Chrysiptera rollandi</i>				4	0,04	0,02				1,33	0,01	0,01
Pom	<i>Chrysiptera taupou</i>	4	0,05	0,03	5	0,05	0,03	5	0,04	0,05	4,67	0,05	0,04
Pom	<i>Dascyllus reticulatus</i>	5	0,06	0,03	10	0,10	0,05	10	0,08	0,05	8,33	0,08	0,04
Pom	<i>Dascyllus trimaculatus</i>	2	0,03	0,03	5	0,05	0,06	10	0,08	0,36	5,67	0,05	0,15
Pom	<i>Pomacentrus moluccensis</i>	4	0,05	0,06							1,33	0,02	0,02
Pom	<i>Stegastes aureus</i>	2	0,03	0,17							0,67	0,01	0,06
Pom	<i>Stegastes gascoynei</i>				2	0,02	0,14	5	0,04	0,83	2,33	0,02	0,32
Sca	<i>Chlorurus sordidus</i>	6	0,08	4,12	4	0,04	1,38				3,33	0,04	1,83
Sca	<i>Scarus forsteni</i>	1	0,01	1,71							0,33	0,00	0,57
Sca	<i>Scarus ghobban</i>				1	0,01	2,30				0,33	0,00	0,77
Sca	<i>Scarus schlegeli</i>							2	0,01	9,53	0,67	0,00	3,18

¹³ Données par rapport à la liste restreinte du cahier des charges, cf. annexe n°01

Sig	<i>Siganus argenteus</i>	10	0,13	8,44							3,33	0,04	2,81
Total		147	1,84	40,21	98	0,96	14,44	104	0,86	24,98	116,33	1,22	26,54
Biodiversité		34			28			19			49		
Indice de Shannon =		4,899											
Equitabilité =		0,873											

Sur l'ensemble des transects de la station, 349 individus appartenant à 49 espèces différentes ont pu être observés. Ils représentent une densité de 1.22 poissons/m² pour une biomasse de 26.54 g/m².

78 espèces complémentaires (e.g. hors des transects et hors liste restreinte [*en rouge*]) ont été observées sur la station (cf. [tableau 78](#)).

Tableau 78 : Liste des espèces complémentaires (ST09)

Fam	Espèces	Fam	Espèces	Fam	Espèces
Aca	<i>Acanthurus mata</i>	Lab	<i>Anampses melanurus</i>	Pom	<i>Amphiprion chrysopterus</i>
Aca	<i>Acanthurus olivaceus</i>	Lab	<i>Cheilinus chlorourus</i>	Pom	<i>Chromis atripes</i>
Aca	<i>Ctenochaetus cyanocheilus</i>	Lab	<i>Cheilinus undulatus</i>	Pom	<i>Chromis fumea</i>
Aca	<i>Ctenochaetus striatus</i>	Lab	<i>Cirrhilabrus punctatus</i>	Pom	<i>Chromis leucura</i>
Aca	<i>Zebrasoma scopas</i>	Lab	<i>Coris batuensis</i>	Pom	<i>Chromis viridis</i>
Ant	<i>Pseudanthias cooperi</i>	Lab	<i>Gomphosus varius</i>	Pom	<i>Chrysiptera rollandi</i>
Ant	<i>Pseudanthias hypselosoma</i>	Lab	<i>Halichoeres argus</i>	Pom	<i>Chrysiptera starcki</i>
Ant	<i>Pseudanthias pleurotaenia</i>	Lab	<i>Halichoeres hortulanus</i>	Pom	<i>Chrysiptera taupou</i>
Ant	<i>Pseudanthias squamipinnis</i>	Lab	<i>Novaculichthys taeniourus</i>	Pom	<i>Dascyllus reticulatus</i>
Bal	<i>Sufflamen fraenatus</i>	Lab	<i>Stethojulis bandanensis</i>	Pom	<i>Dascyllus trimaculatus</i>
Cha	<i>Chaetodon auriga</i>	Lab	<i>Thalassoma hardwicke</i>	Pom	<i>Neoglyphidodon nigroris</i>
Cha	<i>Chaetodon citrinellus</i>	Lab	<i>Thalassoma lunare</i>	Pom	<i>Plectroglyphidodon johnstonianus</i>
Cha	<i>Chaetodon kleinii</i>	Lab	<i>Thalassoma lutescens</i>	Pom	<i>Plectroglyphidodon lacrymatus</i>
Cha	<i>Chaetodon melannotus</i>	Lut	<i>Lutjanus bohar</i>	Pom	<i>Pomacentrus coelestis</i>
Cha	<i>Chaetodon mertensii</i>	Mul	<i>Parupeneus barberinus</i>	Pom	<i>Pomacentrus moluccensis</i>
Cha	<i>Chaetodon pelewensis</i>	Mul	<i>Parupeneus cyclostomus</i>	Pom	<i>Pomacentrus simsiang</i>
Cha	<i>Chaetodon plebeius</i>	Mul	<i>Parupeneus multifasciatus</i>	Pom	<i>Stegastes aureus</i>
Cha	<i>Chaetodon trifascialis</i>	Nem	<i>Pentapodus aureofasciatus</i>	Pom	<i>Stegastes gascoynei</i>
Cha	<i>Heniochus acuminatus</i>	Nem	<i>Scolopsis bilineatus</i>	Sca	<i>Cetoscarus ocellatus</i>
Cir	<i>Cirrhitichthys falco</i>	Pin	<i>Parapercis hexophthalma</i>	Sca	<i>Chlorurus sordidus</i>
Cir	<i>Paracirrhites forsteri</i>	Poc	<i>Apolemichthys trimaculatus</i>	Sca	<i>Scarus forsteni</i>
Epi	<i>Cephalopholis boenak</i>	Poc	<i>Centropyge bicolor</i>	Sca	<i>Scarus ghobban</i>
Epi	<i>Cephalopholis urodeta</i>	Poc	<i>Centropyge bispinosa</i>	Sca	<i>Scarus schlegeli</i>
Epi	<i>Variola louti</i>	Poc	<i>Centropyge flavissima</i>	Sig	<i>Siganus argenteus</i>
Epi	<i>Plectropomus leopardus</i>	Poc	<i>Centropyge tibicen</i>	Syn	<i>Saurida gracilis</i>
Lab	<i>Anampses femininus</i>	Pom	<i>Amblyglyphidodon leucogaster</i>	Tet	<i>Arothron meleagris</i>

Le nombre d'espèces présentes pour chaque famille (observée depuis 2007) est donné dans le [tableau 79](#) et spécifiquement pour cette campagne sur la [figure 61](#).

Tableau 79 : Nombre d'espèces par famille ichthyologique (ST09)

Familles	Nb d'espèces vues (zone et période totale)	Nb d'espèces		Proportions	
		Campagne	Moy.	Campagne	Moy.
Acanthuridae	40	5	5,96	12,50	14,90
Chaetodontidae	30	7	7,42	23,33	24,72
Epinephelinae	26	2	2,88	7,69	11,06

Labridae	97	8	8,21	8,25	8,46
Lethrinidae	16	0	0,08	0,00	0,52
Lutjanidae	22	1	0,29	4,55	1,33
Mullidae	14	2	1,29	14,29	9,23
Pomacanthidae	14	4	4,58	28,57	32,74
Pomacentridae	92	10	5,58	10,87	6,07
Scaridae	23	4	3,46	17,39	15,04
Siganidae	10	1	0,75	10,00	7,50
Autres	257	5	6,04	1,95	2,35
Khi2 obs		6,3		17,3	
Khi2 tab				19,7	

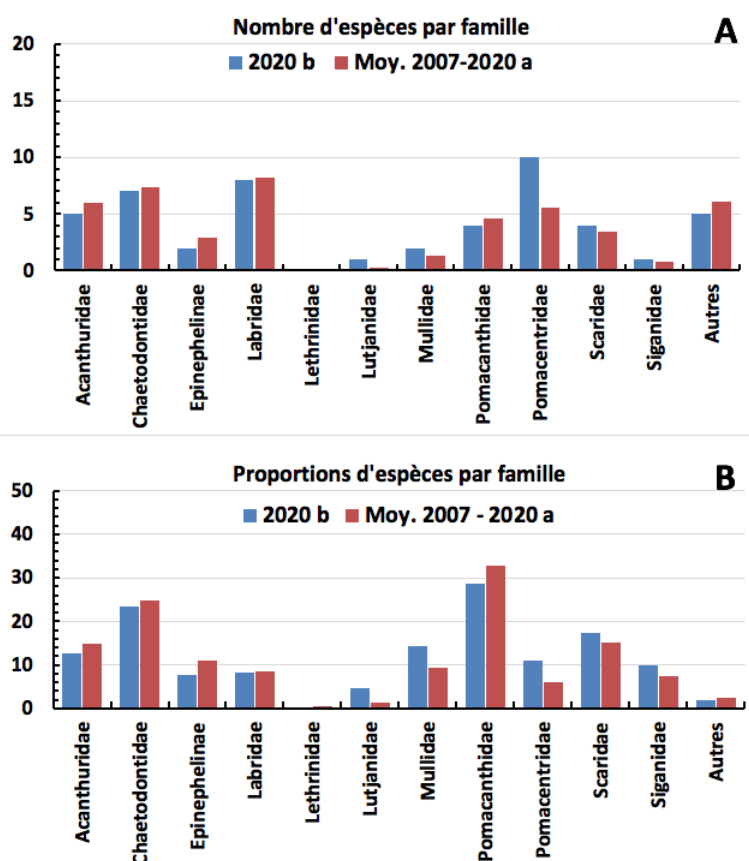


Figure 61 : Structure du peuplement pour cette mission relativement à la moyenne (ST09)

L'histogramme A compare pour une famille les effectifs vus lors de cette mission avec la moyenne et l'histogramme B compare les proportions de cet effectif vu par rapport à l'effectif total d'espèces vu pour cette même famille, sur la zone sud depuis les premières missions

Le récapitulatif des résultats en termes de :

- d'abondance (nombre d'individus, transects/liste restreinte),
- de densité (en poisson/m², transects/liste restreinte),
- de biomasse (en g/m², transects/liste restreinte),
- de biodiversité 1 (espèces observées sur les transects et de la liste restreinte),
- de biodiversité 2 (espèces observées sur la station (transects + complémentaires) et de la liste restreinte),
- de biodiversité 3 (toutes les espèces observées sur la station (transects + complémentaires / liste non restreinte)),

pour toutes les campagnes depuis 2007 est présenté dans le tableau 80 et la figure 62.

Tableau 80 : Synopsis des résultats et récapitulatif des années précédentes (ST09)

Peuplement de poissons ST09 – Bancs Kié		Liste DENV					Toutes espèces	
		Transect TLV				Station	Station	
		Nb. ind.	Densité	Biom. g/m ²	Biodiv.1	Biodiv.2	Biodiv.3	
2020 b	Transect A	147	1,84	40,21				
	Transect B	98	0,96	14,44				
	Transect C	104	0,86	24,98				
	Moy. ABC	116,33	1,22	26,54	49	56	78	
2020 a	Moy. ABC	141,67	1,42	54,97	57	71	99	
2019 b	Moy. ABC	130,33	1,69	20,00	50	72	102	
2019 a	Moy. ABC	217,67	3,18	117,79	55	81	114	
2018 b	Moy. ABC	151,00	1,88	13,76	51	71	96	
2018 a	Moy. ABC	203,67	5,09	218,00	68	83	121	
2017 b	Moy. ABC	174,33	2,42	64,47	64	86	116	
2017 a	Moy. ABC	188	2,35	39,59	52	77	114	
2016 b	Moy. ABC	212,00	2,65	29,76	46	83	119	
2016 a	Moy. ABC	209,00	2,64	75,42	49	82	117	
2015 b	Moy. ABC	183,33	1,95	149,23	50	84	113	
2015 a	Moy. ABC	230,67	1,65	158,28	62	81	118	
2014 b	Moy. ABC	208,00	3,20	376,55	52	72	117	
2014 a	Moy. ABC	115,33	1,44	108,69	39	68	113	
2013 b	Moy. ABC	161,33	1,71	79,14	47	70	98	
2013 a	Moy. ABC	244,00	3,04	40,63	43	82	98	
2012 b	Moy. ABC	157,67	1,96	99,48	37	66	95	
2012 a	Moy. ABC	176,67	2,18	96,25	45	75	100	
2011 b	Moy. ABC	117,00	1,42	118,86	48	66	91	
2011 a	Moy. ABC	154,00	1,81	593,06	43	58	89	
2010 b	Moy. ABC	133	1,35	10,62	28	53	75	
2010 a	Moy. ABC	61,33	1,66	303,36	34	43	66	
2009	Moy. ABC	22	4,01	62,69	35	58	60	
2008	Moy. ABC	208,67	4,21	273,92	32	50	62	
2007	Moy. ABC	145,33	4,13	607,71	36	48	55	

L'écart relatif à la moyenne [$E_{ri} = (X_i - X_m) / X_m$] pour ces paramètres biologiques peut alors être calculé : cf. tableau 81 et représentation figure 63.

Tableau 81 : Ecart relatif à la moyenne des paramètres biologiques ichtyologiques depuis 2007 (ST09)

	Nb ind.	Densité	Biom.	Biodiv.1	Biodiv.2	Biodiv.3
Variance	2 816	1,12	27 045	103	161	419
Ecart type	53,07	1,06	164,45	10,14	12,68	20,47
Moyenne	162,29	2,41	149,48	46,92	69,60	96,88
Coef. de Var.	0,33	0,44	1,10	0,22	0,18	0,21

Commentaires :

La densité et la biomasse présentent des valeurs très faibles et les paramètres de biodiversité présentent des valeurs faibles. La structure du peuplement de cette campagne ne diffère pas significativement de la structure moyenne obtenue sur la période de suivi (cf. § 3.4.3).

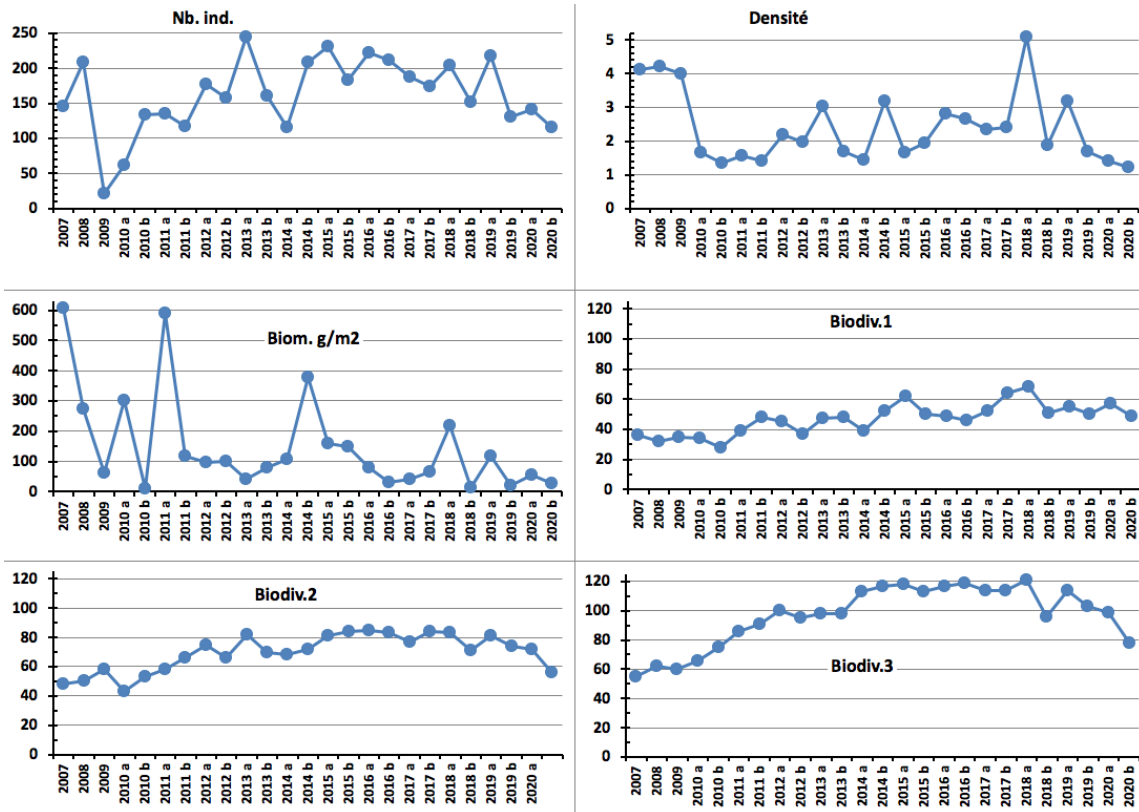


Figure 62 : Evolution des paramètres biologiques ichthyologiques depuis 2007 (ST09)

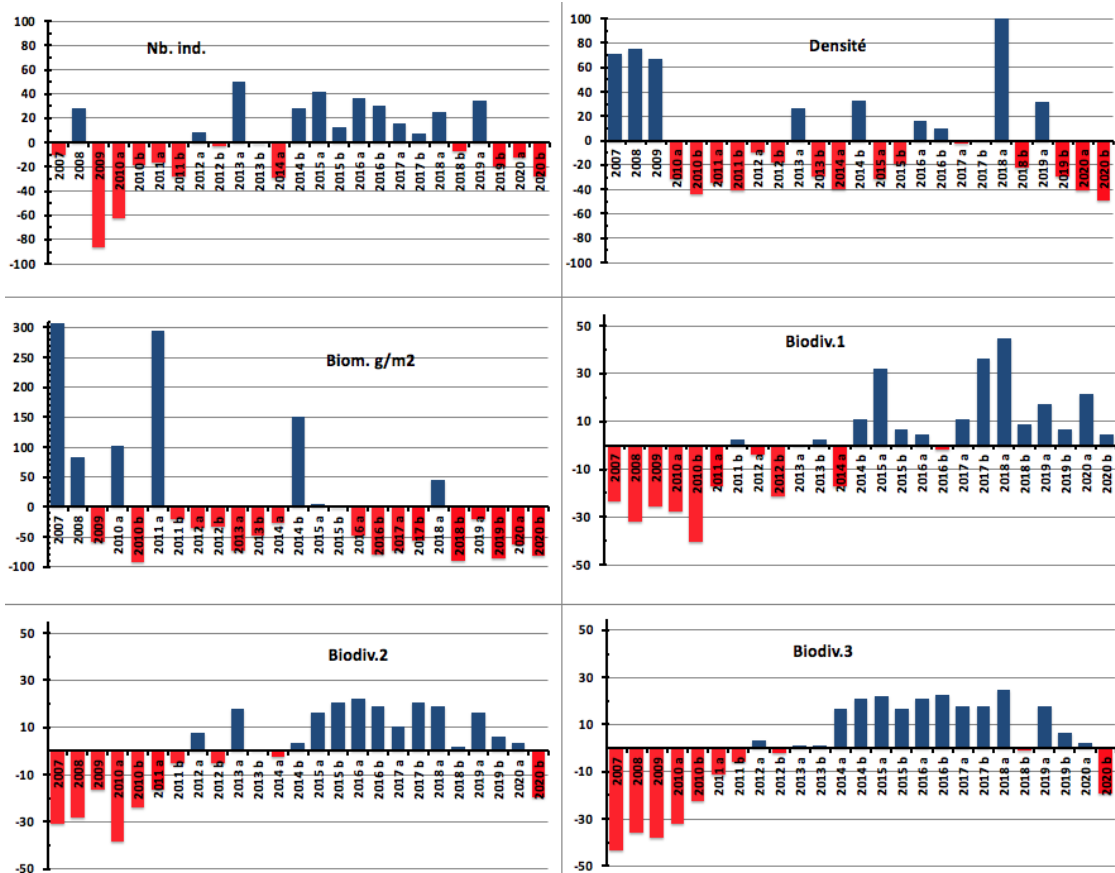


Figure 63 : Ecart relatif à la moyenne des paramètres biologiques ichthyologiques depuis 2007 (ST09)

4.10 Station 10 = Ilot Kié

Localisation géographique	Partie nord-ouest de l'îlot Kié (photographie 21). Un piquet placé sur un éperon à 3 m de profondeur permet de la repérer facilement depuis la surface à la nage.
Nombre transects	3 transects.
Description transects	Ils ont été positionnés sur le front récifal du récif frangeant de l'îlot à 10, 16 et 21 mètres de profondeur dans un alignement du nord-est vers le sud-ouest.
	Le transect A est disposé perpendiculairement à la pente du récif frangeant au pied d'un éperon et d'un sillon. Le transect B est installé 5 ou 6 m avant la fin de la pente récifale. Il s'agit d'une pente entre 10 et 22 m de profondeur inclinée à 40-45°. Le transect C se situe à la rupture entre le bas du tombant récifal et le début de la pente sédimentaire. C'est une zone d'accumulation de débris et de blocs coralliens provenant du récif. La pente sédimentaire a une inclinaison douce. Cette dernière est composée de sable coquillé et de débris coralliens qui deviennent de moins en moins abondants en fonction de l'éloignement du récif. Quelques grands massifs se répartissent à proximité du tombant récifal mais leur recouvrement en organismes benthiques est faible.

Description générale

Elle est abritée des alizés et le rhéodynamisme est important. De nombreuses dégradations ont été constatées suite aux événements cycloniques du début d'année 2011. Cependant, la station du récif frangeant de l'îlot Kié (transects A & B) est caractérisée par la plus grande richesse spécifique corallienne et le plus important taux de recouvrement corallien des 12 stations étudiées.

La zone présente une alternance d'éperons et de sillons, atteignant 8 à 10 mètres de profondeur. Les sillons sont relativement étroits (environ 5 à 6 m) et les éperons plus larges (10 à 15 m).

L'îlot Kié est situé dans le canal de la Havannah dans la réserve intégrale Yves Merlet. Il faut demander une dérogation à la Province Sud avant de pouvoir étudier cette station. Tout accès et tout passage de navire ou d'embarcation est interdit, a fortiori la récolte, la pêche ou la cueillette de tout minéral, animal ou végétal.

Caractéristiques principales

- ↪ La richesse spécifique et le recouvrement des coraux sont très élevés sur les niveaux bathymétriques supérieur et médian ; Le transect A est au 1^{er} rang de tous les transects du réseau
- ↪ Dégradation des communautés benthiques sur l'ensemble de la station lors des événements dépressionnaires du début d'année 2011, 2013 et 2015
- ↪ Perturbations importantes du corallivore *Drupella cornus* sur les colonies coralliennes depuis avril 2014
- ↪ Selon les missions un dépôt d'origine carbonatée est présent sur quelques colonies mais ce dernier est remobilisé rapidement par les courants de marée
- ↪ Présence d'espèce rare de *Gardineroseris planulata* et *Podabacia crustacea*
- ↪ Abondance des genres coralliens *Acropora*, *Goniopora* et *Alveopora*
- ↪ Les crinoïdes sont relativement abondantes aux transects A et B
- ↪ Une espèce d'*Alveopora* paraît très sensible aux variations de l'environnement (température, salinité, UV) : plusieurs colonies sont blanchies régulièrement, pour tous les transects. Cela ne semble pas avoir d'incidence sur sa vitalité car elle réintègre des zooxanthelles lors des missions suivantes
- ↪ Développement faible de l'algue brune *Lobophora variegata*. Elle colonise quelques colonies d'*Acropora* branchus
- ↪ Mobilité bathymétrique des échinodermes (astéries, holothuries, échinides) et des mollusques

Variations entre mai et octobre 2020

Indicateur Corail :

- Le recouvrement corallien est de 73.5% au transect A (1^{er} rang du réseau et meilleur score tous transects), 35.5% en B (1^{er} rang du réseau) et 7.5% en C. Stable. La moyenne sur la station est de 38.8%, ce qui la place au 1^{er} rang
- Blanchissement corallien (% moyen de la surface totale observée par station) : *Octobre 2015 : 0.87% ; Avril 2016 : 1.2% ; Novembre 2016 : 0.53% ; Avril 2017 : n.a ; Septembre 2017 : n.a ; Mai 2018 : n.a ; Novembre 2018 : n.a ; Avril 2019 : n.a ; Octobre 2019 : n.a ; Mai 2020 : 2.4% ; Octobre 2020 : 0.27%*

- Lésions coralliennes : des colonies coralliennes sont dégradées suite à la maladie de la bande blanche et à la prédation de corallivore et aux variations des paramètres de l'environnement (T°C, S%, UV) :

- Prédation des corallivores *Drupella cornus* : en A : 0.3 m² de coraux blanchis sans polype
- Maladie corallienne : la maladie de la bande blanche se développe sur les *Acropora* spp. (tabulaire) pour le niveau bathymétrique inférieur : 0.5 m² de coraux blanchis sans polype
- Variation des paramètres de l'environnement (T°C, S%, UV) : RAS pour cette mission
- Perturbations mécaniques et sédimentaires : RAS pour cette mission

Autres indicateurs :

- Cyanobactéries : stable en A et B (niveau 2) et augmentation en C (niveau 1 à 2). Elles colonisent les colonies coralliennes mortes en place, les *Acropora* tabulaires branchus

- Le turf algal se développe modérément sur les débris coralliens et les colonies coralliennes mortes en place au fur et à mesure de leur dégradation

- Algues brunes *Lobophora* : stable en A et B (niveau 2) et C (absente)

- Algues rouges *Asparagopsis taxiformis* : augmentation en A et B (niveau 2/0 à 3/2) et stable en C (absente). Le développement est saisonnier, le recouvrement n'a jamais été très important pour cette station, cependant il varie selon les saisons

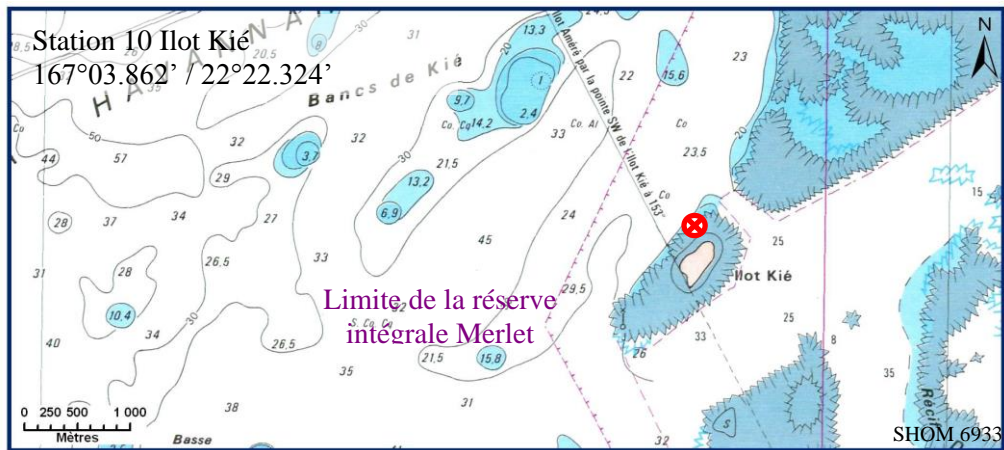
- *Cliona orientalis* : stable aux 3 transects (niveau 2/3/3)

- *Cliona jullieni* : stable aux 3 transects (niveau 1/2/2)

Les corallivores :

- *Acanthaster planci* et *Culcita novaeguineae* : absence, stable

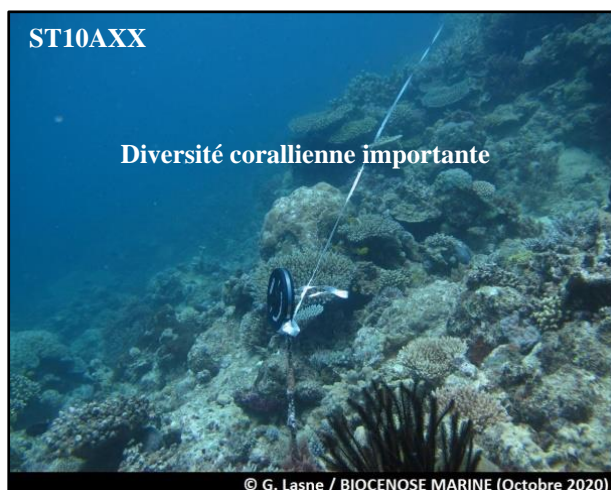
- *Drupella cornus* : stable en A (niveau 2), absente en B (diminution : niveau 2 à 0)



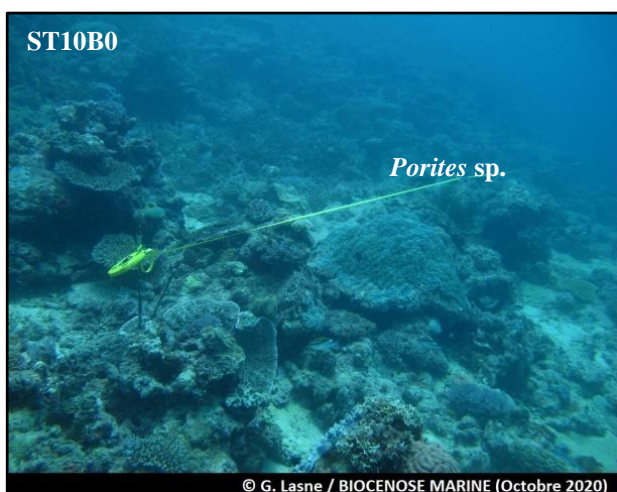
Carte 12 : Localisation de la station 10 (Ilot Kié)



Photographie 21 : Position en surface (ST10)



Les colonies d'*Alveopora* sp. ne sont plus blanchies pour l'ensemble des niveaux bathymétriques



Bas de tombant composé de sable carbonaté coquillé avec quelques débris coralliens

Photographie 22 : Vue d'ensemble des transects (ST10, présente mission)

4.10.1 Le substrat (ST10)

Le pourcentage de couverture de chaque composante est donné dans la [figure 64](#) pour le transect A, dans la [figure 65](#) pour le transect B et dans la [figure 66](#) pour le transect C.



Figure 64 : Représentation du recouvrement (en %) du substrat pour ST10A

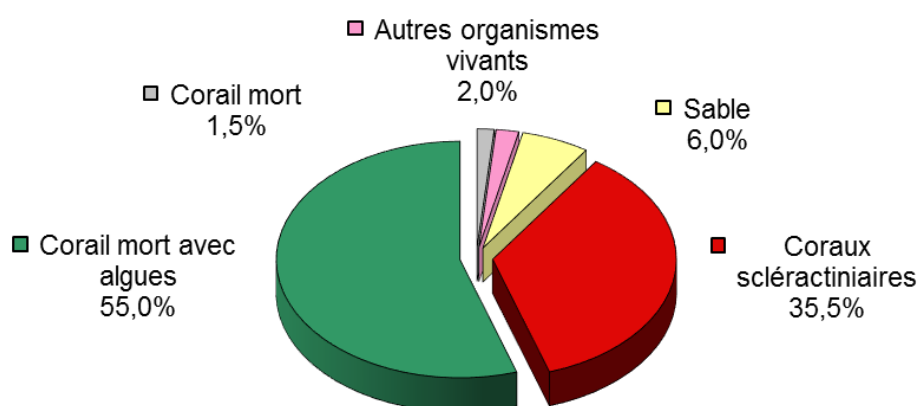


Figure 65 : Représentation du recouvrement (en %) du substrat pour ST10B

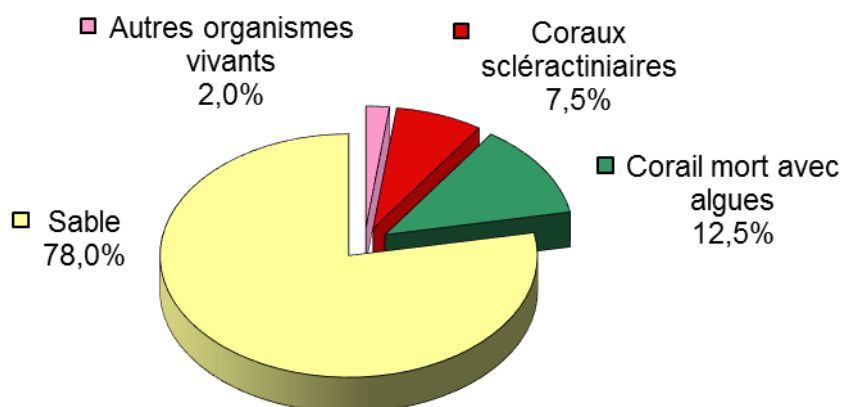


Figure 66 : Représentation du recouvrement (en %) du substrat pour ST10C

Cette station est remarquable par sa couverture en coraux scléactiniaires qui représentent 73.5% du substrat sur le transect A. C'est le taux le plus élevé du réseau de suivi, tous transects confondus. Le taux est de 35.5% en B (1^{er} rang pour cette mission). La catégorie « Corail mort avec algues » est bien représentée (21% et 55%) et contribue au fait que ces deux transects sont recouverts à 98.5% et 92.5% de substrat biotique.

Le substrat du transect C est constitué essentiellement de sable (78%) et les coraux scléactiniaires n'y sont plus présents qu'à 7.5%. Cependant, la moyenne sur la station atteint quand même les 38.8%, ce qui la place au 1^{er} rang du réseau de suivi.

A noter : disparition des cyanobactéries et diminution du corail blanchi en A et B (0% vs 0.5% en A et 1.5% vs 3% en B).

Globalement, la station est stable.

4.10.2 Le benthos (ST10)

La liste des taxons cibles (cf. § 3.2.3) échantillonnés sur cette station et la liste complète des résultats bruts sont données en annexe n°04.

En octobre 2020, la richesse spécifique de la station Ilot Kié (ST10) est composée de :

- **47 espèces d'invertébrés** dont 11 espèces de mollusques ; 12 espèces de cnidaires : alcyonaires (7 taxons), actiniaires (3 taxons), hydrozoaires (1 taxon), zoanthaires (1 taxon) ; 10 espèces d'échinodermes : holothurides (4 taxons), échinides (3 taxons), astéries (1 taxon), crinoïdes (1 taxon), ophiurides (1 taxon) ; 8 espèces d'éponges ; 4 espèces d'ascidies
- **12 espèces de macrophytes** : algues vertes (5 taxons), algues brunes (4 taxons), algues rouges (3 taxons) ; 1 espèce de cyanobactéries.

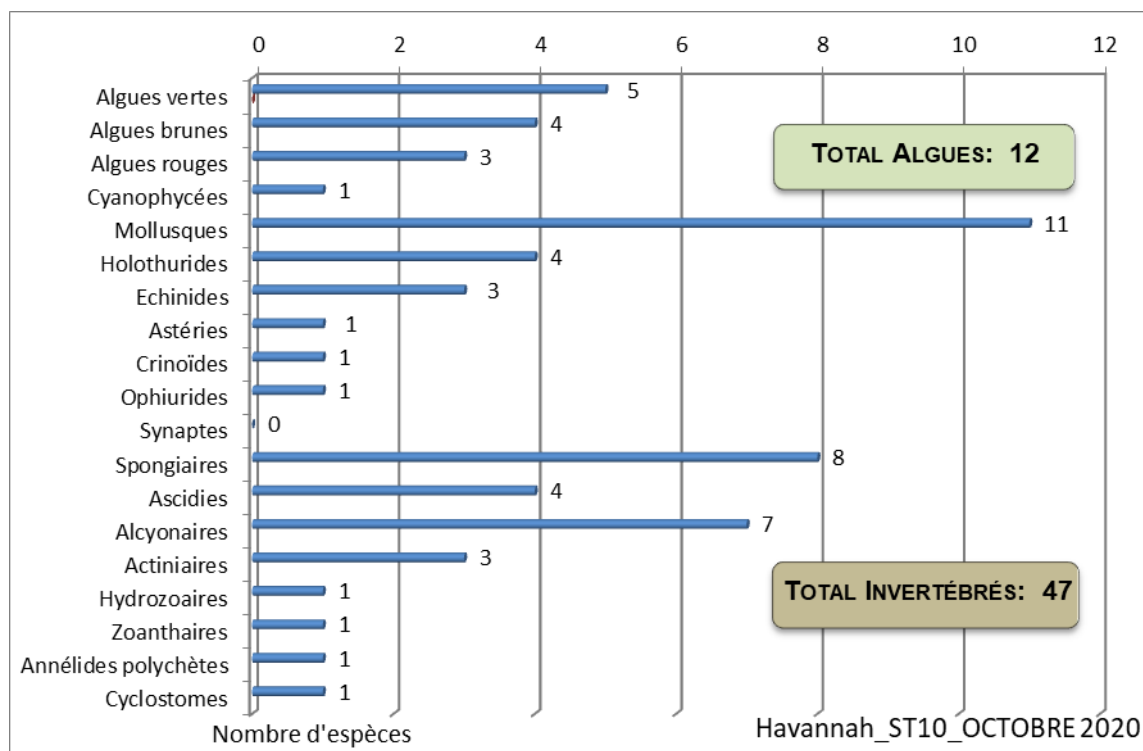


Figure 67 : Répartition par sous groupe de la richesse spécifique des macrophytes et des invertébrés (hors coraux durs) (ST10)

4.10.2.1 Benthos Transect 10 A

En octobre 2020, la richesse spécifique du transect ST10A est composée de :

- 26 espèces d'invertébrés dont 9 espèces de mollusques ; 2 espèces de cnidaires : alcyonaires (1 taxon), actiniaires (1 taxon) ; 6 espèces d'échinodermes : échinides (2 taxons), astéries (1 taxon), crinoïdes (1 taxon), holothurides (1 taxon), ophiurides (1 taxon) ; 4 espèces d'éponges ; 3 espèces d'ascidies
- 12 espèces de macrophytes : algues vertes (5 taxons), algues brunes (4 taxons), algues rouges (3 taxons)
- 1 espèce de cyanobactéries.

Tableau 82 : Variations entre mai et octobre 2020 : Les biocénoses* (ST10A)

Evolution de la richesse spécifique des biocénoses*	Evolution de l'abondance
Algues	
4 nouvelles espèces d'algues recensées, dont 2 espèces d'algues brunes : • <i>Dictyota</i> sp. (A3), • <i>Padina</i> sp. (A2) et l'algue rouge : • <i>Trichogloea requienii</i> (A2) et l'algue verte : • <i>Neomeris vanbosseae</i> (A2) ; Aucune espèce d'algues n'a disparue.	1 espèce d'algue augmente, l'algue rouge : • <i>Asparagopsis taxiformis</i> (A3/+ 1). Aucune espèce d'algues ne diminue.
Cyanobactéries	
<input checked="" type="checkbox"/>	<input checked="" type="checkbox"/>
Cnidaires	
2 nouvelles espèces de cnidaires recensées : ➢ pour les alcyonaires (1 espèce) : • <i>Xenia</i> sp. (A2) ; ➢ pour les actiniaires (1 espèce) : • <i>Entacmaea quadricolor</i> (A1). 3 espèces de cnidaires disparues : ➢ pour les alcyonaires (-3 espèce) : • <i>Sarcophyton</i> sp. (A0/-2), • <i>Sinularia</i> sp. (A0/-2), • <i>Dendronephthya</i> sp. (A0/-1).	<input checked="" type="checkbox"/>
Échinodermes	
Une espèce d'échinodermes disparue : ➢ pour les échinides (-1 espèce) : • <i>Echinometrix diadema</i> (A0/-2).	Une espèce d'échinodermes diminue d'abondance : ➢ pour les holothurides (1) : • <i>Holothuria edulis</i> (A1/- 1).
Mollusques	
7 espèces de mollusques disparues : ➢ pour les bivalves (-3 espèce) : • <i>Arca ventricosa</i> (A0/-2), • <i>Hyotissa hyotis</i> (A0/-2), • <i>Athrina</i> sp. (A0/-1) ; ➢ pour les gastéropodes (-3 espèce) : • <i>Tectus fenestratus</i> (A0/-1), • <i>Tectus niloticus</i> (A0/-1), • <i>Astraea rhodostoma</i> (A0/-1) ; ➢ pour les nudibranches (-1) : • <i>Cheilidonura inornata</i> (A0/-1).	2 espèces de mollusques diminuent d'abondance : ➢ pour les bivalves (2 espèces) : • <i>Pedum spondyloideum</i> (A2/- 1), • <i>Tridacna maxima</i> (A1/- 1).
Éponges	
2 espèces d'éponges disparues : • <i>Hamigera strongylata</i> (A0/-2), •Spongiaires ind. (noire) (A0/-2).	<input checked="" type="checkbox"/>
Ascidies	
Une espèce d'ascidies disparue : • <i>Polycarpa aurita</i> (A0/-2).	<input checked="" type="checkbox"/>
Bryozoaires	
<input checked="" type="checkbox"/>	<input checked="" type="checkbox"/>

4.10.2.2 Benthos Transect 10 B

En octobre 2020, la richesse spécifique du transect ST10B est composée de :

- 41 espèces d'invertébrés dont 10 espèces de mollusques ; 11 espèces de cnidaires : alcyonaires (7 taxons), actiniaires (2 taxons), hydrozoaires (1 taxon), zoanthaires (1 taxon) ; 9 espèces d'échinodermes : holothurides (4 taxons), échinides (3 taxons), crinoïdes (1 taxon), ophiurides (1 taxon) ; 5 espèces d'éponges ; 4 espèces d'ascidies
- 5 espèces de macrophytes : algues brunes (2 taxons), algues rouges (2 taxons), algues vertes (1 taxon)
- 1 espèce de cyanobactéries.

Tableau 83 : Variations entre mai et octobre 2020 : Les biocénoses* (ST10B)

Evolution de la richesse spécifique des biocénoses*	Evolution de l'abondance
Algues	
2 nouvelles espèces d'algues recensées, dont l'algue rouge : • <i>Asparagopsis taxiformis</i> (A2) et l'algue verte : • <i>Halimeda</i> sp. (A2) ; Aucune espèce d'algues n'a disparue.	Aucune espèce d'algues n'augmente. Aucune espèce d'algues ne diminue.
Cyanobactéries	
<input checked="" type="checkbox"/>	<input checked="" type="checkbox"/>
Cnidaires	
2 nouvelles espèces de cnidaires recensées : ➢ pour les alcyonaires (2 espèces) : • <i>Cladiella</i> sp. (A2), • <i>Sarcophyton</i> sp. (A2). 2 espèces de cnidaires disparues : ➢ pour les alcyonaires (-1 espèce) : • <i>Dendronephthya</i> sp. (A0/-2) ; ➢ pour les actiniaires (-1) : • <i>Cryptodendrum adhaesivum</i> (A0/-1).	Une espèce de cnidaires diminue d'abondance : ➢ pour les alcyonaires (1 espèce) : • <i>Simularia</i> sp. (A1/- 1).
Échinodermes	
2 nouvelles espèces d'échinodermes recensées : ➢ pour les holothurides (2 espèces) : • <i>Actinopyga palauensis</i> (A1), • <i>Holothuria fuscopunctata</i> (A2). Une espèce d'échinodermes disparue : ➢ pour les astéries (-1 espèce) : • <i>Fromia indica</i> (A0/-1).	Une espèce d'échinodermes augmente d'abondance : ➢ pour les holothurides (1) : • <i>Holothuria edulis</i> (A2/+ 1). 3 espèces d'échinodermes diminuent d'abondance : ➢ pour les échinides (2 espèces) : • <i>Diadema setosum</i> (A1/- 1), • <i>Echinometrix diadema</i> (A1/- 1) ; ➢ pour les holothurides (1) : • <i>Holothuria atra</i> (A1/- 1).
Mollusques	
5 espèces de mollusques disparues : ➢ pour les bivalves (-1 espèce) : • <i>Hyotissa hyotis</i> (A0/-2) ; ➢ pour les gastéropodes (-3 espèce) : • <i>Drupella cornus</i> (A0/-2), • <i>Tectus fenestratus</i> (A0/-1), • <i>Astraea rhodostoma</i> (A0/-1) ; ➢ pour les nudibranches (-1) : • <i>Phyllidiella pustulosa</i> (A0/-1).	<input checked="" type="checkbox"/>
Éponges	
<input checked="" type="checkbox"/>	<input checked="" type="checkbox"/>
Ascidies	
Une espèce d'ascidies disparue : • <i>Polycarpa aurita</i> (A0/-2).	Une espèce d'ascidies diminue d'abondance : • <i>Polycarpa clavata</i> (A1/- 1).
Bryozoaires	
<input checked="" type="checkbox"/>	<input checked="" type="checkbox"/>

4.10.2.3 Benthos Transect 10 C

En octobre 2020, la richesse spécifique du transect ST10C est composée de :

- 27 espèces d'invertébrés dont 6 espèces de mollusques ; 5 espèces de cnidaires : alcyonaires (4 taxons), zoanthaires (1 taxon) ; 5 espèces d'échinodermes : holothurides (3 taxons), crinoïdes (1 taxon), échinides (1 taxon) ; 6 espèces d'éponges ; 3 espèces d'ascidies
- 1 espèce macrophytes : algue verte (1 taxon)
- 1 espèce de cyanobactéries.

Tableau 84 : Variations entre mai et octobre 2020 : Les biocénoses* (ST10C)

Evolution de la richesse spécifique des biocénoses*	Evolution de l'abondance
Algues	
Aucune nouvelle espèce d'algues recensée ni n'a disparue.	Aucune espèce d'algues n'augmente ni ne diminue.
Cyanobactéries	
<input checked="" type="checkbox"/>	Une espèce de cyanobactéries augmente d'abondance : • <i>Phormidium</i> sp. (A2/+ 1).
Cnidaires	
3 espèces de cnidaires disparues : ➤ pour les alcyonaires (-1 espèce) : • <i>Dendronephthya</i> sp. (A0/-2) ; ➤ pour les hydrozoaires (-1 espèce) : •Hydrozoaires ind. (A0/-2) ; ➤ pour les zoanthaires (-1 espèce) : •Zoanthidae ind. sp. (A0/-2).	Une espèce de cnidaires augmente d'abondance : ➤ pour les zoanthaires (1 espèce) : • <i>Palythoa tuberculosa</i> (A2/+ 1). Une espèce de cnidaires diminue d'abondance : ➤ pour les alcyonaires (1 espèce) : • <i>Xenia</i> sp. (A2/- 1).
Échinodermes	
Une nouvelle espèce d'échinodermes recensée : ➤ pour les holothurides (1 espèce) : • <i>Holothuria fuscopunctata</i> (A1). Une espèce d'échinodermes disparue : ➤ pour les astéries (-1 espèce) : • <i>Celerina heffernani</i> (A0/-1).	Une espèce d'échinodermes augmente d'abondance : ➤ pour les holothurides (1) : • <i>Holothuria edulis</i> (A2/+ 1). Une espèce d'échinodermes diminue d'abondance : ➤ pour les crinoïdes (1 espèce) : •Crinoïdes ind. (A1/- 1).
Mollusques	
Une nouvelle espèce de mollusques recensée : ➤ pour les bivalves (1 espèce) : • <i>Hyotissa</i> sp. (A2). 3 espèces de mollusques disparues : ➤ pour les bivalves (-2 espèce) : • <i>Hyotissa hyotis</i> (A0/-2), • <i>Saccostrea</i> sp. (A0/-2) ; ➤ pour les gastéropodes (-1 espèce) : • <i>Lambis lambis</i> (A0/-1).	<input checked="" type="checkbox"/>
Éponges	
<input checked="" type="checkbox"/>	<input checked="" type="checkbox"/>
Ascidies	
Une nouvelle espèce d'ascidies recensée : • <i>Polycarpa clavata</i> (A1).	<input checked="" type="checkbox"/>
Bryozoaires	
<input checked="" type="checkbox"/>	<input checked="" type="checkbox"/>

4.10.3 Les poissons (ST10)

La liste des espèces observées¹⁴ sur les transects et les résultats bruts sont fournis dans le [tableau 85](#).

Tableau 85 : Données sur les poissons (ST10)

Ilot Kié ST10		Transect			Transect			Transect			Station		
Fam	Espèces	Nb	Dens	Biom	Nb	Dens	Biom	Nb	Dens	Biom	Nb	Dens	Biom
Aca	<i>Acanthurus albipectoralis</i>							1	0,01	0,73	0,33	0,00	0,24
Aca	<i>Acanthurus mata</i>							30	0,19	51,84	10,00	0,06	17,28
Aca	<i>Acanthurus nigricans</i>							1	0,01	1,95	0,33	0,00	0,65
Aca	<i>Ctenochaetus cyanocheilus</i>	1	0,02	0,58				2	0,01	0,63	1,00	0,01	0,40
Aca	<i>Ctenochaetus striatus</i>	3	0,05	1,33	2	0,03	0,67	3	0,03	1,32	2,67	0,04	1,10
Aca	<i>Naso lituratus</i>	1	0,01	4,06							0,33	0,00	1,35
Aca	<i>Naso lopezi</i>							10	0,05	7,27	3,33	0,02	2,42
Aca	<i>Naso tonganus</i>							10	0,04	20,77	3,33	0,01	6,92
Aca	<i>Naso unicornis</i>							5	0,03	35,56	1,67	0,01	11,85
Aca	<i>Zebrasoma scopas</i>	2	0,03	0,67	2	0,03	0,50	3	0,05	0,73	2,33	0,04	0,63
Aca	<i>Zebrasoma veliferum</i>	1	0,01	0,55				1	0,01	0,84	0,67	0,01	0,46
Ant	<i>Pseudanthias cooperi</i>							10	0,07	0,31	3,33	0,02	0,10
Ant	<i>Pseudanthias dispar</i>	10	0,17	1,14							3,33	0,06	0,38
Ant	<i>Pseudanthias pascualis</i>				10	0,13	0,86	10	0,07	0,49	6,67	0,07	0,45
Ant	<i>P. pleurotaenia</i>							10	0,07	0,60	3,33	0,02	0,20
Ant	<i>P. squamipinnis</i>	10	0,13	1,05				10	0,07	0,73	6,67	0,07	0,60
Ble	<i>Meiacanthus atrodorsalis</i>	2	0,03	0,00							0,67	0,01	0,00
Cha	<i>Chaetodon baronessa</i>	2	0,03	0,89							0,67	0,01	0,30
Cha	<i>Chaetodon kleinii</i>							2	0,03	0,14	0,67	0,01	0,05
Cha	<i>Chaetodon lunulatus</i>	3	0,05	1,00	2	0,03	0,11				1,67	0,03	0,37
Cha	<i>Chaetodon pelewensis</i>	2	0,03	0,23	2	0,03	0,06	2	0,03	0,14	2,00	0,03	0,15
Cha	<i>Chaetodon plebeius</i>				4	0,05	0,13				1,33	0,02	0,04
Cha	<i>Forcipiger flavissimus</i>				2	0,03	0,06				0,67	0,01	0,02
Cha	<i>Heniochus varius</i>				2	0,03	1,69				0,67	0,01	0,56
Epi	<i>Anyperodon leucogrammicus</i>				1	0,01	1,46				0,33	0,00	0,49
Epi	<i>Cephalopholis miniata</i>							3	0,05	15,63	1,00	0,02	5,21
Epi	<i>Epinephelus fasciatus</i>							1	0,02	1,64	0,33	0,01	0,55
Epi	<i>Epinephelus maculatus</i>				1	0,01	2,66	2	0,03	8,79	1,00	0,01	3,82
Epi	<i>Epinephelus merra</i>	1	0,02	0,73							0,33	0,01	0,24
Epi	<i>Plectropomus leopardus</i>				1	0,01	27,73	1	0,01	15,19	0,67	0,01	14,31
Epi	<i>Variola louti</i>				1	0,01	8,58				0,33	0,00	2,86
Lab	<i>Bodianus loxozonus</i>	1	0,01	1,46				1	0,01	5,99	0,67	0,01	2,48
Lab	<i>Bodianus perditio</i>				1	0,01	4,88				0,33	0,00	1,63
Lab	<i>Cheilinus chlorourus</i>				1	0,01	3,13				0,33	0,00	1,04
Lab	<i>Cheilinus trilobatus</i>				1	0,01	1,17				0,33	0,00	0,39
Lab	<i>Cheilinus undulatus</i>				1	0,01	15,19				0,33	0,00	5,06
Lab	<i>Coris aygula</i>				1	0,01	0,46				0,33	0,00	0,15
Lab	<i>Coris gaimard</i>	1	0,02	0,58							0,33	0,01	0,19
Lab	<i>Gomphosus varius</i>				3	0,03	0,50				1,00	0,01	0,17
Lab	<i>Halichoeres hortulanus</i>				1	0,01	1,37				0,33	0,00	0,46
Lab	<i>Hemigymnus melapterus</i>	1	0,01	0,55	2	0,02	1,64				1,00	0,01	0,73
Lab	<i>Labroides dimidiatus</i>							1	0,01	3,91	0,33	0,00	1,30
Lab	<i>Thalassoma lunare</i>	6	0,10	1,02				6	0,08	0,77	4,00	0,06	0,60
Lab	<i>Thalassoma lutescens</i>							7	0,09	0,90	2,33	0,03	0,30
Let	<i>Monotaxis grandoculis</i>							1	0,01	1,54	0,33	0,00	0,51
Lut	<i>Aprion virescens</i>							3	0,01	19,53	1,00	0,00	6,51
Mon	<i>Oxymonacanthus longirostris</i>	4	0,07	0,04							1,33	0,02	0,01
Mul	<i>Parupeneus crassilabrus</i>	6	0,05	15,63							2,00	0,02	5,21

¹⁴ Données par rapport à la liste restreinte du cahier des charges, cf. annexe n°01

Mul	<i>Parupeneus indicus</i>				3	0,03	5,56				1,00	0,01	1,85
Mul	<i>P. multifasciatus</i>							3	0,04	4,37	1,00	0,01	1,46
Nem	<i>Scolopsis bilineatus</i>				7	0,07	1,86	4	0,03	0,67	3,67	0,03	0,84
Poc	<i>Centropyge bicolor</i>	4	0,07	0,17	4	0,05	0,13	2	0,03	0,08	3,33	0,05	0,13
Poc	<i>Centropyge bispinosa</i>	2	0,03	0,08	3	0,04	0,09	3	0,05	0,13	2,67	0,04	0,10
Poc	<i>Centropyge flavissima</i>	2	0,03	0,34				3	0,05	0,22	1,67	0,03	0,19
Poc	<i>Centropyge tibicen</i>	4	0,07	0,09	3	0,04	0,05	2	0,03	0,04	3,00	0,05	0,06
Pom	<i>Abudefduf sexfasciatus</i>	15	0,25	1,08							5,00	0,08	0,36
Pom	<i>Abudefduf whitleyi</i>	15	0,25	1,72	5	0,06	0,16				6,67	0,10	0,62
Pom	<i>Amphiprion chrysopterus</i>	10	0,17	0,42							3,33	0,06	0,14
Pom	<i>Amphiprion clarkii</i>	5	0,08	0,21							1,67	0,03	0,07
Pom	<i>Amphiprion perideraion</i>				3	0,04	0,09				1,00	0,01	0,03
Pom	<i>Chromis fumea</i>	30	0,50	1,25							10,00	0,17	0,42
Pom	<i>Chromis viridis</i>	40	0,67	0,36	15	0,19	0,10				18,33	0,28	0,15
Pom	<i>Chrysiptera rollandi</i>	5	0,08	0,05	2	0,03	0,01				2,33	0,04	0,02
Pom	<i>Chrysiptera taupou</i>	10	0,13	0,07				5	0,08	0,11	5,00	0,07	0,06
Pom	<i>Dascyllus aruanus</i>	10	0,25	0,04				8	0,13	0,07	6,00	0,13	0,04
Pom	<i>Dascyllus reticulatus</i>	20	0,33	0,83	20	0,25	0,14	5	0,08	0,05	15,00	0,22	0,34
Pom	<i>Dascyllus trimaculatus</i>	10	0,25	0,63	8	0,10	0,13				6,00	0,12	0,25
Pom	<i>Neoglyphidodon azysron</i>	40	0,67	0,36							13,33	0,22	0,12
Pom	<i>Pomacentrus moluccensis</i>	6	0,10	0,13	3	0,04	0,05	4	0,04	0,05	4,33	0,06	0,08
Sca	<i>Chlorurus sordidus</i>	4	0,07	7,78	4	0,05	5,83				2,67	0,04	4,54
Sca	<i>Scarus ghobban</i>							1	0,01	4,91	0,33	0,00	1,64
Sca	<i>Scarus niger</i>	2	0,03	10,98							0,67	0,01	3,66
Sca	<i>Scarus schlegeli</i>				2	0,02	8,78				0,67	0,01	2,93
Total		291	4,85	58,06	123	1,47	95,79	176	1,66	208,62	196,67	2,66	120,83
Biodiversité		37			34			37			73		
Indice de Shannon =		5,346											
Equitabilité =		0,864											

Sur l'ensemble des transects de la station, 590 individus appartenant à 73 espèces différentes ont pu être observés. Ils représentent une densité de 2.66 poissons/m² pour une biomasse de 120.83 g/m².

144 espèces complémentaires (e.g. hors des transects et hors liste restreinte [*en rouge*]) ont été observées sur la station (cf. [tableau 86](#)).

Tableau 86 : Liste des espèces complémentaires (ST10)

Fam	Espèces	Fam	Espèces	Fam	Espèces
Aca	<i>Acanthurus achilles</i>	Hol	<i>Sargocentron diadema</i>	Mul	<i>Parupeneus crassilabrus</i>
Aca	<i>Acanthurus albipectoralis</i>	Hol	<i>Sargocentron spiniferum</i>	Mul	<i>Parupeneus indicus</i>
Aca	<i>Acanthurus mata</i>	Kyp	<i>Kyphosus cinerascens</i>	Mul	<i>Parupeneus multifasciatus</i>
Aca	<i>Acanthurus nigricans</i>	Lab	<i>Anampses femininus</i>	Nem	<i>Scolopsis bilineatus</i>
Aca	<i>Acanthurus pyroferus</i>	Lab	<i>Anampses meleagrides</i>	Ost	<i>Ostracion cubicus</i>
Aca	<i>Ctenochaetus cyanocheilus</i>	Lab	<i>Anampses neoguinaicus</i>	Poc	<i>Centropyge bicolor</i>
Aca	<i>Ctenochaetus striatus</i>	Lab	<i>Bodianus loxozonus</i>	Poc	<i>Centropyge bispinosa</i>
Aca	<i>Naso lituratus</i>	Lab	<i>Bodianus perditio</i>	Poc	<i>Centropyge flavissima</i>
Aca	<i>Naso lopezi</i>	Lab	<i>Cheilinus chlorourus</i>	Poc	<i>Centropyge tibicen</i>
Aca	<i>Naso tonganus</i>	Lab	<i>Cheilinus trilobatus</i>	Pom	<i>Abudefduf sexfasciatus</i>
Aca	<i>Naso unicornis</i>	Lab	<i>Cheilinus undulatus</i>	Pom	<i>Abudefduf whitleyi</i>
Aca	<i>Naso vlamingii</i>	Lab	<i>Choerodon anchorago</i>	Pom	<i>Amblyglyphidodon aureus</i>
Aca	<i>Zebrasoma scopas</i>	Lab	<i>Coris aurilineata</i>	Pom	<i>Amblyglyphidodon curacao</i>
Aca	<i>Zebrasoma veliferum</i>	Lab	<i>Coris aygula</i>	Pom	<i>Amblyglyphidodon leucogaster</i>
Ant	<i>Pseudanthias cooperi</i>	Lab	<i>Coris dorsomacula</i>	Pom	<i>Amblyglyphidodon orbicularis</i>
Ant	<i>Pseudanthias dispar</i>	Lab	<i>Coris gaimard</i>	Pom	<i>Amphiprion chrysopterus</i>

Ant	<i>Pseudanthias pascalus</i>	Lab	<i>Epibulus insidiator</i>	Pom	<i>Amphiprion clarkii</i>
Ant	<i>Pseudanthias pleurotaenia</i>	Lab	<i>Gomphosus varius</i>	Pom	<i>Amphiprion perideraion</i>
Ant	<i>Pseudanthias squamipinnis</i>	Lab	<i>Halichoeres argus</i>	Pom	<i>Chromis fumea</i>
Apo	<i>Apogon doederleini</i>	Lab	<i>Halichoeres hortulanus</i>	Pom	<i>Chromis iomelas</i>
Apo	<i>Archamia fucata</i>	Lab	<i>Halichoeres ornatissimus</i>	Pom	<i>Chromis leucura</i>
Apo	<i>Cheilodipterus macrodon</i>	Lab	<i>Halichoeres prosopoeion</i>	Pom	<i>Chromis margaritifera</i>
Apo	<i>Cheilodipterus quinquelineatus</i>	Lab	<i>Hemigymnus fasciatus</i>	Pom	<i>Chromis viridis</i>
Apo	<i>Ostorhinchus angustatus</i>	Lab	<i>Hemigymnus melapterus</i>	Pom	<i>Chromis xanthura</i>
Apo	<i>Ostorhinchus aureus</i>	Lab	<i>Hologymnosus doliatus</i>	Pom	<i>Chrysiptera rollandi</i>
Aul	<i>Aulostomus chinensis</i>	Lab	<i>Labroides dimidiatus</i>	Pom	<i>Chrysiptera taupou</i>
Bal	<i>Pseudobalistes fuscus</i>	Lab	<i>Labropsis australis</i>	Pom	<i>Dascyllus aruanus</i>
Ble	<i>Meiacanthus atrodorsalis</i>	Lab	<i>Macropharyngodon meleagris</i>	Pom	<i>Dascyllus reticulatus</i>
Cha	<i>Chaetodon baronessa</i>	Lab	<i>Oxycheilinus celebicus</i>	Pom	<i>Dascyllus trimaculatus</i>
Cha	<i>Chaetodon kleinii</i>	Lab	<i>Oxycheilinus digrammus</i>	Pom	<i>Neoglyphidodon azysron</i>
Cha	<i>Chaetodon lunulatus</i>	Lab	<i>Oxycheilinus unifasciatus</i>	Pom	<i>Neoglyphidodon melas</i>
Cha	<i>Chaetodon pelewensis</i>	Lab	<i>Pseudodax moluccanus</i>	Pom	<i>Neoglyphidodon nigroris</i>
Cha	<i>Chaetodon plebeius</i>	Lab	<i>Stethojulis strigiventer</i>	Pom	<i>Plectroglyphidodon dickii</i>
Cha	<i>Forcipiger flavissimus</i>	Lab	<i>Thalassoma lunare</i>	Pom	<i>Plectroglyphidodon johnstonianus</i>
Cha	<i>Heniochus varius</i>	Lab	<i>Thalassoma lutescens</i>	Pom	<i>Plectroglyphidodon lacrymatus</i>
Epi	<i>Anyperodon leucogrammicus</i>	Let	<i>Monotaxis grandoculis</i>	Pom	<i>Pomacentrus moluccensis</i>
Epi	<i>Cephalopholis argus</i>	Let	<i>Monotaxis heterodon</i>	Pom	<i>Pomacentrus nagasakiensis</i>
Epi	<i>Cephalopholis miniata</i>	Lut	<i>Aprion virescens</i>	Pom	<i>Pomacentrus philippinus</i>
Epi	<i>Epinephelus fasciatus</i>	Lut	<i>Lutjanus bohar</i>	Pom	<i>Pomacentrus simsiang</i>
Epi	<i>Epinephelus maculatus</i>	Lut	<i>Lutjanus ehrenbergii</i>	Sca	<i>Chlorurus sordidus</i>
Epi	<i>Epinephelus merra</i>	Lut	<i>Lutjanus fulviflamma</i>	Sca	<i>Scarus ghobban</i>
Epi	<i>Epinephelus ongus</i>	Lut	<i>Lutjanus fulvus</i>	Sca	<i>Scarus longipinnis</i>
Epi	<i>Plectropomus laevis</i>	Lut	<i>Lutjanus gibbus</i>	Sca	<i>Scarus niger</i>
Epi	<i>Plectropomus leopardus</i>	Lut	<i>Lutjanus kasmira</i>	Sca	<i>Scarus oviceps</i>
Epi	<i>Variola louti</i>	Lut	<i>Lutjanus quinquelineatus</i>	Sca	<i>Scarus schlegeli</i>
Hae	<i>Plectorhinchus chaetodonoides</i>	Lut	<i>Lutjanus rivulatus</i>	Syn	<i>Saurida gracilis</i>
Hol	<i>Myripristis murdjan</i>	Lut	<i>Macolor niger</i>	Syn	<i>Synodus variegatus</i>
Hol	<i>Neoniphon sammara</i>	Mon	<i>Oxymonacanthus longirostris</i>	Zan	<i>Zanclus cornutus</i>

Le nombre d'espèces présentes pour chaque famille (observée depuis 2007, avec la coupure 2017-2019) est donné dans le [tableau 87](#) et spécifiquement pour cette campagne sur la [figure 68](#).

Tableau 87 : Nombre d'espèces par famille ichthyologique (ST10)

Familles	Nb d'espèces vues (zone et période totale)	Nb d'espèces		Proportions	
		Campagne	Moy.	Campagne	Moy.
Acanthuridae	40	11	6,67	27,50	16,69
Chaetodontidae	30	7	7,00	23,33	23,33
Epinephelinae	26	7	5,79	26,92	22,26
Labridae	97	13	6,17	13,40	6,36
Lethrinidae	16	1	1,68	6,25	10,48
Lutjanidae	22	1	0,96	4,55	4,36
Mullidae	14	3	1,21	21,43	8,65

Pomacanthidae	14	4	3,49	28,57	24,95
Pomacentridae	92	14	9,08	15,22	9,87
Scaridae	23	4	4,28	17,39	18,62
Siganidae	10	0	0,79	0,00	7,89
Autres	257	8	8,25	3,11	3,21
Khi2 obs		8,7		34,8	
Khi2 tab				19,7	

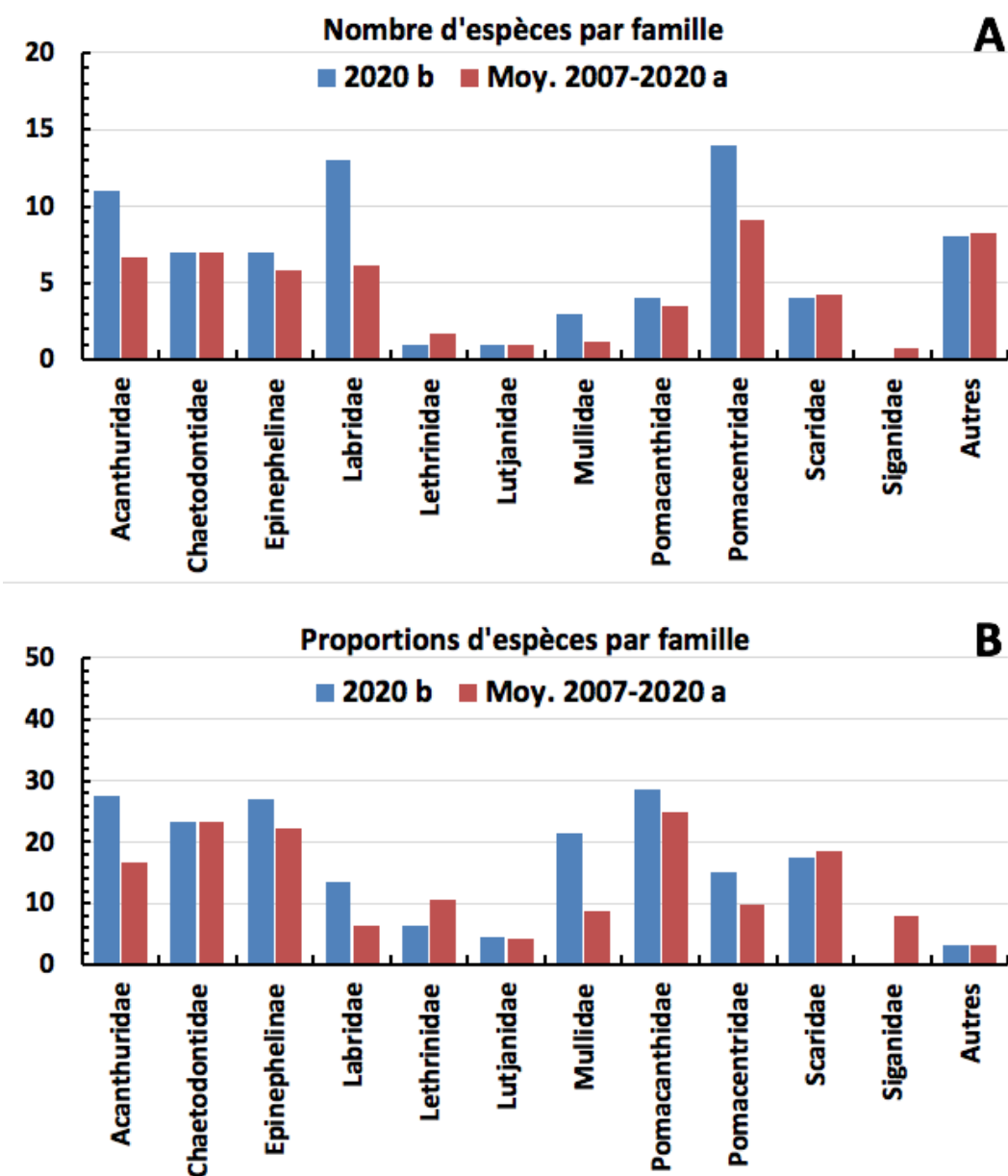


Figure 68 : Structure du peuplement pour cette mission relativement à la moyenne (ST10)

L'histogramme A compare pour une famille les effectifs vus lors de cette mission avec la moyenne et l'histogramme B compare les proportions de cet effectif vu par rapport à l'effectif total d'espèces vu pour cette même famille, sur la zone sud depuis les premières missions

Le récapitulatif des résultats en termes de :

- d'abondance (nombre d'individus, transects/liste restreinte),
- de densité (en poisson/m², transects/liste restreinte),
- de biomasse (en g/m², transects/liste restreinte),

- de biodiversité 1 (espèces observées sur les transects et de la liste restreinte),
- de biodiversité 2 (espèces observées sur la station (transects + complémentaires) et de la liste restreinte),
- de biodiversité 3 (toutes les espèces observées sur la station (transects + complémentaires / liste non restreinte)),

pour toutes les campagnes depuis 2007 est présenté dans le [tableau 88](#) et la [figure 69](#).

L'écart relatif à la moyenne [$E_{r_i} = (X_i - X_m) / X_m$] pour ces paramètres biologiques peut alors être calculé : cf. [tableau 89](#) et représentation [figure 70](#).

Tableau 88 : Synopsis des résultats et récapitulatif des années précédentes (ST10)

Peuplement de poissons ST10 – Ilot Kié		Liste DENV					Toutes espèces
		Transect TLV				Station	Station
		Nb. Ind.	Densité	Biom. g/m ²	Biodiv.1	Biodiv.2	Biodiv.3
2020 b	Transect A	291	4,85	58,06			
	Transect B	123	1,47	95,79			
	Transect C	176	1,66	208,62			
	Moy. ABC	196,67	2,66	120,83	73	93	144
2020 a	Moy. ABC	186,0	2,42	284,78	71	107	153
<i>Moyenne pour 2017-2019</i>		<i>338,2</i>	<i>4,5</i>	<i>395,1</i>	<i>56</i>	<i>95</i>	<i>136</i>
2016 b	Moy. ABC	410,00	4,95	155,75	64	112	152
2016 a	Moy. ABC	198,67	3,24	219,07	57	101	147
2015 b	Moy. ABC	350,00	3,61	435,32	55	106	149
2015 a	Moy. ABC	563,67	5,44	795,17	67	101	139
2014 b	Moy. ABC	187,00	2,56	324,95	54	105	152
2014 a	Moy. ABC	165,00	2,01	213,58	51	103	155
2013 b	Moy. ABC	441,67	3,49	1794,95	54	106	148
2013 a	Moy. ABC	725,00	7,23	259,09	57	85	153
2012 b	Moy. ABC	319,70	3,90	220,10	53	90	134
2012 a	Moy. ABC	457,00	4,93	125,40	52	102	146
2011 b	Moy. ABC	289,00	3,48	357,27	58	90	145
2011 a	Moy. ABC	461,67	5,47	1014,91	59	96	131
2010 b	Moy. ABC	384,00	3,46	576,45	67	78	113
2010 a	Moy. ABC	109,33	2,94	298,40	52	107	167
2009	Moy. ABC	120,00	8,30	291,10	49	92	116
2008	Moy. ABC	534,33	9,37	451,97	37	64	71
2007	Moy. ABC	353,00	5,57	881,82	46	65	84

Tableau 89 : Ecart relatif à la moyenne des paramètres biologiques ichtyologiques depuis 2007 (ST10)

	Nb ind.	Densité	Biom.	Biodiv.1	Biodiv.2	Biodiv.3
Variance	20 724	3,18	50 344	59	142	458
Ecart type	143,96	1,78	224,37	7,70	11,90	21,40
Moyenne	332,58	4,47	384,15	56,37	94,87	136,64
Coef. de Var.	0,42	0,38	0,56	0,14	0,13	0,16

Commentaires :

- La densité et la biomasse présentent une valeur très faible.

- La biodiversité est bonne.

La structure du peuplement de cette mission exprimée en proportion, diffère significativement de la structure moyenne obtenue sur la période de suivi (cf. § 3.4.3).

Comme au niveau des autres stations (hors réserve donc) la suite historique des observations montre un renouvellement des taxons pris à l'intérieur d'un groupe avoisinant de près de 295 espèces.

Mais ici, du fait de la protection, lors de chaque mission 45-50 % du total possible sont vues.

Toutefois, la mise en réserve ne change pas la dynamique du peuplement de la station.

En effet :

- Aux autres stations, le nombre d'espèces vues à chaque mission correspond plutôt au tiers des capacités du site et non comme ici en réserve à la moitié.

- En revanche sur l'ensemble du suivi (25 missions), le nombre d'espèces vues au différentes stations diffère peu du nombre vu à l'îlot Kié : la différence n'est que de 5% (281 espèces en moyenne contre 295 à l'îlot Kié).

Et, quoi qu'il en soit, aucune espèce n'est présente qu'à l'îlot Kié.

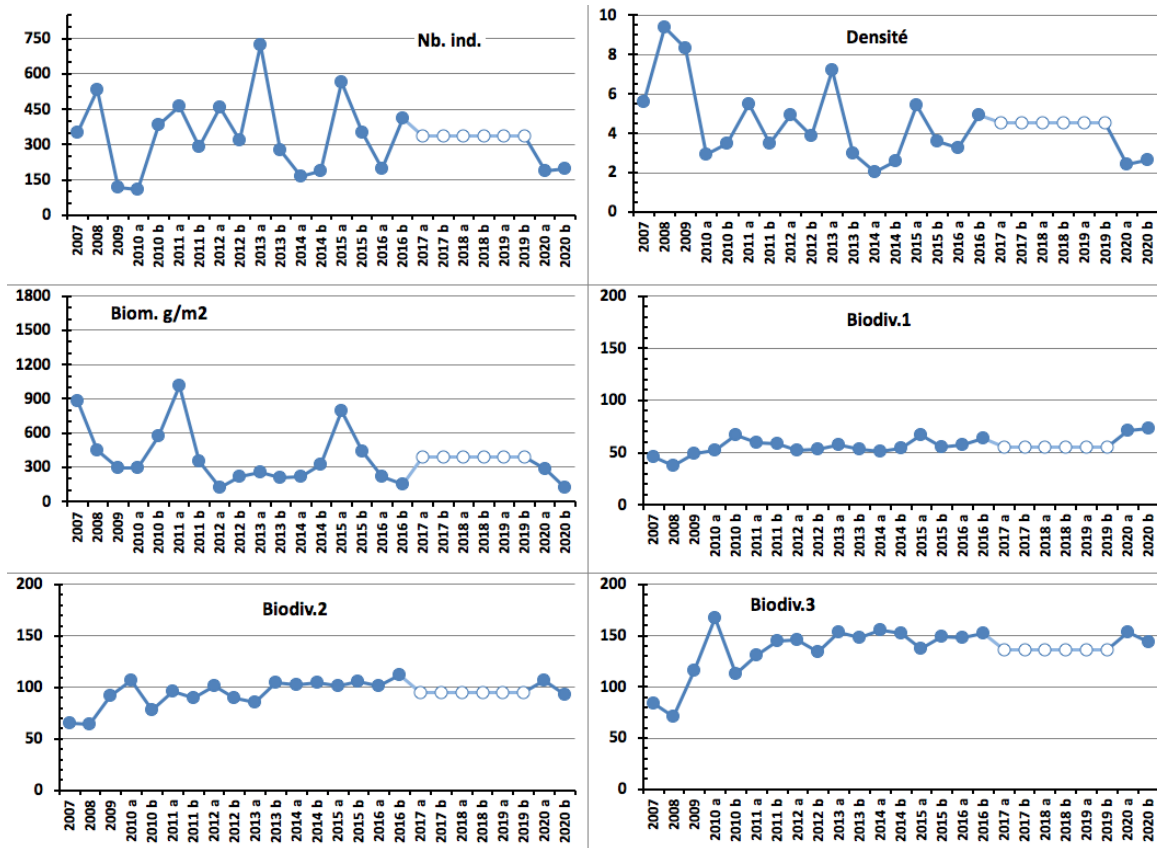


Figure 69 : Evolution des paramètres biologiques ichthyologiques depuis 2007 (ST10)

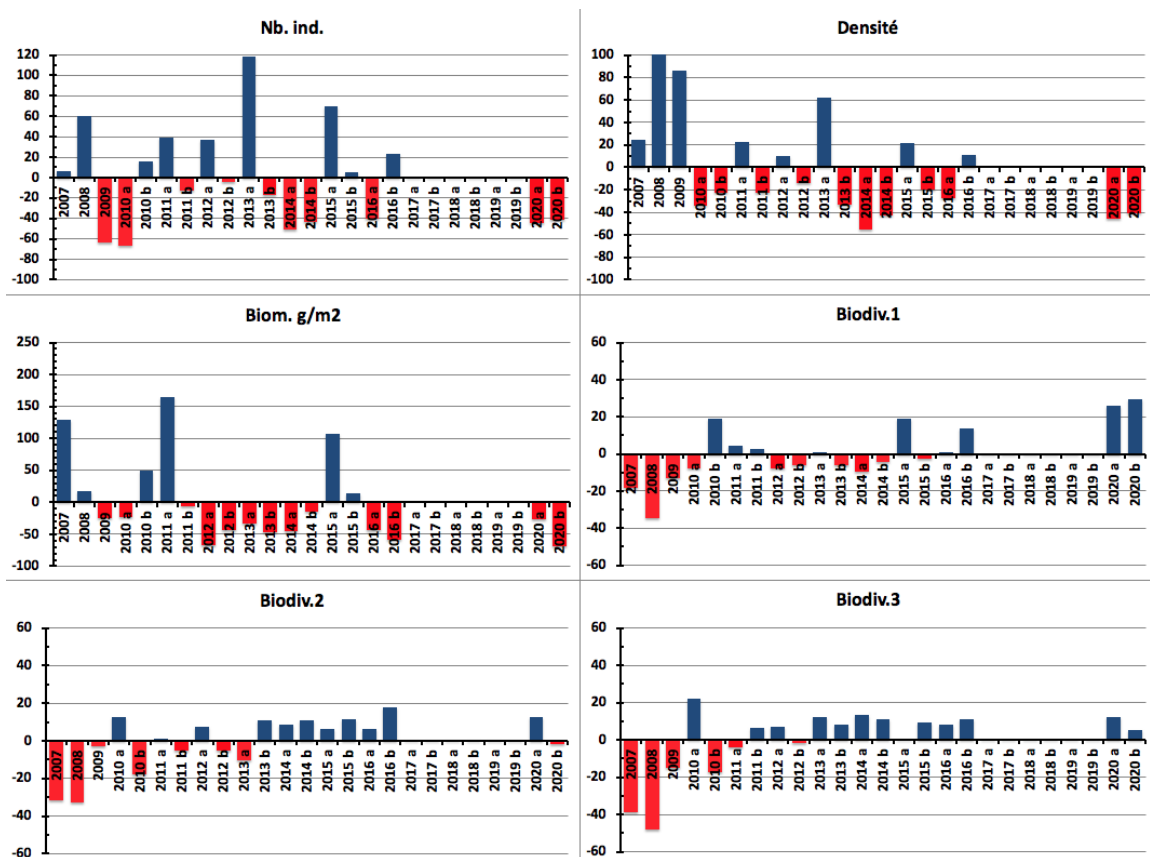


Figure 70 : Ecart relatif à la moyenne des paramètres biologiques ichthyologiques depuis 2007 (ST10)

4.11 Station 11 = Récif Toémo

Localisation géographique	A l'ouest de la passe du récif de Toémo, parallèlement au récif. Elle est repérable de la surface grâce à l'alignement d'un talweg sur la falaise du rivage avec le pic au sommet de la colline (photographie 23).
Nombre transects	3 transects.
Description transects	Ils ont été positionnés à 6, 11 et 20 mètres de profondeur, avec un alignement du nord-est vers le sud-ouest.
	<p>Le transect A est positionné au sommet du récif : il se situe en amont de la pente et proche du bourrelet de débris coralliens. Un <i>Platygyra daedalea</i> d'un mètre de diamètre permet de repérer la fin du transect.</p> <p>Le transect B est positionné sur la pente récifale. De nombreux débris et massifs coralliens ont dévalé la pente, détruisant une grande partie des communautés coralliennes. Cet événement a certainement comme origine le cyclone Erica (mars 2003). Toutefois de petites colonies coralliennes recolonisent ces débris.</p> <p>Le transect C se situe à la rupture entre le bas du tombant récifal et le début de la pente sédimentaire. C'est une zone d'accumulation de débris et de blocs coralliens provenant du récif (dégradation des fortes houles et des cyclones).</p>

Description générale

Le récif de Toémo est un récif intermédiaire de lagon, situé au nord-ouest du canal de la Havannah, à proximité de la grande passe de Goro. Sa position géographique et les conditions hydrodynamiques soutenues permettent d'assimiler ce récif à une pente externe proche d'une passe.

Le sommet du récif est riche en coraux encroûtants, branchus et tabulaires (*Acropora*, *Pocillopora*, *Isopora*, *Seriatopora*, *Galaxea* et *Montipora*). Un bourrelet composé de débris coralliens se démarque juste avant la cassure de la pente. Ce dernier est assez pentu (40°) et recouvert par endroits par de nombreux éboulis et des massifs coralliens retournés (coraux tabulaires et massifs). La majorité des débris coralliens finissent leur course en bas de pente.

La pente sédimentaire à une inclinaison douce, cette dernière est composée de sable coquillé et de débris coralliens qui deviennent de moins en moins abondants en fonction de l'éloignement du récif. Quelques grands massifs se répartissent à proximité du tombant récifal mais leur recouvrement en organismes benthiques est fragmentaire.

Caractéristiques principales

- ↪ Les conditions hydrodynamiques sont soutenues durant toute l'année (courant, ressac, houle). De nombreux débris et colonies coralliennes ne sont plus fixés sur le substrat suite aux événements dépressionnaires. Le courant de marée est puissant
- ↪ Ce récif a subi des dégradations durant les événements cycloniques du début d'année 2011 (Vania-Zelia), le cyclone de janvier 2013 (Fréda) et dans une moindre mesure le cyclone Pam en mars 2015 et Winston en février 2016
 - Dégradations des communautés benthiques d'ordre mécanique sur l'ensemble de la station à cause de l'hydrodynamisme important : arrachement et casse des colonies coralliennes au transect A et accumulation de débris et de blocs coralliens pour les autres transects B et C
- ↪ Les scléactiniaires développent des morphologies robustes
- ↪ La richesse spécifique des coraux est relativement élevée pour les niveaux bathymétriques supérieurs (B < A)
- ↪ Le recouvrement corallien est important en A
- ↪ La maladie de la bande blanche peut se développer sur les *Acropora* spp. (tabulaire) pour les niveaux bathymétriques A et B
- ↪ Saisonnalité des macrophytes : les algues rouges (particulièrement *Asparagopsis*) présentent un développement saisonnier qui peut être très important sur l'ensemble de la station
- ↪ Les ascidies sont variées et abondantes
- ↪ Les spongiaires sont relativement abondantes (*Cliona*)

↳ Mobilité bathymétrique des échinodermes (astéries, holothuries, échinides) et des mollusques

Variations entre mai et octobre 2020

Indicateur Corail :

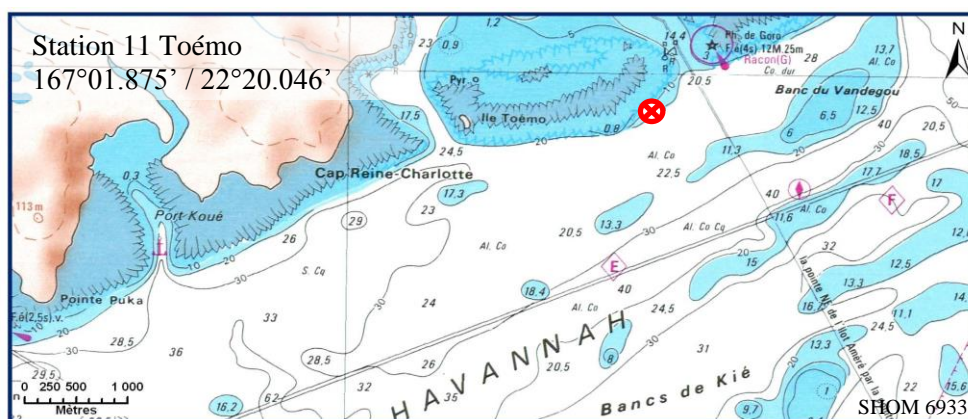
- Le recouvrement corallien est stable, de 69% au transect A (2^{ème} plus fort recouvrement de tous les transects), 33% en B (1^{er} score du réseau) et 10% en C. Stable. La moyenne sur la station est de 37.5%, ce qui la place au 2^{ème} rang
- Blanchissement corallien (surface totale observée) : *Octobre 2015 : 0.4% ; Avril 2016 : 0.57% ; Novembre 2016 : 0.2% ; Avril 2017 : 0.1% ; Septembre 2017 : 0.1% ; Mai 2018 : 0.4% ; Novembre 2018 : 0% ; Avril 2019 : 0% ; Octobre 2019 : 0.43% ; Mai 2020 : 1.9% ; Octobre 2020 : 0%*
- Lésions coralliennes : des colonies coralliennes sont dégradées suite aux perturbations mécaniques, à la maladie de la bande blanche et à la prédation de corallivores :
 - Prédation des corallivores *Drupella cornus* : RAS pour cette mission
 - Maladie corallienne : RAS pour cette mission
 - Perturbations mécaniques : RAS pour cette mission

Autres indicateurs :

- Cyanobactéries : stable en A et B (niveau 2) et augmentation en B (niveau 0 à 2). Elles se développent sur les débris coralliens
- Le turf algal se développe sur les débris coralliens et les colonies coralliennes mortes en place, particulièrement en B & C
- Algues brunes *Lobophora* : absente et stable
- Algues rouges *Asparagopsis taxiformis* : stable en A (niveau 2) et augmentation en B et C (niveau 2/0 à 3/2)
- *Cliona orientalis* : stable en A et C (niveau 2) et en B (niveau 3)
- *Cliona jullieni* : stable

Les corallivores :

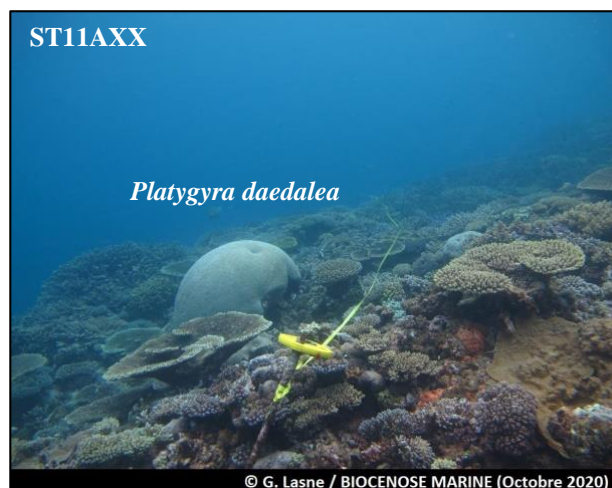
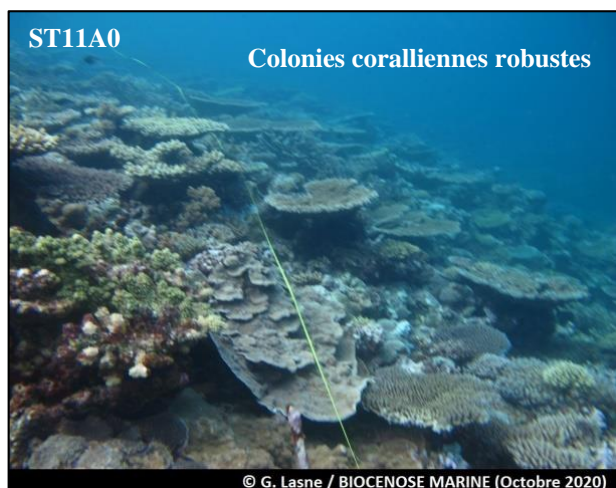
- *Acanthaster planci* et *Calcita novaeguineae* : absence, stable
- *Drupella cornus* : diminution : absence



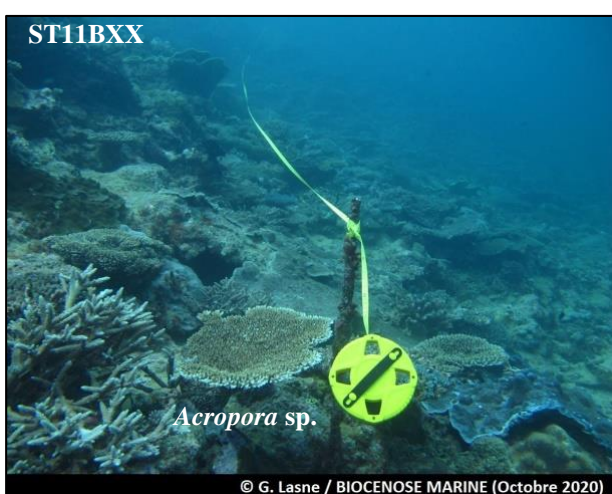
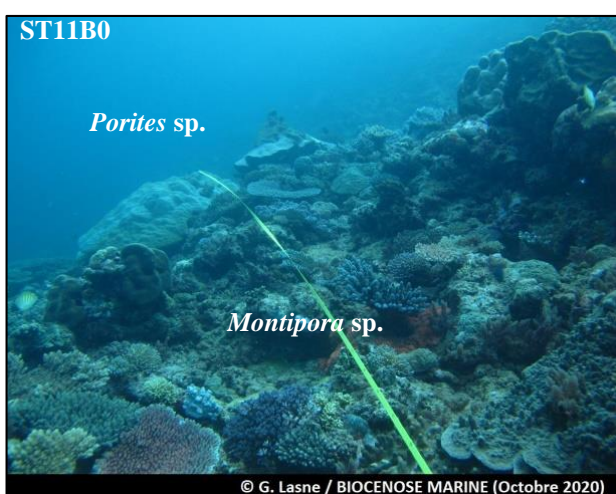
Carte 13 : Localisation de la station 11 (Toémo)



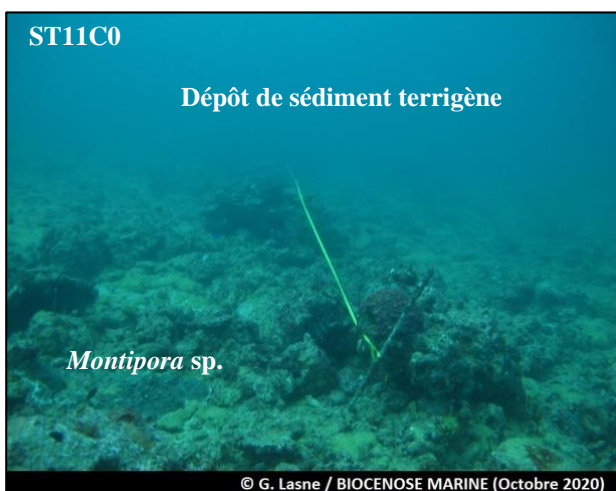
Photographie 23 : Position en surface par rapport à la côte (ST11)



Les parties hautes et médiane du récif sont diversifiées et composées de colonies coralliennes robustes
Colonies abondantes (*Acropora* spp., *Seriatopora caliendrum* et *Galaxea fascicularis*)



Asparagopsis (algue rouge) se développe de manière saisonnière et le turf algal de manière pérenne sur les nombreux débris et les colonies coralliennes mortes en place (B & C)



Accumulation de blocs et débris coralliens en bas de pente récifale

Photographie 24 : Vue d'ensemble des transects (ST11, présente mission)

4.11.1 Le substrat (ST11)

Le pourcentage de couverture de chaque composante est donné dans la [figure 71](#) pour le transect A, dans la [figure 72](#) pour le transect B et dans la [figure 73](#) pour le transect C.

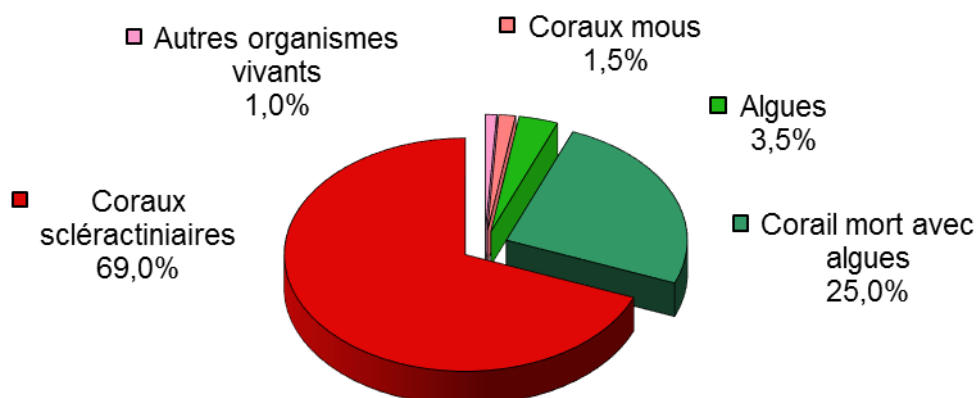


Figure 71 : Représentation du recouvrement (en %) du substrat pour ST11A

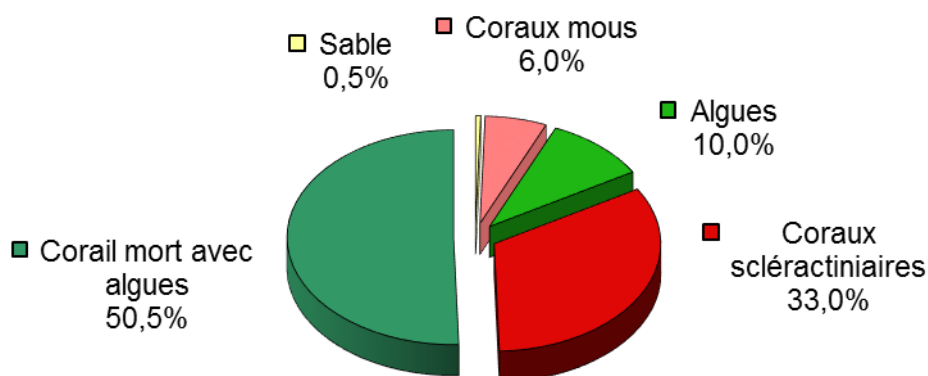


Figure 72 : Représentation du recouvrement (en %) du substrat pour ST11B

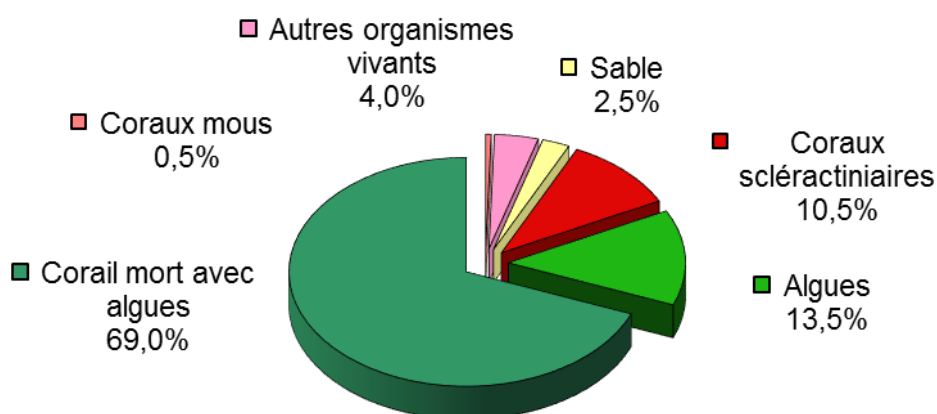


Figure 73 : Représentation du recouvrement (en %) du substrat pour ST11C

Cette station possède, parmi les plus forts recouvrements biotiques : 100%, 99.5% et 97.5% respectivement du haut vers le bas. Cela est dû essentiellement à la classe « coraux morts avec algues » qui est dominante.

Mais les coraux scléactiniaires y sont particulièrement aussi bien représentés, surtout sur les 2 premiers transects (69% et 33%) (69% en A soit le 2^{ème} plus fort recouvrement de tous les transects et 33% en B, 1^{er} score pour ce niveau bathymétrique). La moyenne sur la station est de 37.5%, ce qui la place au 2^{ème} rang.

Globalement, la station est stable.

4.11.2 Le benthos (ST11)

La liste des taxons cibles (cf. § 3.2.3) échantillonnés sur cette station et la liste complète des résultats bruts sont données en annexe n°04.

En octobre 2020, la richesse spécifique de la station Récif Toémo (ST11) est composée de :

- **48 espèces d'invertébrés** dont 10 espèces de mollusques ; 9 espèces de cnidaires : alcyonaires (6 taxons), actiniaires (1 taxon), hydrozoaires (1 taxon), zoanthaires (1 taxon) ; 12 espèces d'échinodermes : astéries (4 taxons), échinides (4 taxons), ophiurides (2 taxons), crinoïdes (1 taxon), holothurides (1 taxon) ; 8 espèces d'éponges ; 7 espèces d'ascidies
- **8 espèces de macrophytes** : algues rouges (5 taxons), algues vertes (3 taxons)
- **1 espèce de cyanobactéries.**

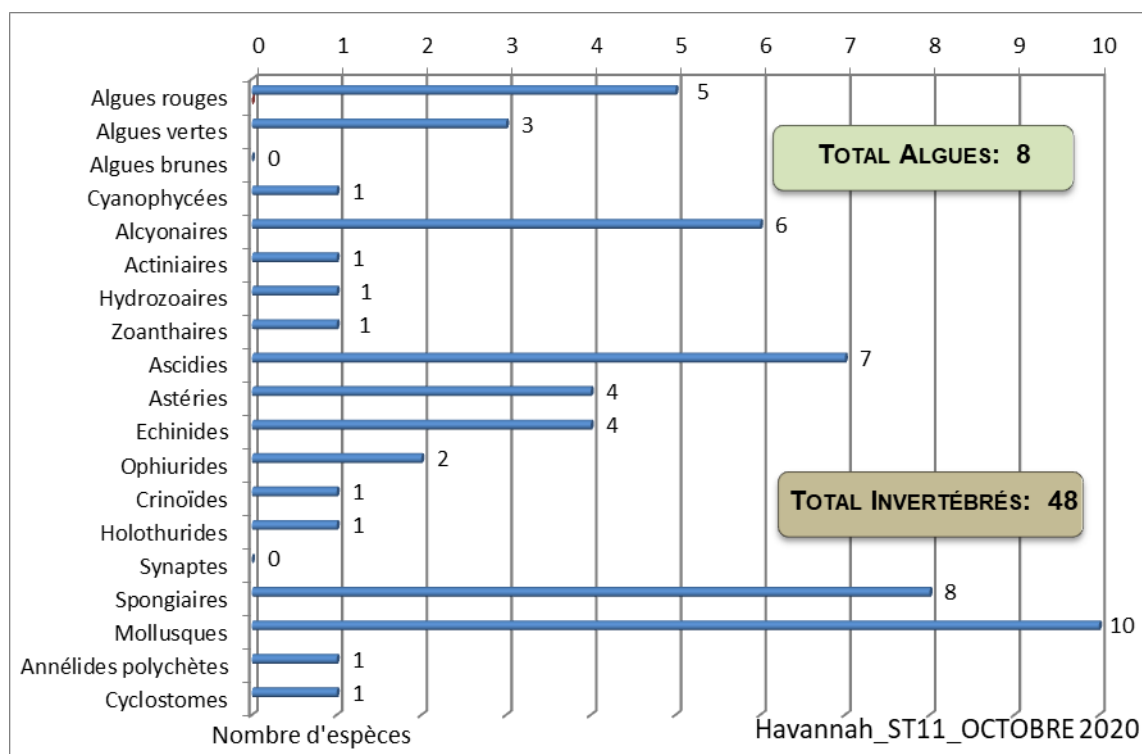


Figure 74 : Répartition par sous-groupe de la richesse spécifique des macrophytes et des invertébrés (hors coraux durs) (ST11)

4.11.2.1 Benthos Transect 11 A

En octobre 2020, la richesse spécifique du transect ST11A est composée de :

- 26 espèces d'invertébrés dont 3 espèces de mollusques ; 8 espèces de cnidaires : alcyonaires (5 taxons), actiniaires (1 taxon), hydrozoaires (1 taxon), zoanthaires (1 taxon) ; 4 espèces d'échinodermes : ophiurides (2 taxons), astéries (1 taxon), crinoïdes (1 taxon) ; 4 espèces d'éponges ; 5 espèces d'ascidies
- 7 espèces de macrophytes : algues rouges (4 taxons), algues vertes (3 taxons)
- 1 espèce de cyanobactéries.

Tableau 90 : Variations entre mai et octobre 2020 : Les biocénoses* (ST10A)

Evolution de la richesse spécifique des biocénoses*	Evolution de l'abondance
Algues	
Une nouvelle espèce d'algue recensée, l'algue rouge : • <i>Trichogloea requienii</i> (A1). 3 espèces d'algues disparues, dont l'algue rouge : • <i>Hypnea</i> sp. (A0/-2) et 2 espèces d'algues vertes : • <i>Caulerpa</i> sp. (A0/-2), • <i>Chlorodesmis fastigiata</i> (A0/-2).	Aucune espèce d'algues n'augmente. Une espèce d'algue diminue l'algue verte : • <i>Ventricaria ventricosa</i> (A1/- 1).
Cyanobactéries	
<input checked="" type="checkbox"/>	<input checked="" type="checkbox"/>
Cnidaires	
<input checked="" type="checkbox"/>	Une espèce de cnidaires diminue d'abondance : > pour les alcyonaires (1) : • <i>Nephthea</i> sp. (A2/- 1).
Échinodermes	
<input checked="" type="checkbox"/>	Une espèce d'échinodermes augmente d'abondance : > pour les ophiurides (1) : • <i>Ophiure</i> ind. (A3/+ 1). Une espèce d'échinodermes diminue d'abondance : > pour les astéries (1) : • <i>Linckia multifora</i> (A1/- 1).
Mollusques	
Une nouvelle espèce de mollusques recensée : > pour les gastéropodes (1 espèce) : • <i>Coralliophila violacea</i> (A2). Une espèce de mollusques disparue : > pour les gastéropodes (-1 espèce) : • <i>Drupella cornus</i> (A0/-2).	<input checked="" type="checkbox"/>
Éponges	
Une espèce d'éponges disparue : • <i>Leucetta chagosensis</i> (A0/-1).	Une espèce d'éponges diminue d'abondance : • <i>Dysidea herbacea</i> (A1/- 1).
Ascidies	
<input checked="" type="checkbox"/>	Une espèce d'ascidies diminue d'abondance : • <i>Polycarpa cryptocarpa</i> (A2/- 1).
Bryozoaires	
<input checked="" type="checkbox"/>	<input checked="" type="checkbox"/>

4.11.2.2 Benthos Transect 11 B

En octobre 2020, la richesse spécifique du transect ST11B est composée de :

- 47 espèces d'invertébrés dont 9 espèces de mollusques ; 9 espèces de cnidaires : alcyonnaires (6 taxons), actiniaires (1 taxon), hydrozoaires (1 taxon), zoanthaires (1 taxon) ; 12 espèces d'échinodermes : astéries (4 taxons), échinides (4 taxons), ophiurides (2 taxons), crinoïdes (1 taxon), holothurides (1 taxon) ; 8 espèces d'éponges ; 7 espèces d'ascidies
- 7 espèces de macrophytes : algues rouges (4 taxons), algues vertes (3 taxons)
- 1 espèce de cyanobactéries.

Tableau 91 : Variations entre mai et octobre 2020 : Les biocénoses* (ST10B)

Evolution de la richesse spécifique des biocénoses*	Evolution de l'abondance
Algues	
Une nouvelle espèce d'algue recensée, l'algue rouge : • <i>Trichogloea requienii</i> (A2). 2 espèces d'algues disparues, dont l'algue rouge : • <i>Hypnea</i> sp. (A0/-2) et l'algue verte : • <i>Halimeda</i> sp. (1spp./-1spp., A2/-0)	Une espèce d'algue recensée, l'algue rouge : • <i>Asparagopsis taxiformis</i> (A3/+ 1). Aucune espèce d'algues ne diminue.
Cyanobactéries	
<input checked="" type="checkbox"/>	<input checked="" type="checkbox"/>
Cnidaires	
Une espèce de cnidaires disparue : ➢ pour les alcyonnaires (-1 espèce) : • <i>Xenia</i> sp. (A0/-2).	Une espèce de cnidaires diminue d'abondance : ➢ pour les alcyonnaires (1 espèce) : • <i>Sarcophyton</i> sp. (A3/- 1).
Échinodermes	
4 nouvelles espèces d'échinodermes recensées : ➢ pour les échinides (3 espèces) : • <i>Diadema setosum</i> (A2), • <i>Echinometrix diadema</i> (A1), • <i>Parasalenia gratiosa</i> (A2) ; ➢ pour les holothurides (1 espèce) : • <i>Holothuria edulis</i> (A1).	Une espèce d'échinodermes augmente d'abondance : ➢ pour les crinoïdes (1 espèce) : •Crinoïdes ind. (A3/+ 1). Une espèce d'échinodermes diminue d'abondance : ➢ pour les ophiurides (1) : • <i>Ophiomastix caryophyllata</i> (A2/- 1).
Mollusques	
Une nouvelle espèce de mollusques recensée : ➢ pour les gastéropodes (1 espèce) : • <i>Lambis truncata</i> (A2). Une espèce de mollusques disparue : ➢ pour les gastéropodes (-1 espèce) : • <i>Drupella cornus</i> (A0/-2).	<input checked="" type="checkbox"/>
Éponges	
Une espèce d'éponges disparue : • <i>Leucetta chagosensis</i> (A0/-1).	<input checked="" type="checkbox"/>
Ascidies	
<input checked="" type="checkbox"/>	Une espèce d'ascidies diminue d'abondance : • <i>Polycarpa clavata</i> (A1/- 1).
Bryozoaires	
<input checked="" type="checkbox"/>	<input checked="" type="checkbox"/>

4.11.2.3 Benthos Transect 11 C

En octobre 2020, la richesse spécifique du transect ST11C est composée de :

- 33 espèces d'invertébrés dont 4 espèces de mollusques ; 4 espèces de cnidaires : alcyonaires (2 taxons), hydrozoaires (1 taxon), zoanthaires (1 taxon) ; 8 espèces d'échinodermes : échinides (3 taxons), ophiurides (2 taxons), astéries (1 taxon), crinoïdes (1 taxon), holothurides (1 taxon) ; 8 espèces d'éponges ; 7 espèces d'ascidies
- 2 espèces de macrophytes : algues rouges (2 taxons)
- 1 espèce de cyanobactéries.

Tableau 92 : Variations entre mai et octobre 2020 : Les biocénoses (ST10C)*

Evolution de la richesse spécifique des biocénoses*	Evolution de l'abondance
Algues	
2 nouvelles espèces d'algues recensées, dont 2 espèces d'algues rouges : • <i>Asparagopsis taxiformis</i> (A2), • <i>Galaxaura</i> sp. (A2). Une espèce d'algue disparue, l'algue rouge : • <i>Hypnea</i> sp. (A0/-2).	Aucune espèce d'algues n'augmente. Aucune espèce d'algues ne diminue.
Cyanobactéries	
Une nouvelle espèce de cyanobactéries recensée : • <i>Phormidium</i> sp. (A2).	<input checked="" type="checkbox"/>
Cnidaires	
Une espèce de cnidaires disparue : ➤ pour les alcyonaires (-1 espèce) : • <i>Lobophytum</i> sp. (A0/-2).	<input checked="" type="checkbox"/>
Échinodermes	
3 nouvelles espèces d'échinodermes recensées : ➤ pour les astéries (1 espèce) : • <i>Gomophia egyptiaca</i> (A1) ; ➤ pour les échinides (2 espèces) : • <i>Diadema setosum</i> (A1), • <i>Parasalenia gratiosa</i> (A1).	<input checked="" type="checkbox"/>
Mollusques	
Une nouvelle espèce de mollusques recensée : ➤ pour les nudibranches (1 espèce) : • <i>Phyllidia coelestis</i> (A1). Une espèce de mollusques disparue : ➤ pour les bivalves (-1 espèce) : • <i>Septifer bilocularis</i> (A0/-2).	Une espèce de mollusques augmente d'abondance : ➤ pour les bivalves (1 espèce) : • <i>Hyotissa hyotis</i> (A2/+ 1).
Éponges	
<input checked="" type="checkbox"/>	Une espèce d'éponges diminue d'abondance : • <i>Dysidea herbacea</i> (A1/- 1).
Ascidies	
Une nouvelle espèce d'ascidies recensée : • <i>Didemnum</i> sp. (blanche) (A2).	<input checked="" type="checkbox"/>
Bryozoaires	
<input checked="" type="checkbox"/>	<input checked="" type="checkbox"/>

4.11.3 Les poissons (ST11)

La liste des espèces observées¹⁵ sur les transects et les résultats bruts sont fournis dans le tableau 93.

Tableau 93 : Données sur les poissons (ST11)

Récif Toémo ST11		Transect			Transect			Transect			Station		
		A			B			C			Moyenne		
Fam	Espèces	Nb	Dens	Biom	Nb	Dens	Biom	Nb	Dens	Biom	Nb	Dens	Biom
Aca	<i>Acanthurus lineatus</i>	7	0,07	8,16							2,33	0,02	2,72
Aca	<i>Acanthurus olivaceus</i>							1	0,01	0,84	0,33	0,00	0,28
Aca	<i>Naso brachycentron</i>	10	0,10	31,25							3,33	0,03	10,42
Aca	<i>Zebrasoma scopas</i>				3	0,03	0,86				1,00	0,01	0,29
Aca	<i>Zebrasoma veliferum</i>				1	0,01	0,56				0,33	0,00	0,19
Ble	<i>Meiacanthus atrodorsalis</i>							1	0,01	0,01	0,33	0,00	0,00
Cha	<i>Chaetodon auriga</i>							2	0,03	0,06	0,67	0,01	0,02
Cha	<i>Chaetodon bennetti</i>	2	0,02	0,20							0,67	0,01	0,07
Cha	<i>Chaetodon kleinii</i>	3	0,03	0,13							1,00	0,01	0,04
Cha	<i>Chaetodon melannotus</i>	2	0,02	0,09							0,67	0,01	0,03
Cha	<i>Chaetodon mertensii</i>				1	0,01	0,04				0,33	0,00	0,01
Cha	<i>Chaetodon pelewensis</i>				2	0,02	0,07	2	0,03	0,03	1,33	0,01	0,03
Cha	<i>Chaetodon plebeius</i>	1	0,01	0,01							0,33	0,00	0,00
Cha	<i>Chaetodon vagabundus</i>	2	0,02	0,29							0,67	0,01	0,10
Epi	<i>Cephalopholis argus</i>	1	0,01	1,60							0,33	0,00	0,53
Epi	<i>Epinephelus fasciatus</i>				1	0,01	2,00				0,33	0,00	0,67
Epi	<i>Plectropomus leopardus</i>	1	0,01	12,80	2	0,02	21,33	1	0,01	22,78	1,33	0,01	18,97
Lab	<i>Bodianus loxozonus</i>							1	0,01	1,23	0,33	0,00	0,41
Lab	<i>Cheilinus chlorourus</i>	1	0,01	0,68							0,33	0,00	0,23
Lab	<i>Coris gaimard</i>	1	0,01	0,35							0,33	0,00	0,12
Lab	<i>Gomphosus varius</i>	3	0,03	0,60							1,00	0,01	0,20
Lab	<i>Hemigymnus melapterus</i>				1	0,01	0,97				0,33	0,00	0,32
Lab	<i>Labroides dimidiatus</i>				1	0,01	0,04	3	0,04	0,05	1,33	0,02	0,03
Lab	<i>Macropharyngodon meleagris</i>				2	0,02	0,07				0,67	0,01	0,02
Lab	<i>Thalassoma amblycephalum</i>	5	0,05	0,73	3	0,03	0,50				2,67	0,03	0,41
Lab	<i>Thalassoma hardwicke</i>	10	0,10	1,02	1	0,01	0,12				3,67	0,04	0,38
Lab	<i>Thalassoma lunare</i>	10	0,10	0,69	5	0,04	0,43	5	0,06	0,43	6,67	0,07	0,51
Lab	<i>Thalassoma lutescens</i>	5	0,05	0,51	2	0,02	0,17	5	0,06	0,64	4,00	0,04	0,44
Mic	<i>Ptereleotris evides</i>				5	0,04	0,18	7	0,09	0,05	4,00	0,04	0,08
Mul	<i>Parupeneus barberinus</i>							2	0,03	0,50	0,67	0,01	0,17
Mul	<i>Parupeneus crassilabris</i>				3	0,03	1,69				1,00	0,01	0,56
Mul	<i>Parupeneus multifasciatus</i>				2	0,02	1,13				0,67	0,01	0,38
Nem	<i>Scolopsis bilineatus</i>	3	0,03	0,80	4	0,03	2,73	4	0,05	0,73	3,67	0,04	1,42
Poc	<i>Centropyge bicolor</i>	2	0,02	0,03	3	0,03	0,03	3	0,04	0,05	2,67	0,03	0,04
Poc	<i>Centropyge bispinosa</i>				3	0,03	0,06	3	0,04	0,02	2,00	0,02	0,03
Poc	<i>Centropyge flavissima</i>	2	0,02	0,07							0,67	0,01	0,02
Poc	<i>Centropyge tibicen</i>	3	0,03	0,04	2	0,02	0,01	2	0,03	0,00	2,33	0,02	0,02
Pom	<i>Abudefduf whitleyi</i>	10	0,10	0,25	10	0,08	0,36				6,67	0,06	0,20
Pom	<i>Amphiprion clarkii</i>				5	0,04	0,05	5	0,06	0,01	3,33	0,03	0,02
Pom	<i>Chromis fumea</i>	20	0,20	0,11	15	0,13	0,16	10	0,13	0,02	15,00	0,15	0,10
Pom	<i>Chrysiptera rollandi</i>	4	0,04	0,02	4	0,03	0,02	1	0,01	0,01	3,00	0,03	0,02
Pom	<i>Chrysiptera taupou</i>				6	0,05	0,03	4	0,05	0,01	3,33	0,03	0,01
Pom	<i>Dascyllus reticulatus</i>	10	0,10	0,05	7	0,06	0,03	10	0,13	0,02	9,00	0,09	0,04
Pom	<i>Pomacentrus moluccensis</i>	3	0,03	0,04	4	0,03	0,04	3	0,04	0,02	3,33	0,03	0,03
Sca	<i>Chlorurus sordidus</i>	4	0,04	1,76	5	0,04	1,44				3,00	0,03	1,07
Sca	<i>Scarus ghobban</i>	1	0,01	4,39							0,33	0,00	1,46
Sca	<i>Scarus niger</i>	1	0,01	3,13	2	0,02	1,64				1,00	0,01	1,59

¹⁵ Données par rapport à la liste restreinte du cahier des charges, cf. annexe n°01

Sca	<i>Scarus rivulatus</i>				1	0,01	1,33				0,33	0,00	0,44
Sca	<i>Scarus schlegeli</i>				3	0,03	4,00	2	0,03	2,46	1,67	0,02	2,15
Sig	<i>Siganus argenteus</i>				10	0,08	5,63				3,33	0,03	1,88
Sig	<i>Siganus doliatus</i>				2	0,02	0,58				0,67	0,01	0,19
Sig	<i>Siganus vulpinus</i>				3	0,03	0,50				1,00	0,01	0,17
Total		127	1,27	69,79	124	1,04	48,80	77	0,96	29,96	109,33	1,09	49,52
Biodiversité					34						52		
Indice de Shannon =		4,947											
Equitabilité =		0,868											

Sur l'ensemble des transects de la station, 328 individus appartenant à 52 espèces différentes ont pu être observés. Ils représentent une densité de 1.09 poissons/m² pour une biomasse de 49.52 g/m².

144 espèces complémentaires (e.g. hors des transects et hors liste restreinte [*en rouge*]) ont été observées sur la station (cf. tableau 94).

Tableau 94 : Liste des espèces complémentaires (ST11)

Fam	Espèces	Fam	Espèces	Fam	Espèces
Aca	<i>Acanthurus dussumieri</i>	Lab	<i>Bodianus perditio</i>	Poc	<i>Pomacanthus sexstriatus</i>
Aca	<i>Acanthurus lineatus</i>	Lab	<i>Cheilinus chlorourus</i>	Poc	<i>Pygoplites diacanthus</i>
Aca	<i>Acanthurus olivaceus</i>	Lab	<i>Cheilinus trilobatus</i>	Pom	<i>Abudefduf sexfasciatus</i>
Aca	<i>Ctenochaetus striatus</i>	Lab	<i>Choerodon fasciatus</i>	Pom	<i>Abudefduf whitleyi</i>
Aca	<i>Naso brachycentron</i>	Lab	<i>Cirrhilabrus punctatus</i>	Pom	<i>Amblyglyphidodon aureus</i>
Aca	<i>Naso unicornis</i>	Lab	<i>Coris aygula</i>	Pom	<i>Amblyglyphidodon orbicularis</i>
Aca	<i>Zebrasoma scopas</i>	Lab	<i>Coris batuensis</i>	Pom	<i>Amphiprion clarkii</i>
Aca	<i>Zebrasoma veliferum</i>	Lab	<i>Coris gaimard</i>	Pom	<i>Chromis amboinensis</i>
Ant	<i>Pseudanthias squamipinnis</i>	Lab	<i>Epibulus insidiator</i>	Pom	<i>Chromis atripes</i>
Apo	<i>Cheilodipterus quinquelineatus</i>	Lab	<i>Gomphosius varius</i>	Pom	<i>Chromis chrysurus</i>
Bal	<i>Sufflamen bursa</i>	Lab	<i>Halichoeres argus</i>	Pom	<i>Chromis fumea</i>
Bal	<i>Sufflamen fraenatus</i>	Lab	<i>Halichoeres prosopion</i>	Pom	<i>Chromis iomelas</i>
Can	<i>Meiacanthus atrodorsalis</i>	Lab	<i>Hemigymnus melapterus</i>	Pom	<i>Chromis leucura</i>
Cha	<i>Chaetodon auriga</i>	Lab	<i>Hologymnosus doliatus</i>	Pom	<i>Chromis viridis</i>
Cha	<i>Chaetodon baronessa</i>	Lab	<i>Labroides bicolor</i>	Pom	<i>Chromis xanthurus</i>
Cha	<i>Chaetodon bennetti</i>	Lab	<i>Labroides dimidiatus</i>	Pom	<i>Chrysiptera rollandi</i>
Cha	<i>Chaetodon ephippium</i>	Lab	<i>Labropsis australis</i>	Pom	<i>Chrysiptera starcki</i>
Cha	<i>Chaetodon flavirostris</i>	Lab	<i>Macropharyngodon meleagris</i>	Pom	<i>Chrysiptera taupou</i>
Cha	<i>Chaetodon kleinii</i>	Lab	<i>Novaculichthys taeniourus</i>	Pom	<i>Dascyllus aruanus</i>
Cha	<i>Chaetodon lunulatus</i>	Lab	<i>Oxycheilinus celebicus</i>	Pom	<i>Dascyllus reticulatus</i>
Cha	<i>Chaetodon mertensii</i>	Lab	<i>Oxycheilinus unifasciatus</i>	Pom	<i>Neoglyphidodon nigroris</i>
Cha	<i>Chaetodon pelewensis</i>	Lab	<i>Stethojulis bandanensis</i>	Pom	<i>Plectroglyphidodon johnstonianus</i>
Cha	<i>Chaetodon plebeius</i>	Lab	<i>Thalassoma amblycephalum</i>	Pom	<i>Plectroglyphidodon lacrymatus</i>
Cha	<i>Chaetodon trifascialis</i>	Lab	<i>Thalassoma hardwicke</i>	Pom	<i>Pomacentrus adeli</i>
Cha	<i>Chaetodon vagabundus</i>	Lab	<i>Thalassoma janseni</i>	Pom	<i>Pomacentrus amboinensis</i>
Cha	<i>Coradion altivelis</i>	Lab	<i>Thalassoma lunare</i>	Pom	<i>Pomacentrus chrysurus</i>
Cha	<i>Heniochus acuminatus</i>	Lab	<i>Thalassoma lutescens</i>	Pom	<i>Pomacentrus coelestis</i>
Cha	<i>Heniochus varius</i>	Lab	<i>Thalassoma nigrofasciatum</i>	Pom	<i>Pomacentrus lepidogenys</i>
Cir	<i>Cirrhitichthys falco</i>	Lab	<i>Anampses femininus</i>	Pom	<i>Pomacentrus moluccensis</i>
Cir	<i>Paracirrhites forsteri</i>	Lut	<i>Aprion virescens</i>	Pom	<i>Pomacentrus simsiang</i>
Epi	<i>Anyperodon leucogrammicus</i>	Lut	<i>Lutjanus argentimaculatus</i>	Pom	<i>Pomacentrus spilotoceps</i>

Epi	<i>Cephalopholis argus</i>	Lut	<i>Lutjanus bohar</i>	Pom	<i>Stegastes nigricans</i>
Epi	<i>Cephalopholis urodeta</i>	Mic	<i>Gunnellichthys curiosus</i>	Pri	<i>Priacanthus hamrur</i>
Epi	<i>Epinephelus fasciatus</i>	Mic	<i>Ptereleotris evides</i>	Pte	<i>Ptereleotris evides</i>
Epi	<i>Epinephelus maculatus</i>	Mon	<i>Aluterus scriptus</i>	Sca	<i>Cetoscarus ocellatus</i>
Epi	<i>Epinephelus merra</i>	Mon	<i>Oxymonacanthus longirostris</i>	Sca	<i>Chlorurus sordidus</i>
Epi	<i>Plectropomus laevis</i>	Mul	<i>Parupeneus barberinus</i>	Sca	<i>Scarus flavipectoralis</i>
Epi	<i>Plectropomus leopardus</i>	Mul	<i>Parupeneus crassilabris</i>	Sca	<i>Scarus forsteni</i>
Epi	<i>Variola louti</i>	Mul	<i>Parupeneus multifasciatus</i>	Sca	<i>Scarus ghobban</i>
Gra	<i>Diploprion bifasciatum</i>	Mul	<i>Parupeneus spilurus</i>	Sca	<i>Scarus niger</i>
Hae	<i>Plectorhinchus chaetodonoides</i>	Nem	<i>Scolopsis bilineatus</i>	Sca	<i>Scarus rivulatus</i>
Hae	<i>Plectorhinchus lessonii</i>	Pin	<i>Parapercis hexophtalma</i>	Scb	<i>Scarus schlegeli</i>
Hol	<i>Neoniphon sammara</i>	Ple	<i>Assessor macneilli</i>	Sig	<i>Siganus argenteus</i>
Hol	<i>Sargocentron spiniferum</i>	Poc	<i>Centropyge bicolor</i>	Sig	<i>Siganus doliatus</i>
Lab	<i>Anampses femininus</i>	Poc	<i>Centropyge bispinosus</i>	Sig	<i>Siganus puellus</i>
Lab	<i>Anampses meleagrides</i>	Poc	<i>Centropyge flavissima</i>	Sig	<i>Siganus vulpinus</i>
Lab	<i>Anampses neoguinaicus</i>	Poc	<i>Centropyge tibicen</i>	Syn	<i>Synodus variegatus</i>
Lab	<i>Bodianus loxozonus</i>	Poc	<i>Pomacanthus semicirculatus</i>	Zan	<i>Zanclus cornatus</i>

Le nombre d'espèces présentes pour chaque famille (observée depuis 2007) est donné dans le [tableau 95](#) et spécifiquement pour cette campagne sur la [figure 75](#).

Tableau 95 : Nombre d'espèces par famille ichthyologique (ST11)

Familles	Nb d'espèces vues (zone et période totale)	Nb d'espèces		Proportions	
		Campagne	Moy.	Campagne	Moy.
Acanthuridae	40	5	6,50	12,50	16,25
Chaetodontidae	30	8	9,29	26,67	30,97
Epinephelinae	26	3	2,04	11,54	7,85
Labridae	97	11	9,38	11,34	9,66
Lethrinidae	16	0	0,04	0,00	0,26
Lutjanidae	22	0	0,08	0,00	0,38
Mullidae	14	3	1,83	21,43	13,10
Pomacanthidae	14	4	3,88	28,57	27,68
Pomacentridae	92	7	5,96	7,61	6,48
Scaridae	23	5	4,58	21,74	19,93
Siganidae	10	3	0,75	30,00	7,50
Autres	257	3	5,00	1,17	1,95
Khi2 obs		9,3		112,9	
Khi2 tab		19,17			

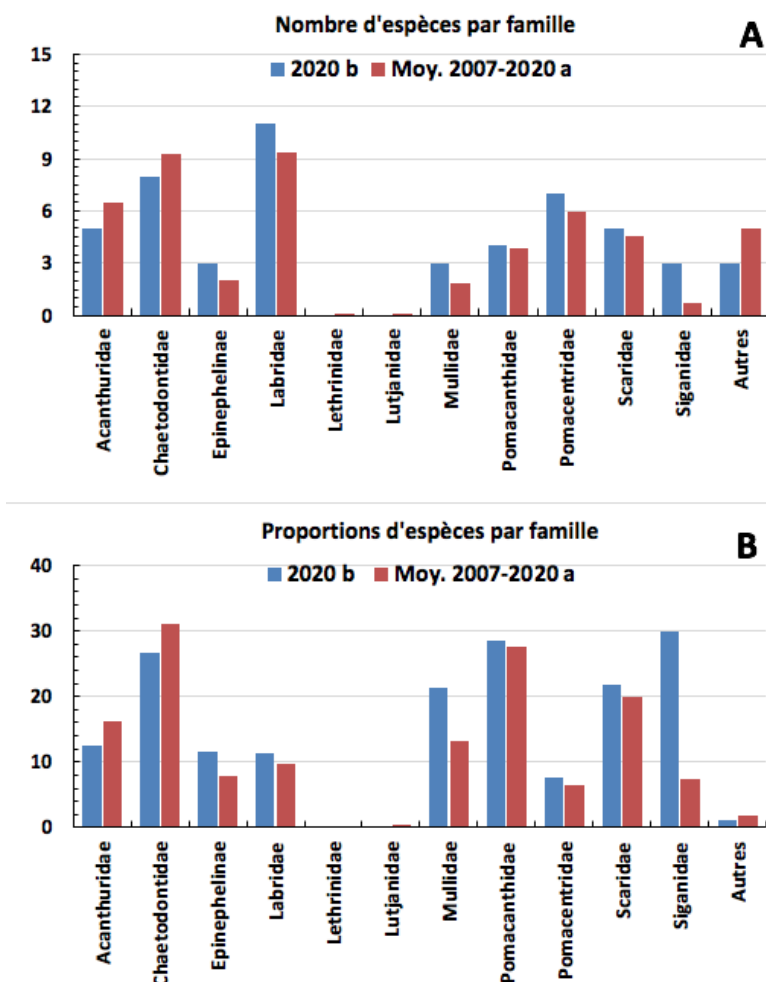


Figure 75 : Structure du peuplement pour cette mission relativement à la moyenne (ST11)

L'histogramme A compare pour une famille les effectifs vus lors de cette mission avec la moyenne et l'histogramme B compare les proportions de cet effectif vu par rapport à l'effectif total d'espèces vu pour cette même famille, sur la zone sud depuis les premières missions

Le récapitulatif des résultats en termes de :

- d'abondance (nombre d'individus, transects/liste restreinte),
- de densité (en poisson/m², transects/liste restreinte),
- de biomasse (en g/m², transects/liste restreinte),
- de biodiversité 1 (espèces observées sur les transects et de la liste restreinte),
- de biodiversité 2 (espèces observées sur la station (transects + complémentaires) et de la liste restreinte),
- de biodiversité 3 (toutes les espèces observées sur la station (transects + complémentaires / liste non restreinte)),

pour toutes les campagnes depuis 2007 est présenté dans le tableau 96 et la figure 76.

Tableau 96 : Synopsis des résultats et récapitulatif des années précédentes (ST11)

Récif Toémo ST11		Liste DENV					Toutes espèces
		Transect TLV				Station	Station
		Nb. ind.	Densité	Biom. g/m ²	Biodiv.1	Biodiv.2	Biodiv.3
2020 b	Transect A	127	1,27	69,79			
	Transect B	124	1,04	48,80			
	Transect C	77	0,96	29,96			
	Moy. ABC	109,33	1,09	49,52	52	98	144
2020 a	Moy. ABC	142,67	1,69	86,92	56	73	104
2019 b	Moy. ABC	206,00	1,59	134,05	70	93	127
2019 a	Moy. ABC	201,00	2,00	116,86	70	87	124
2018 b	Moy. ABC	178,00	1,66	40,10	56	84	117
2018 a	Moy. ABC	196,67	1,68	129,74	72	90	141
2017 b	Moy. ABC	150,67	2,26	51,02	51	79	110
2017 a	Moy. ABC	215,33	1,84	19,50	53	77	111
2016 b	Moy. ABC	155,33	1,15	31,08	45	92	122
2016 a	Moy. ABC	166,00	1,67	121,78	57	79	111
2015 b	Moy. ABC	183,00	1,78	57,17	59	81	109
2015 a	Moy. ABC	184,67	1,64	134,53	68	80	107
2014 b	Moy. ABC	100,00	1,27	73,96	51	74	105
2014 a	Moy. ABC	95,00	1,08	44,99	49	68	98
2013 b	Moy. ABC	140,33	1,64	52,11	37	54	94
2013 a	Moy. ABC	110,00	1,35	60,53	42	55	92
2012 b	Moy. ABC	97,33	1,27	108,09	43	70	110
2012 a	Moy. ABC	122,33	1,70	114,66	45	85	116
2011 b	Moy. ABC	74	0,90	38,56	48	67	109
2011 a	Moy. ABC	129,33	2,50	188,39	50	79	116
2010 b	Moy. ABC	180	1,59	75,10	44	61	88
2010 a	Moy. ABC	93,33	1,86	75,42	42	65	95
2009	Moy. ABC	74,67	3,12	79,63	31	50	74
2008	Moy. ABC	111,33	1,90	61,85	39	57	71
2007 ¹⁶	Moy. ABC	123,67	1,64	174,47	28	37	53

L'écart relatif à la moyenne [$Er_i = (X_i - X_m) / X_m$] pour ces paramètres biologiques peut alors être calculé : cf. tableau 97 et représentation figure 77.

Tableau 97 : Ecart relatif à la moyenne des paramètres biologiques ichtyologiques depuis 2007 (ST11)

	Nb ind.	Densité	Biom.	Biodiv.1	Biodiv.2	Biodiv.3
Variance	1 849	0,22	2 002	130	225	418
Ecart type	43,00	0,47	44,75	11,41	15,01	20,44
Moyenne	141,59	1,67	84,80	50,60	73,32	105,84
Coef. de Var.	0,30	0,28	0,53	0,23	0,20	0,19

¹⁶ Les données 2007 ont été reprises en éliminant les espèces qui ne figurent pas sur cette liste car le rapport 2007 ne tient pas compte de la liste DENV sur le TLV.

Commentaires :

Cette station est proche de la passe de Goro et d'une crête récifale de récif barrière.

L'abondance sur les transects et surtout sur le transect-A fluctue avec l'hydrodynamisme en fonction de :

- la hauteur des houles (celles-ci ont toujours la même orientation SE)
- l'importance des vagues et leur orientation, donc le sens et la force du vent
- et la marée (courants et marnage).

En effet, si la marée est haute la ligne de déferlement s'éloigne du transect et les masses d'eau entrent dans le lagon de Goro, inversement plus elle est basse plus les masses d'eau s'évacuent en avant de la crête récifale et entretiennent un courant de « transfert littoral » plus ou moins violent. Ainsi, plus les houles (surtout) et/ou les vagues sont fortes et plus l'incidence est oblique et plus ce courant de transfert est fort. Il est d'ailleurs la plupart du temps impossible de tenir le ruban du transect sur ce transect A.

Lors de cette mission l'hydrodynamisme était extrêmement violent. Le courant de transfert littoral n'a pas permis de filmer correctement les transects et même les poissons étaient réfugiés dans le couloir de rip-current qui se trouve à l'ouest du transect A. Cet hydrodynamisme exceptionnel a pour conséquence la faiblesse des paramètres sur les transects et l'importance de la biodiversité 3 puisque le couloir de rip-current se trouve sur la zone de comptage de ce paramètre.

Ainsi :

- Les densité, biomasse ont des valeurs faibles
- La biodiversité 1 est moyenne
- Les biodiversités 2 et 3 sont maximales.

La série historique montre des structures de peuplement changeantes comme sur toutes les stations du canal de la Havannah.

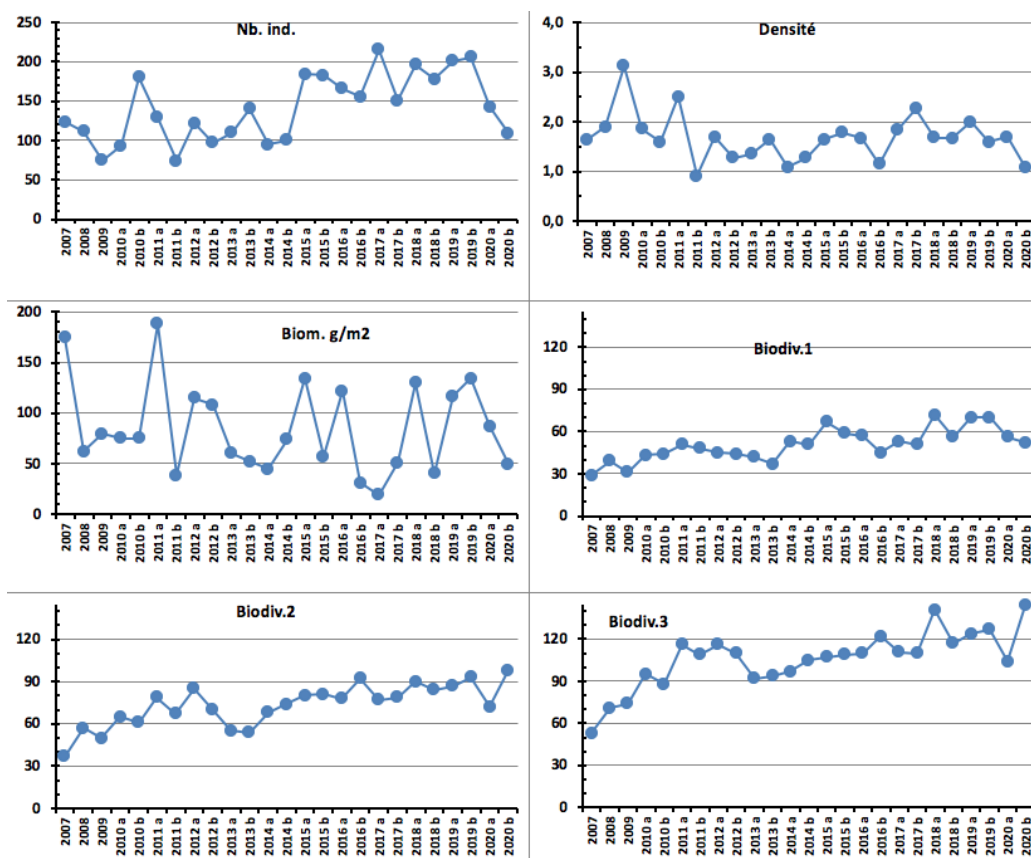


Figure 76 : Evolution des paramètres biologiques ichthyologiques depuis 2007 (ST11)

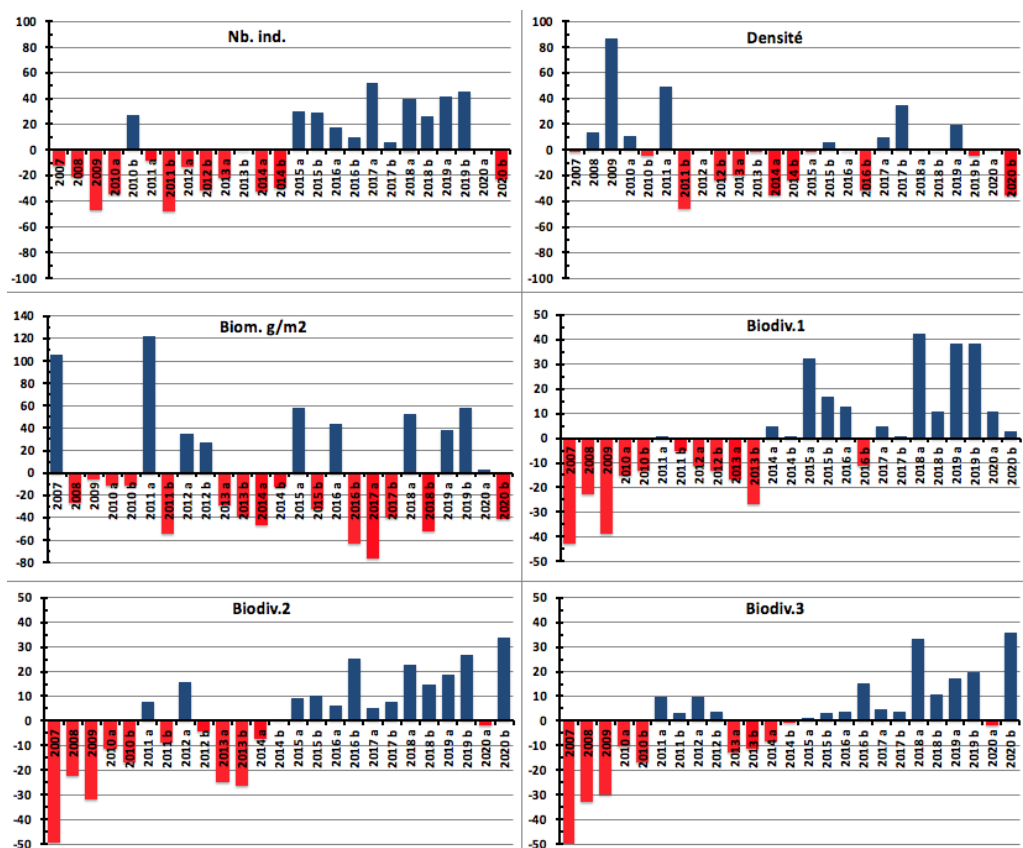


Figure 77 : Ecart relatif à la moyenne des paramètres biologiques ichthyologiques depuis 2007 (ST11)

4.12 Station 12 = Ilot Ugo

Localisation géographique	Partie nord de la façade ouest du récif frangeant sous le vent de l'îlot Ugo.
Nombre transects	2 transects.
Description transects	Ils ont été positionnés à 5 et 13 mètres de profondeur, perpendiculairement à la pente du récif frangeant dans un alignement du nord-est vers le sud-ouest.
	<p>Il n'y a que 2 transects car sous 14 m de profondeur, les constructions coralliennes deviennent de plus en plus restreintes (gros blocs rocheux et débris coralliens qui ont dévalés la pente). Puis, vers 17 m de profondeur, la pente sédimentaire, composée de sable et inclinée à 35°, peut être colonisée principalement par une grande variété d'holothuries (<i>Holothuria fuscopunctata</i>, <i>Bohadschia argus</i>, <i>Stichopus stichopus</i>, <i>S. variegatus</i>, <i>Thekenota ananas</i>). Ces dernières s'éparpillent à travers le substrat meuble et les quelques débris. Un transect à 20 m n'aurait donc pas été pertinent en termes de suivi (recouvrement biotique très faible et recouvrement corallien proche de nul).</p> <p>Le transect A est installé dans le haut du tombant récifal. Il est composé par de grandes colonies plurimétriques de <i>Porites</i>, d'<i>Acropora</i> branchus et <i>Lobophyllia corymbosa</i>. Cette dernière est disloquée et une partie s'est effondrée sur le niveau inférieur. Le reste des colonies coralliennes sont de taille décimétrique et les débris coralliens sont très nombreux. Deux grands couloirs d'effondrement traversent la pente récifale jusqu'au pied du 2^{ème} transect. Ces derniers sont parsemés par de multiples espèces de Fungiidae.</p> <p>Le niveau bathymétrique du transect B se caractérise par un recouvrement important de débris, de blocs coralliens sur du sable coquillé, avec un couloir d'effondrement sous le début du transect. Un massif corallien du genre <i>Goniopora</i> de taille pluri métrique s'étale sur les débris coralliens. Les autres colonies de madrépores sont de taille décimétrique et sont dispersées de manière éparse.</p>

Description générale

Ce récif est soumis aux courants de marées et subi sur sa façade sud-est l'assaut des vagues dues aux alizés, alors que sa façade nord et nord-ouest est plus protégée.

La station est positionnée sur le front récifal du récif frangeant. Le platier récifal est large, arasé et peu colonisé par les coraux.

Le haut du tombant récifal est structuré en marches d'escalier délimitées par de grandes colonies de *Porites* sp.. Ce niveau bathymétrique est bien colonisé par les scléactiniaires de tailles hétérogènes (décimétrique à plurimétrique). Les massifs coralliens de forme massive se développent particulièrement en haut de récif jusqu'à mi pente, laissant la place au fur et à mesure aux coraux branchus. Cependant, la structure récifale présente deux couloirs d'effondrement avec par place de grandes accumulations de débris et de blocs coralliens. Ces derniers sont recouverts principalement par des corallines. De très nombreux Fungiidae (coraux libres) sont éparpillés et enchevêtrés à travers cette structure mouvante.

Caractéristiques principales

- ↪ Croissance de grandes colonies de *Porites* sp., *Lobophyllia corymbosa* et de grands massifs de *Goniopora* sp. et *Acropora* spp.
- ↪ Le reste des colonies coralliennes sont de taille décimétrique à métrique (turn over important)
- ↪ Grande diversité et abondance des coraux libres (famille Fungiidae) qui affectionnent particulièrement ce substrat détritique (couloir d'effondrement de débris)
- ↪ Accumulation de débris importante sous le transect et en périphérie de la station : présence de grands couloirs d'effondrement disposés de part et d'autres de la station qui deviennent de plus en plus large au gré des périodes dépressionnaires
- ↪ Sédimentation importante de particules fines carbonatées en bas du tombant (début de pente sédimentaire)
- ↪ Recouvrement très important de *Sarcophyton* (alcyonaires)
- ↪ Recouvrement algal très faible
- ↪ Les spongiaires (*Cliona jullieni* et *C. orientalis*) sont relativement bien développées et colonisent les massifs et les blocs coralliens

- ↪ **Présence d'*Acanthaster planci*** : très occasionnelle :
- Présence de 1 spécimen en mai et novembre 2018 en A
 - Présence de 2 spécimens en avril 2019 en A
 - **Absence en mai et octobre 2020**

Variations entre mai et octobre 2020

Indicateur Corail :

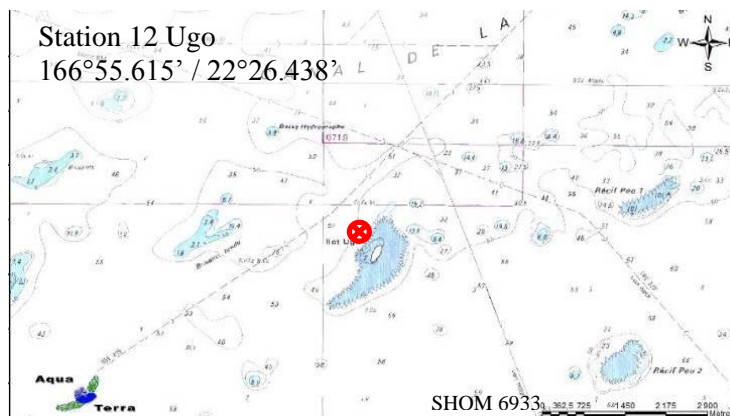
- Le recouvrement corallien est stable, de 34% au transect A et 20% en B. Stable
- Blanchissement corallien (surface totale observée) : *Octobre 2015 : 0.5% ; Avril 2016 : 0.25% ; Novembre 2016 : 0.5% ; Avril 2017 : 0.2% ; Septembre 2017 : 1.35% ; Mai 2018 : 0.75% ; Novembre 2018 : 0.40% ; Avril 2019 : 1.25 % ; Octobre 2019 : 0.9% ; Mai 2020 : 0.35% ; Octobre 2020 : 0.35%*
- Lésions coralliennes : des colonies coralliennes sont dégradées suite aux perturbations mécaniques, à la maladie de la bande blanche et à la prédation de corallivores :
 - Prédation des corallivores *Drupella cornus* et *Chicoreus brunneus* en A : 0.7 m² de coraux blanchis sans polype
 - Maladie corallienne : RAS pour cette mission
 - Perturbations mécaniques : les conditions hydrodynamiques sont importantes et créent de grands couloirs d'effondrement composés de débris disposés de part et d'autres de la station. Ces débris sont régulièrement remobilisés par la houle

Autres indicateurs :

- Cyanobactéries : augmentation en A et B (niveau 2 à 3). Elles se développent sur les débris coralliens remobilisés dans les couloirs d'effondrements
- Le turf algal se développe abondamment sur les débris coralliens et les colonies coralliennes mortes en place au fur et à mesure de leur dégradation
- Algue brune *Lobophora* : stable en A et B (niveau 2)
- Algue rouge *Asparagopsis taxiformis* : absente : diminution en A (niveau 2 à 0) et stable en B
- *Cliona orientalis* : stable en A (niveau 4) et B (niveau 3)
- *Cliona jullieni* : stable en A et B (niveau 3)

Les corallivores :

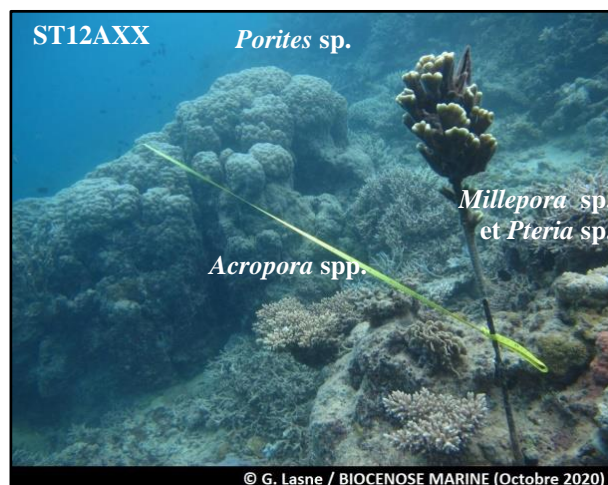
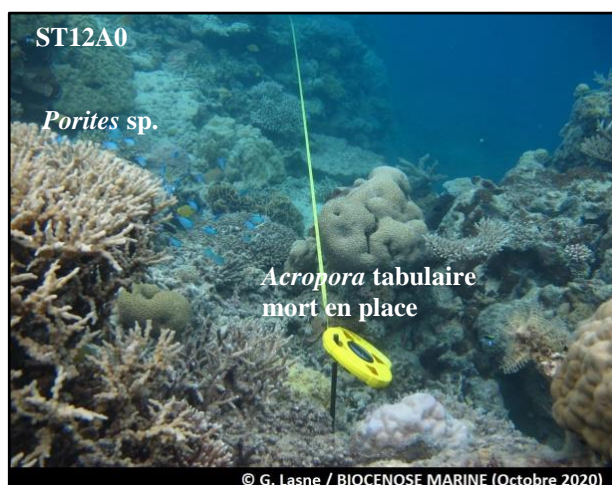
- *Acanthaster planci* et *Culcita novaeguineae* : absence, stable
- *Drupella cornus* : stable en A (niveau 2)
- *Chicoreus brunneus* : apparition en A (niveau 2)



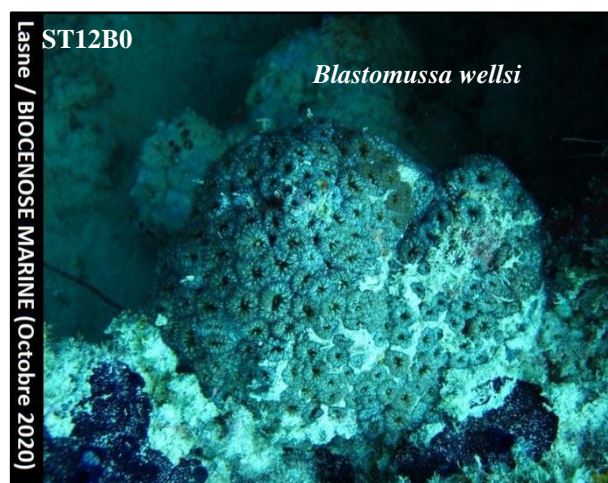
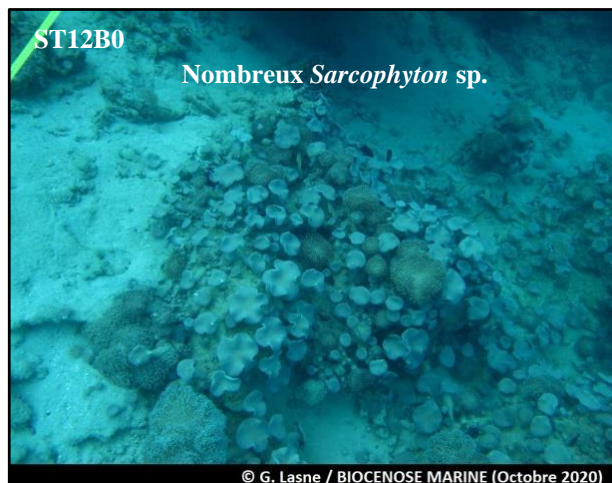
Carte 14 : Localisation de la station 12 (Ilot Ugo)



Photographie 25 : Position en surface par rapport à la côte (ST12)



Nombreuses colonies coralliennes mortes en place au fur et à mesure des missions
(*Drupella cornus* et *Acanthaster planci*).



Les débris coralliens forment des couloirs d'effondrement
depuis le haut du récif jusqu'à la pente sédimentaire

Photographie 26 : Vue d'ensemble des transects (ST12, présente mission)

4.12.1 Le substrat (ST12)

Le pourcentage de couverture de chaque composante est donné dans la [figure 78](#) pour le transect A et dans la [figure 79](#) pour le transect B.

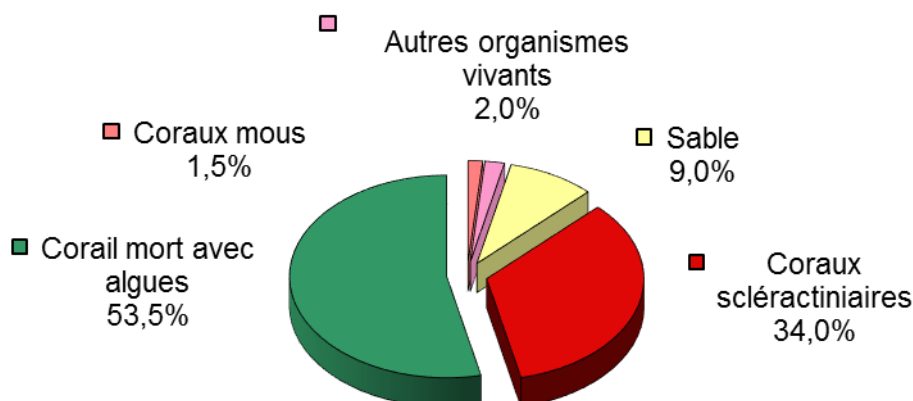


Figure 78 : Représentation du recouvrement (en %) du substrat pour ST12A

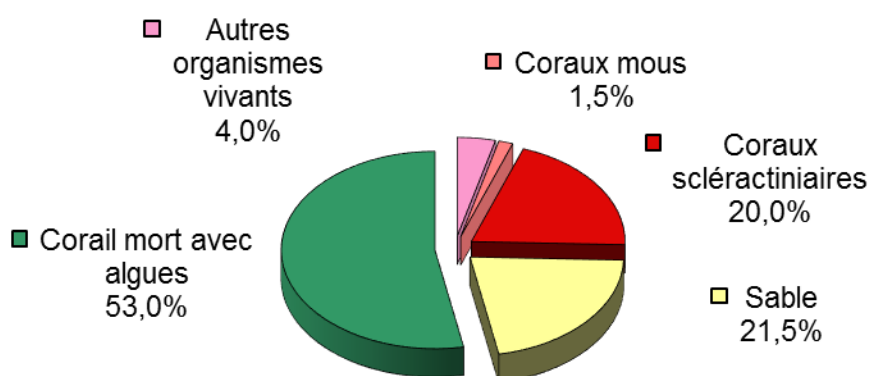


Figure 79 : Représentation du recouvrement (en %) du substrat pour ST12B

Les coraux scléactiniaires sont plutôt bien représentés avec 34% en A et 20% en B. Le reste du substrat fait une large part aux coraux morts recouverts d'algues (53.5% et 53%). Ainsi, le recouvrement est majoritairement biotique pour chaque transect (91% et 78.5%).

La station est globalement stable.

4.12.2 Le benthos (ST12)

La liste des taxons cibles (cf. § 3.2.3) échantillonnés sur cette station et la liste complète des résultats bruts sont données en annexe n°04.

En octobre 2020, la richesse spécifique de la station Ugo (ST12) est composée de :

- **44 espèces d'invertébrés** dont 14 espèces de mollusques ; 7 espèces de cnidaires : alcyonaires (3 taxons), actiniaires (2 taxons), hydrozoaires (1 taxon), zoanthaires (1 taxon) ; 7 espèces d'échinodermes : astéries (2 taxons), échinides (2 taxons), ophiurides (2 taxons), crinoïdes (1 taxon) ; 9 espèces d'éponges ; 5 espèces d'ascidies
- **5 espèces de macrophytes** : algues vertes (3 taxons), algues brunes (2 taxons)
- **2 espèces de cyanobactéries.**

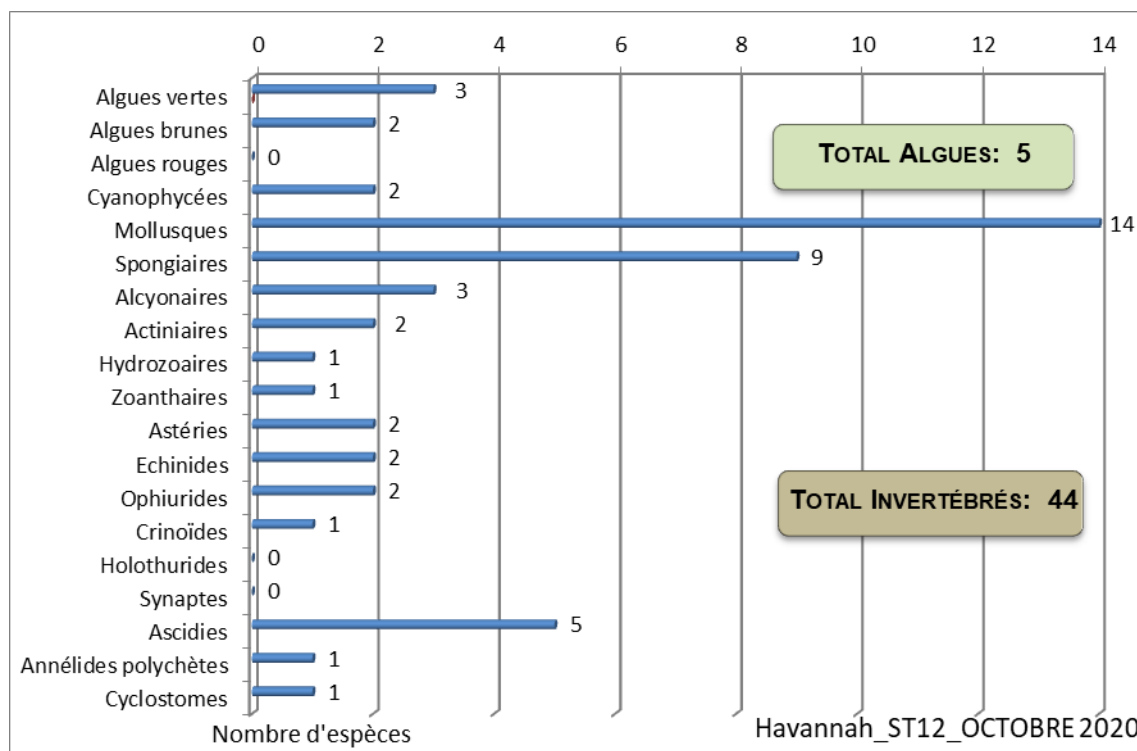


Figure 80 : Répartition par sous-groupe de la richesse spécifique des macrophytes et des invertébrés (hors coraux durs) (ST12)

4.12.2.1 Benthos Transect 12 A

En octobre 2020, la richesse spécifique du transect ST12A est composée de :

- -41 espèces d'invertébrés dont 14 espèces de mollusques ; 7 espèces de cnidaires : alcyonaires (3 taxons), actiniaires (2 taxons), hydrozoaires (1 taxon), zoanthaires (1 taxon) ; 7 espèces d'échinodermes : astéries (2 taxons), échinides (2 taxons), ophiurides (2 taxons), crinoïdes (1 taxon) ; 8 espèces d'éponges ; 3 espèces d'ascidies
- -5 espèces de macrophytes : algues vertes (3 taxons), algues brunes (2 taxons)
- 2 espèces de cyanobactéries.

Tableau 98 : Variations entre mai et octobre 2020 : Les biocénoses (ST12A)*

Evolution de la richesse spécifique des biocénoses*	Evolution de l'abondance
Algues	
Une nouvelle espèce d'algue recensée, l'algue verte : • <i>Halimeda</i> sp. (A2) ; Une espèce d'algue disparue, l'algue rouge : • <i>Asparagopsis taxiformis</i> (A0/-2).	Aucune espèce d'algues n'augmente. Une espèce d'algue diminue, l'algue verte : • <i>Chlorodesmis fastigiata</i> (A1/- 1).
Cyanobactéries	
Une nouvelle espèce de cyanobactéries recensée : • <i>Symploca hydroides</i> (A2).	<input checked="" type="checkbox"/>
Cnidaires	
Une nouvelle espèce de cnidaires recensée : > pour les actiniaires (1 espèce) : • <i>Discosoma</i> sp. (A2). Une espèce de cnidaires disparue : > pour les alcyonaires (-1 espèce) : • <i>Dendronephthya</i> sp. (A0/-2).	<input checked="" type="checkbox"/>
Échinodermes	
<input checked="" type="checkbox"/>	Une espèce d'échinodermes augmente d'abondance : > pour les échinides (1) : • <i>Diadema setosum</i> (A2/+ 1).
Mollusques	
3 nouvelles espèces de mollusques recensées : > pour les bivalves (1 espèce) : • <i>Pinctada margaritifera</i> (A1) ; > pour les gastéropodes (2 espèces) : • <i>Chicoreus brunneus</i> (A2), • <i>Tectus niloticus</i> (A1). Une espèce de mollusques disparue : > pour les bivalves (-1) : • <i>Tridacna maxima</i> (A0/-1).	Une espèce de mollusques augmente d'abondance : > pour les bivalves (1 espèce) : • <i>Arca ventricosa</i> (A3/+ 1).
Éponges	
Une nouvelle espèce d'éponges recensée : • <i>Clathria rugosa</i> (A2).	<input checked="" type="checkbox"/>
Ascidies	
Une nouvelle espèce d'ascidies recensée : • <i>Didemnum</i> sp. (blanche) (A2).	Une espèce d'ascidies diminue d'abondance : • <i>Polycarpa cryptocarpa</i> (A1/- 1).
Bryozoaires	
<input checked="" type="checkbox"/>	<input checked="" type="checkbox"/>

4.12.2.2 Benthos Transect 12 B

En octobre 2020, la richesse spécifique du transect ST12B est composée de :

- 31 espèces d'invertébrés dont 8 espèces de mollusques ; 4 espèces de cnidaires : alcyonaires (2 taxons), hydrozoaires (1 taxon), zoanthaires (1 taxon) ; 5 espèces d'échinodermes : échinides (2 taxons), ophiurides (2 taxons), crinoïdes (1 taxon) ; 8 espèces d'éponges ; 4 espèces d'ascidies
- 2 espèces de macrophytes : algues brunes (1 taxon), algues vertes (1 taxon)
- 2 espèces de cyanobactéries.

Tableau 99 : Variations entre mai et octobre 2020 : Les biocénoses* (ST12B)

Evolution de la richesse spécifique des biocénoses*	Evolution de l'abondance
Algues	
Aucune nouvelle espèce d'algues recensée ni n'a disparue.	Aucune espèce d'algues n'augmente ni ne diminue.
Cyanobactéries	
Une nouvelle espèce de cyanobactéries recensée : • <i>Symploca hydnoïdes</i> (A2).	<input checked="" type="checkbox"/>
Cnidaires	
Une espèce de cnidaires disparue : ➤ pour les alcyonaires (-1 espèce) : • <i>Dendronephthya</i> sp. (A0/-2).	Une espèce de cnidaires diminue d'abondance : ➤ pour les zoanthaires (1) : • <i>Palythoa tuberculosa</i> (A1/- 1).
Échinodermes	
<input checked="" type="checkbox"/>	<input checked="" type="checkbox"/>
Mollusques	
Une nouvelle espèce de mollusques recensée : ➤ pour les bivalves (1 espèce) : • <i>Hyotissa hyotis</i> (A2).	Une espèce de mollusques diminue d'abondance : ➤ pour les bivalves (1) : • <i>Pinctada margaritifera</i> (A1/- 1).
Éponges	
2 nouvelles espèces d'éponges recensées : • <i>Cymbastela cantharella</i> (A1), • <i>Clathria rugosa</i> (A2).	2 espèces d'éponges augmentent d'abondance : •Spongiaires ind. (noire) (A3/+ 1), •Spongiaires ind. (orange) (A2/+ 1).
Ascidies	
Une nouvelle espèce d'ascidies recensée : • <i>Polycarpa aurita</i> (A2).	Une espèce d'ascidies augmente d'abondance : • <i>Polycarpa nigricans</i> (A3/+ 1). Une espèce d'ascidies diminue d'abondance : • <i>Polycarpa clavata</i> (A1/- 1).
Bryozoaires	
<input checked="" type="checkbox"/>	<input checked="" type="checkbox"/>

4.12.3 Les poissons (ST12)

La liste des espèces observées¹⁷ sur les transects et les résultats bruts sont fournis dans le [tableau 100](#).

Tableau 100 : Données sur les poissons (ST12)

Ugo ST12		Transect			Transect			Station		
		A			B			Moyenne		
Fam	Espèces	Nb	Dens	Biom	Nb	Dens	Biom	Nb	Dens	Biom
Aca	<i>Ctenochaetus striatus</i>	1	0,02	0,91				0,50	0,01	0,46
Aca	<i>Zebrasoma scopas</i>	2	0,03	0,67				1,00	0,02	0,33
Aca	<i>Zebrasoma veliferum</i>				1	0,02	1,94	0,50	0,01	0,97
Ble	<i>Meiacanthus atrodorsalis</i>				1	0,02	0,01	0,50	0,01	0,00
Cae	<i>Pterocaesio digramma</i>				30	0,19	45,63	15,00	0,09	22,81
Cha	<i>Chaetodon baronessa</i>				2	0,03	0,34	1,00	0,02	0,17
Cha	<i>Chaetodon lineolatus</i>	1	0,02	0,33				0,50	0,01	0,17
Cha	<i>Chaetodon melannotus</i>				2	0,03	0,23	1,00	0,02	0,11
Cha	<i>Chaetodon plebeius</i>				1	0,02	0,04	0,50	0,01	0,02
Cha	<i>Chaetodon speculum</i>				1	0,02	0,04	0,50	0,01	0,02
Cha	<i>Chaetodon ulietensis</i>	1	0,02	0,17				0,50	0,01	0,09
Cha	<i>Forcipiger longirostris</i>	1	0,02	0,07				0,50	0,01	0,04
Cha	<i>Heniochus varius</i>	2	0,03	3,89				1,00	0,02	1,94
Epi	<i>Cephalopholis boenak</i>				1	0,02	0,24	0,50	0,01	0,12
Epi	<i>Epinephelus ongus</i>				1	0,02	0,91	0,50	0,01	0,46
Lab	<i>Cheilinus chlorourus</i>				1	0,02	0,58	0,50	0,01	0,29
Lab	<i>Hemigymnus melapterus</i>	1	0,02	1,13				0,50	0,01	0,56
Lab	<i>Thalassoma lunare</i>	5	0,08	0,85	8	0,13	0,91	6,50	0,11	0,88
Lab	<i>Thalassoma lutescens</i>	2	0,03	0,34				1,00	0,02	0,17
Nem	<i>Scolopsis bilineatus</i>	2	0,03	0,49	3	0,05	0,73	2,50	0,04	0,61
Poc	<i>Centropyge bicolor</i>	3	0,05	0,06	2	0,03	0,04	2,50	0,04	0,05
Poc	<i>Centropyge bispinosa</i>	3	0,05	0,13	3	0,05	0,06	3,00	0,05	0,09
Poc	<i>Centropyge tibicen</i>	1	0,02	0,02				0,50	0,01	0,01
Pom	<i>Abudefduf sexfasciatus</i>	7	0,12	0,50				3,50	0,06	0,25
Pom	<i>Abudefduf whitleyi</i>	7	0,12	0,29	7	0,12	0,29	7,00	0,12	0,29
Pom	<i>Chromis fumea</i>	10	0,17	0,09	20	0,33	0,18	15,00	0,25	0,14
Pom	<i>Chromis viridis</i>	20	0,33	0,18				10,00	0,17	0,09
Pom	<i>Chrysiptera rollandi</i>	3	0,05	0,03	2	0,03	0,02	2,50	0,04	0,02
Pom	<i>Chrysiptera taupou</i>	4	0,07	0,04				2,00	0,03	0,02
Pom	<i>Dascyllus aruanus</i>	5	0,08	0,05	5	0,08	0,05	5,00	0,08	0,05
Pom	<i>Dascyllus reticulatus</i>	15	0,25	0,14	8	0,13	0,07	11,50	0,19	0,10
Pom	<i>Pomacentrus aurifrons</i>	20	0,33	0,05				10,00	0,17	0,03
Pom	<i>Pomacentrus moluccensis</i>	1	0,02	0,02	2	0,03	0,04	1,50	0,03	0,03
Sca	<i>Chlorurus sordidus</i>	3	0,05	3,38	2	0,03	0,89	2,50	0,04	2,13
Sca	<i>Scarus chameleon</i>	1	0,02	1,13				0,50	0,01	0,56
Sca	<i>Scarus flavipectoralis</i>	2	0,03	3,28	3	0,05	1,73	2,50	0,04	2,50
Sca	<i>Scarus forsteni</i>				1	0,02	0,73	0,50	0,01	0,37
Sca	<i>Scarus niger</i>	1	0,02	2,29				0,50	0,01	1,14

¹⁷ Données par rapport à la liste restreinte du cahier des charges, cf. annexe n°01

Sig	<i>Siganus vulpinus</i>	2	0,03	0,34				1,00	0,02	0,17
Total		126	2,10	20,85	107	1,47	55,71	116,50	1,79	38,28
Biodiversité		28			23			39		
Indice de Shannon =		4,328								
Equitabilité =		0,819								

Sur l'ensemble des transects de la station, 233 individus appartenant à 39 espèces différentes ont pu être observés. Ils représentent une densité de 1.79 poissons/m² pour une biomasse de 38.28 g/m².

76 espèces complémentaires (e.g. hors des transects et hors liste restreinte [*en rouge*]) ont été observées sur la station (cf. [tableau 101](#)).

Tableau 101 : Liste des espèces complémentaires (ST12)

Fam	Espèces	Fam	Espèces	Fam	Espèces
Aca	<i>Acanthurus blochii</i>	Cir	<i>Paracirrhites forsteri</i>	Pom	<i>Abudefduf whiteyi</i>
Aca	<i>Acanthurus nigricauda</i>	Epi	<i>Cephalopholis boenak</i>	Pom	<i>Amblyglyphidodon leucogaster</i>
Aca	<i>Ctenochaetus cyanocheilus</i>	Epi	<i>Epinephelus ongus</i>	Pom	<i>Amblyglyphidodon orbicularis</i>
Aca	<i>Ctenochaetus striatus</i>	Gra	<i>Diploprion bifasciatum</i>	Pom	<i>Chromis fumea</i>
Aca	<i>Naso unicornis</i>	Lab	<i>Anampses neoguinaicus</i>	Pom	<i>Chromis viridis</i>
Aca	<i>Zebrasoma scopas</i>	Lab	<i>Cheilinus chlorourus</i>	Pom	<i>Chrysiptera rollandi</i>
Aca	<i>Zebrasoma veliferum</i>	Lab	<i>Cheilinus fasciatus</i>	Pom	<i>Chrysiptera taupou</i>
Apo	<i>Apogon doederleini</i>	Lab	<i>Choerodon fasciatus</i>	Pom	<i>Dascyllus aruanus</i>
Apo	<i>Cheilodipterus macrodon</i>	Lab	<i>Coris gaimard</i>	Pom	<i>Dascyllus reticulatus</i>
Apo	<i>Cheilodipterus quinquelineatus</i>	Lab	<i>Epibulus insidiator</i>	Pom	<i>Neoglyphidodon nigroris</i>
Apo	<i>Ostorhinchus aureus</i>	Lab	<i>Halichoeres argus</i>	Pom	<i>Plectroglyphidodon dickii</i>
Apo	<i>Ostorhinchus capricornis</i>	Lab	<i>Halichoeres prosopion</i>	Pom	<i>Pomacentrus aurifrons</i>
Apo	<i>Ostorhinchus compressus</i>	Lab	<i>Hemigymnus melapterus</i>	Pom	<i>Pomacentrus moluccensis</i>
Aul	<i>Aulostomus chinensis</i>	Lab	<i>Oxycheilinus unifasciatus</i>	Pom	<i>Pomacentrus nagasakiensis</i>
Ble	<i>Meiacanthus atrodorsalis</i>	Lab	<i>Thalassoma lunare</i>	Pom	<i>Pomacentrus simsiang</i>
Cae	<i>Pterocaesio digramma</i>	Lab	<i>Thalassoma lutescens</i>	Sca	<i>Chlorurus sordidus</i>
Cha	<i>Chaetodon baronessa</i>	Let	<i>Lethrinus atkinsoni</i>	Sca	<i>Scarus chameleon</i>
Cha	<i>Chaetodon ephippium</i>	Lut	<i>Lutjanus fulvus</i>	Sca	<i>Scarus flavipectoralis</i>
Cha	<i>Chaetodon lineolatus</i>	Nem	<i>Scolopsis bilineatus</i>	Sca	<i>Scarus forsteni</i>
Cha	<i>Chaetodon melannotus</i>	Poc	<i>Centropyge bicolor</i>	Sca	<i>Scarus niger</i>
Cha	<i>Chaetodon plebeius</i>	Poc	<i>Centropyge bispinosa</i>	Sca	<i>Scarus rubroviolaceus</i>
Cha	<i>Chaetodon speculum</i>	Poc	<i>Centropyge tibicen</i>	Sig	<i>Siganus doliatus</i>
Cha	<i>Chaetodon ulietensis</i>	Poc	<i>Pygoplites diacanthus</i>	Sig	<i>Siganus vulpinus</i>
Cha	<i>Forcipiger longirostris</i>	Poc	<i>Pygoplites diacanthus</i>	Syn	<i>Saurida gracilis</i>
Cha	<i>Heniochus acuminatus</i>	Pom	<i>Abudefduf sexfasciatus</i>	Zan	<i>Zanclus cornutus</i>
Cha	<i>Heniochus varius</i>				

Le nombre d'espèces présentes pour chaque famille (observée depuis 2007) est donné dans le [tableau 102](#) et spécifiquement pour cette campagne sur la [figure 81](#).

Tableau 102 : Nombre d'espèces par famille ichtyologique (ST12)

Familles	Nb d'espèces vues (zone et période totale)	Nb d'espèces		Proportions	
		Campagne	Moy.	Campagne	Moy.

Acanthuridae	40	5	2,62	12,50	6,55
Chaetodontidae	30	6	3,48	20,00	11,59
Epinephelinae	26	2	2,10	7,69	8,06
Labridae	97	5	3,67	5,15	3,78
Lethrinidae	16	0	0,05	0,00	0,30
Lutjanidae	22	0	0,14	0,00	0,65
Mullidae	14	0	0,76	0,00	5,44
Pomacanthidae	14	4	3,29	28,57	23,47
Pomacentridae	92	10	7,57	10,87	8,23
Scaridae	23	3	2,52	13,04	10,97
Siganidae	10	1	0,71	10,00	7,14
Autres	257	4	4,19	1,56	1,63
Khi2 obs			3,1		13,3
Khi2 tab					19,7

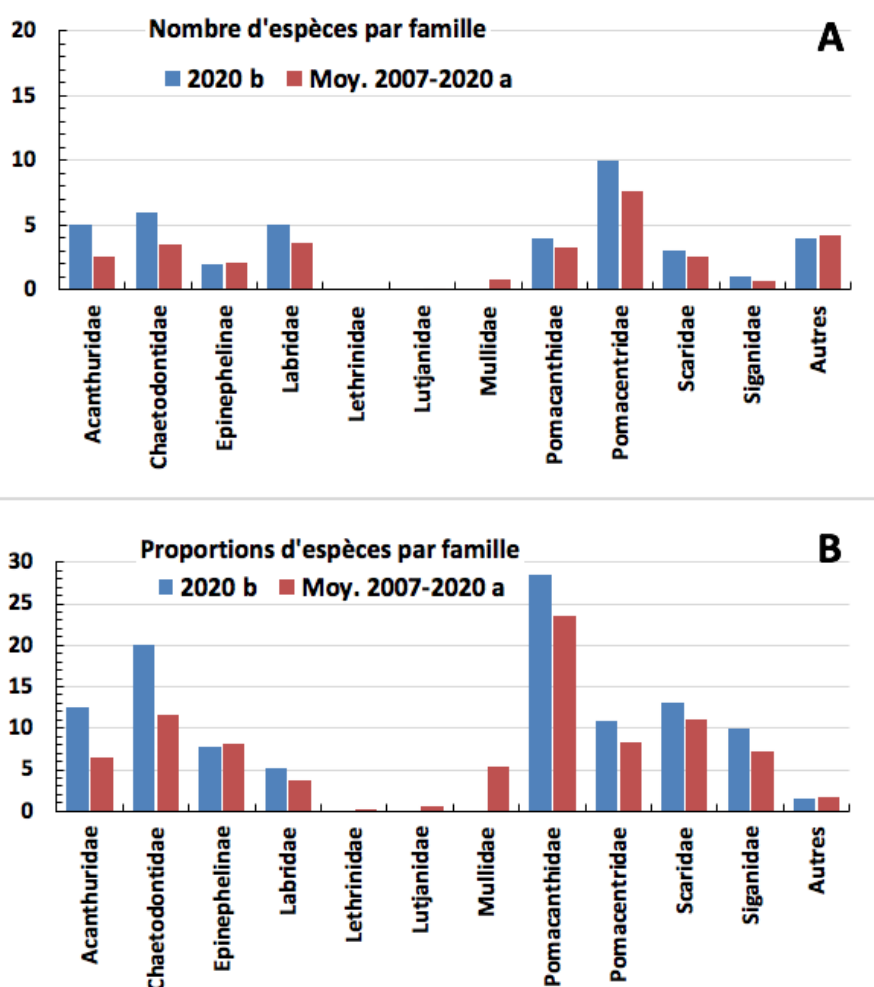


Figure 81 : Structure du peuplement pour cette mission relativement à la moyenne (ST12)

L'histogramme A compare pour une famille les effectifs vus lors de cette mission avec la moyenne et l'histogramme B compare les proportions de cet effectif vu par rapport à l'effectif total d'espèces vu pour cette même famille, sur la zone sud depuis les premières missions

Le récapitulatif des résultats en termes de :

- d'abondance (nombre d'individus, transects/liste restreinte),
- de densité (en poisson/m², transects/liste restreinte),
- de biomasse (en g/m², transects/liste restreinte),
- de biodiversité 1 (espèces observées sur les transects et de la liste restreinte),
- de biodiversité 2 (espèces observées sur la station (transects + complémentaires) et de la liste restreinte),
- de biodiversité 3 (toutes les espèces observées sur la station (transects + complémentaires / liste non restreinte)),

pour toutes les campagnes depuis 2007 est présenté dans le [tableau 103](#) et la [figure 82](#).

Tableau 103 : Synopsis des résultats et récapitulatif des années précédentes (ST12)

Ugo ST12		Liste DENV				Toutes espèces	
		Transect TLV				Station	Station
		Nb. ind.	Densité	Biom. g/m ²	Biodiv.1	Biodiv.2	Biodiv.3
2020 b	Transect A	126	2,10	20,85	126		
	Transect B	107	1,47	55,71	107		
	Moy. AB	116,50	1,79	38,28	39	53	76
2020 a	Moy. AB	118,50	2,29	38,77	40	55	83
2019 b	Moy. AB	276,00	3,96	186,90	30	52	84
2019 a	Moy. AB	131,00	2,54	16,68	34	59	91
2018 b	Moy. AB	129,00	2,15	75,42	39	64	93
2018 a	Moy. AB	109,50	1,94	15,30	33	65	87
2017 b	Moy. AB	96,00	1,50	10,70	38	51	82
2017 a	Moy. AB	151,00	2,82	20,19	31	60	87
2016 b	Moy. AB	101,50	1,44	6,93	36	59	88
2016 a	Moy. AB	204,00	2,59	42,45	28	52	80
2015 b	Moy. AB	269,00	2,34	191,45	26	57	87
2015 a	Moy. AB	171,00	2,15	46,44	30	60	91
2014 b	Moy. AB	139,00	1,54	189,24	28	52	94
2014 a	Moy. AB	90,50	1,13	71,86	28	55	91
2013 b	Moy. AB	147,00	2,13	94,55	37	58	82
2013 a	Moy. AB	115,50	1,60	57,85	35	52	86
2012 b	Moy. AB	122,50	1,46	49,33	32	48	81
2012 a	Moy. AB	114	1,40	326,70	32	46	75
2011 b	Moy. AB	48,00	0,60	14,42	25	48	80
2011 a	Moy. AB	115,50	2,36	79,86	30	43	81
2010 b	Moy. AB	108	1,44	13,93	18	28	50
2010 a	Moy. AB	93,00	3,01	63,58	41	58	90
2009	Moy. AB	100,50	3,49	73,03	23	40	70
2008	Moy. AB	<i>Pas d'échantillonnage</i>					
2007	Moy. AB						

L'écart relatif à la moyenne [$Er_i = (X_i - X_m) / X_m$] pour ces paramètres biologiques peut alors être calculé : cf. [tableau 104](#) et représentation [figure 83](#).

Tableau 104 : Ecart relatif à la moyenne des paramètres biologiques ichtyologiques depuis 2007 (ST12)

	Nb ind.	Densité	Biom.	Biodiv.1	Biodiv.2	Biodiv.3
Variance	8 542	0,82	6 365	32	62	80
Ecart type	92,42	0,91	79,78	5,65	7,89	8,97
Moyenne	145,00	2,17	71,33	32,04	52,78	82,92
Coef. de Var.	0,64	0,42	1,12	0,18	0,15	0,11

Commentaires :

- La densité et la biomasse ont de valeurs un peu en dessous de la moyenne.
- La biodiversité faiblie encore mais reste à des valeurs moyennes.

La structure spécifique du peuplement (cf. § 3.4.3) de cette mission ne diffère pas de la structure moyenne historique.

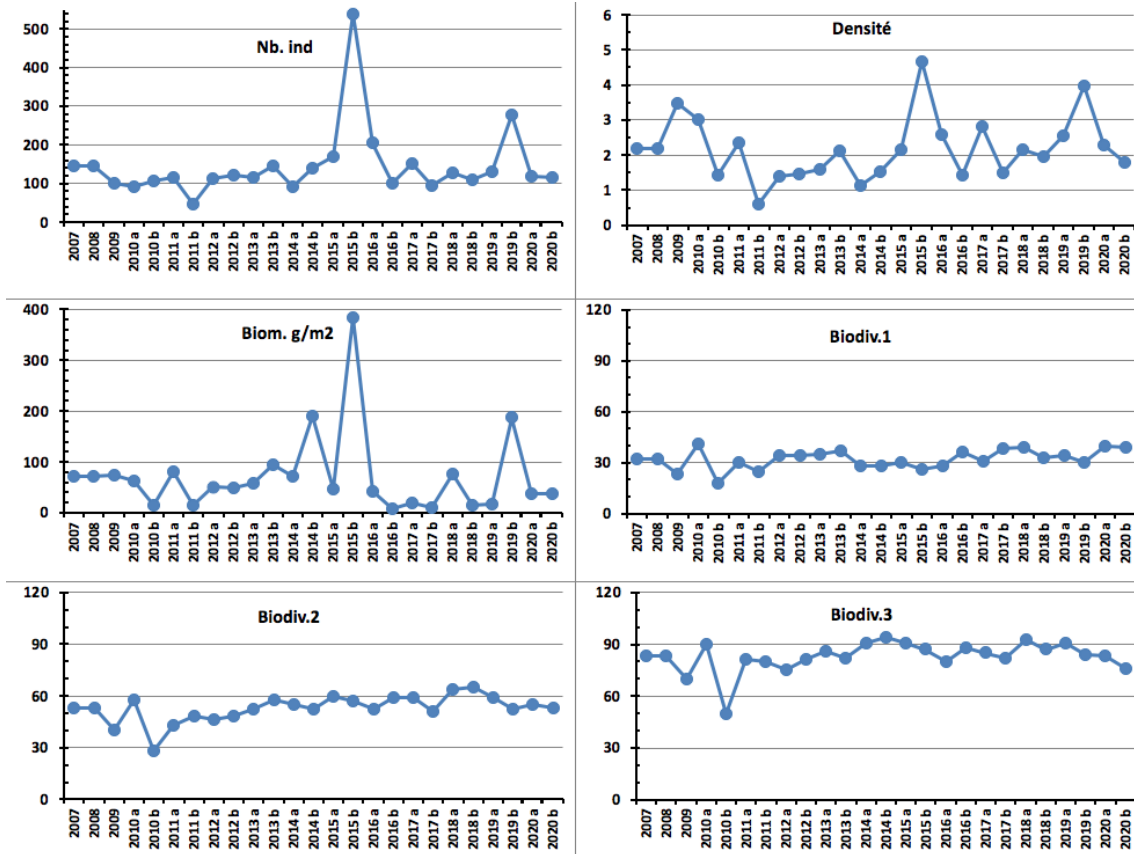


Figure 82 : Evolution des paramètres biologiques ichtyologiques depuis 2009 (ST12)

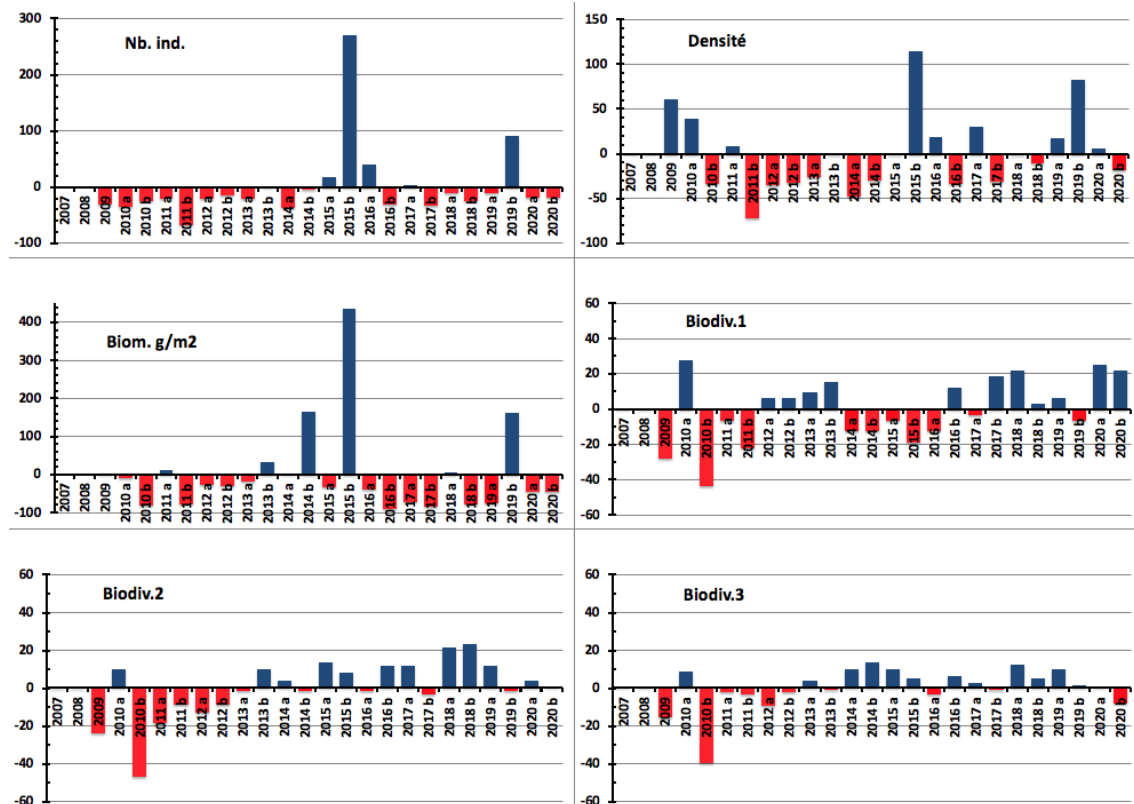


Figure 83 : Ecart relatif à la moyenne des paramètres biologiques ichtyologiques depuis 2009 (ST12)

5 Résultats généraux / Synthèse

La carte 15 et la carte 16 présentent la synthèse des résultats bruts pour cette mission à chaque station, à savoir :

- pour le substrat : le pourcentage de recouvrement de 3 composantes clés : la partie abiotique et les coraux puis le reste (c'est-à-dire, les macrophytes, invertébrés, autres coraux, etc. regroupés sous « macrophytes & invertébrés »), ces deux groupes formant la partie biotique,
- pour les communautés benthiques : la richesse taxonomique (nombre d'espèces) des 2 groupes clés : les macrophytes et les invertébrés,
- pour la faune ichthyologique : la diversité spécifique (nombre d'espèces observées, liste restreinte), la densité (nb. individus/m²) et la biomasse (g/m²).

Les résultats bruts de chaque thème sont détaillés par ailleurs ci-dessous.

5.1 Substrat

Les pourcentages de recouvrement du substrat, pour toutes les catégories, sont présentés dans le tableau 146 (en annexe n°03, résultats par transect pour toutes les stations).

Le tableau 147 (annexe n°03) et la figure 84 ci-dessous, récapitulent les pourcentages de couverture du substrat aux différents transects de chaque station pour :

- la partie biotique, qui est divisée en deux groupes : les coraux scléactiniaires et le reste (c'est-à-dire, les macrophytes, invertébrés, autres coraux, etc. regroupés sous « macrophytes & invertébrés »),
- la partie abiotique.

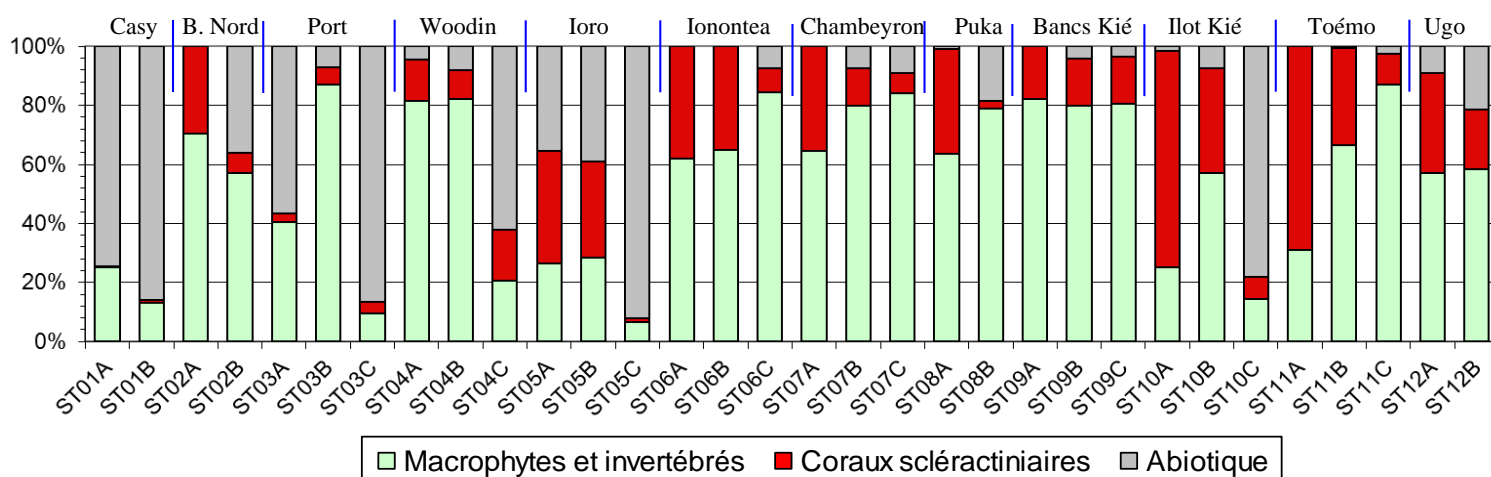


Figure 84 : Représentation du recouvrement (en %) du substrat partie biotique/abiotique

Analyse par site :

Les stations situées en **baie de Prony et canal Woodin** (à l'exception notable des transects ST02A, ST03B et ST04A&B) ont globalement un substrat à majorité abiotique (moyenne de 67%).

La résilience, observée après les dégradations du début d'année 2016, à partir de 2017, s'est maintenue. Malheureusement, la prolifération des *Acanthasters* à la station 04 (Woodin) à partir de 2018 a provoqué une baisse du taux de recouvrement corallien de 33% au transect A et 22% au transect B sur la période de 4 dernières missions. Une certaine stabilité semble s'installer avec notamment une légère reprise en A (+ 5%).

La moyenne du taux de recouvrement corallien en baie de Prony et canal Woodin remonte de fait légèrement (9.25%).

Les stations (et les transects dans chaque station) dans le **canal de la Havannah** sont très diversifiés. Il ressort cependant une dominance du substrat biotique (excepté pour le transect C de la station ST05 qui est installé sur une pente sédimentaire composée principalement de sable coquillé et pour le transect ST10C). Ainsi, l'abiotique

représente moins de 18% en moyenne du recouvrement, soit plus de 82% de biotique. La moyenne du taux de recouvrement corallien dans le canal de la Havannah est en hausse : 30.5% vs 29.8%.

Analyse par station :

C'est le transect A de la station ST10 (îlot Kié) qui présente le plus fort taux de recouvrement corallien scléactiniaire (73.5%) suivi de près par celui de la station ST11 (Toémo) (69%). Le 3^{ème} rang est tenu par le transect A de la station ST05 (Ioro) et ST06 (Ionontea) (38%). A l'échelle de la station (tous transects confondus), cet ordre est conservé, avec 38.8% à la ST10, 37.5% à la ST11 et 27% à la ST06 (24% en ST05).

La station la plus pauvre est toujours la ST01 (Casy) avec seulement 0.5% de scléactiniaires au transect A et 1% en B.

Les variations de recouvrement sur la globalité de la zone d'étude sont à une échelle infime en général et après les perturbations enregistrées en 2016, les stations ont retrouvé une certaine stabilité avec un retour progressif aux valeurs antérieures (résilience).

Il y a cependant 2 stations dont l'état de santé continue à être dégradé :

La ST01 (Casy) a fait l'objet d'une invasion d'*Acanthaster planci* (en 2017-2018) ayant provoqué le blanchissement et la mort des coraux branchus présents. Il ne reste plus que quelques *Pocillopora* sp. encore en vie en B.

De même, cette prolifération s'est déclarée dans le **canal Woodin (ST04)** en novembre 2018 et les transects A et B ont vu leur taux de recouvrement en scléactiniaires chuter de 33% et de 22% jusqu'en mai 2020. Ces corallivores ayant disparu, une amélioration semble envisageable puisqu'il y a eu +5% de coraux au transect A pour cette mission.

Tous les transects les plus profonds ont un taux de recouvrement biotique significativement plus bas que sur les transects supérieurs.

5.2 Benthos

Les résultats bruts (listing et abondance) du dénombrement du benthos, sont présentés en annexe n°04 (résultats par transect pour toutes les stations).

5.2.1 Biodiversité du benthos : généralités

5.2.1.1 Les contraintes en termes de potentiel « indicateur » et « réactivité »

Afin d'évaluer les dégradations éventuelles de la zone sous l'influence potentielle du projet Vale Nouvelle-Calédonie, une étude sur la biodiversité et l'abondance des biocénoses benthiques est réalisée sur 11 à 12 stations réparties en baie de Prony, canal Woodin et canal de la Havannah.

Cette étude doit permettre :

- 1) D'évaluer la variabilité naturelle et la vulnérabilité : la diversité et l'abondance renseignent sur la vulnérabilité du site et l'adaptation des espèces aux différents biotopes. L'ensemble des espèces benthiques est suivi car tous les taxons peuvent selon le contexte devenir une espèce invasive ;
- 2) D'effectuer une synthèse comparative de l'état des stations et de leur évolution dans le temps et l'espace : la comparaison des données dans le temps, permet d'évaluer la variabilité naturelle (saisonnalité, turn over, évènements exceptionnels) et d'appréhender de potentielles perturbations anthropiques ;
- 3) De suivre dans le temps les effets potentiels des activités industrielles de Vale Nouvelle-Calédonie : l'objectif principal est d'évaluer les effets potentiels des activités industrielles de Vale Nouvelle-Calédonie et de tirer une sonnette d'alarme, le plus rapidement possible dans le cas de perturbations anthropiques.

Pour ce faire, l'ensemble des biocénoses benthiques (fixes et mobiles) sont inventoriées depuis 2007 et plusieurs **indicateurs** particulièrement suivis :

Certaines espèces dites « **espèces cibles** » permettent selon leur variation abondance d'évaluer l'état de santé du milieu. En effet, la présence des invertébrés mobiles (astéries, échinides, holothuries, mollusques...), est un indicateur du fonctionnement de l'écosystème. Cependant, l'absence ou la diminution d'abondance des invertébrés mobiles d'une mission à une autre n'est pas un indicateur de dégradation environnementale. Leur absence peut être

momentanée et n'est pas synonyme de dégradation ou de mortalité car leur mobilité leur permet de migrer du couloir d'inventaire pour rechercher de la nourriture ou un abri ...

Les observations **d'organismes morts** permettent de donner une alerte mais elles sont peu fréquentes car ils sont rapidement consommés dans la chaîne alimentaire.

Les proliférations d'espèces corallivores sont bien entendu un indicateur du dérèglement de l'écosystème mais cette manifestation n'est pas forcément la source initiale des perturbations.

Les espèces exogènes et les espèces envahissantes sont également recherchées quelle que soit l'embranchement. Quelques espèces mobiles (particulièrement les corallivores pour les gastéropodes et les astéries) ont été sélectionnées comme espèces cibles et caractérisent si leur abondance est excessive des perturbations récifales (Gastéropodes : *Drupella cornus*, *Coralliophila violacea* ; Astéries : *Acanthaster planci*, *Culcita novaeguineae*, Spongiaires : *Cliona orientalis* et *C. jullieni* ; Cyanobactéries...). Mais encore une fois, tous les taxons peuvent selon le contexte devenir une espèce invasive (espèce envahissante exogène).

Ce suivi est donc un **suivi à long terme** : **l'étude des biocénoses benthiques mobiles doit être appréhendée sur plusieurs périodes de suivi ou de manière complémentaire suite à une dégradation de l'habitat (étude des coraux).**

Cependant, la **variabilité saisonnière des macrophytes** est importante et chaque groupe algal a un rythme de développement spécifique durant l'année. De ce fait, la périodicité d'échantillonnage semestrielle des relevés de suivi biologique n'est pas adaptée aux cycles de développement des macrophytes car les valeurs maximales et minimales de diversité et de recouvrement ne sont pas forcément prises en compte. Les proliférations de macroalgues dans les écosystèmes littoraux des zones tropicales et subtropicales sont une menace sérieuse pour la diversité biologique de ces milieux. Typiquement une croissance excessive des algues est le résultat d'une variété insuffisante d'animaux consommateurs d'algues et/ou de nutriments excessifs. L'apport important de matière en suspension peut être un facteur de perturbation.

Il est alors important de considérer, pour chaque groupe biologique, le potentiel « **indicateur** » mais également le potentiel « **réactivité** » pour émettre des conclusions de l'évaluation de l'état de santé d'un récif le plus rapidement possible.

En considérant cette notion de variabilité saisonnière des macrophytes et de mobilité de certaines espèces d'invertébrés (particulièrement les échinodermes et les mollusques), il est très important de s'attacher aux variations d'abondance et de richesse spécifique des organismes fixés et présentant des variations épisodiques relativement faibles : alcyonaires, cliones et plus particulièrement les coraux scléactiniaires.

En effet, **les coraux** ont un rôle clé dans le maintien de la biodiversité du récif (habitat et source de nourriture). Par ailleurs, ils ont de nombreux avantages pour les suivis environnementaux :

- Pour les études comparatives : la majorité des coraux sont sessiles ce qui entraîne une fiabilité dans la comparaison de données ;
- Lors de suivi à court terme : ce sont des "Sentinelles avancées" car ils sont sensibles aux variations des conditions environnementales pour détecter les effets des perturbations, qu'elles soient d'origine anthropique ou naturelle (analyse du recrutement, mortalité, blanchissement, maladies coralliennes) ;
- Lors de suivi à long terme : les coraux ont une longévité particulièrement élevée, ce qui permet d'intégrer des conditions environnementales sur de longues périodes de temps

Dans ce contexte l'étude des coraux répond de manière incontestable à tous les questionnements sur l'état de santé des récifs. Et les informations sur les invertébrés, les espèces cibles et les macrophytes viennent confirmer les hypothèses.

Cependant, le cahier des charges imposé par la DENV ne prend pas en compte cet indicateur. Malgré cela, ce compartiment clé a été étudié depuis le début (2007) sur décision volontaire de Vale NC. Malheureusement, les contraintes économiques actuelles font que le budget alloué aux suivis environnementaux a été diminué et donc depuis 2017, il n'a été appliqué que les demandes réglementaires : les coraux n'ont donc pas été inventoriés pour cette mission.

5.2.1.2 Les contraintes naturelles de la zone d'étude

Les biocénoses benthiques se sont adaptées aux conditions environnementales par la sélection d'espèces colonisant les milieux fortement agités pour le canal de la Havannah (houle, ressac et courants de marée) et le canal Woodin (principalement courants de marée) et pour les milieux calmes en baie de Prony (dessalure des eaux de surface et sédimentation importante).

Les assemblages des biocénoses marines de ces trois sites sont donc différents et chacun est en équilibre avec les paramètres physico-chimiques du milieu. Malgré l'adaptation des espèces aux paramètres environnementaux de chaque biotope, des événements exceptionnels (climatiques, dépressionnaires et activités anthropiques) font généralement dépasser les seuils de tolérance de survie pour les espèces les plus sensibles.

De manière générale, les récifs étudiés dans les niveaux supérieurs et médians ont une diversité élevée.

Pourtant ces niveaux bathymétriques sont perturbés par les agents hydrodynamiques, par les anomalies de salinité de surface, par les panaches turbides et les événements exceptionnels (naturel ou anthropique).

La biodiversité est plus faible pour les niveaux bathymétriques les plus profonds. Cela s'expliquant entre autre par la sédimentation, l'effondrement et l'accumulation de débris par gravité et par la baisse de la pénétration de la lumière dans l'eau en fonction de la profondeur. Ce dernier phénomène entraîne une diminution de la photosynthèse, principalement pour les coraux scléactiniaires hermatypiques et les macrophytes qui représentent les habitats principaux de la faune récifale.

Dans le canal de la Havannah et le canal Woodin, les principales dégradations sont d'origine mécanique : nombreux débris, mortalité importante et blanchissement corallien induit par les effondrements. Malgré les courants de marée conséquents dans le canal Woodin, les dégradations mécaniques sont moindres que dans le canal de la Havannah car les récifs sont moins exposés au ressac et à la houle.

Dans la baie de Prony (milieu calme et protégé), les principales dégradations sont originaires d'une dessalure des eaux de surface (colonies blanchies encore en place, mortalité importante pour les niveaux bathymétriques supérieurs des récifs frangeants à proximité des embouchures des creeks et des rivières et des résurgences d'eau douce). La sédimentation influe surtout sur les niveaux bathymétriques inférieurs où les particules sédimentaires ne sont plus remobilisées.

Une synthèse des principaux événements climatiques qui ont pu influencer les biocénoses lors de cette période d'étude est présentée § 7.1.

5.2.1.3 Les contraintes anthropiques de la zone d'étude

Les activités anthropiques, dans la baie de Prony, le canal de la Havannah et le canal Woodin, sont susceptibles d'interagir sur la mobilisation des particules terrigène et sédimentaires (activités minière et portuaire ainsi que le trafic maritime).

L'exploitation des latérites nickélifères de Nouvelle-Calédonie a conduit Vale Nouvelle-Calédonie à mettre en place un procédé de solubilisation du minerai par voie acide produisant des effluents. Le rejet est réalisé à partir d'un émissaire marin d'une longueur de 21 km et composé à son extrémité d'un diffuseur de 1 km. Ce rejet se fait dans le canal de la Havannah, milieu relativement profond, où les courants semblent suffisamment importants pour assurer la dispersion des effluents industriels. Cette pression sur le milieu marin a nécessité de développer des études et un programme intégré ayant pour objectifs de définir avec précision les états de référence biologique et physico-chimique, de comprendre le comportement géochimique de l'effluent avec le milieu naturel, de prédire ses effets biologiques et de modéliser les phénomènes de dispersion.

La mise en place d'un réseau de surveillance permet actuellement de conduire un suivi environnemental du milieu marin d'un point de vue physico-chimique, écotoxicologique et biologique (l'étude des communautés récifales étant l'objet d'une partie de ce rapport).

De plus, l'installation de l'usine d'acide en amont du Creek baie nord peut être une source de perturbations à l'embouchure du creek et en périphérie (accident de la fuite du 1 avril 2009). L'activité de cette usine peut également augmenter le débit d'eau douce du creek et de ce fait, perturber les communautés récifales (blanchissement corallien par dessalure des eaux de surface).

Les sites potentiellement impactés par le projet minier, sont : le canal de la Havannah (rejet d'effluents et apports en particules), la baie du Prony (en Rade nord : influences des installations portuaires et industrielles), la baie Kwé (par la rivière Kwé qui capte les eaux des bassins versants sur lesquels la mine est en activité).

5.2.2 Répartition des 4 groupes biotiques par transect

Les tableaux en **annexe n°04** et la **figure 85** ci-dessous, récapitulent la richesse spécifique par niveau bathymétrique (le nombre de taxa aux différents transects) de chaque station pour le benthos.

Ce dernier a été réparti en 4 grands groupes :

- les coraux scléactiniaires
- les autres coraux durs (millépores, antipathaires, stolonifères, gorgones)
- les macrophytes
- les invertébrés (hors coraux durs).

Entre 2007 et 2016, les 4 grands groupes ont été étudiés.

Depuis 2017 et pour cette mission, seuls les 2 groupes suivants sont présentés :

- les invertébrés (hors coraux durs)
- les macrophytes.

La richesse spécifique des invertébrés est comprise entre 14 à 50 taxa par transect pour l'ensemble de la zone (avec une moyenne de 31 taxa par transect vs 32.6 pour la mission précédente).

La richesse spécifique des macrophytes est comprise entre 0 à 14 taxa par transect pour l'ensemble de la zone (avec une moyenne de 4.7 taxa par transect vs 4.2 pour la mission précédente).

De manière générale, la biodiversité est plus faible pour les niveaux bathymétriques les plus profonds. Cela s'expliquant entre autres par la baisse de la pénétration de la lumière dans l'eau par rapport à la profondeur. Ce phénomène entraîne une diminution de la photosynthèse, principalement pour les coraux scléactiniaires hermatypiques et les macrophytes qui représentent les habitats principaux de la faune récifale.

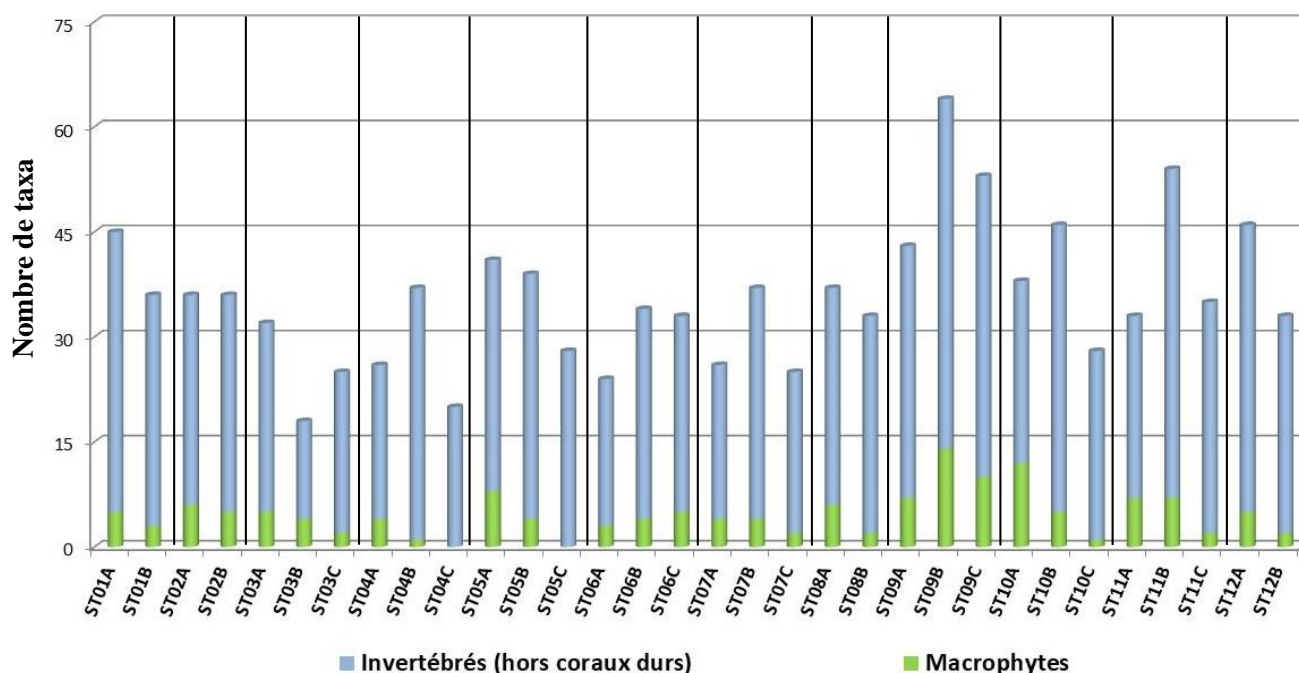


Figure 85 : Richesse taxonomique du benthos dans 2 groupes clés

5.2.3 Composition spécifique par site

Les biocénoses benthiques se sont adaptées aux conditions environnementales par la sélection d'espèces colonisant les milieux agités (canal de la Havannah et canal Woodin) et les milieux calmes et turbides (baie de Prony). Les macrophytes, spongiaires et alcyonaires sont en compétition spatiale avec les coraux scléactiniaires pour toutes les stations sauf en ST04 (Woodin) où le recouvrement biotique est particulièrement représenté par les coraux (les autres groupes sont très minoritaires). Ces observations rentrent dans le cycle naturel. Cependant, l'évolution de ces groupes biotiques est à surveiller au regard des perturbations potentielles dans cette zone (perturbations d'origine anthropique et/ou d'origine naturelle exceptionnelle).

Le degré d'exposition des habitats à l'hydrodynamisme conduit à distinguer les milieux de mode battu du mode

calme. L'agitation de l'eau crée des forces variant en fonction de son intensité (courants de marées, de houle et ressac). De ce fait, les organismes sont sélectionnés sur les récifs du canal de la Havannah et du canal Woodin par leur capacité à résister aux forces d'arrachement. La zone de balancement des marées et de vagues constitue l'étage supérieur du système récifal.

D'autre part, la baie de Prony est un regroupement de rades (Grande Rade, Rade du Nord et Rade de l'Est), qui constitue une baie semi-fermée qui est particulièrement protégée des agents hydrodynamiques. De nombreux creeks et rivières se déversent dans cette baie charriant des particules sédimentaires (apports conséquents). Les organismes sont sélectionnés sur ces récifs par leur capacité à résister aux dépôts sédimentaires, à la diminution de la pénétration de la lumière dans la colonne d'eau et par endroit à la dessalure des eaux de surface.

5.2.3.1 Assemblage spécifique du benthos dans le canal de la Havannah

En octobre 2020, la richesse spécifique du site Havannah est composée de :

- **103 espèces d'invertébrés** dont 32 espèces de mollusques ; 19 espèces de cnidaires : alcyonaires (11 taxons), actiniaires (6 taxons), hydrozoaires (1 taxon), zoanthaires (1 taxon) ; 23 espèces d'échinodermes : holothurides (8 taxons), astéries (6 taxons), échinides (6 taxons), ophiurides (2 taxons), crinoïdes (1 taxon) ; 14 espèces d'éponges ; 13 espèces d'ascidies
- **22 espèces de macrophytes** : algues vertes (11 taxons), algues rouges (7 taxons), algues brunes (4 taxons)
- **2 espèces de cyanobactéries.**

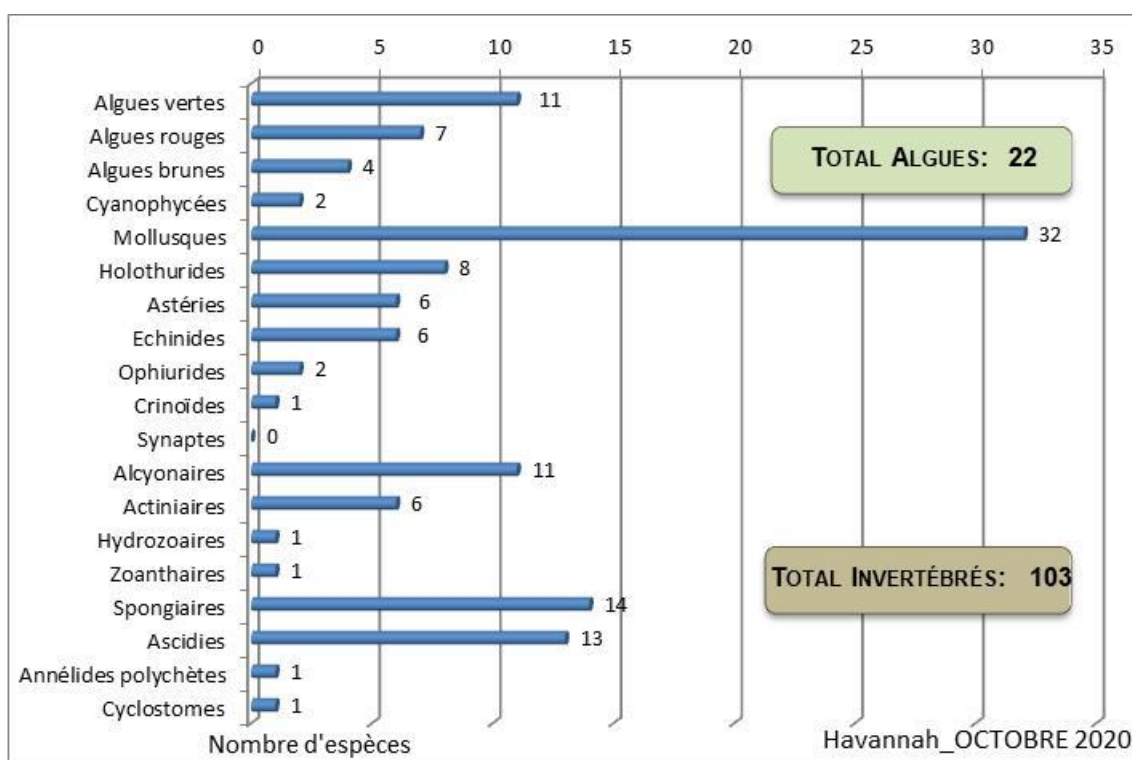


Figure 86 : Répartition par groupe de la richesse spécifique des macrophytes et invertébrés (hors coraux durs) pour le canal de la Havannah

5.2.3.2 Assemblage spécifique du benthos dans le canal Woodin

En octobre 2020, la richesse spécifique du site Woodin est composée de :

- **40 espèces d'invertébrés** dont 11 espèces de mollusques ; 4 espèces de cnidaires : alcyonaires (2 taxons), hydrozoaires (1 taxon), zoanthaires (1 taxon) ; 8 espèces d'échinodermes : astéries (2 taxons), échinides (2 taxons), ophiurides (2 taxons), crinoïdes (1 taxon), holothurides (1 taxon) ; 10 espèces d'éponges ; 5 espèces d'ascidies
- **4 espèces de macrophytes** : algues brunes (2 taxons), algues vertes (2 taxons)
- **1 espèce de cyanobactéries.**

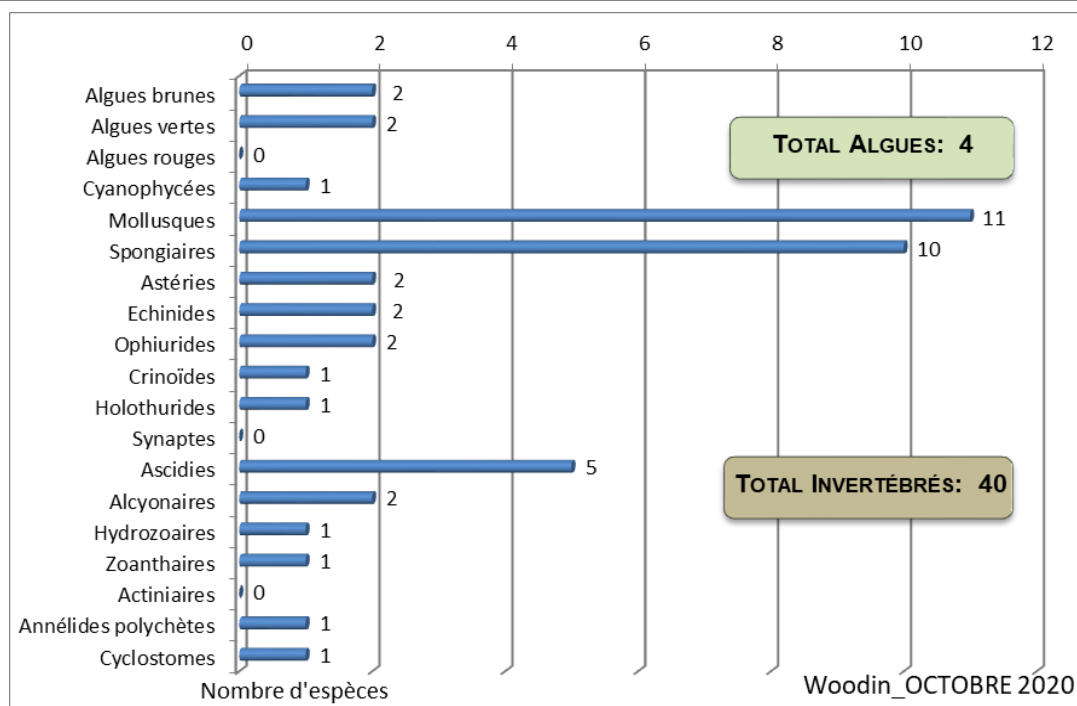


Figure 87 : Répartition par groupe de la richesse spécifique des macrophytes et invertébrés (hors coraux durs) pour le canal Woodin

5.2.3.3 Assemblage spécifique du benthos dans la baie de Prony

En octobre 2020, la richesse spécifique du site Prony est composée de :

- **64 espèces d'invertébrés** dont 15 espèces de mollusques ; 12 espèces de cnidaires : alcyonaires (8 taxons), zoanthaires (3 taxons), actiniaires (1 taxon) ; 19 espèces d'échinodermes : astéries (5 taxons), échinides (5 taxons), holothurides (5 taxons), ophiurides (2 taxons), crinoïdes (1 taxon), synaptes (1 taxon) ; 11 espèces d'éponges ; 5 espèces d'ascidies
- **8 espèces de macrophytes** : algues brunes (3 taxons), algues vertes (3 taxons), algues rouges (2 taxons)
- **2 espèces de cyanobactéries.**

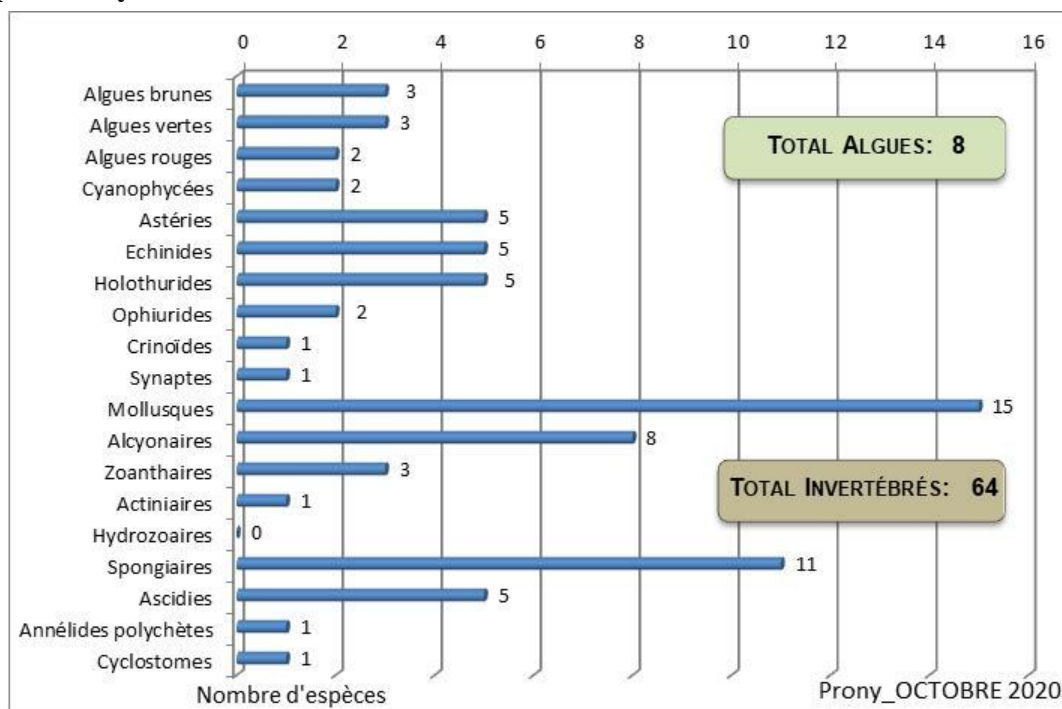


Figure 88 : Répartition par groupe de la richesse spécifique des macrophytes et invertébrés (hors coraux durs) pour la baie de Prony

5.2.4 Répartition spatiale de la diversité benthique

La biodiversité de chaque site est dépendante des conditions du milieu mais également du nombre de stations échantillonnées car les espèces se répartissent à travers le récif (ainsi le nombre potentiel d'espèces recensées augmente généralement avec la surface prospectée).

Le plan d'échantillonnage est très disparate dans la zone d'étude car 8 stations sont étudiées dans le canal de la Havannah, 3 stations dans la baie de Prony et une station seulement dans le canal Woodin.

5.2.4.1 La biodiversité des invertébrés

La liste complète des invertébrés comprend les sous-groupes suivants : alcyonaires, spongiaires, mollusques, ascidies, échinodermes (astéries, crinoïdes, échinides, holothurides, ophiurides, synaptés), actiniaires, zoanthaires, hydrozoaires et bryozoaires.

L'assemblage spécifique est composé principalement par les mollusques, les alcyonaires, les spongiaires et les échinodermes (astéries, holothuries, échinides). Les ascidies sont également très diversifiées dans le canal de la Havannah. Ces assemblages sont décrits précisément dans les § 4.x.2 précédents.

Cette diversité des invertébrés est contrastée dans la zone d'étude :

Selon les sites : Havannah : 103 taxons, Prony : 64 taxons et Woodin : 40.

Selon les stations : 36 à 61 espèces ont été dénombrées (respectivement ST03 et ST09).

Selon les transects : 14 à 50 espèces ont été dénombrées (respectivement ST03B et ST09B).

Pour cette mission, la diversité moyenne sur tous les sites (baie de Prony, canal Woodin et canal de la Havannah) par transect est de **31.00 (+/- 8.08) taxons**.

La station ST09 a la richesse spécifique la plus importante pour les invertébrés (avec 36, 50 et 43 espèces respectivement pour les transects A, B et C soit 61 espèces au total pour la station).

Il est à noter que les organismes mobiles présents dans les pourtours des stations ne sont pas comptabilisés car ils ne sont pas localisés dans les couloirs de comptage.

5.2.4.2 La biodiversité des macrophytes

Les macrophytes ont un assemblage spécifique composé par les algues rouges, vertes et brunes.

Ces assemblages sont décrits précisément dans les § 4.x.2 précédents. **Cette diversité des macrophytes est contrastée dans la zone d'étude.**

Selon les sites : Havannah : 22 taxons, Prony : 8 taxons et Woodin : 4 taxons.

Selon les stations : 4 à 17 espèces ont été dénombrées (respectivement ST04 et ST09).

Selon les transects : 0 à 14 espèces ont été dénombrées (respectivement ST04C = ST05C et ST09B).

Pour cette mission, la moyenne du nombre d'espèce de macrophytes par transect pour l'ensemble de la zone (baie de Prony, canal Woodin et canal de la Havannah) est **de 4.66 (+/-3.19) taxons**.

Aucune espèce de macrophytes identifiable *in situ* n'a été comptabilisée pour les transects ST04C et ST05C.

Une seule espèce a été recensée *in situ* pour les transects ST04B et ST10C.

La station ST09 a une richesse spécifique importante pour les macrophytes (avec 7, 14 et 10 espèces respectivement pour les transects A, B et C soit 17 espèces au total pour la station).

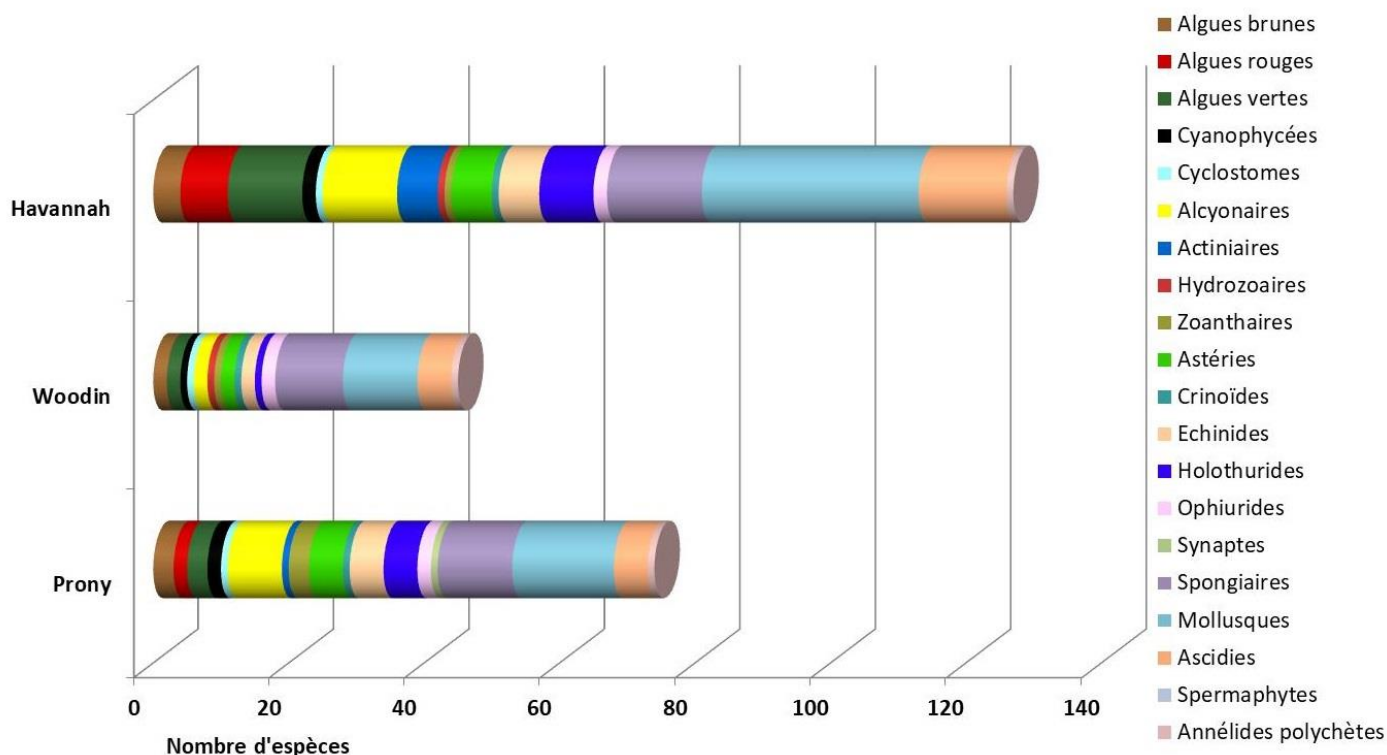


Figure 89 : Assemblage des invertébrés (hors coraux durs) et des macrophytes par groupe pour les trois sites

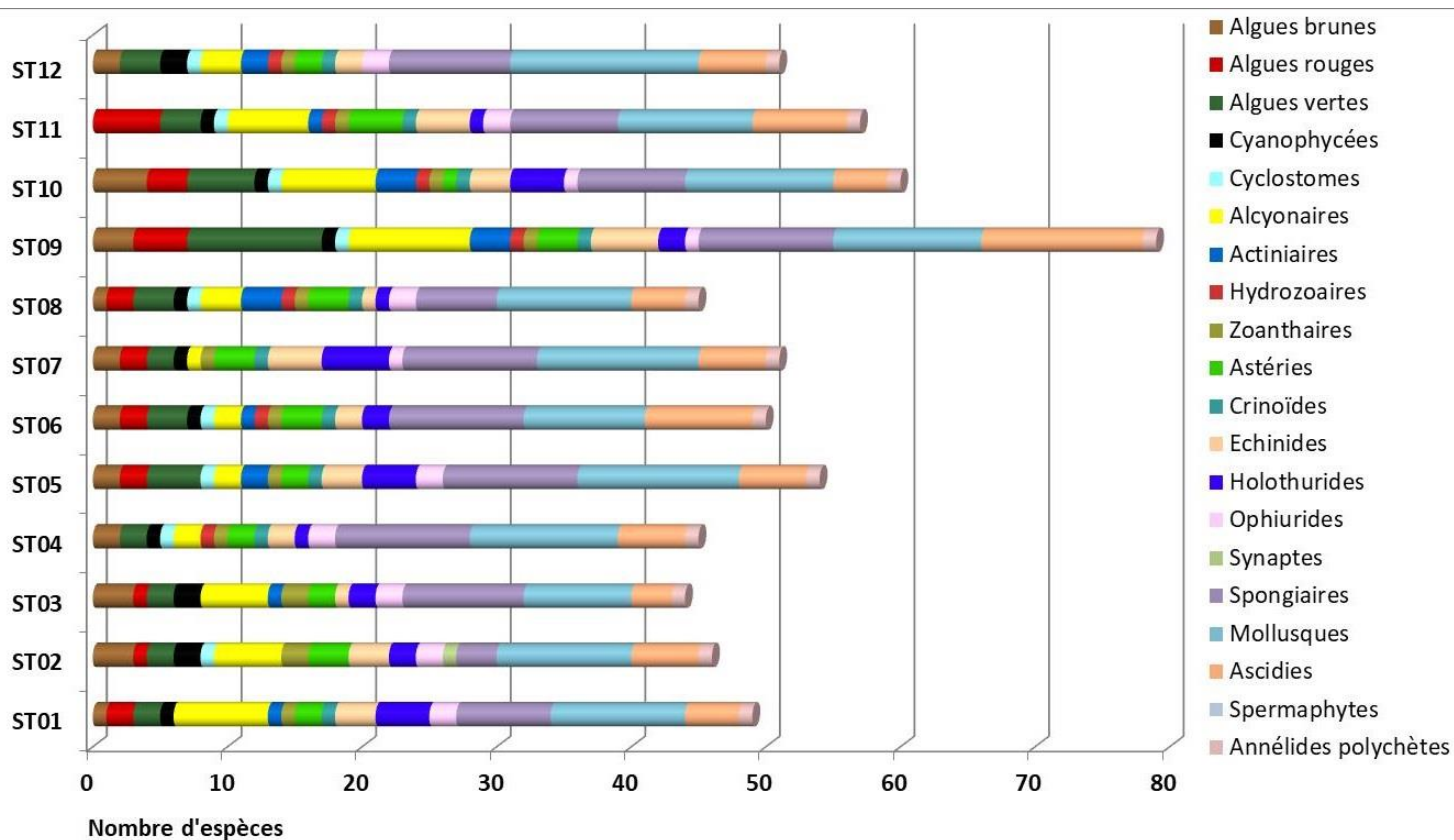


Figure 90 : Richesse spécifique des biocénoses* benthiques selon les groupes par station

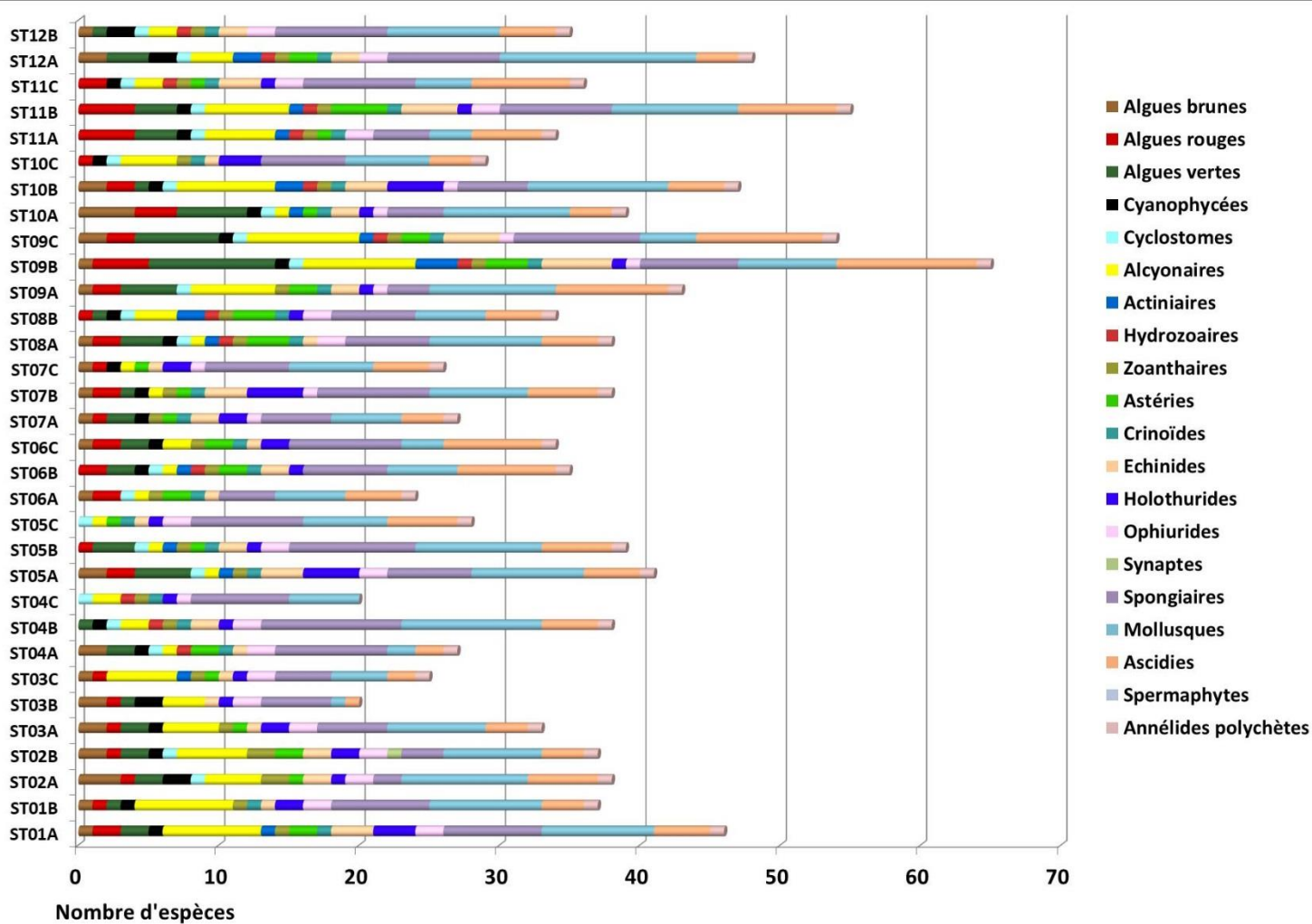


Figure 91 : Richesse spécifique des biocénoses* benthiques selon les groupes par transect

5.3 Ichtyologie

Les paramètres biologiques globaux concernant les stations sont présentés dans le [tableau 105](#) et de la [figure 92](#) à la [figure 94](#) (rappel : liste restreinte, cf. § 6.3).

Tableau 105 : Récapitulatif des paramètres biologiques pour l'ichtyofaune

	Stations	Nb	Dens	Biom	Biod.1	Biod.2	Biod.3	Ish	Eq
Baie de PRONY	ST01 ILOT CASY	46,5	0,47	3,9	31	52	79	4,033	0,814
	ST02 CREEK BAIE NORD	45	0,42	11,28	23	45	65	3,73	0,825
	ST03 PORT	47,67	0,76	3,36	27	51	70	3,761	0,791
	Variances (σ^2)	1,79	0,03	19,58	16	14,33	50,33	0,03	0
	Ecart types (σ)	1,34	0,18	4,42	4	3,79	7,09	0,17	0,02
	Moyennes (μ)	46,39	0,55	6,18	27	49,33	71,33	3,84	0,81
	Coef. de Var(σ/μ)	0,03	0,33	0,72	0,15	0,08	0,1	0,04	0,02
Int. de Conf. 95%	1,55	0,21	5,11	4,62	4,37	8,19	0,19	0,02	
Canal de la HAVANNAH	ST04 WOODIN	132,33	2,91	147,1	67	92	126	5,251	0,866
	ST05 IORO	84,67	1,11	46,8	55	58	86	5,036	0,871
	ST06 IONONTEA	81,67	0,77	29,83	46	69	103	5,029	0,91
	ST07 B. CHAMBAYRON	301,33	3,56	505,87	86	90	123	5,29	0,823
	ST08 PUKA	81,5	0,96	51,1	45	70	104	4,897	0,892
	ST09 BANCS KIE	116,33	1,22	26,54	49	56	78	4,899	0,873
	ST10 ILOT KIE	196,67	2,66	120,83	73	93	144	5,346	0,864
	ST11 TOEMO	109,33	1,09	49,52	52	98	144	4,947	0,868
	ST12 UGO	116,5	1,79	38,28	39	53	76	4,328	0,819
	Variances (σ^2)	5133	1,02	23474	234,86	320,03	696,75	0,09	0
	Ecart types (σ)	71,64	1,01	153,21	15,33	17,89	26,4	0,3	0,03
	Moyennes (μ)	135,59	1,79	112,87	56,89	75,44	109,33	5	0,87
Coef. de Var(σ/μ)	0,53	0,57	1,36	0,27	0,24	0,24	0,06	0,03	
Int. de Conf. 95%	47,76	0,67	102,14	10,22	11,93	17,6	0,2	0,02	

Nb : nombre moyen de poissons sur un transect ; **Dens.** : Densité (Nb/m^2) moyenne sur la station ; **Biom.** : Biomasse (g/m^2) moyenne sur la station ; **Biod.1** : Espèces de la liste du Cahier des charges présentes sur les transects ; **Biod.2** : Espèces de la liste du Cahier des charges présentes sur la station ; **Biod.3** : Toutes espèces présentes sur la station ; **Ish** : Indice de Shannon ; **Eq** : Indice d'équitabilité ; **Int. de Conf.** : Intervalle de confiance de la moyenne au risque $\alpha = 0,025$.

Pour cette mission, c'est la station ST02 (Creek baie nord) qui présente les plus faibles chiffres pour quasiment tous les paramètres (nombre d'individus, richesse spécifique, densité et indice de Shannon), comme précédemment. C'est la station ST03 (Port) qui présente la plus faible biomasse et l'indice d'équitabilité le plus bas.

Pour cette mission, c'est la station ST07 (Basse Chambeyron) qui est particulièrement riche en nombre d'individus, densité, richesse spécifique et biomasse.

La station ST10 (Îlot Kié) présente le meilleur taux pour l'indice de Shannon et c'est la station ST06 (Ionontea) qui possède le plus fort indice d'équitabilité : c'est donc une station avec une structure des populations très homogène. Ceci est d'ailleurs le cas de toutes les stations qui présentent toutes un indice d'équitabilité > 0.6 .

Sur toute la zone d'étude, en considérant la biodiversité 1 (cahier des charges de la DENV avec la liste restreinte, sur les transects), ce sont 168 espèces réparties en 25 familles qui sont retenues, sur les 319 réellement observées (réparties en 41 familles) (soit la biodiversité 3).

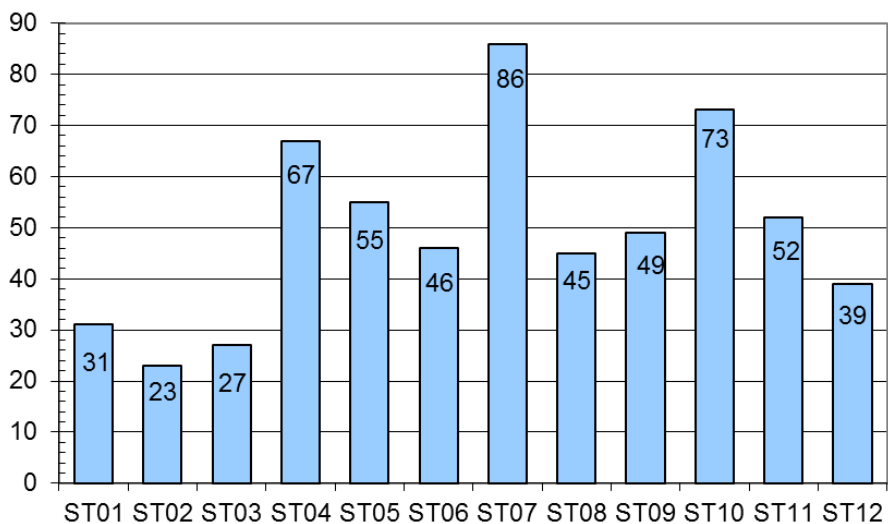
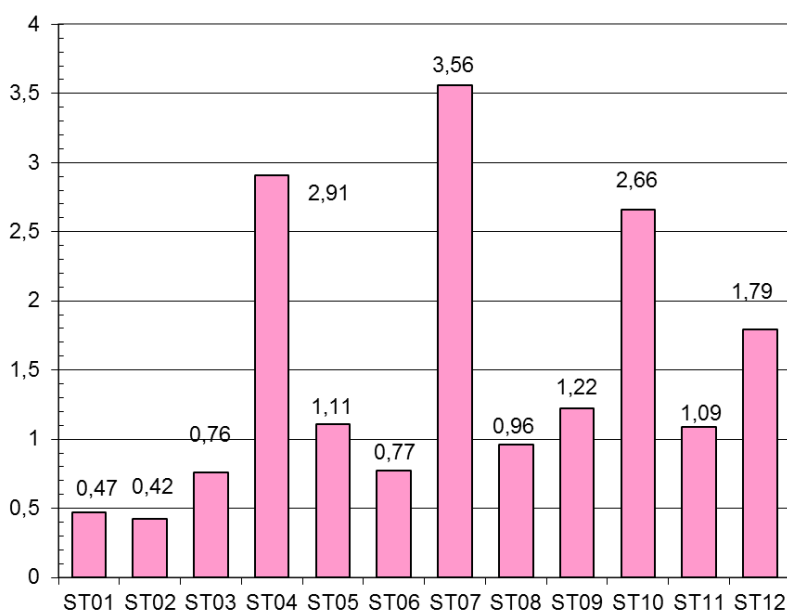


Figure 92 : Richesse spécifique de l'ichtyofaune par station



ST01	Casy
ST02	Creek baie nord
ST03	Port
ST04	Woodin
ST05	Ioro
ST06	Ionontea
ST07	Chambeyron
ST08	Puka
ST09	Bancs Kié
ST10	Ilot Kié
ST11	Toémo
ST12	Ugo

Figure 93 : Densité (nb ind/m²) de l'ichtyofaune par station

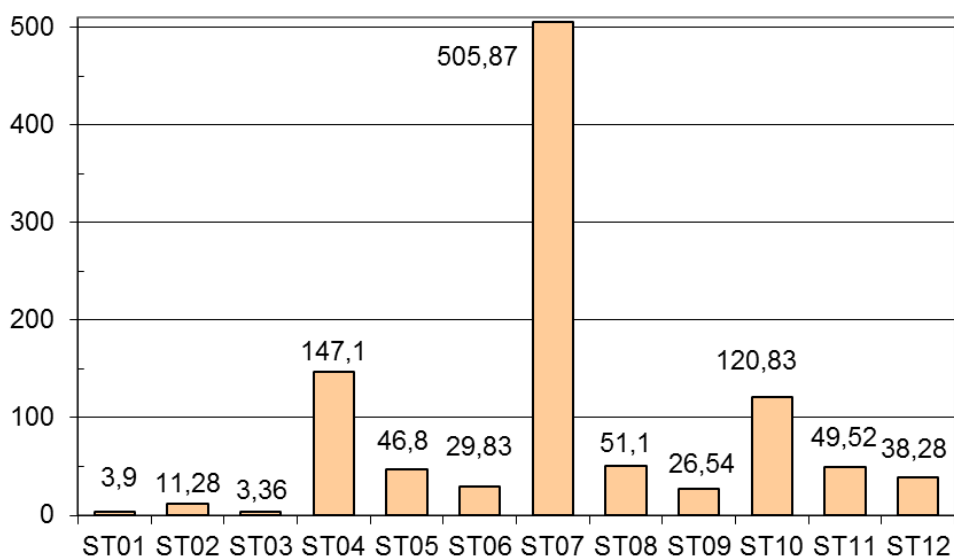


Figure 94 : Biomasse (g/m²) de l'ichtyofaune par station

5.4 Espèces exogènes / espèces invasives / envahissantes

5.4.1 Définitions

L'introduction d'espèce exogène est préoccupante car **tous les taxons peuvent selon le contexte devenir une espèce invasive** (espèce envahissante exogène). **Les espèces invasives peuvent réguler leur croissance et s'étendre dans leur nouvel habitat en causant des perturbations dans les communautés biologiques locales.**

Espèce exogène (espèce exotique ou espèce non indigène ou espèce allochtone) : Se dit d'une espèce qui provient d'un autre pays, d'une autre région du monde, qui n'est pas native de l'endroit.

Espèce indigène (ou espèce native ou espèce autochtone) : Qualifie la nature d'une espèce particulière native d'une région particulière ; se dit d'un organisme ou d'une espèce qui est naturellement originaire (indigène, autochtone) d'un environnement ou d'une région. Son contraire est espèce non indigène ou espèce exogène ou espèce allochtone.

La notion écologique d'espèce invasive et d'espèce envahissante est récente : Pour la comprendre, il faut savoir que les équilibres entre espèces au sein des écosystèmes, à l'échelle de temps humaine au moins, sont relativement bien établis. Sans intervention humaine, les phénomènes d'extension brutale de l'aire de répartition d'une espèce sont extrêmement rares. Les besoins des sociétés humaines conduisent à l'exploitation plus ou moins intense des écosystèmes et affectent la biodiversité.

Les auteurs ne sont pas encore d'accord sur l'emploi et la définition exacte des deux termes « espèce envahissante ou invasive », ce dernier mot étant en plus un anglicisme.

Cependant, pour plus de clarté, nous arrêterons dans le présent rapport les définitions suivantes :

Espèce invasive : Une espèce invasive ou espèce envahissante exogène ou espèce exotique envahissante (EEE) est une espèce non native de la zone concernée (introduite) et qui devient un agent de perturbation nuisible à la biodiversité autochtone des écosystèmes naturels ou semi-naturels parmi lesquels elle s'est établie.

Les espèces invasives peuvent réguler leur croissance et s'étendre dans leur nouvel habitat en causant des perturbations dans leur communauté biologique locale. Tous les taxons peuvent selon le contexte devenir une espèce invasive.

Espèce envahissante : espèce indigène dont le potentiel de reproduction est important et qui lors d'un développement excessif (dû à des facteurs x) pourra alors déséquilibrer son milieu.

Il faut donc bien faire la différence entre une espèce invasive (exogène à la base) et envahissante (indigène), même si les 2 phénomènes sont à surveiller du fait de leurs conséquences néfastes sur l'environnement.

5.4.2 Espèces exogènes / invasives

Les activités minières et industrielles de la société Vale Nouvelle-Calédonie génèrent un haut niveau de risque d'introduction, d'installation et de diffusion d'espèces exogènes notamment par l'importance du trafic de marchandises (en particulier via le port de Prony) et par les nombreuses voies de pénétration ouvertes dans les milieux naturels.

Au vu de l'étendue de la zone géographique (baie de Prony, canal Woodin et canal de la Havannah), de la complexité et la multiplicité des habitats présents et à la diversité importante des taxons potentiels, nos observations sur les stations d'étude biologique sont mineures et seraient à préciser et renforcer avec un plan d'échantillonnage et une méthodologie plus adaptés à la problématique des espèces exogènes, si celle-ci venait à être identifiée par les administrations compétentes.

Cependant, au cours des différentes plongées, au fur et à mesure de la détermination des espèces rencontrées, quel que soit l'embranchement, nous essayons de détecter la présence d'espèces exogènes, invasives ou non.

A ce jour aucune nouvelle espèce exogène n'a été répertoriée dans les stations de suivi biologique de la zone d'étude.

Il n'y a pas, au vu de la taille de notre échantillon, de phénomène d'invasion actuellement.

5.4.3 Espèces envahissantes

Par rapport aux taxons (indigènes) qui sont observés durant ces suivis, **l'abondance des espèces indigènes et les variations de leur recouvrement durant l'année (depuis le début du suivi), ne présentent pas, de manière permanente, d'anomalie caractéristique d'espèce envahissante** qui pourrait nuire à l'environnement.

Cependant, des proliférations ponctuelles sont observées, notamment pour les macroalgues et les corallivores.

5.4.3.1 Les macroalgues

Ainsi, une attention particulière doit être portée sur l'évolution du recouvrement de deux genres de **macrophytes** (*Asparagopsis* et *Lobophora*). En effet, les proliférations de macroalgues dans les écosystèmes littoraux des zones tropicales et subtropicales sont une menace sérieuse pour la diversité biologique de ces milieux. Des investigations complémentaires seraient à mettre en place avec un pas de temps plus court (trimestriel) et une méthodologie adaptée (quadras) afin d'évaluer leur potentielle nuisance sur l'environnement ainsi que leur développement dans le temps et dans l'espace. Leurs évolutions sont détaillées au § 6.2.2.3.2.

L'algue rouge du genre *Asparagopsis* présente un développement saisonnier très important (particulièrement durant la fin de l'hiver austral et le début de l'été austral : mission septembre/octobre), dans les zones caractérisées par un hydrodynamisme intense du canal de la Havannah. Du fait de sa prolifération, cette algue rouge pourrait entraîner des perturbations non négligeables sur les coraux durant cette période (compétition spatiale non négligeable).

Il faut noter qu'à contrario, cette algue ne se développe presque pas en baie de Prony et dans le canal Woodin.

L'algue brune du genre *Lobophora* est également à surveiller avec une grande attention car elle constitue un compétiteur spatial important pour les coraux. En effet, il s'avère que le genre *Lobophora* se développe abondamment et de manière permanente en baie de Prony. Pour l'instant son développement est régulier et non prolifique mais si les conditions environnementales venaient à évoluer (principalement augmentation de la turbidité), ce genre pourrait ainsi se développer à la défaveur des coraux puis étouffer une grande partie des récifs. **A ce stade, le genre *Lobophora*, pourrait avoir des caractéristiques d'une espèce envahissante.**

5.4.3.2 Les corallivores

Par ailleurs, globalement, depuis le début du suivi biologique, *Acanthaster planci* est présente de manière très occasionnelle, mais **des proliférations ont été recensées les dernières années (2017-2019) en station ST01, ST02, ST03 et ST04.**

L'évolution de ce corallivore est détaillée au § 6.2.2.3.4.

La 1^{ère} alerte concernait la **ST01 (Casy)** où sur 3 missions successives (avril 2017 à mai 2018) le transect A présentait une prolifération d'*Acanthaster planci* (12, 13 et 7 spécimens / 100 m²). Lors du suivi de novembre 2016 un seul spécimen avait été observé, comme en novembre 2018, en avril 2019 et en mai 2020.

La 2^{ème} alerte concernait la **ST04 (Woodin)** où en novembre 2018, 51 spécimens (sur 300 m², mais essentiellement sur le transect médian) avaient été observés. Les colonies attaquées (blanchies et mortes en place) étaient des *Acropora* tabulaires. La présence c'était réduite en avril 2019 avec respectivement 2 et 1 spécimens aux transects supérieurs.

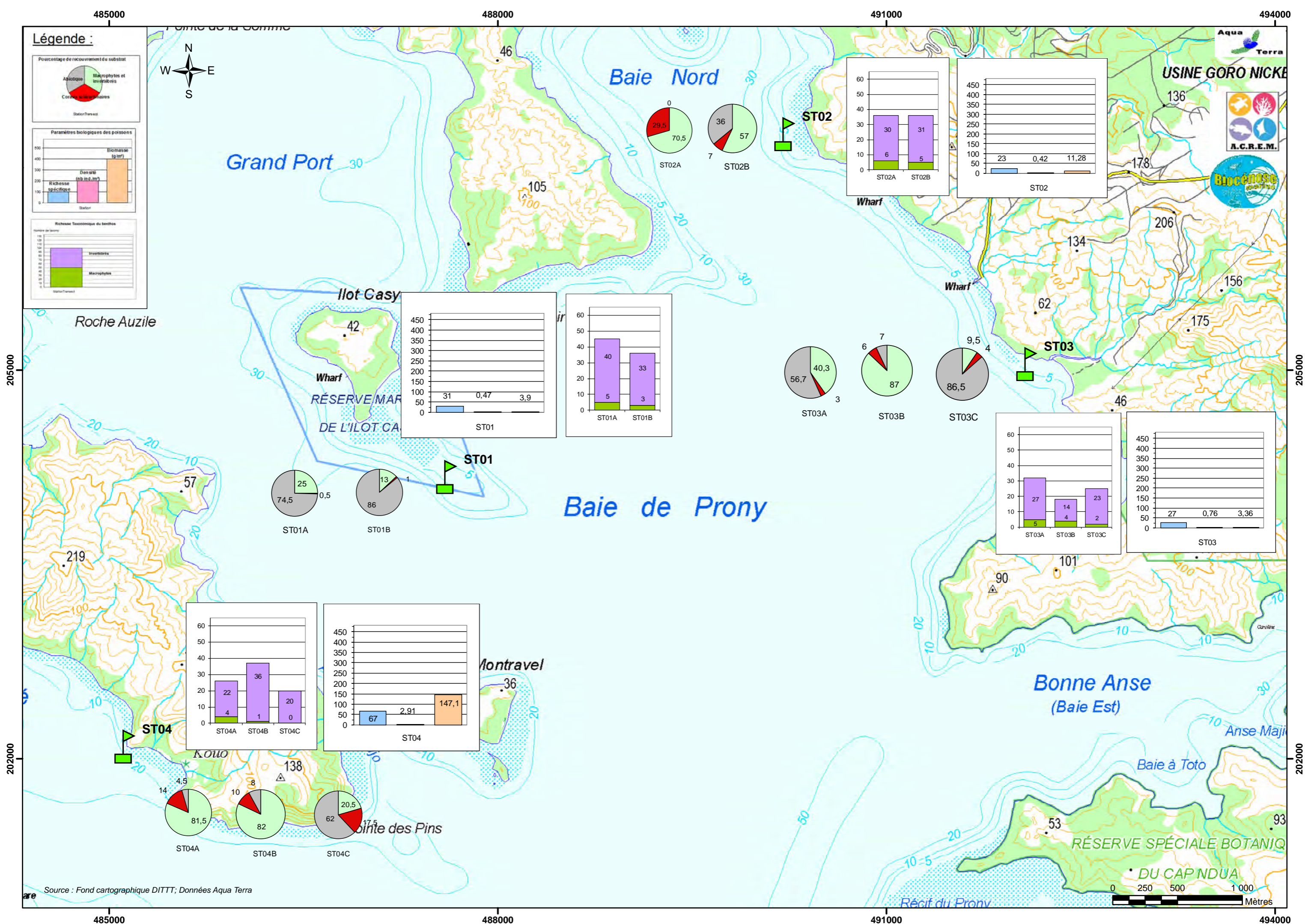
La 3^{ème} alerte concernait les stations **ST02** (5 et 2 spécimens) et **ST03** (1, 16 et 1 spécimens), en avril 2019.

Dans la continuité, la 4^{ème} alerte était en octobre 2019 où elles étaient présentes sur 6 stations en tout : **ST02AB** (3 et 5 spécimens), **ST03AB** (1 et 1 spécimen), **ST04AB** (3 et 2 spécimens).

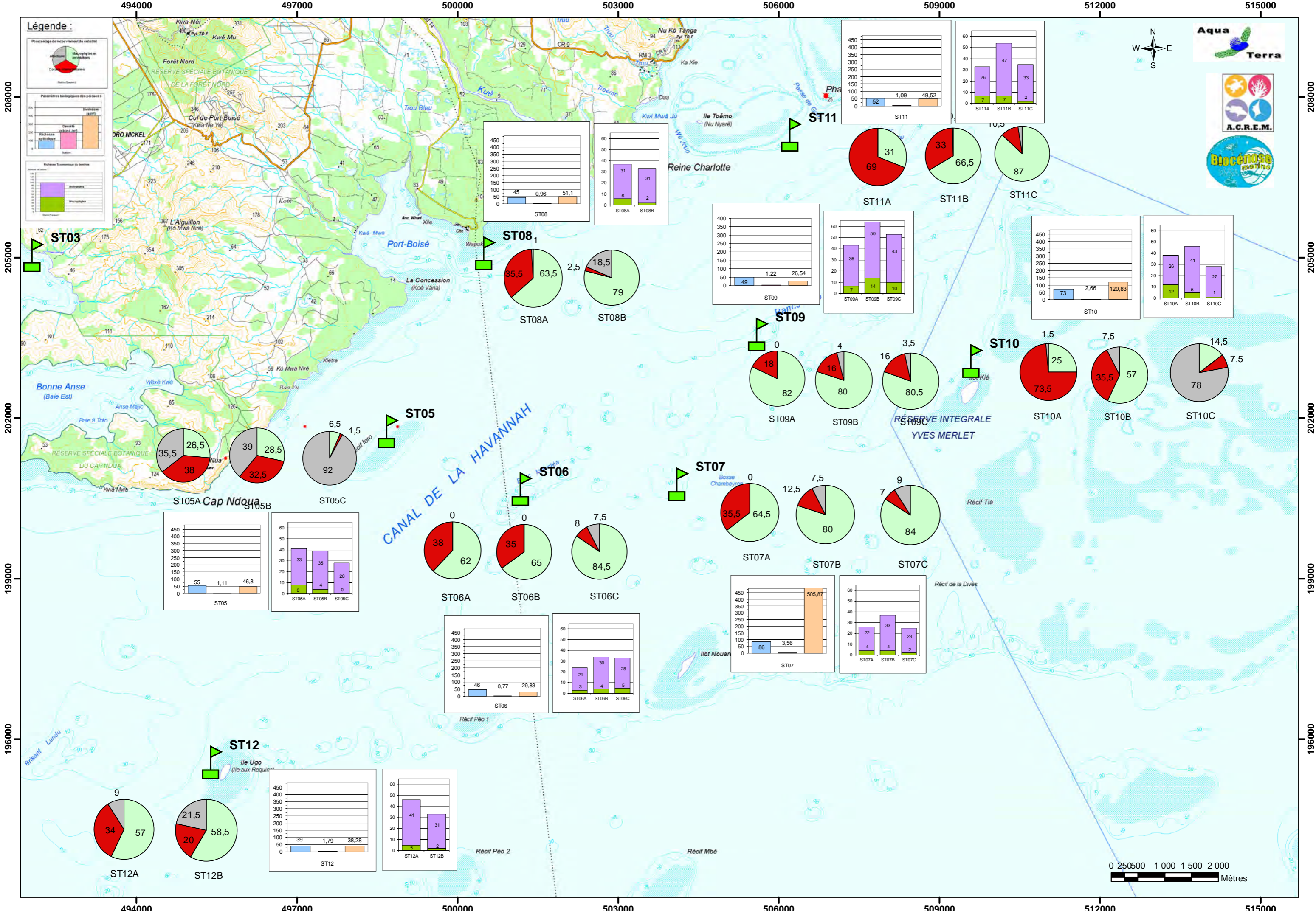
Leurs perturbations sur les coraux sont importantes dans ces anciennes zones de prolifération. Les colonies blanchies et mortes en place concernent préférentiellement les *Acropora* branchus et tabulaires mais quand la prolifération a perduré la mortalité corallienne touche un plus grand nombre d'espèces.

De plus, ces proliférations affaiblissent le développement des coraux par rapport à la lutte spatiale contre les algues ce qui crée une conjoncture très défavorable à certaines stations, comme en ST02 et ST03, où les macroalgues sont particulièrement développées.

Ces trois genres sont actuellement suivis avec attention à chaque campagne.



Carte n°15 : Résultats généraux - Octobre 2020 : ichtyofaune, communautés benthiques, substrat par station de la baie de Prony – canal Woodin



Carte n°16 : Résultats généraux - Octobre 2020 : ichtyofaune, communautés benthiques, substrat par station pour le canal de la Havannah

6 Comparaison avec les données historiques

6.1 Substrat

Pour suivre une évolution globale, les résultats (en pourcentage de recouvrement) du biotique (en deux groupes : les coraux scléactiniaires et les autres organismes vivants, rangés sous le terme de « macrophytes et invertébrés ») et des fonds abiotiques sont comparés entre la mission actuelle et la précédente (cf. [tableau 117](#)).

Selon plusieurs études [R62, R44], le LIT est une méthode présentant des variations moyennes de l'ordre de 20%, y compris pour un même opérateur.

Par ailleurs, pour les études à des fins de gestion (et non de recherche), les résultats d'enquête ne nécessitent qu'une précision de 20% et les efforts pour parvenir à une plus grande précision sont considérés par certains auteurs/chercheurs comme « une perte de temps et d'argent » [R67].

Pour ces raisons et les différences dans les conditions d'exécution des différentes campagnes, seule la marge supérieure à 20% de fluctuation est conservée comme indicateur significatif.

Rappel des résultats des comparaisons pour les missions précédentes :

En avril 2016 (vs octobre 2015), globalement, il y avait très peu de variations, avec toutefois une exception marquée pour les transects supérieurs des stations ST02 (Creek baie nord) et ST04 (Woodin), où une baisse significative dans le recouvrement par les coraux scléactiniaires avait été mesurée (- 21% et - 23.5%).

Le phénomène de blanchissement (conséquence d'une anomalie positive de température de l'eau, cf. § 7.1) qui a touché la Nouvelle-Calédonie en début d'année 2016 avait été particulièrement enregistré ici.

En novembre 2016 (vs avril 2016), de façon globale les stations étaient stables, y compris pour ce qui est du recouvrement en scléactiniaires, sur les 2 transects particulièrement touchés en début d'année (ST02A et ST04A) (+1% pour chacun). Par contre le transect B de la ST02 voyait son recouvrement en coraux diminuer de 14.5%. Il fallait aussi noter -7.5% pour le transect haut (A) de ST08 (Puka). A contrario, le recouvrement corallien en ST07A (Basse Chambeyron) augmentait de 7%.

Les baisses de cette mission étaient les suites à long terme du phénomène de blanchissement du début d'année 2016. L'état de santé de la majorité des stations était cependant stable voire en légère augmentation par rapport à la mission précédente (avril 2016), ce qui laissait supposer que les dégradations étaient terminées et que le récif allait progressivement se rétablir (résilience), en l'absence d'un autre stress.

En avril 2017 (vs novembre 2016), il y avait comme régulièrement des inversions dans les taux biotique / abiotique dues à des changements dans le recouvrement du couple vase - « corail mort avec algues » pour certaines stations, mais une tendance générale à la stabilité. Pour ce qui est du recouvrement en scléactiniaires, les 2 stations touchées 1 an auparavant, voyaient l'enregistrement d'une bonne croissance globalement. Ainsi, la moyenne des variations du recouvrement en scléactiniaires par rapport à la mission précédente était un gain de 1.7%. Cela contrebalançait les pertes enregistrées en 2016 (-1.4% en avril et -0.6% en novembre) et prouvait la résilience des récifs de la zone d'étude.

En septembre 2017 :

Par rapport à la mission précédente (avril 2017), globalement les stations étaient stables : il n'y avait même (1^{ère} fois depuis le début du suivi) aucune variation significative ($\geq 20\%$).

Pour ce qui est du recouvrement en scléactiniaires, les variations se situaient entre -7% pour le transect A de la ST01 (Casy) - baisse due à la prolifération des *Acanthaster planci* - et +12% au transect A de la ST11 (Toémo). En moyenne, c'est un gain qui était enregistré (+1.86%).

L'analyse de ces résultats avec ceux de la campagne d'octobre 2015 est intéressante puisque les dernières grandes dégradations enregistrées l'avaient été en début 2016. La mission d'octobre 2015 devient ainsi la dernière référence pour un état de santé global bon.

A part deux inversions cycliques (couple sable / « corail mort avec algues » en ST04C et ST08B), il n'y avait pas de différence significative ($> 20\%$). Ainsi les taux de cette mission rejoignaient bien les moyennes observées avant les dégradations enregistrées en 2016 (résilience globale du récif).

Cependant, il faut noter que 2 transects avaient des taux de recouvrement en scléactiniaires beaucoup plus bas :

- En ST02A (-20% en septembre 2017 vs octobre 2015) : ce transect ne s'était pas « remis » du blanchissement de début 2016 et les coraux atteints étaient morts.
- En ST01A (-11.5% en septembre 2017 vs octobre 2015) : cette dégradation avait une autre cause. Elle était

récente (de l'année 2017) et était due à une attaque massive (prolifération) des *Acanthaster planci* sur la station.

En mai 2018 : (vs septembre 2017), il y avait, comme régulièrement, des inversions dans les taux biotique / abiotique dues à des changements dans le recouvrement du couple vase - « corail mort avec algues » pour certaines stations (augmentation de la vase en ST02B et diminution en ST03A), mais une tendance générale à la stabilité. Pour ce qui était du recouvrement en scléactiniaires, la moyenne des variations du recouvrement en scléactiniaires par rapport à la mission précédente était une perte de 0,65%.

En novembre 2018 : (vs mai), il y avait, comme régulièrement, des inversions dans les taux biotique / abiotique dues à des changements dans le recouvrement du couple vase - « corail mort avec algues » pour une seule station (diminution de la vase en ST02B), et donc une tendance générale à la stabilité. Pour ce qui était du recouvrement en scléactiniaires, la moyenne des variations par rapport à la mission précédente était un gain de 2.4%, avec 2 stations qui voient leurs coraux en pleine croissance / recrutement (en défaveur du compartiment « macrophytes et invertébrés ») :

- le transect A de la ST02 (Creek baie nord) : + 22% (soit un taux à 47.5% comme en octobre 2015)
- le transect A de la ST11 (Toémo) : +24%.

Il faut à contrario signaler que le transect B de la ST04 (Woodin) perd 16.5% dans son recouvrement en scléactiniaires (au profit du compartiment abiotique : débris et sable). Il y avait en effet une attaque massive d'*Acanthaster planci* avec en conséquence, en plus, un effondrement de certaines colonies mortes.

En avril 2019 : par rapport à la mission précédente, globalement les stations étaient stables : il n'y avait ainsi (2^{ème} fois depuis le début du suivi) aucune variation significative ($\geq 20\%$).

Il y avait, cependant comme régulièrement, des modifications dans l'équilibre des taux biotique / abiotique dues à des changements, légers cette campagne-ci, dans le recouvrement du couple vase ou sable - « corail mort avec algues » : diminution du sable en ST04C (-12.5%) et augmentation en ST07B (+14%).

Pour ce qui est des coraux, la moyenne des variations du recouvrement en scléactiniaires par rapport à la mission précédente était une baisse de 1.72%. Ce recul étant essentiellement dû à la ST04 (Woodin) qui perdait à nouveau 8% dans son recouvrement en scléactiniaires au transect B et 17.5% au transect A. C'étaient les conséquences de la prolifération des *Acanthaster planci*.

En octobre 2019 : par rapport à la mission précédente, globalement les stations étaient stables : il n'y avait ainsi qu'une variation significative : c'était l'inversion entre la proportion de sable (disparition : - 58.5%) pour l'augmentation du « corail mort avec algues » (+ 57.5%) au transect B de la ST08 (Puka). Ce type de phénomène est cyclique (ainsi les taux rejoignent ici par exemple ceux de la campagne de novembre 2016).

Pour ce qui est des coraux, la moyenne des variations du recouvrement en scléactiniaires par rapport à la mission précédente était encore une baisse, de 1.64%. Ce recul était toujours dû à la ST04 (Woodin) qui perdait à nouveau 12.5% dans son recouvrement en scléactiniaires au transect A, mais aussi pour une plus grande partie à une forte dégradation de la station 02 (Creek baie nord) avec -12% et - 17% de recouvrement corallien sur ses 2 transects. Ces dégradations étaient les conséquences de la prolifération des *Acanthaster planci*.

En mai 2020, par rapport à la mission précédente, globalement les stations étaient stables : il n'y avait ainsi que 2 variations significatives :

- une inversion entre la proportion de sable (disparition : - 27%) pour l'augmentation du « corail mort avec algues » (+ 32.5%) pour le transect B de la ST07 (Chambeyron). Ce type de phénomène est cyclique (ainsi les taux rejoignent ici par exemple ceux de la campagne d'avril 2017)
- la très forte augmentation du recouvrement en coraux scléactiniaires au transect A de la ST10 (Ilot Kié) avec +31%. Attention cependant : cette évolution était calculée par rapport à novembre 2016 (soit 6 missions sans observations, plus de 3 ans).

Pour ce qui est des coraux, la moyenne des variations du recouvrement en scléactiniaires par rapport à la mission précédente était en hausse de 0.4%. Cependant, cette hausse était due à la réintégration de la ST10 dans le réseau de suivi, car elle possède les taux les plus élevés. Le même calcul en l'écartant montrait encore un recul de 0.29%, qui cette fois était dû essentiellement à la ST09 (Bancs Kié) qui perdait 10.5% dans son recouvrement en scléactiniaires au transect A (mais cela rejoignait les résultats de mai 2018). Ces dégradations n'avaient pas de cause apparente à part être les conséquences éventuelles de phénomènes hydrodynamiques.

Pour cette mission :

Par rapport à la mission précédente, globalement les stations sont stables : il n'y a ainsi aucune variation significative.

Pour ce qui est des coraux, la moyenne des variations du recouvrement en scléactiniaires par rapport à la mission précédente est en hausse de 0.6%, ce qui tend à valider la résilience et la reprise de croissance des coraux suite aux proliférations des *Acanthaster*.

Cependant, cette hausse est à nuancer car elle est influencée par l'augmentation enregistrée au transect C de la ST04 (Woodin) (+15.5%) qui est due à l'effondrement des grandes colonies de *Tubastraea micrantha* sous le transect. Malgré tout, en enlevant ce transect du calcul, la variation reste cependant une augmentation, très légère (+0.1%).

6.2 Benthos

6.2.1 Variation de la biodiversité α dans le temps

La biodiversité α est étudiée car c'est un paramètre biologique fort qui caractérise une station.

Les résultats obtenus de biodiversité α sur le peuplement benthique (invertébrés hors coraux durs et macrophytes) sont présentés pour chaque groupe en deux temps :

- 1/ les données de cette présente mission sont comparées directement avec les données de la mission précédente,
- 2/ l'ensemble des résultats comparables des missions précédentes est soumis à deux tests statistiques.

Les deux analyses statistiques proposées sont : Anovar et le test de Friedman.

ANOVAR (comparaisons temporelles) : La prise en considération de l'ensemble des transects et stations de la zone donne une série statistique exploitable permet une analyse temporelle. Toutefois, la puissance de cette analyse est lourdement entravée 1) par l'amélioration du protocole au fur et à mesure des missions et 2) par un choix de stations très hétérogènes : baie de Prony contre canal Woodin et canal de la Havannah, et même au sein du canal de la Havannah, des stations sur des bancs à fort courant, des stations exposées aux alizés et d'autres au contraire protégées et donc à plus faible hydrodynamisme.

Test de Friedman : Le test de Friedman a sans doute dans le cas présent plus d'intérêt que celui de Kruskal & Wallis. Ce test, appelé «*test en blocs aléatoires complets*», a pour préalable d'ordonner les résultats des différents traitements à l'intérieur de chaque bloc préétablis.

Ici, sera considéré que les «*traitements*» sont les conditions environnementales propres à chacune des années de la série historique et que les «*blocs*» sont les stations qui sont chaque année réévaluée, et dans ce cas, ce sera une analyse en colonnes,

$$\chi^2_{\text{obs}} = 12/pq(p+1) \cdot \sum Y_i^2 - 3q(p+1)$$

p et *q* désignant respectivement le nombre d'années (donc de colonnes) et le nombre de transects (donc de lignes). Le degré de liberté $ddl = p-1$

L'hypothèse (H_0) du test est de s'assurer que les variations observées d'année en année au niveau de chacune des stations sont bien aléatoires et donc pour chacune, le fruit du hasard et non qu'il existerait au cours du temps, une tendance globale à la hausse ou à la baisse des valeurs des paramètres choisis pour caractériser ces stations.

Il n'est pas concevable de prendre les différents niveaux bathymétriques comme réplicats pour une station du fait de leur grande hétérogénéité liée à la profondeur justement. Les données quantitatives par transect sont donc obtenues sans réplicat : il n'y a donc pas d'intervalle de confiance pour les niveaux bathymétriques.

→ Les stations ne peuvent être comparées individuellement, ni entre elles, ni d'une année sur l'autre.

Seule la considération de l'ensemble des transects de la zone comme une série statistique permet le calcul d'un intervalle de confiance. Avec ce subterfuge la comparaison temporelle de la zone (et uniquement temporelle) peut alors être faite. Toutefois, la puissance de cette analyse est lourdement entravée par l'hétérogénéité des stations et les fortes variances que cette hétérogénéité entraîne.

Nota Bene :

- La **station Ugo** (ST12) n'a pas été échantillonnée pour les missions de 2007 et 2008. Lorsque les résultats de Biodiversité α des missions de 2007 et 2008 sont introduits dans les tests, ces valeurs correspondent à la moyenne des missions suivantes.
- Il en est de même pour la **station ST10 (Ilot Kié)**, qui n'a pas été échantillonnée de 2017 à 2019 : les données manquantes pour cette période, ont été remplacées par la moyenne des années précédentes.
- Par ailleurs, les premières années (2007 et 2008), l'augmentation de diversité des **coraux** est corrélée à la régénération du récif (résilience) mais aussi à une amélioration du protocole (jusqu'en juin 2009). Par la suite, le protocole n'a plus évolué, l'enregistrement indique seulement la croissance naturelle du récif.
NB : Depuis la mission d'avril 2017 : les coraux (scléactiniaires et autres) (non demandés dans le cahier des charges) ne sont plus étudiés.
- De même, pour les **invertébrés** : au fur et à mesure des missions le protocole d'échantillonnage des biocénoses benthiques a été amélioré :
 - En octobre 2008 avec l'inventaire supplémentaire des actiniaires et des ascidies ;
 - En octobre 2011 avec l'inventaire plus détaillé des mollusques (gastéropodes, bivalves et nudibranches) et des ophiures (présence/absence). Le protocole d'échantillonnage est inchangé depuis ce suivi.
- A contrario, le protocole n'a jamais évolué pour les **macrophytes** : les valeurs des biodiversités α des macrophytes sont donc comparables entre toutes les missions.

6.2.1.1 Pour les invertébrés, généralités

La richesse spécifique des invertébrés est un indicateur pour évaluer l'état de santé des récifs mais les informations sont à interpréter avec une grande précaution et généralement sur une échelle de temps plus grande que celles acquises pour les coraux scléactiniaires (indicateur le plus performant). De plus, contrairement aux coraux, les mêmes individus sont très rarement observés d'une mission à l'autre (grande mobilité et turn over des invertébrés).

En effet, les variations de mobilités des invertébrés (particulièrement : échinides, astéries, holothuries, gastéropodes et nudibranches) sont très importantes naturellement. Les espèces mobiles sont constamment à la recherche de nourriture et lorsque les conditions environnementales sont défavorables, elles ont la capacité de se déplacer vers un milieu moins perturbé. Leur absence n'est pas forcément un indicateur de perturbation et leur abondance ou présence n'est pas non plus un indicateur de bon état de santé. Il faut généralement que les perturbations soient majeures pour que le signal soit perceptible ou alors retrouver des individus ou des tests morts pour déterminer une perturbation.

Les évènements hydrodynamiques (cyclone, dépression, tempête) et climatiques (Enso), la prédation, la disponibilité en nourriture et la grande mobilité des organismes benthiques sont principalement à l'origine de variation de diversité et d'abondance d'une mission à l'autre, surtout lorsque ces évènements deviennent extrêmes.

Lors des évènements dépressionnaires, les invertébrés sont balayés, arrachés du substrat et/ou ils se déplacent vers des zones moins perturbées (plus en profondeur). Ces perturbations subies par les récifs génèrent aussi une remobilisation du matériel corallien et sédimentaire (colonies, débris, sédiments) et par la suite le développement de cyanobactéries et de turf algal. Ces éléments remobilisés et mis à disposition sont une source de nourriture non négligeable pour les invertébrés.

D'autre part, il apparaît également qu'un nombre important d'invertébrés mobiles se protègent et se cachent sous les débris, des anfractuosités ou dans le sédiment (mollusques, astéries, ophiures, crustacés...) ainsi ils ne peuvent pas être comptabilisés dans les inventaires.

6.2.1.2 Pour les invertébrés, depuis la dernière mission

La liste des invertébrés demandée dans le cahier des charges ne concerne que les échinodermes (astéries, crinoïdes, échinides, holothurides), les clones, les bédouilles et les trocas. Cela n'est pas suffisant pour une bonne appréciation de la qualité des biocénoses.

De ce fait, la liste des invertébrés traités dans cette étude est bien plus complète et comprend les sous-groupes qui contribuent le plus à la composition caractéristique et unique de chaque récif, soient : alcyonaires, spongiaires, mollusques, ascidies, échinodermes (astéries, crinoïdes, échinides, holothurides, ophiurides, synaptés), actiniaires, zoanthaires et hydrozoaires. Elle ne comprend plus les coraux durs.

Par ailleurs, dans les données de richesses spécifiques, depuis octobre 2012 (compris), les décapodes et les crustacés ne sont plus pris en compte (impossibilité sur le terrain d'échantillonner tous ces organismes, donc leur biodiversité était obligatoirement largement sous-estimée). Les moyennes pour les années précédentes ont été reprises aussi de fait.

De mai 2020 à octobre 2020, la richesse spécifique absolue des invertébrés (hors coraux durs) a évolué de -12 à +8 espèces selon les transects (ST10A et ST06C).

- Les transects présentant une diminution de diversité absolue par rapport à la dernière mission (respectivement -3 et -12 espèces) sont : ST01AB, ST02A, ST04B, ST05A, ST08AB, ST09B, ST10ABC.

- Les transects présentant une augmentation de diversité absolue par rapport à la dernière mission (entre +3 et + 8 taxons) sont : ST03C, ST06C, ST08AB, ST11C et ST12AB.

6.2.1.3 Pour les invertébrés, depuis le début

Les valeurs des biodiversités α des invertébrés selon les différentes transects pour toutes les missions sont résumées dans le tableau 106.

Tableau 106 : Valeur de la richesse spécifique des invertébrés (hors coraux durs) pour tous les transects depuis 2010

Biodiv. α	Oct. 2020	Mai 2020*	Oct. 2019	Avril 2019*	Nov. 2018	Mai 2018*	Sept. 2017**	Avril 2017*	Nov. 2016	Avril 2016*	Oct. 2015	Mars 2015*	Oct. 2014	Avril 2014	Sept. 2013	Avril 2013*	Oct. 2012	Mars 2012	Oct. 2011	Mars 2011*	Sept. 2010	Mars 2010
ST01A	39	47	45	46	37	36	34	38	44	44	51	44	47	48	48	39	42	32	27	24	23	23
ST01B	32	39	41	41	37	38	29	32	39	35	42	46	39	37	41	29	33	28	23	18	17	18
ST02A	28	31	33	31	33	36	30	33	38	34	40	40	38	38	37	33	27	25	21	20	15	17
ST02B	29	28	29	35	32	32	22	22	27	30	32	29	28	31	28	26	30	26	24	19	17	19
ST03A	26	27	30	27	25	29	25	25	30	34	32	33	35	38	31	25	32	20	20	16	17	15
ST03B	14	15	19	22	19	26	16	21	27	30	35	29	28	35	33	26	26	22	15	9	7	5
ST03C	22	19	23	25	28	26	21	21	25	29	25	22	24	28	24	18	30	23	19	17	15	13
ST04A	20	19	22	21	22	22	16	25	24	19	30	23	28	31	24	19	22	21	22	16	18	17
ST04B	34	39	36	34	34	46	38	42	42	40	44	44	43	47	45	35	32	28	26	20	21	20
ST04C	19	18	18	15	22	25	16	23	22	23	28	24	22	28	20	18	20	24	26	24	21	19
ST05A	31	37	33	30	31	45	39	38	40	39	45	42	39	42	42	27	28	24	23	15	17	16
ST05B	33	31	32	29	28	47	36	37	42	30	32	36	34	35	40	30	33	30	31	23	22	23
ST05C	26	24	21	19	20	22	20	14	16	16	16	20	20	21	21	20	19	20	21	21	19	20
ST06A	19	19	21	24	18	24	21	18	16	17	17	13	20	26	15	19	16	20	20	7	11	15
ST06B	28	30	29	33	30	36	28	26	33	36	42	39	45	38	41	36	34	26	28	16	14	17
ST06C	27	19	23	25	25	24	19	23	32	31	28	21	28	29	38	27	26	25	25	13	14	16
ST07A	21	21	23	18	18	24	19	20	25	29	20	25	20	18	15	26	14	17	14	8	17	17

ST07B	32	33	33	37	30	41	27	36	35	39	44	36	40	38	39	31	25	27	27	20	19	19
ST07C	22	22	21	25	25	19	20	33	35	40	33	28	31	27	32	24	18	25	28	18	19	21
ST08A	29	34	31	36	36	56	40	37	41	36	39	42	42	39	34	35	50	39	34	23	24	26
ST08B	29	38	35	32	30	42	36	28	43	36	31	36	34	36	29	23	29	30	27	24	24	27
ST09A	34	36	34	35	34	46	41	36	43	39	37	44	49	46	43	39	34	32	31	20	22	26
ST09B	48	54	53	59	58	68	58	56	67	60	66	71	78	80	64	63	49	44	38	25	26	26
ST09C	41	43	42	41	43	43	39	35	40	40	47	56	57	53	54	45	44	37	36	24	25	26
ST10A	24	36	/	/	/	/	/	/	39	41	48	41	45	30	30	21	31	31	25	20	19	19
ST10B	39	44	/	/	/	/	/	/	56	56	62	67	68	57	47	42	36	35	31	25	26	26
ST10C	25	29	/	/	/	/	/	/	30	29	34	40	43	41	38	36	31	36	35	26	28	27
ST11A	24	25	25	21	18	28	23	17	18	18	29	23	31	30	33	27	30	42	43	18	15	19
ST11B	45	43	39	48	45	53	39	37	49	41	47	53	53	50	48	45	37	45	39	22	20	24
ST11C	31	28	29	31	32	30	27	30	35	36	38	38	39	39	29	35	31	35	34	24	25	25
ST12A	39	35	30	31	28	37	30	34	44	37	46	53	41	39	40	37	38	30	20	14	19	19
ST12B	29	26	27	29	28	33	25	33	42	40	39	47	40	37	34	37	36	22	23	21	18	19

* période dépressionnaire antérieure à la mission ; ** période el Niño antérieure à la mission

6.2.1.3.1 Analyse par Anovar

Une ANOVAR sur ce tableau de biodiversité α des invertébrés est donnée tableau 107.

L'analyse des variances de la richesse spécifique des invertébrés pour les 18 dernières campagnes ne montre pas de similarité, même pour une valeur de F à 99%. Le rejet est total et l'ANOVAR n'accrédite pas l'hypothèse d'identité Ho. Toutes les séries ont des variances différentes.

Tableau 107 : Analyse de la Variance de la biodiversité α des invertébrés (hors coraux durs), depuis 2012

k1=p-1	17	F obs.	4.46
K2=n-p	558	F95%	1.64
		F99%	2.00

Tableau 108 : Analyse de la Variance de la richesse spécifique des invertébrés (hors coraux durs) pour tous les transects depuis 2012

	10/20	05/20*	10/19	04/19*	11/18	05/18*	09/17**	04/17*	11/16	04/16*	10/15	03/15*	10/14	04/14	09/13	04/13*	10/12	03/12
Richesse spécifique moyenne	29,34	30,91	31,28	32,00	30,94	36,19	29,94	31,06	35,59	34,50	37,47	37,66	38,41	37,88	35,53	31,03	30,72	28,78
Ecart type	7,84	9,61	8,98	10,05	9,50	11,54	10,42	9,60	11,22	9,74	11,33	13,45	13,23	11,71	10,91	9,78	8,58	7,33
Intervalle de confiance (IC:0,95)	2,77	3,40	3,18	3,55	3,36	4,08	3,69	3,39	3,97	3,38	3,92	4,66	4,59	4,06	3,78	3,39	2,97	2,54
Coefficient de Variation	0,27	0,31	0,29	0,31	0,31	0,32	0,35	0,31	0,32	0,28	0,30	0,36	0,34	0,31	0,31	0,32	0,28	0,25

* période dépressionnaire antérieure à la mission ; ** période el Niño antérieure à la mission

De manière générale, la diversité absolue des invertébrés a tendance à augmenter durant la mission du premier semestre (mars à mai) et à diminuer durant la mission du second semestre (octobre à novembre).

Lorsqu'un cyclone interagit avant la mission estivale, les invertébrés peuvent être arrachés, remobilisés (capacités réduites de fixation au substrat), se déplacer et/ou mourir lors du phénomène perturbateur mais ils peuvent aussi recoloniser très rapidement les sites dégradés pour les espèces mobiles (recherche de nourriture). La diversité absolue des invertébrés peut donc diminuer ou augmenter drastiquement suite à un cyclone. Ainsi, les assemblages d'espèces par transect au sein des différents groupes d'invertébrés peuvent être très fluctuants dans le temps à court comme à long terme.

Les récifs ont subi des dégradations induites par les événements dépressionnaires Vania et Zélia (janvier 2011), Freda (janvier 2013), Pam (mars 2015), Winston (février 2016), Cook (avril 2017), Donna (mai 2017), Fehi, Gita, Hola, Linda, Iris (janvier à mars 2018), Gretel (mars 2020) et les événements climatiques (El Niño 2015/2016 et la Niña en 2017-2018). Selon l'intensité du phénomène et la période écoulée entre la perturbation et la mission faisant suite au phénomène, des variations (soit une baisse, soit une hausse de diversité) sont constatées pour les invertébrés selon les zones. En effet, les invertébrés peuvent être arrachés, remobilisés (capacités réduites de fixation au substrat), se déplacer ou mourir lors du phénomène perturbateur mais ils peuvent aussi recoloniser très vite les sites dégradés pour les espèces mobiles (recherche de nourriture).

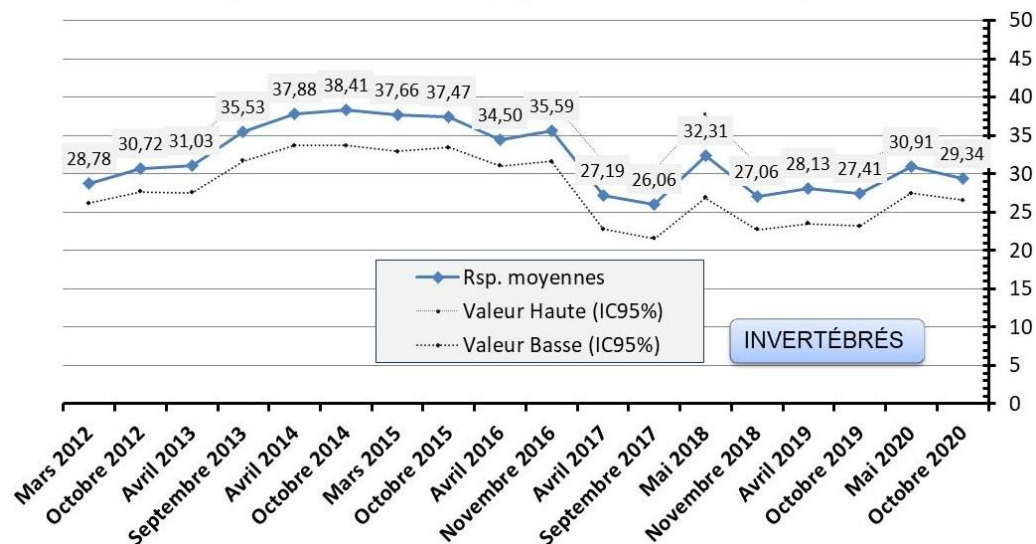


Figure 95 : Valeur de la richesse spécifique moyenne des invertébrés (hors coraux durs) depuis 2012
Les valeurs hautes et basses représentent l'intervalle de confiance

En octobre 2020, la diversité absolue des invertébrés évolue selon les conditions environnementales dominantes :

Dans le canal de la Havannah les récifs exposés ont subi des perturbations induites par les conditions hydrodynamiques intenses. De la nourriture est rendue ainsi disponible pour les espèces mobiles comme les échinodermes qui augmentent (astéries, échinides, holothuries) de manière temporaire car elles sont en constante recherche de nourriture. Par contre, les spongiaires et les mollusques ont tendance à régresser car elles ont été balayées ou dégradées par des effondrements de blocs et de débris.

Dans la baie de Prony et le canal Woodin, les échinodermes (dont particulièrement *Diadema setosum*) augmentent de manière significative car ces herbivores profitent du développement algal à la défaveur des coraux dégradés par les *Acanthaster* et l'hyper sédimentation. Les alcyonaires périssent soit par l'hyper sédimentation ou par l'hydrodynamisme intense.

Ainsi l'influence des apports terrigènes, les conditions hydrodynamiques soutenues et la disponibilité en nourriture sont responsables des changements et de cette distribution des assemblages des espèces benthiques.

6.2.1.3.2 Analyse par le test de Friedman

Il devient alors intéressant de voir s'il y a un classement des séries au cours du temps et le test de Friedman permet de répondre à ce questionnement. Pour cela, le tableau 106 est considéré en classant les valeurs en ligne.

Tableau 109 : Analyses non paramétriques Friedman (analyse en colonne) de la richesse spécifique des invertébrés (hors coraux durs) depuis 2012

KHI 2 obs.	179.4			
Ddl = 16	Khi ² 95%	Khi ² 97,5%	Khi ² 99%	Khi ² 99,5%
Valeur Khi²	27.587	30.191	33.409	35.718

Le rejet est total et le résultat s'accorde avec celui de l'ANOVAR. La diversité des invertébrés montre des évolutions dans le temps.

Le test de Friedman permet de classer les années les unes par rapport aux autres.

Tableau 110 : Classement par rang en colonne pour l'analyse non paramétrique Friedman de la richesse spécifique des invertébrés (hors coraux durs) depuis 2012

<i>Rang Invertébrés</i>	Oct. 2020	Mai 2020*	Oct. 2019	Avril 2019*	Nov. 2018	Mai 2018*	Sept. 2017**	Avril 2017*	Nov. 2016	Avril 2016**/*	Oct. 2015	Mars 2015**/*	Oct. 2014	Avril 2014	Sept. 2013	Avril 2013*	Oct. 2012	Mars 2012
ST01A	5,5	15,5	12	13	5,5	3	2	5,5	9,5	9,5	18	9,5	15,5	15,5	15,5	5,5	9,5	1
ST01B	4,5	12	15	15	9	9	2	4,5	12	7	17	18	12	9	15	2	6	2
ST02A	3	5,5	8,5	5,5	8,5	12,5	4	8,5	15	11	17,5	17,5	15	15	12,5	8,5	2	1
ST02B	10	7	10	18	16	16	1,5	1,5	5	12,5	16	10	7	14	7	3,5	12,5	3,5
ST03A	5	5	11	5	5	9	5	5	11	15,5	13,5	15,5	17	18	11	5	13,5	1
ST03B	1,5	1,5	4,5	7	4,5	11,5	3	7	11,5	15	17,5	11,5	11,5	17,5	16	11,5	11,5	7
ST03C	4,5	1,5	7,5	12,5	15,5	12,5	4,5	4,5	12,5	17	12,5	4,5	9,5	15,5	9,5	1,5	18	7,5
ST04A	5	3	9,5	6,5	9,5	9,5	1	14	14	3	17,5	12	16	17,5	14	3	9,5	6,5
ST04B	3,5	9	6,5	3,5	3,5	16,5	8	12	12	10	14,5	14,5	12	18	16,5	6,5	3,5	1
ST04C	6	4	4	1,5	10	15	1,5	12,5	10	12,5	17,5	15	10	17,5	7,5	4	7,5	15
ST05A	5,5	8	7	4	5,5	17,5	10,5	10,5	13	10,5	17,5	15	10,5	15	15	2,5	2,5	1

ST05B	9,5	6	7,5	3,5	1	18	14	14	16,5	3,5	7,5	14	11	12	16,5	3,5	9,5	3,5
ST05C	18	17	14,5	8,5	8,5	14,5	8,5	1	3	3	3	8,5	8,5	14,5	14,5	8,5	8,5	8,5
ST06A	10	10	14,5	16,5	7,5	16,5	14,5	7,5	3	5,5	5,5	1	12,5	18	3	10	3	12,5
ST06B	3,5	6	6	8,5	6	12	3,5	1,5	8,5	12	17	15	18	14	16	12	10	1,5
ST06C	11,5	1,5	5	8	8	5	1,5	5	17	16	14	3	14	14	18	11,5	10	8
ST07A	10	10	13,5	4,5	4,5	13,5	7	10	16	18	10	16	10	4,5	1,5	16	1,5	4,5
ST07B	5,5	7,5	7,5	12	4	17	2	10,5	9	15	18	10,5	15	13	15	5,5	2	2
ST07C	5,5	5,5	4	9	9	2,5	2,5	15,5	17	18	15,5	12	13,5	11	13,5	7	1	9
ST08A	1,5	5,5	1,5	5,5	5,5	18	13,5	9	13,5	5,5	11	15,5	15,5	11	5,5	5,5	17	11
ST08B	3,5	13,5	13,5	9	7	17,5	13,5	3,5	17,5	13,5	7	13,5	10	13,5	3,5	1	3,5	7
ST09A	3	7	3	7	3	16,5	12	7	13,5	10,5	9	15	18	16,5	13,5	10,5	3	3
ST09B	2	5	4	9	7,5	14,5	7,5	6	14,5	10	13	16	17,5	17,5	12	11	3	1
ST09C	5,5	10,5	8	5,5	10,5	10,5	3	1	5,5	5,5	14	17	18	15,5	15,5	13	10,5	2
ST10A	2	7	10,5	10,5	10,5	10,5	10,5	10,5	14	15,5	18	15,5	17	3,5	3,5	1	5,5	5,5
ST10B	2,5	5	9,5	9,5	9,5	9,5	9,5	9,5	13,5	13,5	17	17	17	15	6	2,5	2,5	2,5
ST10C	1	3	10,5	10,5	10,5	10,5	10,5	10,5	3	3	6	16,5	18	16,5	15	10,5	5	10,5
ST11A	7	9,5	9,5	5	2,5	12,5	7	2,5	2,5	2,5	12,5	7	16	14,5	17	11	14,5	18
ST11B	8,5	6	3,5	13	8,5	17	3,5	1,5	13	5	11	17	17	15	13	8,5	1,5	8,5
ST11C	8,5	1,5	3,5	8,5	8,5	5,5	1,5	5,5	12,5	12,5	16,5	16,5	16,5	16,5	3,5	12,5	8,5	12,5
ST12A	13	7	3	3	3	9	3	6	16,5	9	16,5	18	15	13	13	9	11	3
ST12B	6,5	4	4	6,5	4	8,5	2	8,5	17	15	15	18	15	12,5	10	12,5	11	1
ΣRg	192	220	252	264,5	231,5	391	193,5	231,5	372	335,5	436	425,5	449	454	368,5	236	238	181,5
Ordonnement	2	4	9	10	5,5	14	3	5,5	13	11	16	15	17	18	12	7	8	1

* période dépressionnaire antérieure à la mission ; ** période el Niño antérieure à la mission

L'ordonnement des séries de données marque des ruptures de diversité à chaque période dépressionnaire.

Une tendance à l'augmentation de rang entre chaque période délimitée par des événements dépressionnaires et climatiques est observable. Cette augmentation de rang peut être traduite par la résilience des récifs et la recolonisation des espèces mobiles en recherche constante de nourriture (augmentation de la diversité spécifique).

Lorsque l'ordonnement régresse, la mission est précédée systématiquement par un événement dépressionnaire ou climatique. La perte de rang est difficilement en lien avec l'intensité de l'évènement sur les récifs mais plutôt avec la durée entre la dépression et la mission. Seules les données de diversité des coraux peuvent qualifier l'intensité de l'évènement sur les récifs.

D'autre part, seule la mission de mai 2018 précédée par plusieurs dépressions a un niveau de rang plus élevé. En effet, un trimestre s'est écoulé entre les dépressions

et la mission. Les invertébrés mobiles ont été certainement expulsés des récifs mais ces derniers ont eu le temps de recoloniser les stations et les espèces mobiles se sont déplacées en nombre car la nourriture est devenue disponible.

6.2.1.4 Pour les macrophytes, généralités

La richesse spécifique et l'abondance des algues sont très variables dans l'année et dans le temps et dépendent : 1) du cycle de développement des espèces ; 2) des variations des paramètres environnementaux (saisonnalité) ; 3) du degré d'exposition des récifs par rapport aux agents hydrodynamiques, ainsi que 4) des facteurs environnementaux exceptionnels tels que les événements dépressionnaires et les phénomènes climatiques.

De manière générale, **la biodiversité** est plus faible pour les niveaux bathymétriques les plus profonds. Cela s'expliquant entre autre par la baisse de la pénétration de la lumière dans l'eau par rapport à la profondeur. Les niveaux supérieur et médian sont généralement très similaires selon chaque site et le recouvrement des macrophytes dépendra de leur degré d'exposition aux agents hydrodynamiques, de la sédimentation et de la dessalure des eaux de surface.

Certaines espèces vont caractériser un biotope particulier selon les paramètres environnementaux dominants. Leur présence et leur recouvrement dépendront des paramètres de l'environnement, de la saisonnalité et des agents externes (activité minière, aménagement du littoral, déversement de produit chimique dans les rivières...).

L'abondance des principales macrophytes se répartie de la manière suivante :

- Les **algues rouges** sont très abondantes durant l'été austral (particulièrement *Asparagopsis* et dans une moindre mesure *Trichogloea* et *Plocanium*) mais disparaissent quasiment durant la période hivernale.

Asparagopsis taxiformis montre les plus grandes variations saisonnières de diversité et de recouvrement. Cette espèce aurait un caractère envahissant (cf. § 6.2.2.3.2) durant l'été austral sur les récifs du canal de la Havannah et elle pourrait entraîner des perturbations sérieuses sur les coraux durant cette période (compétition spatiale non négligeable). Cependant depuis le début du suivi aucune dégradation n'est constatée lors de sa prolifération en saison estivale.

- Les **algues brunes** sont plus pérennes mais augmentent d'abondance au début l'été austral (septembre, octobre et novembre) par le développement des genres *Sargassum*, *Turbinaria*, *Padina*.

Le genre *Lobophora* se développe abondamment et de manière permanente en baie de Prony. Ce genre pourrait également avoir des caractéristiques d'une espèce envahissante (cf. § 6.2.2.3.2) si les conditions environnementales venaient à affaiblir les coraux.

- Les **algues vertes** sont présentes toutes l'année avec cependant une majorité durant la période estivale (développement des genres *Halimeda*, *Caulerpa*, *Codium*).

La transition entre les saisons n'est pas toujours évidente à déterminer en Nouvelle-Calédonie car les saisons chaudes et fraîche vs les saisons humide et sèche se recourent.

Le nombre d'espèces de macrophytes d'un milieu variera peu car il reste souvent quelques thalles, c'est plutôt leur abondance ou recouvrement qui va évoluer selon les saisons (été/hiver/période el Niño/dépression).

La périodicité d'échantillonnage semestrielle des relevés de suivi biologique n'est pas adaptée aux cycles de développement des macrophytes. Les missions semestrielles septembre/octobre et de mars/avril ne permettent pas d'appréhender les valeurs maximales et minimales de diversité et de recouvrement.

Un suivi des macrophytes sur une période trimestrielle serait plus adéquat pour identifier l'ensemble des variations et surtout les amplitudes maximales et minimales de diversité et d'abondance.

Cependant, ces relevés permettent d'appréhender dans le temps, si certains genres ou espèces deviennent envahissants ou invasifs par rapport au reste des communautés coralliennes.

Ainsi, le recouvrement des macrophytes est particulièrement important pour deux genres *Asparagopsis* et *Lobophora* (cf. § 6.2.2.3.2) respectivement dans le canal de la Havannah et la baie de Prony.

6.2.1.5 Pour les macrophytes, depuis le début

Les valeurs des biodiversités α des **macrophytes** selon des différents transects pour toutes les missions sont résumées dans le [tableau 111](#).

Tableau 111 : Valeur de la richesse spécifique des macrophytes pour tous les transects depuis 2010

Biodiv. α	Oct. 2020	Mai 2020*	Oct. 2019	Avril 2019*	Nov. 2018	Mai 2018*	Sept. 2017**	Avril 2017*	Nov. 2016	Avril 2016*	Oct. 2015	Mars 2015*	Oct. 2014	Avril 2014	Sept. 2013	Avril 2013*	Oct. 2012	Mars 2012	Oct. 2011	Mars 2011*	Sept. 2010	Mars 2010
ST01A	5	4	4	6	4	3	3	4	8	5	6	7	8	6	8	5	9	7	8	7	7	6
ST01B	3	3	4	4	6	4	2	3	5	5	6	7	8	7	8	7	8	7	9	7	8	6
ST02A	6	6	6	6	5	5	6	6	5	6	6	7	6	5	5	6	8	5	5	5	5	5
ST02B	5	5	5	5	4	4	5	5	5	5	6	5	5	4	4	5	5	5	5	5	5	5
ST03A	5	5	6	7	6	6	5	6	5	7	8	7	6	6	6	8	10	8	7	6	8	8
ST03B	4	3	4	3	3	3	4	5	8	6	8	5	5	6	5	6	6	6	5	5	5	5
ST03C	2	2	3	4	2	3	5	8	5	6	6	5	4	4	3	4	5	5	5	5	5	5
ST04A	4	6	4	2	2	2	2	6	5	4	4	5	5	5	7	4	8	7	5	4	4	5
ST04B	1	1	2	1	1	3	3	4	4	4	6	5	4	6	7	4	5	4	3	3	3	3
ST04C	0	0	0	0	0	0	0	0	1	2	2	1	1	2	1	1	1	1	1	1	1	1
ST05A	8	7	5	4	3	8	5	5	6	5	7	5	7	7	9	6	8	6	4	4	5	5
ST05B	4	5	4	3	3	3	2	1	2	2	2	4	5	5	5	3	4	3	2	2	1	4
ST05C	0	0	0	0	0	0	0	0	0	0	0	1	1	1	3	1	1	1	1	2	2	2
ST06A	3	0	3	2	4	4	2	3	2	1	3	3	4	2	2	2	5	3	5	2	6	6
ST06B	4	3	3	3	4	4	3	7	5	6	7	8	8	7	7	4	8	5	7	4	7	5
ST06C	5	1	4	2	6	1	2	2	4	5	4	7	6	6	5	3	7	5	7	3	4	3
ST07A	4	1	2	2	2	4	3	1	2	3	4	4	4	3	3	1	3	4	3	2	4	7
ST07B	4	2	3	1	3	3	3	5	3	4	6	5	8	7	5	3	6	4	2	0	2	4
ST07C	2	1	2	0	3	0	1	0	2	3	4	4	6	6	2	2	4	3	4	0	0	0
ST08A	6	5	3	3	4	7	5	7	11	8	8	9	8	10	8	6	13	8	9	6	5	5
ST08B	2	4	3	3	2	4	5	5	5	4	5	6	6	7	4	4	8	6	10	4	4	4
ST09A	7	5	5	7	8	14	11	13	14	10	11	12	17	18	11	10	13	10	7	5	4	6
ST09B	14	17	16	18	21	20	21	21	22	17	21	22	24	20	14	15	16	13	9	8	9	9
ST09C	10	11	12	15	19	18	19	20	21	17	19	19	20	17	12	9	16	12	9	9	7	11
ST10A	12	8	/	/	/	/	/	/	9	7	9	6	7	7	7	7	10	7	8	6	7	7
ST10B	5	3	/	/	/	/	/	/	7	7	9	6	7	6	6	4	3	3	4	4	4	4
ST10C	1	1	/	/	/	/	/	/	2	2	2	2	2	1	1	1	1	1	2	2	1	1
ST11A	7	9	9	5	5	7	5	3	5	1	9	4	9	6	8	4	6	6	7	3	3	7
ST11B	7	8	7	9	10	9	6	5	10	6	9	8	11	7	7	8	9	9	8	6	6	4
ST11C	2	1	4	2	3	3	4	4	6	6	5	4	4	4	4	7	8	3	6	3	1	2
ST12A	5	5	6	5	5	6	2	4	8	4	10	9	9	6	5	3	7	4	3	4	4	3
ST12B	2	2	1	2	2	2	2	2	6	3	6	7	7	4	2	2	3	3	0	3	2	2

* période dépressionnaire antérieure à la mission ; ** période el Niño antérieure à la mission

6.2.1.5.1 Analyse par Anovar

Une ANOVAR sur ce tableau de biodiversité α des macrophytes est donnée tableau 112.

L'analyse des variances de la richesse spécifique des macrophytes pour les 18 dernières campagnes ne montre pas de similarité même pour une valeur de F99%. Le rejet est total et l'ANOVAR n'accrédite pas l'hypothèse d'identité Ho. Toutes les séries ont des variances différentes.

Tableau 112 : Analyse de la Variance de la biodiversité α des macrophytes depuis 2012

k1=p-1	17	F obs.	2.19
K2=n-p	558	F95%	1.64
		F99%	2.00

Tableau 113 : Analyse de la Variance de la richesse spécifique des macrophytes pour tous les transects depuis 2012

	10/20	05/20*	10/19	04/19*	11/18	05/18*	09/17**	04/17*	11/16	04/16*	10/15	03/15*	10/14	04/14	09/13	04/13*	10/12	03/12
Richesse spécifique moyenne	4.66	4,19	4,56	4,38	4,88	5,19	4,75	5,34	6,34	5,34	6,81	6,53	7,25	6,50	5,75	4,84	7,00	5,44
Ecart type	3.19	3,66	3,26	3,96	4,57	4,65	4,61	4,82	4,99	3,76	4,31	4,35	4,91	4,35	3,09	3,05	3,85	2,91
Intervalle de confiance (IC. 0,95)	1.10	1,27	1,13	1,37	1,58	1,61	1,60	1,67	1,73	1,30	1,49	1,51	1,70	1,51	1,07	1,06	1,33	1,01
Coefficient de Variation	0,68	1,27	1,13	1,37	1,58	1,61	1,60	1,67	1,73	0,70	0,63	0,67	0,68	0,67	0,54	0,63	0,55	0,53

* période dépressionnaire antérieure à la mission ; ** période el Niño antérieure à la mission

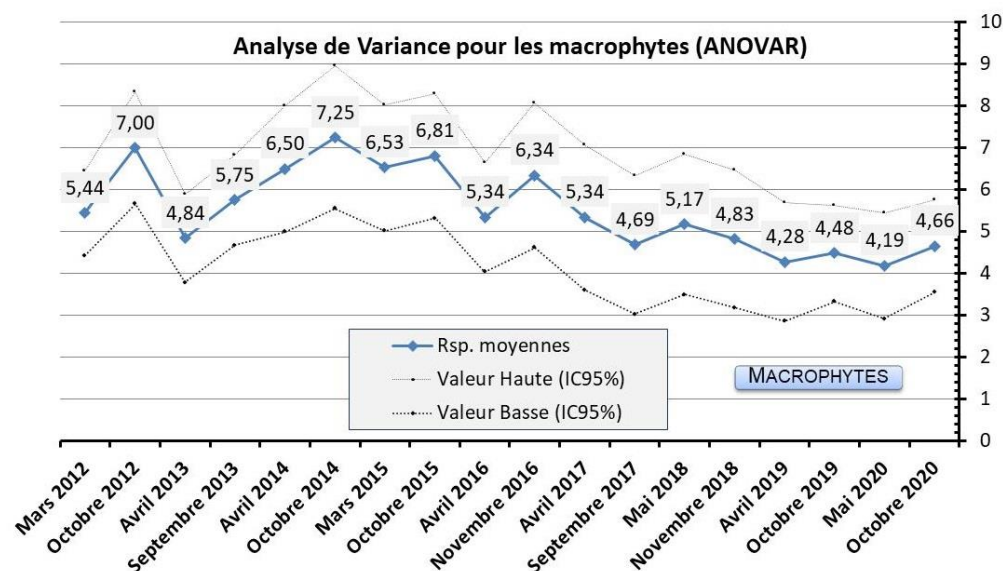


Figure 96 : Valeur de la richesse spécifique moyenne des macrophytes depuis 2012
Les valeurs hautes et basses représentent l'intervalle de confiance

Il y a des différences entre les missions, du point de vue quantitatif puisque les structures sont les mêmes. Le protocole n'ayant jamais évolué pour les macrophytes, se sont les variations saisonnières ou induites par une dépression qui peuvent être enregistrées.

6.2.1.5.2 Analyse par le test de Friedman

Il devient alors intéressant de voir s'il y a un classement des séries au cours du temps et le test de Friedman permet de répondre à ce questionnement. Pour cela, le tableau 111 sera considéré en classant les valeurs en ligne.

Tableau 114 : Analyses non paramétriques Friedman (analyse en colonne) de la richesse spécifique des macrophytes depuis 2010

KHI 2 obs.	136			
Ddl = 19	Khi ² 95%	Khi ² 97,5%	Khi ² 99%	Khi ² 99,5%
Valeur Khi ²	27.587	30.191	33.409	35.718

L'Ho d'identité de colonnes n'est pas vérifiée. Le rejet est important et ce test montre que des variations de biodiversité existent entre les missions. La diversité des macrophytes subie des évolutions dans le temps (saisonnalité, événements dépressionnaires et climatiques).

Le test de Friedman permet de classer les années les unes par rapport aux autres et il apparaît que ces résultats confirment que :

- Le classement des missions n'est pas chronologique et il s'apparenterait plus ou moins à une **saisonnalité additionnée à des perturbations mécaniques induites par des événements dépressionnaires** ou exceptionnels (coup d'ouest).
 - **Durant la saison hivernale les valeurs de biodiversité des macrophytes sont périodiquement plus faibles** en août 2007 (saison fraîche et sèche) et mars / avril 2010, 2011, 2013, 2016, 2017, 2018, 2019 et mai 2020 (saison humide et fin de saison chaude).
Les valeurs les plus basses de diversité coïncident **avec les phases dépressionnaires** et des épisodes de vents forts et soutenus (mars / avril 2011, 2013, 2016, 2017, 2018, 2019 et mai 2020 (sauf pour mars 2015)).
En avril 2014 et mars 2015, la diversité a tendance à rester stable. La senescence des macrophytes paraît être légèrement décalée de quelques mois.
En avril 2019, les vents ont été forts et soutenus durant les mois précédents. Les algues sont balayées du récif particulièrement pour les niveaux bathymétriques supérieurs et médians des récifs exposés.
En mai 2020, la dépression Gretel et les courants de marées intenses ont balayé les récifs les plus exposés. Même les niveaux bathymétriques inférieurs ont une diversité faible des macrophytes.
 - **Durant la saison estivale les valeurs de biodiversité sont les plus fortes** (septembre / octobre 2008, 2011, 2012, 2013, 2014, 2015 et 2016). **Les algues rouges se développent durant cette période.**
La diversité des macrophytes de la mission septembre 2017 est anormalement basse (hypothèse de l'entrée de l'épisode la Niña). De même, la diversité des macrophytes de la mission novembre 2018 est également anormalement basse (hypothèse : perturbations hydrodynamiques sur les niveaux bathymétriques supérieurs et médians des récifs exposés).
- **La diversité dépend des paramètres environnementaux et elle est contrainte par la saisonnalité et les événements exceptionnels (naturels ou anthropiques).**

Tableau 115 : Classement par rang en colonne pour l'analyse non paramétrique Friedman de la richesse spécifique des macrophytes depuis 2012

Rang Macrophytes	Oct. 2020	Mai 2020*	Oct. 2019	Avril 2019*	Nov. 2018	Mai 2018*	Sept. 2017**	Avril 2017*	Nov. 2016	Avril 2016***	Oct. 2015	Mars 2015***	Oct. 2014	Avril 2014	Sept. 2013	Avril 2013*	Oct. 2012	Mars 2012
ST01A	8	4,5	4,5	11	4,5	1,5	1,5	4,5	16	8	11	13,5	16	11	16	8	18	13,5
ST01B	3	3	6	6	10,5	6	1	3	8,5	8,5	10,5	13,5	17	13,5	17	13,5	17	13,5
ST02A	11,5	11,5	11,5	11,5	3,5	3,5	11,5	11,5	3,5	11,5	11,5	17	11,5	3,5	3,5	11,5	18	3,5
ST02B	11	11	11	11	2,5	2,5	11	11	11	11	18	11	11	2,5	2,5	11	11	11
ST03A	2,5	2,5	8	13	8	8	2,5	8	2,5	13	16	13	8	8	8	16	18	16
ST03B	6	2,5	6	2,5	2,5	2,5	6	9,5	17,5	14	17,5	9,5	9,5	14	9,5	14	14	14
ST03C	2	2	5	8,5	2	5	13	18	13	16,5	16,5	13	8,5	8,5	5	8,5	13	13
ST04A	7	14,5	7	2,5	2,5	2,5	2,5	14,5	11,5	7	7	11,5	11,5	11,5	16,5	7	18	16,5
ST04B	2,5	2,5	5	2,5	2,5	6,5	6,5	10,5	10,5	10,5	16,5	14,5	10,5	16,5	18	10,5	14,5	10,5
ST04C	4,5	4,5	4,5	4,5	4,5	4,5	4,5	4,5	12	17	17	12	12	17	12	12	12	12
ST05A	16	12,5	5	2	1	16	5	5	9	5	12,5	5	12,5	12,5	18	9	16	9
ST05B	12,5	16,5	12,5	8	8	8	3,5	1	3,5	3,5	3,5	12,5	16,5	16,5	16,5	8	12,5	8
ST05C	6	6	6	6	6	6	6	6	6	6	6	14,5	14,5	14,5	18	14,5	14,5	14,5
ST06A	11,5	1	11,5	5,5	16	16	5,5	11,5	5,5	2	11,5	11,5	16	5,5	5,5	5,5	18	11,5
ST06B	6,5	2,5	2,5	2,5	6,5	6,5	2,5	13,5	9,5	11	13,5	17	17	13,5	13,5	6,5	17	9,5
ST06C	11,5	1,5	8	4	15	1,5	4	4	8	11,5	8	17,5	15	15	11,5	6	17,5	11,5
ST07A	15,5	2	5,5	5,5	5,5	15,5	10	2	5,5	10	15,5	15,5	15,5	10	10	2	10	15,5
ST07B	10	2	5,5	1	5,5	5,5	5,5	13	5,5	10	15,5	13	18	17	13	5,5	15,5	10
ST07C	8	4,5	8	2	12	2	4,5	2	8	12	15	15	17,5	17,5	8	8	15	12
ST08A	6,5	4,5	1,5	1,5	3	8,5	4,5	8,5	17	12,5	12,5	12,5	12,5	16	12,5	6,5	18	12,5
ST08B	1,5	7	3,5	3,5	1,5	7	11,5	11,5	11,5	7	11,5	15	15	17	7	7	18	15
ST09A	4	1,5	1,5	4	4	15,5	8,5	13,5	15,5	8,5	8,5	12	17,5	17,5	8,5	8,5	13,5	8,5
ST09B	2	8	5,5	8	13,5	13,5	13,5	13,5	13,5	8	13,5	13,5	18	13,5	2	4	5,5	2
ST09C	1,5	3	5	7,5	13,5	11	13,5	17	17	9,5	13,5	13,5	17	9,5	5	1,5	7,5	5
ST10A	18	11	11	11	11	11	11	11	16	4	16	4	4	4	4	4	16	4
ST10B	5	2	10	10	10	10	10	10	16	16	18	10	16	10	10	4	2	2
ST10C	4	4	13	13	13	13	13	13	13	13	13	13	13	4	4	4	4	4
ST11A	12,5	16,5	16,5	6,5	6,5	12,5	6,5	3	6,5	1	16,5	3	16,5	10	14	3	10	10

ST11B	5,5	9	5,5	13	16,5	13	2,5	1	16,5	2,5	13	9	18	5,5	5,5	9	13	13
ST11C	2,5	1	10	2,5	5	5	10	10	15,5	15,5	14	10	10	10	10	17	18	5
ST12A	8	8	12	8	8	12	1	4	15	4	18	16,5	16,5	12	8	2	14	4
ST12B	6	6	1	6	6	6	6	6	15,5	12	15,5	17,5	17,5	14	6	6	12	12
Σ Rg	232,5	188,5	229	204	230	257,5	218	275	355	301,5	426	399,5	449,5	371	318,5	253,5	441	322
Ordonnement	6	1	4	2	5	8	3	9	13	10	16	15	18	14	11	7	17	12

* période dépressionnaire antérieure à la mission ; ** période el Niño antérieure à la mission

L'ordonnement des séries de données marque des ruptures à chaque évènement dépressionnaire et climatique ou épisode de vents forts et soutenus (comme en avril 2019). La saisonnalité est également marquée avec un maximum de diversité durant la saison chaude (2^{de} mission semestrielle, septembre - octobre). **En octobre 2020, l'ordonnement général est dans la moyenne** et supérieur à celui de la mission précédente (le plus faible depuis le début du suivi). Une période d'un trimestre s'est écoulée depuis les évènements dépressionnaires du début d'année et les macrophytes ont eu le temps de recoloniser les différents substrats (surtout pour les stations les plus exposées au ressac et à la houle du canal de la Havannah).

6.2.2 Indicateurs de l'état de santé des récifs de la zone d'étude

En complément de l'étude de la richesse spécifique globale pour chaque transect il est intéressant d'étudier plus précisément le fonctionnement de stabilisation et de régénération des récifs.

Différents indicateurs de l'état de santé des récifs ont donc été retenus :

- **le blanchissement corallien,**
- **les maladies coralliennes,**
- **les principales espèces concurrentes.**

Pour chacun, le nombre d'espèces (occurrence) concernées a été comptabilisé.

6.2.2.1 Le blanchissement des coraux

Le blanchissement corallien donne des **indications de l'état de santé et de l'affaiblissement des récifs sur le court terme** car cet état est transitoire et ne peut pas durer plus de deux ou trois mois sur la même colonie. Soit la colonie réintègre ces zooxanthelles (polypes encore présents bien sûr) soit elle meurt puis est recouverte par du sédiment, du gazon algal (turf) ou des cyanobactéries puis par les algues calcaires.

Les colonies blanchies ne sont pas vouées à mourir si les polypes sont encore présents (donc hors maladie de la bande blanche et hors prédation) car la résilience de nombreuses espèces est importante. Elles peuvent réintégrées rapidement des zooxanthelles si les conditions environnementales redeviennent « normales ». Les espèces coralliennes ne vont pas avoir la même résilience face aux variations de l'environnement et leur résilience sera également dépendante de leur physiologie et de leur métabolisme : certaines espèces sont donc plus résistantes et avec également une résilience plus rapide. Cependant, si les espèces subissent un stress durant une période relativement longue, elles auront généralement peu de chance de survie.

Le blanchissement des coraux peut être la conséquence de perturbations multiples et variées (anomalies de un ou plusieurs paramètres de l'environnement, fragmentation, lésions, maladies, prédatons). Chacune de ces perturbations a des caractéristiques propres sur le terrain qui sont observées par les spécialistes.

L'augmentation de l'intensité lumineuse ou de la température entraîne une augmentation de la photosynthèse des algues symbiotiques qui se mettent à produire de nombreuses molécules oxygénées toxiques. Ce sont ces molécules qui seraient à l'origine de l'expulsion et de la mort des zooxanthelles. Cela se traduit par le blanchissement des colonies coralliennes (avec maintien des polypes).

Bien sûr si les colonies sont dépourvues de polypes (maladie de la bande blanche, étouffement par les dépôts sédimentaire et/ou prédation), elles meurent en place.

D'autre part, il existe **différentes sensibilités selon les espèces**. En effet, les différentes espèces coralliennes ne vont pas avoir la même résistance/sensibilité face aux variations de l'environnement (d'origine naturelle ou anthropique) et leur résilience sera également dépendante de leur physiologie et de leur métabolisme. La diversité génétique des symbiontes et des hôtes est à l'origine de l'hétérogénéité de ces différents seuils de tolérance [R70, R73].

C'est pourquoi il faut s'intéresser également à la nature (spécificité) et au nombre d'espèce perturbée par les lésions (blanchissement, maladies et nécroses). Cette analyse spécifique vient compléter les données de recouvrement et peut permettre d'évaluer l'amplitude des agents perturbateurs selon les espèces dégradées et leur abondance.

Certaines espèces coralliennes vont blanchir plus rapidement face à une perturbation (*Seriatopora hystrix*, *Pocillopora damicornis*, *Stylophora pistillata*, *Acropora* branchu et tabulaire, *Isopora palifera*, ...).

Mais paradoxalement ces espèces vont coloniser les niveaux bathymétriques supérieurs car elles ont besoins de lumière pour se développer. Hors, c'est l'endroit où les paramètres de l'environnement vont le plus varier (hydrodynamisme, température, dessalure, ...). Elles sont donc vouées à être perturbées.

Ainsi le blanchissement corallien va dépendre des variations des paramètres de l'environnement, du recouvrement corallien disponible mais aussi de l'assemblage des espèces, de leur abondance et de leur répartition sur un récif.

En résumé :

Une colonie corallienne blanchie n'est pas forcément morte. A condition qu'il y ait encore les polypes, cet état physiologique peut être transitoire. Dans ce cas, le blanchissement des coraux résulte de l'expulsion partielle ou totale des zooxanthelles ou de la réduction de la concentration de pigments photosynthétiques dans les zooxanthelles situées dans l'endoderme de l'hôte [R47]. Par contre, si la colonie n'a pas réintégré de zooxanthelles avant 2 ou 3 mois elle aura de très forte chance de mourir.

- ✓ **Les colonies coralliennes blanchies, en place, sans polype** sont mortes. Elles peuvent caractériser la maladie de la bande blanche, l'étouffement par les dépôts sédimentaires et/ou la prédation par les corallivores. Ces perturbations entraînent inexorablement la mort des coraux (état de santé irréversible). Ces colonies viennent juste de mourir lors de l'observation car la colonisation par le turf et les corallines est très rapide (< quelques semaines).
 - **Maladies, prédation des corallivores, pollution, sédimentation, variations de concentration en éléments chimiques ...**
- ✓ **Les colonies coralliennes blanchies, en place, avec polypes** : le sont suite à un stress et caractérisent généralement un changement des paramètres de l'environnement (température, UV, salinité, intensité lumineuse, pollution, concentration en éléments chimiques, ...). Si les conditions environnementales redeviennent « normales » rapidement ces colonies coralliennes peuvent potentiellement réintégrer des zooxanthelles et continuer leur édification (état de santé réversible).
 - **$\Delta T^{\circ}C$, ΔUV , $\Delta S\%$, intensité lumineuse, pollution, variations de concentration en éléments chimiques ...**
- ✓ **Les colonies coralliennes blanchies, fragmentées/retournées, avec polypes** : caractérisent une perturbation d'origine mécanique (événement dépressionnaire, houle, ressac, effondrement de débris, ancrage de bateau, piétinement, activité de plongée, travaux etc.). Elles peuvent réintégrer des zooxanthelles et continuer leur édification si elles ne sont pas à nouveau remaniées (état de santé réversible). Ces perturbations seront observées en majorité sur les récifs exposés aux agents hydrodynamiques. Cette fragmentation peut entraîner, par gravité, des couloirs d'effondrement et des zones d'accumulation de débris en bas des récifs. Les colonies coralliennes peuvent également être érodées ou nécrosées par l'abrasion des particules sédimentaires transportées par l'hydrodynamisme. C'est le cas dans le canal de la Havannah.
 - **Agents hydrodynamiques (houle, ressac, cyclone, dépression, courant de marée...)**
 - **Activités anthropiques (piétinement, ancrage des bateaux, plongeurs)**

Le blanchissement corallien doit donc être abordé à travers 2 types de mesure :

- le recouvrement par des colonies coralliennes blanchies
- le nombre d'espèces coralliennes blanchies.

Pour ce suivi, le cahier des charges ne comprenant pas l'étude des coraux, seul le recouvrement a été noté.

Le recouvrement des colonies coralliennes blanchies

Le réseau de suivi biologique ne dispose pas de transects sur les platiers pour faire les évaluations quantitatives des différentes perturbations impliquant le blanchissement (dessalure, UV, turbidité, température). La plupart des stations de suivi sont implantées sous 7 à 8 m de profondeur.

Cependant, nous prospectons à chaque fois les platiers peu profonds afin de récolter des données qualitatives des phénomènes (photographies *in situ* et observations d'espèces).

L'évolution de ce paramètre par transect est donnée sur la [figure 98](#).

NB : Les causes de mortalité des colonies coralliennes sont difficilement interprétables après une longue période. Seules les colonies étant perturbées (blanchissement : expulsion de zooxanthelles avec ou sans polype) lors de la mission sont comptabilisées dans ce recouvrement de colonies coralliennes blanchies.

En **avril 2016**, le recouvrement de coraux blanchis était très important sur les platiers de la baie de Prony et du canal Woodin jusqu'à 5 m de profondeur (anomalies de température et dessalure de février 2016 durant le phénomène El Niño).

→ Les couvertures de corail blanchi les plus importantes relevées se situaient en ST01A (4 m²), ST02A (4,2 m²) et surtout en ST04A (32 m²).

Le canal de la Havannah était beaucoup moins influencé par ce phénomène car les masses d'eaux sont beaucoup plus brassées et leur circulation est importante. Par contre, le passage de la dépression Winston avait d'avantage perturbé les communautés récifales dans cette zone : les colonies blanchies étaient la plupart du temps désolidarisées du substrat et plus dispersées.

La période du 10 février au 15 avril 2016 marque le phénomène de blanchissement corallien le plus important observé sur l'ensemble des récifs de la Nouvelle-Calédonie depuis 1996.

En **novembre 2016**, le blanchissement avait considérablement diminué. Les colonies blanchies de la mission

précédentes avaient pour la plupart réintégré une partie (voir l'intégralité) de leurs zooxanthelles ou alors elles étaient mortes (cf. § mortalité corallienne dans le rapport ad hoc [R23]).

La couverture de coraux blanchis était désormais très faible : la plus importante se situait en ST03A (1.3 m²) et ST01A, ST04A, ST10B (0.9 m²).

En **avril 2017**, le recouvrement de coraux blanchis était toujours relativement faible. Cependant, quelques transects présentaient des dégradations ponctuelles. L'ensemble de ces colonies blanchies étaient sans polype donc mortes très récemment.

→ Les couvertures de coraux blanchis les plus importantes se situaient en stations suivantes :

- *Acanthaster planci* : ST01A (3,5 m²)
- Maladie de la bande blanche : ST04A B, ST06AB (1,5 m² et 1,2 m²), ST09A B C (1,1 m², 1,2 m² et 1 m²).

En **septembre 2017**, le recouvrement de coraux blanchis était relativement faible et il était réparti de manière hétérogène. Ainsi certains transects ne présentaient pas du tout de blanchissement et d'autres avaient des dégradations ponctuelles. Les perturbations avaient différentes origines selon les habitats (prédation, maladie de la bande blanche, hydrodynamisme). L'ensemble de ces colonies blanchies était sans polype donc elles étaient mortes très récemment.

→ Les couvertures de coraux blanchis les plus importantes se situaient sur les stations suivantes :

- *Acanthaster planci* : ST01A B (respectivement 3 m² et 2 m²) : il faut noter la prolifération d'*Acanthaster* en ST01 en 2017
- Maladie de la bande blanche : Quasiment tous les transects du canal de la Havannah et Woodin présentaient une ou deux colonies avec cette maladie. Le recouvrement blanchi induit le plus important était localisé en ST04B (0,5 m²), ST06A (0.5 m²), ST07A (1 m²), ST08A B (respectivement 1,5 m² et 0,8 m²).

En **mai 2018**, le recouvrement de coraux blanchis est relativement faible et les colonies blanchies ont été recensées en grande majorité sans polype (mortalité entière ou partielle).

→ Les couvertures de coraux blanchis les plus importantes se situent sur les stations suivantes :

- *Acanthaster planci* : ST01A (1.2 m²), ST05B (0.8 m²) et ST12A (0.9m²). Les *Acanthaster* sont présentes en ST01 depuis novembre 2016 et la prolifération pour cette station s'étend d'avril 2017 à nos jours. La mortalité des colonies coralliennes en ST01A est très importante (surtout les colonies d'*Acropora* branchus et tabulaires)
- Maladie de la bande blanche : Quasiment tous les transects des niveaux bathymétriques supérieurs et médians du canal de la Havannah et Woodin présentent des colonies affectées par cette maladie. Le recouvrement de coraux blanchis le plus important induit par elle est localisé en ST04B (1.1 m²), ST06A (0.9 m²), ST07A (0.8 m²), ST08AB (respectivement 0.7 m² et 1.1 m²), ST09A (0.7m²).

En **novembre 2018**, le recouvrement en corail blanchi est relativement faible pour l'ensemble du réseau de suivi, sauf pour ST04 qui présente une prolifération d'*Acanthaster planci*. Les colonies blanchies ont été recensées exclusivement sans polypes (mortalité entière ou partielle).

- *Acanthaster planci* : ST01A (0.8 m²), ST03C (0.6 m²), ST04ABC (1.2 ; 4.5 et 0.3 m²), ST05B (0.2 m²) et ST12A (0.8 m²).
- *Drupella cornus* : ST06A (0.1 m²) et ST09C (0.4 m²).
- Maladie de la bande blanche : ST09AB (0.6 et 0.9 m²).

En **avril 2019**, le recouvrement de corail blanchi est en relation direct avec la présence des corallivores (particulièrement *Acanthaster planci* et dans une moindre mesure *Drupella cornus*). Les colonies coralliennes blanchies sont sans polype (mortalité entière ou partielle).

→ **Les couvertures de coraux blanchis les plus importantes se situent pour les stations suivantes, selon les causes :**

- *Acanthaster planci* : ST01A (0.5 m²), ST02AB (3.4 et 2.5 m²), ST03ABC (0.8, 9.5 et 0.5 m²), ST04ABC (1.5 et 2.5 m²) et ST12A (2.3 m²).
- *Drupella cornus* (niveau 3) : ST06A (0.9 m²).
- **Maladie de la bande blanche** : ST07B (0.7 m²).

En **octobre 2019**, le recouvrement de corail blanchi est relativement faible pour l'ensemble du réseau de suivi sauf pour ST02 et ST04 qui présentent une prolifération d'*Acanthaster planci*. Les colonies blanchies ont été recensées exclusivement sans polypes (mortalité entière ou partielle).

→ **Les couvertures de coraux blanchis les plus importantes se situent pour les stations suivantes, selon les causes :**

- *Acanthaster planci* : ST02AB (4.5 et 3.5 m²), ST03BC (0.6 et 0.3 m²), ST04AB (1.2 et 2.4 m²)

- *Drupella cornus* : ST11AB (0.9 et 0.2 m²)

- **Maladie de la bande blanche** : ST05A (1.5 m²), ST06ABC (0.4, 0.2 et 0.3 m²), ST07AC (1.2 et 0.3 m²), (ST09AB, ST11B (0.2m²), ST12A (1.3m²)

- **Effondrement de débris** : ST12B (0.5 m²) et ST4C (0.1 m²).

En **mai 2020**, le recouvrement de corail blanchi était relativement important (25.9 m² en tout, jusqu'à 3.7 m² en ST10B,) pour les stations suivantes : ST02B, ST06AB, ST07A, ST10ABC et ST11AB. Les causes de ce blanchissement étaient principalement les corallivores (10.3 m²), la maladie de la bande blanche (9.9 m²) et des variations des conditions du milieu (3.6 m) ainsi qu'un peu de sédimentation (2 m²).

En **octobre 2020**, le recouvrement de corail blanchi est faible (< 0.8 m²). Il concerne les stations : ST02A, ST06A, ST07A, ST08B, ST09C, ST10AC et ST12A. Les causes de ce blanchissement sont précisées dans le [tableau 116](#).

Tableau 116 : Surface et causes des colonies coralliennes blanchies

Transect	Surface (m ²)	<i>Acanthaster planci</i>	<i>Drupella cornus</i>	Bande blanche	T°C, S%, UV	Sédimentation	Mécanique
ST01A	0						
ST01B	0						
ST02A	0,8	0,8					
ST02B	0						
ST03A	0						
ST03B	0						
ST03C	0						
ST04A	0						
ST04B	0						
ST04C	0						
ST05A	0						
ST05B	0						
ST05C	0						
ST06A	0,7				0,7		
ST06B	0						
ST06C	0						
ST07A	0,8				0,8		
ST07B	0						
ST07C	0						
ST08A	0						
ST08B	0,3				0,3		
ST09A	0						
ST09B	0						
ST09C	0,3				0,3		
ST10A	0,3		0,3				
ST10B	0						
ST10C	0,5				0,5		
ST11A	0						
ST11B	0						
ST11C	0						
ST12A	0,7		0,3	0,4			
ST12B	0						
TOTAL	4.4	0.8	0.6	0.4	2.6	0	0

6.2.2.2 Les maladies et les lésions coralliennes

Les coraux, comme tous les animaux, sont susceptibles d'être malades. Les maladies se manifestent par des lésions caractéristiques et semblent imputables à divers facteurs (naturels et/ou anthropiques). Ces lésions peuvent avoir des causes infectieuses (parasites, virus, bactéries, champignon, algues cellulaires, protozoaires) ou non infectieuses (blanchissement dû à l'élévation de la température, prédateurs, hyper sédimentation).

Les maladies des coraux ont parfois des conséquences importantes sur l'état de santé des récifs car elles affectent le cycle de la vie, l'abondance, la reproduction, la performance et la tolérance du métabolisme au stress naturel ou anthropique [R54, R55].

Ainsi, elles peuvent entraîner la dégradation de larges surfaces coralliennes et faire diminuer la biodiversité et le recouvrement biotique.

Le problème des maladies coralliennes a également émergé dans l'océan Indopacifique. L'explosion de certaines maladies (comme la maladie de la bande blanche) est maintenant connue et augmente en fréquence à travers l'Indopacifique à cause de l'intensification des perturbations anthropiques (liées aux activités humaines) sur le littoral, la surpêche et les conditions environnementales associées au changement climatique global. Aucun traitement n'est connu pour enrayer ces maladies, seule la réduction des agents pathogènes peut recourir à la résilience des récifs.

Les récifs de la zone d'étude ne sont pas épargnés par ces stigmates. Des lésions (bandes blanches, tâches noires, tâches roses et anomalies de croissance, perte de tissu et marques de prédation) ont été relevées dans les couloirs de prospection du macrobenthos depuis le début du suivi biologique marin et leur fréquence varie dans l'espace et au cours du temps.

6.2.2.2.1 Les maladies ou lésions les plus fréquemment rencontrées dans la zone d'étude

La prédation des corallivores

Les astéries *Acanthaster planci* et *Culcita novaeguineae* et le gastéropode *Drupella cornus* sont les trois principales espèces pouvant causer des perturbations majeures sur les récifs dans la zone d'étude. Les polypes des colonies coralliennes sont dévorés progressive puis elles meurent en place (aucune chance de résilience).

→ La répartition et l'abondance de ces corallivores sont détaillées au § 6.2.2.3.4 et § 6.2.2.3.5.

L'inventaire des invertébrés recense également les gastéropodes corallivores *Coralliophila violacea* et *Ovula ovum* mais contrairement aux espèces citées précédemment, ces espèces ont peu d'incidence dans la zone d'étude. Les gastéropodes *Coralliophila* privilégient les colonies de *Porites* et les *Ovula ovum* sont très peu abondantes et privilégient les colonies d'alcyonaires du genre *Sinularia*, *Lobophytum* et *Sarcophyton*.

En **avril 2017**, une prolifération d'*Acanthaster planci* (12 spécimens / 100 m²) avait été recensée en ST01A. Les colonies coralliennes mortes en place, sans polype, représentaient 3.5 m².

En **septembre 2017**, la prolifération d'*Acanthaster planci* perdurait en ST01 et s'étendait au transect B (respectivement 13 et 3 spécimens). L'ensemble de la station était perturbé : les colonies coralliennes blanches et mortes en place sans polype représentaient respectivement 3 m² (transect A) et 2 m² (en B).

En ST12, 9 spécimens de *Drupella cornus* avaient été identifiés sur une colonie d'*Acropora* tabulaire. De plus, de nombreuses colonies (*Acropora* spp. branchus et tabulaires, *Montipora* spp., *Merulina ampliata*) avaient des stigmates de passage d'*Acanthaster planci*.

En mai 2018, la prolifération d'*Acanthaster planci* perdurait en ST01A (7 spécimens) mais aucun spécimen n'était recensé en ST01B. La mortalité des colonies coralliennes en ST01A était très importante (surtout les colonies du genre *Acropora*).

De plus, les stations ST05AB et ST12A présentaient un seul spécimen d'*Acanthaster* par niveau bathymétrique. Ces spécimens venaient d'arriver car la mortalité corallienne était faible. Les colonies blanches et mortes en place représentaient respectivement (ST05AB : 0.3 m², 0.8 m² et ST12A : 0.9 m²).

Les gastéropodes *Drupella cornus* avaient une influence négligeable sur les coraux pour cette mission. Ils étaient recensés en faible abondance sur une seule colonie du genre *Acropora* (niveau 1 à 2) pour les niveaux bathymétriques suivants : ST07AB, ST08A, ST11A et ST12A.

Aucun spécimen de *Culcita novaeguineae* n'avait été recensé lors de cette mission.

En **novembre 2018**, les lésions coralliennes les plus fréquemment rencontrées étaient induites par :

- L'astérie *Acanthaster planci* qui était présente (un seul spécimen) en ST01A, ST03C, ST05B et ST12A. La population avait bien diminué en ST01A mais la mortalité des colonies coralliennes était très importante (surtout les colonies du genre *Acropora*). Désormais, ces corallivores proliféraient en ST04ABC (51 spécimens / 300 m²) : elles dévoraient en priorité les colonies d'*Acropora* tabulaires et d'autres spécimens arrivaient du fond de la pente détritique. Les colonies blanchies et mortes en place représentaient respectivement : ST01A (0.8 m²), ST03C (0.6 m²), ST04ABC (1.2 ; 4.5 et 0.3 m²), ST05B (0.2 m²) et ST12A (0.8 m²).

- Les gastéropodes *Drupella cornus* avaient une influence négligeable sur les coraux pour cette mission. Ils étaient recensés en faible abondance sur une seule colonie blanchie du genre *Acropora* (niveau 2) pour les niveaux bathymétriques suivants : ST06A (0.1 m²) et ST09C (0.4 m²).

- L'astérie *Culcita novaeguineae* n'était recensée que sur ST03C (1 spécimen) et aucune lésion n'était constatée.

En **avril 2019**, les lésions coralliennes les plus fréquemment rencontrées étaient par :

- L'astérie *Acanthaster planci* était présente (un seul spécimen) en ST01A (1 spécimen), ST02AB (5 et 2 spécimens), ST03ABC (1, 16 et 1 spécimens), ST04AB (2 et 1 spécimens), ST06C (1 spécimen juvénile) et ST12A (2 spécimens). Ainsi, elles proliféraient en ST02A et ST03B. Les colonies mortes en place et/ou blanchies étaient très importantes en ST01 et ST04 à cause des proliférations des années précédentes.

- Les gastéropodes *Drupella cornus* étaient recensés en ST06A (niveau 3), ST08A (niveau 2) et leur abondance était en augmentation. Leurs perturbations sur les coraux étaient négligeables.

- L'astérie *Culcita novaeguineae* n'était recensée que sur ST03B (1 spécimen) et aucune lésion n'était constatée.

En **octobre 2019**, les lésions coralliennes les plus fréquemment rencontrées étaient induites par l'astérie *Acanthaster planci* qui était présente en ST02AB (3 et 5 spécimens), ST03AB (1 et 1 spécimen), ST04AB (3 et 2 spécimens). Les colonies mortes en place et/ou blanchies étaient très importantes en ST01, ST02, ST03 et ST04 à cause des proliférations des années précédentes.

Les autres corallivores causaient des perturbations négligeables sur les coraux pour cette mission : les gastéropodes *Drupella cornus* étaient recensés en ST11AB (niveau 2) et les *Culcita novaeguineae* étaient recensés en ST03BC (1 spécimen).

En **mai 2020**, les lésions induites par les *Drupella cornus* n'étaient pas négligeables en ST06A (1,2 m²), ST06B (1 m²) et ST11B (1,8 m²) et dans une moindre mesure (<1 m²) en ST09AB, ST10AB, ST11AC et ST12A.

Les *Acanthaster planci* avaient très peu été observées (1 seul spécimen en ST01A, ST02A&B) mais lors des missions précédentes elles avaient considérablement perturbé les récifs en baie de Prony (ST01, ST02 et ST03) ainsi que dans le canal de Woodin (ST04).

En **octobre 2020**, les lésions induites par les *Drupella cornus* sont faible en ST10A (0.3 m²) et ST12A (0.3 m²). En ST12A, 2 spécimens de gastéropodes *Chicoreus brunneus* ont également été observés en train de dévorer une colonie d'*Acropora* (0.4 m²) (cf. [tableau 116](#)).

Les *Acanthaster planci* ont très peu été observées (1 seul spécimen en ST02A : 0.8 m² de coraux blanchis). Lors des missions précédentes elles avaient considérablement perturbé les récifs en baie de Prony (ST01, ST02 et ST03) ainsi que dans le canal de Woodin (ST04).

L'espèce *Culcita novaeguineae* est observée seulement en ST03C (sans dégradation visible dans ces pourtours).

La maladie de la bande blanche (white band disease)

Elle affecte de nombreuses espèces mais les colonies d'*Acropora* tabulaire et branchu sont les plus perturbées par cette maladie. Les colonies coralliennes manifestent une perte de tissu progressive puis elles meurent en place.

Lors des missions précédentes de nombreuses stations possédaient des colonies atteintes par cette lésion (surtout *Acropora* tabulaire) :

- mission mars 2015 : ST06AB, ST07AB, ST08AB, ST09AB, ST10AB et ST11AB

- mission octobre 2015 : ST10AB et dans une moindre mesure ST07A, ST10C et ST11AB

- mission avril 2016 : ST01A et ST04B

- mission novembre 2016 : une colonie par transect en ST10B, ST11B et ST12B.

En **avril 2017**, les transects ST06AB, ST07B, ST08A, ST09AB présentaient le plus de colonies affectées par la maladie de la bande blanche (3 à 4 colonies par niveau bathymétrique). Ces derniers coïncident avec les niveaux dégradés régulièrement par les agents hydrodynamiques et le développement de cyanobactéries. Les genres perturbés par cette maladie sont généralement *Acropora* tabulaire et branchu, *Seriatopora*. Les transects (ST02A, ST05A) ne présentaient qu'une colonie affectée.

Les colonies malades des missions précédentes sont mortes en place et recouvertes par du turf, des corallines et/ou quelques cyanobactéries.

En **septembre 2017** quasiment tous les transects du canal de la Havannah et Woodin présentaient une ou deux colonies avec la maladie de la bande blanche (sauf ST05 et ST11A). Le recouvrement blanchi le plus important pour cette maladie était localisé en ST04B (0,5 m²), ST06A B (respectivement 0.5 m² et 0.2 m²), ST07A B (respectivement 1 m² et 0.2 m²) et ST08A B (respectivement 1,5 m² et 0,8 m²).

En **mai 2018**, de nombreux transects du réseau de suivi présentent des colonies affectées par la maladie de la bande blanche (sauf ST01AB, ST02A, ST03AC, ST04C, ST05AC et ST12AB).

Le recouvrement blanchi le plus important pour cette maladie est localisé en ST04AB (respectivement 0.6 m² et 1.1 m²), ST05B (0.8 m²), ST06AB (respectivement 0.9 m² et 0.6 m²), ST07A (0.8 m²), ST08AB (respectivement 0.7 m² et 1.1 m²), ST09ABC (0.7 m², 0.6 m² et 0.6 m²) et ST11B (0.6 m²).

Les colonies malades des missions précédentes sont pour la plupart mortes en place et recouvertes par du turf, des corallines et/ou quelques cyanobactéries

En **novembre 2018**, seuls les transects ST09AB (0.6 et 0.9 m²) présentaient cette maladie sur des colonies d'*Acropora* tabulaire. Les colonies affectées par la maladie de la bande blanche de la mission précédente (ST01AB, ST02A, ST03AC, ST04C, ST05AC et ST12AB) étaient toutes mortes en place et elles commençaient à être recouvertes par du turf et des corallines.

En **avril 2019**, seul le transect ST07B (0.7 m²) présentait la maladie de la bande blanche sur une colonie de *Pocillopora verrucosa*.

En **octobre 2019**, de nombreux transects du réseau de suivi présentaient des colonies affectées par la maladie de la bande blanche sur des *Acropora* (tabulaire) : ST05A (1.5 m²), ST06ABC (0.4, 0.2 et 0.3 m²), ST07AC (1.2 et 0.3 m²), ST09AB (0.4 et 1.4 m²), ST11B (0.2 m²), ST12A (1.3 m²).

En **mai 2020**, les transects du réseau de suivi présentant des colonies affectées par la maladie de la bande blanche (surtout sur des *Acropora* tabulaire) étaient localisés principalement dans le canal de la Havannah : ST06AB, ST07ABC, ST08B, ST10ABC, ST11AB, ST12B.

En **octobre 2020**, la maladie de la bande blanche est peu présente (< 0.8 m²) et les transects du réseau de suivi présentant des colonies affectées (surtout sur des *Acropora* tabulaire) sont localisés principalement dans le canal de la Havannah : ST06A, ST07A, ST08B, ST09C, ST10C (cf. [tableau 116](#)).

Les lésions liées à la sédimentation

Elles sont susceptibles d'affecter toutes les espèces. Chaque espèce a ses propres caractéristiques face à cette perturbation (sécrétion de mucus, croissance rapide, long polypes). Mais lorsque le dépôt sédimentaire est important et que la colonie ne peut s'en extraire, cette dernière présentera une perte de tissu partielle ou totale. Dans ce dernier cas on parlera de colonies mortes en place. Ces dégradations sont enregistrées principalement dans les baies à l'embouchure des creeks et rivières et dans les récifs alentours (ST02, ST03, ST04A et ST08).

En **avril 2019 (et les autres missions)**, les transects présentant le plus de dégradations liées à la sédimentation étaient ST02B, ST03A B C et ST08A B. Ces colonies étaient entièrement ou partiellement mortes en place. L'apport sédimentaire pouvait être conséquent pour ces stations lors des fortes précipitations mais également lors de passage de bateaux pour la station ST03 (remobilisation des sédiments par les hélices).

En **octobre 2019**, les transects présentant des dégradations liées à la sédimentation étaient toujours ST02B, ST03ABC et ST08AB (avec une amélioration pour ST08A) et désormais ST04A (ruissellement sur la falaise apportant des particules terrigènes en surface).

En **mai 2020**, les transects présentant des dégradations liées à la sédimentation sont ST02AB, ST03ABC et ST04A. Le blanchissement est observé seulement sur ST03ABC.

En **octobre 2020**, les transects présentant des dégradations liées à la sédimentation sont ST01A, ST02AB, ST03ABC et ST04A. Le blanchissement n'est pas observé pour cette perturbation car les colonies coralliennes sont recouvertes par un dépôt de sédiment (cf. [tableau 116](#)).

La station ST08AB (Puka) montre une amélioration particulière concernant l'état de santé des colonies coralliennes (aucun dépôt sédimentaire).

Les lésions liées à l'hydrodynamisme

Elles sont susceptibles d'affecter toutes les espèces. Les dégradations sont en relation avec le degré d'exposition mais aussi la morphologie des colonies (particulièrement les formes tabulaire, branchue). Les phénomènes les plus intenses (dépressionnaires/cycloniques) vont déstabiliser les récifs puis les agents hydrodynamiques (houle, ressac) vont remobiliser petits à petit le matériel corallien. Les colonies coralliennes peuvent être retournées, arrachées de leur substrat, fragmentées puis des blocs et débris coralliens vont descendre la pente récifale et/ou former des couloirs d'effondrement pour les récifs les plus exposés (ST06, ST07, ST12). Le blanchissement ne sera pas important en recouvrement mais le nombre d'espèces influencées peut être conséquent selon l'intensité du phénomène.

Ces dégradations sont enregistrées principalement dans le canal de la Havannah (houle, ressac et courants de marée) et dans une moindre mesure dans le canal Woodin (courants de marée).

NB : la station ST09 (bancs Kié) est aussi très exposée à la houle et aux courants de marée. Ces conditions sont régulières durant toute l'année, ainsi les espèces colonisant ce milieu sont adaptées et très robustes.

En **octobre 2020**, des dégradations mécaniques récentes ont été observées sur les coraux durs de manière très parcellaire pour les stations exposées aux agents hydrodynamiques : ST04, ST06, ST07, ST08, ST09, ST11, ST12. Le blanchissement était présent en ST4C (0.1 m²), ST09B (0.4 m²) et ST12B (0.5 m²).

En **mai 2020**, les perturbations récentes d'ordre mécanique étaient réduites (voir négligeables). Le blanchissement corallien (petites colonies coralliennes récemment retournées) n'avait pas été qualifié pour cette pression.

De manière générale, les dégradations mécaniques sont observées sur les coraux durs dans les niveaux supérieurs et médians pour les stations exposées aux agents hydrodynamiques : ST04, ST06, ST07, ST08, ST09, ST11, ST12. Des couloirs d'effondrement de débris sont localisés en stations ST04, ST06 et ST12.

En **octobre 2020**, les perturbations récentes d'ordre mécanique sont réduites. Le blanchissement corallien (petites colonies coralliennes récemment retournées) n'a pas été observé pour cette pression lors de cette mission (cf. [tableau 116](#)).

De manière générale, les dégradations mécaniques sont observées sur les coraux durs dans les niveaux supérieurs et médians pour les stations exposées aux agents hydrodynamiques : ST04, ST06, ST07, ST09, ST11, ST12. Des couloirs d'effondrement de débris sont localisés en stations ST04, ST06, ST07 et ST12.

Les lésions liées aux anomalies positives de température et UV (et dans une moindre mesure de dessalure)

Ces perturbations sont susceptibles d'affecter toutes les espèces mais certaines sont plus sensibles aux variations de l'environnement (cf. § 6.2.2.1).

Elles étaient les plus fréquemment rencontrées lors de la mission d'**avril 2016**. De nombreuses colonies coralliennes avaient expulsé leurs zooxanthelles mais pour la majorité des colonies les polypes étaient toujours vivants.

Le phénomène de blanchissement était généralisé à l'ensemble des récifs de la Nouvelle-Calédonie. Le recouvrement en coraux blanchis diminuait avec la profondeur. Il s'est avéré très important sur les platiers récifaux de la baie de Prony et du canal Woodin.

L'anomalie de température a été moins importante pour les récifs du canal de la Havannah car les masses d'eaux y sont beaucoup plus brassées.







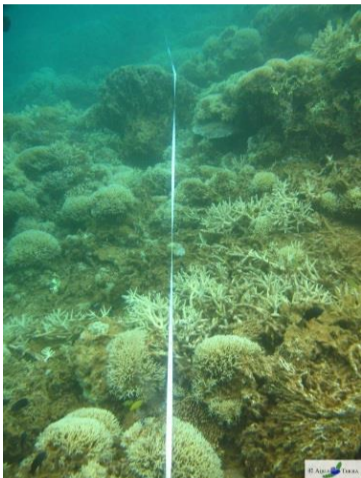




Depuis **novembre 2016**, une grande partie des colonies blanchies ont réintégré des zooxanthelles.

En **septembre 2017**, la résilience du récif était importante dans le canal Woodin (ST04) et mesurable par la croissance des colonies coralliennes. Par contre, la station du port (ST03A) enregistrait une mortalité corallienne localisée sur le niveau bathymétrique supérieur (le plus perturbé en avril 2016).

De **mai 2018 à octobre 2019**, aucune colonie corallienne ne semblait perturbée par ces variations.

En **mai 2020**, une espèce d'*Alveopora* en ST10 a expulsé ses zooxanthelles. Cela ne semble pas avoir d'incidence sur sa vitalité car elle blanchi régulièrement et elle réintègre des zooxanthelles à chaque fois lors des missions d'octobre à novembre des années suivantes.

En **octobre 2020**, aucune colonie corallienne ne semble perturbée par ces variations (cf. [tableau 116](#)).

<p>Piquet XX du transect A ST04</p>	 <p>Octobre 2015 Bon état de santé</p>	 <p>Avril 2016 Blanchissement très important : perte des zooxanthelles</p>	 <p>Novembre 2016 Certaines colonies ont réintégré leurs zooxanthelles, mais développement de lésions coralliennes ou mortalité. Cette colonie de <i>Pocillopora damicornis</i> sur le piquet est en partie morte au milieu</p>
			
<p>Avril 2017 Résilience des colonies coralliennes et recrutement</p>	<p>Septembre 2017 Croissance des colonies coralliennes</p>	<p>Mai 2018 Le sommet du récif est en phase de résilience depuis le phénomène de blanchissement de 2016</p>	<p>Cependant, la communauté corallienne est sous la menace d'une prolifération d'<i>Acanthaster planci</i> en novembre 2018</p>
<p>En 2017 : Résilience du récif : de nombreuses colonies coralliennes ont réintégré des zooxanthelles et continuent de croître</p>			
			
<p>En avril 2019, la mortalité corallienne est conséquente, surtout au transect B. De nombreuses colonies sont mortes en place</p>	<p>En novembre 2019, la mortalité corallienne augmente en A (toujours due aux <i>Acanthaster planci</i>)</p>	<p>En mai 2020, de nombreuses colonies coralliennes sont mortes en place</p>	<p>En octobre 2020, les colonies coralliennes s'édifient à nouveau</p>
<p>La position de la colonie de <i>Pocillopora damicornis</i> en hauteur (sur le piquet) la protège de l'attaque des corallivores</p>			

Photographie 27 : Evolution du blanchissement corallien : colonie témoin du transect A de la ST04 (Woodin)

6.2.2.2 Les lésions rencontrées de manière épisodique dans la zone d'étude

La tâche noire (dark spot ou hypermycose endolithique)

Elle est généralement associée avec des champignons (endolithic fungal infiltrates) : elle touche de nombreuses espèces encroûtantes, massives et libres, généralement dans les niveaux bathymétriques moyens et les plus profonds. Les colonies affectées par ce type de lésion ne meurent pas.

→ Cette lésion est principalement recensée pour la station ST08 (récif frangeant à la côte du canal de la Havannah qui est influencé par l'apport sédimentaire de la baie Kwé) et dans une moindre mesure en ST02B.

L'anomalie de croissance (growth anomaly)

Ces lésions sont observées généralement sur les colonies de *Porites* et de *Diploastrea heliopora* mais d'autres genres peuvent être perturbés comme *Acropora*, *Pectinia*, *Leptoria*, *Platygyra* et les *Fungia* mais aussi des alcyonaires comme *Sarcophyton* et *Lobophytum*. Les colonies affectées par ces anomalies de croissance ne meurent pas.

Dans la zone d'étude les colonies affectées par ces anomalies de croissance se localisent préférentiellement en ST05B (*Diploastrea heliopora*), ST08B et ST12A (*Porites* sp.). La taille des lésions sur ces colonies peut atteindre plus de 30 cm de diamètre. Les tumeurs sont formées par des groupes de polypes avec des taux de croissance plus élevés.

La perte de tissu (white syndrom)

Elle se manifeste chez plusieurs espèces par des taches blanches (perte de zooxanthelles ou de tissu). La cause est inconnue mais si la colonie perd ces tissus alors la partie affectée ne peut pas se régénérer, voire la colonie meurt en place.

→ En **septembre 2017**, seule une colonie de *Porites* en ST02B est touchée. Cette lésion est très peu observée depuis le début du suivi.

De **mai 2018 à octobre 2020**, aucune colonie ne présente cette lésion.

La tâche rose (pink spot)

C'est une réaction inflammatoire due à une irritation des tissus. Les causes peuvent être la sédimentation ou la colonisation de larves de vers. Cette inflammation peut entraîner l'expulsion des zooxanthelles et/ou une perte de tissu et ainsi la colonie meurt en place.

→ En **octobre 2015**, cette lésion a été recensée seulement sur une colonie de *Montipora* sp. au transect A de la ST03 (Port).

D'**avril 2016 à octobre 2019**, aucune colonie ne présente cette lésion.

En mai et octobre 2020, des taches roses ont été observées sur quelques colonies de *Porites* en ST09ABC. Ces lésions proviennent de dépôts sédimentaires et de bioturbation

6.2.2.3 Les principales espèces concurrentes

Aucun phénomène de prolifération permanente n'a été constaté depuis le début du suivi (2007) (figure 97).

Attention cependant aux proliférations d'*Acanthaster planci* qui ont été recensées les dernières années (2017-2019) en station ST01, ST02, ST03 et ST04, et aux fluctuations des algues *Asparagopsis* et *Lobophora* qui peuvent parfois avoir un caractère envahissant.

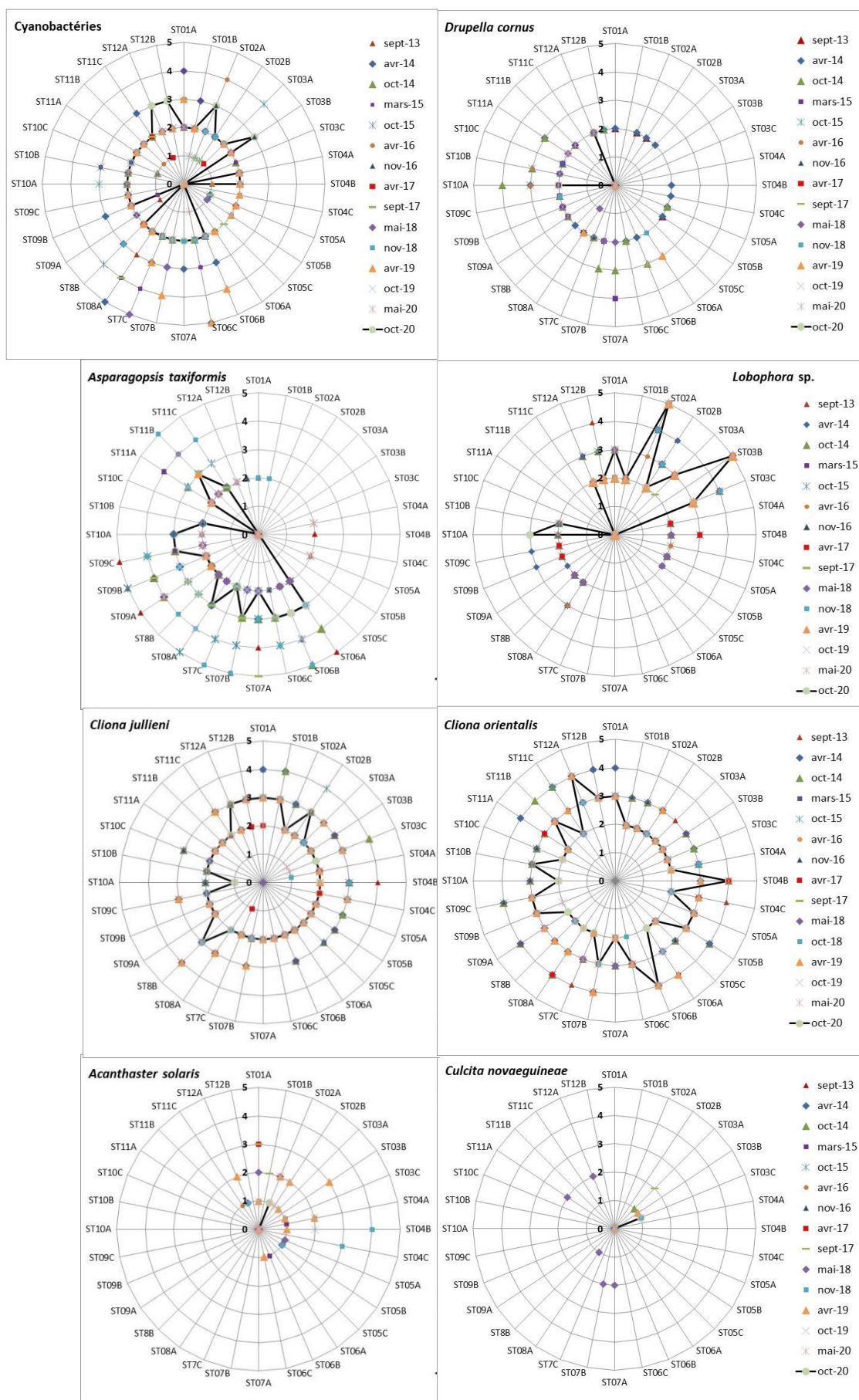


Figure 97 : Abondance semi-quantitative (1 à 5) des principales espèces cibles depuis septembre 2013

6.2.2.3.1 Les cyanobactéries

Les proliférations de cyanobactéries apparaissent de manière épisodique ou régulière dans de nombreux milieux marins. Généralement, ces proliférations sont le signe d'une eutrophisation du milieu (milieu riche en composés organiques, teneurs excessives en azote et phosphore).

Des dégradations importantes d'origine naturelle ou anthropique sur les communautés coralliennes entraînent également un développement de cyanobactéries.

D'autre part, de nombreuses espèces de cyanobactéries n'apparaissent qu'en été lorsque la température des eaux superficielles augmente. Ainsi, pendant la saison froide, leur disparition n'est qu'apparente car les cellules végétatives subissent diverses différenciations conduisant à des formes de repos ou de résistance. À cet égard, les vases et sédiments constituent une banque de semences qui favorise de nouvelles proliférations dès que les conditions climatiques redeviennent favorables.

Leurs effets sur les récifs coralliens peuvent être désastreux et justifient que leur recouvrement et leur évolution dans le temps soient étudiés.

En faible proportion, les cyanobactéries ne sont pas particulièrement gênantes pour la faune, cependant si leur concentration augmente, les toxines (cyanotoxines) libérées dans l'environnement peuvent avoir des répercussions sur l'ensemble des communautés coralliennes (mortalité des espèces benthiques, diminution de la croissance des coraux, diminution du recouvrement corallien, ciguatera like...)

Une abondance semi-quantitative inférieure ou égale au second niveau (échelle : 2) reste acceptable. Au-dessus de ce niveau, on peut considérer que le récif subit ou a subi des perturbations non négligeables (naturelles ou anthropiques).

→ **Les cyanobactéries ont déjà été observées sur les stations ST01, ST02, ST03, ST06, ST07 et ST08. Elles se développent de manière importante et périodique sur les stations ST06, ST07 et ST08. Cependant, aucune prolifération ne perdure dans le temps. Leur recouvrement peut-être important mais jusqu'à ce jour, leur développement n'est pas pérenne.**

En avril 2013, elles se développaient, sur les nouveaux débris coralliens et les colonies coralliennes retournées (grandes surfaces plurimétriques).

En septembre 2013, les conditions environnementales se stabilisaient et leur développement régressait dans des proportions plus raisonnables (niveau 2). Toutefois, elles restaient à surveiller avec une grande attention en ST01 et ST08 (niveau 3).

En avril 2014, le recouvrement des stations ST01 et ST08 avait encore augmenté (respectivement niveau 4 et 5). Ces deux stations présentaient également des maladies coralliennes en quantité non négligeable.

La station ST06 voyait également son recouvrement augmenté (niveau 5) mais les dégradations étaient mécaniques (agent hydrodynamique important).

En octobre 2014, le recouvrement des cyanobactéries avait fortement régressé pour l'ensemble du réseau de suivi. Toutes les transects enregistraient un niveau inférieur ou égal au niveau 2.

En mars 2015, le recouvrement des cyanobactéries augmentait pour la plupart des transects couloirs suite aux perturbations d'origine dépressionnaire (cyclone Pam). L'évolution de leur développement était à surveiller avec une grande attention en ST01B, ST06C, ST07AC et ST10B (niveau 3) et particulièrement en ST01A, ST07C, ST08A (niveau 4). Les cyanobactéries se développaient principalement sur les débris coralliens récents et sur les colonies d'*Acropora* tabulaire affectées par la maladie de la bande blanche.

En octobre 2015, le recouvrement des cyanobactéries était important pour les transects couloirs ST03A et ST08B (niveau 4) puis ST10A&B (niveau 3). Elles se développaient par de grandes plaques plurimétriques sur le sédiment (ST03A, ST08B) et sur des colonies affectées par la maladie de la bande blanche (ST10). Les autres transects les plus perturbés en début d'année 2015 montraient une diminution du recouvrement. Bien que le recouvrement des cyanobactéries était important pour ces stations, les dégradations occasionnées étaient mineures pour le moment.

En avril 2016, les cyanobactéries avaient bien diminué pour les stations qui présentaient un recouvrement important en octobre 2015 (ST03A, ST08B, ST10A&B). Par contre, le transect ST02A présentait un développement relativement conséquent (niveau 4) sur les algues vertes du genre *Halimeda* qui sont entremêlées à la base des

colonies d'*Acropora* branchu. Le blanchissement des coraux pourrait être la cause de ce développement important. **En novembre 2016**, le recouvrement des cyanobactéries avait augmenté pour les transects ST01A (niveau 3), ST03AB (respectivement niveau 2 et 3) et dans une moindre mesure en ST10C (niveau 1). La forme de cyanobactéries en pompon (*Symploca hydroides*) se développait particulièrement sur les débris coralliens. Le recouvrement des cyanobactéries avait diminué mais restait encore important pour les transects ST02A (niveau 3), ST04AB et ST11B (absence).

En avril 2017, les cyanobactéries étaient nouvellement recensées pour les transects du canal de la Havannah (ST07BC, ST09B et ST11BC ; niveau 2). Elles se développaient sur les débris coralliens et les colonies mortes en place.

Par contre, leur recouvrement avait fortement diminué pour les transects de la baie de Prony (ST01AB, ST02A, ST03AB ; < niveau 2) et l'îlot Ugo ST12A (< niveau 2).

En septembre 2017, le recouvrement des cyanobactéries était important pour les transects ST08A (niveau 4) et ST01A (niveau 3). Elles se développaient par de grandes plaques métriques à plurimétriques sur les débris en ST08A et sur des colonies coralliennes perturbées par les *Acanthaster planci* en ST01A.

Les autres transects montraient : une hausse de recouvrement pour ST03A, ST04B, ST05A C, ST06A, ST07A, ST08A et ST12A (\leq niveau 2) et une baisse de recouvrement pour ST02A B (niveau 1).

En mai 2018, le recouvrement des cyanobactéries était en légère diminution pour les niveaux bathymétriques : ST01A, ST08A, ST11C et ST12B (\leq niveau 2), et en augmentation pour de nombreux niveaux bathymétriques : ST01B, ST02AB, ST03B, ST04A, ST05AB et ST11A (<niveau 2).

Les niveaux bathymétriques ST07BC avaient un développement très important et en grande augmentation par rapport à la précédente mission (respectivement niveau 3 et 5). Les cyanobactéries se développaient principalement sur le sable carbonaté et les débris.

En novembre 2018, le recouvrement des cyanobactéries était en augmentation pour les niveaux bathymétriques suivants : ST04C, ST05B, ST06C, ST07A et ST12B (niveau 2) et ST01A et ST08B (niveau 3). Et en diminution pour les niveaux bathymétriques : ST03B, ST05A, ST07BC et ST09B (\leq niveau 2). Les niveaux bathymétriques ST07BC ne présentaient pas de dégradation par rapport au recouvrement important des cyanobactéries de la précédente mission.

En avril 2019, le recouvrement des cyanobactéries était en augmentation pour les récifs exposés aux agents hydrodynamiques dans le canal de la Havannah (particulièrement pour les niveaux bathymétriques médians et inférieurs) : ST05A, ST06B, ST09BC (niveaux 2), ST07C (niveau 3), ST06B, ST07B (niveau 4) et ST06C (niveau 5). Il était en diminution pour les niveaux bathymétriques : ST02AB, ST07A (niveau 0), ST08B (niveau 2). Les cyanobactéries se développaient de manière périodique sur les stations ST06, ST07 et ST08.

En octobre 2019, le recouvrement des cyanobactéries ne dépassait pas le niveau 2 d'abondance. Il était en légère augmentation pour les transects ST02AB, ST05C et ST09A et en diminution pour les transects : ST01AB, ST04AC, ST05A, ST06ABC et ST07B. Les cyanobactéries se développaient toujours de manière périodique sur les stations ST06, ST07 et ST08.

En mai 2020, le recouvrement des cyanobactéries ne dépassait pas le niveau 2 d'abondance. Il était en légère augmentation pour les transects ST04A, ST07C et ST11A, et en diminution pour les transects ST02AB, ST05ABC, ST05A, ST06A et ST08A.

En octobre 2020, le recouvrement des cyanobactéries ne dépasse pas le niveau 2 d'abondance sauf pour les transects ST02A, ST03B, ST12AB (niveau 3).

Il faut noter qu'il n'a jamais été constaté une prolifération de cyanobactéries qui perdure dans le temps. Leur recouvrement peut être important mais jusqu'à ce jour, leur développement n'a jamais été pérenne.

6.2.2.3.2 Les algues

Les proliférations de macroalgues dans les écosystèmes littoraux des zones tropicales et subtropicales sont une menace sérieuse pour la diversité biologique de ces milieux. Typiquement, une croissance excessive des algues est le résultat d'une variété insuffisante d'animaux consommateurs d'algues et/ou de nutriments excessifs. L'apport important de matière en suspension peut être un facteur de perturbation.

Asparagopsis taxiformis

L'algue rouge du genre *Asparagopsis* présente un développement saisonnier très important (particulièrement durant la fin de l'hiver austral et le début de l'été austral : mission septembre/octobre), dans les zones caractérisées par un hydrodynamisme intense du canal de la Havannah comme le banc Iononthea (ST06), le banc de Chambeyron (ST07), les bancs Kié (ST09) et le récif Toémo (ST11). Son développement peut également être très important durant les mois de novembre/décembre sur la station de Puka (ST08). Du fait de sa prolifération, cette algue rouge pourrait entraîner des perturbations non négligeables sur les coraux durant cette période (compétition spatiale non négligeable).

Il faut noter qu'à contrario, cette algue ne se développe presque pas en baie de Prony et dans le canal Woodin.

En avril 2017, l'algue rouge *Asparagopsis* était absente dans la baie de Prony et le canal Woodin. Son recouvrement diminuait largement dans le canal de la Havannah et elle était nouvellement absente des transects ST06C, ST07AC, ST11 et ST12.

En septembre 2017, l'algue rouge *Asparagopsis* était toujours absente dans la baie de Prony et le canal Woodin (milieux non adaptés au développement de cette algue). Elle se développait de manière modérée dans le canal de la Havannah (abondance en moyenne \leq niveau 3), avec des relevés plus importants en ST07A (niveau 5) et ST09BC (niveau 4).

En mai 2018, l'algue rouge *Asparagopsis* était toujours absente dans la baie de Prony et le canal Woodin (milieux non adaptés au développement de cette algue). Depuis la mission précédente, l'abondance était en diminution pour de nombreux couloirs du réseau de suivi du canal de la Havannah (abondance \leq niveau 2).

En novembre 2018, l'algue rouge *Asparagopsis* était présente de manière exceptionnelle en ST01 (Casy) de la baie de Prony (niveau 2). Elle était toujours absente pour les autres stations de la baie de Prony et du canal Woodin (milieux non adaptés au développement de cette algue).

Par contre, elle se développait de manière importante dans le canal de la Havannah pour les stations ST06, ST07, ST08, ST09, ST11 (surtout pour les niveaux bathymétriques médians et inférieurs : abondance de niveau 4 à 5). Et elle était absente en ST05 et ST12.

En avril 2019, l'algue rouge *Asparagopsis* était absente dans la baie de Prony et le canal Woodin (milieux non adaptés au développement de cette algue). Son développement avait très fortement diminué pour toutes les stations dans le canal de la Havannah : absente de ST05 à ST08 et en ST12, et présence en ST09 (abondance \leq niveau 2) et en ST11 (abondance \leq niveau 3).

En octobre 2020, l'algue rouge *Asparagopsis* était toujours absente dans la baie de Prony et le canal Woodin (milieux non adaptés au développement de cette algue). Elle se développait de manière modérée dans le canal de la Havannah (abondance \leq niveau 2 à 3) et son abondance était particulièrement important en ST06B, ST08A et ST11B (niveau 4).

En mai 2020, l'algue rouge *Asparagopsis* était toujours absente dans la baie de Prony (milieux non adaptés au développement de cette algue). Elle se développait de manière très modérée dans le canal Woodin (ST04A) et dans le canal de la Havannah (abondance \leq niveau 2) et son abondance était importante en ST09A (niveau 4).

En octobre 2020, l'algue rouge *Asparagopsis* est absente dans la baie de Prony et dans le canal Woodin. Elle se développe modérément dans le canal de la Havannah (abondance \leq niveau 2 à 3).

Lobophora variegata

L'algue brune du genre *Lobophora* est également à surveiller avec une grande attention car elle constitue un compétiteur spatial important pour les coraux.

En effet, il s'avère que le genre *Lobophora* se développe abondamment et de manière permanente en baie de Prony. Pour l'instant son développement est régulier et non prolifique mais si les conditions environnementales venaient à évoluer (principalement augmentation de la turbidité), ce genre pourrait ainsi se développer à la défaveur des coraux puis étouffer une grande partie des récifs. **A ce stade, le genre *Lobophora*, pourrait avoir des caractéristiques d'une espèce envahissante.**

Les zones à risque sont la station du Port (ST03) et l'embouchure du creek de la baie Nord (ST02). Cette dernière station (ST02) présente une très bonne résilience du récif car les coraux branchus (*Acropora* et *Anacropora*) ont eu une croissance particulièrement importante durant l'année 2015 et ce développement a fait régresser la surface recouverte par *Lobophora*.

Dans le canal de la Havannah, le développement de cette algue reste très localisé. Son développement a augmenté lors de la mission de septembre 2013 pour les stations Puka (ST08) et Ugo (ST12), la mission d'avril 2014 pour le banc Kié (ST09) et la mission de mai 2018 pour le banc de Ioro (ST05A). Cependant, une grande partie du recouvrement algale peut être balayé lors de la sénescence des thalles pour les stations soumises régulièrement à des agents hydrodynamiques importants du canal de la Havannah, comme à Puka (ST08) en novembre 2018. Cette algue a toujours été absente des stations ST06, ST07, ST11.

Dans le canal Woodin, le développement de cette algue était jusqu'à présent restreint. Cependant, le récif a subi un effondrement de débris occasionné par la houle résiduelle du cyclone Pam en mars 2015. De fait, il y avait depuis un développement modéré et pérenne de l'algue *Lobophora* sur les débris (particulièrement en ST04B). Depuis novembre 2018, cette algue est absente en ST04.

En avril 2017, le recouvrement de *Lobophora* était stable par rapport à la mission précédente. Seul le transect ST03C (niveau 4) présentait une augmentation du recouvrement.

En septembre 2017, le recouvrement de *Lobophora* avait tendance à évoluer par rapport à la mission précédente : hausse pour les transects ST01A et ST12AB et baisse pour ST3AC, ST04B et ST09BC. Les transects présentant le plus fort recouvrement de *Lobophora* étaient ST02A (niveau 4) et ST03B (niveau 5).

En mai 2018, le recouvrement de *Lobophora* était +/- stable par rapport à la mission précédente à part pour les transects ST05A (augmentation au niveau 2) et ST12B (diminution au niveau 2). Par ailleurs, la station du Port (ST03) enregistrait encore une hausse non négligeable pour les 3 transects (respectivement niveau 3, 5, 4). La sédimentation et la turbidité affaiblissaient les coraux et les thalles de cette algue brune se développaient sur les colonies mortes en place.

En novembre 2018, le recouvrement de *Lobophora* était +/- stable par rapport à la mission précédente. Les transects ST01A, ST04B, ST05AB, ST08AB enregistraient une diminution de recouvrement (surtout en ST04 et ST08 où elle était totalement absente depuis la mission précédente). Son développement était toujours conséquent (niveau 4) en ST02A (Creek baie nord) et particulièrement important (niveaux 5 et 4) aux transects inférieurs de la ST03 (Port).

En avril 2019, le recouvrement de *Lobophora* était +/- stable par rapport à la mission précédente. Le transect ST02A enregistrait une augmentation d'abondance (niveau 5) et les transects ST02B, ST03C enregistraient une diminution par rapport à la dernière mission. Son développement était conséquent (niveau 5) en ST02A (Creek baie nord) et en ST03 (Port).

En octobre 2020, le recouvrement de *Lobophora* était stable par rapport à la mission précédente. Seul le transect ST02B enregistrait une diminution d'abondance (niveau 2 à 0). Son développement restait conséquent (niveau 5) en ST02A (Creek baie nord) et en ST03 (Port).

En mai 2020, le recouvrement de *Lobophora* avait tendance à augmenter de manière ponctuelle par rapport à la mission précédente (ST01A et ST12B respectivement niveau 2/0 à 3/2). En baie de Prony, le recouvrement était important : « niveau 5 » en ST02A et en ST03B, et augmentait en ST01A (niveau 2 à 3).

En octobre 2020, le recouvrement de *Lobophora* est stable par rapport à la mission précédente. **Son développement est préoccupant en baie de Prony (niveau 5) : en ST02A (Creek baie nord) et en ST03B (Port).**

Deux stations présentes un développement important et permanent de *Lobophora* :

La station du Creek baie nord (ST02) présente des thalles de *Lobophora* qui se développent à la base et à travers les coraux branchus (vivants et morts). Auparavant, la croissance des coraux branchus (*Acropora*, *Anacropora* et *Seriatopora*) était importante et les branches coralliennes s'accroissaient plus vite que l'algue brune.

→ Désormais, suite à la prolifération d'*Acanthaster planci* les coraux branchus ont une vitalité beaucoup plus réduite et les thalles se développent sur les coraux morts. Cette constatation est à surveiller avec une grande attention lors des prochains suivis.

La station du port (ST03) présente des coraux affaiblis par l'hyper sédimentation. Les thalles de *Lobophora* sont

très abondants (surtout au transect B) et ils se développent sur les débris coralliens, les colonies mortes en place et à la base des coraux dégradés par la sédimentation et la turbidité.

La compétition spatiale des algues brunes est soutenue et à la défaveur des coraux.

→ L'apport de particules terrigènes est depuis le début du suivi la pression rémanente influant sur le développement des coraux (turbidité et sédimentation). De plus, la prolifération d'*Acanthaster planci* de 2019 a permis aux algues de se développer à la défaveur des coraux.

6.2.2.3.3 Les éponges encroûtantes

Les éponges incrustantes *Cliona orientalis* et *Cliona jullieni* sont susceptibles de bénéficier des phases de dégradation corallienne pour se développer (plaques décimétriques à plurimétriques). Elles se déploient naturellement sur tous les substrats durs comme des débris et la dalle, mais une lutte chimique se réalise avec les coraux scléactiniaires pour le développement spatial.

Le développement des Cliones est à surveiller avec une grande attention car ces éponges sont en forte compétition spatiale avec les coraux. En effet, elles peuvent profiter de l'affaiblissement des coraux pour se développer.

De manière générale, l'espèce *Cliona orientalis* se développe plus facilement dans le niveau bathymétrique supérieur et l'espèce *C. jullieni* a un développement plus en profondeur (influence possible de la pénétration de la lumière).

Ces éponges sont abondantes dans toute la zone d'étude. Leur développement reste relativement stable mais il peut légèrement varier suite à des perturbations (mécanique ou sédimentaire).

Comme les coraux, suite aux événements dépressionnaires, le recouvrement diminue légèrement dans les zones très exposées et turbides.

En octobre 2014, leur développement variait peu par rapport aux missions précédentes. Cependant, quelques plaques décimétriques supplémentaires de *Cliona jullieni* avaient été recensées pour les niveaux ST02B, ST03C, ST05C, ST09C, ST10C et ST12A ; et *Cliona orientalis* en ST04B, ST05A et ST11B.

En mars 2015, leur développement tendait à une légère diminution par rapport aux missions précédentes.

- *Cliona jullieni* : les transects couloirs ayant légèrement diminué d'abondance sont ST01B, ST03A, ST03C, ST05A et une très légère augmentation pour ST11A.

- *Cliona orientalis* : les transects couloirs ayant légèrement diminué d'abondance sont ST01B, ST03C, ST011B&C, ST05A.

En octobre 2015, le recouvrement des Cliones tendait à se stabiliser, avec une légère diminution.

- *Cliona orientalis* : le recouvrement tendait à se stabiliser, avec une légère diminution pour les niveaux bathymétriques supérieurs et médians (ST03B, ST05C, ST06A, ST08B, ST09A). Seule la station ST11C avait augmenté d'abondance.

- *Cliona jullieni* : le recouvrement se stabilisait également, avec une légère diminution pour les niveaux bathymétriques médians (ST03B, ST05B, ST06B). Seule la station ST02B avait augmenté d'abondance.

En avril 2016, le recouvrement des Cliones était relativement stable sur l'ensemble du réseau de suivi.

- *Cliona orientalis* : diminuait d'abondance pour ST05B et surtout ST11C et augmente d'abondance pour ST05C.

- *Cliona jullieni* : diminuait d'abondance pour ST02A, ST02B, ST05C et ST08B.

En novembre 2016, le recouvrement des Cliones était stable sur l'ensemble du réseau de suivi.

En avril 2017, le recouvrement des Cliones tendait vers une diminution sur l'ensemble du réseau de suivi.

- *Cliona jullieni* : diminution d'abondance en ST01A, ST02B, ST04C ST07C et ST12AB.

- *Cliona orientalis* : diminution d'abondance en ST01B, ST02AB, ST03C, ST05C, ST07A, ST09C.

En septembre 2017, le recouvrement des Cliones était +/- stable sur l'ensemble du réseau de suivi.

- *Cliona jullieni* : augmentation d'abondance en ST01A, ST04C, ST07C, ST12B et diminution en ST04A.

- *Cliona orientalis* : augmentation d'abondance en ST07AB et diminution en ST04BC, ST08A, ST11A.

En mai 2018, le recouvrement des Cliones restait stable sur l'ensemble du réseau de suivi.

- *Cliona jullieni* : stable, aucun changement de recouvrement.

- *Cliona orientalis* : stable, seulement une augmentation d'abondance pour ST03C (niveau 0 à 2).

En novembre 2018, le recouvrement des Cliones restait relativement stable sur l'ensemble du réseau de suivi avec cependant une diminution d'abondance généralisée en ST07.

- *Cliona jullieni* : stable, seulement une augmentation d'abondance pour ST04A (niveau 0 à 1) et une diminution

d'abondance pour ST08A (niveau 3 à 2).

- *Cliona orientalis* : stable mais diminution d'abondance pour ST06C (niveau 3 à 2) et ST07ABC (respectivement 3/3/4 à 2/2/3).

En avril 2019, le recouvrement des Cliones restait relativement stable sur l'ensemble du réseau de suivi avec cependant quelques augmentations d'abondance dans les zones présentant des dégradations induites par les corallivores, d'ordre sédimentaire ou mécanique.

- *Cliona jullieni* : augmentation d'abondance pour ST03A (niveau 2 à 3), ST04A (niveau 1 à 2), ST07B (niveau 2 à 3), ST08AB (respectivement niveau 2/3 à 3/4) et diminution pour ST04B (niveau 3 à 2).

- *Cliona orientalis* : augmentation d'abondance pour ST02B (niveau 2 à 3), ST06AC (respectivement niveau 3/2 à 4/3), ST07B (niveau 3 à 4), ST08B (niveau 2 à 3), ST11C (niveau 2 à 3) et ST12A (niveau 3 à 4).

En octobre 2019, le recouvrement des Cliones avait tendance à diminuer sur l'ensemble du réseau de suivi :

- *Cliona jullieni* : diminution pour ST03A (niveau 3 à 2), ST08AB (niveau 3/4 à 2/3), ST09AC (niveau 2/3 à 1/2), ST11C (niveau 3 à 2).

- *Cliona orientalis* : diminution pour ST02B (niveau 3 à 2), ST06A (niveau 4 à 3), ST07B (niveau 4 à 3), ST8B (niveau 3 à 2) et ST11BC (niveau 3/3 à 2/2) et ST12A (niveau 4 à 3).

En mai 2020, le recouvrement des Cliones avait tendance à évoluer sur les transects qui subissaient des perturbations (corallivores, mécaniques et/ou sédimentaire) :

- *Cliona jullieni* : diminution pour ST01A (niveau 3 à 2), ST03BC (niveau 2/3 à 1/1) et augmentation pour ST02B (niveau 2 à 3), ST03A (niveau 2 à 3), ST09A (niveau 1 à 2), ST12A (niveau 2 à 3).

- *Cliona orientalis* : augmentation pour ST04B (niveau 3 à 4), ST07C et ST11B (niveau 2 à 3), ST12A (niveau 3 à 4).

En octobre 2020, le recouvrement des Cliones a tendance à évoluer sur les transects qui subissent des perturbations (corallivores, mécaniques et/ou sédimentaire) :

- *Cliona jullieni* : diminution pour ST03A et ST04C (niveau 3 à 2) et augmentation pour ST01A (niveau 2 à 3), ST03BC (niveau 1 à 2).

- *Cliona orientalis* : abondance importante en ST04B, ST06B et ST12A (niveau 4). Elle diminue pour ST06A, ST07C et ST09A (niveau 3 à 2) et augmente pour ST09B (niveau 2 à 3).

6.2.2.3.4 Les astéries corallivores

L'accroissement important et/ou la prolifération des astéries corallivores (prédatrices de corail) (*Acanthaster planci* et *Culcita novaeguineae*) caractérisent l'affaiblissement des récifs et un dérèglement antérieur de l'écosystème. En effet, leur présence en abondance est généralement révélatrice que le récif a subi auparavant une perturbation non négligeable (naturelle ou anthropique). Ces espèces carnassières sont ainsi connues pour être localement invasive avec un fort potentiel de destruction sur les récifs coralliens. Leurs dégradations sont irréversibles car elles dévorent les polypes des colonies coralliennes sur de très grande surface et en peu de temps.

L'espèce *Culcita novaeguineae* est plutôt rencontrée dans les milieux turbides (baies) et l'espèce *Acanthaster planci* plutôt sur les récifs frangeants, intermédiaires du lagon ou externes.

NB sur la systématique : Haszprunar, Vogler et Wörheide [R52] proposent depuis 2017 de diviser *A. planci* en :

- *Acanthaster planci* (Linnaeus, 1758) (nord de l'océan Indien)
- *A. mauritiensis* de Lorient, 1885 (sud de l'océan Indien)
- *A. solaris* (Schreber, 1795) (océan Pacifique)
- et une espèce encore non nommée endémique de Mer Rouge.

L'espèce pacifique se caractériserait par une couleur plus souvent grise et moins de bras, et la « vraie » *A. planci* serait la seule bleue et violette. Mais la diversité des robes et des tailles interdit toute généralité, et ces espèces, si leur statut est confirmé, n'ont pour le moment aucune clef fiable de détermination autre que génétique (ou géographique). Cette nouvelle division demande encore à être confirmée, aussi afin de ne pas porter à confusion dans l'esprit des lecteurs, l'appellation *A. planci* est conservée dans ce rapport.

Depuis le début du suivi biologique, ces espèces sont présentes de manière très occasionnelle, cependant plusieurs prolifération d'*Acanthaster planci* sont constatées en baie de Prony depuis avril 2017.

En avril 2014, seul un spécimen était observé en ST05A et ST05B (niveau 1). Cependant, la station ST10 présentait régulièrement des stigmates de blanchissement corallien induit par les *Acanthaster* mais aucun spécimen n'avait

été observé depuis octobre 2012.

En octobre 2014, aucun spécimen d'*Acanthaster planci* n'était observé. Concernant les *Culcita novaeguineae*, seul un spécimen par transect était recensé pour ST03A et ST03B (Port). Les perturbations engendrées étaient très mineures.

En mars 2015, seul un spécimen juvénile d'*Acanthaster planci* était observé en ST06B et 3 bras fraîchement mangés en ST04A. Aucun spécimen de *Culcita novaeguineae* n'était observé.

→ Aucune colonie corallienne n'était observée blanchie suite au passage d'une astérie corallivore.

En octobre 2015, aucun spécimen d'*Acanthaster planci*, ni de *Culcita novaeguineae* n'était observé.

→ Aucune colonie corallienne n'était observée blanchie suite au passage d'une astérie corallivore.

En avril 2016, aucun spécimen de *Culcita novaeguineae* n'était observé et seul un juvénile d'*Acanthaster planci* était recensé en ST11C.

→ Aucune colonie corallienne n'était observée blanchie suite au passage d'une astérie corallivore.

En novembre 2016, aucun spécimen de *Culcita novaeguineae* n'était observé et un seul spécimen d'*Acanthaster planci* était recensé en ST01A (1^{ère} fois en baie de Prony).

→ Aucune colonie corallienne n'était observée blanchie suite au passage d'une astérie corallivore.

En avril 2017, aucun spécimen de *Culcita novaeguineae* n'était observé.

Par contre, le transect supérieur de la station de Casy (**ST01A**) présentait **12 spécimens d'*Acanthaster planci*** (/ 100 m²). C'était le plus grand rassemblement de ce corallivore (niveau 3) observé depuis le début du suivi.

En septembre 2017, 3 spécimens de *Culcita novaeguineae* étaient observés en ST03A.

La station ST01 (Casy) présentait une prolifération d'*Acanthaster planci* (respectivement 13 et 3 spécimens pour 100 m² aux transects A et B). C'était le plus grand rassemblement pérenne de ce corallivore (niveau 3) observé depuis le début du suivi. De nombreuses colonies coralliennes avaient été dévorées depuis le début de cette prolifération.

En mai 2018, la prolifération d'*Acanthaster planci* perdurait en ST01A (7 spécimens) et aucun spécimen n'était recensé en ST01B. La mortalité des colonies coralliennes en ST01A était très importante (surtout les colonies du genre *Acropora*).

De plus, les stations ST05AB et ST12A présentaient un spécimen d'*Acanthaster* par niveau bathymétrique. Ces spécimens venaient d'arriver car la mortalité corallienne était faible. Les colonies blanchies et mortes en place représentaient respectivement : ST05AB : 0.3 m², 0.8 m² et ST12A : 0.9 m².

Aucun spécimen de *Culcita novaeguineae* n'était recensé lors de cette mission.

En novembre 2018, une prolifération d'*Acanthaster planci* était active en station ST04 (Woodin) (51 spécimens / 300 m²). Les colonies blanchies et mortes en place concernaient pour le moment des *Acropora tabulaires*. De plus, les corallivores étaient recensés (un seul spécimen) pour les transects ST01A, ST03C, ST05B et ST12A.

L'astérie *Culcita novaeguineae* n'était recensée que pour ST03C (1 spécimen) et aucune lésion n'avait été constatée.

En avril 2019, les *Acanthaster planci* proliféraient en ST02A (5 spécimens) et ST03B (16 spécimens). De plus, des spécimens ont été observés en ST01A (1 spécimen), ST02B (2 spécimens), ST03AC (1 spécimen), ST04AB (2 et 1 spécimens), ST06C (1 spécimen juvénile) et ST12A (2 spécimens).

Les colonies mortes en place et/ou blanchies (sans polype) étaient importantes en ST01, ST02, ST03 et ST04 à cause des proliférations de cette mission et des années précédentes.

L'astérie *Culcita novaeguineae* n'était recensée que pour ST03B (1 spécimen) et aucune lésion n'avait été constatée.

En octobre 2019, les *Acanthaster planci* proliféraient en ST02AB (3 et 5 spécimens) et ST04AB (3 et 2 spécimens). De plus, des spécimens ont été observés en ST03AB (1 et 1 spécimen).

Leurs perturbations sur les coraux étaient importantes dans les zones de prolifération des missions précédentes. Les colonies blanchies et mortes en place concernaient particulièrement des *Acropora* branchus et tabulaires.

L'astérie *Culcita novaeguineae* n'était recensée que pour ST03BC (1 spécimen) et aucune lésion n'avait été constatée.

En mai 2020, aucune prolifération d'*Acanthaster planci* n'avait été recensée. Un seul spécimen avait été observé par transect ST01A et ST2AB.

→ Leurs perturbations sur les coraux étaient importantes dans les zones de prolifération des missions précédentes.

Les récifs dégradés étaient situés en baie de Prony (ST01, ST02 et ST03) ainsi que dans le canal de Woodin (ST04). Les colonies blanchies et mortes en place concernaient particulièrement des *Acropora* branchus et tabulaires. L'astérie *Culcita novaeguineae* n'avait pas été recensée.

En octobre 2020, aucune prolifération d'*Acanthaster planci* n'a été recensée. Un seul spécimen a été observé en ST02A (dégradation relativement faible pour cette mission).

→ Leurs perturbations sur les coraux sont importantes dans les zones de prolifération des missions précédentes. Les récifs dégradés sont situés en baie de Prony (ST01, ST02 et ST03) ainsi que dans le canal de Woodin (ST04). Les colonies blanchies et mortes en place concernent particulièrement des *Acropora* branchus et tabulaires. Cependant, lorsque la prolifération perdure dans le temps les autres espèces coralliennes sont également dévorées au fur et à mesure.

L'astérie *Culcita novaeguineae* est recensée en ST03C (1 spécimen).

6.2.2.3.5 Les mollusques corallivores

L'espèce *Drupella cornus* est un gastéropode corallivore dont la présence en abondance sur un récif est également un indicateur de perturbation du milieu. Ainsi lorsque le récif subit une perturbation d'origine naturelle ou anthropique, il est constaté quelques semaines à quelques mois plus tard (par réaction en chaîne), la présence de *Drupella cornus* (et potentiellement d'autres corallivores).

Les corallivores *Drupella cornus* sont plus susceptibles de perturber les niveaux hauts et médians des récifs car les espèces d'Acroporidae qu'ils préfèrent se développent préférentiellement où la pénétration de la lumière est importante.

Une abondance supérieure au niveau 3 de l'échelle d'abondance peut être un signe de perturbation. Les individus se rassemblent sur une ou plusieurs colonies (généralement *Acropora* tabulaire/ branchu) et dévorent au fur et à mesure tous les polypes pour laisser derrière leur passage une colonie morte en place. Ces rassemblements peuvent atteindre une dizaine d'individus par colonie.

En avril 2013, les gastéropodes *Drupella cornus* étaient absents.

En septembre 2013, ils ont profité de la phase de dégradation corallienne post dépression pour se développer sur les colonies perturbées (ST01, ST02, ST05, ST07, ST08 et ST11). Leur abondance était relativement modérée mais à surveiller en ST08 et ST11 (niveau 3).

En avril 2014, leur abondance était modérée sur l'ensemble des stations mais et ils se développaient en ST10A et ST11A (niveau 3).

En octobre 2014, leur développement augmentait de manière importante pour les niveaux bathymétriques hauts et médians des récifs du canal de la Havannah (ST06AB, ST07AB, ST10AB et ST11A). Les perturbations engendrées étaient relativement conséquentes, de nombreuses colonies coralliennes (majoritairement les Acroporidae) étaient dévorées puis mortes en place.

Les corallivores *Drupella cornus* étaient plus susceptibles de perturber les niveaux hauts et médians des récifs car les espèces d'Acroporidae se développent préférentiellement où la pénétration de la lumière est importante. A ce titre, les *Drupella* étaient absents en baie de Prony et dans le canal Woodin pour cette mission.

En mars 2015, aucun *Drupella* n'était observé en baie de Prony ni dans le canal Woodin. Par contre, leur développement était modéré (niveau 2) pour les récifs du canal de la Havannah et se concentrait principalement sur les colonies d'*Acropora* tabulaire en ST07A (niveau 4).

En octobre 2015, seules deux stations présentaient des perturbations dues à la prédation de *Drupella cornus*. Leur développement était modéré en ST12A&B (niveau 2) et important en ST10ABC (respectivement niveau 3, 3 et 2).

En avril 2016, seules trois stations présentaient des perturbations dues à la prédation de *Drupella cornus* (ST07A, ST10A&B et ST12A). Les récifs des stations ST10 et ST12 étaient déjà influencés par ce gastéropode lors de la dernière mission. Leur développement était modéré en ST07A et ST12A (niveau 2) et important en ST10A&B (niveau 3).

En novembre 2016, l'espèce *Drupella cornus* n'était pas observée avec une abondance supérieure au niveau 2 (ST06A, ST07C, ST09A et ST10AB). NB : la station ST10 présentait des dégradations constantes de *Drupella cornus* depuis avril 2014 (nombreuses colonies mortes en place, particulièrement le genre *Acropora*).

En avril 2017, aucun *Drupella cornus* n'était observé dans l'ensemble du réseau du suivi.

En septembre 2017, seul le transect ST12A était concerné par la présence de *Drupella cornus* (9 individus ont été recensés sur une colonie d'*Acropora* tabulaire).

En mai 2018, les gastéropodes *Drupella cornus* avaient une influence négligeable sur les coraux. Ils étaient recensés en faible abondance sur une seule colonie du genre *Acropora* (niveau 1 à 2) pour les niveaux bathymétriques suivants : ST07AB, ST08A, ST11A et ST12A.

En novembre 2018, les gastéropodes *Drupella cornus* avaient une influence négligeable sur les coraux. Ils étaient recensés en faible abondance sur une seule colonie blanche du genre *Acropora* (niveau 2) pour les niveaux bathymétriques suivants : ST06A (0.1 m²) et ST09C (0.4 m²).

En avril 2019, les gastéropodes *Drupella cornus* étaient recensés en ST06A (niveau 3), ST08A (niveau 2) et leur abondance était en augmentation. Pour le moment leur influence était négligeable.

En octobre 2019, les gastéropodes *Drupella cornus* ont été recensés en ST11AB (niveau 2) et leur influence est négligeable.

En mai 2020, les gastéropodes *Drupella cornus* avaient été recensés en ST06B (niveau 3), ST09AB, ST10AB, ST11AB et ST12A (niveau 2).

Leurs perturbations sur les coraux étaient bien moins conséquentes que pour les *Acanthaster*. Cependant, elles n'étaient pas négligeables en ST06A (1,2 m²), STB06B (1 m²) et ST11B (1,8 m²) et dans une moindre mesure (<1 m²) en ST09AB, ST10AB, ST11AC et ST12A.

En octobre 2020, les gastéropodes *Drupella cornus* ont été recensés dans le canal de la Havannah en ST10A et ST12A (niveau 2). 2 spécimens de *Chicoreus brunneus* ont aussi été observés en ST12A.

Les lésions induites par les *Drupella cornus* et *Chicoreus brunneus* sont relativement faibles pour cette mission en ST10A et ST12A (respectivement 0,3 m² et 0,7 m² de coraux blanchis (cf. [tableau 116](#))).

6.2.3 Evolution globale des stations par rapport à la mission précédente

Les particularités de chaque station de suivi environnemental et les variations entre la mission de mai 2020 et celle-ci (octobre 2020) sont présentées dans le [tableau 119](#).

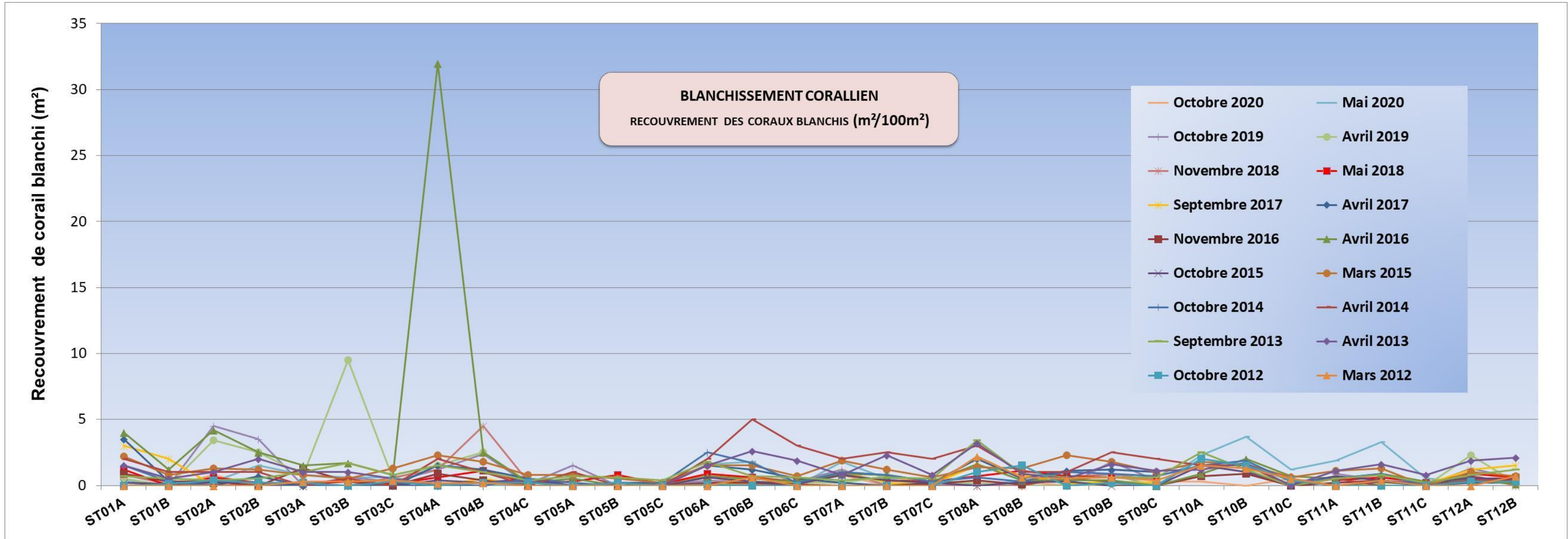


Figure 98 : Recouvrement du corail blanchi, par transect, depuis 2012
NB : Le protocole n'a plus évolué depuis juin 2009 (cf. § 6.2.1).

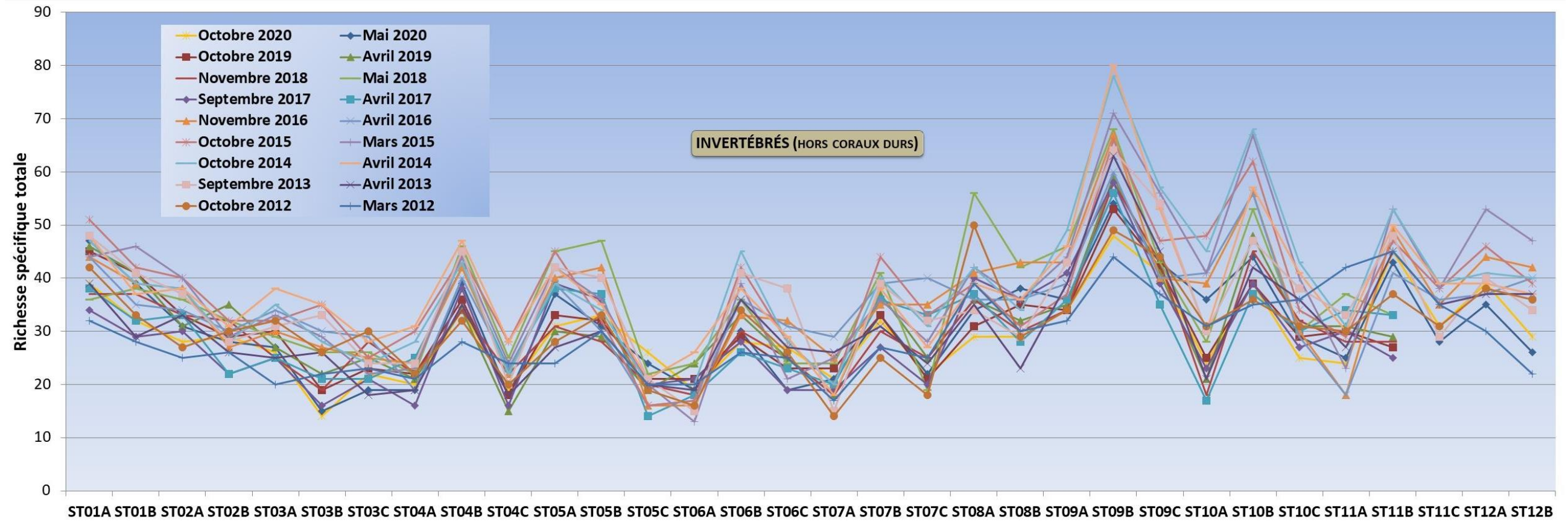


Figure 99 : Richesse spécifique des invertébrés (hors coraux durs), par transect, depuis 2012
 NB : Le protocole n'a plus évolué depuis octobre 2011 (cf. § 6.2.1).

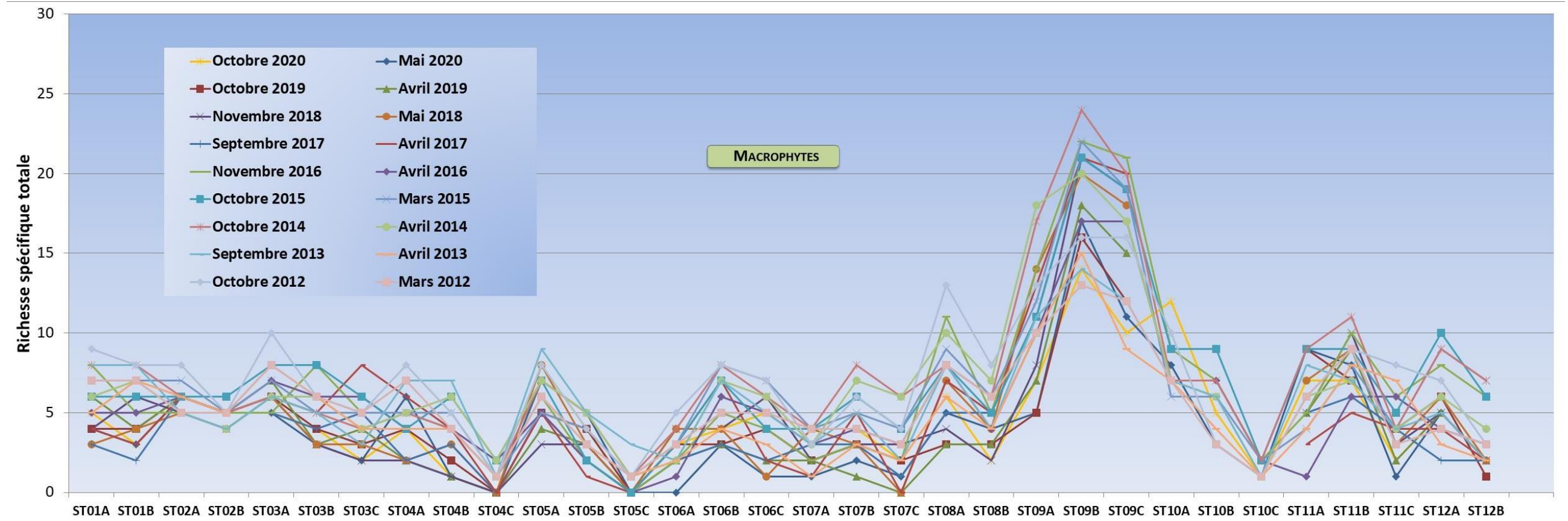


Figure 100 : Richesse spécifique des macrophytes, par transect, depuis 2012
 NB : Le protocole n'a jamais évolué (cf. § 6.2.1).

Tableau 117 : Evolution du taux de recouvrement du substrat entre mai et octobre 2020 (différence en %)

	ST01		ST02		ST03			ST04			ST05			ST06			ST07			ST08		ST09			ST10			ST11			ST12	
	Casy		B. Nord		Port			Woodin			Ioro			Ionontea			Chambeyron			Puka		Bancs Kié			Ilot Kié			Toémo			Ugo	
	A	B	A	B	A	B	C	A	B	C	A	B	C	A	B	C	A	B	C	A	B	A	B	C	A	B	C	A	B	C	A	B
Macrophytes et invertébrés	-2,5	-2	6,5	5,5	-0,5	8	1	-9,5	0	-8,5	-6,5	6	2	2,5	2	6	-6,5	-1	-0,5	-3	-2	1	0,5	0,5	-0,5	-1,5	-16	1	4	3	0	-1
Coraux scléactiniaires	0,5	0,5	-5,5	-1,5	-1,0	-8,0	0,5	5,0	0,0	15,5	3,0	0,5	-0,5	-2,5	1,5	-3,0	8,0	2,0	0,5	5,5	0,0	-1,0	-0,5	-0,5	-0,5	1,0	-0,5	-1,0	-3,0	0,5	1,5	2,0
Abiotique	2	1,5	-1	-4	1,5	0	-1,5	4,5	0	-7	3,5	-6,5	-1,5	0	-3,5	-3	-1,5	-1	0	-2,5	2	0	0	0	1	0,5	16,5	0	-1	-3,5	-1,5	-1

Code couleur :

- Le taux de recouvrement a augmenté en octobre 2020 par rapport à mai 2020
- Le taux de recouvrement est équivalent (à +/- 20%) entre mai et octobre 2020
- Le taux de recouvrement a diminué en octobre 2020 par rapport à mai 2020

Tableau 118 : Evolution de la richesse spécifique du benthos (hors coraux durs) entre mai et octobre 2020 (gain/perte en taxa)

	ST01		ST02		ST03			ST04			ST05			ST06			ST07			ST08		ST09			ST10			ST11			ST12		
	Casy		B. Nord		Port			Woodin			Ioro			Ionontea			Chambeyron			Puka		Bancs Kié			Ilot Kié			Toémo			Ugo		
	A	B	A	B	A	B	C	A	B	C	A	B	C	A	B	C	A	B	C	A	B	A	B	C	A	B	C	A	B	C	A	B	
Macrophytes	1	0	0	0	0	1	0	-2	0	0	1	-1	0	3	1	4	3	2	1	1	-2	2	-3	-1	4	2	0	-2	-1	1	0	0	
Cyanobactéries	0	0	2	1	0	1	0	0	0	0	0	0	0	0	0	0	1	0	0	1	1	-1	0	0	0	0	0	0	0	0	1	1	1
Invertébrés	-8	-7	-3	1	-1	-1	3	1	-5	1	-6	2	2	0	-2	8	0	-1	0	-5	-9	-2	-6	-2	-12	-5	-4	-1	2	3	4	3	
Richesse taxonomique totale	-7	-7	-1	2	-1	1	3	-1	-5	1	-5	1	2	3	-1	12	4	1	1	-3	-10	-1	-9	-3	-8	-3	-4	-3	1	5	5	4	

Code couleur :

- La richesse taxonomique a augmenté en octobre 2020 par rapport à mai 2020
- La richesse taxonomique est équivalente (à +/-2 taxa prêt) entre mai et octobre 2020
- La richesse taxonomique a diminué en octobre 2020 par rapport à mai 2020

NB : La richesse taxonomique est la somme totale des espèces (ou taxa) pour un groupe d'organisme donné. Si cette dernière n'évolue pas, cela ne veut pas dire qu'il n'y a pas d'évolution au sein de l'assemblage spécifique. Il peut aussi y avoir une compensation des espèces non recensées par les espèces apparues (mortalité, recrutement ou tout simplement mobilité).

Attention : les évolutions de la richesse spécifique et du taux de recouvrement ne sont pas forcément liées : dans le cas des cyanobactéries par exemple : peu d'espèces sont normalement présentes. Donc, en cas de bloom, le recouvrement va augmenter, sans que cela soit noté dans les variations de richesse taxonomique, car ce sera du fait d'une espèce déjà présente.

Tableau 119 : Particularités de chaque station et évolution entre mai et octobre 2020

Localisation	Station	Particularités des stations	Variations des biocénoses entre mai et octobre 2020
Baie de Prony	ST01	Casy	<p>Indicateur Corail :</p> <ul style="list-style-type: none"> - Le recouvrement corallien est de 0.5% et 1% aux transects A et B. Très légère hausse - Blanchissement corallien (surface totale observée) : <i>Octobre 2015 : 0.15% ; Avril 2016 : 2.6% ; Novembre 2016 : 0.6% ; Avril 2017 : 1.9% ; Septembre 2017 : 2.5% (lié à <i>Acanthaster planci</i>) ; Mai 2018 : 0.6% (lié à <i>Acanthaster planci</i>) ; Novembre 2018 : 0.45% ; Avril 2019 : 0.25% ; Octobre 2019 : 0% ; Mai 2020 : 0.2% ; Octobre 2020 : 0%</i> - Lésions coralliennes : de nombreuses colonies coralliennes sont mortes en place (partiellement ou entièrement) suite au blanchissement corallien du début d'année 2016, à la maladie de la bande blanche et à la prolifération d'<i>Acanthaster</i> (depuis novembre 2016) : <ul style="list-style-type: none"> • Prédation des <i>Acanthaster</i> : RAS • Maladie de la bande blanche : RAS • Perturbations sédimentaires : RAS <p>Autres indicateurs :</p> <ul style="list-style-type: none"> - Cyanobactéries : stable en A et augmentation en B (niveau 1 à 2). Elles colonisent des colonies coralliennes mortes en place (<i>Acropora</i> tabulaire et branchu) - Le turf algal se développe modérément sur les débris coralliens et les colonies coralliennes mortes en place au fur et à mesure de leur dégradation - Algue brune <i>Lobophora</i> : stable en A et B (niveau 3 et 2) - Algue rouge <i>Asparagopsis taxiformis</i> : absence et stable - <i>Cliona orientalis</i> : stable - <i>Cliona jullieni</i> : augmentation en A (niveau 2 à 3) et stable en B (niveau 3) <p>Les corallivores :</p> <ul style="list-style-type: none"> - <i>Acanthaster planci</i> : absence, diminution - <i>Culcita novaeguineae</i> : absence, stable - <i>Drupella cornus</i> : absence, stable
	ST02	Creek baie nord	<ul style="list-style-type: none"> ↳ Originalité des espèces coralliennes adaptées à un milieu turbide et à la faible pénétration de la lumière dans l'eau, par une croissance rapide, la sécrétion de mucus et/ou de grands polypes pour se dégager de la sédimentation ↳ Richesse spécifique parmi la plus importante des coraux de toutes les stations de suivi environnemental de la baie de Prony (<i>données de novembre 2016</i>) ↳ Le recouvrement corallien du transect A est particulièrement représenté par des grands massifs de coraux branchus (<i>Acropora</i> et <i>Anacropora</i>) et celui du transect B est plutôt constitué de petites colonies éparpillées sur les blocs coralliens ↳ Les colonies d'<i>Acropora</i> et <i>Anacropora</i> en A forment de grands massifs plurimétriques de plus en plus denses (croissance importante). ↳ Hyper sédimentation en B ↳ Abondance importante des alcyonaires sur l'ensemble de la zone (<i>Sarcophyton</i>) ↳ Compétition spatiale importante entre les alcyonaires, les algues vertes/brunes et les coraux <p>Présence d'<i>Acanthaster planci</i> :</p> <ul style="list-style-type: none"> - Présence de 2 spécimens en A en mai 2018 - Prolifération en avril 2019 en A et B (respectivement 5 et 2 spécimens) - Prolifération en octobre 2019 en A et B (respectivement 3 et 5 spécimens) - Présence de 1 spécimen en A et en B en mai 2020 - Présence de 1 spécimen en A en octobre 2020

Localisation	Station	Particularités des stations	Variations des biocénoses entre mai et octobre 2020
	ST03	Port	<p>- <i>Drupella cornus</i> : absence, stable</p> <p>Indicateur Corail :</p> <ul style="list-style-type: none"> - Le recouvrement corallien est de 3% au transect A, 6% en B et 4% en C. Légère baisse en B (vs 14%), stable en A et C - Blanchissement corallien (surface totale observée) : <i>Octobre 2015 : 0% ; Avril 2016 : 1.33% ; Novembre 2016 : 0.53% ; Avril 2017 : 0% ; Septembre 2017 : 0% ; Mai 2018 : 0.17% ; Novembre 2018 : 0.20% ; Avril 2019 : 3.6% ; Octobre 2019 : 0.3% ; Mai 2020 : 0.67% ; Octobre 2020 : 0%</i> - Lésions coralliennes : le développement très important des algues brunes (<i>Lobophora</i>) entraîne des lésions partielles et irréversibles sur de nombreuses colonies coralliennes (surtout en B & C) <ul style="list-style-type: none"> • Maladie corallienne : RAS • Perturbations sédimentaires : des dépôts sédimentaires conséquents ont été observés sur les colonies coralliennes pour l'ensemble de la station et plus particulièrement en B & C <p>Autres indicateurs :</p> <ul style="list-style-type: none"> - Cyanobactéries : stable en A (niveau 2), augmentation en B (niveau 2 à 3). Elles se développent sur les débris coralliens et le substrat d'origine terrigène. Absence en C - Le turf algal se développe modérément sur les débris coralliens et les colonies mortes en place - Algue brune <i>Lobophora</i> : présence importante mais stable aux 3 transects (respectivement niveau 3, 5 et 3) → caractère envahissant potentiel, particulièrement en B - Algue rouge <i>Asparagopsis taxiformis</i> : absente et stable - <i>Cliona orientalis</i> : stable - <i>Cliona jullieni</i> : variations continues entre les missions, autour du niveau 2 <p>Les corallivores :</p> <ul style="list-style-type: none"> - <i>Acanthaster planci</i> : absence, stable - <i>Culcita novaeguineae</i> : augmentation : 1 spécimen en C - <i>Drupella cornus</i> : absence, stable
Canal Woodin	ST04	Woodin	<p>Indicateur Corail :</p> <ul style="list-style-type: none"> - Le recouvrement corallien est de 14% au transect A, 10% en B et 17.5% en C. Légère hausse en A et C (vs 9% et 2%), stable en B. L'augmentation en C est due à la chute des grandes colonies de <i>Tubastraea</i> sous le transect - Blanchissement corallien (surface totale observée) : <i>Octobre 2015 : 0.37% ; Avril 2016 : 11.57% ; Novembre 2016 : 0.43% ; Avril 2017 : 1.07% ; Septembre 2017 : 0.17% ; Mai 2018 : 0.63% ; Novembre 2018 : 2% ; Avril 2019 : 1.43% ; Octobre 2019 : 1.23% ; Mai 2020 : 0% ; Octobre 2020 : 0%</i> - Lésions coralliennes : de nombreuses colonies coralliennes sont mortes en place (partiellement ou entièrement) suite au blanchissement corallien du début d'année 2016, à la maladie de la bande blanche et surtout à la prolifération d'<i>Acanthaster</i> (depuis la mission de novembre 2018) <ul style="list-style-type: none"> • Maladie corallienne : RAS • Perturbations mécaniques : effondrement de colonies de <i>Tubastraea micrantha</i> en C, toujours vivantes • Perturbations sédimentaires : des colonies coralliennes sont recouvertes partiellement par des particules sédimentaires (réactions en chaîne : affaiblissement des coraux par les <i>Acanthaster</i>) <p>Autres indicateurs :</p> <ul style="list-style-type: none"> - Cyanobactéries : stable en A et B (niveau 2), absence - diminution - en C (niveau 2/0). Elles se développent sur les colonies coralliennes mortes en place (colonies affectées par <i>Acanthaster</i>) - Le turf algal se développe abondamment en A et B sur les colonies mortes en place (anciennement blanchies : <i>Seriatopora hystrix</i>, <i>Pocillopora damicornis</i>, <i>Stylophora pistillata</i> ...). Son développement est modéré sur les débris coralliens - Algue brune <i>Lobophora</i> : absente et stable - Algue rouge <i>Asparagopsis taxiformis</i> : absente et stable - <i>Cliona orientalis</i> : stable en A (niveau 2), B (niveau 4, important) et C (niveau 2) - <i>Cliona jullieni</i> : stable en A et B, diminution en C (niveau 3 à 2) <p>Les corallivores :</p> <ul style="list-style-type: none"> - <i>Culcita novaeguineae</i> et <i>Acanthaster planci</i> : absence, stable - <i>Drupella cornus</i> : absence, stable

Localisation	Station	Particularités des stations	Variations des biocénoses entre mai et octobre 2020
		<p>conséquence et concernait surtout les colonies d'<i>Acropora</i> tabulaire</p> <ul style="list-style-type: none"> - Présence en avril 2019 en A et B (respectivement 2 et 1 spécimens) - Présence en octobre 2019 en A et B (respectivement 3 et 2 spécimens) - Absence depuis mai 2020 	
Canal Havannah	ST05	<p>Ioro</p> <ul style="list-style-type: none"> ↻ Présence en grand nombre de <i>Porites</i> massifs et branchus (diversité des Poritidae), <i>Millepora</i>, <i>Tubastraea micrantha</i> et d'une grande colonie pluri métrique de <i>Diploastrea heliopora</i> ↻ Mortalité corallienne (colonies en place) et nombreux débris ↻ Les spongiaires (<i>Cliona jullieni</i> et <i>C. orientalis</i>) sont relativement bien développés et colonisent les massifs et les blocs coralliens ↻ Diversité des échinodermes (astéries, holothuries, échinides) et mobilité bathymétrique importante (recherche de nourriture) ↻ Présence d'<i>Acanthaster planci</i> : très occasionnelle : <ul style="list-style-type: none"> - Présence en mai 2018 en A et B (1 spécimen) et en novembre 2018 en B (1 spécimen) 	<p>Indicateur Corail :</p> <ul style="list-style-type: none"> - Le recouvrement corallien est de 38% au transect A, 32.5% en B et 1.5% en C. Stable - Blanchissement corallien (surface totale observée) : <i>Octobre 2015 : 0% ; Avril 2016 : 0.17% ; Novembre 2016 : 0% ; Avril 2017 : 0.13% ; Septembre 2017 : 0% ; Mai 2018 : 0.4% ; Novembre 2018 : 0.07% ; Avril 2019 : 0% ; Octobre 2019 : 0.5% ; Mai 2020 : 0% ; Octobre 2020 : 0%</i> - Lésions coralliennes : des colonies coralliennes sont dégradées suite aux maladies coralliennes, aux perturbations mécaniques et sédimentaires : <ul style="list-style-type: none"> • Maladie corallienne : la maladie de la bande blanche peut être observée ponctuellement sur les <i>Acropora</i> spp. (tabulaire) en A. Les anomalies de croissance sont importantes mais elles n'évoluent pas sur la grande colonie de <i>Diploastrea heliopora</i> (transect B) • Perturbations mécaniques et sédimentaires : les sédiments carbonatés peuvent entraîner de l'abrasion sur les colonies coralliennes <p>Autres indicateurs :</p> <ul style="list-style-type: none"> - Cyanobactéries : stable, absence pour les 3 - Le turf algal se développe modérément sur les débris - Algues brunes <i>Lobophora</i> : absente et stable - Algues rouges <i>Asparagopsis taxiformis</i> : absente, diminution en A (niveau 2 à 0) - <i>Cliona orientalis</i> : stable - <i>Cliona jullieni</i> : stable <p>Les corallivores :</p> <ul style="list-style-type: none"> - <i>Culcita novaeguineae</i> et <i>Acanthaster planci</i> : absence, stable - <i>Drupella cornus</i> : absence, stable
	ST06	<p>Ionontea</p> <ul style="list-style-type: none"> ↻ Originalité des peuplements coralliens adaptés à un milieu d'hydrodynamisme très important (courant de marée, houle et ressac) ↻ Dégradation des communautés benthiques sur l'ensemble de la station à cause de l'hydrodynamisme important : arrachement et casse des colonies coralliennes au transect A, puis remobilisation et accumulation de débris et de blocs coralliens pour les autres transects B&C (surtout PAM en 2015) ↻ Nombreux coraux tabulaires retournés sur l'ensemble de la station (mortalité conséquente par arrachement) ↻ Présence de grandes colonies de <i>Porites</i> massifs à mi pente (B) ↻ Présence de <i>Blastomussa wellsi</i> et <i>Physogyra lichtensteini</i> en C ↻ Suite au blanchissement corallien du début d'année 2016, quelques colonies sont mortes en place ou nécrosées en A ↻ Les spongiaires (<i>Cliona jullieni</i> et <i>C. orientalis</i>) se développent relativement bien et colonisent les blocs coralliens et les massifs coralliens ↻ Mobilité bathymétrique des échinodermes (astéries, holothuries, échinides) et des mollusques ↻ Forte variation de recouvrement de l'algues rouges <i>Asparagopsis</i> (saisonnalité) ↻ Absence de l'algues brunes <i>Lobophora variegata</i> ↻ Présence d'<i>Acanthaster planci</i> : très occasionnelle : <ul style="list-style-type: none"> - Présence en avril 2019 de 1 spécimen juvénile en C 	<p>Indicateur Corail :</p> <ul style="list-style-type: none"> - Le recouvrement corallien est de 38% au transect A (3^{ème} rang du réseau), 35% en B (2^{ème} rang du réseau, gain d'1 niveau) et 8% en C. Stable. La moyenne sur la station est de 27%, ce qui la place au 3^{ème} rang - Blanchissement corallien (surface totale observée) : <i>Octobre 2015 : 0.33% ; Avril 2016 : 0.5% ; Novembre 2016 : 0.15% ; Avril 2017 : 1.07% ; Septembre 2017 : 0.17% ; Mai 2018 : 0.6% ; Novembre 2018 : 0.07% ; Avril 2019 : 0.47% ; Octobre 2019 : 0.3% ; Mai 2020 : 1.13% ; Octobre 2020 : 0.23%</i> - Lésions coralliennes : des colonies coralliennes sont dégradées suite aux perturbations mécaniques, à la maladie de la bande blanche et à la prédation de corallivore : <ul style="list-style-type: none"> • Prédation des corallivores <i>Drupella cornus</i> : RAS pour cette mission • Maladie corallienne : la maladie de la bande blanche se développe sur les <i>Acropora</i> spp. (tabulaire) en A : 0.7 m² de coraux blanchis sans polype • Perturbations mécaniques (couloirs d'effondrement de débris) : les conditions hydrodynamiques sont importantes, de nombreux débris et de nombreuses colonies coralliennes ne sont plus fixées sur le substrat suite aux événements dépressionnaires <p>Autres indicateurs :</p> <ul style="list-style-type: none"> - Cyanobactéries : stable en A (absentes) et B (niveau 2), augmentation en C (niveau 1 à 2). Elles se développent sur les colonies mortes en place et les débris - Le turf algal se développe modérément sur les débris coralliens et les colonies coralliennes au fur et à mesure de leur dégradation (effondrement de débris) - Algues brunes <i>Lobophora</i> : absente et stable - Algues rouges <i>Asparagopsis taxiformis</i> : forte augmentation aux 3 transects (niveau 0 à 3) - <i>Cliona orientalis</i> : diminution en A (niveau 3 à 2) et stable en B et C (niveau 4 et 3) - <i>Cliona jullieni</i> : stable <p>Les corallivores :</p> <ul style="list-style-type: none"> - <i>Acanthaster planci</i> et <i>Culcita novaeguineae</i> : absence, stable

Localisation	Station	Particularités des stations	Variations des biocénoses entre mai et octobre 2020
			- <i>Drupella cornus</i> : diminution, absence
	ST07 Basse Chambeyron	<ul style="list-style-type: none"> ↪ Originalité des peuplements coralliens adaptés à un milieu d'hydrodynamisme très important (courant de marée, houle et ressac) et taille relativement petite des colonies. Cependant présence de colonie de taille métrique d'<i>Acropora</i> tabulaire en A et de <i>Porites</i> massif en C ↪ Croissance importante des colonies d'<i>Acropora</i> tabulaire en A en novembre 2018 ↪ Présence de <i>Blastomussa wellsi</i> en B ↪ Dégradation des communautés benthiques sur l'ensemble de la station à cause de l'hydrodynamisme important : arrachement et casse des colonies coralliennes au transect A et accumulation de débris et blocs coralliens pour les autres transects B et C. ↪ La station présente de nombreuses zones d'accumulation de débris et de coraux tabulaires retournés (conditions hydrodynamiques exceptionnelles) : <ul style="list-style-type: none"> → Couloirs d'effondrement de part et d'autre des transects → Bas de pente récifale (par gravité) ↪ Suite au blanchissement corallien du début d'année 2016, quelques colonies sont mortes en place ou nécrosées en A ↪ Les spongiaires (<i>Cliona jullieni</i> et <i>C. orientalis</i>) sont relativement bien développées et colonisent les blocs coralliens et les massifs coralliens ↪ Mobilité bathymétrique des échinodermes (astéries, holothuries, échinides) et des mollusques (diversité et abondance variables selon les missions) ↪ Les crinoïdes également privilégient ce type de biotope balayé par les courants de marée ↪ Forte variation de recouvrement de l'algue rouge <i>Asparagopsis</i> (saisonnalité) ↪ Absence de l'algue brune <i>Lobophora variegata</i> 	<p>Indicateur Corail :</p> <ul style="list-style-type: none"> - Le recouvrement corallien est stable, de 35.5% au transect A (3^{ème} rang du réseau), 12.5% en B et 7% en C. Légère hausse en A (vs 27.5%), stable en B et C - Blanchissement corallien (surface totale observée) : <i>Octobre 2015</i> : 0.47% ; <i>Avril 2016</i> : 0.67% ; <i>Novembre 2016</i> : 0.03% ; <i>Avril 2017</i> : 0.13% ; <i>Septembre 2017</i> : 0.43% ; <i>Mai 2018</i> : 0.5% ; <i>Novembre 2018</i> : 0% ; <i>Avril 2019</i> : 0.33% ; <i>Octobre 2019</i> : 0.5% ; <i>Mai 2020</i> : 0.93% ; <i>Octobre 2020</i> : 0.27% - Lésions coralliennes : des colonies coralliennes sont dégradées suite aux perturbations mécaniques, à la maladie de la bande blanche : <ul style="list-style-type: none"> • Maladie corallienne : la maladie de la bande blanche se développe sur les <i>Acropora</i> spp. (tabulaire) en A : 0.18 m² de coraux blanchis sans polype • Perturbations mécaniques : les conditions hydrodynamiques sont importantes, de nombreux débris et de nombreuses colonies coralliennes ne sont plus fixées sur le substrat suite aux événements dépressionnaires - Croissance importante des colonies d'<i>Acropora</i> tabulaire en A, depuis novembre 2018 <p>Autres indicateurs :</p> <ul style="list-style-type: none"> - Cyanobactéries : augmentation en A (niveau 0 à 2), stable en B et C (niveau 2). Elles se développent sur les colonies mortes en place et les débris - Le turf algal se développe modérément sur les débris coralliens (effondrement de débris) - Algues brunes <i>Lobophora</i> : absente et stable - Algues rouges <i>Asparagopsis taxiformis</i> : augmentation aux 3 transects (niveau 0 à 2/3/2) - <i>Cliona orientalis</i> : stable en A et B (niveau 2/3) et diminution en C (niveau 3 à 2) - <i>Cliona jullieni</i> : stable <p>Les corallivores :</p> <ul style="list-style-type: none"> - <i>Acanthaster planci</i> et <i>Culcita novaeguineae</i> : absence, stable - <i>Drupella cornus</i> : absence, stable
	ST08 Puka	<ul style="list-style-type: none"> ↪ Cette station est située en bordure du récif frangeant du canal de la Havannah entre les baies de Port Boisé et de Kwé. Ainsi l'influence terrigène est très importante (dépôts de particules fines) mais l'hydrodynamisme peut être également soutenu (houle et ressac) ↪ Présence de grandes colonies de <i>Porites lobata</i> dans la zone (anomalies de croissance en B) ↪ Présence de <i>Tubipora musica</i> en B ↪ Les spongiaires (<i>Cliona orientalis</i> et <i>C. jullieni</i>) sont relativement bien développées et colonisent les débris coralliens et les colonies coralliennes encore vivantes (compétition spatiale) <p>Dégradations importantes depuis la mission de mars 2011 à mai 2018 : accentuées par de nombreuses dépressions tropicales :</p> <ul style="list-style-type: none"> - baisse recouvrement et diversité corallienne : mortalité importante, coraux tabulaires retournés et nombreux débris coralliens - maladies coralliennes affectant un grand nombre d'espèce depuis mars 2011 - développement des spongiaires (<i>Cliona</i>) - développement des corallivores (<i>Drupella cornus</i>) - développement de turf algal et de cyanobactéries <p>Les colonies coralliennes malades sont pour la plupart mortes en place en octobre 2014 (maladie de la bande blanche et perte de tissu)</p> <ul style="list-style-type: none"> → Suite à ces épisodes, la richesse corallienne augmente avec la présence de colonies juvéniles. <p>Les nouvelles espèces sont adaptées à la turbidité</p> <ul style="list-style-type: none"> → Les dépôts sédimentaires peuvent être soutenus selon les missions. Ils entraînent des nécroses sur les colonies coralliennes (source particulière : baie Kwé) 	<p>Indicateur Corail :</p> <ul style="list-style-type: none"> - Le recouvrement corallien est stable, de 35.5% au transect A (3^{ème} rang du réseau) et 2.5% en B. Légère hausse en A (vs 30%), stable en B - Blanchissement corallien (surface totale observée) : <i>Octobre 2015</i> : 0.13% ; <i>Avril 2016</i> : 1% ; <i>Novembre 2016</i> : 0.23% ; <i>Avril 2017</i> : 1.25% ; <i>Septembre 2017</i> : 1.15% ; <i>Mai 2018</i> : 0.9% ; <i>Novembre 2018</i> : 0% ; <i>Avril 2019</i> : 0.10% ; <i>Octobre 2019</i> : 0% ; <i>Mai 2020</i> : 0.2% ; <i>Octobre 2020</i> : 0.15% - Lésions coralliennes : des colonies coralliennes sont dégradées suite à la maladie de la bande blanche et ponctuellement par la sédimentation : <ul style="list-style-type: none"> • Maladie corallienne : la maladie de la bande blanche est observée sur une colonie en B (0.3 m²). La maladie de la tâche noire (hypermycose endolithique) ne paraît pas être une cause de mortalité. Cette lésion persiste sur quelques Fungiidae et colonies encroûtantes (A > B). En B, les anomalies de croissance de la colonie de <i>Porites</i> plurimétrique sont toujours importantes mais elles évoluent très peu • Perturbations sédimentaires : absence de dépôt sédimentaire sur les colonies coralliennes. Les nécroses sur les colonies coralliennes sont surtout induites par les dépôts sédimentaires précédents et successifs <p>Autres indicateurs :</p> <ul style="list-style-type: none"> - Cyanobactéries : augmentation en A et B (niveau 0 à 2) - Le turf algal se développe abondamment sur les débris coralliens et les colonies coralliennes mortes en place - Algues brunes <i>Lobophora</i> : absente et stable - Algues rouges <i>Asparagopsis taxiformis</i> : augmentation en A et B (niveau 0 à 3/2) - <i>Cliona orientalis</i> : stable - <i>Cliona jullieni</i> : stable <p>Les corallivores :</p> <ul style="list-style-type: none"> - <i>Acanthaster planci</i> et <i>Culcita novaeguineae</i> : absence, stable - <i>Drupella cornus</i> : absence, stable

Localisation	Station	Particularités des stations	Variations des biocénoses entre mai et octobre 2020
		<p>La diversité corallienne n'est plus étudiée (<i>dernier recensement en novembre 2016, ce relevé d'information n'est pas dans le cahier de charges</i>). Il n'est plus possible d'évaluer les variations spécifiques dans les assemblages de ce groupe.</p> <p>Suite au blanchissement corallien du début d'année 2016, quelques colonies sont mortes en place ou nécrosées en A et B</p>	
	ST09 Bancs Kié	<ul style="list-style-type: none"> ☞ Les conditions hydrodynamiques sont soutenues durant toute l'année (courant, ressac, houle) ☞ Originalité des peuplements coralliens adaptés à un milieu d'hydrodynamisme important (courant de marée, houle et ressac) : - Développement des gorgones depuis avril 2016 - Développement des alcyonaires, macrophytes et ascidies (recouvrement et richesse spécifique élevée) - Saisonnalité des algues rouges (<i>Trichogloea requienii</i> et d'<i>Asparagopsis taxiformis</i>) ☞ Taille majoritairement petite des colonies. Cependant présence d'une colonie de taille métrique de <i>Turbinaria stellulata</i> en B ☞ La pente récifale est abrupte et la dalle est arasée par les courants de marée et la houle ☞ Le développement des coraux est restreint par la contrainte hydrodynamique. De nombreuses colonies coralliennes ont été retournées par les agents hydrodynamiques sur l'ensemble de la station lors de la dépression Fréda (début d'année 2013) et le passage plus ou moins éloigné du cyclone Pam. Ces colonies désolidarisées de leur substrat, dévalent progressivement la pente récifale ☞ Mobilité bathymétrique des échinodermes (astéries, holothuries, échinides) (diversité et abondance) ☞ Les crinoïdes affectionnent ce milieu balayé par les courants de marée ☞ Suite au blanchissement corallien du début d'année 2016, quelques colonies sont mortes en place ou nécrosées en A 	<p>Indicateur Corail :</p> <ul style="list-style-type: none"> - Le recouvrement corallien est de 18% au transect A, 16% en B et 16% en C. Stable - Blanchissement corallien (surface totale observée) : <i>Octobre 2015 : 0.1% ; Avril 2016 : 0.27% ; Novembre 2016 : 0.27% ; Avril 2017 : 1.1% ; Septembre 2017 : 0.2% ; Mai 2018 : 0.63% ; Novembre 2018 : 0.63% ; Avril 2019 : 0.10% ; Octobre 2019 : 0.73% ; Mai 2020 : 0.5% ; Octobre 2020 : 0.10%</i> - Lésions coralliennes : des colonies coralliennes sont dégradées suite aux perturbations mécaniques, à la maladie de la bande blanche et à la prédation de corallivores : <ul style="list-style-type: none"> • Prédation des corallivores <i>Drupella cornus</i> : RAS pour cette mission • Maladie corallienne : la maladie de la bande blanche est observée sur une colonie en C (0.3 m²) • Perturbations mécaniques : les conditions hydrodynamiques sont importantes, de nombreux débris et de nombreuses colonies coralliennes ne sont plus fixées sur le substrat suite aux événements dépressionnaires <p>Autres indicateurs :</p> <ul style="list-style-type: none"> - Cyanobactéries : absentes en A (diminution, niveau 2 à 0) et stable en B et C (niveau 2) - Le turf algal se développe sur les débris coralliens et la dalle - Algues brunes <i>Lobophora</i> : absente et stable - Algues rouges <i>Asparagopsis taxiformis</i> : diminution en A (niveau 4 à 2), stable en B (niveau 2) et augmentation en C (niveau 2 à 3). - <i>Cliona orientalis</i> : diminution en A (niveau 3 à 2) et augmentation en B (niveau 2 à 3), stable en C (niveau 3) - <i>Cliona jullieni</i> : stable (niveau 2) <p>Les corallivores :</p> <ul style="list-style-type: none"> - <i>Acanthaster planci</i> et <i>Culcita novaeguineae</i> : absence, stable - <i>Drupella cornus</i> : absence, diminution (niveau 2 à 0)
	ST10 Ilot Kié	<ul style="list-style-type: none"> ☞ La richesse spécifique et le recouvrement des coraux sont très élevés sur les niveaux bathymétriques supérieur et médian ; Le transect A est au 1^{er} rang de tous les transects du réseau ☞ Dégradation des communautés benthiques sur l'ensemble de la station lors des événements dépressionnaires du début d'année 2011, 2013 et 2015 ☞ Perturbations importante du corallivore <i>Drupella cornus</i> sur les colonies coralliennes depuis avril 2014 ☞ Selon les missions un dépôt d'origine carbonatée est présent sur quelques colonies mais ce dernier est remobilisé rapidement par les courants de marée ☞ Présence d'espèce rare de <i>Gardineroseris planulata</i> et <i>Podabacia crustacea</i> ☞ Abondance des genres coralliens <i>Acropora</i>, <i>Goniopora</i> et <i>Alveopora</i> ☞ Les crinoïdes sont relativement abondantes aux transects A et B ☞ Une espèce d'<i>Alveopora</i> paraît très sensible aux variations de l'environnement (température, salinité, UV) : plusieurs colonies sont blanchies régulièrement, pour tous les transects. Cela ne semble pas avoir d'incidence sur sa vitalité car elle réintègre des zooxanthelles lors des missions suivantes ☞ Développement faible de l'algue brune <i>Lobophora variegata</i>. Elle colonise quelques colonies d'<i>Acropora</i> branchus ☞ Mobilité bathymétrique des échinodermes (astéries, holothuries, échinides) et des mollusques 	<p>Indicateur Corail :</p> <ul style="list-style-type: none"> - Le recouvrement corallien est de 73.5% au transect A (1^{er} rang du réseau et meilleur score), 35.5% en B (1^{er} rang du réseau) et 7.5% en C. Stable. La moyenne sur la station est de 38.8%, ce qui la place au 1^{er} rang - Blanchissement corallien (% moyen de la surface totale observée par station) : <i>Octobre 2015 : 0.87% ; Avril 2016 : 1.2% ; Novembre 2016 : 0.53% ; Avril 2017 : n.a ; Septembre 2017 : n.a ; Mai 2018 : n.a ; Novembre 2018 : n.a ; Avril 2019 : n.a ; Octobre 2019 : n.a ; Mai 2020 : 2.4% ; Octobre 2020 : 0.27%</i> - Lésions coralliennes : des colonies coralliennes sont dégradées suite à la maladie de la bande blanche et à la prédation de corallivore et aux variations des paramètres de l'environnement (T°C, S%, UV) : <ul style="list-style-type: none"> • Prédation des corallivores <i>Drupella cornus</i> : en A : 0.3 m² de coraux blanchis sans polype • Maladie corallienne : la maladie de la bande blanche se développe sur les <i>Acropora</i> spp. (tabulaire) pour le niveau bathymétrique inférieur : 0.5 m² de coraux blanchis sans polype • Variation des paramètres de l'environnement (T°C, S%, UV) : RAS pour cette mission • Perturbations mécaniques et sédimentaires : RAS pour cette mission <p>Autres indicateurs :</p> <ul style="list-style-type: none"> - Cyanobactéries : stable en A et B (niveau 2) et augmentation en C (niveau 1 à 2). Elles colonisent les colonies coralliennes mortes en place, les <i>Acropora</i> tabulaires branchus - Le turf algal se développe modérément sur les débris coralliens et les colonies coralliennes mortes en place au fur et à mesure de leur dégradation - Algues brunes <i>Lobophora</i> : stable en A et B (niveau 2) et C (absente) - Algues rouges <i>Asparagopsis taxiformis</i> : augmentation en A et B (niveau 2/0 à 3/2) et stable en C (absente). Le développement est saisonnier, le recouvrement n'a jamais été très important pour cette station, cependant il varie selon les saisons - <i>Cliona orientalis</i> : stable aux 3 transects (niveau 2/3/3)

Localisation	Station	Particularités des stations	Variations des biocénoses entre mai et octobre 2020
			<p>- <i>Cliona jullieni</i> : stable aux 3 transects (niveau 1/2/2)</p> <p>Les corallivores :</p> <p>- <i>Acanthaster planci</i> et <i>Culcita novaeguineae</i> : absence, stable</p> <p>- <i>Drupella cornus</i> : stable en A (niveau 2), absente en B (diminution : niveau 2 à 0)</p>
ST11	Toémo	<p>↻ Les conditions hydrodynamiques sont soutenues durant toute l'année (courant, ressac, houle). De nombreux débris et colonies coralliennes ne sont plus fixés sur le substrat suite aux événements dépressionnaires. Le courant de marée est puissant</p> <p>↻ Ce récif a subi des dégradations durant les événements cycloniques du début d'année 2011 (Vania-Zelia), le cyclone de janvier 2013 (Fréda) et dans une moindre mesure le cyclone Pam en mars 2015 et Winston en février 2016</p> <p>→ Dégradations des communautés benthiques d'ordre mécanique sur l'ensemble de la station à cause de l'hydrodynamisme important : arrachement et casse des colonies coralliennes au transect A et accumulation de débris et de blocs coralliens pour les autres transects B et C</p> <p>↻ Les scléactiniaires développent des morphologies robustes</p> <p>↻ La richesse spécifique des coraux est relativement élevée pour les niveaux bathymétriques supérieurs (B < A)</p> <p>↻ Le recouvrement corallien est important en A</p> <p>↻ La maladie de la bande blanche peut se développer sur les <i>Acropora</i> spp. (tabulaire) pour les niveaux bathymétriques A et B</p> <p>↻ Saisonnalité des macrophytes : les algues rouges (particulièrement <i>Asparagopsis</i>) présentent un développement saisonnier qui peut être très important sur l'ensemble de la station</p> <p>↻ Les ascidies sont variées et abondantes</p> <p>↻ Les spongiaires sont relativement abondantes (<i>Cliona</i>)</p> <p>↻ Mobilité bathymétrique des échinodermes (astéries, holothuries, échinides) et des mollusques</p>	<p>Indicateur Corail :</p> <p>- Le recouvrement corallien est stable, de 69% au transect A (2^{ème} plus fort recouvrement de tous les transects), 33% en B (1^{er} score du réseau) et 10% en C. Stable. La moyenne sur la station est de 37.5%, ce qui la place au 2^{ème} rang</p> <p>- Blanchissement corallien (surface totale observée) : <i>Octobre 2015 : 0.4% ; Avril 2016 : 0.57% ; Novembre 2016 : 0.2% ; Avril 2017 : 0.1% ; Septembre 2017 : 0.1% ; Mai 2018 : 0.4% ; Novembre 2018 : 0% ; Avril 2019 : 0% ; Octobre 2019 : 0.43% ; Mai 2020 : 1.9% ; Octobre 2020 : 0%</i></p> <p>- Lésions coralliennes : des colonies coralliennes sont dégradées suite aux perturbations mécaniques, à la maladie de la bande blanche et à la prédation de corallivores :</p> <ul style="list-style-type: none"> • Prédation des corallivores <i>Drupella cornus</i> : RAS pour cette mission • Maladie corallienne : RAS pour cette mission • Perturbations mécaniques : RAS pour cette mission <p>Autres indicateurs :</p> <p>- Cyanobactéries : stable en A et B (niveau 2) et augmentation en B (niveau 0 à 2). Elles se développent sur les débris coralliens</p> <p>- Le turf algal se développe sur les débris coralliens et les colonies coralliennes mortes en place, particulièrement en B & C</p> <p>- Algue brune <i>Lobophora</i> : absente et stable</p> <p>- Algue rouge <i>Asparagopsis taxiformis</i> : stable en A (niveau 2) et augmentation en B et C (niveau 2/0 à 3/2)</p> <p>- <i>Cliona orientalis</i> : stable en A et C (niveau 2) et en B (niveau 3)</p> <p>- <i>Cliona jullieni</i> : stable</p> <p>Les corallivores :</p> <p>- <i>Acanthaster planci</i> et <i>Culcita novaeguineae</i> : absence, stable</p> <p>- <i>Drupella cornus</i> : diminution : absence</p>
ST12	Ugo	<p>↻ Croissance de grandes colonies de <i>Porites</i> sp., <i>Lobophyllia corymbosa</i> et de grands massifs de <i>Goniopora</i> sp. et <i>Acropora</i> spp.</p> <p>↻ Le reste des colonies coralliennes sont de taille décimétrique à métrique (turn over important)</p> <p>↻ Grande diversité et abondance des coraux libres (famille Fungiidae) qui affectionnent particulièrement ce substrat détritique (couloir d'effondrement de débris)</p> <p>↻ Accumulation de débris importante sous le transect et en périphérie de la station : présence de grands couloirs d'effondrement disposés de part et d'autres de la station qui deviennent de plus en plus large au gré des périodes dépressionnaires</p> <p>↻ Sédimentation importante de particules fines carbonatées en bas du tombant (début de pente sédimentaire)</p> <p>↻ Recouvrement très important de <i>Sarcophyton</i> (alcyonaires)</p> <p>↻ Recouvrement algal très faible</p> <p>↻ Les spongiaires (<i>Cliona jullieni</i> et <i>C. orientalis</i>) sont relativement bien développées et colonisent les massifs et les blocs coralliens</p> <p>↻ Présence d'<i>Acanthaster planci</i> : très occasionnelle :</p> <p>→ Présence de 1 spécimen en mai et novembre 2018 en A</p> <p>→ Présence de 2 spécimens en avril 2019 en A</p> <p>→ Absence en mai et octobre 2020</p>	<p>Indicateur Corail :</p> <p>- Le recouvrement corallien est stable, de 34% au transect A et 20% en B. Stable</p> <p>- Blanchissement corallien (surface totale observée) : <i>Octobre 2015 : 0.5% ; Avril 2016 : 0.25% ; Novembre 2016 : 0.5% ; Avril 2017 : 0.2% ; Septembre 2017 : 1.35% ; Mai 2018 : 0.75% ; Novembre 2018 : 0.40% ; Avril 2019 : 1.25% ; Octobre 2019 : 0.9% ; Mai 2020 : 0.35% ; Octobre 2020 : 0.35%</i></p> <p>- Lésions coralliennes : des colonies coralliennes sont dégradées suite aux perturbations mécaniques, à la maladie de la bande blanche et à la prédation de corallivores :</p> <ul style="list-style-type: none"> • Prédation des corallivores <i>Drupella cornus</i> et <i>Chicoreus brunneus</i> en A : 0.7 m² de coraux blanchis sans polype • Maladie corallienne : RAS pour cette mission • Perturbations mécaniques : les conditions hydrodynamiques sont importantes et créent de grands couloirs d'effondrement composés de débris disposés de part et d'autres de la station. Ces débris sont régulièrement remobilisés par la houle <p>Autres indicateurs :</p> <p>- Cyanobactéries : augmentation en A et B (niveau 2 à 3). Elles se développent sur les débris coralliens remobilisés dans les couloirs d'effondrements</p> <p>- Le turf algal se développe abondamment sur les débris coralliens et les colonies coralliennes mortes en place au fur et à mesure de leur dégradation</p> <p>- Algue brune <i>Lobophora</i> : stable en A et B (niveau 2)</p> <p>- Algue rouge <i>Asparagopsis taxiformis</i> : absente : diminution en A (niveau 2 à 0) et stable en B</p> <p>- <i>Cliona orientalis</i> : stable en A (niveau 4) et B (niveau 3)</p> <p>- <i>Cliona jullieni</i> : stable en A et B (niveau 3)</p>

Localisation	Station	Particularités des stations	Variations des biocénoses entre mai et octobre 2020
			Les corallivores : - <i>Acanthaster planci</i> et <i>Culcita novaeguineae</i> : absence, stable - <i>Drupella cornus</i> : stable en A (niveau 2) - <i>Chicoreus brunneus</i> : apparition en A (niveau 2)

6.3 Ichtyologie

Ce chapitre présente les résultats obtenus en octobre 2020 sur le peuplement de poissons et les compare aux résultats des missions précédentes qui lui sont comparables à savoir celles réalisées depuis 2007.

Les données 2005 ne sont pas reprises ici, mais elles sont disponibles toutefois dans un des rapports précédents (de 2008 [R02]).

Dans tous les tests suivants la station Ugo (ST12) est incluse en donnant aux missions 2007 et 2008, alors qu'elle n'était pas encore échantillonnée, la valeur moyenne des missions suivantes.

De même, pour la station ST10 (Ilot Kié), qui n'a pas été échantillonnée de 2017 à 2019 : les données manquantes pour cette période, ont été remplacées par la moyenne des années précédentes.

La méthode est celle demandée par le Cahier des Charges (rédigé par la DENV). C'est-à-dire :

- la méthode des Transects à Largeur Variable (TLV) ;
- mais surtout, attention : le Cahier des Charges impose le repérage que de quelques espèces (cf. [tableau 142 en annexe n°01](#)). Sur le terrain, il a été procédé à un repérage exhaustif et ensuite, lors de la saisie, les espèces qui ne sont pas dans la liste ont été retirées.

Cette contrainte a un impact fort sur le paramètre de biodiversité. En effet, scientifiquement 3 niveaux de biodiversité sont distingués :

- La biodiversité dite α ($B\alpha$) est le nombre d'espèces n présentes sur une station i : $B\alpha_i = n_i$
- La biodiversité β ($B\beta$) est la diversité des valeurs de diversités α ; soit en d'autres termes la diversité des stations qui caractérisent la zone étudiée
- La biodiversité γ ($B\gamma$) est la biodiversité totale de la zone, en d'autres termes, la réunion des biodiversités α obtenues sur l'ensemble p des stations choisies pour caractériser la zone : $B\gamma = \cup B\alpha_{ii}$

Du fait des limites imposées par le Cahier des Charges, les biodiversités β et γ ne peuvent être calculées et la biodiversité α est donc tronquée. Cependant, pour certains calculs et comparaisons, la liste « totale » est parfois reprise :

- Biodiversité 1 : ne prend en compte que les espèces de la liste du cahier des charges et présentes sur les transects (ce qui est demandé)
- Biodiversité 2 : ne prend en compte que les espèces de la liste du cahier des charges, mais sur toute la station
- Biodiversité 3 : considère toutes les espèces sur toute la station (c'est la vraie $B\alpha$).

Dans tous les paragraphes qui suivent, sauf mention contraire, ce sont les poissons de la liste restreinte et présents sur les transects (biodiversité 1) qui ont été pris en compte.

Les données quantitatives par station de la partie précédente sont des données conjoncturelles uniques, donc non statistiques et de plus affectées d'une forte variabilité et de nombreux biais, dus aux comportements des poissons. Cela obère toute comparaison spatiale annuelle significative.

En revanche, la prise en considération de l'ensemble des stations de la zone donne une série statistique exploitable permettant une analyse temporelle. Toutefois, la puissance de cette analyse est lourdement entravée par un choix de stations très hétérogènes : baie de Prony contre canal de la Havannah, et même au sein du canal de la Havannah, des stations sur des bancs à fort courant, des stations exposées aux alizés et d'autres au contraire protégées et donc à plus faible hydrodynamisme.

6.3.1 Test paramétrique par analyse des variances (ANOVAR)

Les tableaux de données se présentent avec les stations en lignes et les années (missions) en colonnes. L'ANOVAR est un test paramétrique qui vérifie l'homogénéité d'un tel tableau, en effet, c'est un test sur les moyennes qui confronte la variance globale du tableau dite « variance factorielle » à la variance entre les colonnes dudit tableau, dite « variance résiduelle ».

L'ANOVAR des tableaux de densité, de biomasse et de biodiversité peut être réalisée en confrontant la variance du tableau aux variances annuelles, donc en colonnes : c'est alors l'homogénéité temporelle qui est testée, ou en confrontant la variance globale aux variances des stations, donc en lignes : c'est alors l'homogénéité spatiale qui est testée.

Pour l'ensemble des tests, l'hypothèse H_0 testée est « l'homogénéité (ou égalité) des variances ». Si l'hypothèse nulle est vérifiée, cela correspond à une probabilité forte de « similarité des colonnes ».

Rappel sur le cadre d'utilisation de l'ANOVA.

Lors du passage des membres de la mission INERIS, ils nous ont fait la remarque que l'utilisation de l'ANOVA sur nos données n'était pas pertinente, compte tenu du fait que « l'hypothèse de normalité » n'était pas respectée et que l'homoscédasticité des données n'était pas vérifiée.

En théorie, une ANOVA est performante si les données analysées sont normales¹⁸ et si la prise de données est conforme aux règles d'homoscédasticité¹⁹. En pratique cela dépend du protocole de collecte et du type d'ANOVA réalisé. Dans notre contexte ces deux règles, de normalité et d'homoscédasticité peuvent être transgressées. En effet, les ANOVA se classent en deux types : ANOVA de type aléatoire et ANOVA de type fixe. Cela dépend du mode opératoire, c'est-à-dire du protocole d'échantillonnage. Le prélèvement de la donnée étant dans les deux cas aléatoire, l'ANOVA sera de type aléatoire si les stations sont également choisies à chaque mission selon un processus aléatoire et l'ANOVA sera de type fixe si les stations sont toujours les mêmes. En d'autres termes, selon qu'il y ait un ou deux niveaux aléatoires.

Nous sommes donc ici dans le cas d'un modèle fixe puisque nos stations sont définies a priori et pour tout le temps que durera le suivi. De nombreuses études relatives au modèle fixe montrent que l'analyse de la variance est peu sensible à la non-normalité tant en ce qui concerne le niveau de signification qu'en ce qui concerne la puissance du test [R31, R38, R40, R41, R46, R50, R68]. De plus, ces études montrent aussi que l'hypothèse d'homoscédasticité est très secondaire dans le modèle fixe lorsque les effectifs sont égaux. Or, c'est également le cas de nos données puisque le nombre de stations est toujours le même et que le nombre de visites aux stations est le même pour toutes les stations depuis le début du suivi en 2007.

Par ailleurs, compte tenu de la nature des données poissons, la vérification de l'homoscédasticité du tirage des données serait sans doute d'un coût prohibitif et de plus probablement infructueuse.

Des explications plus complètes sont développées en annexe 03 du rapport de novembre 2016 [R23].

Les données brutes pour chaque paramètre (densité, biomasse, biodiversité 1 et 3) sont données du [tableau 122](#) au [tableau 125](#) et le synopsis de chaque moyenne dans la [figure 103](#) à [figure 106](#) qui les suivent.

Les graphiques de la [figure 101](#) à la [figure 108](#) permettent une approche synoptique. Ils montrent d'un coup d'œil, les différences entre missions, donc au cours du temps et les différences dans l'espace, c'est-à-dire entre stations.

Cette nouvelle présentation montre aussi l'écart considérable qui existe entre la baie de Prony et le canal de la Havannah.

6.3.1.1 Variance temporelle : comparaison entre les missions

Ho : Homogénéité des missions. En d'autres termes : Pour un même paramètre, existe-t-il lors de chaque mission un schéma spatial (dispersion des valeurs du paramètre) similaire à celui de la période d'étude toute entière ?

¹⁸ Distribuées selon une loi de Gauss, dite « normale »

¹⁹ Homoscédasticité : qui a une dispersion identique. (i.e. les variances sur les erreurs pour chaque collecte de données doivent être identiques)

6.3.1.1.1 En baie de Prony

L'analyse des variances des 4 paramètres suivis pour les différentes campagnes (cf. tableau 120) pour les 3 stations de la baie de Prony, montre une **homogénéité** des missions pour la densité et la biomasse et une **hétérogénéité** pour les 2 biodiversités.

Tableau 120 : Analyse de la Variance temporelle des paramètres ichthyologiques (densité, biomasse, biodiversités) en baie de Prony

ANOVA	k1	k2	F _{0,95}	F _{0,975}	F _{obs.}			
					Densité	Biomasse	Biodiversité 1	Biodiversité 3
Prony	24	50	1,74	1,95	1,69	1,41	3,18	4,33

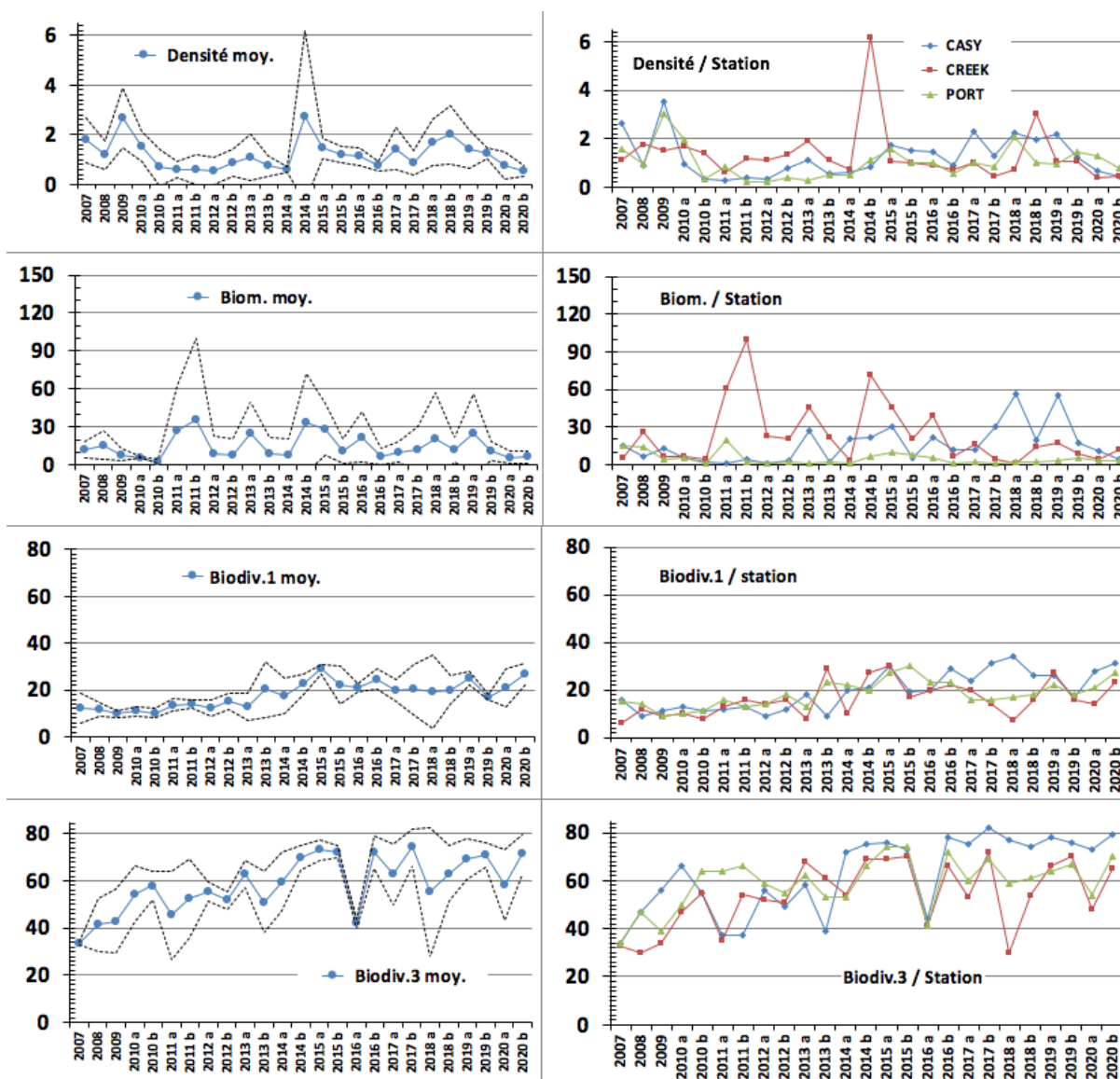


Figure 101 : Evolution de la moyenne des paramètres ichthyologiques depuis 2007, par campagne et station (baie de Prony)

6.3.1.1.2 Dans le canal de la Havannah / Woodin

L'analyse des variances des 4 paramètres suivis pour les différentes campagnes (cf. tableau 121) pour les 9

stations du canal de la Havannah / Woodin, montre une **hétérogénéité** des missions pour tous, avec le paramètre de densité qui est à la limite d'être acceptée (F97.5%).

Tableau 121 : Analyse de la Variance temporelle des paramètres ichthyologiques (densité, biomasse, biodiversités) dans le canal de la Havannah / Woodin

ANOVA	k1	k2	F _{0,95}	F _{0,975}	F _{obs.}			
					Densité	Biomasse	Biodiversité 1	Biodiversité 3
Havannah	24	200	1,48	1,73	1,71	2,09	3,67	5,62

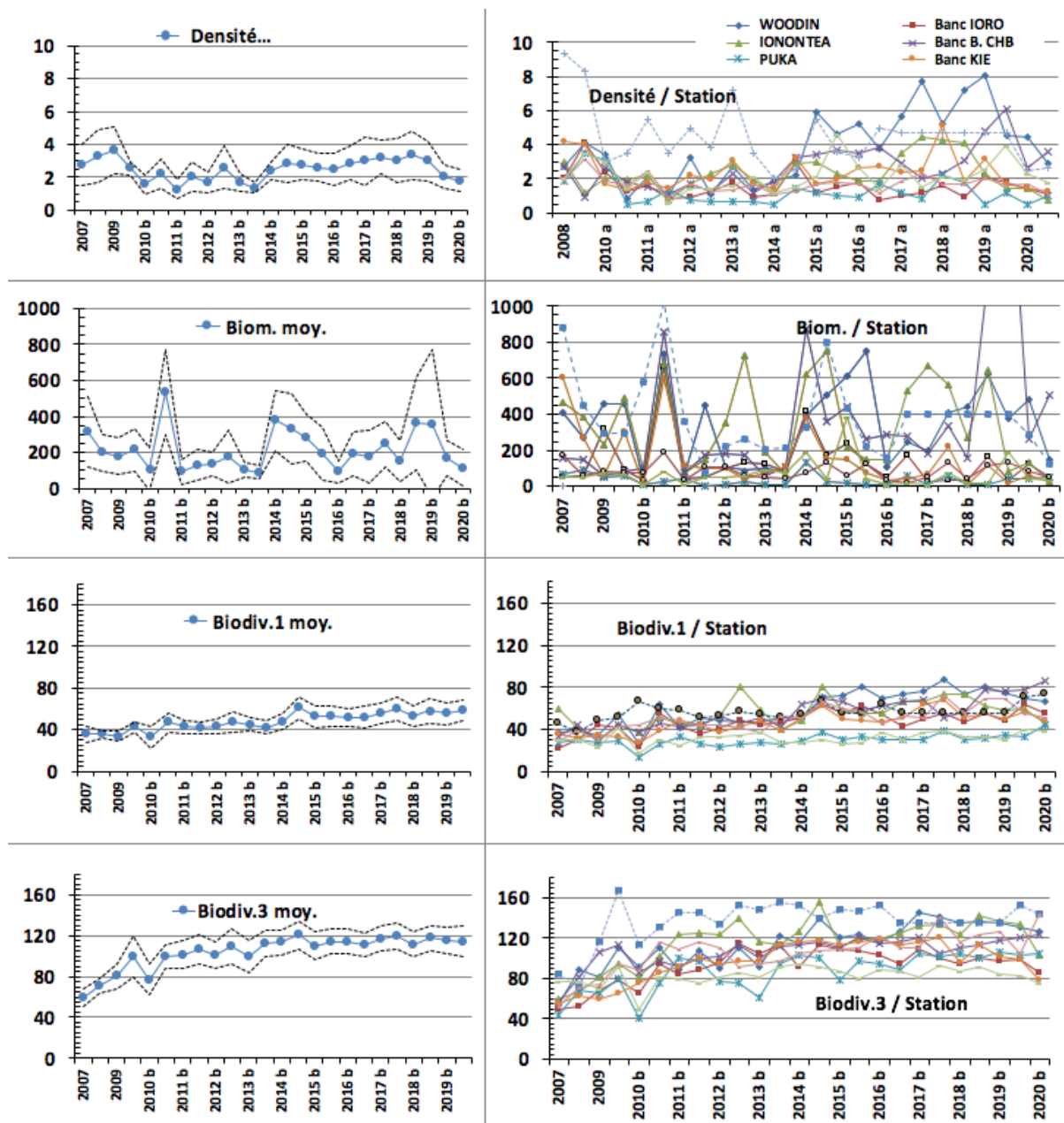


Figure 102 : Evolution de la moyenne des paramètres ichthyologiques depuis 2007, par campagne et station (canal de la Havannah / Woodin)

Tableau 122 : Densités moyennes ichtyologiques (ind./m²) par campagne et station

	ST01	ST02	ST03	ST04	ST05	ST06	ST07	ST08	ST09	ST10	ST11	ST12
	Casy	Baie nord	Port	Woodin	Ioro	Ionontea	B. Chamb.	Puka	B. Kié	I. Kié	Toémo	Ugo
2007	2,63	1,12	1,59	5,45	0,73	2,45	1,78	2,32	4,13	5,57	1,64	2,08
2008	0,87	1,76	0,92	2,71	2,02	2,99	2,73	1,84	4,21	9,37	1,90	2,08
2009	3,50	1,49	3,03	4,07	4,09	1,17	0,91	3,50	4,01	8,30	3,12	3,49
2010 a	0,93	1,68	1,95	3,38	2,37	2,05	2,66	3,05	1,66	2,94	1,86	3,01
2010 b	0,33	1,41	0,31	0,84	1,23	1,91	1,79	0,46	1,35	3,46	1,59	1,44
2011 a	0,30	0,61	0,86	2,11	1,56	2,23	1,62	0,68	1,81	5,47	2,50	2,36
2011 b	0,36	1,18	0,22	0,95	0,81	0,75	1,05	1,30	1,42	3,48	0,90	0,60
2012 a	0,33	1,10	0,24	3,20	0,87	1,64	1,70	0,70	2,18	4,93	1,70	1,40
2012 b	0,78	1,36	0,41	1,09	1,22	2,25	1,24	0,63	1,96	3,85	1,27	1,46
2013 a	1,09	1,91	0,28	2,71	1,80	2,80	2,26	0,68	3,04	7,23	1,35	1,60
2013 b	0,56	1,14	0,51	1,32	0,94	1,98	1,18	0,64	1,71	3,00	1,64	2,13
2014 a	0,60	0,71	0,52	1,86	1,12	1,19	1,82	0,47	1,44	2,01	1,08	1,13
2014 b	0,85	6,17	1,12	2,21	3,00	2,87	3,21	1,40	3,20	2,56	1,27	1,54
2015 a	1,75	1,06	1,58	5,90	1,19	3,00	3,37	1,17	1,65	5,44	1,64	2,15
2015 b	1,50	1,03	0,99	4,64	1,53	2,27	3,65	0,99	1,95	3,61	1,78	4,65
2016 a	1,47	0,89	1,02	5,18	1,80	1,89	3,51	0,94	2,64	3,24	1,67	2,59
2016 b	0,91	0,74	0,57	3,56	0,72	1,89	3,81	1,68	2,75	4,95	1,20	1,44
2017 a	2,27	0,98	1,00	5,65	0,96	3,48	2,91	1,15	2,35	4,70	1,84	2,82
2017 b	1,28	0,43	0,82	7,68	1,20	4,47	2,00	0,78	2,42	4,70	2,26	1,50
2018 a	2,25	0,74	2,07	5,20	1,58	4,23	2,27	2,16	5,09	4,70	1,68	2,15
2018 b	1,98	3,03	0,99	7,21	0,93	4,11	3,08	1,79	1,88	4,70	1,66	1,94
2019 a	2,16	1,07	0,97	8,07	2,12	2,28	4,79	0,47	3,18	4,70	2,00	2,54
2019 b	1,23	1,06	1,43	4,56	1,76	1,43	6,07	1,14	1,69	4,70	1,59	3,96
2020 a	0,66	0,37	1,28	4,43	1,46	1,44	2,65	0,45	1,42	2,42	1,69	2,29
2020 b	0,47	0,42	0,76	2,91	1,11	0,77	3,56	0,96	1,22	2,66	1,09	1,79
Moyenne	1,24	1,34	1,02	3,88	1,52	2,30	2,62	1,25	2,41	4,51	1,68	2,17
Int. de Conf.(±)	0,33	0,46	0,26	0,83	0,31	0,40	0,49	0,32	0,42	0,71	0,19	0,36
Variance	0,70	1,33	0,43	4,34	0,59	1,02	1,49	0,66	1,10	3,19	0,22	0,82

Pour tous ces tableaux, les données en italique sont des données estimées à partir de moyennes

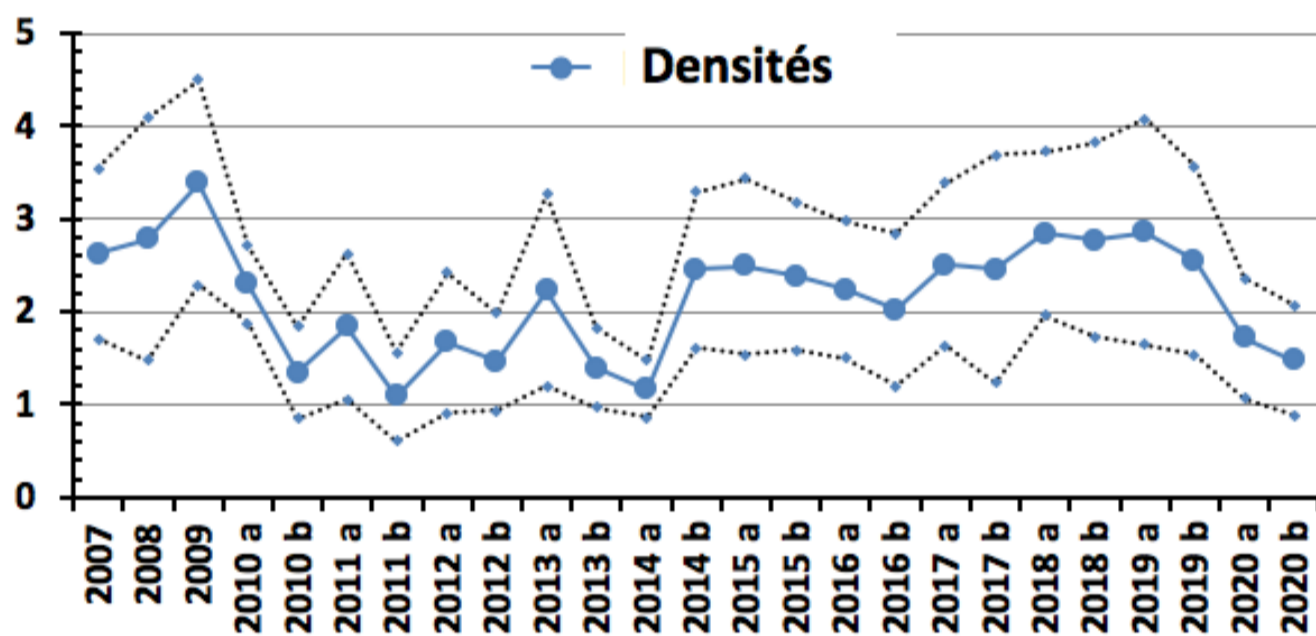


Figure 103 : Synopsis des valeurs moyennes de Densités ichtyologiques depuis 2007

Tableau 123 : Biomasses ichtyologiques (g/m²) moyennes par campagne et station

	ST01	ST02	ST03	ST04	ST05	ST06	ST07	ST08	ST09	ST10	ST11	ST12
	Casy	Baie nord	Port	Woodin	Ioro	Ionontea	B. Chamb.	Puka	B. Kié	I. Kié	Toémo	Ugo
2007	14,9	5,5	14,7	408,3	47,7	1322,4	155,2	67,4	607,7	881,8	174,5	74,7
2008	6,7	26,1	14,1	267,8	58,0	385,7	146,8	87,5	273,9	452,0	61,9	74,7
2009	13,1	6,7	4,6	456,3	316,0	226,5	57,4	53,2	62,7	291,1	79,6	73,0
2010 a	5,8	6,7	5,1	460,9	93,8	487,8	85,0	57,6	303,4	298,4	75,4	63,6
2010 b	2,3	4,2	1,3	38,6	37,9	93,0	103,5	11,7	10,6	576,5	75,1	13,9
2011 a	1,0	61,0	19,1	730,7	661,5	687,7	855,0	28,3	593,1	1014,9	188,4	79,9
2011 b	4,0	100,2	1,5	65,4	41,0	76,9	71,3	39,8	118,9	357,3	38,6	14,1
2012 a	0,8	23,2	0,8	446,9	51,1	151,8	175,8	4,9	96,3	73,3	110,9	52,1
2012 b	2,7	20,1	1,6	105,5	99,7	353,1	179,2	7,0	99,5	220,1	108,1	49,3
2013 a	26,8	45,1	1,1	87,5	130,4	730,0	175,1	27,3	40,6	259,1	60,5	57,9
2013 b	2,4	21,2	2,5	97,5	125,5	191,6	62,1	12,9	79,1	207,0	52,1	94,6
2014 a	20,2	3,6	0,6	85,6	83,8	68,6	110,6	9,3	108,7	213,6	45,0	71,9
2014 b	21,6	71,5	6,2	392,3	416,0	622,2	874,0	135,2	376,6	325,0	74,0	189,2
2015 a	30,4	45,1	9,6	510,2	173,9	750,0	358,9	27,6	158,3	795,2	134,5	46,4
2015 b	5,2	20,7	7,5	609,7	240,8	210,7	439,4	20,4	149,2	435,3	57,2	382,9
2016 a	21,8	39,3	5,2	747,4	126,8	150,7	260,2	12,4	75,4	219,1	121,8	42,4
2016 b	12,1	6,6	1,1	108,0	52,5	150,7	283,5	10,1	31,3	155,8	31,5	7,0
2017 a	12,0	15,7	2,0	250,0	169,6	527,3	274,6	56,9	39,6	399,0	19,5	20,2
2017 b	29,9	4,3	1,3	196,0	24,0	667,0	181,0	10,0	64,0	399,0	51,0	11,0
2018 a	12,0	15,7	2,0	405,1	36,6	567,1	255,2	56,6	218,0	399,0	129,7	75,4
2018 b	19,2	14,1	2,6	438,1	31,1	269,2	152,9	30	13,76	399,0	40,1	15,3
2019 a	55,2	16,9	3,4	616,7	167,5	645,4	1163,7	12,2	117,8	399,0	116,9	16,7
2019 b	17,7	8,3	5,3	372,7	32,5	80,1	1960,1	42,73	20,0	399,0	134,1	186,9
2020 a	10,4	4,4	2,8	479,9	123,3	136,2	260,7	38,9	55,0	284,8	86,9	38,8
2020 b	3,9	11,28	3,36	147,1	46,8	29,83	505,87	51,1	26,54	120,83	49,52	38,28
Moyenne	14,08	23,90	4,87	340,97	135,51	383,26	365,88	36,44	149,60	383,01	84,67	71,61
Int. de Conf.(±)	5,00	9,70	1,97	86,10	58,11	124,44	173,52	12,11	65,98	90,86	17,85	31,91
Variance	156	588	24	46331	21104	96788	188190	916	27204	51602	1992	6366

Pour tous ces tableaux, les données en italique sont des données estimées à partir de moyennes

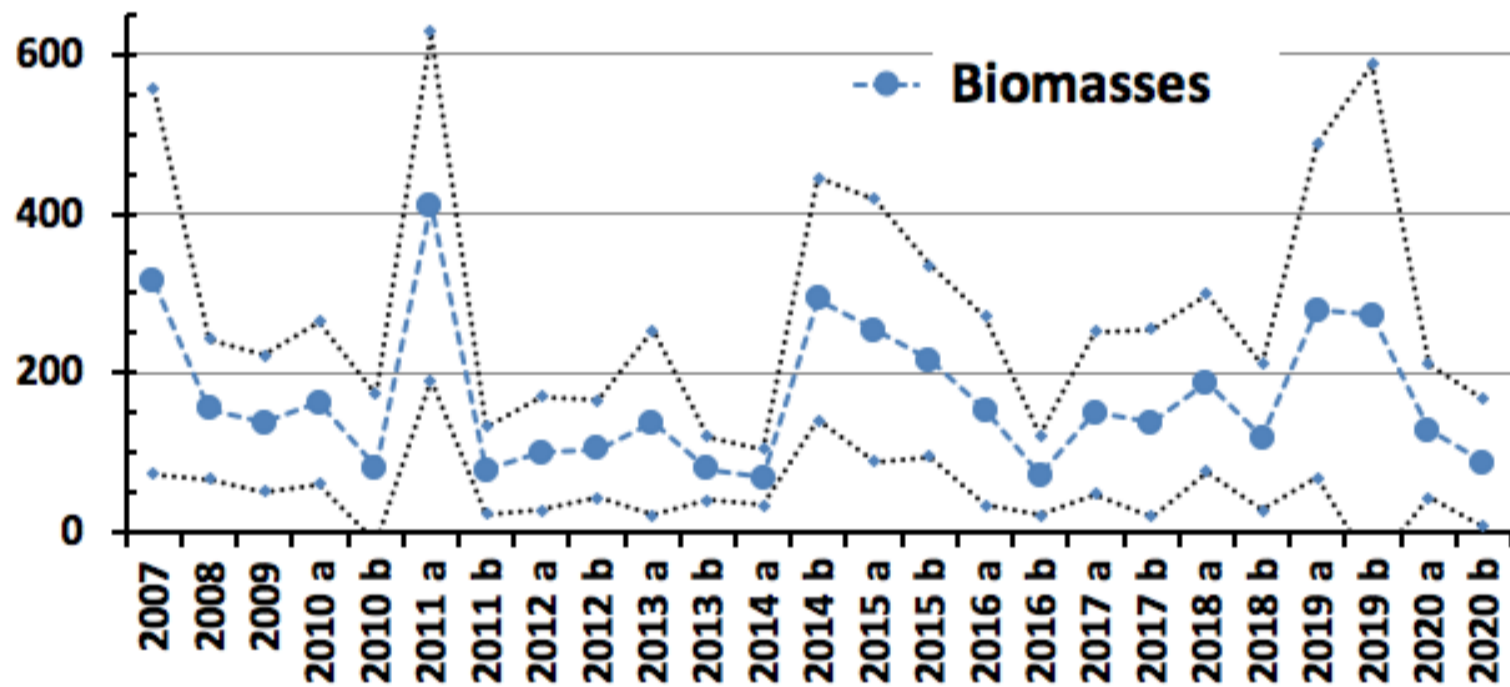


Figure 104 : Synopsis des valeurs moyennes de Biomasses ichtyologiques depuis 2007

Tableau 124 : Biodiversités 1 ichtyologiques par campagne et station

	ST01	ST02	ST03	ST04	ST05	ST06	ST07	ST08	ST09	ST10	ST11	ST12
	Casy	Baie nord	Port	Woodin	Ioro	Ionontea	B. Chamb.	Puka	B. Kié	I. Kié	Toémo	Ugo
2007	16	6	15	37	22	45	33	28	36	46	29	31
2008	9	12	14	39	30	41	44	30	32	37	39	31
2009	11	9	9	35	44	31	29	28	35	49	31	23
2010 a	13	10	10	54	42	44	45	29	34	52	43	41
2010 b	11	8	11	26	24	37	38	14	28	67	44	18
2011 a	12	13	16	64	56	51	46	26	39	59	51	30
2011 b	13	16	13	42	43	46	43	33	48	58	48	25
2012 a	9	14	14	51	36	44	44	27	45	52	45	34
2012 b	12	16	18	48	41	53	53	23	37	53	44	34
2013 a	18	8	13	47	48	80	46	26	43	57	42	35
2013 b	9	29	23	47	44	58	52	28	48	54	37	37
2014 a	20	10	22	52	47	40	43	26	39	51	53	28
2014 b	21	27	20	50	51	49	64	29	52	54	51	28
2015 a	30	30	27	71	64	80	70	38	62	67	67	30
2015 b	19	17	30	72	56	58	66	31	50	55	59	26
2016 a	20	20	23	80	62	55	58	33	49	55	57	28
2016 b	29	22	23	70	54	55	62	30	47	64	46	37
2017 a	24	20	16	73	43	66	66	31	52	55	53	31
2017 b	31	14	16	77	50	66	68	31	64	55	51	38
2018 a	34	7	17	88	56	73	51	39	68	55	72	39
2018 b	26	16	18	74	47	74	57	80	51	55	56	33
2019 a	26	27	22	80	55	63	78	32	55	55	70	34
2019 b	17	16	18	75	48	58	76	35	50	55	70	30
2020 a	28	14	21	70	64	59	78	34	57	71	56	40
2020 b	31	23	27	67	55	46	86	45	49	73	52	39
Moyenne	19,56	16,16	18,24	59,56	47,28	54,88	55,84	32,24	46,80	56,16	50,64	32,00
Int. de Conf.(±)	3,21	2,82	2,19	6,75	4,41	5,27	6,05	4,61	4,07	3,08	4,55	2,27
Variance	65	50	30	284	122	174	229	133	103	59	130	32

Pour tous ces tableaux, les données en italique sont des données estimées à partir de moyennes

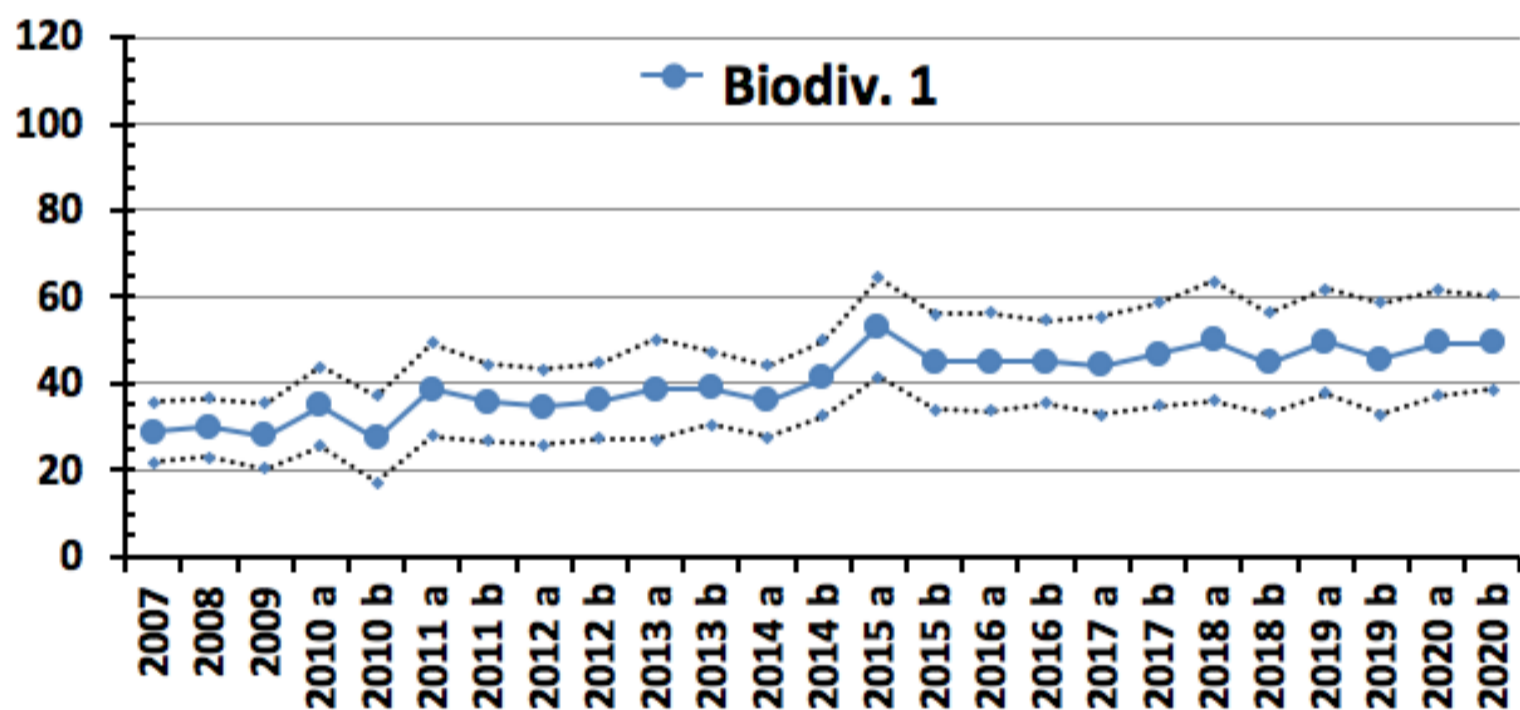


Figure 105 : Synopsis des valeurs moyennes de Biodiversités 1 ichtyologiques depuis 2007

Tableau 125 : Biodiversités 3 ichtyologiques par campagne et station

	ST01	ST02	ST03	ST04	ST05	ST06	ST07	ST08	ST09	ST10	ST11	ST12
	Casy	Baie nord	Port	Woodin	Ioro	Ionontea	B. Chamb.	Puka	B. Kié	I. Kié	Toémo	Ugo
2007	34	33	34	54	50	60	56	44	55	84	53	83
2008	47	30	47	89	52	67	82	68	62	71	71	83
2009	56	34	39	81	69	81	106	66	60	116	74	70
2010 a	66	47	50	110	79	94	113	80	66	167	95	92
2010 b	55	55	64	92	66	81	86	41	75	113	88	50
2011 a	37	35	64	111	94	102	97	76	86	131	116	81
2011 b	37	54	66	88	84	124	91	101	91	145	109	80
2012 a	56	52	59	108	88	125	100	98	100	146	116	75
2012 b	49	51	55	90	96	123	102	77	95	134	110	81
2013 a	58	68	62	110	115	140	114	76	98	153	92	86
2013 b	39	61	53	92	104	117	101	61	98	148	94	82
2014 a	72	54	53	122	114	113	112	95	113	155	98	91
2014 b	75	69	66	115	91	126	114	103	117	152	105	94
2015 a	76	69	74	140	113	156	116	101	118	139	107	91
2015 b	73	70	74	120	109	112	111	79	113	149	109	87
2016 a	44	41	41	124	108	119	120	98	117	147	111	80
2016 b	78	66	72	116	103	119	115	94	119	152	122	89
2017 a	75	53	60	126	94	125	117	88	114	135	111	87
2017 b	82	72	69	145	109	132	121	104	116	135	110	82
2018 a	77	30	59	141	100	134	104	102	121	135	141	93
2018 b	74	54	61	135	94	123	110	105	96	135	117	87
2019 a	78	66	64	137	101	143	113	101	114	135	124	91
2019 b	76	70	67	135	97	136	118	106	102	135	127	84
2020 a	73	47	53	131	99	134	120	103	99	153	103	82
2020 b	79	65	70	126	86	103	123	104	78	144	144	76
Moyenne	62,64	53,96	59,08	113,5	92,60	115,6	106,5	86,84	96,92	136,4	105,9	83,12
Int. de Conf.(±)	6,36	5,63	4,30	9,01	7,14	9,49	6,06	7,68	8,21	8,56	8,17	3,64
Variance	253	198	116	507	319	563	230	368	422	458	418	83

Pour tous ces tableaux, les données en italique sont des données estimées à partir de moyennes

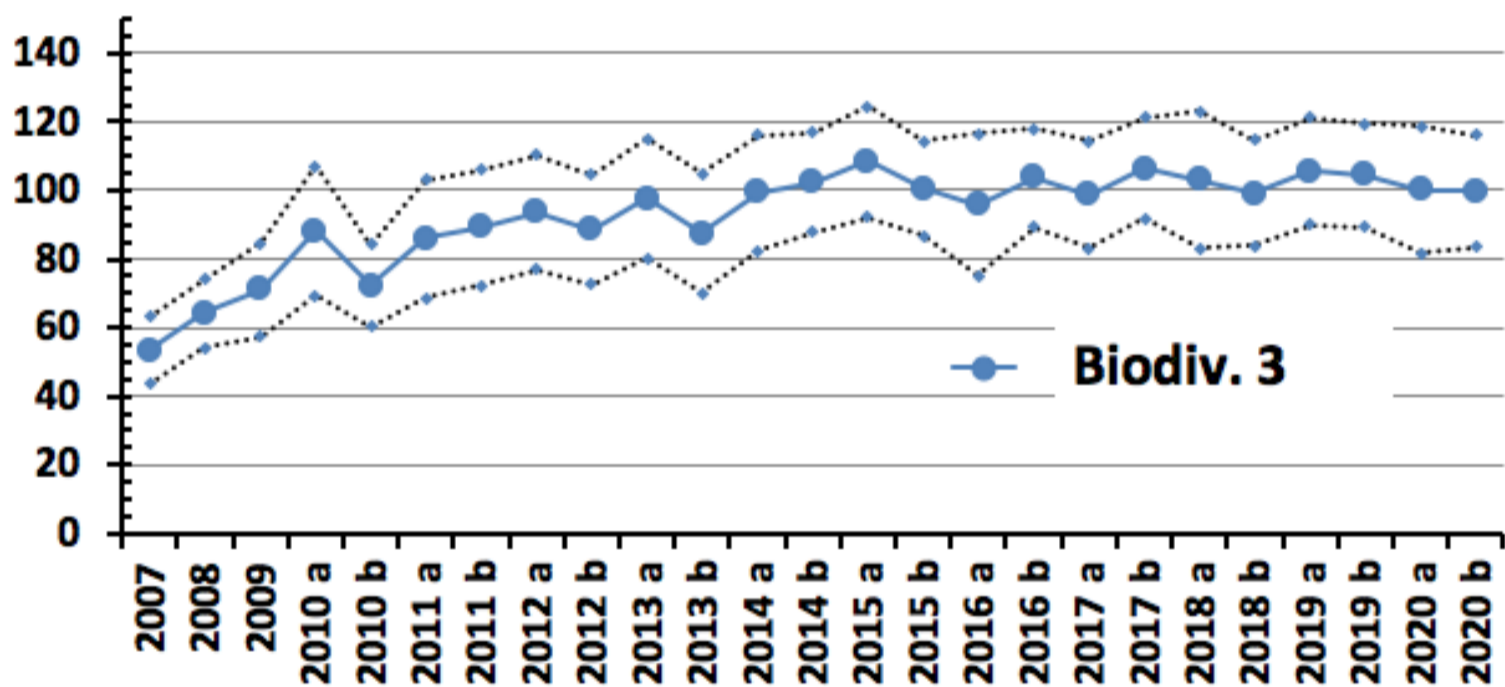


Figure 106 : Synopsis des valeurs moyennes de Biodiversités 3 ichtyologiques depuis 2007

6.3.1.2 Variance spatiale : comparaison entre les stations

Ho : Homogénéité des stations. En d'autres termes : Pour un même paramètre, existe-t-il lors d'une mission un schéma temporel (dispersion des valeurs du paramètre) similaire entre toutes les stations ?

6.3.1.2.1 En baie de Prony

L'analyse des variances des 4 paramètres (cf. tableau 126) pour les 3 stations de la baie de Prony, montre une **homogénéité** des stations pour les 2 biodiversités et la densité et une **hétérogénéité** pour la biomasse.

Tableau 126 : Analyse de la Variance spatiale des paramètres ichthyologiques (densité, biomasse, biodiversités) en baie de Prony

ANOVA	k1	k2	F _{0,95}	F _{0,975}	F _{obs.}			
					Densité	Biomasse	Biodiversité 1	Biodiversité 3
Prony	2	72	3,14	3,90	1,12	7,80	1,70	2,32

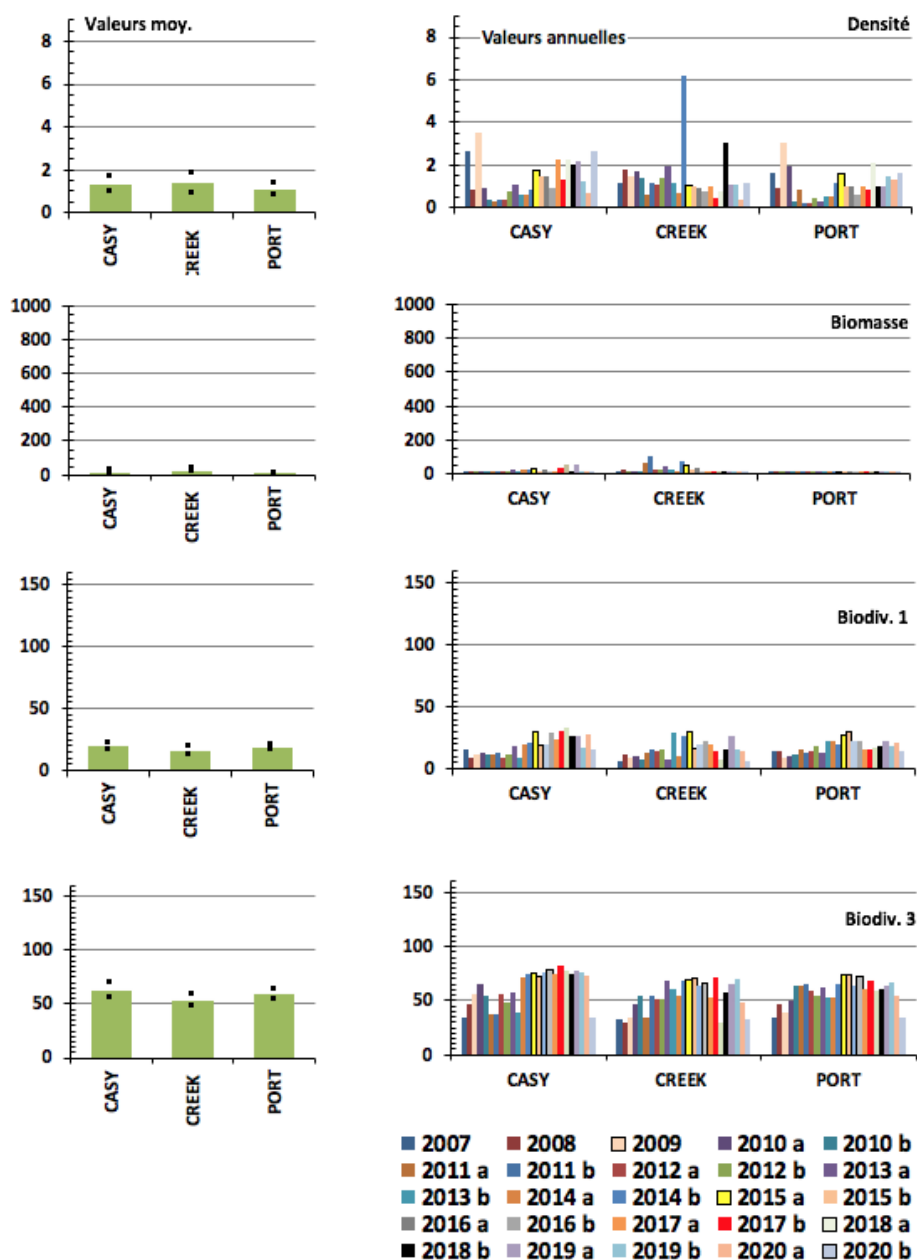


Figure 107 : Evolution de la moyenne des paramètres ichthyologiques depuis 2007, par station et campagne (baie de Prony)

6.3.1.2.2 Dans le canal de la Havannah / Woodin

L'analyse des variances des 4 paramètres (cf. tableau 127) pour les 9 stations du canal de la Havannah / Woodin, montre une **hétérogénéité** des stations pour tous.

Tableau 127 : Analyse de la Variance spatiale des paramètres ichtyologiques (densité, biomasse, biodiversités) dans le canal de la Havannah / Woodin

ANOVA	k1	k2	F _{0,95}	F _{0,975}	F _{obs.}			
					Densité	Biomasse	Biodiversité 1	Biodiversité 3
Havannah	8	231	1,98	2,26	19,69	11,66	18,90	18,43

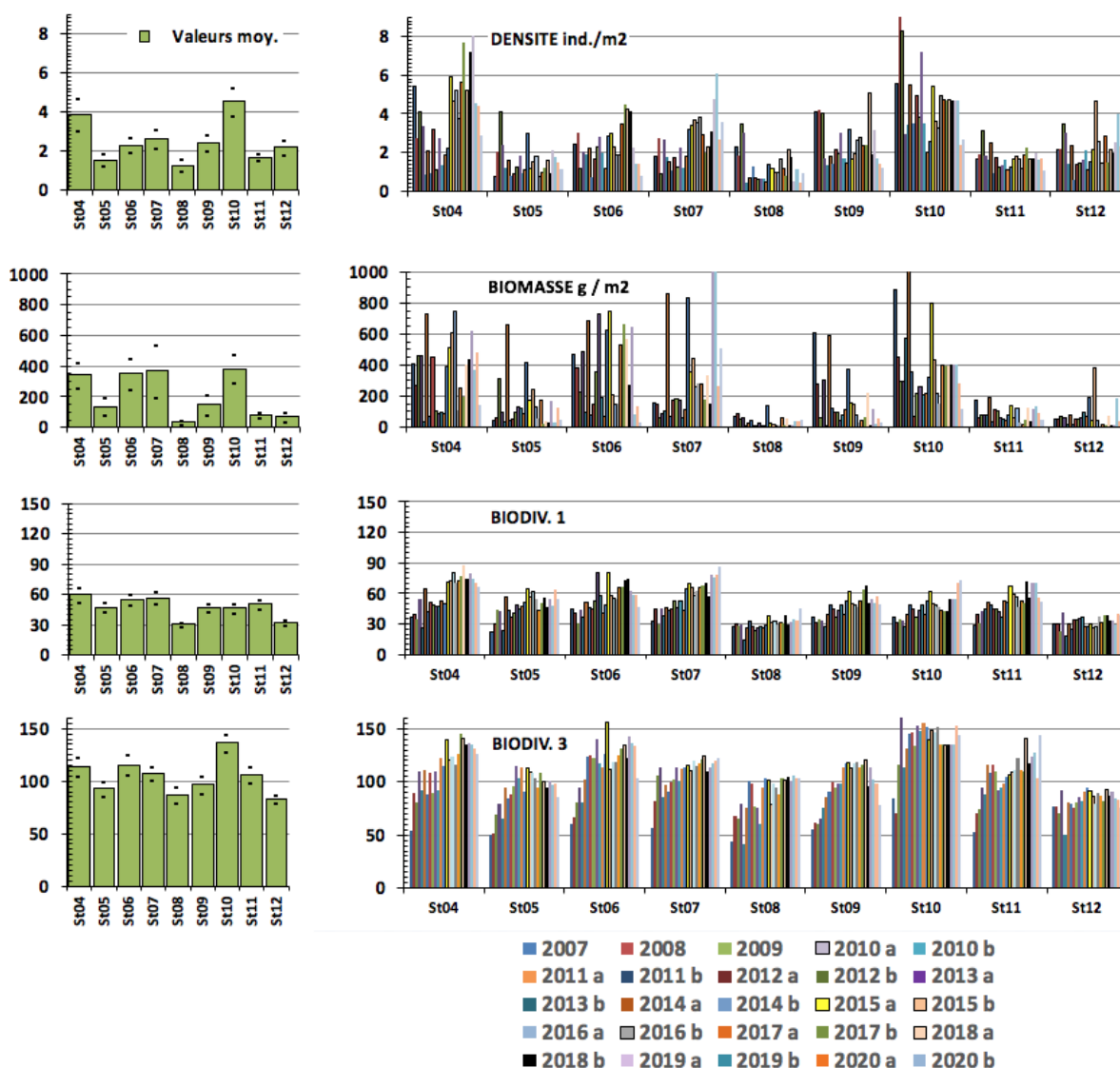


Figure 108 : Evolution de la moyenne des paramètres ichtyologiques depuis 2007, par station et campagne (canal de la Havannah / Woodin)

Les graphiques synoptiques de la figure 101 à la figure 108 montrent les variations temporelles entre missions au cours de la période du suivi et spatiales entre stations au cours d'une même mission.

La figure 107 et la figure 108 ont les mêmes normes aux ordonnées des graphes d'un même paramètre, si bien que cette présentation permet aussi par comparaison de visualiser l'écart considérable qui existe entre les valeurs obtenues dans la baie de Prony et celles obtenues dans le canal de la Havannah.

6.3.1.3 Les structures de peuplement – Présence / absence des espèces

Dans la perspective de futurs amendements au protocole de suivi, nous avons montré dans le rapport de septembre 2017 [R25], puis dans celui de mai 2018 [R26], d'une part la très grande variabilité des paramètres de densité et de biomasse et d'autre part la plasticité de la biodiversité ichthyologique par l'analyse qualitative des biodiversités 1 et 3.

Il s'agissait des commentaires n°1 à 3 du § 6.3.1.3.

Nous reprenons encore dans ce dernier rapport ces mêmes thèmes, pour insister sur l'aptitude médiocre des paramètres de densité et de biomasse à répondre aux questions que l'on se pose sur l'implication des activités humaines dans les changements observés.

Depuis le rapport de mai 2018 [R26], la présentation des structures dans les fiches-stations a été changée et les résultats sont repris dans le [tableau 128](#). Il présente donc de manière synoptique les données de structures des peuplements observés. C'est la synthèse des résultats des tests sur les structures de peuplement à chaque mission relativement à la moyenne historique.

Tableau 128 : Valeur des écarts (quadratiques moyens) des structures de peuplement par rapport à la structure moyenne (depuis 2007)

	Casy	B. nord	Port	Woodin	Ioro	Ionont.	B. Chamb.	Puka	B. Kié	I. Kié	Toémo	Ugo
$\chi^2_{tab95\%}$	16,9	18,3	18,3	19,7	19,7	19,7	19,7	18,3	19,7	19,7	18,3	19,7
2007	24,6	16,6	53,1	23,9	28,8	13,3	26,7	23,2	28,0	20,5	13,4	
2008	30,5	37,5	16,6	70,7	18,6	21,1	24,0	59,0	24,1	29,3	23,3	
2009	61,7	25,6	25,2	38,6	30,0	46,2	28,4	16,0	18,0	23,2	28,5	38,5
2010a	35,5	14,2	51,3	20,3	13,3	16,0	24,2	4,2	44,4	34,8	7,6	154,2
2010b	16,6	12,1	42,3	60,5	25,8	73,2	19,7	26,8	19,9	48,9	13,0	173,0
2011a	43,7	28,3	28,4	68,0	18,0	92,2	34,2	27,9	69,0	17,5	14,0	56,2
2011b	25,0	19,8	7,7	23,9	50,5	15,2	24,8	33,2	42,1	10,2	17,0	52,8
2012a	24,9	20,2	18,6	15,3	14,4	35,3	30,9	10,2	20,9	33,6	10,3	71,8
2012b	18,4	35,2	9,8	19,2	15,9	28,8	94,5	13,2	22,8	17,8	12,4	82,1
2013a	19,8	14,3	26,6	34,6	22,9	37,3	28,8	32,9	34,8	29,8	19,9	111,1
2013b	31,3	30,9	78,6	25,8	41,5	19,4	11,8	28,9	14,3	34,3	34,6	54,3
2014 a	25,0	14,7	29,8	23,9	36,0	14,5	29,7	55,7	10,4	15,7	117,7	58,2
2014 b	13,8	18,4	18,2	13,7	20,2	38,2	27,3	14,8	13,6	25,3	7,0	57,3
2015 a	21,1	32,6	13,6	37,0	35,1	4,2	19,6	27,1	32,9	16,8	19,0	44,9
2015 b	14,4	43,3	14,5	52,5	19,9	44,9	35,6	46,6	9,9	11,0	11,0	104,3
2016 a	23,8	31,4	5,0	10,3	20,9	30,2	49,8	12,1	125,3	17,4	17,9	52,9
2016 b	25,8	54,3	8,9	8,2	58,8	30,2	21,6	12,8	21,7	33,1	26,7	45,4
2017 a	29,0	60,5	12,9	20,4	17,5	16,9	29,9	31,8	18,0		17,4	35,1
2017 b	26,2	23,9	15,3	5,8	33,2	23,3	14,7	27,4	22,8		130,9	34,3
2018 a	19,3	31,8	65,2	11,0	21,0	50,0		29,6	18,0		237,7	24,5
2018 b	42,0	29,4	19,9	12,3	28,1	42,4	43,8	31,4	18,1		103,8	17,1
2019 a	24,3	27,9	95,8	13,1	4,8	33,3	27,7	22,8	115,8		552,0	18,9
2019 b	15,8	31,9	31,2	10,3	29,7	27,2	15,7	21,8	26,3		371,3	50,2
2020 a	10,1	22,2	15,9	7,1	24,5	70,1	21,0	54,9	14,1	30,7	77,4	13,3
2020 b	8,9	20,7	14,3	4,9	10,7	28,4	18,2	24,3	17,3	34,8	112,9	13,4

Les cases rouges (196) correspondent aux structures de peuplements qui diffèrent significativement (i.e. au risque de 0,05) de la structure moyenne établie à partir des observations faites sur cette station depuis 2007.

A l'inverse, les cases vertes (95) présentent des écarts significativement proches de la valeur moyenne.

Et les cases blanches (9), celles pour lesquelles nous n'avons pas de donnée.

Une image globale de ce tableau est donnée par la [figure 109](#). L'indice présenté est calculé à partir du *coefficient*

de variation des distances de khi2 obtenues à chacune des stations. Cet indice de variabilité²⁰ permet d'exagérer les contrastes pour rendre plus visibles les différences « d'instabilité des peuplements » entre les différentes stations. L'état de stabilité est représenté par la partie verte.

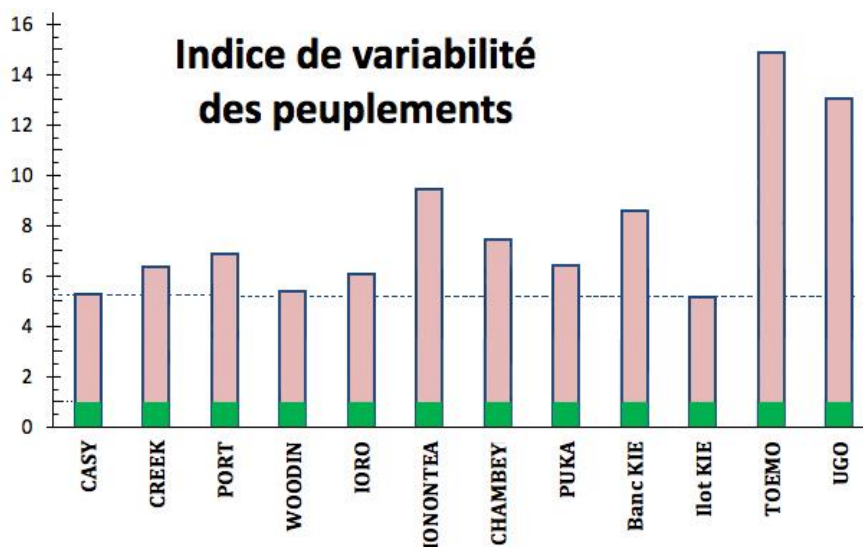


Figure 109 : Représentation de la variabilité des peuplements ichthyologiques des stations

La station de l'îlot Kié (en réserve intégrale) présente, avec la station Casy (en réserve), le peuplement le moins variable, auxquelles suit de très près la station de Woodin (protégée par son inaccessibilité).

Les stations des trois bancs (Ionontea, Chambeyron et Kié) forment un groupe très « variable ». La cause est l'hydrodynamisme bien que le moment où sont faites nos observations minore ce caractère par le fait que pour des raisons de sécurité, nous ne plongeons sur ces stations qu'à l'étape établie de marée basse.

Les stations de Toémo et Ugo sont extrêmement variables. Toémo est soumise à un hydrodynamisme extraordinairement violent. Cette station cumule les courants de marée, les transferts littoraux, les ripp-curent, les mouvements pendulaires des houles, le déferlement des vagues et quotidiennement un mascaret plus ou moins spectaculaire. A ceci s'ajoute la vidange semi-quotidienne du lagon de Goro et le relief en « dents de peigne » (éperon-sillon) classique d'un récif barrière.

Ugo est beaucoup plus calme. Sa variabilité peut sans doute s'expliquer par sa géomorphologie. Une falaise étroite où l'ichtyofaune transite et se renouvelle donc.

En d'autres termes, il n'existe pas de structure type pour une station. De plus, dans le [tableau 128](#), les cases rouges représentent les 2/3 des cas. Il apparaît également que les cases vertes sont aléatoirement disposées ce qui montre que l'ichtyofaune des stations ne présente ni variation unanime lors d'une mission, ni n'est prévisible.

Cette variabilité est une caractéristique de ces peuplements.

En observant plus en détail les listes spécifiques, ces analyses mettent en exergue que seulement 10% des espèces sont stables (résidentes, avec une présence constante) sur une station. Les autres sont nomades sur des territoires plus ou moins vastes et sont présentes ou non lors de notre visite. A l'inverse, près de 30% sont exceptionnellement vues. Cela est sans doute dû aux faits conjugués (1) de la faible fréquence de nos visites, et (2) et de l'immensité du domaine de vie de ces espèces par rapport à la petite taille des stations.

Ainsi, sur une station moyenne imaginaire où nous aurions vu, par exemple, depuis 2007, un total $B\gamma = 280$ espèces, celles-ci se répartiraient typiquement comme dans le [tableau 129](#).

²⁰ $I_{var.} = [10 \cdot \log(CV)] + 1$

Tableau 129 : Fréquence moyenne de l'observation des espèces ichtyologiques

Nb moyen d'espèces vues	B_{y_i} moy.	1 fois	Au plus 3 fois	Au plus 10 fois	Au plus 16 fois	Au plus 23 fois
	280	76	84	90	25	5
Nombre cumulé	-	76	160	250	275	280

Ces remarques argumentent encore sur le fait que la taille des stations est trop petite au regard de la taille des zones d'errances trophiques de la plupart des espèces choisies dans la liste DENV. Par ailleurs, comme nombre d'espèces de poissons passent l'essentiel de leur temps à divaguer pour se nourrir sur des domaines plus vastes que notre zone d'observation, l'augmentation du rythme des visites ne changerait pas grand-chose à l'étude des poissons.

Seule l'augmentation de la taille des stations améliorerait très sensiblement l'intérêt de la surveillance de ce groupe zoologique dans le cadre de ce suivi. Il faudrait au moins la doubler, voire la tripler.

Les données obtenues durant les 14 années de suivi soulignent donc deux éléments majeurs :

1. d'une part, la très grande variabilité naturelle des paramètres de densité et de biomasse
2. d'autre part, la plasticité qualitative de la biodiversité dans un cadre quantitatif stable.

D'une façon générale, et même dans les zones protégées, l'analyse qualitative de la biodiversité 1 et surtout celle de la biodiversité 3, montre qu'un grand nombre d'espèces disparaissent ou à l'inverse, s'installent sur une station d'une mission à l'autre et cela de façon aléatoire.

Si nous soulignons encore dans ce rapport ces thèmes, c'est pour insister encore une fois, sur l'aptitude médiocre des paramètres de densité et de biomasse à répondre aux questions que l'on se pose, c'est-à-dire « l'implication des activités industrielles dans les changements biocœnotiques observés » alors qu'en augmentant la taille des stations le paramètre de biodiversité serait très heuristique et peu biaisé.

6.3.2 Test non paramétrique

L'importance de la variance des paramètres de densité et de biomasse obère l'interprétation des tests, que ce soit au niveau spatial ou temporel. Ces deux paramètres sont donc de médiocres indicateurs pour suivre l'état de l'ichtyofaune. De plus, le paramètre de biodiversité (biodiversité 1), perd aussi de son intérêt puisque ses variations sont restreintes par le cahier des charges qui limite le nombre d'espèces à prendre en compte. Il en perdrait cependant moins si les espèces retenues étaient des espèces indicatrices ou si la restriction se limitait à la famille.

Le problème peut être contourner en établissant un classement des stations, mission après mission et de suivre ou d'interpréter l'instabilité de ce classement.

Ceci, n'est bien sûr, possible que dans la mesure où les valeurs obtenues aux 4 paramètres suivis à chaque station et à chaque mission, soient classables, soit, en termes mathématiques, que les tests d'homogénéité soient rejetés. Pour ce faire le test de rangs de Friedman convient parfaitement.

Nous proposons donc :

- de classer les stations les unes par rapport aux autres, lors de cette mission (cas 1) et de comparer ce classement aux classements faits lors des missions précédentes ;
- de classer les missions les unes par rapport aux autres (cas 2) et de positionner la présente mission dans la série historique. Ceci, bien sûr, dans la mesure où les valeurs obtenues à chaque station et chaque mission soient classables.

Et enfin,

- de donner une note aux stations et une note à cette mission par rapport aux missions précédentes. Ces notes étant construites à l'aide des valeurs des paramètres mesurés (densité, biomasse et biodiversité 1).

Le classement spatial (des stations) et temporel (des missions) est fait par un « Test de Rangs ».

Le but est :

- de classer toutes les stations les unes par rapport aux autres, lors de cette mission ;
- de classer toutes les missions les unes par rapport aux autres.

C'est un test de rangs dérivés de Wilcoxon [R75], qui est utilisé ici : le test de Friedman.

Le **test de Friedman** suppose *a priori* une structure en lignes ou en colonnes des données. Pour le tester on procède au classement des valeurs en colonnes ou en lignes et les sommes faites en lignes ou en colonnes sont testées.

Le choix du test est étayé par le fait qu'il doit respecter le positionnement des valeurs dans les lignes ou les colonnes du tableau. Dans notre problématique celles-ci ne sont pas interchangeables²¹. Le test de Friedman est donc particulièrement adapté.

Le test de Friedman [R45] est un χ^2 adapté aux cas de plusieurs échantillons non-indépendants.

- On peut considérer en effet, que les échantillons « stations » (test sur les lignes des tableaux) ne sont pas indépendants, dans la mesure où ils sont issus d'un dispositif expérimental faisant un choix aléatoire incomplet (i.e. les stations de la Havannah ont été positionnées autour de l'exutoire de l'émissaire et pas de manière indépendante).
- On peut également considérer que les échantillons « missions » (test sur les colonnes de ces mêmes tableaux) ne sont pas indépendants puisque le climat et les facteurs écologiques qui définissent l'environnement s'appliquent sur toute la zone de la même manière.

Ce test, appelé «*test en blocs aléatoires complets*», a pour préalable d'ordonner les résultats des différents traitements à l'intérieur de chaque bloc préétabli. Dans notre cas, nous considérerons :

1. **L'approche spatiale** qui suppose que les « traitements » sont les conditions environnementales de toute nature qui s'appliquent à la zone entre deux missions propres à chaque mission de la série temporelle et que les « blocs » sont les stations visitées chaque mission. Dans ce cas, ce sera une analyse en colonnes. Le classement des années par stations gomme les différences quantitatives entre stations puisque le classement va de 1 à 12, si bien que la somme en colonne correspond à un classement des années. Ce classement sera pertinent si l' H_0 est rejetée. Sinon les différences observées sont fortuites, le tableau est homogène.
2. **L'approche temporelle** prend le tableau dans l'autre sens : les « traitements » sont les stations et les « blocs » sont les années. Le classement des stations par année gomme les différences entre années puisque le classement va de 1 à 25, si bien que la somme en ligne correspond à un classement des stations. Ce classement sera pertinent si l' H_0 est rejetée. Sinon les différences observées sont fortuites.

Ce traitement sera appliqué à chaque paramètre.

Formule du χ^2 de Friedman :

$$\chi^2_{\text{obs}} = \frac{12}{pq(p+1)} \cdot \sum Y_i^2 - 3q(p+1)$$

Où :

Y est la somme des rangs en colonne (1) ou en ligne (2) ;

En (1), p désigne le nombre de stations et q est le nombre de missions ;

En (2), p désigne le nombre de missions et q est le nombre de stations.

L'hypothèse H_0 : « les variations observées entre stations (cas 1) ou entre missions (cas 2) sont fortuites » = « les stations ou les missions sont similaires ».

Tableau 130 : Test de Friedman (analyses spatiales et temporelles) des paramètres ichtyologiques suivis

(A) Toutes STATIONS (ddl = 11)					(B) Toutes MISSIONS depuis 2007 (ddl = 24)				
(12 stations)	Densité	Biomasse	Biodiv. 1	Biodiv. 3	(25 missions)	Densité	Biomasse	Biodiv. 1	Biodiv. 3
χ^2_{obs}	214,3	197,20	226,8	198,7	χ^2_{obs}	123,4	111,9	185,6	155,1
$\chi^2_{\text{tab } 0,95} = 19,7$ $\chi^2_{\text{tab } 0,999} = 21,9$					$\chi^2_{\text{tab } 0,95} = 35,2$ $\chi^2_{\text{tab } 0,999} = 38,1$				

Le degré de liberté (ddl) = p-1 / En bleu les cas où H_0 est acceptée à la P(0,95), en orange H_0 est rejetée

Pour cadrer avec la publication de Friedman [R45], le « traitements » correspondra aux « conditions environnementales » (naturelles ou anthropiques) qui s'appliquent sur la zone marine du sud entre deux

²¹ Dans une ANOVA ou dans un test de Kruskal & Wallis les valeurs à l'intérieur d'une même série peuvent être interchangées sans que cela modifie le résultat du test.

missions et le terme de « blocs » correspondra aux « stations ».

Le tableau 130 montre que l'Ho est rejetée tant spatialement que dans le temps. Ce test vérifie donc que les différences entre stations et entre missions sont significative et donc, par voie de conséquence, les éléments de ces deux ensembles peuvent être classés (tableau 131).

Ce classement des stations diffère peu du classement précédent.

Notons que la station de la réserve Merlet (l'Ilot Kié) qui a réintégré la liste après 3 années sans mesure n'a jamais eu la première place dans ce classement. Ce sont les stations de Woodin et de Basse Chambeyron qui se disputent les deux premières places du podium. Ce point semble montrer que les conditions naturelles (très difficiles) des bancs du canal de la Havannah et de Woodin sont plus protecteurs et attractifs que la protection par voie législative.

Tableau 131 : Classement des stations (A) et des missions (B) (ichtyologie)

Stations	Classement des Stations									
	D	B	Bα1	Note	Rang					
					2018a	2018b	2019a	2019b	2020a	2020b
01 Casy	2	2	3	4,17	9	8	9	11	10	10
02 Creek baie Nord	1	3	1	2,50	12	11	10	12	12	12
03 Port	3	1	2	3,33	11	12	12	10	11	11
04 Woodin	11	11	10	17,50	1	1	1	2	1	2
05 Ioro	7	7	9	13,33	10	9	7	7	4	4
06 Ionontea	4	5	6	8,75	2	3	3	5	6	9
07 B. Chambeyron	12	12	12	20,00	3	4	2	1	1	1
08 Puka	5	9	5	10,00	7	5	11	9	9	7
09 Bancs Kié	8	4	7	10,83	5	7	5	6	7	6
10 Ilot Kié	10	10	11	17,50	3	2	4	3	3	2
11 Toémo	6	8	8	12,50	6	6	6	4	5	5
12 Ugo	9	6	4	9,58	8	10	8	7	7	8
Rappel : Note = (Rang(Densité + Biomasse + 2 * Bα.1)/4)*20/11										

Le rang du classement global est obtenu en faisant la moyenne des rangs de la Densité, de la Biomasse et 2 fois la Biodiversité 1

NB : Les classements des missions précédentes ont été repris en réintroduisant l'Ilot Kié avec les valeurs moyennes utilisées pour les calculs des ANOVAs.

6.3.3 Indice Annuel par Station (IAS) et Indice Global de mission (IGm)

Les cotations des Indices ichthyologiques (cf. la méthodologie au § 3.4.3) obtenues pour la présente mission, avec un rappel des missions précédentes sont présentées : pour les stations tableau 132 et pour les missions tableau 133.

Tableau 132 : Cotation des stations : IAS, depuis 2012 (ichtyologie)

Stations	ST 01	ST 02	ST 03	ST 04	ST 05	ST 06	ST 07	ST 08	ST 09	ST 10	ST 11	ST 12	
Densité.	2	1	3	4	2	2	3	2	2	3	2	3	
Biomasse	1	1	1	4	2	2	3	1	1	3	1	1	
Biod. 1	4	2	3	4	4	4	4	2	3	4	3	3	
IAS	2012a	1,50	3	1,75	3,5	2,5	3,5	3	1,75	3	4	3	2
	2012b	1,75	2,75	2,5	3,5	2,5	3,5	3,25	1,75	3	4	3	1,75
	2013a	3,25	3	2	3	3	3,75	3,25	1,5	3,25	3,75	2,75	2,25
	2013b	1,75	3,5	2,75	3,5	2,75	3	3,75	1,5	2,75	4	2,25	2,5

2014a	3,25	1,25	2,75	2,75	2,75	2,75	3	1,5	2,5	3,5	2,75	1,75
2014b	2,75	3,5	2,5	3,5	4	3,75	4	3	3,75	3,5	2,75	2
2015a	3,75	3,5	3	4	3	4	3,75	2,25	3	4	3	2
2015b	2,5	2,25	2,25	4	3,25	3,5	4	2	3	4	2,75	2,75
2016a	3,5	3,5	3	4	3	3	4	2	3	3,75	3	2
2016b	3	2,25	2,25	3,5	2	3	3,75	2,25	2,5	3,5	2,25	2,25
2017a	3	2,5	2,25	3,75	2,25	4	3,5	2,25	2,5		2,25	2,75
2017b	3,5	1,5	2,25	3,5	2,25	4	3,25	2	3		2,5	2,25
2018a	4	1,25	2,75	4	2,75	4	3,5	2,5	3,75		3	2,5
2018b	3,5	2,5	2,25	4	2	3,75	3,5	2,75	2,25		2,75	1,75
2018a	4	1,25	2,75	4	2,75	4	3,5	2,5	3,75		3	2,5
2019a	4	3	2,25	4	2,75	3,75	4	1,5	3		3,25	2
2019 b	2,75	1,75	2,5	4	2,25	2,75	4	2	2,5		3	2,75
2020 a	2,75	1,50	2,25	4	3	3	3,5	1,75	2,25	3,5	2,25	2,50
2020 b	2,5	2,25	2,75	3,25	2,25	2	3,75	2	2,25	3,25	2	1,75

La plupart des indices ont un peu baissé, mais la stabilité de la biodiversité atténue la baisse.

Tableau 133 : Cotation des missions : IGM, depuis 2007 (ichtyologie)

Missions	Dens.	Biom.	Biodiv	IGM		Missions	Dens.	Biom.	Biodiv	IGM	
2007	3	3	2	2,50	bon	2014 b	3	3	3	3,00	bon
2008	3	2	2	2,25	médiocre	2015 a	3	3	4	3,50	Très bon
2009	3	2	2	2,25	médiocre	2015 b	3	3	3	3,00	bon
2010 a	3	2	3	2,75	bon	2016 a	2	2	4	3,00	bon
2010 b	2	1	2	1,75	médiocre	2016 b	3	2	3	2,75	bon
2011 a	2	4	3	3,00	bon	2017 a	3	2	3	2,75	bon
2011 b	2	1	3	2,25	médiocre	2017 b	3	2	3	2,75	bon
2012 a	2	1	3	2,25	médiocre	2018 a	4	3	4	3,75	Très bon
2012 b	2	2	3	2,50	bon	2018 b	3	2	3	2,75	bon
2013 a	3	2	3	2,75	bon	2019 a	3	3	3	3,00	bon
2013 b	2	3	3	2,75	bon	2019 b	2	3	3	2,75	bon
2014 a	2	1	3	2,25	médiocre	2020 a	2	2	3	2,50	bon
						2020 b	2	1	3	2,25	médiocre

Le peuplement de cette mission présente une note de 2,25 soit à la limite supérieure de la qualification de « médiocre ».

C'est une baisse qui est essentiellement due à la diminution de la biomasse (sans doute conjoncturelle).

La biodiversité est restée comparable à celles observées lors des missions précédentes.

6.3.4 Résumé

6.3.4.1 Synopsis des résultats par station

Le positionnement de chaque station par rapport à la moyenne de la mission du semestre est illustré sur la figure 110.

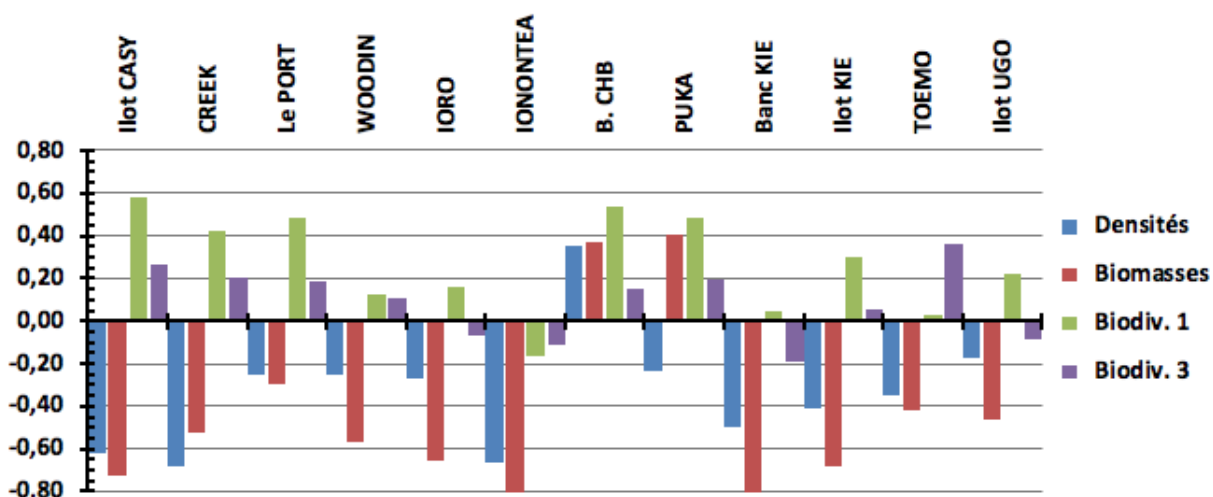


Figure 110 : Positionnement de chaque station par rapport à la moyenne

Pour représenter tous les paramètres sur un même graphique synoptique, chaque valeur est représentée par son écart à la moyenne pondéré par la moyenne.

Les densités sont jusqu'à 5 fois plus fortes dans le canal de la Havannah qu'en baie de Prony. ; et les biomasses jusqu'à 10 fois. Et entre les stations du canal de la Havannah les écarts peuvent être de 1 à 30 et de 1 à 6 pour les stations de la baie de Prony.

6.3.4.2 Synopsis des résultats par mission

Le positionnement de chaque mission par rapport à la moyenne sur la période de suivi est illustré sur la figure 111.

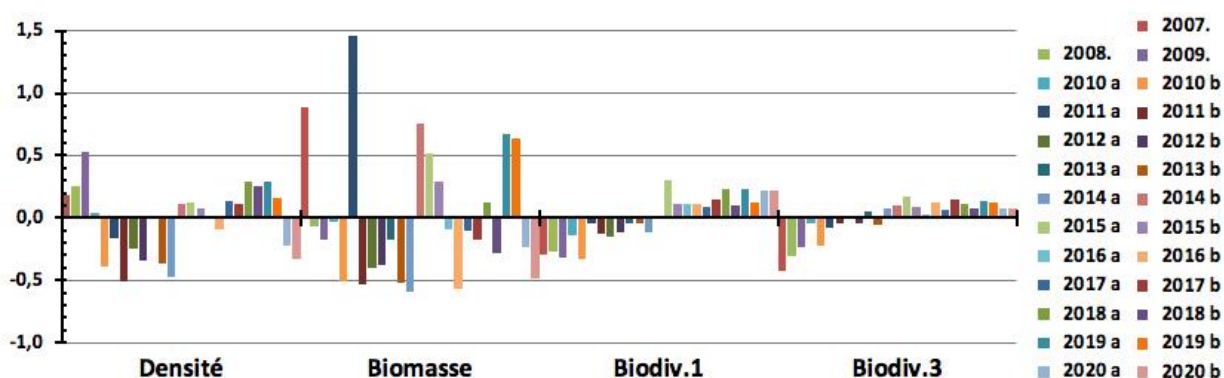


Figure 111 : Positionnement de chaque mission par rapport à la moyenne

Pour représenter tous les paramètres sur un même graphique synoptique, chaque valeur est représentée par son écart à la moyenne pondéré par la moyenne.

- Les biomasses fluctuent énormément : jusqu'à plus de 130 %
- Les densités un peu moins : jusqu'à plus de 50 % ;
- Les biodiversités sont plus stables : moins de 30 % pour la biodiversité 1 (liste DENV) et le plus souvent autour de 10 % pour la biodiversités 3 (toutes espèces).

6.3.4.3 Le peuplement de poissons

Structure

L'examen des listes d'espèces montre que :

- Le peuplement total inventorié depuis 2007 est de 714 espèces
- Sur cet ensemble γ , entre 300 et 330 espèces sont vues à chaque mission (319 pour cette mission)

- L'ubiquité²² spatiale des espèces (entre stations) est faible. Au cours d'une même mission seulement 10% à 15% de ces espèces sont vues sur les différentes stations et un bon tiers n'étaient pas sur la station à la mission précédente
- L'ubiquité temporelle des espèces (entre missions sur une même station) est également faible. Au cours des 25 missions réalisées, moins de 15% des espèces ont été vues plus de 13 fois et 55% ont été vues au plus 3 fois. Et plus de 27%, soit 195, n'ont été vues qu'une seule fois.

Dynamique

Quantitativement, le nombre d'espèces sur une station (B α) change peu d'une mission à l'autre - la variation n'excède 5% qu'exceptionnellement -.

Mais **qualitativement**, les espèces présentes changent : beaucoup d'espèces disparaissent, pour réapparaître une ou plusieurs missions plus tard ou pas et certaines n'ont toujours pas réapparu.

Dans le détail, plus de la moitié sont remplacées ce qui maintient leur nombre stable et laisse croire à la stabilité. En réalité, cette stabilité n'est vraie que pour moins de 13% d'entre elles, soit environ 90 d'espèces.

Les abondances par espèce fluctuent également et se compensent ce qui tamponne en partie les fluctuations réelles. Ces fluctuations n'affectent pas que les espèces rares de familles confidentielles, c'est aussi vrai pour des familles très communes et diversifiées comme les Labridés, les Scaridés, les Acanthuridés, etc., et même les Pomacentridae qui sont si souvent supposés sédentaires. Dans cette famille, c'est aussi vrai pour les espèces non grégaires comme beaucoup de *Pomacentrus*, de *Plectroglyphidodon*, de *Stegastes*, etc. que pour des espèces grégaires comme la plupart des *Chromis* (*C. iomelas*, *C. margaritifer*, *C. viridis*, *C. fumea*, etc.).

Et même au niveau des « Familles » la structure des peuplements change d'une mission à l'autre.

Classement (qualité du peuplement de poissons)

Une appréciation synthétique globale de la qualité du peuplement des poissons peut être donnée par la prise en compte de toutes les stations de la zone dans une cotation comparative à 4 niveaux et douze degrés au total (cf. § 3.4.3).

Ainsi, le peuplement de poissons peut être considéré comme stable depuis 2007 (cf. [tableau 134](#)). Sa note (sur 12) a régulièrement fluctué entre 6 et 9 depuis cette date, avec une exceptionnelle valeur basse de 4 en octobre 2010 et une exceptionnelle valeur haute de 11 en mars 2015 (du fait des stations Casy, Woodin, Toémo et Ionontea) et de 12 en mai 2018.

Selon ce calcul, le peuplement de poissons de octobre 2020 a la note de 6 sur 12 : la qualité du peuplement de poissons dans le réseau de suivi est médiocre (limite haute).

Il est à noter que la station Woodin qui était la plus foisonnante semble réagir à l'invasion d'*Acanthaster planci* subie en 2018. Avec Basse Chambeyron ces deux stations dépassaient en moyenne la station de la réserve Merlet (îlot Kié). Notons aussi que le peuplement en espèces « commerciales » de la station Ionontea semble clairsemé - il faudra surveiller cette station.

Tableau 134 : Qualité du peuplement ichtyologique depuis 2007

2007	7	2011 a	9	2013 b	8	2016 a	9	2018 b	8
2008	6	2011 b	6	2014 a	6	2016 b	8	2019 a	9
2009	6	2012 a	6	2014 b	9	2017 a	8	2019 b	8
2010 a	8	2012 b	7	2015 a	11	2017 b	8	2020 a	7
2010 b	4	2013 a	8	2015 b	9	2018 a	12		

²² L'Ubiquité est la faculté pour une espèce d'être vue en plusieurs endroits lors d'une même mission (ubiquité spatiale) ou d'être retrouvée d'une mission à l'autre (ubiquité temporelle)

7 Synthèse bibliographique

Lors du rapport de la **mission d'octobre 2008** [R02], une synthèse bibliographique avait été réalisée sur ces sujets :

- La biogéographie et les complexes récifaux de la zone
- Les particularités des baies calédoniennes
- Les causes de dégradations de ces récifs
- Le **recrutement et les taux de croissance corallien**
- **Les proliférations de cyanobactéries.**

Lors des différentes missions de « **suivi du Creek baie nord** », plusieurs missions ont été réalisées, et à cette occasion, une synthèse bibliographique a été réalisée sur ces sujets :

Pour la 1^{ère} mission (avril 2009, rapport [R03]) :

- L'acide sulfurique et ses principales caractéristiques
- Les accidents historiques liés à de l'acide sulfurique, avec des simulations de scénarios d'accident et les résultats de l'étude environnementales du « Bahamas »
- Le blanchissement corallien : les zooxanthelles, la physiologie corallienne et les paramètres influant sur le blanchissement.

Puis, pour la 2^{ème} mission (juin 2009, rapport [R04]) :

- Des explications sur deux phénomènes pouvant influencer sur la couverture corallienne, que nous avons observés lors de la mission : les cyanobactéries et les étoiles de mer *Culcita*
- Un relevé des données pluviométriques de la zone.

Et enfin, lors des 3^{ème} et 4^{ème} missions (décembre 2009 et avril 2010, rapports [R06, R08]) :

- Réactualisation des données météorologiques
- Impacts potentiels des conditions météorologiques sur l'état de santé des communautés marines.

Lors des différentes missions de « **suivi de l'état des peuplements récifaux et organismes associés** », les rapports ont présenté à chaque fois une synthèse bibliographique.

En juin 2009 [R05], la synthèse bibliographique avait été réalisée sur ces sujets :

- Les causes de dégradations des récifs de la zone étudiée
- Les proliférations de cyanobactéries
- Les algues et leurs variabilités
- Le recrutement et les taux de croissance coralliens.

En mars-avril 2010 [R07], la synthèse bibliographique avait été réalisée sur ces sujets :

- Pourquoi étudier les biocénoses benthiques
- Les particularités de la baie de Prony
- Le recrutement et les taux de croissance coralliens : Pocilloporidae.

En septembre 2010 [R09] puis en mars 2011 [R11], la synthèse bibliographique avait été réalisée sur ces sujets :

- Le recrutement et les taux de croissance coralliens : exemple des Pocilloporidae sur les transects de la station 01
- Les algues et leurs variabilités depuis 2008
- Les proliférations de cyanobactéries et leurs fluctuations observées depuis 2008.

De la mission d'octobre 2008 à novembre 2016, tous les rapports [R02, R05, R07, R09 à R13, R16, R18 à R23] présentent le point de suivi sur le recrutement et les taux de croissance coralliens : exemple des Pocilloporidae sur le transect A de la station 01 (Casy).

Depuis octobre 2014 [R19 à R30], deux paragraphes sont présents et actualisés à chaque mission :

- Une synthèse des grands événements climatiques qui ont pu marquer la période étudiée (§ 7.1)
- Le contexte réglementaire (§ 7.2).

7.1 Synthèse des événements climatologiques sur la période d'étude

La plupart des informations de ce chapitre sont issues du site de Météo NC [R78].

7.1.1 Les événements météorologiques marquants par année

La Nouvelle-Calédonie est soumise très régulièrement aux assauts de perturbations tropicales. Le [tableau 135](#) indique les principaux phénomènes dépressionnaires qui ont eu une influence sur les paramètres environnementaux dans la zone d'étude depuis 2003 (ils ne sont donc pas tous listés).

Tableau 135 : Principaux phénomènes dépressionnaires touchant la zone d'étude depuis 2003

ANNEE	PERIODE	NOM	CATEGORIE	DEGATS [R78]
2003	13 au 14 mars	Erika	Cyclone	2 morts / Dégâts considérables sur l'ensemble des infrastructures : réseaux électriques et de télécommunications, routes et bâtiments, agriculture, bateaux, etc. / Plus de 3 milliards CFP de dégâts déclarés
2004	27 février	Ivy	Cyclone	Fortes houles (vagues de 7 mètres) sur les côtes des îles Loyauté
2007	25 au 29 mars	Becky	Dépression tropicale forte	Grosse mer et fortes pluies
2009	22 au 26 mars	Jasper	Dépression tropicale forte	
2011	11 au 16 janvier	Vania	Dépression tropicale forte	Fortes précipitations et inondations / Dommages agricoles importants
	14 au 17 janvier	Zélia	Cyclone tropical	
2013	27 décembre 2012 au 4 janvier 2013	Freda	Cyclone tropical	Dégâts essentiellement dus aux pluies diluviennes qui ont provoqué un grand nombre de débordements de rivière avec des coupures de routes et des dégâts aux ouvrages d'art, des glissements de terrains et de nombreuses habitations inondées (par exemple 400 personnes sans abri à Thio)
2015	7 au 16 mars	Pam	Cyclone tropical	Certainement le plus puissant depuis le début des suivis (1970) : vents moyens maximaux estimés à 135 kt (250 km/h) et une pression minimale au centre estimée à 896 hPa au plus bas
2016	9 au 25 février	Winston	Cyclone tropical très intense puis dépression tropicale forte (en NC)	
2017	7 au 14 avril	Cook	Cyclone tropical	1 personne décédée (Kouaoua) / 4 blessés / 23 communes touchées / 1 milliard de XPF de dégâts estimés
	2 au 10 mai	Donna	Cyclone tropical intense puis cyclone tropical (en NC)	Aucune victime à déplorer / 325 habitations détruites (5 à Maré, 50 à Ouvéa et 270 à Lifou)
2018	25 au 30 janvier	Fehi	Dépression tropicale modérée	
	07 au 18 février	Gita	Cyclone tropical très intense	
	03 au 11 mars	Hola	Cyclone tropical intense	
	10 au 15 mars	Linda	Dépression tropicale modérée	
	21 au 30 mars	Iris	Dépression tropicale forte	
	26 au 30 septembre	Liua	Dépression tropicale modérée	<i>A fait annuler la mission ... recalée en novembre (coefficients de marée adéquats)</i>
2019	11 au 23 février	Oma	Cyclone tropical	
2020	12 au 16 mars	Gretel	Dépression tropicale forte	

7.1.1.1 2011

Les évènements dépressionnaires du début d'année 2011 se sont superposés au phénomène climatique « La Niña » (cf. § 7.1.2.3).

C'étaient principalement la dépression tropicale forte **Vania** qui a touché le sud du Territoire le 14 et 15 janvier 2011, puis dans une moindre mesure le cyclone **Zélia**.

Les vents violents ont généré dans le canal de la Havannah, une forte houle, un ressac très important et des courants de marée supérieurs à la normale. Ces agents hydrodynamiques exceptionnels ont entraîné une dégradation mécanique sans conteste sur le sommet des récifs, arasant les biocénoses benthiques les plus fragiles, arrachant des colonies coralliennes et créant des effondrements de blocs et de débris le long des pentes récifales et du blanchissement corallien sur les colonies dégradées et/ou perturbées.

D'autre part, les précipitations induites par les dépressions étaient également bien au dessus des normales saisonnières et très abondantes sur une courte période. Ceci a généré une dessalure importante des eaux de surface à proximité des creeks et des rivières en baie de Prony (milieu par ailleurs très protégé des vents et des agents hydrodynamiques).

7.1.1.2 2013

L'évènement dépressionnaire du début d'année 2013 : le cyclone tropical Freda a touché le Territoire entre le 1 et le 4 **janvier 2013**, impliquant des vents violents et des précipitations très importantes. De plus, le régime des vents est demeuré majoritairement ESE. Ainsi sur certaines parties de la côte, ce régime particulier a ralenti le mélange des eaux douces sur la verticale (issues des pluies et cours d'eau) et a augmenté leur temps de résidence dans le fond de la baie de Prony, d'où une lame d'eau douce plus durable que d'habitude.

Les dégradations mécaniques ont été importantes dans le canal de la Havannah (arrachement, effondrement de débris). La dessalure des eaux de surface couplée aux panaches turbides ont entraîné un blanchissement corallien massif et une mortalité des mollusques et échinodermes sur toute la bordure littorale de la baie de Prony (et ailleurs : [R14]). Cependant, les observations induites par la dessalure des eaux de surface ne sont pas enregistrées pour les stations de ce réseau car les transects sont implantés plus profonds. Seules les perturbations sédimentaires ont été enregistrées.

En juillet 2013 de fortes pluies ont touché le Territoire. En parallèle, des mortalités importantes d'organismes marins (poissons, échinodermes, mollusques) ont été observées dans les baies du Grand Sud (baie Kwé, Port Boisé, Pointe de l'abattoir).

Un rapport a été émis [R49] afin de compiler les différentes sources d'informations et de donner un avis pour expliquer ce phénomène :

« Les conditions météorologiques et pluviométriques observées les 2 et 3 juillet 2013 d'une intensité rare [R61] ont engendrées un déferlement massif d'eaux douces chargées sur l'ensemble des bassins versants de la zone. Cela s'est traduit par la présence de nombreux panaches turbides d'eaux dessalées (9‰ en baie du Prony le 5 juillet) au droit des exutoires naturels (Baie des Anglais, Baie de la Somme, Baie de Carénage, Rade Nord, Bonne Anse, Port Boisé, Baie Kwé, Baie N'GO). Les observations réalisées par Vale NC et par l'ŒIL montrent que ce phénomène de dessalure était persistant dans la couche d'eau superficielle une semaine après les pluies [R01]. Ce phénomène de dessalure intense associé à des panaches turbides avait déjà été observé en 2013 à l'issue du passage du cyclone tropical Freda avec un impact mesuré principalement sur les communautés coralliennes peu profondes de la baie du Carénage, de la baie de la Somme, de la baie des Anglais et du nord de la rade Nord en baie de Prony [Com. pers., R14, R43].

A la différence de Freda, ce phénomène de mortalité a touché un spectre plus large influençant à la fois l'ichtyofaune et certains taxons des communautés macro benthiques avec des mortalités d'holothuries, de crabes et de poulpes. Il apparaît que le phénomène a aussi bien touché des espèces mobiles que sédentaires et semble avoir touché uniquement des espèces côtières présentes à proximité des embouchures. »

7.1.1.3 2015

Le cyclone tropical Pam est passé non loin de la zone d'étude le 14 mars 2015. Il a engendré une forte houle, du ressac et sur le site de l'usine : des vents atteignant 89.6km/h et des précipitations importantes (72.2 mm).

Le cyclone Pam a été baptisé le lundi 9 mars 2015 dans le Pacifique sud-ouest à près de 1 000 km à l'est/nord-est des îles Salomon. Cette tempête tropicale s'est renforcée rapidement pour atteindre le stade de cyclone tropical dès mardi 10 mars 2015.

Puis le jeudi 12 mars, ce cyclone a été classé en 5e catégorie sur l'échelle d'intensité cyclonique australienne²³. Selon le centre météorologique régional de Nandi (Fidji), responsable de la prévision cyclonique dans le Pacifique sud-ouest, la pression en son centre était estimée à 920 hPa et les vents moyens à 220 km/h (rafales à 320 km/h).

Le cyclone Pam s'est ensuite déplacé vers le sud sud-ouest puis vers le sud. Sa trajectoire a touché directement les îles du sud de l'archipel du Vanuatu vendredi 13 mars après-midi avant de passer à environ 170 km à l'est de Maré dans la matinée de samedi 14 mars.

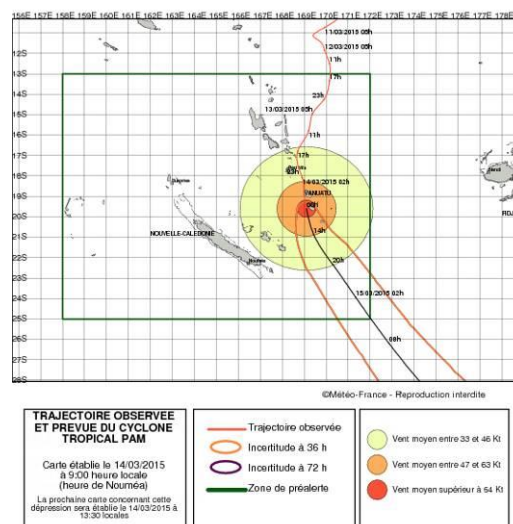
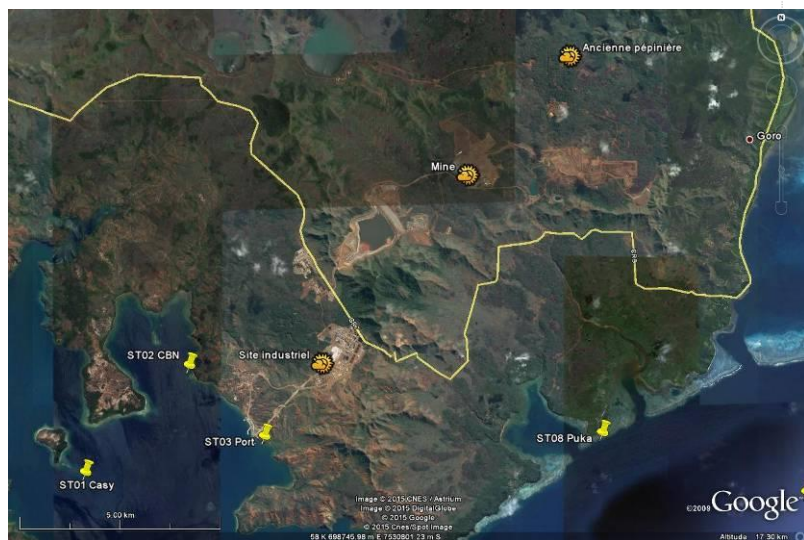
Les dégâts au Vanuatu ont été considérables. L'Unicef Nouvelle-Zélande a évoqué ce qui pourrait être « l'une des pires (catastrophes naturelles) de l'histoire du Pacifique ».

Les zones de Nouvelle-Calédonie qui ont été les plus exposées sont les îles Loyautés (particulièrement Maré et Lifou) et l'île des Pins où ont sévi de violentes rafales de vent et de fortes précipitations. La gendarmerie de Maré a indiqué qu'une houle avec des creux de 5 à 7 mètres, des trombes d'eau et des rafales de vent à plus de 100 km/h avaient été observés. Cependant, selon la sécurité civile de l'archipel, le puissant cyclone Pam n'a pas engendré de dégâts majeurs.

Les stations météorologiques situées sur le site de Vale NC (cf. figure 112) ont enregistré un maximum d'intensité de vent et de précipitation le samedi 14 mars (selon les 3 stations : le maximum des précipitations était compris entre 34.2 et 72.2 mm et le maximum de vent entre 23.3 et 24.9 m/s soit entre 83.9 et 89.6 km/h). La hauteur de houle n'est pas enregistrée dans la zone d'étude cependant un vent de cette intensité engendre de forte houle et du ressac sur les récifs exposés.

Bien que la trajectoire du cyclone Pam soit éloignée de la partie sud de la Nouvelle-Calédonie, cet évènement cyclonique extrême a engendré des perturbations mécaniques (houle et ressac) ainsi qu'une dessalure des eaux de surface sur les récifs situés dans la zone d'étude le 14 mars 2015.

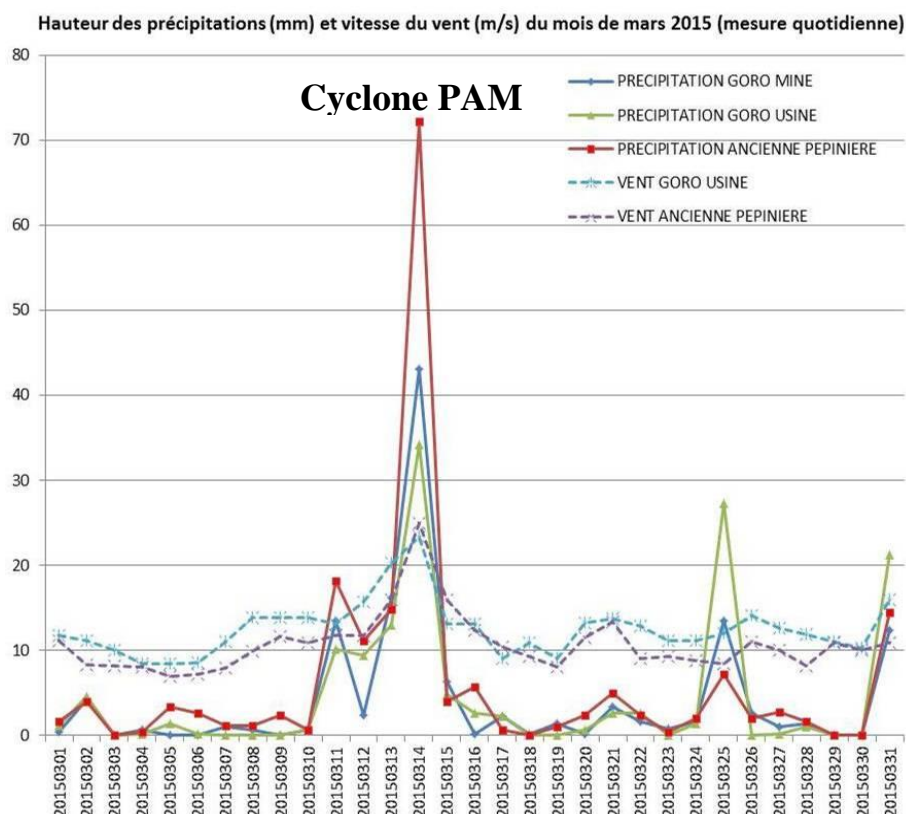
Les perturbations les plus importantes sont mécaniques et elles concernant particulièrement les récifs du canal de la Havannah et du canal Woodin puis dans une moindre mesure les perturbations liées à la dessalure des eaux de surface sont localisées préférentiellement dans les baies et à l'embouchure des creeks et rivières.



Localisation des stations de Météo France sur le site de Vale NC (stations Goro mine, Goro usine et Ancienne pépinière) (Sources : Météo France et Google Earth)

Trajectoire du cyclone Pam entre le 11 et le 15 mars 2015 (Source : Météo France)

²³ Il existe plusieurs échelles selon les pays / zones géographiques, mais Pam était au niveau maximum quelle que soit l'échelle retenue (équivalent par exemple d'un ouragan pour le système US ou d'un typhon pour le système NW Pacifique)



Hauteur des précipitations (mm) et vitesse du vent (m/s) du mois de mars 2015. Ces mesures ont été réalisées quotidiennement dans trois stations Météo France localisées sur le site de Vale NC (Sources : Météo France, Vale NC)

Figure 112 : Météorologie dans la zone d'étude durant le mois de mars 2015

7.1.1.4 2016

Le cyclone tropical très intense Winston est d'abord passé près de la Nouvelle-Calédonie en se dirigeant vers le sud, puis il est remonté vers les Samoa, avant de faire demi-tour et de repartir vers Fidji. Une fois situé au large du Vanuatu il a refait un virage en direction du sud sud-est pour continuer sa progression lente vers l'ouest, en commençant à s'affaiblir en dépression tropicale et s'éloigner progressivement du Vanuatu et de la Nouvelle-Calédonie.

Le lundi 22 **février 2016**, il se situait par 17.5 sud et 172.8 est, soit à environ 500 km dans l'est de Port-Vila (Vanuatu). Sa pression au centre était estimée à 945 hPa. Il générait des vents moyens proches de 180 km/h près de son centre, avec des rafales de l'ordre de 250 km/h.

Puis il s'est affaibli en dépression tropicale forte en passant par le sud de la Nouvelle-Calédonie le 25 et 26 février 2016. L'état de vigilance orange a été appliqué pour fortes pluies sur le sud de la Grande Terre (192 mm de pluie à Goro, 135 mm à La Coulée, entre 80 et 90 mm sur Nouméa). Le vent aussi s'est manifesté avec une certaine violence. Les rafales sont montées à 80 km/h à Magenta et à l'île des Pins, à 70-80 km/h à Goro [R78].

En mer, il a engendré une forte houle et du ressac.

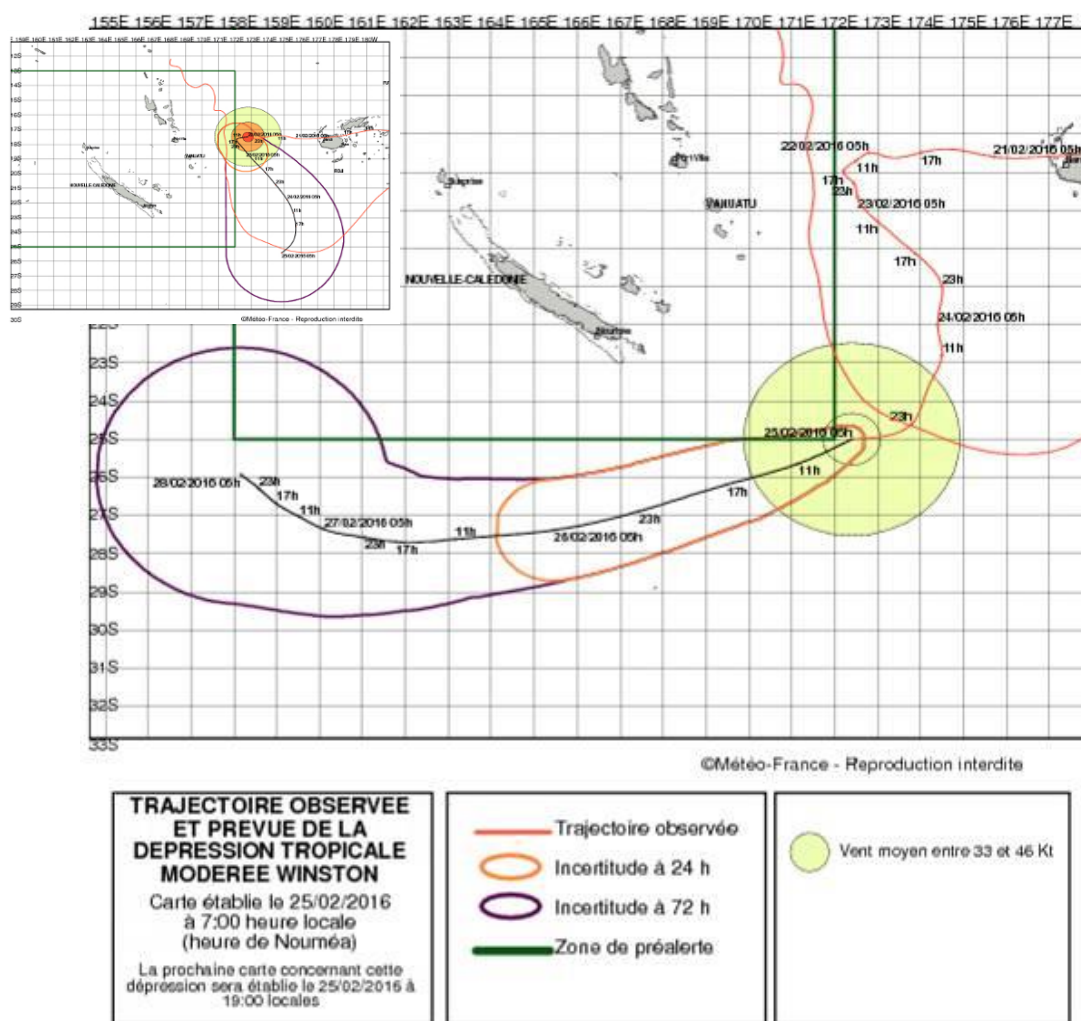


Figure 113 : Trajectoire du cyclone Winston entre le 22 et le 26 février 2016

(Source : Météo France)

Globalement, 2016 a été la 3^{ème} année la plus chaude depuis 1970 avec +1,0°C d'écart à la moyenne des normales. Il y a eu 2 vagues de chaleur exceptionnelles en février (qui a été le plus chaud depuis 1970). Ainsi, contrairement à toutes les attentes et le scénario annoncé (du fait d'être en phase El Niño), de **février 2016 à fin mars 2016**, de fortes chaleurs ont été enregistrées sur la Nouvelle-Calédonie. Cette « canicule » était accompagnée par des **anomalies de température positives** en mer (cf. figure 114 > à 2°C) ainsi que par un indice UV très élevé par rapport à la normale. Il y a eu aussi des phases de dessalure ponctuelles relatives aux précipitations. Ce phénomène encore inexpliqué (relatif à la conjugaison de multiples paramètres de l'environnement) n'a pas été lié directement au phénomène ENSO.

Les conséquences sur l'environnement marin ont été très importantes : la hausse de la température des eaux et des UV associée à une baisse de la salinité a entraîné un phénomène de blanchissement massif des récifs autour de la Nouvelle-Calédonie.

De nombreuses perturbations en chaîne dans le milieu marin en ont découlé (mortalité des coraux scléactiniaires, des alcyonaires, développement d'algues, cyanobactéries et de turf sur les colonies coralliennes...).

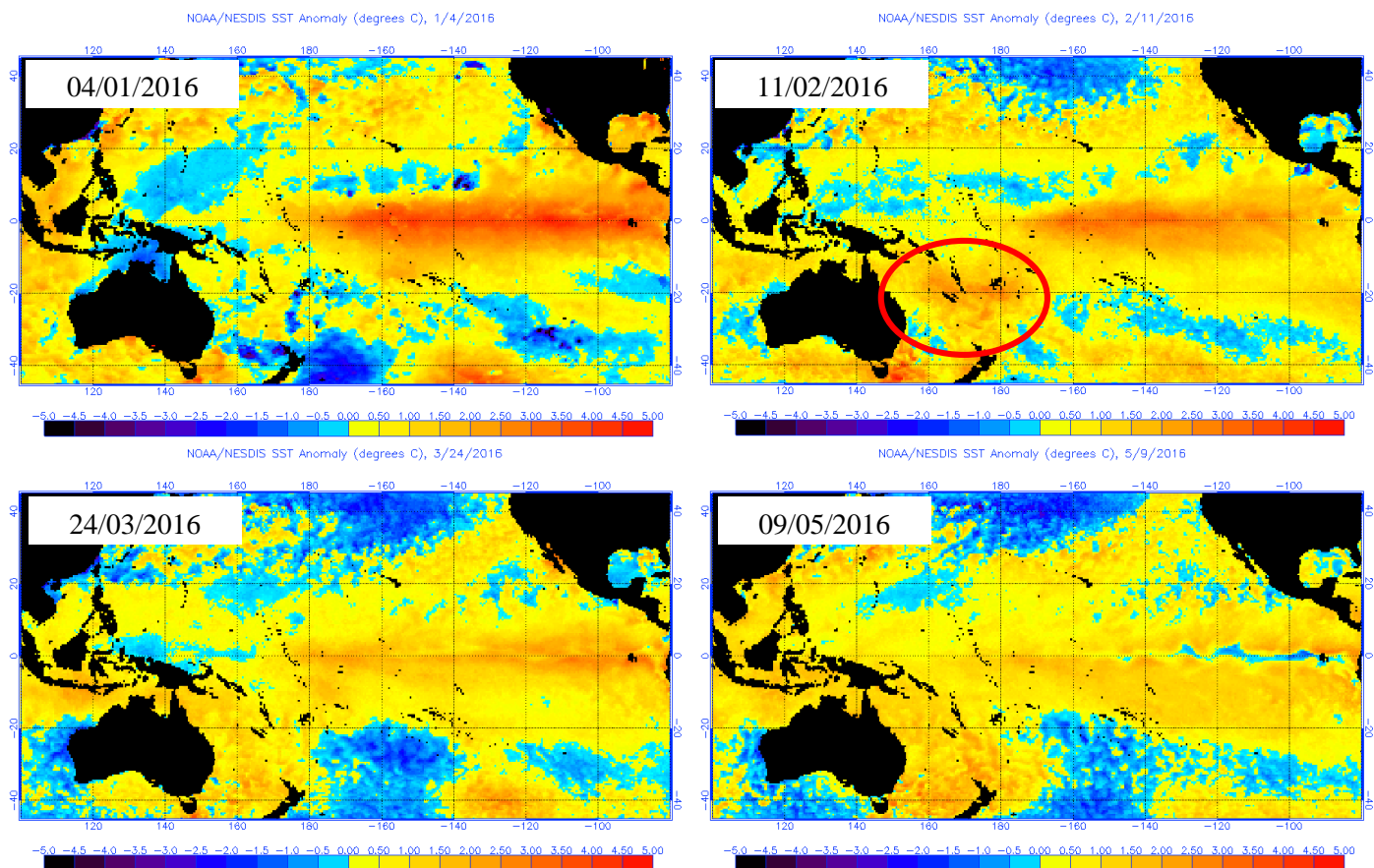


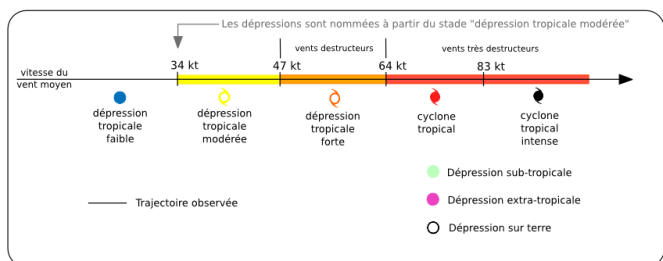
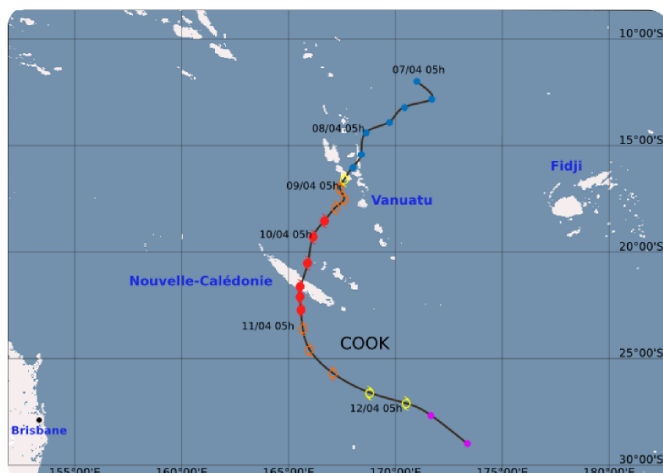
Figure 114 : Cartes des anomalies de température de surface de la mer dans le Pacifique, début 2016

7.1.1.5 2017

Le cyclone tropical Cook (7 au 14 avril 2017) s'est formé dans le nord du Vanuatu le 7 avril. À partir du 9, il a incurvé sa trajectoire vers la Nouvelle-Calédonie en s'intensifiant et a atteint le stade de cyclone tropical en fin de journée. Cook a traversé la Nouvelle-Calédonie le 10 avril après-midi en provoquant des rafales de vent proches de 200 km/h, de fortes pluies et une mer très mauvaise sous sa trajectoire. Il s'est affaibli ensuite et s'est éloigné vers le sud sud-est.

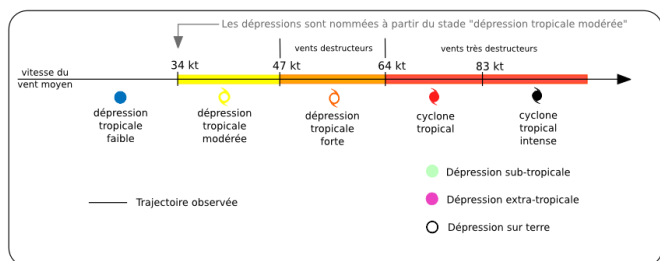
Le cyclone tropical intense Donna (2 au 10 mai 2017) a été baptisé le 3 mai au nord-est du Vanuatu. Il a suivi une lente trajectoire vers l'ouest puis bifurqué le 6 vers la Nouvelle-Calédonie tout en se renforçant au stade de cyclone tropical intense. Le 9 mai, redevenu cyclone tropical, il a occasionné des vents violents sur Ouvéa et Lifou. De très fortes vagues ont été observées. Les pluies étaient peu abondantes. Son intensité a rapidement décliné et il s'est éloigné vers le sud le 10 mai.

Cyclone tropical COOK:
Trajectoire observée du 07 au 12 avril 2017



© Toute reproduction est interdite sans l'accord de Météo-France.
Direction Interrégionale de Météo-France en Nouvelle-Calédonie et Wallis et Futuna

Cyclone tropical intense DONNA:
Trajectoire observée du 02/05/2017 au 10/05/2017



© Toute reproduction est interdite sans l'accord de Météo-France.
Direction Interrégionale de Météo-France en Nouvelle-Calédonie et Wallis et Futuna

Figure 115 : Trajectoire des cyclones Cook et Donna (début 2017)
(Source : Météo France)

7.1.1.1 2018

En début d'année 2018 plusieurs phénomènes climatologiques ont eu lieu, qui ont amené à annuler la campagne du 1^{er} semestre prévue en mars et à la reporter alors en mai (1^{er} créneau adéquat pour les coefficients de marée).

La dépression de septembre a, de même, fait annuler la 1^{ère} date de mission du 2^{ème} semestre qui a dû être décalée en novembre.

Les caractéristiques de ces phénomènes sont résumées ci-dessous [R78].

Fehi : du 25 au 30 janvier : **Dépression tropicale modérée**. Un minimum se creuse au sud des Salomon dans le talweg de mousson et se déplace ensuite vers la Nouvelle-Calédonie. Fehi est nommée au stade de dépression tropicale modérée à 150 km à l'ouest nord-ouest de Bélep le 29/01 à 8 heures. Entre le 28 et le 29/01, elle provoque des pluies importantes surtout sur le Nord, l'Est et le relief (432 mm relevés à Méa) avec des rafales à plus de 100 km/h. Elle s'éloigne ensuite vers la Nouvelle-Zélande.

Gita : du 07 au 18 février : **Cyclone tropical très intense**. Le précurseur de Gita se forme dans un talweg de mousson au nord du Vanuatu. Il passe juste au sud de Wallis-et-Futuna en provoquant de fortes pluies et de fortes rafales (130 km/h). Il est ensuite baptisé, se renforce rapidement et cause de gros dégâts aux Samoa et aux Tonga. Il passe à 100 km environ au sud-est de l'île des Pins au stade de cyclone tropical, avec une forte houle, de fortes rafales (140 km/h), et des pluies modérées.

Hola : du 03 au 11 mars : **Cyclone tropical intense**. Un minimum se creuse au nord-est du Vanuatu. Il est nommé le 06/03 à 23h locale, traverse le nord du Vanuatu, puis stagne au stade de cyclone tropical intense le 08/03 à environ 300 km dans le nord-ouest d'Ouvéa. Il passe à environ 80 km des Loyauté, au stade de cyclone tropical, entre le 09 et le 10 mars, où les rafales atteignent 130 km/h. Il provoque de fortes pluies : 200 à 350 mm sur le Sud, 100 à 150 mm sur l'Est et les Loyauté.

Linda : du 10 au 15 mars : **Dépression tropicale modérée**. Un minimum se creuse sur les Salomon et se déplace vers le sud sur le 160°E jusqu'aux Chesterfield. La dépression est nommée au stade de dépression tropicale modérée à 470 km à l'ouest de Bélep le 13/03 à 18h. Des vents forts de NE sont alors mesurés à Poingam (rafales de 65 km/h), et des cumuls de pluies importants sont recueillis sur la chaîne Nord (123 mm à Méa, 93 mm à Tango). Le 14/03, Linda s'éloigne vers le sud-ouest en faiblissant.

Iris : du 21 au 30 mars : **Dépression tropicale forte**. Le système tropical se forme entre les Salomon et le Vanuatu le 23. Progressant initialement vers l'ouest, il devient temporairement une dépression tropicale modérée le 24, puis se dirige vers le sud le 25. A partir du 29, il remonte vers le nord-ouest entre l'Australie et les Chesterfield. Se déplaçant lentement dans l'ouest de la Nouvelle-Calédonie, il engendre de fortes pluies entre le 24 et le 29, notamment sur la côte Est. Dans le flux de nord à est résultant sur la Nouvelle-Calédonie, de fortes pluies se sont abattues sur le pays entre le 24 et le 29 mars. C'est le 28 que les cumuls les plus importants sont mesurés, avec jusqu'à plus de 260 mm en 24 h enregistrés par la station de Méa (Kouaoua). En 48 h c'est la station de Thio plateau qui enregistre avec 489 mm, le cumul le plus élevé. Elle est suivie par **Josie** (dépression tropicale modérée) et **Keni** (cyclone tropicale), prolongeant le mauvais temps jusqu'au 11 avril.

Liua : du 26 au 30 septembre : **Dépression tropicale modérée**. Le 26/09, une dépression tropicale faible se forme aux Salomon. Elle atteint le stade de dépression tropicale modérée le 27 et est baptisée Liua. Elle se déplace lentement vers le sud, puis le sud-ouest, puis s'affaiblit le 28. Elle est reclassée dépression tropicale faible le 29 en s'évacuant vers l'ouest. Liua est la dépression tropicale modérée la plus précoce enregistrée jusque-là sur le bassin Pacifique Sud-Ouest.

7.1.1.2 2019

Oma : du 11 au 23 février : **Cyclone tropical**. Le 11/02, une dépression tropicale faible se forme en Mer de Corail, puis elle s'intensifie en se déplaçant près du nord du Vanuatu. Elle est baptisée Oma le 12/02. A partir du 17/02, elle se dirige vers le sud-ouest pour passer à près de 100 km à l'ouest de Bélep le 19/02 au stade de cyclone tropical. Elle poursuit sa route jusqu'au 23/02 vers le sud-ouest en faiblissant. Oma était un cyclone tropical lent avec une durée de vie longue.

Globalement, 2019, à l'échelle planétaire a été la **2^{ème} année la plus chaude** depuis 1850. Sur la Nouvelle-Calédonie, la moyenne annuelle des températures n'a pas été exceptionnelle, mais se place dans le tiers supérieur des valeurs les plus élevées depuis 50 ans.

La pluviométrie était déficitaire avec un écart à la normale de -35 % soit la **5^{ème}** position des cumuls annuels les plus faibles depuis 1961.

7.1.1.3 2020

UESI : du 09 au 13 février : **Cyclone tropical (catégorie 3)**. Il est issu d'une perturbation tropicale qui s'est formée dès le 4 février dans le sud des Îles Salomon. Il est passé au plus près de la Nouvelle-Calédonie le 11 février aux alentours de 17 h, à un peu moins de 100 km à l'ouest immédiat des Îles Bélep. Le vent a atteint son maximum d'intensité sur le nord de la Grande-Terre le 11 en soirée et en début de nuit, au moment où le cyclone était au plus près du pays avec des rafales atteignant 100 à 120 km/h.

En Nouvelle-Calédonie, le temps s'est dégradé avec l'arrivée des premières pluies dès le 10 février en matinée. La station Camp des Sapins a enregistré les records : 575,8 mm en 3 jours et 397 mm en cumul glissants en 24 h (durée de retour de 20 ans), mais les cumuls enregistrés ailleurs ont une durée de retour inférieure à 10 ans et ne revêtent donc pas de caractère exceptionnel.

Gretel : du 12 au 16 mars : **Dépression tropicale forte**. Le 12/03, une dépression tropicale faible se forme au

nord de la mer de Corail au sein d'un talweg de mousson puis se creuse lentement en se déplaçant lentement vers l'est sud-est. Elle accélère vers le sud-est et devient modérée dans la nuit du 14 au 15 et est baptisée GRETE, tout en entrant dans notre zone de surveillance. Elle passe entre 100 et 150 km à l'ouest de la Grande-Terre dans la nuit du 15 au 16 en devenant forte. Elle s'évacue ensuite très rapidement vers les Kermadec où elle subit une transition extra-tropicale. Elle a engendré des rafales comprises entre 120 et 170 km/h sur la côte ouest (127 km/h à Goro) ainsi qu'un épisode de fortes pluies (relief et Nord). Cependant, sur l'ensemble du pays, les quantités de précipitations mesurées par les pluviomètres ne sont pas remarquables. Sur 48 heures glissantes, la majorité des cumuls maximaux ne dépassent pas 100 mm. Les cumuls de précipitations les plus élevés sont compris entre 150 et 200 mm environ et sont enregistrés sur les pointes nord et sud de la Grande-Terre ainsi qu'à Camp des Sapins. Avec 202,6 mm en 48 heures, c'est à Poum que les pluies sont les plus abondantes.

Globalement, **2020, à l'échelle planétaire est l'année la plus chaude** depuis 1880, à égalité avec 2016. **Sur la Nouvelle-Calédonie**, la moyenne annuelle des températures a été de 23,9°C, soit 0,6°C au-dessus de la normale 1981-2010, ce qui place l'année 2020 au **4^{ème} rang des années les plus chaudes depuis 1970**. Le total des pluies sur l'année 2020 est proche de la référence 1981-2010. Seuls se démarquent les mois de janvier et juin avec un déficit pluviométrique marqué, puis décembre avec un bilan largement excédentaire.

7.1.2 Le phénomène ENSO

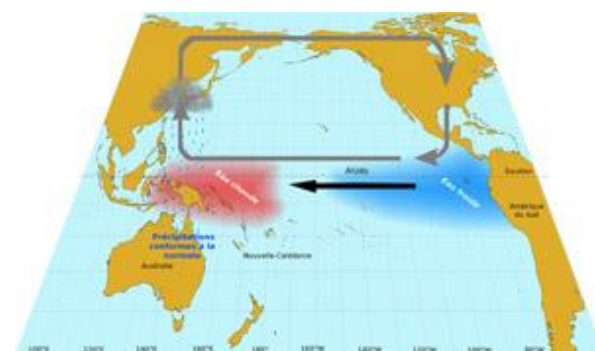
7.1.2.1 Généralités

Ces données sont issues du site de Météo France et Météo nc [R78].

Le terme ENSO (El Niño Southern Oscillation) désigne les modifications de la circulation atmosphérique dans le Pacifique équatorial ainsi que les anomalies de température de l'océan qui y sont associées.

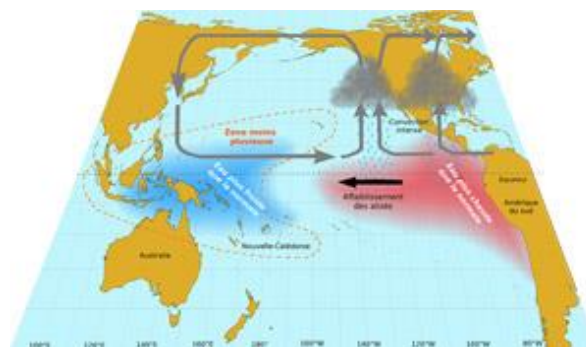
Trois phases peuvent être distinguées :

La **phase neutre** (ni El Niño, ni La Niña) : les alizés soufflent d'est en ouest sur l'océan Pacifique tropical. Ils provoquent une remontée d'eau des profondeurs au centre et à l'est de l'océan Pacifique équatorial, ce qui se matérialise par une langue d'eau froide. Ils entraînent également une accumulation d'eau « chaude » à l'ouest du bassin



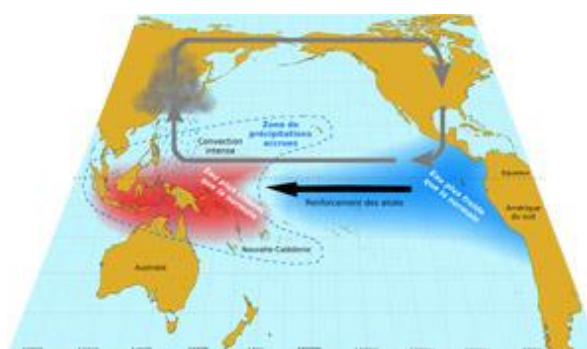
Circulations et principales caractéristiques climatiques dans le Pacifique en phase neutre pendant l'été austral (adaptée de [R78]).

La **phase El Niño** : au niveau de l'équateur, les alizés s'affaiblissent si bien que la langue d'eau froide équatoriale laisse place à des eaux de surface plus chaudes que la normale. El Niño se caractérise ainsi par des températures de surface de la mer plus élevées que la normale (écarts supérieurs à $+0,5\text{ °C}$) dans le Pacifique central équatorial. En été, les bouleversements atmosphériques induits par ce réchauffement consistent en un déplacement des fortes précipitations de l'Indonésie vers le centre du Pacifique tropical. On constate notamment une réduction du flux de la MPO, une intensification et une migration vers l'équateur de la ZCIT, ainsi qu'un déplacement vers le nord-est de la ZCPS.



Principales manifestations de la phase El Niño dans le Pacifique pendant l'été austral (adaptée de [R78])

La **phase La Niña** : le long de l'équateur, les alizés s'intensifient. La remontée d'eau froide sur le bord est de l'océan Pacifique est alors accrue, tandis que des eaux plus chaudes que la normale sont observées à l'ouest du Pacifique. La Niña se caractérise ainsi par des températures de surface de la mer plus basses que la normale (écarts inférieurs à $-0,5\text{ °C}$) dans le Pacifique central équatorial. En été, les bouleversements atmosphériques induits par ce refroidissement consistent en une accentuation des précipitations sur l'Indonésie et un assèchement de l'atmosphère tropicale au centre du Pacifique. On constate notamment un renforcement du flux de la MPO, un affaiblissement et un retrait vers le nord de la ZCIT, ainsi qu'un déplacement vers le sud-ouest de la ZCPS.



Principales manifestations de la phase La Niña dans le Pacifique pendant l'été austral (adaptée de [R78]).

ENSO est la principale source de variabilité interannuelle des précipitations et des températures observées en Nouvelle-Calédonie [R59] :

- Les précipitations sont fortement affectées par ENSO, surtout en saison chaude et particulièrement dans le nord de la Grande Terre et sur les îles Loyauté.
- Les périodes El Niño sont caractérisées par un risque accru de sécheresse et les périodes La Niña, par un risque accru de fortes pluies.
- Les températures minimales ont tendance à être anormalement basses en période El Niño ; c'est l'opposé en période La Niña.
- El Niño augmente le nombre de tempêtes tropicales qui touchent l'est et le centre de l'océan Pacifique, alors que par ailleurs, l'apparition d'épisodes La Niña tend à coïncider avec une diminution du nombre de perturbations dans le Pacifique sud.

La relation entre ENSO et les températures maximales est moins marquée. Elle varie suivant la saison et la région considérée. L'influence d'ENSO sur les températures maximales est faible en saison chaude.

Les événements El Niño apparaissent d'une manière irrégulière, tous les 2 à 7 ans. Ces épisodes débutent en général en milieu d'année et durent de 6 à 18 mois. Ils atteignent leur intensité maximale vers Noël.

À noter que la symétrie entre les phénomènes El Niño et La Niña n'implique aucune régularité en termes de chronologie ou d'intensité. Ainsi, le passé a subi davantage d'épisodes El Niño que d'épisodes La Niña. Par ailleurs, un épisode El Niño fort n'est pas forcément suivi d'un épisode La Niña fort, et d'ailleurs, un événement El Niño n'est pas obligatoirement suivi d'une période La Niña (seul le tiers environ des cas examinés depuis plus de 130 ans mettent en évidence une telle corrélation) (cf. figure 116).

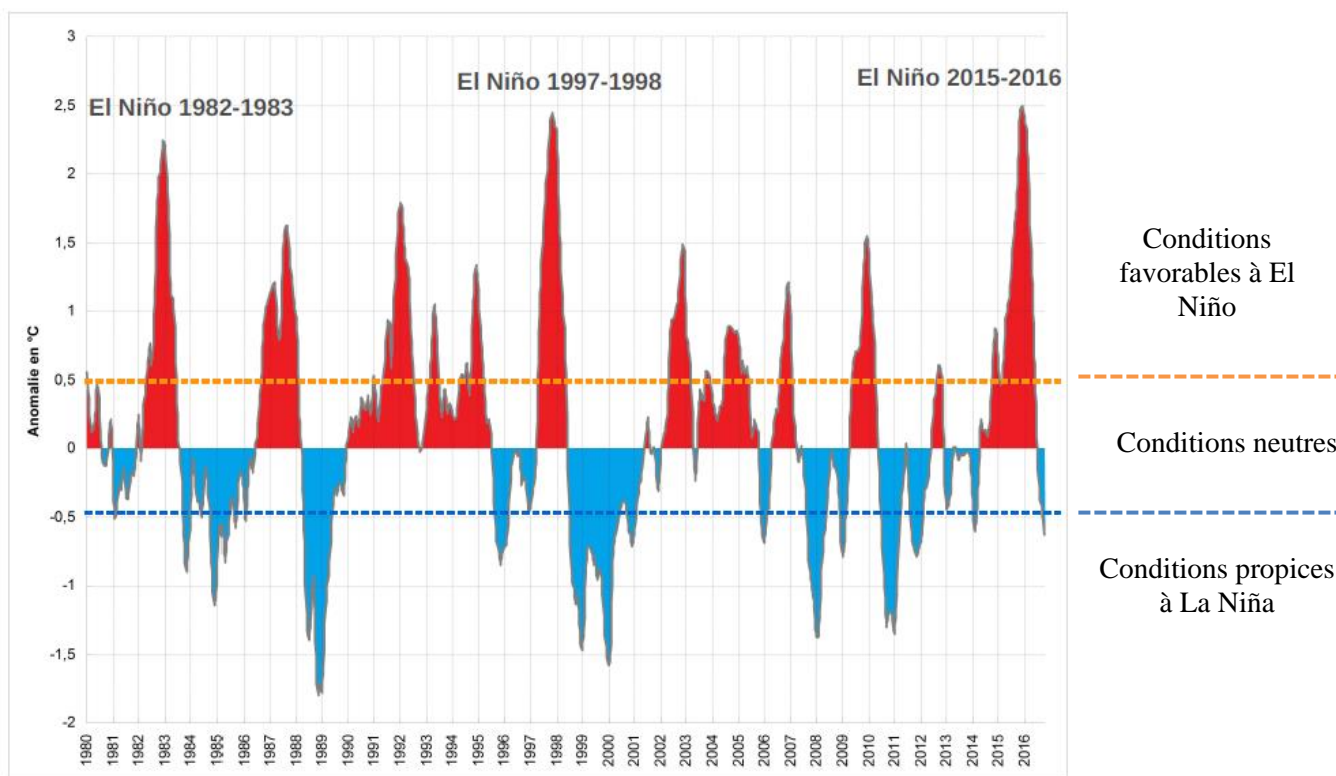


Figure 116 : Variation de l'anomalie de la température moyenne de la surface de la mer 1980-2016

(Indice ONI : Oceanic Niño Index. Partie centrale du Pacifique équatorial. Source : [R76])

7.1.2.2 El Niño

En Nouvelle-Calédonie, El Niño s'accompagne généralement d'un déficit de précipitations, particulièrement remarquable pendant la saison chaude, sur le nord de la Grande Terre et aux îles Loyauté.

Episode 2015- 2016 : Après 5 ans d'absence et une alerte lancée début 2014, c'est finalement à la toute fin de l'année 2014 qu'El Niño s'est officiellement déclaré et a continué de se développer au premier semestre 2015 dans l'océan Pacifique équatorial pour finalement se terminer sur en milieu d'année 2016.

L'épisode El Niño 2015/2016 est classé parmi les 3 événements El Niño les plus puissants de ces 50 dernières années, avec ceux de 1982-1983 et 1997-1998 (cf. figure 116).

El Niño a pris fin en mai/juin 2016 et a été suivi par un épisode La Niña de faible intensité et de courte durée.

La saison cyclonique **2016-2017** s'est déroulée durant une **phase « neutre »** de l'oscillation australe ENSO.

Les deux **saisons chaudes (2018-2019 et 2019- 2020)** se sont déroulées sous l'**influence de conditions El Niño**.

7.1.2.3 La Niña

« La Niña » est caractérisée par une anomalie négative de l'eau en surface dans cette zone équatoriale du Pacifique (l'anomalie devant être au minimum de $-0,5$ °C). Le phénomène est plus rare et moins dangereux que El Niño (23 épisodes El Niño pour 14 épisodes La Niña depuis 1950).

En Nouvelle-Calédonie, l'évènement climatique « La Niña » modifie l'intensité des pluies (augmentation) et a pour conséquence une anomalie positive de températures des eaux de surface et une anomalie négative de salinité sur une longue période de 3 ou 4 mois.

En début d'année 2011, ces anomalies ont influencé toute la zone d'étude dans les petites profondeurs et l'anomalie de salinité était d'autant plus importante aux embouchures des creeks et des rivières. Les colonies

coralliennes les plus sensibles s'édifiant aux sommets des récifs ont ainsi expulsé leurs zooxanthelles (phénomène de blanchissement très important).

Episode 2017 – 2018 : En septembre 2017, l'agence américaine d'observation océanique et atmosphérique (NOAA) a établi une prévision probabiliste pour les mois suivants. Après une période passée plutôt neutre, la probabilité d'entrer au sein d'un épisode La Niña était devenue importante.

En effet, les températures de surface de l'océan Pacifique étaient en baisse en fin d'année 2017 au niveau des tropiques : La carte des anomalies de température de surface de la mer entre le 9 et le 15 novembre 2017 (figure 117) montre que les températures de surface de la mer au niveau de l'équateur sur le centre et l'est de l'océan Pacifique sont inférieures à la normale (autour de -0.4 à -0.5°C).

Une prévision largement confirmée par le système de prévision climatique du centre national pour la prévision environnementale (NCEP) ainsi que par l'ensemble multi-modèles nord-américain (NMME) qui indiquent la formation de La Niña dès l'automne 2017 (anomalie de température chutant sous les -0.5°C). La probabilité d'observer ce phénomène atteignait les 62% sur la période novembre-décembre 2017 et janvier 2018.

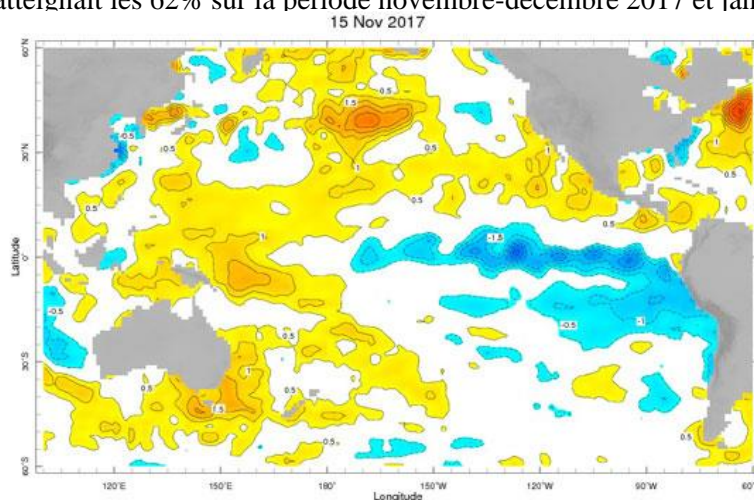


Figure 117 : Anomalies de températures de surface de la mer (9 et le 15 novembre 2017)

(Source : NCEP, OISST v2)

La région pacifique est donc entrée en période de La Niña en octobre 2017, qui s'est achevée à la fin du premier trimestre 2018. Il s'en est suivi une phase neutre de l'ENSO (El Niño Southern Oscillation) qui a duré jusqu'en décembre.

Dans ce contexte, le bilan pluviométrique annuel en Nouvelle-Calédonie a été légèrement déficitaire tandis que les températures ont été, en moyenne annuelle, très légèrement supérieures aux normales.

Episode en cours : le phénomène est engagé depuis août-septembre 2020 (cf. figure 118) et devrait se poursuivre jusqu'à la fin du 1^{er} trimestre 2021. Conséquences de ce phénomène climatique pour la prochaine saison chaude : des températures de l'air plus élevées, davantage de précipitations et une activité cyclonique légèrement plus importante au voisinage du Territoire.

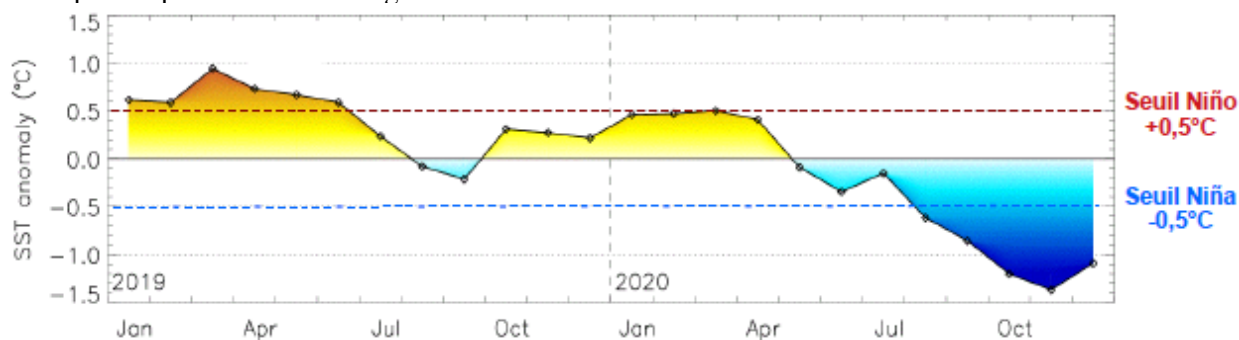


Figure 118 : Variation de l'anomalie moyenne de la température à la surface de la mer

(au sein de la boîte Niño 3.4 [5°N - 5°S ; 170°W - 120°W] au cours des 24 derniers mois)(Source : GLORYS, 12/20)

7.2 Contexte réglementaire

7.2.1 Liste rouge UICN

La liste rouge de l'UICN (Union Internationale pour la Conservation de la Nature) est un système simple et compréhensible par tous pour classer les espèces selon leur risque d'extinction à l'échelle mondiale (les principes et les catégories sont présentés en annexe n°05).

Précautions d'application :

- Cette liste est en constante réactualisation ;
- Elle est établie à un niveau mondial : cela ne reflète pas la situation de la Nouvelle-Calédonie, ni même au niveau mondial : en milieu marin, le recensement des espèces d'invertébrés enregistre de nombreuses lacunes à travers le monde. Les coraux scléactiniaires et les bédouilles sont les mieux référencés mais le reste des invertébrés est le plus souvent enregistré comme « données insuffisantes » (data deficient).

Les coraux scléactiniaires

Plusieurs espèces de coraux durs sont inscrites sur cette liste rouge.

Pour rappel : le cahier des charges ne prévoyant pas l'étude des coraux ceux-ci n'ont pas été échantillonnés pour cette mission et il n'y a donc pas de listing disponible. Cependant, ce travail supplémentaire, non obligatoire, avait été réalisé les missions précédentes (jusqu'en 2016) et un bilan des espèces présentes dans la zone d'étude et inscrites sur cette liste est disponible dans les rapports concernés.

Les autres invertébrés

Concernant les autres invertébrés (hors coraux durs), les données recueillies par l'UICN ne sont pas assez détaillées et représentatives pour juger le risque d'extinction des espèces à l'échelle mondiale.

Dans la zone d'étude, auparavant, seuls les bédouilles du genre *Tridacna* étaient référencés et le **reste des espèces** était classé en **données insuffisantes** « DD : data déficient ».

Depuis 2016, de nouvelles espèces ont été renseignées, dont certaines ont été échantillonnées, comme détaillé dans le [tableau 136](#), et le [tableau 148](#) et le [tableau 149](#) en [annexe n°04](#).

Pour cette mission, 13 espèces sont classées, réparties dans 2 groupes : les holothuries et les bivalves : 2 espèces « en danger » (EN), 2 espèces « dépendant de la conservation » (CD) et 9 espèces « préoccupation mineure » (LC).

Tous les transects sont concernés à l'exception de ST09C et ST12B.

Tableau 136 : Invertébrés inscrits sur la liste UICN et échantillonnés lors de cette mission

EMBRANCHEMENT	DIVISION	FAMILLE	GENRE	ESPECE	STATUT
Echinoderme	Holothuride	Holothuriidae	<i>Actinopyga</i>	<i>flammea</i>	LC
			<i>Actinopyga</i>	<i>palauensis</i>	LC
			<i>Bohadschia</i>	<i>argus</i>	LC
			<i>Holothuria</i>	<i>atra</i>	LC
			<i>Holothuria</i>	<i>edulis</i>	LC
			<i>Holothuria</i>	<i>flavomaculata</i>	LC
			<i>Holothuria</i>	<i>fuscopunctata</i>	LC
			<i>Holothuria</i>	<i>whitmaei</i>	EN
				Stichopodidae	<i>Thelenota</i>
Mollusque	Bivalve	Tridacnidae	<i>Tridacna</i>	<i>crocea</i>	LC
			<i>Tridacna</i>	<i>maxima</i>	CD
			<i>Tridacna</i>	<i>squamosa</i>	CD
		Conidae	<i>Conus</i>	<i>litteratus</i>	LC

Les macrophytes

Pour les espèces actuellement observées, elles sont enregistrées comme « données insuffisantes » (DD).

Les poissons

Pour cette mission, 319²⁴ espèces différentes de poissons ont pu être observées sur les 12 stations. Parmi elles :

- 96 ne sont pas évaluées / 223 sont évaluées :
- 3 sont listées comme « données insuffisantes »
- 215 sont classées « préoccupation mineure »
- 2 sont classées « quasi menacées » (*Chaetodon trifascialis*, *Scomberomorus commerson*)
- 2 sont classées « vulnérable » (*Epinephelus polyphekadion*, *Oxymonacanthus longirostris*)
- 1 est classée « en danger » (*Cheilinus undulatus*, le Napoléon).

7.2.2 Code de l'Environnement de la Province Sud²⁵

7.2.2.1 Ecosystèmes patrimoniaux

Rappel de la réglementation :

TITRE III : PROTECTION DES ÉCOSYSTÈMES D'INTÉRÊT PATRIMONIAL

Chapitre I

PRINCIPE ET OBJECTIFS

Article 231-1

*(article 1er de la délibération 03-2009 du 18 février 2009 relative à la protection des écosystèmes d'intérêt patrimonial)
Modifié par délib n° 28-2019/APS du 12/04/2019, art.14*

I. - Le présent titre a pour objet de contribuer à la préservation et à l'amélioration de l'état de conservation de la biodiversité par des mesures visant à assurer le maintien ou la restauration d'écosystèmes qui sont d'intérêt patrimonial, tels que les forêts denses humides sempervirentes, les forêts sclérophylles, les mangroves, les herbiers et les récifs coralliens.

Ces mesures ont pour objet de préserver la capacité globale d'évolution des écosystèmes dans le but d'assurer les équilibres naturels et la préservation des processus naturels garants de ces équilibres.

Elles tiennent compte des exigences économiques, sociales et culturelles ainsi que des particularités locales et sont compatibles avec les activités humaines qui n'ont pas un impact environnemental de nature à compromettre les équilibres, ni à altérer les processus naturels.

Dès lors qu'il est susceptible d'avoir un effet significatif sur un écosystème d'intérêt patrimonial, tout programme ou projet de travaux, d'installations, d'ouvrages ou d'aménagements est soumis à autorisation dans les conditions fixées par le présent titre.

II. - Ne sont pas soumises à autorisation au titre du présent titre :

1° La pêche, la chasse et les autres activités cynégétiques pratiquées dans les conditions et sur les territoires autorisés par la réglementation ;

2° La collecte ou le prélèvement de faune, de flore ou de minéraux à des fins scientifiques ou de régulation d'espèces envahissantes ;

3° L'introduction d'espèces indigènes ou endémiques à des fins de restauration de sites dégradés ou de conservation d'espèces rares et menacées ;

4° Les travaux réalisés dans le cadre de la gestion d'une crise environnementale, dûment autorisés par l'autorité compétente.

III. - Au sens du présent titre, on entend par « écosystème », un complexe dynamique formé de communautés de plantes, animaux, champignons et micro-organismes et de leur environnement non vivant qui, par leurs interactions, forment une unité fonctionnelle.

Chapitre II

IDENTIFICATION DES ÉCOSYSTÈMES D'INTÉRÊT PATRIMONIAL

Article 232-1

*(article 2 de la délibération 03-2009 du 18 février 2009 relative à la protection des écosystèmes d'intérêt patrimonial)
Modifié par délib n° 17-2015/APS du 26/06/2015, art.8*

²⁴ Biodiversité 3 : toutes les espèces, sur toute la station

²⁵ Version du 28/05/2020

Les écosystèmes d'intérêt patrimonial soumis aux dispositions du présent titre sont :

- 1° Les forêts denses humides sempervirentes ;
- 2° Les forêts sclérophylles ou forêts sèches ;
- 3° Les mangroves ;
- 4° Les herbiers dont la surface est supérieure à cent mètres carrés ;
- 5° Les récifs coralliens dont la surface est supérieure à cent mètres carrés.

La liste des écosystèmes d'intérêt patrimonial soumis aux dispositions du présent titre et leur caractérisation peuvent être complétées par délibération du bureau de l'Assemblée de Province après avis de la commission intérieure en charge de l'environnement.

Les écosystèmes d'intérêt patrimonial soumis aux dispositions du présent titre sont considérés indépendamment de leur situation géographique.

La délimitation géographique des écosystèmes présentant un intérêt patrimonial soumis aux dispositions du présent titre est établie à titre indicatif par une cartographie consultable auprès des services compétents. Cette cartographie est actualisée en tant que de besoin pour tenir compte du caractère évolutif et mobile des écosystèmes.

Article 232-5

(article 6 de la délibération 03-2009 du 18 février 2009 relative à la protection des écosystèmes d'intérêt patrimonial)

L'herbier est une formation végétale située dans une zone marine de profondeur inférieure à 60 mètres. Il est composé de phanérogames marines appartenant à l'une des espèces listées ci-dessous :

FAMILLE	GENRE	ESPECE
Cymodoceaceae	<i>Cymodocea</i>	<i>serrulata</i>
	<i>Cymodocea</i>	<i>rotundata</i>
	<i>Halodule</i>	<i>uninervis</i>
	<i>Halodule</i>	<i>pinifolia</i>
	<i>Syringodium</i>	<i>isoetifolium</i>
Hydrocharitaceae	<i>Enhalus</i>	<i>acoroides</i>
	<i>Halophila</i>	<i>ovalis</i>
	<i>Halophila</i>	<i>minor</i>
	<i>Halophila</i>	<i>decipiens</i>
	<i>Halophila</i>	<i>capricorni</i>
	<i>Thalassia</i>	<i>hemprichii</i>

Article 232-6

(article 7 de la délibération 03-2009 du 18 février 2009 relative à la protection des écosystèmes d'intérêt patrimonial)

Le récif corallien est une structure marine bioconstruite. Il est constitué de coraux Scléactiniaires Hermatypiques et d'algues rouges calcaires encroûtantes (famille des *Corallinaceae*).

En milieu marin, 2 écosystèmes patrimoniaux sont susceptibles d'être présents : les récifs coralliens et les herbiers.

→ **Toutes les stations de suivi marin sont positionnées sur des récifs coralliens dont la surface est supérieure à 100 m² : ces zones sont donc des « Ecosystèmes d'intérêt patrimonial »** selon l'article 232-1 du Code de l'Environnement de la Province Sud.

→ **Aucune phanérogame marine n'a été observée sur les stations de la zone d'étude : il n'y a donc pas lieu de considérer ces zones comme des herbiers** (classés comme Ecosystème d'intérêt patrimonial selon l'article 232-1 du Code de l'Environnement de la Province Sud).

7.2.2.2 Espèces endémiques, rares ou menacées

Rappel de la réglementation :

TITRE IV : PROTECTION DES ESPÈCES ENDÉMIQUES, RARES OU MENACÉES

Article 240-1

(article 1 de la délibération n° 04-2009 du 18 février 2009 relative aux espèces protégées) ; Modifié par délib n° 8-2010/APS du 25/03/2010, art.11.al. 1 et 2 ; Modifié par délib n°193-2010/BAPS/DENV du 01/04/2010, art.1, 2 et 3 ; Modifié par délib n° 933-2013/BAPS/DENV du 11/12/2013, art.2 ; Modifié par délib n° 17-2015/APS du 26/06/2015, art.8 ; Modifié par délib n° 267-2017/BAPS/DENV du 19/04/2017, art.8-1) et 2) ; Modifié par la délibération n° 333-2019/BAPS/DENV du 23 avril 2019 – Art. 8 ; Modifié par la délibération n° 317-2020/BAPS/DDDT du 12 mai 2020 – Art. 5

Le présent titre a pour objet de préserver la biodiversité néocalédonienne en déterminant les espèces animales ou végétales endémiques, rares ou menacées qui doivent être protégées et en réglementant les conditions dans lesquelles il peut être dérogé aux interdictions fixées dans le cadre de cette protection. Les interdictions qu'il fixe ne concernent pas les actions d'entretien des spécimens d'espèces végétales ou de secours aux spécimens d'espèces animales.

Les listes des espèces animales et végétales protégées sont indiquées dans les tableaux ci-dessous.

Ces listes peuvent être modifiées par délibération du bureau de l'assemblée de province après avis de la commission intérieure en charge de l'environnement.

Des modalités particulières de protection peuvent être adoptées pour toute espèce, par délibération du bureau de l'assemblée de province.

NB : Les espèces concernées, en mars 2009, sont le bulime, la tortue verte et les fougères arborescentes.

Les espèces inscrites à la liste des espèces endémiques, rares ou menacées selon l'article 240-1 du Code de l'Environnement de la Province Sud et potentiellement présentes dans la zone d'étude sont présentées [tableau 137](#) (la liste a été élargie depuis fin 2017).

Les organismes listés qui peuvent être observés directement sur les stations ou dans la zone d'étude sont :

- Le triton (*Charonia tritonis*) : parfois observé à la ST07 (Basse Chambeyron) (en A en mars 2015, en B en septembre 2017) et ST08 (Puka) (en B en octobre 2020)
- Le napoléon (*Cheilinus undulatus*). Cette espèce emblématique est habituellement présente en ST10 (Ilot Kié) où il est un habitué qui fréquente un gros massif corallien situé à une vingtaine de mètres du transect bas (observé sur 2 stations pour cette mission : ST09 et ST10)
- Une tortue grosse tête (*Caretta caretta*) vient régulièrement nous « surveiller » sur le transect haut ou médian (voire de la surface) de la ST11 (Toémo)
- Des tortues vertes (*Chelonia mydas*) sont fréquemment aperçues de l'embarcation lorsqu'elles viennent respirer en surface
- Des tricots rayés (*Laticauda* sp.) sont observés régulièrement de la surface ou en plongée, particulièrement sur les stations des bancs du canal de la Havannah
- Les requins : plusieurs espèces ont été aperçues sur toutes les stations au fil des missions.

En avril 2019 : *Carcharhinus amblyrhynchos* (gris de récif) en ST04 (Woodin), *Triaenodon obesus* (aileron blanc du lagon) en ST04 (Woodin) et ST05 (Ioro), *Carcharhinus albimarginatus* (pointes blanches) en ST09 (Bancs Kié)

En octobre 2019 : *Triaenodon obesus* (aileron blanc du lagon) en ST02 (Creek baie nord)

En mai 2020 : *Triaenodon obesus* (aileron blanc du lagon) près de ST08 (Puka).

Tableau 137 : Extrait de la liste des espèces endémiques, rares ou menacées en Province Sud, potentiellement présentes sur la zone d'étude

Règne animal / milieu marin				
Groupe	Taxon	Genre	Espèce	Nom commun
Mammifères marins	Cétacés	Tous genres	toutes espèces	Baleine, Orque, Cachalot, Globicéphale, Dauphin
	Siréniens	<i>Dugong</i>	<i>dugon</i>	Dugong
Reptiles marins	Cheloniidae	<i>Caretta</i>	<i>caretta</i>	Tortue caouanne ou grosse-tête
		<i>Chelonia</i>	<i>mydas</i>	Tortue verte
		<i>Eretmochelys</i>	<i>imbricata</i>	Tortue imbriquée
		<i>Lepidochelys</i>	<i>olivacea</i>	Tortue olivâtre
		<i>Natator</i>	<i>depressus</i>	Tortue à dos plat

	Dermochelyidae	<i>Dermochelys</i>	<i>coriacea</i>	Tortue luth
	Elapidae	<i>Laticauda</i>	<i>laticauda</i>	Tricot rayé bleu
		<i>Laticauda</i>	<i>saintgironsi</i>	Tricot rayé jaune
Poissons marins	Labridae	<i>Cheilinus</i>	<i>undulatus</i>	Napoléon
	Selachimorpha	Tous genres	toutes espèces	Requins
Mollusques marins	Cassidae	<i>Cassis</i>	<i>cornuta</i>	Casque
	Céphalopodes	<i>Nautilus</i>	<i>macromphalus</i>	Nautile
	Ranellidae	<i>Charonia</i>	<i>tritonis</i>	Toutoute ou conque
	Volutidae	<i>Cymbolia</i>	toutes espèces	Volutes

7.2.2.3 Espèces protégées

Notion existante en Province Nord, elles n'ont pas été définies en Province Sud. Se référer au paragraphe précédent, qui est similaire.

7.2.2.4 Espèces exotiques envahissantes

Rappel de la réglementation :

Titre V : LUTTE CONTRE LES ESPECES EXOTIQUES ENVAHISSANTES

Article 250-1

(*article 1er de la délibération n° 05-2009 du 18 février 2009 relative à la lutte contre les espèces exotiques envahissantes*)

Le présent titre a pour objet de préserver la biodiversité néocalédonienne et de prévenir l'introduction d'espèces exotiques envahissantes dans le milieu naturel, de lutter contre leur dissémination ou de les éradiquer.

On entend par :

- 1° « espèce exotique », toute espèce dont l'aire de répartition naturelle est extérieure à la Nouvelle-Calédonie.
- 2° « espèce exotique envahissante », toute espèce exotique dont l'introduction par l'homme, volontaire ou fortuite, l'implantation et la propagation menacent les écosystèmes, les habitats ou les espèces indigènes avec des conséquences écologiques, économiques ou sanitaires négatives.

Article 250-2

(*article 2 de la délibération n° 05-2009 du 18 février 2009 relative à la lutte contre les espèces exotiques envahissantes*) ; Modifié par délib n° 47-2013/APS du 19/12/2013, art.6-I ; Modifié par délib n° 17-2015/APS du 26/06/2015, art.11 ; Modifié par délib n° 267-2017/BAPS/DENV du 19/04/2017, art.9

I. - Afin de ne porter préjudice ni au patrimoine biologique, ni aux milieux naturels, ni aux usages qui leur sont associés, ni à la faune et à la flore sauvages, sont interdits :

- 1° L'introduction dans le milieu naturel, volontaire, par négligence ou par imprudence, la production, la détention, le transport, l'utilisation, la cession à titre gratuit ou onéreux, la mise en vente, la vente ou l'achat de tout ou partie d'un spécimen vivant d'une espèce animale exotique envahissante listée dans le tableau prévu au IV, ainsi que de ses produits ;
- 2° L'introduction dans le milieu naturel, volontaire, par négligence ou par imprudence, la production, le transport, l'utilisation, le colportage, la cession à titre gratuit ou onéreux, la mise en vente, la vente ou l'achat de tout ou partie d'un spécimen vivant d'une espèce végétale exotique envahissante listée dans le tableau prévu au V ainsi que de ses semences.

Ces listes peuvent être modifiées par délibération du bureau de l'assemblée de province.

Des modalités de prévention, de lutte ou d'éradication particulières peuvent être adoptées pour une espèce exotique envahissante par délibération du bureau de l'assemblée de province.

NB : Les espèces concernées sont, en mars 2009, le black bass, le poisson-million, le porte-épée et la tortue de Floride.

II. - La destruction de tout spécimen doit être réalisée selon les méthodes préconisées par le président de l'assemblée de province. Dès que la présence dans le milieu naturel d'une des espèces listées au I est constatée,

le président de l'assemblée de province peut procéder ou faire procéder à la capture, au prélèvement, à la garde ou à la destruction des spécimens de l'espèce.

III. - Lorsqu'une personne est condamnée pour infraction aux dispositions du présent article, le tribunal peut mettre à sa charge les frais exposés pour la capture, les prélèvements, la garde ou la destruction rendus nécessaires.

IV. - Liste des espèces animales exotiques envahissantes : [...].

Il n'y a qu'une seule espèce exotique envahissante en milieu marin selon le § IV de l'article 250-2 du Code de l'Environnement de la Province Sud : l'étoile de mer japonaise, *Asterias amurensis*.

→ Aucune espèce listée comme « exotique envahissante » au § IV de l'article 250-2 du Code de l'Environnement de la Province Sud n'a été observée lors de cette étude, ni depuis le début du suivi.

8 Conclusion

La zone d'étude est large et comprend des stations dans la baie de Prony, le canal de la Havannah et le canal Woodin. Elle est composée par de multiples biotopes bien diversifiés (récifs coralliens variés et pentes sédimentaires à massifs coralliens) tant au niveau flore que faune.

Le réseau est sous l'influence potentielle de facteurs anthropiques dont l'usine de Vale Nouvelle-Calédonie, mais les suivis depuis 2007 montrent que l'ensemble de la zone est également sous influence de facteurs perturbateurs naturels (houle, ressac, courant de marée, turbidité, dessalure) ainsi que des événements climatiques (El Niño / La Niña) et dépressionnaires exceptionnels (Erika, Vania, Zélia, Freda, Pam, Winston, Cook, Donna, Gita, Hola, Iris, Oma, Gretel ...) (cf. § 7.1).

La conjugaison de ces facteurs perturbateurs anthropiques et/ou naturels entraîne dans le temps des réactions en chaîne comme la remobilisation du matériel corallien le long des pentes récifales, le développement de cyanobactéries, d'algues, de turf et d'espèces prédatrices de corail (prolifération de corallivores comme les *Acanthaster planci* et les *Drupella cornus*), l'hyper sédimentation, les lésions coralliennes (maladies et nécroses) ...

8.1 Le substrat

L'étude des substrats par le LIT a montré que leur composition est très variée d'une station à l'autre (ce qui est normal par rapport à la géomorphologie du récif qui diffère selon les localisations géographiques) mais aussi au sein même d'une station, avec notamment une influence certaine de la profondeur (diminution du recouvrement par les scléactiniaires et les groupes biotiques en général).

Pour cette mission, en octobre 2020 :

Globalement, aucune grande variation temporelle n'est relevable : **les pourcentages de chacune des composantes sont stables par rapport à la mission précédente** (cf. tableau 117). Il n'y a aucune différence notable : les seuls deltas enregistrés sont compris entre :

- -16% de macrophytes et +16.5% d'abiotique pour le transect C de la ST10 (Ilot Kié) : un peu plus de sable au détriment de la classe « corail mort avec algues »
- -7% d'abiotique et +15.5% de scléactiniaires pour le transect C de la ST04 (Woodin) : de grandes colonies de *Tubastraea micrantha* se sont effondrées sous le transect
- -8% de scléactiniaires et +8% de macrophytes pour le transect B de la ST03 (Port), soit une légère régression du recouvrement corallien.

A l'échelle de la zone, **le taux de recouvrement des coraux scléactiniaires est en légère hausse** (20.98% vs 20.39%).

Le recouvrement en cyanobactéries est toujours très bas : seuls 3 transects sont concernés avec un taux à 0.5% et 1%.

Malgré ces résultats généraux reflétant un état de santé des récifs satisfaisant globalement, **2 stations sont toujours dégradées** :

- **La ST01 (Casy)**, dont le **recouvrement en scléactiniaires est au plus bas** (0.5% et 1% pour les transects) du fait d'une prolifération d'*Acanthaster planci* en 2017 – 2018. Celle-ci est terminée, la disparition des coraux ayant entraîné aussi celle des étoiles de mer. Dans ce cas, la résilience sera difficile car le substrat est majoritairement meuble, ne permettant pas le recrutement de larves coralliennes.
- **La ST04 (Woodin) où le recouvrement en coraux scléactiniaires a fortement chuté** du fait de l'attaque des étoiles de mer corallivores (*Acanthaster planci*) de 2018 – 2019. Tombé à 9% et 10% au transect A et B en mai 2020, il se relève légèrement en A à 14% pour cette mission. La résilience est donc peut-être engagée.

8.2 Les communautés benthiques

8.2.1 Etat général

8.2.1.1 Les coraux

La diversité et l'abondance des coraux n'ont pas été étudiées depuis la mission d'avril 2017 (non demandé dans le cahier des charges).

Ce compartiment biologique a été suivi sur la période d'août 2007 à novembre 2016 et les informations recueillies ont été déterminantes pour détecter les perturbations dans la zone d'étude. En effet, les coraux ont l'avantage d'être fixes et très sensibles aux variations de l'environnement. Ils sont de très bons indicateurs et ils sont considérés comme « des sentinelles avancées majeures » pour les suivis biologiques.

La reprise de l'étude sur les coraux est nécessaire car désormais il n'est plus possible à ce jour de constater s'il y a des variations dans les assemblages d'espèces coralliennes et si ce compartiment biologique varie dans le temps et l'espace.

Deux maladies coralliennes (hypermycose endolithique et la bande blanche) et quelques anomalies de croissance sont particulièrement recensées dans la zone d'étude depuis le début du suivi biologique en 2007. Cependant, seule la maladie de la bande blanche (white band disease) a une influence perturbatrice dans le temps sur l'état de santé des récifs dans la zone d'étude. Elle affecte particulièrement les colonies d'*Acropora* tabulaires et branchus mais elle a également été observée sur *Stylophora pistillata*, *Pocillopora verrucosa*, *Montipora*, *Seriatopora caliendrum*, *Seriatopora hystrix* et *Merulina ampliata*. Ces colonies coralliennes meurent en place au fur et à mesure de la progression de la maladie (trace blanche sans polype).

Le développement de cette maladie est encore mal connu, et son abondance est variable entre les missions. Elle peut être importante dans le canal de la Havannah et canal Woodin.

En **octobre 2020**, les transects du réseau de suivi présentant des colonies affectées par la maladie de la bande blanche (surtout sur des *Acropora* tabulaire) sont localisés principalement dans le canal de la Havannah (< 0.8 m²) : ST06A, ST07A, ST08B, ST09C, ST10C (cf. tableau 116).

8.2.1.2 Les invertébrés

En général

L'assemblage des espèces d'invertébrés (hors coraux durs) reste diversifié pour cette mission. Toutefois, cette diversité d'organismes et l'abondance des espèces qui la composent sont plus variables dans le temps que pour les coraux (différence de fixation au substrat, senescence, grande mobilité et saisonnalité). En effet, de nombreux organismes benthiques sont mobiles, pour la plupart nocturnes et en constante recherche de nourriture (échinodermes, mollusques), et d'autres espèces ont une capacité de fixation au récif réduite (comme les ascidies, bryozoaires et certaines éponges).

entre mai et octobre 2020, la richesse spécifique absolue des invertébrés (hors coraux durs) a évolué de -12 à +8 espèces selon les transects.

Dans le canal de la Havannah les récifs exposés ont subi des perturbations induites par les conditions hydrodynamiques intenses. De la nourriture est rendu disponible pour les espèces mobiles comme les échinodermes qui augmentent (astéries, échinides, holothuries) de manière temporaire car elles sont en constante recherche de nourriture. Par contre, les spongiaires et les mollusques ont tendances à régresser car ils ont été balayés ou dégradés par des effondrements de blocs et de débris.

Dans la baie de Prony et le canal Woodin, les échinodermes (dont particulièrement *Diadema setosum*) augmentent de manière significative car ces herbivores profitent du développement algal à la défaveur des coraux dégradés par les *Acanthaster* et l'hyper sédimentation.

Les alcyonaires périssent soit par l'hyper sédimentation ou par l'hydrodynamisme intense.

Ainsi l'influence des apports terrigènes, les conditions hydrodynamiques soutenues et la disponibilité en nourriture sont responsables des changements et de cette distribution des assemblages des espèces benthiques.

Remarque : Ce n'est pas parce que la diversité et/ou l'abondance des invertébrés (hors coraux durs) varient de manière positive entre deux missions, que les récifs n'ont pas subi de perturbation.

En effet, il faut généralement que les perturbations soient majeures (hydrodynamique et/ou sédimentaire) pour

que le signal soit perceptible sur ce groupe. Des individus ou des tests morts peuvent être retrouvés et donc témoins d'une perturbation mais ces observations sont rares car les organismes sont très rapidement consommés en milieu marin.

Par ailleurs, les mollusques et les échinodermes, toujours en recherche de nourriture, peuvent se déplacer sur des zones récifales qui viennent d'être perturbées et où la nourriture est devenue disponible. Ainsi, des dégradations sur les récifs peuvent au contraire attirer ces organismes et donc les échantillonnages voient leur abondance et leur diversité augmenter (cf. § plus bas sur les perturbations d'ordre mécanique).

→ Il est donc nécessaire d'étudier la diversité et l'abondance des coraux pour détecter des perturbations et ainsi caractériser l'état de santé des récifs à court/moyen et long termes.

Les espèces cibles et envahissantes

Depuis le début du suivi en 2007, une attention particulière est portée sur l'évolution de 8 espèces (cf. § 6.2.2.3) pouvant nuire à l'environnement si leur développement s'avérait trop important. En effet, la compétition spatiale (*Asparagopsis taxiformis*, *Lobophora* sp., les cyanobactéries, *Cliona orientalis* et *C. jullieni*) ou la prédation (*Acanthaster planci*, *Culcita novaeguineae* et *Drupella cornus*) avec les coraux scléactiniaires peuvent être très importante. La prolifération à long terme de l'une de ces espèces peut avoir de lourdes conséquences sur l'état de santé des récifs.

En octobre 2020, les espèces cibles ayant un développement pouvant nuire à l'état de santé des récifs sont :

Lobophora. Cette algue brune est à surveiller avec une grande attention en baie de Prony car elle constitue un compétiteur spatial important pour les coraux se développant dans les milieux calmes et perturbés par des facteurs externes comme l'hyper sédimentation et les corallivores. Le recouvrement est important (niveau 5) en ST02A (Creek baie nord) et en ST03B (Port) (cf. § 6.2.2.3.2).

Dans une moindre mesure pour cette mission mais surtout pour les missions précédentes :

Drupella cornus. Ces mollusques corallivores privilégient les colonies d'*Acropora* tabulaires et branchus s'édifiant dans les niveaux bathymétriques supérieurs et médians du canal de la Havannah. Ils ont été recensés seulement en ST10A et ST12A (pour chacune niveau 2 et 0.3 m² de coraux blanchis sans polype) (cf. § 6.2.2.3.5 et tableau 116).

Acanthaster planci est une étoile de mer corallivore (prédatrice de corail).

Elles ne prolifèrent plus (1 spécimen au transect ST02A). Par contre, les proliférations observées lors des missions précédentes ont entraîné des dégradations très importantes sur les coraux en ST01, ST02, ST03 et ST04 (cf. § 5.4.3.2 et § 6.2.2.3.4 et tableau 116).

8.2.1.3 Les macrophytes

En général

L'assemblage des espèces de macrophytes est diversifié pour cette mission.

La diversité des algues dépend des paramètres environnementaux et elle est contrainte par la saisonnalité et les événements exceptionnels (naturels ou anthropiques).

Les valeurs de biodiversité des macrophytes sont faibles durant la saison hivernale (1^{ère} mission semestrielle ; avril-mai) et suite à un événement climatique et/ou dépressionnaire (arrachement). Par contre, elles sont les plus fortes au début de la saison estivale (2nde mission semestrielle ; septembre – octobre), les eaux plus chaudes favorisant le développement des algues rouges.

Pour rappel, la diversité des macrophytes de la mission d'avril 2019 figurait parmi les plus basses enregistrées depuis le suivi de 2007. Ces résultats s'intégraient dans la saisonnalité et faisaient également suite aux vents forts de fin d'année 2018 et début 2019 qui avaient perturbés les récifs les plus exposés.

Les espèces cibles et envahissantes

Le recouvrement des macrophytes est particulièrement important à suivre pour les deux genres *Asparagopsis*

et *Lobophora*, respectivement dans le canal de la Havannah et la baie de Prony (cf. § 5.4.3.1).

→ **Préoccupation majeure en ST03B pour le développement très important de l'algue brune *Lobophora* à la défaveur des coraux (causes : ancienne prolifération d'*Acanthaster planci* et hyper sédimentation récurrente) (cf. § 6.2.2.3.2).**

8.2.1.4 Les espèces exogènes

Aucune espèce exogène (quel que soit le groupe) n'a été répertoriée dans les stations de suivi biologique de la zone d'étude. Il faut noter que la bibliographie à ce sujet est très succincte en Nouvelle-Calédonie au regard des risques encourus avec la circulation des grands navires et du port international de Prony.

Au vu de la taille de l'échantillonnage, il n'apparaît **pas de phénomène d'invasion**.

8.2.2 Les perturbations

Le réseau de surveillance biologique permet de détecter des anomalies.

En effet, la zone d'étude enregistre, pour les 12 stations des trois sites (Prony, Woodin et Havannah), des dégradations qui sont en relation avec l'intensité et la durée d'exposition aux agents hydrodynamiques et météorologiques et à l'activité anthropique (principalement apport et remobilisation de particules sédimentaires terrigènes en baie Kwé, au niveau du quai vraquier du port et dans une moindre mesure au Creek de la baie nord).

Les résultats des tests ANOVAR et Friedman montrent que la diversité absolue des communautés benthiques n'est pas homogène sur la période de 2012 à 2020 pour les 2 ensembles suivants :

- Les invertébrés (hors coraux durs) (le protocole a été amélioré jusqu'en septembre 2011)
- Les macrophytes (sans évolution du protocole depuis 2007).

En écartant les artefacts du protocole qui a été amélioré à certaines missions, les inventaires des différentes missions ont mis en valeur :

- des phases de dégradation, principalement liées aux phénomènes météorologiques (dépressions/cyclones quasi annuel de 2011 à 2020), au phénomène climatique (El Niño 2015-2016) et des perturbations liées aux activités anthropiques d'ordre sédimentaire
- suivies par des réactions en chaîne liées (et localisées) : mortalité corallienne, développement de turf algal, de cyanobactéries et d'algues, de lésions coralliennes (maladies et nécroses), prédation des corallivores (*Acanthaster planci* et de *Drupella cornus*), instabilité du matériel corallien sur les pentes récifales (effondrement de colonies, blocs, débris et sable carbonaté) et/ou hyper sédimentation d'origine terrigène (turbidité)
- mais aussi par des phases de résilience des récifs, comprenant : recrutement, réintégration des zooxanthelles, croissance des coraux, mobilité des invertébrés à la recherche de nourriture, diversification biologique et changement des assemblages.

La saisonnalité des macrophytes apparaît aussi nettement, même si la périodicité des missions n'est pas adéquate pour les étudier. Les variations de leur diversité sont régulières durant l'année et depuis le début du suivi.

Les perturbations d'ordre mécanique

Les perturbations d'ordre mécanique sont enregistrées principalement dans le canal de la Havannah (houle, ressac et courants de marée) et dans une moindre mesure dans le canal Woodin (courants de marée).

Les phénomènes les plus intenses sont les phases dépressionnaires (cf. § 7.1.1) qui perturbent principalement les niveaux bathymétriques supérieur et médian des récifs les plus exposés : des colonies coralliennes sont retournées et arrachées de leur substrat, des accumulations de blocs et débris coralliens se forment, allant jusqu'à constituer des couloirs d'effondrement. Le recouvrement de coraux blanchis ne représente pas forcément une surface très importante mais le nombre d'espèces influencées par ce blanchissement peut être conséquent.

De plus, lorsque les récifs sont perturbés mécaniquement, les invertébrés benthiques subissent, bien évidemment, les forces d'arrachement, ils peuvent être balayés et arrachés des niveaux supérieurs et médians. Mais la recolonisation des espèces d'invertébrés mobiles peut se faire très rapidement. Les échinodermes (astéries, échinides, ophiures et holothuries) et les mollusques (gastéropodes et nudibranches) reviennent

rapidement coloniser la zone dégradée afin de se nourrir dans les débris fraîchement mobilisés.

Ainsi, ce n'est pas parce que la diversité et l'abondance des invertébrés mobiles augmentent que le récif ne subit pas de perturbation de son habitat (impacts sur les coraux scléractiniaires constructeurs de récifs).

Dans un second temps, suite à ces perturbations d'intensité extrême, au fur et à mesure du temps, les agents hydrodynamiques remobilisent les débris et les blocs sur les pentes récifales (effondrement de débris). Il s'ensuit une phase de dégradations secondaires liées à la remobilisation des débris au cours de l'année et à des réactions en chaîne sur les parties médianes et basses des tombant récifaux. Les cyanobactéries (et le turf) peuvent alors se développer, mais leur présence n'est pas obligatoirement pérenne dans le temps (comme par exemple les observations en mai et novembre 2018 pour ST07BC).

En octobre 2020, les perturbations récentes d'ordre mécanique sont réduites (voir négligeables).

Aucun blanchissement dû à ce facteur (petites colonies coralliennes retournées) n'a été observé lors de cette mission (cf. [tableau 116](#)).

De manière générale, les dégradations mécaniques sont observées sur les coraux durs dans les niveaux supérieurs et médians pour les stations exposées aux agents hydrodynamiques : ST04, ST06, ST07, ST08, ST09, ST11, ST12. Des couloirs d'effondrement de débris sont localisés en stations ST04, ST06, ST07 et ST12.

Les perturbations d'ordre sédimentaire

Une attention particulière doit être portée sur les apports de particules terrigènes charriées ou remobilisées dans le milieu marin. Les activités anthropiques dans la zone d'étude (exploitations minières, port) ont une influence sur ce paramètre. Les sources de particules se centralisent aux embouchures des creeks et rivières (particulièrement en baie Kwé et Prony) et se répartissent selon les courants et la dérive littorale sur les récifs avoisinants.

Les apports de MES ont une influence sur la pénétration de la lumière dans la colonne d'eau et sur la sédimentation. Ainsi, si ce facteur de l'environnement évolue, il y a des répercussions sur les organismes benthiques et sur les assemblages d'espèces de la faune et la flore.

Dans la baie de Prony, des épisodes sédimentaires relativement conséquents peuvent être observés en période humide pour les ST02 (Creek baie nord) et ST03 (Port). Ces observations sont amplifiées :

- durant les fortes précipitations et les phases dépressionnaires
- et tout au long de l'année par la circulation des bateaux pour la station à proximité du Port (hélices et ancres des bateaux).

En baie Kwé et de Port Boisé, l'apport de particules terrigènes proviendrait principalement de la Kwé et dans une moindre mesure de la baie de Port Boisée. Cette matière en suspension serait drainée par la rivière Kwé, transportée par les courants de marée puis par la dérive littorale à travers le récif frangeant côtier du canal de la Havannah.

Dans le réseau de suivi général, la station la plus proche de la baie Kwé est ST08 (Puka).

La station ST08 est à l'interface entre les conditions hydrodynamiques intenses du canal de la Havannah, les conditions hyper sédimentaires et les phénomènes de dessalure des eaux de surface des baies (Port Boisé et Kwé) et des pollutions liées aux eaux usées (Port Boisé). Ces paramètres de l'environnement ont été accentués par les phases dépressionnaires de 2011, 2013, 2015, 2017, 2018 et 2020 ainsi que les événements pluviométriques du 2 au 4 juillet 2013 (cf. § 7.1.1.2). Cette station est donc perturbée et dégradée depuis mars 2011 et son état de santé est fluctuant par rapport à l'ensemble des récifs composant le réseau de suivi biologique.

De mars 2011 à 2015, les bio indicateurs s'orientaient vers un état de santé biologique relativement mauvais (maladie de la bande blanche, anomalies de croissance, hypermycose endolithique, lésions coralliennes liées à l'apport particulaire, cyanobactéries, turf algal, gastéropodes corallivores, variation de richesse spécifique en dent de scie).

De mars 2015 à novembre 2016, les indicateurs biologiques se stabilisaient et l'assemblage des espèces coralliennes se diversifiait lentement (résilience lente). Bien que l'inventaire recensait de nouvelles espèces coralliennes, ces dernières mettaient en avant une perturbation sédimentaire car elles étaient caractéristiques de milieux contraints par la turbidité. Ces changements lents dans l'assemblage spécifique corallien et les réactions en chaîne observées depuis plusieurs années peuvent être induits par un apport régulier de particules

terrigènes.

Depuis 2017, l'inventaire des coraux n'est plus réalisé et il n'est plus possible d'évaluer des changements dans les assemblages d'espèces coralliennes. Cependant, pour les 2 dernières missions, la station montre une amélioration particulière concernant l'état de santé des colonies coralliennes.

Hypothèse : la source de particules sédimentaires perturbant les récifs de Puka et les alentours proviendrait de la baie Kwé. Cet apport de MES ne paraît pas être soutenu, ni continu mais serait tout de même assez important dans le temps pour perturber les organismes benthiques depuis le début d'année 2011.

Remarques :


- Si les conditions environnementales d'un milieu évoluent de manière modérée, l'assemblage des espèces va également suivre cette évolution. Les espèces les mieux adaptées résisteront et se développeront, les espèces non adaptées diminueront peu à peu d'abondance et elles seront potentiellement remplacées par d'autres.
- Si les variations d'un ou plusieurs paramètres de l'environnement sont importantes sur une période prolongée alors le seuil critique létal des colonies peut rapidement être dépassé et elles meurent en place.
- Le réseau de suivi biologique n'a pas de station biologique d'observation en baie Kwé et en baie de Port Boisé.
- En novembre 2018, la visibilité de l'eau était la plus importante jamais observée en baie de Prony.

En octobre 2020, les transects présentant des **dégradations liées à la sédimentation** sont ST01A, ST02AB, ST03ABC et ST04A. Aucun blanchissement n'est pas observé pour cette perturbation car les colonies coralliennes sont recouvertes par un dépôt de sédiment.

La station ST08AB (Puka) montre une amélioration particulière concernant l'état de santé des colonies coralliennes (aucun dépôt sédimentaire).

Ces dégradations se caractérisent par :

- des colonies partiellement (nécroses) ou entièrement mortes en place (même les espèces normalement résistantes à la sédimentation sont perturbées comme les colonies de *Porites*, *Cyphastrea japonica*, *Blastomussa merleti*)
- des colonies coralliennes présentant de l'hypermycose endolithique, mais ces colonies ne meurent pas
- le développement des cyanobactéries sur les colonies coralliennes mortes en place et les débris coralliens recouverts de sédiment terrigène
- le développement de l'algue brune *Lobophora* qui est alarmant en ST03 - Port (compétition spatiale importante avec les coraux).

 Les perturbations liées aux anomalies de températures / UV (hausse) et salinité (dessalure)

Les anomalies de température et de salinité peuvent entraîner le blanchissement total ou partiel des organismes vivants en symbiose avec les zooxanthelles (coraux, alcyonaires, anémones, bénitiers), le déplacement des organismes mobiles et/ou la mort de colonies et d'organismes benthiques ne pouvant pas se déplacer (coraux, bivalves, ascidies...). Les platiers sont les zones récifales où ces anomalies sont les plus importantes puis leur influence va diminuer avec la profondeur et/ou la circulation des masses d'eau.

En période estivale et surtout La Niña, les anomalies positives de température influencent particulièrement les platiers récifaux (0 à 5 m) puis dans une moindre mesure les niveaux inférieurs (jusqu'à 15 m). Les biotopes les plus vulnérables sont généralement caractérisés par une faible circulation des masses d'eau.

En période humide (ou durant les phases dépressionnaires), les fortes précipitations peuvent engendrer la dessalure des eaux de surface sur les platiers récifaux (0 à 3 m). Les zones les plus vulnérables sont généralement situées à l'embouchure des creeks et rivières, les platiers récifaux dans les baies. L'épaisseur de la couche d'eau saumâtre va dépendre de plusieurs facteurs dont l'intensité des précipitations et la direction du vent qui peut concentrer les masses d'eau saumâtre au fond des baies (0 à 5 m).

NB : ces perturbations ne peuvent pas être mises en valeur de manière quantitative car aucun transect n'est installé entre 0 et 3 m de profondeur. Cependant, lors de chaque suivi biologique, des observations qualitatives sont tout de même réalisées sur les stations, leurs pourtours et les platiers récifaux.

La période de février/mars 2016 marque le phénomène de blanchissement corallien le plus important observé autour de la Nouvelle-Calédonie depuis 1996. Les récifs ont été perturbés par des anomalies

positives de température, UV et/ou de dessalure particulièrement dans les niveaux bathymétriques supérieurs. Cet évènement s'est produit durant une phase El Niño, mais il serait indépendant et exceptionnel.

Ainsi lors de la mission d'avril 2016, les récifs peu profonds du réseau d'observation, particulièrement de la baie de Prony et du canal Woodin, ont été perturbés par cet évènement exceptionnel. Les récifs du canal de la Havannah ont été beaucoup moins touchés par ces anomalies car la circulation des masses d'eaux est importante dans ce secteur.

En octobre 2020, le blanchissement corallien induit par des variations de températures, UV et/ou salinité est absent. Aucune colonie corallienne ne semble perturbée par ces paramètres de l'environnement (cf. tableau 116).

Une seule espèce d'*Alveopora* en ST10 (Ilot Kié) a expulsé ses zooxanthelles. Cela ne semble pas avoir d'incidence sur sa vitalité car elle blanchi régulièrement et elle réintègre des zooxanthelles à chaque fois lors des missions d'octobre à novembre des années suivantes.

8.2.3 Synthèse

De manière générale, la zone d'étude est composée par de multiples biotopes (récifs frangeants de baie, de chenaux et d'îlots ; pentes récifales et sédimentaires à massifs coralliens). La conjugaison des paramètres de l'environnement est variée et permet à de très nombreuses espèces de coloniser ces différents habitats.

Les observations sur les indicateurs coralliens et les espèces cibles s'orientent, en octobre 2020, sur **un état de santé « Médiocre » à « Bon »**. L'état de santé des stations avec les perturbations enregistrées pour cette mission est donné tableau 138. Le classement ne change pas par rapport à la mission précédente.

Tableau 138 : Etat de santé des stations / perturbations enregistrées (pour cette mission)

ETAT DE SANTE	STATION	PERTURBATIONS / AMELIORATIONS
Médiocre	ST01 (Casy)	Ancienne prolifération d' <i>Acanthaster planci</i> et mortalité corallienne importante
	ST02 (Creek baie nord)	Présence de 1 spécimen d' <i>Acanthaster planci</i> (et anciennes proliférations), perturbations sédimentaires, développement de <i>Lobophora</i> et mortalité corallienne importante
	ST03 (Port)	Ancienne prolifération d' <i>Acanthaster planci</i> , perturbations sédimentaires importantes et régulières, développement préoccupant de <i>Lobophora</i> , présence de <i>Culcita novaeguineae</i> en C et mortalité corallienne importante
	ST04 (Woodin)	Ancienne prolifération d' <i>Acanthaster planci</i> , perturbations sédimentaires, mortalité corallienne importante et perturbations mécaniques (effondrement de colonies de <i>Tubastraea micrantha</i> en C)
	ST12 (Ugo)	Ancienne présence d' <i>Acanthaster planci</i> , développement de cyanobactéries (niveau 3), présence de <i>Drupella cornus</i> et <i>Chicoreus brunneus</i> (faible) et mortalité corallienne
Moyen	ST06 (Ionontea)	Perturbations mécaniques faibles, maladie de la bande blanche (faible)
	ST07 (B. Chambeyron)	Perturbations mécaniques faibles, maladie de la bande blanche (faible) / croissance des <i>Acropora</i> tabulaire en A
	ST09 (Bancs Kié)	Perturbations mécaniques et maladie de la bande blanche (faible)
	ST10 (Ilot Kié)	Maladie de la bande blanche (faible), <i>Drupella cornus</i> (faible)
	ST11 (Toémo)	Maladie de la bande blanche (faible), <i>Drupella cornus</i> (faible)
Bon	ST05 (Ioro)	RAS ; quelques perturbations mécaniques (abrasion sur les colonies coralliennes par les sédiments carbonatés)

ST08 (Puka)

Maladie de la bande blanche (très faible) / croissance des colonies coralliennes en A

L'ensemble des récifs a subi des perturbations naturelles depuis le début du suivi d'août 2007. Les dégradations sur les biocénoses benthiques sont localisées et les réactions en chaîne se multiplient pour certaines stations. L'importance de ces dégradations dépend de la conjonction des sources perturbatrices (sédimentation et/ou variations de températures, UV, salinité et/ou hydrodynamisme et/ou prédation et/ou maladies...), mais aussi du degré et du temps d'explosion et de la périodicité.

Les proliférations d'*Acanthaster planci* (corallivores) sont une menace importante pour les récifs coralliens. La raison pour laquelle l'étoile épineuse envahit périodiquement les récifs demeure encore un mystère. Cette astérie toxique est ainsi connue pour être une espèce invasive à fort potentiel de destruction sur les récifs coralliens, dont elle consomme les polypes en grande quantité. Les anciennes proliférations d'*Acanthaster* ont entraîné des dégradations récifales en **ST01, ST02, ST03** et **ST04** importantes et se traduisent par de nombreuses colonies coralliennes mortes en place (particulièrement *Acropora* branchus et tabulaires, mais les *Acanthaster* dévorent également d'autres espèces).

Dans la zone d'étude, **les perturbations anthropiques ne sont pas négligeables**, elles ne sont pas forcément de forte intensité mais elles sont généralement répétitives tout au long de l'année. Ces perturbations sont d'ordre sédimentaire (apport ou remobilisation de particules terrigènes) puis se sont les réactions en chaîne entraînant le développement de maladies coralliennes, de turf algal, de cyanobactéries et de corallivores.

En ST03 : c'est la circulation des bateaux dans le port qui entraîne la remobilisation des sédiments.

En ST08 c'est l'activité minière qui entraîne l'apport de MES charriées par la rivière Kwé, provoquant des réactions en chaîne (développement de maladies coralliennes, de turf algal, de cyanobactéries et de corallivores). Cela y est couplé avec les impacts de l'hôtel (eaux usées principalement).

Les dégradations récifales naturelles sont exacerbées par les dégradations anthropiques. Les récifs coralliens sont très vulnérables et le changement d'un seul paramètre de l'environnement peut rompre l'équilibre fragile de ces écosystèmes d'intérêt patrimonial.

La résilience des récifs est déterminante dans l'évaluation de l'état de santé.

En octobre 2020, la résilience des récifs est constaté, pour les stations suivantes : ST06, ST07, ST09, ST10 et ST11 (état de santé moyen depuis la mission précédente mais avec des indicateurs en amélioration).

Cette régénération paraît être plus lente depuis que les événements dépressionnaires sont de plus en plus fréquents. En effet, les conditions hydrodynamiques et météorologiques intenses entraînent principalement des perturbations mécaniques et de dessalure mais également sédimentaires.

Par ailleurs, les perturbations anthropiques vont être exacerbées les réactions (apport de particules terrigène par le déboisement et le ruissellement). Ainsi la résilience est particulièrement sinieuse pour deux stations (ST03 - Port et ST08 - Puka) du réseau de suivi. Ces récifs, ayant une reprise lente et en dent de scie, sont soumis comme toutes les stations du réseau de suivi aux perturbations naturelles mais aussi et plus que les autres stations aux perturbations induites par les activités anthropiques (perturbations répétitives sans forcément être intenses : activités portuaire et apports particuliers terrigènes de la baie Kwé).

Enfin, les proliférations d'*Acanthaster planci* en baie de Prony (ST01, ST02, ST03) et canal Woodin (ST04) font augmenter significativement la mortalité corallienne dans ces zones et empêchent toute résilience.

8.3 Les populations ichtyologiques

8.3.1 Résultats

Cette nouvelle mission ne présente pas de valeur ni d'événement exceptionnel.

Relativement aux Indices IAS et IGM (calculés à partir des paramètres de densité, de biomasse et de biodiversité), une appréciation de la qualité du peuplement peut être donnée par une cotation à 12 niveaux pour les stations (cf. [tableau 139](#)) et pour les missions (cf. [tableau 140](#)).

Qualité des stations

Lors de cette mission les stations de Creek baie nord, Port, Basse Chambeyron et Puka ont une meilleure note, alors que la station de l'îlot Kié reste stable. Les autres stations ont une note en baisse (cf. tableau 139).

Soulignons que :

- La station de Basse Chambeyron a pour cette mission des peuplements ichtyologiques exceptionnels.
- La station de Woodin semble réagir à l'invasion d'*Acanthaster* notée en 2018. Il faut rester vigilant.
- La station de Ionontea continue de décroître. Il est possible que le spot ait été repéré par des pêcheurs ou des chasseurs sous-marins puisque ce sont essentiellement les espèces « commerciales » qui font défaut.

Tableau 139 : Note de chaque station selon la qualité du peuplement de poissons

	ST01	ST02	ST03	ST04	ST05	ST06	ST07	ST08	ST10	ST09	ST11	ST12
	Casy	Creek	Port	Woodin	Ioro	Ionontea	Chamb.	Puka	I. Kié	B. Kié	Toémo	Ugo
2017 a	9	7	6	12	6	12	11	6		7	6	8
2017 b	11	3	6	11	6	12	10	5		9	7	6
2018 a	12	2	8	12	8	12	ind	7		12	9	7
2018 b	11	7	6	12	5	12	11	8		6	8	4
2019 a	12	8	5	12	8	11	12	5		9	10	5
2019 b	8	4	7	12	6	8	12	5		7	9	8
2020 a	8	3	6	12	9	9	11	4	6	11	6	7
2020 b	7	6	8	10	6	5	12	5	6	10	5	4

Comparaison de la mission de octobre 2020 à la moyenne des précédentes, par station

Les quatre graphiques de la figure 119 présentent station par station, l'écart relatif de la valeur de cette mission à la moyenne de la station sur la période du suivi (depuis 2007) :

$$\Delta = (X_{2018a} - X_{moy}) / X_{moy}$$

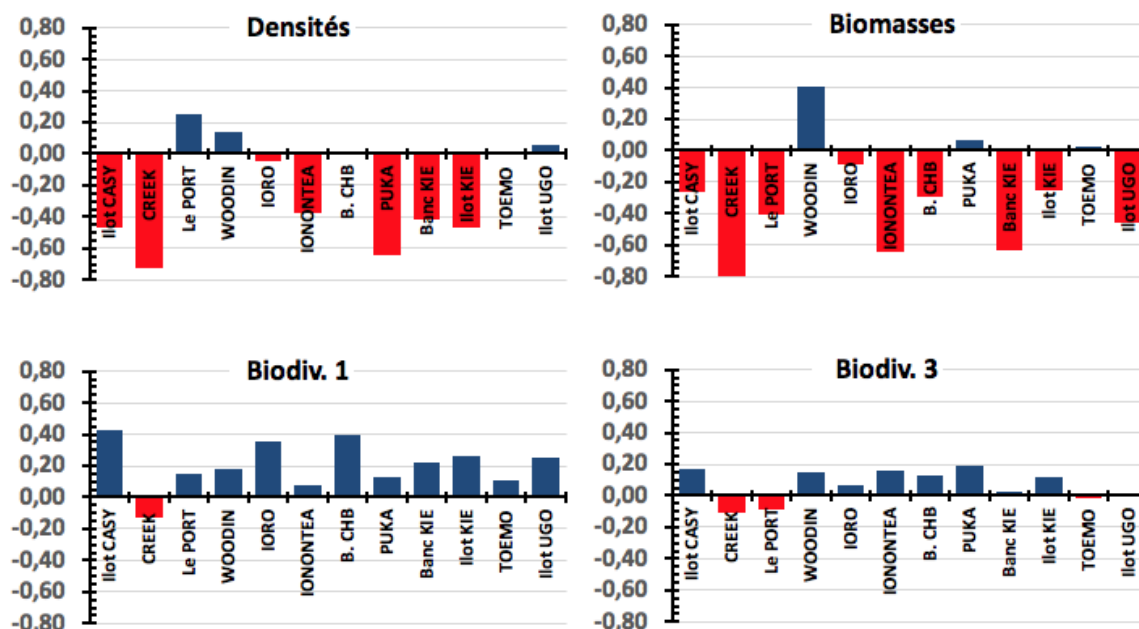


Figure 119 : Ecart des valeurs obtenues en octobre 2020 à chaque station, avec la moyenne depuis 2007 (Icthyologie)

Comparaison de la mission de octobre 2020 à la moyenne globale des stations, par mission

Les quatre graphiques de la **figure 120** présentent mission par mission, l'écart relatif de la valeur moyenne X_i (pour les 4 paramètres) calculée sur ladite mission à la moyenne des moyennes établie sur la période du suivi (depuis 2007) :

$$\Delta = (X_{2018\ b} - X_{moy}) / X_{moy}$$

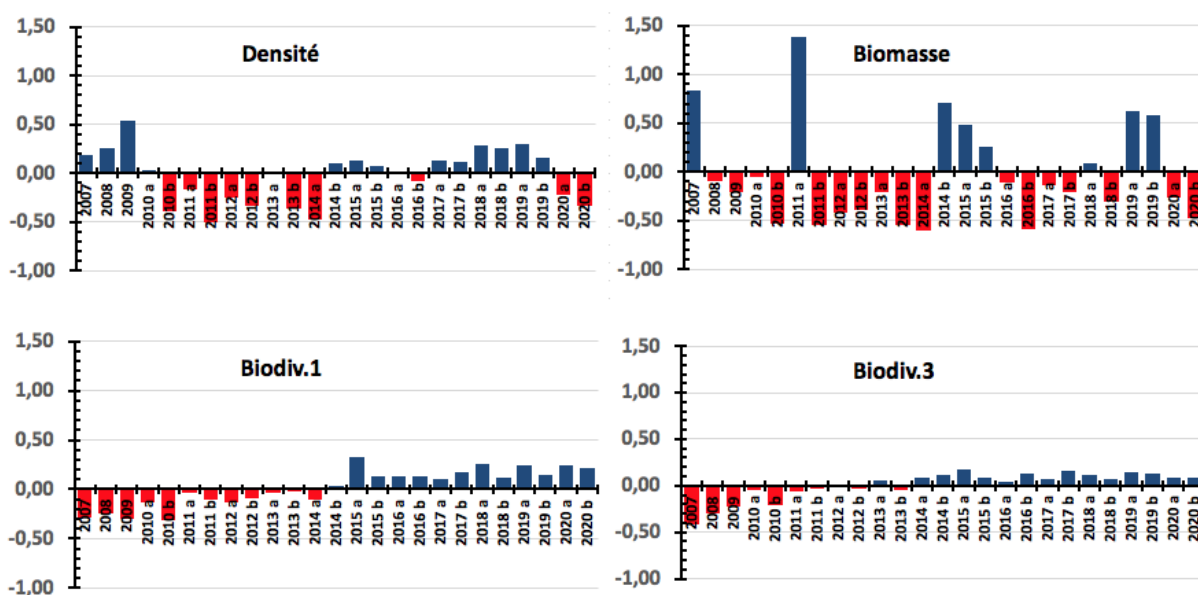


Figure 120 : Ecarts par mission des résultats ichthyologiques en octobre 2020 de l'ensemble des stations, avec la moyenne depuis 2007 (Ichthyologie)

Les classements et notations précédents montrent des écarts entre stations lors d'une même mission d'un ordre de grandeur moins important que les écarts entre missions à une même station. Cette différence est forte pour la biomasse, appréciables pour la densité et peu significative pour les biodiversités.

Qualité des peuplements depuis 2007

Une appréciation synthétique globale de qualité peut être donnée par la prise en compte de toutes les stations de la zone dans une cotation comparative à 4 niveaux et douze degrés au total (cf. § 3.4.3).

L'application aux missions depuis 2007 est donnée dans le **tableau 140**.

Tableau 140 : Qualité du peuplement ichthyologique depuis 2007

2007	7	2011 a	9	2013 b	8	2016 a	9	2018 b	8
2008	6	2011 b	6	2014 a	8	2016 b	8	2019 a	9
2009	6	2012 a	6	2014 b	9	2017 a	8	2019 b	8
2010 a	8	2012 b	7	2015 a	11	2017 b	8	2020 a	7
2010 b	4	2013 a	8	2015 b	9	2018 a	12	2020 b	6

Sous cet angle de vue, l'état du peuplement de poissons lors de cette mission est à un niveau médiocre.

8.3.2 Discussion

Les fluctuations observées sont pour partie naturelles et pour partie artificielles, puisqu'elles sont consubstantielles à la méthode de prise de données.

En effet, naturelles car elles sont dues aux comportements des poissons en rapport avec leurs habitudes et rythmes nycthémeraux et saisonniers, leurs divagations naturelles et leur mode de vie et artificielles car en réaction à la présence des plongeurs d'une part et induite par la méthode du TLV d'autre part. Cette méthode est inappropriée à ce suivi, thème qui a été largement démontré, développé et argumenté dans les rapports précédents.

Toutes ces fluctuations ne traduisent donc pas de réelles variations du peuplement dues à une quelconque

pollution ou surpêche, mais des variations dans le système qui lie les comportements des poissons aux modes d'observation et à la présence du plongeur. Ce système dual « poisson-plongeur » affecte les paramètres de densité et de biomasse qui sont donc pour ces raisons, de médiocres indicateurs d'état.

Nous insistons sur le fait, que contrairement à ce qui est souvent avancé, la méthode du TLV (imposée par le cahier des charges) ne fait pas partie des méthodes de "distance sampling" [R34 à R37, R69], comme le suggère par exemple le Guide du Milieu Marin [R33].

En effet, le TLV déroge aux hypothèses de base de ces méthodes d'évaluation à distance, d'une part du fait de la distribution de l'objet à dénombrer (i.e. les poissons) et d'autre part du fait que l'opérateur influence, par sa seule présence, la distribution et le positionnement de cet objet.

Ces deux points importants, sont contraires aux premières hypothèses qui encadrent impérativement et incontournableement ces méthodes. Et soulignons de plus, que le deuxième travers du TLV vis à vis de ces méthodes de "distance sampling", c'est-à-dire l'impact du plongeur sur le positionnement du poisson [R32, R39, R60], est parfaitement démontré dans l'article de Kulbicki et Sarramegna (1999) [R57] pourtant souvent malencontreusement cité à l'appui de l'utilisation dudit TLV.

En revanche, il apparaît après toutes ces années de suivi que la biodiversité est un paramètre naturellement stable si bien que ses variations sont informatives... Tout du moins, le seraient-elles, si ce paramètre (Biodiversité 1) n'était entravé par le cahier des charges qui limite et encadre le nombre d'espèces à prendre en compte²⁶. Ces restrictions tamponnent et masquent les variations, tant quantitatives que qualitatives de ce paramètre et obèrent, ainsi, une bonne part de son intérêt d'indicateur.

Ce paramètre de biodiversité (totale, soit la Biodiversité 3, que nous ajoutons) permet une analyse comparative des peuplements ichthyologiques sous l'angle de vue de leur fonctionnement et de leur structure. Ce sont, en effet, ces deux thèmes qui sont véritablement sensibles à la qualité du milieu - et pas la biomasse ni la densité - et qui confèrent donc un véritable intérêt informatif à l'ichtyofaune dans le cadre d'un tel suivi. La biomasse et la densité présentent des variations naturelles très importantes et selon des rythmes impossibles à suivre. Toutes ces remarques correspondent aux conclusions du rapport INERIS [R53].

8.3.3 Conclusion

Si l'on revient à la question initiale : Les activités de l'usine, du port et de la mine affectent-elles l'ichtyofaune ?

Sur le long temps

Le constat sur cette période d'observation depuis 2007, donc de « temps long », est que le peuplement de poissons du canal de la Havannah et de la baie de Prony demeure de bonne qualité (cf. [tableau 140](#)).

Les 25 notes de qualité calculées à partir des paramètres de densité, de biomasse et de biodiversité fluctuent pour 21 d'entre-elles entre 6/12 et 9/12

Trois missions ont des notes exceptionnelles ([tableau 140](#)) :

- 2010 b qui avec la note de 4/12 est à la limite du rouge
- 2015 a avec la note de 11/12 et 2018 a avec la note maximale de 12/12.

Les résultats de cette mission la place dans le groupe de queue, 19^{ème} /25 exæquo avec 2008, 2009, 2011b et 2012a.

Sur le temps court

En revanche, sur le « temps court », d'une mission à l'autre les peuplements ichthyologiques changent : les espèces qui forment ces peuplements se renouvellent.

La biodiversité, d'un point de vue qualitatif, présente sur l'ensemble des stations une composition très plastique.

Un très petit nombre d'espèces sont invariablement présentes mission après mission sur une même station. Beaucoup disparaissent des inventaires pendant un ou plusieurs semestres, puis réapparaissent, ou pas,

²⁶ Ainsi, pour cette mission, en considérant la biodiversité 1, ce sont 168 espèces réparties en 25 familles qui sont retenues, sur les 319 réellement observées (réparties en 41 familles) (biodiversité 3)

quelques missions plus tard et disparaissent à nouveau, ou pas. La stabilité quantitative apparente de la Biodiversité α , cache en réalité un ensemble très plastique.

Le peuplement ichthyologique est par nature dynamique et instable à petite échelle de temps mais stable sur le long terme.

Plus concrètement, après 15 années d'observations (2007-2020), il apparait que chaque station i présente une Biodiversité totale ($B\gamma_i$) qui lui est propre et constituée de 210 ± 20 espèces en baie de Prony et de 320 ± 30 espèces sur les stations de la Havannah ou de Woodin.

Du fait du comportement et du mode de vie des espèces, à chaque mission j et sur chaque station i , environ la moitié des taxons de cette $B\gamma_i$ est vue par l'opérateur et forme la $B\alpha_{ij}$. Dans cet ensemble $B\alpha_{ij}$ moins de 10% (soit 20 à 25 espèces) sont présentes de manière régulière mission après mission.

Et c'est le même schéma sur l'ensemble de la zone surveillée. A chaque mission, sur l'ensemble des stations, seule la moitié de la biodiversité totale $B\gamma$ - évaluée à 720 ± 30 espèces - est repérée par l'opérateur, soit 350 à 370 espèces ; et 10% d'entre elles (de $B\gamma$), soit environ 70 à 75 espèces, forment un lot ubiquiste commun à l'ensemble des stations.

Les causes des variations observées laissent une large place à la conjoncture, si bien que seule une variation durable mérite d'être prise en compte.

Aussi, malgré des variations semestrielles et annuelles quelquefois importantes mais jamais durables, le peuplement ichthyologique du sud, considéré sur la période du suivi, est stable, et les activités humaines ne l'ont, à ce jour, pas affecté.

9 Discussion

L'objectif de cette étude est d'effectuer un suivi de l'état des communautés coralliennes sur un ensemble de stations de mesures afin d'alimenter une base de données qui permettra de :

- Evaluer la variabilité naturelle des stations et d'optimiser l'effort d'échantillonnage par une étude de puissance ;
- Suivre dans le temps les effets potentiels des activités industrielles du projet Goro Nickel (Vale Nouvelle-Calédonie).

L'équipe qui a effectué ce travail possède de solides connaissances dans le domaine de l'échantillonnage et en particulier sur la résolution des problèmes sur le terrain, qui peuvent entacher les résultats finaux.

Pour faciliter tant le travail terrain qu'ensuite le traitement des données et surtout la précision des résultats un certain nombre de recommandations est donné dans ce paragraphe.

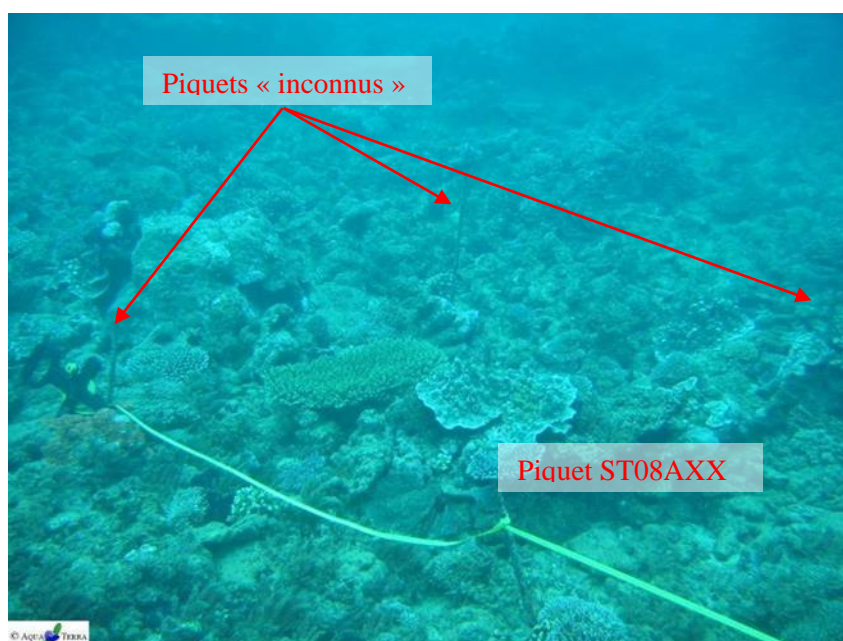
9.1 Améliorations propres à ce suivi

Marquage des piquets

La méthode de suivi temporel statistique retenue par Vale Nouvelle-Calédonie, exige que les échantillonnages soient toujours réalisés sur les mêmes zones.

Cette précision implique la matérialisation physique de la station sous l'eau.

Or, les conditions en mer ne sont pas toujours favorables et de plus, de nombreuses études ont été réalisées dans la zone, ce qui laisse plusieurs autres piquets de marquage, en sus de ceux devant être trouvés (exemple : photographie 28).



Photographie 28 : Station 08 : fin de transect A : 3 autres piquets formant un quadrat

Pour mieux retrouver les stations devant être étudiées et donc les bons piquets (pour éviter notamment la perte de temps et diminuer les risques de dérouler le ruban sur un mauvais piquet), ces derniers devraient être marqués.

Cette identification pourrait être une étiquette (métallique, plastique) poinçonnée, avec un code correspondant à chaque piquet, du type : numéro de la station, lettre du transect, mètre sur le transect (en lettre romaine pour éviter de confondre avec la profondeur)

Exemple comme pour la [photographie 28](#) : c'est le piquet de fin du transect le plus haut station Puka = ST08AXX.

Positionnement et description des stations

Toujours pour permettre de mieux retrouver les stations et de s'orienter dans l'eau, nous proposons depuis plusieurs années de faire réaliser un schéma - horizontal - descriptif de chaque station (exemple succinct [figure 121](#)).

En effet, ce type d'outil permet, une fois arrivés sur zone avec le GPS et qu'un 1^{er} piquet est trouvé (surtout s'il est identifié), de savoir exactement où on se positionne sur la station et d'aller alors directement à la bonne profondeur et dans la bonne direction pour dérouler les rubans métrés.

Ce type de schéma doit comporter : la disposition des transects, des piquets, des points remarquables du paysage, le sens de déroulement des rubans, les profondeurs, etc. avec un mètre le plus précis possible et les orientations.

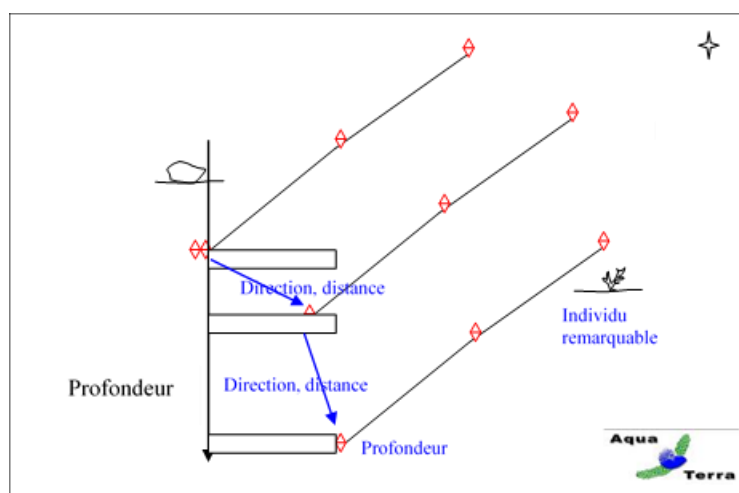


Figure 121 : Exemple de schéma descriptif d'une station

Cet outil (associé au marquage des piquets) serait particulièrement utile pour permettre à d'autres équipes de retrouver les sites. Car à l'heure actuelle pour des intervenants nouveaux, il est quasiment impossible de retrouver tous les transects avec la seule indication du point GPS surface.

Cela conférerait à Vale Nouvelle-Calédonie une autonomie certaine pour les missions terrain.

NB : Pour faciliter notre travail et augmenter sa qualité, nous avons commencé à réaliser, bénévolement, ce travail. Ces différents schémas sont améliorés/enrichis au fur et à mesure des missions.

9.2 Améliorations au cahier des charges

Avec le recul de plusieurs campagnes (avec celles de suivis et les autres, une trentaine en tout), **le cahier des charges, qui date de 2006, doit être revu.**

Des améliorations pourraient être apportées, sur la méthodologie, dont :

Plan d'échantillonnage

Le nombre de station n'est pas suffisant dans le réseau de suivi biologique : La biodiversité de chaque site est dépendante des conditions du milieu mais également du nombre de stations échantillonnées car les espèces se répartissent à travers le récif (ainsi le nombre potentiel d'espèces recensées augmente généralement avec la surface prospecté).

La diversité entre les trois sites est très contrastée mais le plan d'échantillonnage est également très disparate dans la zone d'étude car 7 à 8 stations sont étudiées dans le canal de la Havannah, 3 stations dans la baie de Prony et une station seulement dans le canal Woodin.

Par ailleurs, la baie de Prony et le canal Woodin renferme une multitude de biotopes très vulnérables qui ne sont pas explorés dans le cadre de cette étude. Il faudrait donc compléter l'échantillonnage en positionnant des stations supplémentaires dans ces deux sites.

Il faudrait donc élargir le réseau de suivi biologique, en installant des stations :

- en Rade nord (augmenter le poids de la baie de Prony et mieux suivre cette zone où les risques sont élevés (embouchure du Creek baie nord, port)),
- autour et dans les baies de Port Boisé et Kwé (pour mieux cibler les impacts de ces baies révélés par la station actuelle Puka),
- en Grande Rade (Bonne Anse, Carénage : comme témoins).

Les récifs littoraux de la baie de Prony ne sont pas considérés dans le réseau de suivi : il apparaît un autre problème dans le plan l'échantillonnage de la baie de Prony. Les récifs de cette baie sont régulièrement influencés/dégradés par la dessalure des eaux de surface et les panaches turbides sur des gradients d'éloignement des embouchures, des creeks, des rivières et des résurgences.

Lors de cyclones, ces anomalies sont d'autant plus accentuées. Le cyclone Freda a entraîné une grande anomalie négative de dessalure des eaux de surface en début d'année 2013 [R78]. Les précipitations ont été très abondantes et le vent a concentré les masses d'eau douce au fond des différentes rades. Ainsi l'ensemble des récifs littoraux compris dans les petites profondeurs (0 à 3 m) de la baie de Prony a été gravement perturbé par le phénomène de blanchissement corallien et de mortalité des invertébrés.

Il en a été de même lors des anomalies climatiques du début d'année 2016, qui ont entraîné un phénomène de blanchissement massif.

Malheureusement ces données ne sont pas enregistrées par le réseau de suivi biologique car les transects sont tous implantés sous 5 m de profondeur (en dehors de la zone d'influence de l'eau douce de surface 0 à 3 m). A ce jour, les quelques colonies concernées par le blanchissement dans les stations de suivi général de la baie de Prony sont perturbées par la sédimentation ou la prédation des corallivores.

Cas particulier de la station Puka (ST08) : Compte tenu des dégradations relevées sur cette station en 2011 / 2013 liées aux apports particuliers provenant de la baie Kwé et de la pollution organique de la baie de Port boisé [R17], la mise en place d'un suivi périodique de cette zone semble être primordiale. Le réseau de 14 stations mis en place en décembre 2013 devrait faire l'objet d'un suivi régulier.

=> Afin de suivre les activités anthropiques :

- Nécessité d'installer des stations supplémentaires en : baie Kwé, baie de Port boisé, autour du Port et le long du récif frangeant du canal de la Havannah
- Nécessité d'installer des transects supplémentaires à 2-3 m de profondeur en baie de Prony pour étudier les phénomènes de variations de températures, salinité, UV et les panaches de MES charriées par les creeks et rivières
- Suivi régulier du réseau Puka.

La périodicité d'échantillonnage des macrophytes

Les relevés semestriels de suivi biologique ne sont pas adaptés aux cycles de développement des macrophytes. Les missions semestrielles septembre/octobre et de mars/avril ne permettent pas d'appréhender les valeurs maximales et minimales de diversité et de recouvrement des macrophytes.

Un suivi des macrophytes sur une période trimestrielle serait plus adéquat pour identifier l'ensemble des variations et surtout les amplitudes maximales et minimales de diversité et d'abondance.

De plus, une étude plus détaillée du genre *Asparagopsis* (dans le canal de la Havannah) et du genre *Lobophora* (dans la baie de Prony) serait pertinente pour une meilleure surveillance des risques potentiels d'envahissement, d'invasion, de prolifération et de dégradations sur les communautés coralliennes. Ces investigations complémentaires seraient à mettre en place avec un pas de temps plus court (trimestriel) et une méthodologie adaptée (quadrats) afin d'évaluer leur potentielle nuisance sur l'environnement ainsi que leur développement dans le temps et dans l'espace.

Taxons cibles

Dans le cahier des charges, un certain nombre de taxons cibles ont été listés, car ils sont identifiés comme indicateurs biologiques de l'état du milieu naturel.

Ils doivent donc être échantillonnés.

Nous proposons de rajouter :

- Les **scléactiniaires** qui constituent l'habitat essentiel d'un écosystème récifal et regroupe la majorité des ressources marine tropical. Ils constituent une information capitale en terme de suivi car ils sont très sensibles aux variations de l'environnement marin et sont sessiles (fixes). Une étude comparative peut ainsi aisément être réalisée en prenant en compte la richesse spécifique, l'abondance, le recrutement, la mortalité et le blanchissement (**sentinelle avancée semestrielle**) ;
- Les **alcyonaires** qui représentent un recouvrement biotique conséquent dans les stations d'études et qui sont en compétition territoriale constante avec les macrophytes et les scléactiniaires ;
- Les **cyanobactéries**, qui sont les marqueurs d'un déséquilibre du milieu (eutrophisation) et qui sont directement alors en compétition avec les coraux ;
- Les espèces particulières qui sont **prédatrices du corail** : *Acanthaster*, *Culcita*, *Drupella*, etc. ;
- Les **espèces exogènes**.

Une liste d'inventaire très détaillée des biocénoses benthiques avec de nombreuses espèces cibles comprenant tous ces taxons, même s'ils ne sont pas inscrits au cahier des charges imposé par le suivi réglementaire, a été réalisé de façon volontaire de notre part ainsi que de celle de Vale Nouvelle-Calédonie de 2007 à 2016.

Cependant, au vu du coût engendré, depuis 2017 Vale NC n'a pas maintenu ces études et a strictement commandé en échantillonnage les exigences du cahier des charges provincial.

La diversité et l'abondance des coraux n'ont donc pas été étudiées depuis la mission d'avril 2017. Hors, l'étude de ce compartiment biologique de 2007 à 2016 et les informations recueillies sur cette période (9 ans) ont été déterminantes pour détecter les perturbations dans la zone d'étude.

En effet, les coraux sont des **sentinelles avancées** car ils sont fixes et très sensibles aux variations de l'environnement. Ainsi ils sont considérés comme le meilleur indicateur pour décrire l'état de santé des récifs et pour détecter des perturbations à court et moyen terme.

Désormais il n'est plus possible de constater s'il y a des variations dans les assemblages d'espèces et si ce compartiment biologique varie dans le temps et l'espace.

Hors, la question posée, est : l'usine et la mine affectent-elles le milieu marin ?

Ce que nous enseignent ces années de suivi est que, dans le cadre de ce questionnement, le suivi du corail est primordial (biodiversité, épidémiologie et dynamique des populations : recrutement, croissance et mortalité). La conséquence en est que l'agencement d'une station pour un suivi environnemental, doit être fait en regard de l'étude du corail.

Le LIT, la faune et flore benthiques doivent venir en appont et sont aussi nécessaires pour leurs apports de données quantitatives.

L'ichtyofaune, quant à elle, ne doit son intérêt qu'au fait de sa très grande biodiversité. Si bien que, même si l'on savait estimer avec précision et fiabilité la densité et la biomasse des poissons, cela n'aurait qu'un intérêt mineur au regard de la problématique posée. Il sera donc tiré partie des poissons par le truchement du fonctionnement de cette exceptionnelle diversité, c'est-à-dire par la prise en compte des régimes alimentaires spécifiques et donc des réseaux et des liens avec le benthos et le pélagos.

Il est donc primordial de revoir la liste des thèmes d'études du Cahier des charges :

- maintenir le LIT (avec des répliqués (cf. § plus bas))
- étudier les coraux scléactiniaires
- étudier l'ichtyofaune par sa diversité (biodiversités, régimes alimentaires, juvéniles).

Choix efficient des stations

Ce suivi se fait à travers l'échantillonnage de 3 thèmes (le substrat, le benthos et les poissons), de taxons cibles et de paramètres biologiques clés.

L'un de ces paramètres est le recouvrement et l'abondance/biodiversité en scléactiniaires. En effet ces coraux sont :

- les constructeurs des récifs et donc à la base de l'écosystème corallien (habitat, nourriture, ...),
- sensibles aux perturbations du milieu.

Or, pour pouvoir suivre l'évolution des colonies de coraux (par le LIT ou la méthode du couloir), les stations doivent donc « naturellement » (c'est-à-dire pendant la phase de référence) posséder des taux moyens de recouvrement corallien (pouvant varier, dans les deux sens).

En effet, une station possédant un taux de recouvrement proche de « 0 » ne pourra voir ses pourcentages qu'augmenter, et ne pourra pas servir de marqueur si une dégradation se produit. A l'inverse, des taux trop élevés ne pourront que diminuer.

Il est donc recommandé de choisir pour ce type d'étude des stations possédant entre 30 et 60% de recouvrement corallien.

Sur le réseau de suivi actuel, depuis le début du suivi, la moyenne de recouvrement des scléactiniaires a varié de 14% à 22% selon les missions. Et cela est très fluctuant selon les stations et encore plus les transects, les valeurs extrêmes étant de 0% (ST05C - novembre 2016, ST01A - mai 2020) pour la plus faible à 74% (ST10A, mai 2020) pour la plus forte.

Le déplacement / ajout de certaines stations ou transects est à étudier.

Choix efficient des transects et répliquats

Les transects fixes existants (trois théoriquement pour chaque station) permettent, sous réserve d'être échantillonnés exactement au même endroit chaque année, de quantifier la stabilité ou non de la zone, **mais considérée globalement**.

C'est un suivi global, dans le temps, car c'est la « différence annuelle » qui sert de variable aléatoire. La variable statistique sera donc l'ensemble des différences « année n-1/année n » obtenues à chaque station, chacune des stations donnant donc une valeur et une seule, à cette variable.

Pour permettre un suivi statistique temporel station par station, il faut une variable aléatoire par station. Pour ce faire, l'échantillonnage de transects en répliquats aléatoires - en plus des transects existants - est nécessaire.

La mise en œuvre de ces répliquats est donc à étudier, car ils permettront d'une part d'affiner la probabilité de l'avis donné pour l'ensemble de la zone (dans le temps) et d'autre part de préciser (dans l'espace) s'il y a des différences spatiales et donc juger de ces différences le long d'un gradient d'éloignement des sources potentielles de pollution de manière à préciser si, dans le cas où l'on détecterait des variations, ces variations sont dues ou non à l'usine.

Prises de photographies de spécimens remarquables

Le cahier des charges ne prévoit pas la surveillance des stations par un suivi photographique, comme cela est possible par différentes méthodes.

Cependant, certains spécimens, à certaines stations étant remarquables (par leur taille, leur emplacement, leur espèce, etc.), leur identification est facilitée et leur évolution temporelle peut donc être envisagée facilement par photographie.

Nous proposons de faire établir une liste (avec leur position, et notamment sur les schémas descriptifs des stations) de ces spécimens, pour ensuite les photographier à chaque mission.

9.3 Suggestions au niveau provincial ou territorial

Guide d'échantillonnage

L'étude de 2008 avait permis de montrer que les chiffres globaux biotiques/abiotiques de certaines stations avaient beaucoup évolué par rapport à la campagne précédente de 2007.

Cependant, cette évolution n'était pas du fait d'un changement dans la structure des fonds des stations étudiées, mais plutôt de la différence d'appréciation et d'interprétation du substrat par les opérateurs sous l'eau lors de l'échantillonnage LIT.

C'est pourquoi nous suggérons la réalisation d'un « Guide de l'interprétation des catégories pour le LIT », qui comprendrait le listing des classes, leur description précise et surtout des photos prises *in situ*, sur les stations concernées. Ce travail pourrait être entrepris au niveau de toute la Nouvelle-Calédonie (ou au moins la Province Sud) et par exemple sous pilotage de l'CEIL.

Cela permettrait ainsi à Vale Nouvelle-Calédonie mais aussi à tous les autres intervenants (autres miniers, décideurs, etc.) de limiter les risques d'interprétations différentes selon les échantillonneurs et d'obtenir une base de données générale et comparable.

9.4 Suggestions au niveau des activités anthropiques

Afin d'améliorer l'état de santé des récifs dans la zone d'étude, il est recommandé de **réduire l'apport de particules terrigènes en baie Kwé** (surveillance et gestion des eaux de ruissellement provenant des bassins versants de la mine).

De même, un **bilan complet des rejets d'eaux usées de l'hôtel situé à Port Boisé** devrait être effectif : lieux, volume, composition, Au vu des dégradations cycliques enregistrées à la station Puka, un plan de surveillance et de réduction de la pollution organique est nécessaire.

La **remobilisation des sédiments par les hélices et les chaînes de bateaux** en baie de Prony au niveau du port ne doit pas être négligée et devrait faire l'objet d'une étude complémentaire plus détaillée. Le développement de l'algue brune du genre *Lobophora* (compétitrice spatiale avec les coraux) devient préoccupant.

Par ailleurs, les mouillages fréquents des bateaux provoquent la destruction des fonds.

L'étude de la mise en place de **coffres d'amarrage** pour les bateaux en attente d'accostage à quai devrait être réalisée.

Toutes les observations et photographies de ce document ont été réalisées en octobre 2020. Un réseau de suivi environnemental (piquets permanents) a été installé et permet de revenir sur les mêmes sites. Les données recueillies lors de cette campagne ne peuvent en aucun cas être considérées comme pérennes. Ceci implique le renouvellement de cette étude, à six mois d'intervalle, afin de percevoir les changements éventuels.

10 Sources

Les différentes sources ayant servi à la rédaction du rapport sont présentées ci-dessous, avec, le cas échéant, les numéros qui rappellent les références citées dans le texte de cette étude.

- Aeby G.S., Tribollet A., Lasne G., Work T.M., 2015. Assessing threats from coral and CCA disease on the reefs of New Caledonia. *Journal of Marine and Freshwater Research*. <http://dx.doi.org/10.1071/MF14151>
- Adjeroud M. et Lasne G., 2011. Fiche n° 19 : Abondance des colonies coralliennes. In Beliaeff B., Bouvet G., Fernandez J.-M., David C., Laugier T. Guide pour le suivi de la qualité du milieu marin en Nouvelle-Calédonie. Programme ZONECO et programme CNRT Nickel et son environnement, pages 152-153
- Adjeroud M. et Lasne G., 2011. Fiche 20 : Recouvrement corallien. In Beliaeff B., Bouvet G., Fernandez J.-M., David C., Laugier T. Guide pour le suivi de la qualité du milieu marin en Nouvelle-Calédonie. Programme ZONECO et programme CNRT Nickel et son environnement, pages 154-155
- R01 AEL / LEA, 2013. Rapport d'analyses du 16/07/13, 2p
- Andréfouët S., Torres-Pulliza D., 2004. Atlas des récifs coralliens de Nouvelle-Calédonie, IFRECOR Nouvelle-Calédonie, IRD, Nouméa, Avril 2004, 26p + 22 planches
- Andréfouët S., Chagnaud N., Chauvin C., Kranenburg CJ., 2008. Atlas des récifs coralliens de France Outre-Mer, Centre IRD de Nouméa. 153 p
- Aqua Terra, 2007. Suivi de l'état biologique du milieu marin, avant à la pose de l'émissaire de l'effluent liquide, Projet Goro Nickel. Septembre 2007 Affaire 012-07 C1499-StationPlatier-Ver E (23 p) & Doc C1499-Stations00à05-Ver D (53 p)
- R02 AQUA TERRA, 2008. Rapport final pour « Suivi de l'état des peuplements récifaux et organismes associés en baie de Prony et canal de la Havannah » Projet Goro Nickel, Vale Inco NC. Mission Octobre 2008. Contrat 1996. Document : AQUA TERRA_Rap_047-08_V02. 222p
- Aqua Terra, 2008. Atlas photographique pour « Suivi de l'état des peuplements récifaux et organismes associés en baie de Prony et canal de la Havannah » Projet Goro Nickel, Vale Inco NC. Mission Octobre 2008. Contrat 1996. Document : AquaTerra_AtlasPho_047-08_V01. 96p
- Aqua Terra, 2009. Suivi de l'état biologique du milieu marin, suite à la pose de l'émissaire de l'effluent liquide, Projet Goro Nickel. Mars 2009 Affaire 005-09C1499-Ppt présentation ver 03 Ile Ouen 25 mars 27 diapos
- R03 Aqua Terra, 2009. Rapport final pour « Evaluation de l'impact d'une fuite acide sur le milieu marin » Projet Goro Nickel, Vale Inco NC. Mission 1, avril 2009. PO E13690. Document : AquaTerra_Rap_009-09_V02. 176p
- Aqua Terra, 2009. Atlas photographique pour « Evaluation de l'impact d'une fuite acide sur le milieu marin » Projet Goro Nickel, Vale Inco NC. Mission avril 2009. PO E13690. Document : AquaTerra_AtlasPho_009-09_V01. 104p
- R04 Aqua Terra, 2009. Rapport final pour « Evaluation de l'impact d'une fuite acide sur le milieu marin » Projet Goro Nickel, Vale Inco NC. Mission 2, juin 2009. PO E15217. Document : AquaTerra_Rap_018-09_V03. 182p
- Aqua Terra, 2009. Atlas photographique pour « Evaluation de l'impact d'une fuite acide sur le milieu marin » Projet Goro Nickel, Vale Inco NC. Mission juin 2009. PO E15217. Document : AquaTerra_AtlasPho_018-09_V01. 96p
- R05 Aqua Terra, 2009. Rapport final pour « Suivi de l'état des peuplements récifaux et organismes associés en baie de Prony et canal de la Havannah » Projet Goro Nickel, Vale Inco NC. Mission juin 2009. Contrat 1996 av1. Document : AquaTerra_Rap_006-09_V01. 256p
- Aqua Terra, 2009. Atlas photographique pour « Suivi de l'état des peuplements récifaux et organismes associés en baie de Prony et canal de la Havannah » Projet Goro Nickel, Vale Inco NC. Mission juin 2009. Contrat 1996 av1. Document : AquaTerra_AtlasPho_006-09_V01. 190p
- R06 Aqua Terra, 2010. Rapport final pour « Evaluation de l'impact d'une fuite acide sur le milieu marin »

- Projet Goro Nickel, Vale Inco NC. Mission 3, décembre 2009. PO E18597. Document : AquaTerra_Rap_048-09_V02. 205p
- Aqua Terra, 2010. Atlas photographique pour « Evaluation de l'impact d'une fuite acide sur le milieu marin » Projet Goro Nickel, Vale Inco NC. Mission décembre 2009. PO E18597. Document : AquaTerra_AtlasPho_048-09_V01. 98p
- R07 Aqua Terra, 2010. Rapport final pour « Suivi de l'état des peuplements récifaux et organismes associés en baie de Prony et canal de la Havannah » Projet Goro Nickel, Vale Inco NC. Mission mars-avril 2010. Contrat C2415. Document : AquaTerra_Rap_064-09_V01. 271p
- Aqua Terra, 2010. Atlas photographique pour « Suivi de l'état des peuplements récifaux et organismes associés en baie de Prony et canal de la Havannah » Projet Goro Nickel, Vale Inco NC. Mission mars-avril 2010. Contrat C2415. Document : AquaTerra_AtlasPho_064-09_V01. 180p
- R08 Aqua Terra, 2010. Rapport final pour « Suivi de l'impact d'une fuite acide sur le milieu marin » Projet Goro Nickel, Vale NC. Mission 4, avril 2010. PO E29830. Document : AquaTerra_Rap_019-10_V01. 205p
- Aqua Terra, 2010. Atlas photographique pour « Suivi de l'impact d'une fuite acide sur le milieu marin » Projet Goro Nickel, Vale Inco NC. Mission avril 2010. PO E29830. Document : AquaTerra_AtlasPho_019-10_V01. 96p
- R09 Aqua Terra, 2010. Rapport final pour « Suivi de l'état des peuplements récifaux et organismes associés en baie de Prony et canal de la Havannah » Projet Goro Nickel, Vale Inco NC. Mission septembre 2010. Contrat C2415. Document : AquaTerra_Rap_058-10_V01. 276p
- Aqua Terra, 2010. Atlas photographique pour « Suivi de l'état des peuplements récifaux et organismes associés en baie de Prony et canal de la Havannah » Projet Goro Nickel, Vale Inco NC. Mission septembre 2010. Contrat C2415. Document : AquaTerra_AtlasPho_058-10_V01. 200p
- Aqua Terra, 2011. Etude d'impact environnementale sur la zone P1 pour le dossier de demande de régularisation. Massif minier de Cap Bocage, SMCB : Rapport 046-10 A Ver04 : 286p
- Aqua Terra, 2011. Etude d'impact environnementale sur les zones P2-P3 pour le dossier de demande de régularisation. Massif minier de Cap Bocage, SMCB : Rapport 046-10 B Ver02 : 298p
- Aqua Terra, 2011. Suivi du milieu marin, Demande de Régularisation de travaux miniers, Compléments de l'état initial. Centre minier de Tiebaghi, mine Alpha et projet Dôme (SLN). Mission décembre 2010. Rap 060-10 Ver02 Partie A. 153 p
- Aqua Terra, 2011. Suivi du milieu marin, Demande de Régularisation de travaux miniers, Recommandations. Centre minier de Tiebaghi, mine Alpha et projet Dôme (SLN). Rap 060-10 Ver02 Partie B (Recommandations). 47 p
- R10 Aqua Terra, 2011. Rapport final pour « Suivi de l'état des peuplements récifaux et organismes associés en baie de Prony et canal de la Havannah » Projet Goro Nickel, Vale NC. Mission mars 2011. Contrat C2415. Document : AquaTerra_Rap_001-11_V01. 320p
- Aqua Terra, 2011. Atlas photographique pour « Suivi de l'état des peuplements récifaux et organismes associés en baie de Prony et canal de la Havannah » Projet Goro Nickel, Vale NC. Mission mars 2011. Contrat C2415. Document : AquaTerra_AtlasPho_001-11_V01. 210p
- Aqua Terra, 2011. Suivi de l'état biologique du milieu marin, autour de l'émissaire de l'effluent liquide, Projet Goro Nickel. Juin 2011 CR 011-11 Ver 01 (16 p)
- R11 Aqua Terra, 2011. Rapport final pour « Suivi de l'état des peuplements récifaux et organismes associés en baie de Prony et canal de la Havannah » Projet Goro Nickel, Vale NC. Mission octobre 2011. Contrat C2415. Document : AquaTerra_Rap_040-11_V01. 342p
- Aqua Terra, 2011. Atlas photographique pour « Suivi de l'état des peuplements récifaux et organismes associés en baie de Prony et canal de la Havannah » Projet Goro Nickel, Vale NC. Mission octobre 2011. Contrat C2415. Document : AquaTerra_AtlasPho_040-11_V01. 211p
- Aqua Terra, 2012. Programme de suivi biologique des eaux douces et du milieu marin. Massif minier de Cap Bocage, SMCB : Campagne décembre 2011. Rapport 072-11 Ver01 : 129p
- R12 Aqua Terra, 2012. Rapport final pour « Suivi de l'état des peuplements récifaux et organismes associés en baie de Prony et canal de la Havannah » Projet Goro Nickel, Vale NC. Mission mars 2012. Contrat

- C2415. Document : AquaTerra_Rap_006-12_V01. 436p
Aqua Terra, 2012. Atlas photographique pour « Suivi de l'état des peuplements récifaux et organismes associés en baie de Prony et canal de la Havannah » Projet Goro Nickel, Vale NC. Mission mars 2012. Contrat C2415. Document : AquaTerra_AtlasPho_006-12_V01. 234p
Aqua Terra, 2012. Rapport final pour « Suivi de l'impact d'une fuite acide sur le milieu marin » Projet Goro Nickel, Vale NC. Mission 5, avril 2012. PO E45335. Document : AquaTerra_Rap_016-12_V01. 210p
Aqua Terra, 2012. Atlas photographique pour « Suivi de l'impact d'une fuite acide sur le milieu marin » Projet Goro Nickel, Vale NC. Mission avril 2012. PO E453350. Document : AquaTerra_Rap_016-12_V01. 205p
- R13 Aqua Terra, 2012. Rapport final pour « Suivi de l'état des peuplements récifaux et organismes associés en baie de Prony et canal de la Havannah » Projet Goro Nickel, Vale NC. Mission octobre 2012. Contrat C2415 E20545. Document : AquaTerra_Rap_041-12_V01. 496p
Aqua Terra, 2012. Atlas photographique pour « Suivi de l'état des peuplements récifaux et organismes associés en baie de Prony et canal de la Havannah » Projet Goro Nickel, Vale NC. Mission octobre 2012. Contrat C2415 E20545. Document : AquaTerra_AtlasPho_041-12_V01. 234p
Aqua Terra, 2013. Programme de suivi biologique des eaux douces et du milieu marin. Massif minier de Cap Bocage, SMCB : Campagne avril 2013. Rapport 053-12 Ver01 : 134p
Aqua Terra, 2013. Rapport final pour « Synthèse des données algues, Baie de Prony et canal Woodin et de la Havannah » Projet Goro Nickel, Vale NC. Missions de 2007 à mars 2012. PO E40362 et E40363. Document : AquaTerra_Rap_070-13_V02. 76p
Aqua Terra, 2013. Compte rendu succinct pour « Suivi de l'état de santé du milieu marin, zone du Creek baie nord. Conséquences potentielles du cyclone tropical Freda sur l'étage infralittoral supérieur » Projet Goro Nickel, Vale NC. Janvier 2013. Ppt24p
- R14 Aqua Terra, 2013. Rapport final pour « Suivi de l'état de santé du milieu marin, zone du Creek baie nord » Projet Goro Nickel, Vale NC. Mission 6, janvier 2013. PO E54932. Document : AquaTerra_Rap_004-13_V00. 183p
Aqua Terra, 2013. Atlas photographique pour « Suivi de l'état de santé du milieu marin, zone du Creek baie nord » Projet Goro Nickel, Vale NC. Mission janvier 2013. PO E549320. Document : AquaTerra_AtlasPho_004-13_V01. 180p
- R15 Aqua Terra, 2013. Rapport final pour « Suivi de l'état des peuplements récifaux et organismes associés en baie de Prony et canal de la Havannah » Projet Goro Nickel, Vale NC. Mission mars 2013. Contrat C2415 PO E53799. Document : AquaTerra_Rap_003-13_V01. 441p
- R16 Aqua Terra, 2013. Rapport final pour « Suivi de l'état des peuplements récifaux et organismes associés en baie de Prony et canal de la Havannah » Projet Goro Nickel, Vale NC. Mission septembre 2013. Contrat C2415 PO E53799. Document : AquaTerra_Rap_061-13_V01. 431p
Aqua Terra, 2013. Compte-rendu de mission, novembre 2013 : Etat initial du milieu marin sous le quai vraquier. Document : AquaTerra_CR084-13_V00. 16p
Aqua Terra, 2013. Volet C (Etude d'impact) de la Demande d'Autorisation d'Exploiter le site minier de Kadjitra. Document : AquaTerra_Rap_027-10_V04. 380p
Aqua Terra, 2014. Rapport final pour « Diagnostic de l'état de santé des peuplements récifaux et organismes associés sur et à proximité de l'émissaire » Projet Goro Nickel, Vale NC. Suivi de l'émissaire, novembre 2013. Contrat PO E64212. Document : AquaTerra_Rap_083-13_V01. 134p
- R17 Aqua Terra, 2014. Rapport final pour « Suivi de l'état de santé du milieu marin, Suivi spécifique Puka » Projet Goro Nickel, Vale NC. Mission décembre 2013. PO E62786 et E64977, Document : AquaTerra_Rap_068-13_V02. 246p
Aqua Terra, 2014. Rapport final pour « Herbarium de la Baie Kwé : Première approche : Descriptif général, Cartographie, Etat des lieux initial » Projet Goro Nickel, Vale NC. Mission avril 2014. PO E66764, Document : AquaTerra_Rap_008-14_V00. 53p
- R18 Aqua Terra, 2014. Rapport final pour « Suivi de l'état des peuplements récifaux et organismes associés en baie de Prony et canal de la Havannah » Projet Goro Nickel, Vale NC. Mission avril 2014. Contrat

- C2415 PO E53801. Document : AquaTerra_Rap_027-14_V01. 392p
- Aqua Terra, 2014. Etat de référence pour "Etat des peuplements récifaux et organismes associés en baie de Nakéty » NMC, SMN et SMT. Mission avril 2014. Document : AquaTerra_Rap_066-13_V02. 211p
- R19 Aqua Terra, 2014. Rapport final pour « Suivi de l'état des peuplements récifaux et organismes associés en baie de Prony et canal de la Havannah » Projet Goro Nickel, Vale NC. Mission octobre 2014. Contrat C2415 PO E53801. Document : AquaTerra_Rap_058-14_V00. 329p
- Aqua Terra, 2014. Suivi quantitatif pour "Etat des peuplements récifaux et organismes associés en baie de Poya" NMC. Mission octobre 2014. Document : AquaTerra_Rap_012-14_V01. 105p
- Aqua Terra, 2014. Programme de suivi biologique des eaux douces, site minier de Cap Bocage. SMCB. Campagne 2014. Document : AquaTerra_Rap_078-13_V01. 105p
- Aqua Terra, 2014. Programme de suivi biologique du milieu marin : Suivi quantitatif de l'état des peuplements récifaux et organismes associés, site minier de Cap Bocage. SMCB. Campagne 2014. Document : AquaTerra_Rap_078-13_V01. 164p
- Aqua Terra, 2015. Programme de suivi du milieu marin concerné par les activités minières du Centre de Ouaco NMC / Étude bibliographique - Proposition d'un programme de suivi. Document : AquaTerra_Rap_072-14_V03. 33p
- R20 Aqua Terra, 2015. Rapport final pour « Suivi de l'état des peuplements récifaux et organismes associés en baie de Prony et canal de la Havannah » Projet Goro Nickel, Vale NC. Mission mars 2015. Contrat C2415 PO E53801. Document : AquaTerra_Rap_028-15_V00. 348p
- Aqua Terra, 2015. Programme de suivi biologique des eaux douces, site minier de Cap Bocage, SMCB: Résultats de la campagne 2015. Rapport 099-15 Ver02 : 108p
- Aqua Terra, 2015. Programme de suivi biologique du milieu marin : Suivi qualitatif de l'état des peuplements récifaux et organismes associés, site minier de Cap Bocage. SMCB. Campagne 2015. Document : AquaTerra_Rap_070-14_V01. 112p
- R21 Aqua Terra, 2015. Rapport final pour « Suivi de l'état des peuplements récifaux et organismes associés en baie de Prony et canal de la Havannah » Projet Goro Nickel, Vale NC. Mission octobre 2015. Contrat C2415 E53801. Document : AquaTerra_Rap_071-15_V00. 367p
- Aqua Terra, 2016. Etat de santé des peuplements récifaux et organismes associés en baie de Nakéty. Suivi biologique qualitatif. NMC, SMN et SMT. Mission décembre 2015. Document : AquaTerra_Rap_026-15_V01. 106p
- Aqua Terra, 2016 : Rapport pour « Suivi de l'état des peuplements récifaux et organismes associés au port de Prony. Avant / après travaux de dragage » Projet Goro Nickel, Vale NC. Mission novembre 2014 / août 2015. Contrat E73528. Document : AquaTerra_Rap_065-14_V00. 85p
- Aqua Terra, 2016. Etat de santé des peuplements récifaux et organismes associés en baie de Poya Suivi biologique qualitatif. NMC. Mission décembre 2015. Document : AquaTerra_Rap_096-15_V01. 63p
- R22 Aqua Terra, 2016. Rapport final pour « Suivi de l'état des peuplements récifaux et organismes associés en baie de Prony et canal de la Havannah » Projet Goro Nickel, Vale NC. Mission avril 2016. Contrat C2415 E53801. Document : AquaTerra_Rap_028-16_V00. 374p
- Aqua Terra, 2016. Programme de suivi biologique des eaux douces, site minier de Cap Bocage. SMCB. Campagne 2016. Document : AquaTerra_Rap_085-16_V02. 108p
- Aqua Terra, 2016. Programme de suivi biologique du milieu marin : Suivi qualitatif de l'état des peuplements récifaux et organismes associés, site minier de Cap Bocage. SMCB. Campagne 2016. Document : AquaTerra_Rap_063-16_V01. 91p
- R23 Aqua Terra, 2016. Rapport final pour « Suivi de l'état des peuplements récifaux et organismes associés en baie de Prony et canal de la Havannah » Projet Goro Nickel, Vale NC. Mission novembre 2016. Contrat C2415 E53801. Document : AquaTerra_Rap_090-16_V00. 371p
- Aqua Terra, 2017. Etat de santé des peuplements récifaux et organismes associés en baie de Nakéty. Suivi biologique qualitatif. NMC, SMN et SMT. Mission décembre 2016. Document : AquaTerra_Rap_094-16_V01. 93p
- Aqua Terra, 2017. Etat de santé des peuplements récifaux et organismes associés en baie de Poya Suivi biologique qualitatif. NMC. Mission janvier 2017 (Suivi 2016). Document : AquaTerra_Rap_092-

17_V01. 58p

Aqua Terra, 2017. Etat des lieux du milieu marin, baie de Kûrö, centre minier de Kouaoua, Recherche de stations. NMC. Mission mai 2017. Document : AquaTerra_Rap_011-17_V01. 52p

Aqua Terra, 2017. Etat des lieux du milieu marin, Anse Pörö, centre minier de Bogota. NMC. Mission août 2017. Document : AquaTerra_Rap_028-17_V01. 100p

- R24 Aqua Terra, 2017. Rapport final pour « Suivi de l'état des peuplements récifaux et organismes associés en baie de Prony et canal de la Havannah » Projet Goro Nickel, Vale NC. Mission avril-mai 2017. Contrat E98083. Document : AquaTerra_Rap_003-17_V00. 284p

Aqua Terra, 2018. Programme de suivi du milieu marin, centre minier de Kouaoua. NMC. Document : AquaTerra_Rap_082-17_V00. 28p

- R25 Aqua Terra, 2018. Rapport final pour « Suivi de l'état des peuplements récifaux et organismes associés en baie de Prony et canal de la Havannah » Projet Goro Nickel, Vale NC. Mission septembre 2017. Contrat E98083. Document : AquaTerra_Rap_047-17_V00. 294p

Aqua Terra, 2018. Suivi de l'état des peuplements récifaux et organismes associés : biologique qualitatif et physico-chimique, site minier de Cap Bocage. SMCB. Campagne 2017. Document : AquaTerra_Rap_045-17_V01. 100p

Aqua Terra, 2018. Suivi de la qualité des eaux douces, site minier de Cap Bocage. SMCB. Campagne 2017. Document : AquaTerra_Rap_070-16_V01. 105p

Aqua Terra, 2018. Etat de santé des peuplements récifaux et organismes associés en baie de Nakéty. Suivi biologique qualitatif et physico-chimique. NMC, SMN et SMT. Mission novembre 2017. Document : AquaTerra_Rap_068-17_V01. 99p

Aqua Terra, 2018. Etat des lieux du milieu marin & Validation des stations de suivi du programme, baie de Gomen, Centre minier de Ouaco NMC. Document : AquaTerra_Rap_029-17_V01. 31p

Aqua Terra, 2018. Etat de santé des peuplements récifaux et organismes associés en baie de Poya Suivi biologique qualitatif + Physico-chimique. NMC. Mission décembre 2017. Document : AquaTerra_Rap_069-17_V01. 61p

Aqua Terra, 2018. DAODPM - Notice d'Impact : Travaux de curage, bord de mer de Porwi, centre de Poya. NMC. Document : AquaTerra_Rap_026-18_V00. 43p

- R26 Aqua Terra, 2018. Rapport final pour « Suivi de l'état des peuplements récifaux et organismes associés en baie de Prony et canal de la Havannah » Projet Goro Nickel, Vale NC. Mission mai 2018. PO n°L06374. Document : AquaTerra_Rap_014-18_V00. 297p

Aqua Terra, 2019. Etat des peuplements récifaux et organismes associés. Suivi biologique qualitatif. Site minier de Cap Bocage. SMCB. Campagne 2018. Document : AquaTerra_Rap_073-18_V01. 96p

- R27 Aqua Terra, 2019. Rapport final pour « Suivi de l'état des peuplements récifaux et organismes associés en baie de Prony et canal de la Havannah » Projet Goro Nickel, Vale NC. Mission novembre 2018. PO n°L06374. Document : AquaTerra_Rap_071-18_V00. 308p

Aqua Terra, 2019. Etat de santé des peuplements récifaux et organismes associés en baie de Nakéty. Suivi biologique qualitatif. NMC, SMN et SMT. Mission novembre 2018. Document : AquaTerra_Rap_074-18_V00. 91p

Aqua Terra, 2019. Etat de santé des peuplements récifaux et organismes associés en baie de Poya : Suivi biologique qualitatif. NMC. Mission octobre 2018. Document : AquaTerra_Rap_67-18_V01. 58p

Aqua Terra, 2019. Etat de santé des peuplements récifaux et organismes associés. Centre minier de Kouaoua : Suivi biologique quantitatif et physico-chimique. NMC. Mission décembre 2018. Document : AquaTerra_Rap_069-18_V02. 126p

- R28 Aqua Terra, 2019. Rapport final pour « Suivi de l'état des peuplements récifaux et organismes associés en baie de Prony et canal de la Havannah » Projet Goro Nickel, Vale NC. Mission avril 2019. PO n°L06374. Document : AquaTerra_Rap_001-19_V00. 311p

- R29 Aqua Terra, 2019. Rapport final pour « Suivi de l'état des peuplements récifaux et organismes associés en baie de Prony et canal de la Havannah » Projet Goro Nickel, Vale NC. Mission octobre 2019. PO n°L06374. Document : AquaTerra_Rap_041-19_V01. 326p

Aqua Terra, 2020. Rapport final pour « Caractérisation de l'herbier de la baie Kwé » Projet Goro Nickel,

- Vale NC. Mission juin 2020. PO n° L26698. Document : AquaTerra_Rap004-20 V01. 37p
- Aqua Terra, 2020. Compte-rendu de mission « Inspection du diffuseur » Projet Goro Nickel, Vale NC. Mission juin 2020. PO n° L31128. Document PowerPoint : AquaTerra_CRMission_InspectionEmissaire_Juin2020. 15p
- Aqua Terra, 2020. Film commenté « Inspection du diffuseur » Projet Goro Nickel, Vale NC. Mission juin 2020. PO n° L31128. Film du 30/06/20 : AquaTerra_017-20_Film_InspectionEmissaire_Juin2020. 5'52 mn
- Aqua Terra, 2020. Film : Extrait non commenté de la station E11 « Inspection du diffuseur » Projet Goro Nickel, Vale NC. Mission juin 2020. PO n° L31128. Film du 06/07/20 : AquaTerra_017-20_Film_InspectionEmissaire_Juin2020. 1'15 mn
- Aqua Terra, 2020. Rapport final pour « Inspection du diffuseur » Projet Goro Nickel, Vale NC. Mission juin 2020. PO n° L31128. Document : AquaTerra_Rap017-20 V01. 30p
- Aqua Terra, 2020. Présentation PPT : Etat du milieu marin à proximité du quai général, Port de Prony. Document : AquaTerra_Rap038-20 V02. 18p
- R30 Aqua Terra, 2020. Rapport final pour « Suivi de l'état des peuplements récifaux et organismes associés en baie de Prony et canal de la Havannah » Projet Goro Nickel, Vale NC. Mission mai 2020. PO n°L26698. Document : AquaTerra_Rap003-20_V01. 347p
- Aqua Terra, 2020. Porter A Connaissance au titre de l'arrêté minier n°2698-2016/ARR/DIMENC du 29 septembre 2016 et de l'arrêté d'occupation de dépendances du domaine public maritime concernant le port de Prony n°763-2003/PS du 5 juin 2003. Cessions de minerai saprolitique à la SLN, Aménagements et opérations logistiques pour les premières cargaisons – test opérationnel. Projet Goro Nickel, Vale NC. Document : AquaTerra_Rap008-20_V01. 169p
- Atiullah M., 1962. On the effect of non-normality on the estimation of components of variance. *J. Roy. Statist. Soc., Ser. B* 24, 140-147
- Avias J., 1959. Les récifs coralliens de la Nouvelle-Calédonie et quelques-uns de leurs problèmes. Extrait du *Bul. Soc. Géol. Fr*, 7è série, t.I, p 424-430
- R31 Baker F.B., et Collier O., 1966. Some empirical results on variance ratios under permutation in the completely randomized design. *J. Amer. Statist. Ass.* 61, 813-820
- R32 Barnabé G., 1976. Utilisation des techniques de la pêche sous-marine pour l'étude des populations de poissons littoraux. *Rapp. Comm. int. Mer Medit.*, 23 (6) : 63-64
- Baudry et Baudry-Lavel, 1982. La mesure de la diversité spatiale. Relation avec la diversité spécifique, utilisation dans les évaluations d'impact. *Acta Oecologica, Oecol. Applic.*, 3(2), 177-190
- R33 Beliaff B., Bouvet G., Fernandez J-M., David C., Laugier T., 2011. Guide pour la qualité du milieu marin en Nouvelle-Calédonie. Programme ZONECO et programme CNRT Le Nickel. 169p
- Bellwood D.R., Hughes T.P., 2001. Regional-scale assembly rules and biodiversity of coral reefs. *Science* 292, 1532–1534
- Bellwood D.R., Hughes T.P., Connolly S.R., Tanner J., 2005. Environmental and geometric constraints on Indo-Pacific coral reef biodiversity. *Ecology Letters* 8, 643–651
- Benzoni F., Lasne G., Pichon M., Payri C., 2008. Patterns of zooxanthellate scleractinia biodiversity in New Caledonia Biodiversity and Diversification of Reef Organisms. Coral reef symposium 2008
- Biocenose marine, 2014. CR de mission du 08 mai 2014 (Partenariat Biocenose marine, AQUA TERRA et ACREM). Evaluation de l'état de santé du milieu marin de la zone du creek baie nord (7ème mission / 08 mai 2014). PO E68 779. Document : BIOCENOSE MARINE CR_135_15052014 (23 diapos)
- Biocenose marine, AQUA TERRA et ACREM, 2014. Evaluation de l'état de santé du milieu marin de la zone du creek baie nord (7ème mission / 08 mai 2014). Rapport d'étude n°135_2014_V03. 146 p
- Biocenose marine, 2014. CR de mission du 21 mai 2014 (Partenariat Biocenose marine, AQUA TERRA et ACREM). Evaluation de l'état de santé du milieu marin de la zone du creek baie nord (8ème mission / 21 mai 2014). PO E68 779. CR_136_109062014 (29 diapos)
- Biocenose marine, AQUA TERRA et ACREM, 2014. Evaluation de l'état de santé du milieu marin de la zone du creek baie nord (8ème mission / 21 mai 2014). PO E68 779. Rapport d'étude n°135_2014_V03. 146 p

- Bird E.C.F., Dubois J.P. et Iltis J., 1981. The impacts of opencast mining on the rivers and coasts of New Caledonia. NRTS- 25/UNEP-505 : 53p
- R34 Buckland S. T., 1992. Fitting density functions with polynomials. *Applied Statistics* ,41, 63:76
- R35 Buckland S. T., 2006. Point transect surveys for songbirds : robust methodologies. *The Auk*,123, (2), 345-345
- R36 Buckland S. T., Anderson D. R., Burnham K. P., Laak J. L., Borchers D. L. and Thomas L., 2001. Introduction to distance sampling - Estimating abundance of biological populations. Oxford University Press, Oxford
- R37 Buckland S. T., Anderson D. R., Burnham K. P., Laake J. L., Borchers D. and Thomas L., 2004. Advanced Distance Sampling. Oxford University. Press, Oxford
- R38 Box et Andersen, 1955. Permutation theory in the derivation of robust criteria and the study of departures from assumption. *J. Roy. Statist. Soc., Ser. B* 26, 211-252 B 17, 1-26
- Cabioch G., 1988. Récifs frangeants de Nouvelle-Calédonie (Pacifique sud-ouest). Structure interne et influences de l'eustatisme et de la néotectonique. Publications de l'Université de Provence (ed.), Aix en Provence : 291 p. + 25 planches-photos
- Chakravorti S., 1967. Effect of the inequality of variances in analysis of variance ratio. *Biometrika* 16, 103-120
- R39 Chapman C. J., Johnstone A. D. F., Dunn J. R. and Creasy D. J., 1974. Reactions of fish to sound generated by divers' open-circuit underwater breathing apparatus. *Marine Biology* 27 : 357-366
- Chevalier J.P., 1973. Coral reefs of New Caledonia. in : JONES O.A, ENDEAN R. (ed.) : Biology and geology of coral reefs. New York : Acad. Press. Vol 1, Geol. 1 : 143-166
- Chevalier J.P., 1975. Les Scléactiniaires de la Mélanésie française. 2ème partie. in : Expéd. fr. sur les récifs coralliens de la Nouvelle-Calédonie. Paris : Singer-Polignac. Vol. 7 : 407 p
- Chevalier J.P., 1980. Les coraux du lagon de la Nouvelle-Calédonie. in : DUGAS F., DEBENAY J.P. Carte sédimentologique et carte annexe du lagon de Nouvelle-Calédonie à 1/50 000. Feuille la Tontouta. Paris : ORSTOM. Not. Explic., 86 : 17-22
- Chevillon C., 1989. Sédimentologie descriptive et cartographie des fonds meubles du lagon de la côte Est. ORSTOM
- Chevillon C., 1997. Sédimentologie descriptive et cartographie des fonds meubles du lagon de la côte Est de Nouvelle-Calédonie. in B. RICHER DE FORGES (ed.), Les fonds meubles des lagons de Nouvelle-Calédonie (Sédimentologie, Benthos). Etudes & Thèses, volume 3, ORSTOM : Paris : 7-30. ISBN 2-7099-1376-3
- Clua E., Legendre P., Vigliola L., Magron F., Kulbicki M., Sarramegna S., Galzin R., 2006. Medium scale approach (MSA) for improved assessment of coral reef fish habitat. *Journal of Experimental Marine Biology and Ecology*, 333(2), 219–230
- R40 Cochran W.G., 1947. Some consequences when the assumptions for the analysis of variance are not satisfied. *Biometrics* 3, 22-38
- Cochran W. G., 1951. Testing a linear relation among variances. *Biometrics* 7: 17-32
- Dagnelie P., 1980. Théorie et méthodes statistiques, Les Presses Agronomiques de Gembloux, (Vol II) 463 p
- R41 Donaldson, 1968. Robustness of the F-test to error of both kinds and the correlation between the numerator and denominator of the F-ratio. *J. Amer. Statist. Ass.* 63. 660-676
- Douillet P. et Fernandez J.M., 2009. Etude sur le comportement, la dispersion et les effets biologiques des effluents industriels dans le lagon sud de la NC. Modélisation et simulation du transport des formes particulières d'origine naturelle. Simulation annuelle de la sédimentation des particules naturelles en contact avec l'effluent. Convention IRS/Goro-Ni n°1124, 55p
- R42 English S. and *al.*, 1997. Survey manual for tropical marine resources (2nd Edition). Australian Institute of Marine Science. 390p
- Faure G., Thomassin B., Vasseur P., 1981. Reef coral assemblages on the windward slopes in the Noumea Lagoon (New Caledonia). Proc. 4th int. Coral Reef Symp., Manila, 18-22 May 1981. 293-301

- Fernandez J-M., Chevillon C., Belhandouz A., Di Matéo A., 2006. Etude des apports sédimentaires à l'embouchure du creek de la rade Nord (Baie de Prony). UR-103 CAMELIA, IRD-Noumé Nouvelle-Calédonie
- R43 Fernandez J-M. et Moreton B., 2013. Rade Nord : physico-chimie de la colonne d'eau consécutivement au passage du cyclone Fréda. Rapport AEL A130117-V-002, contrat Vale-NC/AEL n°E54930, 33p
- Fernandez J.M., Moreton B., Le Grand H., Pluchino S., 2013. Suivi des densités de flux verticaux de particules dans le Canal de la Havannah et la baie Kwé : mission de janvier et février 2013. Contrat Vale-NC/AEL n° 2684, Rapport AEL 110308-VI-11, 60p
- R44 Fisk D., 2009. Best practice for LIT survey. Coral list Vol4 Issue 28
- R45 Friedman M., 1937. The use of ranks to avoid the normality implicit in the analysis of variance. *J. Amer. Statist. Ass.* (32) 675-701p
- Gabriel C., Cros A., Chevillon C., Downer A. 2005. Analyse Eco-régionale marine de Nouvelle-Calédonie. Atelier d'identification des aires de conservation prioritaire. 112p
- Gabriel C., Garrigue C., Kulbicki M., Laboute P., Lebigre J.M., Lasne G., Payri C., Pichon M., Richer de Forges B., Spaggiari J., Renoux R., Dec 2008. Analyse Ecorégionale Marine de la Nouvelle-Calédonie
- Garrigue C., 1985. Répartition et production organique et minérale de macrophytes benthiques du lagon de Nouvelle Calédonie. Thèse, Université des Sciences et Techniques du languedoc, Montpellier, 270 pp
- Garrigue C. & Tsuda R.T., 1988. Catalog of marine benthic algae from New Caledonia. *Micronesico*, 21, 53-70
- Garrigue C. & Di Matteo A., 1991. La biomasse végétale benthique du lagon sud-ouest de Nouvelle-Calédonie. Résultats bruts : liste taxonomique, biomasses, pigments chlorophylliens. *Arch. Sci. Mer, Biol. iiiur., ORSTOM, Noumea*, 1, 143 pp
- R46 Geary, 1956. Test de la normalité. *Ann. Inst. Poincaré* 15, 35-65
- R47 Glynn P.W., 1993. Coral reef bleaching: ecological perspectives. *Coral Reefs*, 12, 1-17
- R48 Green H., 1979. Sampling design and statistical methods for environmental biologists. Wiley Interscience, Chichester, England
- R49 Ginger Soproner, 2013. Avis sur les mortalités observées en juillet 2013, Rapport final, 29p
- Goldman J.C. & Carpenter E.J., 1974. A kinetic approach to the effect of temperature on algal growth. *Limnol. Oceanogr.* 19: 756-66
- Guille A., Menou J. L., Laboute P., 1986. Guide des étoiles de mer, oursins et autres échinodermes du lagon de Nouvelle-Calédonie. Edition de l'ORSTOM. 238p
- R50 Hack, 1958. An empirical investigation into the distribution of the F-ratio in samples from two non-normal populations. *Biometrika* 45, 260-265
- Harborne A.R., Mumby P.J., Zychaluk K., Hedley J.D., Blackwell P.G., 2006. Modeling the beta diversity of coral reefs. *Ecology* 87, 2871-2881
- R51 Harmelin-Vivien M. L., J.G. Harmelin, C. Chauvet, C. Duval, Galzin, P. Lejeune, G. Barnabé, F. Blanc, Chevalier, J. Duclerc, G. Lasserre, 1985 – Evaluation visuelle des peuplements et populations de poissons : méthodes et problèmes. *Revue d'Ecologie (Terre et Vie)*, vol. 40 : 80p
- R52 Haszprunar G., Vogler C. et Wörheide G., 2017. Persistent gaps of knowledge for naming and distinguishing multiple species of crown-of-thorns-seastar in the *Acanthaster planci* species complex. *Diversity* (www.mdpi.com/1424-2818/9/2/22/pdf)
- Hily C., Duchêne J., Bouchon C., Bouchon-Navaro Y., Gigou A., Payri C., Védie F., 2010. Les herbiers de phanérogames marines de l'outre-mer français. Hily C., Gabriel C., Duncombe M. coord. IFRECOR, Conservatoire du littoral. 140 p
- Horsnell G., 1953. The effect of unequal group variances on the F-test for homogeneity of group means. *Biometrika* 40, 128-136
- R53 Ineris, 2016. Rapport principal "Optimisation du plan de suivi environnemental du milieu marin autour des installations industrielles, minières et portuaires de VALE NC". Rapport d'étude N° DSC-15-148566-12273A. 04 février 2016 72p

- Kelleher T., Robinson H.F., et Comstock R.E., 1958. Precision of estimates of variance components. *Biometrics* 14, 69-77
- Keuls M., 1952. The use of the studentized range in connection with an analysis of variance. *Euphytica* 1, 112+122
- R54 Kinne O., 1980. Introduction to the treatise and to Volume 1, in : Kinne, O. (1980). *Diseases of marine animals : 1. General aspects, Protozoa to Gastropoda*. pp. 1-11
- R55 Kinne O., 1980. *Diseases of marine animals : general aspects*, in : Kinne, O. (1980). *Diseases of marine animals : 1. General aspects, Protozoa to Gastropoda*. pp. 13-73
- Kruskal W.H., Wallis W.A., 1952. Use of ranks in one-criterion variance analysis. *Journal of the American Statistical Association* 47 (260) : 583–621 et 48, 907-911
- R56 Kulbicki M., Guillemot N., Amand M., 2005. A general approach to length-weight relationships for New Caledonian lagoon fishes. *Cybium* 2005, 29 (3) : 235-252
- R57 Kulbicki M., Sarramagna S., 1999. Adequacy of several density estimates obtained from underwater visual censuses : a case study of Chaetodontidae and Pomacanthidae. *Aquatic Living Resources* 12, Laboute P., Grandperrin R., 2000. *Poissons de Nouvelle-Calédonie, Nouméa : Catherine Ledru*, 519p
- R58 Labrosse P., Kulbicki M., Ferraris J., 2001. Comptage de poissons en plongée. Conditions d'utilisation et de mise en œuvre. Ed. SPC Nouméa, Nouvelle-Calédonie. 54p
- Lasne G., 2006. Synthèse bibliographique des coraux de Nouvelle-Calédonie. C. de coord. CRISP / IRD 93p
- Lasne G., 2007. Les coraux de Nouvelle-Calédonie : Synthèse bibliographique. Cellule de coordination CRISP, IRD, WWF, MNHN, EPHE. 93p
- Lasne G., 2009. Inventaire des coraux scléactiniaires du Grand Lagon Nord – Mission CoRalCal 3-IRD. (CRISP). 119p
- Lasne G., 2010. Inventaire des coraux scléactiniaires du Grand Lagon Nord de la Nouvelle-Calédonie – Campagne CORALCAL III, 10-30 mars 2009. 122p / Cellule de coordination CRISP, IRD. 120p
- Lasne G., 2014. Estimation temporelle de la colonisation biotique sur la partie rompue de l'émissaire marin et évaluation de l'état de santé des communautés récifales aux abords de cette rupture. Rap 135-2014_V02. 19p
- Lasne G. in Clua E., McKenna S., Vieux C., 2011. Contribution à l'inventaire biologique et à l'évaluation des ressources des récifs des Chesterfield – Apia, Samoa : SPREP
- Legendre P., Borcard D. and Peres-Neto R.P., 2005. Analysing Beta Diversity : *Ecological Monographs*, 75 (4) :435-50
- Legendre P. et Legendre L., 1998. *Numerical Ecology*. Ed. : Elsevier. p 852
- R59 Leroy A., 2006, Utilisation des prévisions saisonnières en Nouvelle-Calédonie. Note de la DP no. 6, Direction de la Météorologie, MétéoFrance. 169 pp
- Levi C., Bargibant G., Menou J.L., Laboute P., 1998. Sponges of the New Caledonian Lagoon. Edition de l'ORSTOM. 214p
- R60 Lobel PS., 2005. *Scuba Bubble Noise and Fish Behavior : A Rationale for Silent Diving Technology*. American Academy of Underwater Sciences
- MacArthur R.H. et MacArthur J., 1961. On bird species diversity. *Ecology*, 42, 594-598
- R61 Météo France, 2013. Bulletin météorologique exceptionnel. <http://www.meteo.nc/actualites/364-episode-pluvieux-debut-juillet-2013>
- Motomura I., 1932. A statistical treatment of associations, *Jpn. J. Zool.* 44: 379–383
- R62 Mundy C., 1985. These about accuracy and precision of the LIT method. James Cook University Townsville
- Newman D., 1939. The distribution of range in samples from a normal population expressed in terms of an independent estimate of standard deviation. *Biometrika* 31, 20-30
- Œil, 2012. Communautés récifales dans le périmètre d'influence de Vale Nouvelle Calédonie : Etat de référence en 2011. 4 Parties

- Ormond R.F.G., Roberts C., 1997. The biodiversity of coral reef fishes. In: Ormond, R.F.G., Gage, J.D., Angel, M.V. (Eds.), *Marine Biodiversity: Patterns and Processes*. Cambridge University Press, pp. 216–257
- Ornellas A.B. and Coutinho R., 1998. Spatial and temporal patterns of distribution and abundance of a tropical fish assemblage in a seasonal Sargassum bed, Cabo Frio Island, Brazil. *J. Fish Biol*, 53 (A). 198-208
- Parrish J. D., 1989. Fish communities of interacting shallow-water habitats in tropical oceanic regions. *Mar. Ecol. Prog. Ser.* 58 : 143-160
- R63 Payri C. et Richer de Forges B., 2006. Compendium of marine species from New Caledonia. *Doc. Sci. Tech. II7 volume spécial, IRD*
- Payri C., Petek S., Menou J.L., Lasne G., Butscher J., 2007. Biodiversité et substances marines des îles Fidji (Algues, Eponges, Ascidies, Echinodermes)
- Pearson E.S. et Hartley H.O., 1966. *Biometrika tables for statisticians (Vol I)* University Press, Cambridge, 264p
- R64 Pichon M., 2006. Scleractinia of New-Caledonia. in Payri C. et Richer de Forges B., (eds). *Compendium of marine species from New Caledonia. Doc. Sci. Tech. II7 volume spécial, IRD* : 148-155
- Randall J.E., Allen G.R. and R.C. Steene, 1990. *Fishes of the Great Barrier Reef and Coral Sea*. University of Hawaii Press, Honolulu, Hawaii. 506p
- R65 Randall J.E., 2005. *Reef and shore fishes of the South Pacific*. University of Hawaii, Press book. 707 p
- Richer de Forges B., 1998. Thèse : La diversité du Benthos marin de Nouvelle-Calédonie : de l'espèce à la notion de patrimoine. *Muséum national d'histoire naturelle*. 326p
- Richer de Forges B., 1991. Les fonds meubles des lagons de Nouvelle-Calédonie : généralités et échantillonnages par dragages. *Dragages dans les lagons, ORSTOM*. 148 p
- R66 Richer de Forges B., Laboute P., 2004. *Lagons et récifs de Nouvelle-Calédonie, 1600 espèces*. Edition Catherine Ledru-IRD
- R67 Risk M.J., Risk A.C., 1997. Reef surveys as an aid in management. *Proc. 8th Intl. Coral Reef Sym.* 2, 1471±1474
- SLE 1995. *Projet Goro Nickel, Nouvelle-Calédonie. Etude de caractérisation de l'environnement*. Rapp. SNC-Lavalin/INCO Exploration & Technical Services Inc. 007445 : 242p + annexes
- Soubeyran Y., Meyer J.Y. et le Groupe de travail « Espèces Exogènes », 2011. *Expertise du « Plan opérationnel pour la maîtrise des espèces exogènes » de la société Vale Nouvelle-Calédonie*. Rapport final. 34p
- Spalding M.D., Ravilious C. & Green E.P., 2001. *World atlas of coral reefs*. University of California Press, 424 p
- R68 Srivastava, 1959. Effect of non-normality on the power of the analysis of variance test. *Biometrika* 46, 114-122
- Thollot P., 1992. Les poissons de mangrove du lagon Sud-Ouest de Nouvelle-Calédonie. *Ecologie des peuplements. Relations avec les communautés ichtyologiques côtières*. Thèse Doct. : Univ. Aix-Marseille II (France) : 406p
- Thollot P. et Wantiez L., 1996. *Evaluation des impacts du projet Goro Nickel sur les communautés biologiques marines de la Baie Kwé et de la zone portuaire de Prony*. 38p
- R69 Thomas L., Laake J., Rexstad E., Strindberg S., Marques F., Buckland S., Borchers D., Anderson D., Burnham K., Burt M., Hedley S., Pollard J., Bishop J. and Marques T., 2009. *Distance 6.0. release 1*. Research Unit for Wildlife Population Assessment, University of St. Andrews, UK. (<http://www.ruwpa.st-and.ac.uk/distance/>)
- UICN, 2001. *Catégories et Critères de l'UICN pour la Liste Rouge : Version 3.1*. Commission de la sauvegarde des espèces de l'UICN. UICN, Gland, Suisse et Cambridge, Royaume-Uni. ii + 32pp
- R70 Van Oppen, M. J., Souter, P., Howells, E. J., Heyward, A., & Berkelmans, R., 2011. Novel genetic diversity through somatic mutations : fuel for adaptation of reef corals? *Diversity*, vol.3, no3, p.405-423
- R71 Veron J.E.N., 1995. *Corals in space and time, the biogeography and evolution of the Scleractinia*.

UNSW Press, Sydney. 321p

- R72 Veron J.E.N., 2000. Corals of the world. Australian Institute of Marine Science, Townsville, 1410pp
- R73 Vimal, J., 2007. Physiopathologie des coraux. Thèse de Doctorat, Université Claude-Bernard, Lyon, Paris, 122p
- R74 Wallace C., 1999. Staghorn Corals of the World. A revision of the Genus *Acropora*. (ed) CSIRO Publishing pp. 422p
- Wells J.W., 1961. Notes on Indo-Pacific Scleractinian corals, Part 3. A new reef coral from New Caledonia. *Pac. Sci.*, 15 : 189-191
- Whittaker, R. H., 1972. Evolution and measurement of species diversity taxon. 21 : 213-251
- Whittaker, R H., 1975. *Communities and Ecosystems*, Macmillan. ISBN 0-02-427390-2
- Whittaker R.H., 1977. Species diversity in land communities. *Evolutionary Biology* 10, 1-67
- Wijsman-Best M., 1972. Systematics and ecology of New Caledonia Faviidae (Coelenterata, Scleractinia). *Bijdr. Dierk.*, 42 (1) : 1-90
- Wijsman-Best M., 1973. A new species of the Pacific coral genus *Blastomussa* from New Caledonia. *Pac. Sci.*, 27 (2) : 154-155
- R75 Wilcoxon F., 1945. Individual comparisons by ranking methods. *Biometrics Bulletin* 1 (6): 80-83
- Work T.M., Aeby G.S., Lasne G., Tribollet A., 2014. Gross and microscopic pathology of hard and soft corals in New Caledonia. *Journal of Invertebrate Pathology* 120: 50-8
- R76 <http://www.bom.gov.au/climate/enso/history/ln-2010-12/three-phases-of-ENSO.shtml>
www.com.univ-mrs.fr/IRD
<http://www.com.univ-mrs.fr/IRD/atollpol/ecorecat/recifs.htm>
www.coraux.univ-reunion.fr
www.crisponline.net/Portals/1/PDF/CRISP_Synthese_bibliographique_coraux.pdf
- R77 <http://www.fishbase.org/search.php?lang=french>
www.ird.fr
http://en.wikipedia.org/wiki/Relative_species_abundance
- R78 www.meteo.nc
http://old.biodiversite.wallonie.be/outils/methodo/similarite_distance.htm
www.sealifebase.org/
<http://www.sgnis.org/>
www.wikipedia.org

A n n e x e s

Annexe n° 01

Méthodologie générale d'échantillonnage des communautés récifales

Les classes retenues pour la détermination du substrat sont celles préconisées par English et al. 1994 [R42] pour le « Line Intersept Transect » (« life forms ») et présentées dans le [tableau 141](#).

Tableau 141 : Catégories et composantes de substrat retenues pour l'échantillonnage et le traitement des données

	COMPOSANTES (12)	CATEGORIES (28)	CODE	DESCRIPTION
Biotique	Coraux scléactiniaires	<i>Acropora</i> Branchu	ACB	Au moins 2 niveaux de branches
		<i>Acropora</i> Encroûtant	ACE	
		<i>Acropora</i> Submassif	ACS	
		<i>Acropora</i> Digité	ACD	Branches en forme de doigts
		<i>Acropora</i> Tabulaire	ACT	Branches aplaties horizontalement
		Non- <i>Acropora</i> Branchu	CB	Au moins 2 niveaux de branches NB : les non <i>Acropora</i> digité ont été placés ici
		Non- <i>Acropora</i> Encroûtant	CE	
		Non- <i>Acropora</i> Foliaire	CF	Corail en forme de feuille
		Non- <i>Acropora</i> Massif	CM	
		Non- <i>Acropora</i> Submassif	CS	
	<i>Fungia</i>	CMR	Corail solitaire	
	Autres coraux	<i>Millepora</i>	CME	Corail de feu
	Coraux mous	Corail mou	SC	
	Autres organismes vivants	Éponges	SP	
		Zoanthaires	ZO	
		Autres	OT	Ascidies, Anémones, Gorgones, Bénitiers
	Algues	Assemblages	AA	
		Calcaire	CA	
		Halimeda	HA	
		Macroalgue	MA	
Filamenteuse		F	NB : les cyanobactéries ont été placées ici	
Corail mort avec algues	Corail mort avec algues	DCA	Corail mort recouvert d'algues	
Abiotique	Corail mort	Corail mort	DC	Couleur blanche
	Sable	Sable	S	Particules < 2 cm
	Débris	Débris	R	Particules > 2 cm
	Vase	Vase	SI	
	Eau	Eau	W	Crevasse de plus de 50 cm
	Dalle - Roche	Dalle - Roche	RC	

Les cellules grisées correspondent à ce qui est noté « macrophytes et invertébrés » pour le suivi du benthos.

Tous les poissons seront comptabilisés avec un traitement particulier pour ceux qui sont listés dans le [tableau 142](#), car ils correspondent aux taxons indicateurs de la santé des récifs, ainsi qu'aux espèces comestibles.

Tableau 142 : Liste des poissons indicateurs

FAMILLE	GENRE	ESPECE	GENRE	ESPECE
Requins		spp		
Raies		spp		
Scorpaenidae	Rascasses "poules"	spp		
Serranidae	<i>Anthias</i> et <i>Pseudanthias</i>	spp	Autres loches	spp
	<i>Cromileptes</i>	<i>altivelis</i>	<i>Plectropomus</i>	spp
	<i>Epinephelus</i>	<i>cyanopodus</i>		
Pseudochromidae	<i>Pictichromis</i>	<i>coralensis</i>		
Carangidae		spp		
Lutjanidae	<i>Aphareus</i>	<i>furca</i>	<i>Lutjanus</i>	<i>sebae</i>
	<i>Aprion</i>	<i>virescens</i>	<i>Lutjanus</i>	spp
	<i>Lutjanus</i>	<i>adetii</i>	<i>Symphorus</i>	<i>nematophorus</i>
Caesionidae		spp		
Haemulidae	<i>Diagramma</i>	<i>pictum</i>	<i>Plectorhinchus</i>	spp
Lethrinidae	<i>Lethrinus</i>	<i>nebulosus</i>	Autres bossus et bec	spp
Nemipteridae	<i>Scolopsis</i>	<i>bilineatus</i>		
Mullidae		spp		
Kyphosidae		spp		
Ephippidae	<i>Platax</i>	spp		
Chaetodontidae	<i>Chaetodon</i>	<i>auriga</i>	<i>Chaetodon</i>	<i>speculum</i>
	<i>Chaetodon</i>	<i>baronessa</i>	<i>Chaetodon</i>	<i>semeion</i>
	<i>Chaetodon</i>	<i>bennetti</i>	<i>Chaetodon</i>	<i>trifascialis</i>
	<i>Chaetodon</i>	<i>citrinellus</i>	<i>Chaetodon</i>	<i>lunulatus</i>
	<i>Chaetodon</i>	<i>ephippium</i>	<i>Chaetodon</i>	<i>ulietensis</i>
	<i>Chaetodon</i>	<i>flavirostris</i>	<i>Chaetodon</i>	<i>unimaculatus</i>
	<i>Chaetodon</i>	<i>kleinii</i>	<i>Chaetodon</i>	<i>vagabundus</i>
	<i>Chaetodon</i>	<i>lineolatus</i>	<i>Coradion</i>	<i>altivelis</i>
	<i>Chaetodon</i>	<i>lunula</i>	<i>Forcipiger</i>	<i>flavissimus</i>
	<i>Chaetodon</i>	<i>melannotus</i>	<i>Forcipiger</i>	<i>longirostris</i>
	<i>Chaetodon</i>	<i>mertensii</i>	<i>Hemitaurichthys</i>	<i>polylepis</i>
	<i>Chaetodon</i>	<i>ornatissimus</i>	<i>Heniochus</i>	<i>acuminatus</i>
	<i>Chaetodon</i>	<i>pelewensis</i>	<i>Heniochus</i>	<i>chrystostomus</i>
	<i>Chaetodon</i>	<i>plebeius</i>	<i>Heniochus</i>	<i>monoceros</i>
	<i>Chaetodon</i>	<i>rafflesi</i>	<i>Heniochus</i>	<i>singularis</i>
	<i>Chaetodon</i>	<i>reticulatus</i>	<i>Heniochus</i>	<i>varius</i>
Pomacanthidae	<i>Centropyge</i>	<i>bicolor</i>	<i>Chaetodontoplus</i>	<i>conspicillatus</i>
	<i>Centropyge</i>	<i>bispinosus</i>	<i>Pomacanthus</i>	<i>imperator</i>
	<i>Centropyge</i>	<i>flavissima</i>	<i>Pomacanthus</i>	<i>semicirculatus</i>
	<i>Centropyge</i>	<i>heraldi</i>	<i>Pomacanthus</i>	<i>sextriatus</i>
	<i>Centropyge</i>	<i>tibicen</i>	<i>Pygoplites</i>	<i>diacanthus</i>
	<i>Centropyge</i>	<i>vroliki</i>		
Pomacentridae	<i>Abudefduf</i>	spp	<i>Dascyllus</i>	<i>reticulatus</i>
	<i>Amphiprion</i>	<i>perideraion</i>	<i>Dascyllus</i>	<i>trimaculatus</i>
	<i>Amphiprion</i>	spp	<i>Neopomacentrus</i>	<i>azysron</i>
	<i>Chromis</i>	<i>viridis</i>	<i>Neopomacentrus</i>	<i>violascens</i>
	<i>Chromis</i>	<i>fumea</i>	<i>Pomacentrus</i>	<i>coelestis</i>
	<i>Chrysiptera</i>	<i>taupou</i>	<i>Pomacentrus</i>	<i>moluccensis</i>
	<i>Chrysiptera</i>	<i>rollandi</i>	<i>Pomacentrus</i>	<i>aurifrons</i>

	<i>Dascyllus</i>	<i>aruanus</i>	<i>Stegastes</i>	spp
Labridae	<i>Bodianus</i>	<i>loxozonus</i>	<i>Halichoeres</i>	<i>trimaculatus</i>
	<i>Bodianus</i>	<i>perditio</i>	<i>Hemigymnus</i>	<i>melapterus</i>
	<i>Cheilinus</i>	<i>chlorourous</i>	<i>Labroides</i>	<i>dimidiatus</i>
	<i>Cheilinus</i>	<i>trilobatus</i>	<i>Novaculichthys</i>	<i>taeniorurus</i>
	<i>Cheilinus</i>	<i>undulatus</i>	<i>Stethojulis</i>	<i>bandanensis</i>
	<i>Choerodon</i>	<i>graphicus</i>	<i>Stethojulis</i>	<i>strigiventer</i>
	<i>Coris</i>	<i>aygula</i>	<i>Thalassoma</i>	<i>amblycephalum</i>
	<i>Coris</i>	<i>gaimard</i>	<i>Thalassoma</i>	<i>hardwicke</i>
	<i>Gomphosus</i>	<i>varius</i>	<i>Thalassoma</i>	<i>lunare</i>
	<i>Halichoeres</i>	<i>hortulanus</i>	<i>Thalassoma</i>	<i>lutescens</i>
	<i>Halichoeres</i>	<i>margaritaceus</i>		
Scaridae	<i>Bolbometopon</i>	<i>muricatum</i>	<i>Chlorurus</i>	<i>microrhinos</i>
	<i>Scarus</i>	<i>ghobban</i>	Scaridae	spp
Blenniidae	<i>Ecsenius</i>	<i>bicolor</i>	<i>Meicanthus</i>	<i>atrodorsalis</i>
Gobiidae	<i>Amblygobius</i>	<i>phalaena</i>		
Ptereleotridae	<i>Ptereleotris</i>	<i>evides</i>	<i>Ptereleotris</i>	<i>microlepis</i>
Acanthuridae	<i>Acanthurus</i>	<i>dussumieri</i>	<i>Ctenochaetus</i>	spp
	<i>Acanthurus</i>	<i>blochii</i>	<i>Naso</i>	<i>unicornis</i>
	<i>Acanthurus</i>	<i>triostragus</i>	<i>Naso</i>	spp
	<i>Acanthurus</i>	spp	<i>Zebrasoma</i>	spp
Siganidae	<i>Siganus</i>	<i>argenteus</i>	<i>Siganus</i>	spp
Zanclidae	<i>Zanclus</i>	<i>cornutus</i>		
Scombridae	<i>Scomberomorus</i>	<i>commerson</i>		
Balistidae	<i>Balistoides</i>	<i>conspicillum</i>	<i>Rhinecanthus</i>	<i>aculeatus</i>
	<i>Oxymonacanthus</i>	<i>longirostris</i>	<i>Rhinecanthus</i>	<i>rectangulus</i>
Tetraodontidae	<i>Canthigaster</i>	spp		

Caractéristiques terrain de la campagne d'échantillonnage de octobre 2020

Tableau 143 : Rapport de plongée

Date	Heure *	Marée **	Station	Etat station / maintenance	Météo			Sous l'eau		
			Nom		soleil/pluie	vent (dir, force)	courant (dir/force), h vagues	courant (force/dir)	visibilité (m)	température (°C, Prof)
26/10/2020	11h	Début flot	Casy	OK	Couvert 80%	SE 15 nds	Clapot 50 cm	Nul	17 - 18 m	24°C à 7,5 m
26/10/2020	14h15	Fin flot	Creek baie nord	OK	Couvert 70%	SE 10 nds, rafales 18 nds	Clapot faible	Nul	7 à 9 m	23,6°C à 9,1 m
28/10/2020	11h30	Début flot	Port	OK, piquet remis en B	Couvert 50%	SE 10 nds	Clapot faible	Nul	6 à 11 m	23,5°C à 8,4 m
28/10/2020	15h	Fin flot	Woodin	OK, piquet remis en C	Couvert 50%	SE 10 nds	Mascaret	Faible	11 à 13 m	24°C à 11,1 m
31/10/2020	12h	Fin jusant	Ioro	OK	Couvert 90%	NE 18 nds	Clapot faible	Faible	12 à 17 m	23,9°C à 9,1 m
30/10/2020	12h30	Etal bas	Ionontea	OK	Couvert 90%, pluie fine	NE 18 nds	Houle faible	Faible	15 à 18 m	23,7°C à 13,8 m
27/10/2020	11h30	Début flot	Basse Chambeyron	OK	Couvert 20%	E 20 nds	Houle croisée 80 cm courte	Faible à moyen	15 à 17 m	23,9°C à 13,4 m
27/10/2020	14h30	Mi flot	Puka	OK	Couvert 20%	E 18 nds	Petite houle courte	Faible	10 à 15 m	23,9°C à 9,4 m
29/10/2020	10h	Fin jusant	Bancs Kié	OK	Couvert 30%	E 20 nds	Houle / clapot moyens	Fort à très fort	18 m	24,2°C à 11,2 m
29/10/2020	12h	Etal bas	Ilot Kié	OK	Couvert 20%	E 18 nds	Clapot léger	Faible	18 m	23,7°C à 12,7 m
30/10/2020	14h30	Début flot	Toémo	OK	Couvert 100%	NE 15 nds	Houle grosse	Très fort	17-19 m	24,2°C à 10 m
31/10/2020	9h30	Début jusant	Ugo	OK	Couvert 95%	NE 20 nds	Clapot léger	Nul	15 à 18 m	24°C à 7,9 m

* en moyenne, mise à l'eau

** par rapport à l'agenda corrigé (voir tableaux suivants)

Tableau 144 : Corrections des marées pour les stations dans le canal de la Havannah

	Heure		Hauteur (m)		Niveau moyen (m)
	PM	BM	PM	BM	
Port Boisé	- 30 mn	- 35 mn	-0,35	0	0,76
Port de référence = Nouméa					1,45 < 0,95 < 0,40

Tableau 145 : Agenda des marées

Canal Havannah				Baie de Prony / Canal Woodin			
Jour	Date	Heure	Hauteur	Jour	Date	Heure	Hauteur
Mardi	27/10/2020	5:02	1,15	Lundi	26/10/2020	3:00	0,86
		11:06	0,59			9:14	0,44
		17:38	1,39			16:17	1,1
						22:43	0,54
Mercredi	28/10/2020	0:01	0,58	Mardi	27/10/2020	4:23	0,91
		5:58	1,25			10:24	0,44
		11:57	0,57			17:05	1,13
		18:19	1,43			23:28	0,46
Jeudi	29/10/2020	0:39	0,5	Mercredi	28/10/2020	5:21	0,98
		6:43	1,33			11:18	0,44
		12:41	0,54			17:44	1,14
		18:54	1,46				
Vendredi	30/10/2020	1:14	0,43				
		7:22	1,41				
		13:09	0,53				
		19:26	1,47				
Samedi	31/10/2020	1:45	0,37				
		7:57	1,47				
		13:55	0,53				
		19:56	1,46				

Résultats bruts de l'échantillonnage LIT de octobre 2020

Tableau 146 : Recouvrement du substrat (en %) pour toutes les catégories

Substrat / Transect	CASY		CREEK BAIE NORD		PORT			CANAL WOODIN			IORO			IONONTEA			CHAMBEYRON			PUKA		BANCS KIE			ILOT KIE			TOEMO			UGO					
	A	B	A	B	A	B	C	A	B	C	A	B	C	A	B	C	A	B	C	A	B	A	B	C	A	B	C	A	B	C	A	B				
Code	Catégories																																			
ACB	Acropora branchu		0,5		27,5	1,5	2	1,5		4,5		5	0,5		8,5		1	9,5	7		20,5	1	2	5,5	4	48	5		29	5	1,5	5,5	5,5			
ACE	Acropora encroûtant																	5,5																		
ACS	Acropora submassif																																			
ACD	Acropora digité																	4																		
ACT	Acropora tabulaire											2	5		8	4,5		12		1	4		4		1,5	2,5			16,5	3,5		6				
CB	Corail branchu			0,5						4	10	17,5		2	0,5	6,5	5,5	1,5		3	3	3		5	2	1,5	6	5		12	0,5		1,5			
CE	Corail encroûtant					1,5		0,5	2	2				18	9	1	8	8,5	4		0,5	7,5		2,5	4	6,5	11,5	14,5	6	9,5	18	0,5	6	1,5		
CF	Corail foliaire			0,5	0,5	2		0,5	1				2	0,5						0,5									4			1,5				
CM	Corail massif				1	1,5	1	2	1					10	15,5		7	15,5	1,5	4	2	2,5	0,5	1,5	4,5	4,5	2,5	3,5	10	1,5	2	2	8,5	9,5	9,5	
CS	Corail submassif					0,5												0,5																		
CMR	Fungia				0,5			1,5		3,5			1				1										2	1					4	3,5		
CME	Millepora				1	0,5				8	6		0,5																							
SC	Coraux mous		9	5	4	4,5	1	1,5	1,5	0,5		1			0,5			1	0,5		1	1	15	9,5	8				1,5	6	0,5	1,5	1,5			
SP	Éponges		1	1		1	1,5		1		0,5	2,5	1	2	2	2	3	0,5	0,5	3	3,5	0,5	4		4	2,5	0,5	2	2	0,5		3	2	4		
ZO	Zoanthaires																																			
OT	Autres organismes									1	3	1,5											1		1	1			0,5		1					
AA	Assemblages algales																	3,5						2		2,5										
CA	Algue calcaire				5	5		4			1				5,0	5	8,0	5	3,5	4			9	9,5	7				2,5		7,5					
HA	Halimeda				19,5					0,5																										
MA	Macroalgues				5										2,5	9,5	4		7,5		1	0,5	4						1	10	6					
F	Algue filamenteuse							1								0,5				0,5																
DCA	Corail mort avec algues		15	7	36	46	37,8	80,5	7	71,5	71,5	15,5	25	26,5	4,5	52,0	47	72,0	54,5	65,5	76	61	73,5	53	55	62	21	55	12,5	25	50,5	69	53,5	53		
DC	Corail mort																											1,5								
S	Sable		74,5	86						2	8	62	35,5	39	92			5,5		7,5	9	1	18,5		4	3,5	1,5	6	78		0,5	2,5	9	21,5		
R	Débris																	2																		
RC	Dalle - Roche																																			
SI	Vase					36	56,7	7	86,5	2,5																										
W	Eau																																			
	Abiotique		74,5	86	0	36	56,7	7	86,5	4,5	8	62	35,5	39	92	0	0	7,5	0	7,5	9	1	18,5	0	4	3,5	1,5	7,5	78	0	0,5	2,5	9	21,5		
	Biotique		25,5	14	100	64	43,3	93	13,5	95,5	92	38	64,5	61	8	100	100	92,5	100	92,5	91	99	81,5	100	96	96,5	98,5	92,5	22	100	99,5	97,5	91	78,5		
	Dont coraux scléractiniaires		1,5	0,5	1	29,5	7	3	6	4	14	10	17,5	38	32,5	1,5	38	35	8	35,5	12,5	7	35,5	2,5	18	16	16	73,5	35,5	7,5	69	33	10,5	34		

Tableau 147 : Répartition du recouvrement (en %) du substrat, partie biotique/abiotique

	ST0 1A	ST0 1B	ST0 2A	ST0 2B	ST0 3A	ST0 3B	ST0 3C	ST0 4A	ST0 4B	ST0 4C	ST0 5A	ST0 5B	ST0 5C	ST0 6A	ST0 6B	ST0 6C	ST0 7A	ST0 7B	ST0 7C	ST0 8A	ST0 8B	ST0 9A	ST0 9B	ST0 9C	ST1 0A	ST1 0B	ST1 0C	ST1 1A	ST1 1B	ST1 1C	ST1 2A	ST12 B
Macrophytes et invertébrés	25	13	70,5	57	40,3	87	9,5	81,5	82	20,5	26,5	28,5	6,5	62	65	84,5	64,5	80	84	63,5	79	82	80	80,5	25	57	14,5	31	66,5	87	57	58,5
Coraux scléractiniaires	0,5	1	29,5	7	3	6	4	14	10	17,5	38	32,5	1,5	38	35	8	35,5	12,5	7	35,5	2,5	18	16	16	73,5	35,5	7,5	69	33	10,5	34	20
Abiotique	74,5	86	0	36	56,7	7	86,5	4,5	8	62	35,5	39	92	0	0	7,5	0	7,5	9	1	18,5	0	4	3,5	1,5	7,5	78	0	0,5	2,5	9	21,5

Résultats bruts de l'échantillonnage du benthos de octobre 2020

Données brutes transmises par
Biocénose Marine

Tableau 148 : Inventaire des Macrophytes et des Invertébrés et leur abondance (1 à 5) (stations baie de Prony et du canal Woodin)

Groupe	Sous-groupe	Famille	Genre	Espèce	UICN	PS	ST01A	ST01B	ST02A	ST02B	ST03A	ST03B	ST03C	ST04A	ST04B	ST04C
Algues brunes	Phéophycées	Dictyotaceae	<i>Dictyota</i>	sp.	/				2	2	-2	2		2		
Algues brunes	Phéophycées	Dictyotaceae	<i>Lobophora</i>	sp.	/		3	2	5	2	3	5	3			
Algues brunes	Phéophycées	Dictyotaceae	<i>Padina</i>	sp.	/				2		2			2		
Algues brunes	Phéophycées	Sargassaceae	<i>Turbinaria</i>	<i>ornata</i>	DD									-2		
Algues rouges	Rhodophycées	Bonnemaisoniaceae	<i>Asparagopsis</i>	<i>taxiformis</i>	DD									-2		
Algues rouges	Rhodophycées	Coralinaceae	<i>Amphiroa</i>	sp.	/		2	2	2	2	2	4	2			
Algues rouges	Rhodophycées	Dumontiaceae	<i>Gibsmithia</i>	<i>hawaiiensis</i>	DD		1									
Algues vertes	Chlorophycées	Caulerpaceae	<i>Caulerpa</i>	sp.	/									-1		
Algues vertes	Chlorophycées	Dasycladaceae	<i>Neomeris</i>	<i>vanbosseae</i>	DD		2									
Algues vertes	Chlorophycées	Halimedaceae	<i>Halimeda</i>	sp.	/		2	2	4(2spp)	2(2spp)	3(2spp)	2		2	2	
Algues vertes	Chlorophycées	Udoteaceae	<i>Chlorodesmis</i>	<i>fastigiata</i>	DD									2		
Ascidies	Ascidies	Didemnidae	<i>Didemnum</i>	<i>molle</i>	DD		-2	-2						-2	-2	
Ascidies	Ascidies	Didemnidae	<i>Didemnum</i>	sp. (blanche)	/				2	-2				2	2	
Ascidies	Ascidies	Polycitoridae	<i>Clavelina</i>	<i>detorta</i>	DD		2	-2	2	-2				2	-2	
Ascidies	Ascidies	Styelidae	<i>Polycarpa</i>	<i>aurita</i>	DD		2	2	2	2	2				-2	
Ascidies	Ascidies	Styelidae	<i>Polycarpa</i>	<i>clavata</i>	DD											
Ascidies	Ascidies	Styelidae	<i>Polycarpa</i>	<i>cryptocarpa</i>	DD		2	1	2	2	1		2		2	
Ascidies	Ascidies	Styelidae	<i>Polycarpa</i>	<i>nigricans</i>	DD		2	3	2	2	2	2	2	-2	2	
Ascidies	Ascidies	Styelidae	<i>Polycarpa</i>	<i>papilata</i>	DD										2	
Bryozoaires	Cyclostomes	Tetraplariidae	<i>Alcyonidium</i>	sp.	/				2	2				2	4	4
Cnidaires	Actiniaires	Actinodiscidae	<i>Discosoma</i>	sp.	/		2						2			
Cnidaires	Alcyonaires	Alcyoniidae	<i>Cladiella</i>	sp.	/		3	2	2	2	1	-2	1			
Cnidaires	Alcyonaires	Alcyoniidae	<i>Sarcophyton</i>	sp.	/		5	4	5	5	3	3	3	1	2	1
Cnidaires	Alcyonaires	Alcyoniidae	<i>Sinularia</i>	<i>dura</i>	DD		3	3	4	2			2			
Cnidaires	Alcyonaires	Alcyoniidae	<i>Sinularia</i>	<i>flexibilis</i>	DD		3	3								
Cnidaires	Alcyonaires	Alcyoniidae	<i>Sinularia</i>	<i>leptoclados</i>	DD				2	2						
Cnidaires	Alcyonaires	Alcyoniidae	<i>Sinularia</i>	sp.	/		3	3	-2	3	2	2	2		2	2
Cnidaires	Alcyonaires	Nephtheidae	<i>Dendronephthya</i>	sp.	/									-2	-2	
Cnidaires	Alcyonaires	Nephtheidae	<i>Nephtea</i>	sp.	/		2	2	-2		2	-2	2		-2	
Cnidaires	Alcyonaires	Nephtheidae	<i>Xenia</i>	sp.	/		2	1								
Cnidaires	Alcyonaires	Nidaliidae	<i>Chironephtya</i>	sp.	/											
Cnidaires	Hydrozoaires	Indéterminé	<i>Indéterminé</i>	sp.	/									3	4	2
Cnidaires	Zoanthaires	Zoanthidae	<i>Indéterminé</i>	sp.	/			-2		-2			2			
Cnidaires	Zoanthaires	Zoanthidae	<i>Palythoa</i>	<i>tuberculosa</i>	DD		2	2	2	2	2				2	2
Cnidaires	Zoanthaires	Zoanthidae	<i>Zoanthus</i>	sp.	/				2	2						-2
Cyanobactéries	Cyanophycées	Phormidiaceae	<i>Phormidium</i>	sp.	/		2	2	2	2	2	2		2	2	
Cyanobactéries	Cyanophycées	Phormidiaceae	<i>Symploca</i>	<i>hydroides</i>	DD				2			2				
Échinodermes	Astéries	Acanthasteridae	<i>Acanthaster</i>	<i>solaris</i>	DD		-1		1	-1						
Échinodermes	Astéries	Echinasteridae	<i>Echinaster</i>	<i>varicolor</i>	DD						-1	-1				
Échinodermes	Astéries	Ophidiasteridae	<i>Celerina</i>	<i>heffernani</i>	DD				-1							
Échinodermes	Astéries	Ophidiasteridae	<i>Fromia</i>	<i>indica</i>	DD		-1									
Échinodermes	Astéries	Ophidiasteridae	<i>Fromia</i>	<i>milleporrella</i>	DD				-1							
Échinodermes	Astéries	Ophidiasteridae	<i>Fromia</i>	<i>monilis</i>	DD						-1			1		
Échinodermes	Astéries	Ophidiasteridae	<i>Gomophia</i>	<i>egyptiaca</i>	DD		-1			1				1	-1	
Échinodermes	Astéries	Ophidiasteridae	<i>Linckia</i>	<i>multifora</i>	DD		1	-2								
Échinodermes	Astéries	Ophidiasteridae	<i>Nardoa</i>	<i>gomophia</i>	DD		1	-2		1	2					
Échinodermes	Astéries	Oreasteridae	<i>Culcita</i>	<i>novaeguineae</i>	DD								1			
Échinodermes	Crinoïdes	Indéterminé	<i>Indéterminé</i>	sp.	/		2	2						2	3	5
Échinodermes	Echinides	Diadematidae	<i>Diadema</i>	<i>savignyi</i>	DD		1									
Échinodermes	Echinides	Diadematidae	<i>Diadema</i>	<i>setosum</i>	DD		2		1	1	2	2	3	2	3	
Échinodermes	Echinides	Diadematidae	<i>Echinometrix</i>	<i>diadema</i>	DD											
Échinodermes	Echinides	Echinometridae	<i>Echinometra</i>	<i>mathaei</i>	DD					2					-2	
Échinodermes	Echinides	Echinometridae	<i>Echinostrephus</i>	<i>aciculatus</i>	DD		2	2								
Échinodermes	Echinides	Echinometridae	<i>Parasalenia</i>	<i>gratiosa</i>	DD				2						2	
Échinodermes	Holothurides	Holothuriidae	<i>Holothuria</i>	<i>edulis</i>	LR-lc	1	2	-2	-2	2	2	-2	-2	-2	1	2
Échinodermes	Holothurides	Holothuriidae	<i>Holothuria</i>	<i>flavomaculata</i>	LR-lc	1			2	2	2	3	3			
Échinodermes	Holothurides	Holothuriidae	<i>Holothuria</i>	<i>fuscopunctata</i>	LR-lc	1	1	1								
Échinodermes	Holothurides	Holothuriidae	<i>Holothuria</i>	<i>whitmaei</i>	EN	1	1									
Échinodermes	Holothurides	Stichopodidae	<i>Thelenota</i>	<i>anax</i>	DD	1		2								

Groupe	Sous-groupe	Famille	Genre	Espèce	UICN	PS	ST01A	ST01B	ST02A	ST02B	ST03A	ST03B	ST03C	ST04A	ST04B	ST04C
Échinodermes	Ophiurides	Ophiocomidae	<i>Ophiomastix</i>	<i>caryophyllata</i>	DD		2	2	3	4	2	3	2	2	2	
Échinodermes	Ophiurides	Ophiocomidae	<i>Ophiure</i>	<i>ind.</i>	/		2	2	2	2	2	3	2	3	3	3
Échinodermes	Synaptères	Synaptidae	<i>Euapta</i>	<i>strongyloides</i>	DD					1						
Éponges	Spongiaires	Anchinoidae	<i>Hamigera</i>	<i>strongyloides</i>	DD		2	2					2	2	3	2
Éponges	Spongiaires	Axinellidae	<i>Cymbastela</i>	<i>cantharella</i>	DD		-2	-2						2	2	2
Éponges	Spongiaires	Callyspongiidae	<i>Dactylia</i>	<i>delicata</i>	DD						1			2	3	1
Éponges	Spongiaires	Clionidae	<i>Cliona</i>	<i>jullieni</i>	DD		3	3	2	3	2	2	2	2	2	2
Éponges	Spongiaires	Clionidae	<i>Cliona</i>	<i>orientalis</i>	DD		3	2	2	2	2	2	2	2	4	2
Éponges	Spongiaires	Dysideidae	<i>Dysidea</i>	<i>arenaria</i>	DD							2			1	
Éponges	Spongiaires	Dysideidae	<i>Dysidea</i>	<i>frondosa</i>	DD		2	2			-2	2				
Éponges	Spongiaires	Dysideidae	<i>Dysidea</i>	<i>herbacea</i>	DD							1			1	
Éponges	Spongiaires	Indéterminé	Indéterminé	sp. (grise, digité)	/		-2	-2								
Éponges	Spongiaires	Indéterminé	Indéterminé	sp. (noire)	/		2	2						2	4	3
Éponges	Spongiaires	Indéterminé	Indéterminé	sp. (orange)	/						1					
Éponges	Spongiaires	Indéterminé	Indéterminé	sp. (rouge)	/									2	2	
Éponges	Spongiaires	Petrosiidae	<i>Xetospongia</i>	<i>exigua</i>	DD		2	2								
Éponges	Spongiaires	Spirastrellidae	<i>Spherospongia</i>	<i>vagabunda</i>	DD		3	3	-2	2	2	-1	2	2	2	2
Mollusques	Bivalves	Arcidae	<i>Arca</i>	<i>ventricosa</i>	DD		2	2	2	2	2				2	
Mollusques	Bivalves	Gryphaeidae	<i>Hyotissa</i>	<i>hyotis</i>	DD		1		2				2		2	2
Mollusques	Bivalves	Isognomonidae	<i>Isognomon</i>	<i>isognomon</i>	DD		2	2	2	2	2	2	3	2	2	2
Mollusques	Bivalves	Mytilidae	<i>Septifer</i>	<i>bilocularis</i>	DD		2	2	2	3	2		2	2	3	
Mollusques	Bivalves	Ostreidae	<i>Lopha</i>	<i>crisagalli</i>	DD										-2	-2
Mollusques	Bivalves	Ostreidae	<i>Saccostrea</i>	<i>cucullata</i>	DD						2					
Mollusques	Bivalves	Ostreidae	<i>Saccostrea</i>	sp.	/				2						-2	-2
Mollusques	Bivalves	Pteridae	<i>Pinctada</i>	<i>margaritifera</i>	DD						1					2
Mollusques	Bivalves	Pteridae	<i>Pteria</i>	sp.	/			2							2	2
Mollusques	Bivalves	Spondylidae	<i>Pedum</i>	<i>spondyloideum</i>	DD		2	2	2	2	2				2	
Mollusques	Bivalves	Spondylidae	<i>Spondylus</i>	sp.	/		2	3	2	2	2		2	-2	2	2
Mollusques	Bivalves	Tridacnidae	<i>Tridacna</i>	<i>maxima</i>	LR-cd	1			1							
Mollusques	Bivalves	Tridacnidae	<i>Tridacna</i>	<i>squamosa</i>	LR-cd	1	1	1		1	-1					
Mollusques	Gastéropodes	Conidae	<i>Conus</i>	<i>litteratus</i>	LR-lc		-1									
Mollusques	Gastéropodes	Coralliophillidae	<i>Coralliophila</i>	<i>violacea</i>	DD		-2	-2	2	2						
Mollusques	Gastéropodes	Strombidae	<i>Strombus</i>	<i>luhuanus</i>	DD		2									
Mollusques	Nudibranches	Aglagidae	<i>Cheilidonura</i>	<i>inornata</i>	DD					-1						
Mollusques	Nudibranches	Dorididae	<i>Halgerda</i>	<i>johnsonorum</i>	DD		-1									-1
Mollusques	Nudibranches	Phyllidiidae	<i>Phyllidia</i>	<i>calsonhoffi</i>	DD										1	
Mollusques	Nudibranches	Phyllidiidae	<i>Phyllidiella</i>	<i>lizeae</i>	DD										1	
Mollusques	Nudibranches	Phyllidiidae	<i>Phyllidiella</i>	<i>pustulosa</i>	DD		-1	1			-1					
Mollusques	Nudibranches	Phyllidiidae	<i>Phyllidiopsis</i>	<i>burni</i>	DD										1	
Vers	Annélides polychètes	Serpulidae	<i>Spirobranchus</i>	<i>giganteus</i>	DD		3	3	3	3	2		2	3	3	

Tableau 149 : Inventaire des Macrophytes et des Invertébrés et leur abondance (1 à 5) (stations du canal de la Havannah)

Groupe	Sous-groupe	Famille	Genre	Espèce	UICN	PS	ST05 A	ST05 B	ST05 C	ST06 A	ST06 B	ST06 C	ST07 A	ST07 B	ST07 C	ST08 A	ST08 B	ST09 A	ST09 B	ST09 C	ST10 A	ST10 B	ST10 C	ST11 A	ST11 B	ST11 C	ST12 A	ST12 B
Algues brunes	Phéophycées	Dictyotaceae	<i>Dictyota</i>	sp.	/		2							2	2	2	-3		2	2	3	2						
Algues brunes	Phéophycées	Dictyotaceae	<i>Lobophora</i>	sp.	/								2								2	2					2	2
Algues brunes	Phéophycées	Dictyotaceae	<i>Padina</i>	sp.	/		2					2									2	2						
Algues brunes	Phéophycées	Sargassaceae	<i>Turbinaria</i>	<i>ornata</i>	DD		-2	-2		2			2					2	-2		1						2	
Algues rouges	Rhodophycées	Bonnemaisoniaceae	<i>Asparagopsis</i>	<i>taxiformis</i>	DD		-2			3	3	3	2	3	2	3	2	2	2	3	3	2	2	2	3	2	-2	
Algues rouges	Rhodophycées	Corallinaceae	<i>Amphiroa</i>	sp.	/			-2										2	2	2	2	2	2					
Algues rouges	Rhodophycées	Florideophyceae	<i>Plocamium</i>	sp.	/														-2	-2				2	2			
Algues rouges	Rhodophycées	Galaxauraceae	<i>Galaxaura</i>	sp.	/														-2					2	2	2		
Algues rouges	Rhodophycées	Hypnaceae	<i>Hypnea</i>	sp.	/					-2	-2		-2			-2	-2		-2	-2				-2	-2	-2		
Algues rouges	Rhodophycées	Hypnaceae	<i>Hypnea</i>	<i>spinella</i>	DD		2	2																				
Algues rouges	Rhodophycées	Liagoraceae	<i>Trichogloea</i>	<i>requienii</i>	DD		2			2	2	2		2		1			2		2			1	2			
Algues rouges	Rhodophycées	Peyssonneliaceae	<i>Peyssonnelia</i>	sp.	/														2									
Algues vertes	Chlorophycées	Caulerpaceae	<i>Caulerpa</i>	sp.	/														1			1		-2				
Algues vertes	Chlorophycées	Codiaceae	<i>Codium</i>	<i>platyclados</i>	DD														2	2								
Algues vertes	Chlorophycées	Codiaceae	<i>Codium</i>	sp.	/														2	2	2	1						
Algues vertes	Chlorophycées	Codiaceae	<i>Codium</i>	<i>spongiosum</i>	DD														2	2								
Algues vertes	Chlorophycées	Dasycladaceae	<i>Bornetella</i>	<i>oligospora</i>	DD														2	2	2							
Algues vertes	Chlorophycées	Dasycladaceae	<i>Neomeris</i>	<i>vanbosseae</i>	DD		2					2				2	2		2	2	2	2			2	2		
Algues vertes	Chlorophycées	Halimedaceae	<i>Halimeda</i>	sp.	/		2	2			2	2	2	2	-2	2	-2		2	2	2(2spp)	2	2	2		2	2	2
Algues vertes	Chlorophycées	Siphonocladaceae	<i>Dictyosphaeria</i>	<i>verluisii</i>	DD														2									
Algues vertes	Chlorophycées	Udoteaceae	<i>Chlorodesmis</i>	<i>fastigiata</i>	DD		2	2			2			2		1			2		2				-2			1

Groupe	Sous-groupe	Famille	Genre	Espèce	UICN	PS	ST05 A	ST05 B	ST05 C	ST06 A	ST06 B	ST06 C	ST07 A	ST07 B	ST07 C	ST08 A	ST08 B	ST09 A	ST09 B	ST09 C	ST10 A	ST10 B	ST10 C	ST11 A	ST11 B	ST11 C	ST12 A	ST12 B
Algues vertes	Chlorophycées	Valoniaceae	Ventricaria	ventricosa	DD		2	1															1	2		1	2	
Ascidies	Ascidies	Diazoniidae	Atrium	robustum	DD														2	2								
Ascidies	Ascidies	Didemnidae	Didemnum	molle	DD													2	-2	-3			2	2	2			
Ascidies	Ascidies	Didemnidae	Didemnum	sp. (blanche)	/		2	2	2	-2	2	2	2	2	2	2	2	2	3	3	2	2	2	2	2	2	2	
Ascidies	Ascidies	Didemnidae	Didemnum	sp. (rouge)	/						-2					-2			2									
Ascidies	Ascidies	Didemnidae	Didemnum	sp. (violet)	/						2	2						2	2									
Ascidies	Ascidies	Indéterminé	Encroûtante	sp. (verte)	/													2	2	2								
Ascidies	Ascidies	Indéterminé	Encroûtante	sp. (violet, blanc)	/													2	2	2								
Ascidies	Ascidies	Polycitoridae	Citorclium	laboutei	DD				-1																			
Ascidies	Ascidies	Polycitoridae	Clavelina	detorta	DD					-2	2		-2	-2	-2	2	2	-2	-2	2			2	2	2			
Ascidies	Ascidies	Styelidae	Polycarpa	aurita	DD		2	2	2	2	2	2	2	2		-2	-2	3	3	3	-2	-2			3	2	2	
Ascidies	Ascidies	Styelidae	Polycarpa	clavata	DD			1	1	1	2	2		1	2		-1		1	2		1	1		1	2	1	
Ascidies	Ascidies	Styelidae	Polycarpa	cryptocarpa	DD		2	2	1	2	2	3	3	2	2	2	2	3	2	2	3	3	2	2	3	3	1	2
Ascidies	Ascidies	Styelidae	Polycarpa	nigricans	DD		3	3	2	4	3	3	2	3	3	3	3	5	3	4	2	3	2	3	3	3	2	3
Ascidies	Ascidies	Styelidae	Polycarpa	sp. (blanche)	/							1																
Bryozoaires	Cyclostomes	Tetraplariidae	Alcyonidium	sp.	/		2	3	3	2	2							2	2	2	2	2	2	2	2	2	2	
Cnidaires	Actiniaires	Actiniidae	Entacmaea	quadricolor	DD														1		1							
Cnidaires	Actiniaires	Actinodiscidae	Discosoma	rhodostoma	DD											2							2	3		2		
Cnidaires	Actiniaires	Actinodiscidae	Discosoma	sp.	/			2			2								2	2		2				2		
Cnidaires	Actiniaires	Stichodactylidae	Heteractis	aurora	DD		1																					
Cnidaires	Actiniaires	Stichodactylidae	Heteractis	crispa	DD																							
Cnidaires	Actiniaires	Stichodactylidae	Heteractis	magnificus	DD																							
Cnidaires	Actiniaires	Thalassianthidae	Cryptodendrum	adhaesivum	DD																							
Cnidaires	Alcyonaires	Alcyoniidae	Cladiella	sp.	/											-2	-2		-2	-2		2		2	3			
Cnidaires	Alcyonaires	Alcyoniidae	klyxum	sp.	/													2	2	2		2						
Cnidaires	Alcyonaires	Alcyoniidae	Lobophytum	sp.	/							2				-2	2	4				2	2	2	3	-2		
Cnidaires	Alcyonaires	Alcyoniidae	Rhytisma	sp.	/														2	2								
Cnidaires	Alcyonaires	Alcyoniidae	Sarcophyton	sp.	/		2	2		2	2	2	-2	2	2	2	2	3	3	3	-2	2		2	3	2	3	5
Cnidaires	Alcyonaires	Alcyoniidae	Sinularia	dura	DD																						2	
Cnidaires	Alcyonaires	Alcyoniidae	Sinularia	sp.	/					-2			-2			-2	2	3	3	3	-2	1	2	2	3	2	2	2
Cnidaires	Alcyonaires	Nephtheidae	Dendronephthya	sp.	/				-1	-2	-2								3	4	4	-1	-2	-2		2	-2	-2
Cnidaires	Alcyonaires	Nephtheidae	Nephthea	sp.	/														2	5	4		2	2	2	3		
Cnidaires	Alcyonaires	Nephtheidae	Xenia	sp.	/														3	2	2	2		-2				
Cnidaires	Alcyonaires	Nidaliidae	Chironophthya	sp.	/				2										1	2								
Cnidaires	Hydrozoaires	Indéterminé	Indéterminé	sp.	/						2					2	2	-2	2	2		2	-2	2	2	2	2	2
Cnidaires	Zoanthaires	Zoanthidae	Indéterminé	sp.	/												-2					-2						
Cnidaires	Zoanthaires	Zoanthidae	Palythoa	tuberculosa	DD		2	2		2	2	2	2	2	-2	2	2	3	2	2		2	2	2	2	2	2	1
Cyanobactéries	Cyanophycées	Phormidiaceae	Phormidium	sp.	/						2	2	2	2	2	2	2	-2	2	2	2	2	2	2	2	2	2	2
Cyanobactéries	Cyanophycées	Phormidiaceae	Symploca	hydroides	DD																						2	2
Échinodermes	Astéries	Ophiasteridae	Celerina	heffernani	DD				1		-2								-1		-1			-1		1		
Échinodermes	Astéries	Ophiasteridae	Fromia	indica	DD						2	1			1	1	1		-2	-2		-1			1			
Échinodermes	Astéries	Ophiasteridae	Fromia	monilis	DD		-1			1																	1	
Échinodermes	Astéries	Ophiasteridae	Gomophia	egyptiaca	DD								1		1	1	1	1	2	1				2	1	1		
Échinodermes	Astéries	Ophiasteridae	Linckia	multiflora	DD		-2	1		2	2	2	2	-2		2	2		2	2				1	2			
Échinodermes	Astéries	Ophiasteridae	Nardoa	gomophia	DD		-1												1	1								
Échinodermes	Crinoïdes	Indéterminé	Indéterminé	sp.	/		2	2	2	2	2	2	3	2	-3	1	2	3	4	3	3	3	1	2	3	2	3	3
Échinodermes	Echinides	Diadematidae	Diadema	savignyi	DD															2								
Échinodermes	Echinides	Diadematidae	Diadema	setosum	DD		2	3						1	2		-1		1	1	1	1		2	1	2	1	
Échinodermes	Echinides	Diadematidae	Echinometrix	diadema	DD						2			1					2	2	-2	1			1			
Échinodermes	Echinides	Echinometridae	Echinometra	mathaei	DD		2	-2					2						2	2	2							
Échinodermes	Echinides	Echinometridae	Echinostrephus	aciculatus	DD		2	2	2	2	2	1	2	2		2		2	2	2	2	2	2	2	2	2	2	
Échinodermes	Echinides	Echinometridae	Parasalenia	gratiosa	DD																			2	1			
Échinodermes	Holothurides	Holothuriidae	Actinopyga	flammea	LR-lc	1								1														
Échinodermes	Holothurides	Holothuriidae	Actinopyga	palauensis	LR-lc	1	1	1						1	1					1			1	1				
Échinodermes	Holothurides	Holothuriidae	Bohadschia	argus	LR-lc	1							-1															
Échinodermes	Holothurides	Holothuriidae	Bohadschia	vitiensis	DD	1	-1																					
Échinodermes	Holothurides	Holothuriidae	Holothuria	atra	LR-lc	1						1	1	2										1				
Échinodermes	Holothurides	Holothuriidae	Holothuria	edulis	LR-lc	1	1	-2			1	2	1	1			-1				1	2	2		1	1		
Échinodermes	Holothurides	Holothuriidae	Holothuria	fuscopunctata	LR-lc	1	1															2	1					
Échinodermes	Holothurides	Holothuriidae	Holothuria	whitmaei	EN	1										-1		1										
Échinodermes	Holothurides	Stichopodidae	Thelephora	ananas	EN	1	2	-1	1																			
Échinodermes	Holothurides	Stichopodidae	Thelephora	anax	DD	1							1				-1											
Échinodermes	Ophiurides	Ophiocoridae	Ophiomastix	caryophyllata	DD		2	2	2							2	2						2	2	2	2	2	
Échinodermes	Ophiurides	Ophiocoridae	Ophiure	ind.	/		2	2	2				2	2	2	2	2	2	3	3	2	2	3	3	2	2	2	
Éponges	Spongiaires																											

Groupe	Sous-groupe	Famille	Genre	Espèce	UICN	PS	ST05 A	ST05 B	ST05 C	ST06 A	ST06 B	ST06 C	ST07 A	ST07 B	ST07 C	ST08 A	ST08 B	ST09 A	ST09 B	ST09 C	ST10 A	ST10 B	ST10 C	ST11 A	ST11 B	ST11 C	ST12 A	ST12 B
Éponges	Spongiaires	Axinellidae	<i>Ptilocaulis</i>	<i>fusiformis</i>	DD				1																			
Éponges	Spongiaires	Clionaidae	<i>Cliona</i>	<i>jullieni</i>	DD		2	2	2	2	2	2	2	2	2	2	3	2	2	2	1	2	2	2	2	2	3	3
Éponges	Spongiaires	Clionaidae	<i>Cliona</i>	<i>orientalis</i>	DD		3	3	2	2	4	3	2	3	2	2	2	2	3	3	2	3	2	2	3	2	4	3
Éponges	Spongiaires	Dysideidae	<i>Dysidea</i>	<i>arenaria</i>	DD							1								2								
Éponges	Spongiaires	Dysideidae	<i>Dysidea</i>	<i>frondosa</i>	DD								1	1														
Éponges	Spongiaires	Dysideidae	<i>Dysidea</i>	<i>herbacea</i>	DD			1		1			-1	1	-1				1		2		1	2	1	1		
Éponges	Spongiaires	Indéterminé	Indéterminé	sp. (marron)	/								2															
Éponges	Spongiaires	Indéterminé	Indéterminé	sp. (noire)	/		2	2	2	2	2	2	-2	2	2	2	2	-2	3	3	-2	2	2	2	2	2	2	3
Éponges	Spongiaires	Indéterminé	Indéterminé	sp. (orange)	/			2	2		2	2		2					2	2				2	2	2	1	2
Éponges	Spongiaires	Leucettidae	<i>Leucetta</i>	<i>chagosensis</i>	DD							2								2				-1	-1			
Éponges	Spongiaires	Microcionidae	<i>Clathria</i>	<i>rugosa</i>	DD		2	2	2				-2	2	2	2	1					2				2	2	
Éponges	Spongiaires	Spirastrellidae	<i>Sphēciospongia</i>	<i>vagabunda</i>	DD		2	2			2	-2	2	2	2	2	2	-2	-2	2	2	2		2	2	2	2	2
Mollusques	Bivalves	Arcidae	<i>Arca</i>	<i>ventricosa</i>	DD			2		2							-1				-2					3	2	
Mollusques	Bivalves	Gryphaeidae	<i>Hyotissa</i>	<i>hyotis</i>	DD		2	2	1		1	1		2		2		2	2		-2	-2	-2		2	2	2	
Mollusques	Bivalves	Gryphaeidae	<i>Hyotissa</i>	sp.	/																2	2	2					
Mollusques	Bivalves	Isognomonidae	<i>Isognomon</i>	<i>isognomon</i>	DD		2	2								2	2		-2	2	2	2				2	2	
Mollusques	Bivalves	Mytilidae	<i>Septifer</i>	<i>bilocularis</i>	DD		3	4	2	2				2		2	-2	2	2		2	2	2		2	-2	3	2
Mollusques	Bivalves	Ostreidae	<i>Lopha</i>	<i>crisagalli</i>	DD			2	2																			
Mollusques	Bivalves	Ostreidae	<i>Saccostrea</i>	<i>cucullata</i>	DD			2	2																2	2		
Mollusques	Bivalves	Ostreidae	<i>Saccostrea</i>	sp.	/									2	2						2	3	-2					
Mollusques	Bivalves	Pinnidae	<i>Athrina</i>	sp.	/																-1							
Mollusques	Bivalves	Pteridae	<i>Pinctada</i>	<i>margaritifera</i>	DD		1																			1	1	
Mollusques	Bivalves	Pteridae	<i>Pteria</i>	sp.	/				2											2							2	
Mollusques	Bivalves	Spondylidae	<i>Pedum</i>	<i>spondyloideum</i>	DD		3	3		2	2		3	2	-2	2	-2	2	3	2	2	3	2	3	2		3	2
Mollusques	Bivalves	Spondylidae	<i>Spondylus</i>	sp.	/		2	2	1				3	2	2	2	1	4	2	2	2	2	2		2	2	2	2
Mollusques	Bivalves	Tridacnidae	<i>Tridacna</i>	<i>crocea</i>	LR-lc	1	-2													2								
Mollusques	Bivalves	Tridacnidae	<i>Tridacna</i>	<i>maxima</i>	LR-cd	1	3			2			2	1		-1			1	2	1	2		2	2		-1	
Mollusques	Bivalves	Tridacnidae	<i>Tridacna</i>	<i>squamosa</i>	LR-cd	1	-2						1							-1		1						
Mollusques	Gastéropodes	Bursidae	<i>Bursa</i>	sp.	/						1																	
Mollusques	Gastéropodes	Conidae	<i>Conus</i>	<i>litteratus</i>	LR-lc												1											
Mollusques	Gastéropodes	Coralliophilidae	<i>Coralliophila</i>	<i>violacea</i>	DD		2	2		2	2		2	2		2	2	2	2	2	2	2	2	2	2	2	2	2
Mollusques	Gastéropodes	Cymatidae	<i>Charonia</i>	<i>tritonis</i>	DD	1											1											
Mollusques	Gastéropodes	Muricidae	<i>Chicoreus</i>	<i>brunneus</i>	DD									1													2	
Mollusques	Gastéropodes	Muricidae	<i>Drupella</i>	<i>cornus</i>	DD					-3								-2	-2		2	-2		-2	-2		2	
Mollusques	Gastéropodes	Strombidae	<i>Lambis</i>	<i>lambis</i>	DD		-1							1	1								-1					
Mollusques	Gastéropodes	Strombidae	<i>Lambis</i>	<i>scorpius</i>	DD		-1																					
Mollusques	Gastéropodes	Strombidae	<i>Lambis</i>	<i>truncata</i>	DD											1									2			
Mollusques	Gastéropodes	Trochidae	<i>Tectus</i>	<i>fenestratus</i>	DD																-1	-1						
Mollusques	Gastéropodes	Trochidae	<i>Tectus</i>	<i>niloticus</i>	DD	1																-1					1	
Mollusques	Gastéropodes	Trochidae	<i>Tectus</i>	<i>pyramis</i>	DD													1										
Mollusques	Gastéropodes	Turbinidae	<i>Astraea</i>	<i>rhodostoma</i>	DD																-1	-1					2	
Mollusques	Nudibranches	Aglagidae	<i>Cheilidonura</i>	<i>inornata</i>	DD																-1							
Mollusques	Nudibranches	Chromodorididae	<i>Chromodoris</i>	<i>elisabethina</i>	DD							1																
Mollusques	Nudibranches	Chromodorididae	<i>Chromodoris</i>	<i>reticulata</i>	DD			-2																				
Mollusques	Nudibranches	Chromodorididae	<i>Noumea</i>	<i>catalai</i>	DD																							
Mollusques	Nudibranches	Chromodorididae	<i>Risbecia</i>	<i>tryoni</i>	DD																						2	
Mollusques	Nudibranches	Notodorididae	<i>Notodoris</i>	<i>citrina</i>	DD														2									
Mollusques	Nudibranches	Phyllidiidae	<i>Phyllidia</i>	<i>coelestis</i>	DD																					1		
Mollusques	Nudibranches	Phyllidiidae	<i>Phyllidia</i>	<i>ocellata</i>	DD				-1																			
Mollusques	Nudibranches	Phyllidiidae	<i>Phyllidiella</i>	<i>pustulosa</i>	DD							-1		-1	1	-1						-1		1				
Vers	Annélides polychètes	Serpulidae	<i>Spirobranchus</i>	<i>giganteus</i>	DD		3	3	3	5	5	5	4	5	4	3	3	3	4	4	3	5	4	4	4	4	3	3

Tableau 150 : Richesse spécifique des biocénoses* benthiques par groupes et transect (*hors coraux durs)

Groupe	Sous-groupe	ST01	ST01	ST02	ST02	ST03	ST03	ST03	ST04	ST04	ST04	ST05	ST05	ST05	ST06	ST06	ST06	ST07	ST07	ST07	ST08	ST08	ST09	ST09	ST09	ST10	ST10	ST10	ST11	ST11	ST11	ST12	ST12	
		A	B	A	B	A	B	C	A	B	C	A	B	C	A	B	C	A	B	C	A	B	A	B	C	A	B	C	A	B	C	A	B	
Algues brunes	Phéophycées	1	1	3	2	2	2	1	2	0	0	2	0	0	1	0	1	1	1	1	1	0	1	1	2	4	2	0	0	0	2	1		
Algues rouges	Rhodophycées	2	1	1	1	1	1	1	0	0	0	2	1	0	2	2	2	1	2	1	2	1	2	4	2	3	2	1	4	4	2	0	0	
Algues vertes	Chlorophycées	2	1	2	2	2	1	0	2	1	0	4	3	0	0	2	2	2	1	0	3	1	4	9	6	5	1	0	3	3	0	3	1	
Cyanobactéries	Cyanophycée	1	1	2	1	1	2	0	1	1	0	0	0	0	0	1	1	1	1	1	1	1	0	1	1	1	1	1	1	1	2	2		
Bryozoaires	Cyclostomes	0	0	1	1	0	0	0	1	1	1	1	1	1	1	0	0	0	0	0	1	1	1	1	1	1	1	1	1	1	1	1	1	
Cnidaires	Alcyonaires	7	7	4	5	4	3	5	1	2	2	1	1	1	1	1	2	0	1	1	1	3	6	8	8	1	7	4	5	6	2	3	2	
Cnidaires	Actiniaux	1	0	0	0	0	0	1	0	0	0	1	1	0	0	1	0	0	0	0	1	2	0	3	1	1	2	0	1	1	0	2	0	
Cnidaires	Hydrozoaires	0	0	0	0	0	0	0	1	1	1	0	0	0	0	1	0	0	0	0	1	1	0	1	1	0	1	0	1	1	1	1	1	
Cnidaires	Zoanthaires	1	1	2	2	1	0	1	0	1	1	1	1	0	1	1	1	1	1	0	1	1	1	1	1	0	1	1	1	1	1	1	1	
Echinodermes	Astéries	2	0	1	2	1	0	1	2	0	0	0	1	1	2	2	2	1	1	1	3	3	2	3	2	1	0	0	1	4	1	2	0	
Echinodermes	Crinoïdes	1	1	0	0	0	0	0	1	1	1	1	1	1	1	1	1	1	1	0	1	1	1	1	1	1	1	1	1	1	1	1	1	
Echinodermes	Echinides	3	1	2	2	1	1	1	1	2	0	3	2	1	1	2	1	2	3	1	1	0	2	5	4	2	3	1	0	4	3	2	2	
Echinodermes	Holothurides	3	2	1	2	2	1	1	0	1	1	4	1	1	0	1	2	2	4	2	0	1	1	1	0	1	4	3	0	1	1	0	0	
Echinodermes	Ophiurides	2	2	2	2	2	2	2	2	2	1	2	2	2	0	0	0	1	1	1	2	2	1	1	1	1	1	0	2	2	2	2	2	
Echinodermes	Synaptes	0	0	0	1	0	0	0	0	0	0	0	0	0	0	0	0	0	0	0	0	0	0	0	0	0	0	0	0	0	0	0	0	0
Eponges	Spongiaires	7	7	2	3	5	5	4	8	10	7	6	9	8	4	6	8	5	8	6	6	6	3	7	9	4	5	6	4	8	8	8	8	8
Mollusques	Mollusques	8	8	9	7	7	1	4	2	10	5	8	9	6	5	5	3	5	7	6	8	5	9	7	4	9	10	6	3	9	4	14	8	
Ascidies	Ascidies	4	3	5	3	3	1	2	2	4	0	4	5	5	4	7	7	3	5	4	4	4	8	10	9	3	4	3	5	7	7	3	4	
Vers	Annélides polychètes	1	1	1	1	1	0	1	1	1	0	1	1	1	1	1	1	1	1	1	1	1	1	1	1	1	1	1	1	1	1	1	1	1
Total		46	37	38	37	33	20	25	27	38	20	41	39	28	24	35	34	27	38	26	38	34	43	65	54	39	47	29	34	55	36	48	35	
Sous-total Invertébrés		40	33	30	31	27	14	23	22	36	20	33	35	28	21	30	28	22	33	23	31	31	36	50	43	26	41	27	26	47	33	41	31	
Sous-total Algues		5	3	6	5	5	4	2	4	1	0	8	4	0	3	4	5	4	4	2	6	2	7	14	10	12	5	1	7	7	2	5	2	
Sous-total Cnidaires		9	8	6	7	5	3	7	2	4	4	3	3	1	2	4	3	1	2	1	4	7	7	13	11	2	11	5	8	9	4	7	4	
Sous-total Echinodermes		11	6	6	9	6	4	5	6	6	3	10	7	6	4	6	6	7	10	5	7	7	7	11	8	6	9	5	4	12	8	7	5	

Tableau 151 : Richesse spécifique des biocénoses* benthiques par groupes et station (*hors coraux durs)

Groupe	Sous-groupe	ST01	ST02	ST03	ST04	ST05	ST06	ST07	ST08	ST09	ST10	ST11	ST12
Algues brunes	Phéophycées	1	3	3	2	2	2	2	1	3	4	0	2
Algues rouges	Rhodophycées	2	1	1	0	2	2	2	2	4	3	5	0
Algues vertes	Chlorophycées	2	2	2	2	4	3	2	3	10	5	3	3
Cyanobactéries	Cyanophycée	1	2	2	1	0	1	1	1	1	1	1	2
Bryozoaires	Cyclostomes	0	1	0	1	1	1	0	1	1	1	1	1
Cnidaires	Alcyonaires	7	5	5	2	2	2	1	3	9	7	6	3
Cnidaires	Actiniaux	1	0	1	0	2	1	0	3	3	3	1	2
Cnidaires	Hydrozoaires	0	0	0	1	0	1	0	1	1	1	1	1
Cnidaires	Zoanthaires	1	2	2	1	1	1	1	1	1	1	1	1
Echinodermes	Astéries	2	3	2	2	2	3	3	3	3	1	4	2
Echinodermes	Crinoïdes	1	0	0	1	1	1	1	1	1	1	1	1
Echinodermes	Echinides	3	3	1	2	3	2	4	1	5	3	4	2
Echinodermes	Holothurides	4	2	2	1	4	2	5	1	2	4	1	0
Echinodermes	Ophiurides	2	2	2	2	2	0	1	2	1	1	2	2
Echinodermes	Synaptes	0	1	0	0	0	0	0	0	0	0	0	0
Eponges	Spongiaires	7	3	9	10	10	10	10	6	10	8	8	9
Mollusques	Mollusques	10	10	8	11	12	9	12	10	11	11	10	14
Ascidies	Ascidies	4	5	3	5	5	8	5	4	12	4	7	5
Vers	Annélides polychètes	1	1	1	1	1	1	1	1	1	1	1	1
Total		49	46	44	45	54	50	51	45	79	60	57	51
Sous-total Invertébrés		43	38	36	40	46	42	44	38	61	47	48	44
Sous-total Algues		5	6	6	4	8	7	6	6	17	12	8	5
Sous-total Cnidaires		9	7	8	4	5	5	2	8	14	12	9	7
Sous-total Echinodermes		12	11	7	8	12	8	14	8	12	10	12	7

Tableau 152 : Richesse spécifique du macrobenthos par site

Groupe	Sous-groupe	Prony	Woodin	Havannah
Algues brunes	Phéophycées	3	2	4
Algues rouges	Rhodophycées	2	0	7
Algues vertes	Chlorophycées	3	2	11
Cyanobactéries	Cyanophycée	2	1	2
Bryozoaires	Cyclostomes	1	1	1
Cnidaires	Alcyonaires	8	2	11
Cnidaires	Actiniaux	1	0	6
Cnidaires	Hydrozoaires	0	1	1
Cnidaires	Zoanthaires	3	1	1
Echinodermes	Astéries	5	2	6
Echinodermes	Crinoïdes	1	1	1
Echinodermes	Echinides	5	2	6
Echinodermes	Holothurides	5	1	8
Echinodermes	Ophiurides	2	2	2
Echinodermes	Synaptes	1	0	0
Eponges	Spongiaires	11	10	14
Mollusques	Mollusques	15	11	32
Ascidies	Ascidies	5	5	13
Vers	Annélides polychètes	1	1	1
Total		74	45	127
Sous-total Invertébrés		64	40	103
Sous-total Algues		8	4	22
Sous-total Cnidaires		12	4	19
Sous-total Echinodermes		19	8	23

Tableau 153 : Liste des espèces cibles (CdC DENV) et leur abondance (1 à 5) (stations de la baie de Prony et du canal Woodin)

Groupe	Sous-groupe	Famille	Genre	Espèce	UICN	PS	ST01 A	ST01 B	ST02A	ST02B	ST03A	ST03 B	ST03 C	ST04 A	ST04 B	ST04 C
Algues brunes	Phéophycées	Dictyotaceae	<i>Dictyota</i>	sp.	/				2	2	-2	2		2		
Algues brunes	Phéophycées	Dictyotaceae	<i>Lobophora</i>	sp.	/		3	2	5	2	3	5	3			
Algues brunes	Phéophycées	Dictyotaceae	<i>Padina</i>	sp.	/				2		2			2		
Algues brunes	Phéophycées	Sargassaceae	<i>Turbinaria</i>	<i>ornata</i>	DD									-2		
Algues rouges	Rhodophycées	Bonnemaisoniaceae	<i>Asparagopsis</i>	<i>taxiformis</i>	DD									-2		
Algues rouges	Rhodophycées	Coralinaceae	<i>Amphiroa</i>	sp.	/		2	2	2	2	2	4	2			
Algues rouges	Rhodophycées	Dumontiaceae	<i>Gibsmithia</i>	<i>hawaiiensis</i>	DD		1									
Algues vertes	Chlorophycées	Caulerpaceae	<i>Caulerpa</i>	sp.	/									-1		
Algues vertes	Chlorophycées	Dasycladaceae	<i>Neomeris</i>	<i>vanbosseae</i>	DD		2									
Algues vertes	Chlorophycées	Halimedaceae	<i>Halimeda</i>	sp.	/		2	2	4(2spp)	2(2spp)	3(2spp)	2		2	2	
Algues vertes	Chlorophycées	Udoteaceae	<i>Chlorodesmis</i>	<i>fastigiata</i>	DD									2		
Échinodermes	Astéries	Acanthasteridae	<i>Acanthaster</i>	<i>solaris</i>	DD		-1		1	-1						
Échinodermes	Astéries	Echinasteridae	<i>Echinaster</i>	<i>varicolor</i>	DD						-1	-1				
Échinodermes	Astéries	Ophidiasteridae	<i>Celerina</i>	<i>heffernani</i>	DD				-1							
Échinodermes	Astéries	Ophidiasteridae	<i>Fromia</i>	<i>indica</i>	DD		-1									
Échinodermes	Astéries	Ophidiasteridae	<i>Fromia</i>	<i>milleporrella</i>	DD				-1							
Échinodermes	Astéries	Ophidiasteridae	<i>Fromia</i>	<i>monilis</i>	DD						-1			1		
Échinodermes	Astéries	Ophidiasteridae	<i>Gomophia</i>	<i>egyptiaca</i>	DD		-1			1				1	-1	
Échinodermes	Astéries	Ophidiasteridae	<i>Linckia</i>	<i>multiflora</i>	DD		1	-2								
Échinodermes	Astéries	Ophidiasteridae	<i>Nardoa</i>	<i>gomophia</i>	DD		1	-2		1	2					
Échinodermes	Astéries	Oreasteridae	<i>Culcita</i>	<i>novaeguineae</i>	DD								1			
Échinodermes	Crinoïdes	Indéterminé	<i>Indéterminé</i>	sp.	/		2	2						2	3	5
Échinodermes	Echinides	Diadematidae	<i>Diadema</i>	<i>savignyi</i>	DD		1									
Échinodermes	Echinides	Diadematidae	<i>Diadema</i>	<i>setosum</i>	DD		2		1	1	2	2	3	2	3	
Échinodermes	Echinides	Diadematidae	<i>Echinometrix</i>	<i>diadema</i>	DD											
Échinodermes	Echinides	Echinometridae	<i>Echinometra</i>	<i>mathaei</i>	DD					2					-2	
Échinodermes	Echinides	Echinometridae	<i>Echinostrephus</i>	<i>aciculatus</i>	DD		2	2								
Échinodermes	Echinides	Echinometridae	<i>Parasalenia</i>	<i>gratiosa</i>	DD				2							2
Échinodermes	Holothurides	Holothuriidae	<i>Holothuria</i>	<i>edulis</i>	LR-lc	1	2	-2	-2	2	2	-2	-2	-2	1	2
Échinodermes	Holothurides	Holothuriidae	<i>Holothuria</i>	<i>flavomaculata</i>	LR-lc	1			2	2	2	3	3			
Échinodermes	Holothurides	Holothuriidae	<i>Holothuria</i>	<i>fuscopunctata</i>	LR-lc	1	1	1								
Échinodermes	Holothurides	Holothuriidae	<i>Holothuria</i>	<i>whitmaei</i>	EN	1	1									
Échinodermes	Holothurides	Stichopodidae	<i>Theleota</i>	<i>anax</i>	DD	1		2								
Échinodermes	Ophiurides	Ophiocomidae	<i>Ophiomastix</i>	<i>caryophyllata</i>	DD		2	2	3	4	2	3	2	2	2	
Échinodermes	Ophiurides	Ophiocomidae	<i>Ophiure</i>	<i>ind.</i>	/		2	2	2	2	2	3	2	3	3	3
Échinodermes	Synaptés	Synaptidae	<i>Euapta</i>	<i>godeffroyi</i>	DD					1						
Éponges	Spongiaires	Clionidae	<i>Cliona</i>	<i>jullieni</i>	DD		3	3	2	3	2	2	2	2	2	2
Éponges	Spongiaires	Clionidae	<i>Cliona</i>	<i>orientalis</i>	DD		3	2	2	2	2	2	2	2	4	2
Mollusques	Bivalves	Tridacnidae	<i>Tridacna</i>	<i>maxima</i>	LR-cd	1			1							
Mollusques	Bivalves	Tridacnidae	<i>Tridacna</i>	<i>squamosa</i>	LR-cd	1	1	1		1	-1					

Tableau 154 : Liste des espèces cibles (CdC DENV) et leur abondance (1 à 5) (stations du canal de la Havannah)

Groupe	Sous-groupe	Famille	Genre	Espèce	UICN	PS	ST05 A	ST05 B	ST05 C	ST06 A	ST06 B	ST06 C	ST07 A	ST07 B	ST07 C	ST08 A	ST08 B	ST09 A	ST09 B	ST09 C	ST10 A	ST10 B	ST10 C	ST11 A	ST11 B	ST11 C	ST12 A	ST12 B	
Algues brunes	Phéophycées	Dictyotaceae	<i>Dictyota</i>	sp.	/		2							2	2	2	-3		2	2	3	2							
Algues brunes	Phéophycées	Dictyotaceae	<i>Lobophora</i>	sp.	/																2	2					2	2	
Algues brunes	Phéophycées	Dictyotaceae	<i>Padina</i>	sp.	/		2				2									2	2								
Algues brunes	Phéophycées	Sargassaceae	<i>Turbinaria</i>	<i>ornata</i>	DD		-2	-2		2			2					2	-2		1						2		
Algues rouges	Rhodophycées	Bonnemaisoniaceae	<i>Asparagopsis</i>	<i>taxiformis</i>	DD		-2			3	3	3	2	3	2	3	2	2	2	3	3	2		2	3	2	-2		
Algues rouges	Rhodophycées	Coralinaceae	<i>Amphiroa</i>	sp.	/			-2										2	2	2	2	2	2		2				
Algues rouges	Rhodophycées	Florideophyceae	<i>Plocamium</i>	sp.	/														-2	-2					2				
Algues rouges	Rhodophycées	Galaxauraceae	<i>Galaxaura</i>	sp.	/														-2					2	2	2			
Algues rouges	Rhodophycées	Hypneaceae	<i>Hypnea</i>	sp.	/						-2	-2		-2		-2	-2		-2	-2				-2	-2	-2			
Algues rouges	Rhodophycées	Hypneaceae	<i>Hypnea</i>	<i>spinella</i>	DD		2	2																					
Algues rouges	Rhodophycées	Liagoraceae	<i>Trichogloea</i>	<i>requienii</i>	DD		2			2	2	2		2		1			2		2			1	2				
Algues rouges	Rhodophycées	Peyssonneliaceae	<i>Peyssonnelia</i>	sp.	/														2										
Algues vertes	Chlorophycées	Caulerpaceae	<i>Caulerpa</i>	sp.	/														1		1			-2					
Algues vertes	Chlorophycées	Codiaceae	<i>Codium</i>	<i>platyclados</i>	DD														2	2									
Algues vertes	Chlorophycées	Codiaceae	<i>Codium</i>	sp.	/														2	2	2	1							
Algues vertes	Chlorophycées	Codiaceae	<i>Codium</i>	<i>spongiosum</i>	DD														2	2									
Algues vertes	Chlorophycées	Dasycladaceae	<i>Bornetella</i>	<i>oligospora</i>	DD													2	2	2									
Algues vertes	Chlorophycées	Dasycladaceae	<i>Neomeris</i>	<i>vanbosseae</i>	DD		2				2					2	2		2	2	2			2	2				
Algues vertes	Chlorophycées	Halimedaceae	<i>Halimeda</i>	sp.	/		2	2			2	2	2	2	-2	2	-2	2	2(2spp)	2	2	2		2	2		2		
Algues vertes	Chlorophycées	Siphonocladaceae	<i>Dictyosphaeria</i>	<i>verluisii</i>	DD													2											
Algues vertes	Chlorophycées	Udoteaceae	<i>Chlorodesmis</i>	<i>fastigiata</i>	DD		2	2			2		2			1			2					-2			1		
Algues vertes	Chlorophycées	Valoniaceae	<i>Ventricaria</i>	<i>ventricosa</i>	DD		2	1																1	2		1	2	
Échinodermes	Astéries	Ophidiasteridae	<i>Celerina</i>	<i>heffernani</i>	DD				1		-2						-1		-1				-1		1				
Échinodermes	Astéries	Ophidiasteridae	<i>Fromia</i>	<i>indica</i>	DD						2	1			1	1	1		-2	-2		-1			1				
Échinodermes	Astéries	Ophidiasteridae	<i>Fromia</i>	<i>monilis</i>	DD		-1			1										-1								1	
Échinodermes	Astéries	Ophidiasteridae	<i>Gomophia</i>	<i>egyptiaca</i>	DD									1		1	1	1	1	2	2	1			2	1	1		
Échinodermes	Astéries	Ophidiasteridae	<i>Linckia</i>	<i>multifora</i>	DD		-2	1		2	2	2	2	-2		2	2		2	2				1	2				
Échinodermes	Astéries	Ophidiasteridae	<i>Nardoia</i>	<i>gomophia</i>	DD		-1											1	1										
Échinodermes	Crinoïdes	Indéterminé	<i>Indéterminé</i>	sp.	/		2	2	2	2	2	2	3	2	-3	1	2	3	4	3	3	3	3	1	2	3	2	3	3
Échinodermes	Echinides	Diadematidae	<i>Diadema</i>	<i>savignyi</i>	DD														2										
Échinodermes	Echinides	Diadematidae	<i>Diadema</i>	<i>setosum</i>	DD		2	3						1	2		-1		1	1	1	1			2	1	2	1	
Échinodermes	Echinides	Diadematidae	<i>Echinometrix</i>	<i>diadema</i>	DD						2			1					2	2	-2	1			1				
Échinodermes	Echinides	Echinometridae	<i>Echinometra</i>	<i>mathaei</i>	DD		2	-2					2					2	2	2									
Échinodermes	Echinides	Echinometridae	<i>Echinostrephus</i>	<i>aciculatus</i>	DD		2	2	2	2	2	1	2	2		2		2	2	2	2	2	2	2	2	2	2	2	
Échinodermes	Echinides	Echinometridae	<i>Parasalenia</i>	<i>gratiosa</i>	DD																				2	1			
Échinodermes	Holothurides	Holothuriidae	<i>Actinopyga</i>	<i>flammea</i>	LR-lc	1								1															
Échinodermes	Holothurides	Holothuriidae	<i>Actinopyga</i>	<i>palauensis</i>	LR-lc	1	1	1						1	1		1		1			1	1						
Échinodermes	Holothurides	Holothuriidae	<i>Bohadschia</i>	<i>argus</i>	LR-lc	1								-1			-1												
Échinodermes	Holothurides	Holothuriidae	<i>Bohadschia</i>	<i>vitiensis</i>	DD	1	-1																						
Échinodermes	Holothurides	Holothuriidae	<i>Holothuria</i>	<i>atra</i>	LR-lc	1					1			1	2							1							
Échinodermes	Holothurides	Holothuriidae	<i>Holothuria</i>	<i>edulis</i>	LR-lc	1	1	-2			1	2	1	1			-1				1	2	2		1	1			
Échinodermes	Holothurides	Holothuriidae	<i>Holothuria</i>	<i>fuscopunctata</i>	LR-lc	1	1										-1					2	1						
Échinodermes	Holothurides	Holothuriidae	<i>Holothuria</i>	<i>whitmaei</i>	EN	1										-1		1											
Échinodermes	Holothurides	Stichopodidae	<i>Thelenota</i>	<i>ananas</i>	EN	1	2	-1	1																				
Échinodermes	Holothurides	Stichopodidae	<i>Thelenota</i>	<i>anax</i>	DD	1											-1												
Échinodermes	Ophiurides	Ophiocomidae	<i>Ophiomastix</i>	<i>caryophyllata</i>	DD		2	2	2							2	2							2	2	2	2	2	
Échinodermes	Ophiurides	Ophiocomidae	<i>Ophiure</i>	<i>ind.</i>	/		2	2	2				2	2	2	2	2	2	3	3	2	2		3	3	2	2	2	
Éponges	Spongiaires	Clionaidae	<i>Cliona</i>	<i>jullieni</i>	DD		2	2	2	2	2	2	2	2	2	3	2	2	2	2	1	2	2	2	2	2	3	3	
Éponges	Spongiaires	Clionaidae	<i>Cliona</i>	<i>orientalis</i>	DD		3	3	2	2	4	3	2	3	2	2	2	2	3	3	2	3	2	2	3	2	4	3	
Mollusques	Bivalves	Tridacnidae	<i>Tridacna</i>	<i>crocea</i>	LR-lc	1	-2												2										
Mollusques	Bivalves	Tridacnidae	<i>Tridacna</i>	<i>maxima</i>	LR-cd	1	3			2			2	1		-1		1	2		1	2		2	2		-1		
Mollusques	Bivalves	Tridacnidae	<i>Tridacna</i>	<i>squamosa</i>	LR-cd	1	-2						1						-1										
Mollusques	Gastéropodes	Trochidae	<i>Tectus</i>	<i>fenestratus</i>	DD																-1	-1							
Mollusques	Gastéropodes	Trochidae	<i>Tectus</i>	<i>niloticus</i>	DD	1															-1						1		
Mollusques	Gastéropodes	Trochidae	<i>Tectus</i>	<i>pyramis</i>	DD													1											

Annexe n° 05

Nomenclature UICN

La liste rouge de l'UICN (Union Internationale pour la Conservation de la Nature) est un système simple et compréhensible par tous pour classer les espèces selon le risque d'extinction à l'échelle mondiale.

Fondée sur une solide base scientifique, la Liste rouge de l'UICN est reconnue comme l'outil de référence de l'état de la diversité biologique spécifique à l'échelle mondiale. Sur la base d'une information précise sur les espèces menacées, son but essentiel est d'identifier les priorités d'action, de mobiliser l'attention du public et des responsables politiques sur l'urgence et l'étendue des problèmes de conservation, et d'inciter tous les acteurs à agir en vue de limiter le taux d'extinction des espèces.

Cependant en milieu marin, le recensement des espèces d'invertébrés enregistre de nombreuses lacunes à travers le monde. Les coraux scléactiniaires et les béditiers sont les mieux référencés mais le reste des invertébrés est le plus souvent enregistré comme données insuffisantes (data deficient).

La [figure 122](#) illustre le classement des catégories employées selon le risque d'extinction qui pèse sur les espèces. Les définitions de chaque catégorie sont données [tableau 155](#).

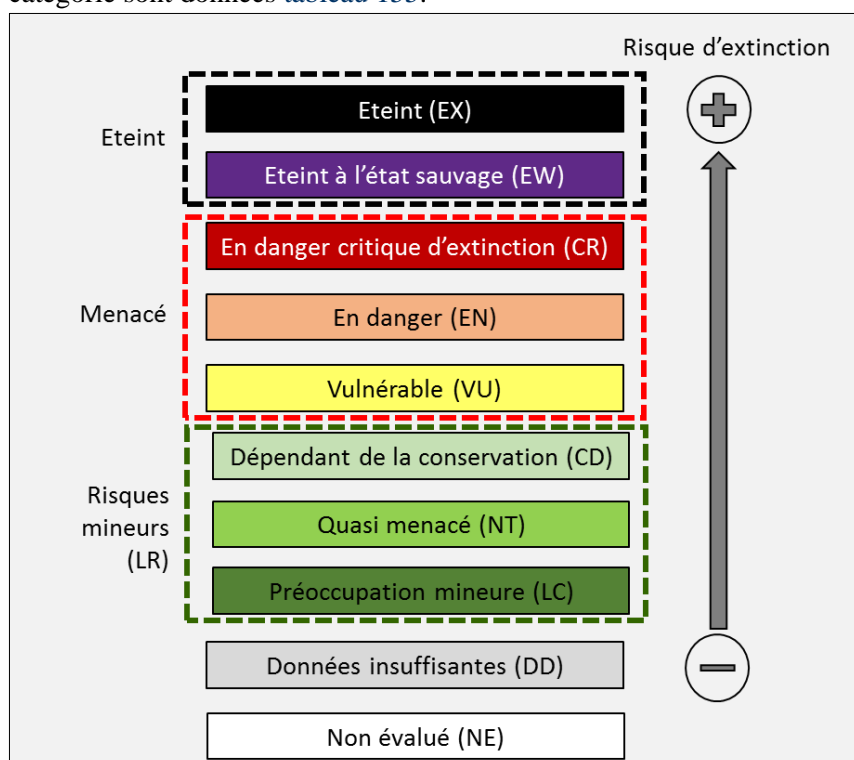


Figure 122 : Classification de la liste rouge UICN

Tableau 155 : Liste Définitions des catégories UICN

CATEGORIE	SIGLE	DEFINITION
Éteint (Extinct)	EX	Un taxon est dit <i>Éteint</i> lorsqu'il ne fait aucun doute que le dernier individu est mort. Un taxon est présumé <i>Éteint</i> lorsque des études exhaustives menées dans son habitat connu et/ou présumé, à des périodes appropriées (rythme diurne, saisonnier, annuel), et dans l'ensemble de son aire de répartition historique n'ont pas permis de noter la présence d'un seul individu. Les études doivent être faites sur une durée adaptée au cycle et aux formes biologiques du taxon.

Éteint à l'état sauvage (Extinct in the wild)	EW	Un taxon est dit <i>Éteint à l'état sauvage</i> lorsqu'il ne survit qu'en culture, en captivité ou dans le cadre d'une population (ou de populations) naturalisée(s), nettement en dehors de son ancienne aire de répartition. Un taxon est présumé <i>Éteint à l'état sauvage</i> lorsque des études détaillées menées dans ses habitats connus et/ou probables, à des périodes appropriées (rythme diurne, saisonnier, annuel), et dans l'ensemble de son aire de répartition historique n'ont pas permis de noter la présence d'un seul individu. Les études doivent être faites sur une durée adaptée au cycle et aux formes biologiques du taxon.
En danger critique d'extinction (Critically endangered)	CR	Un taxon est dit <i>En danger critique d'extinction</i> lorsque les meilleures données disponibles indiquent qu'il remplit l'un des critères A à E correspondant à la catégorie <i>En danger critique d'extinction</i> et, en conséquence, qu'il est confronté à un risque extrêmement élevé d'extinction à l'état sauvage.
En danger (Endangered)	EN	Un taxon est dit <i>En danger</i> lorsque les meilleures données disponibles indiquent qu'il remplit l'un des critères A à E correspondant à la catégorie <i>En danger</i> et, en conséquence, qu'il est confronté à un risque très élevé d'extinction à l'état sauvage.
Vulnérable (Vulnerable)	VU	Un taxon est dit <i>Vulnérable</i> lorsque les meilleures données disponibles indiquent qu'il remplit l'un des critères A à E correspondant à la catégorie <i>Vulnérable</i> , en conséquence, qu'il est confronté à un risque élevé d'extinction à l'état sauvage.
Risques mineurs (Lower Risk)	LR	Un taxon est dit <i>Risques mineurs</i> lorsqu'il a été évalué et ne satisfait pas aux critères de l'une des catégories <i>En danger critique d'extinction</i> , <i>En danger</i> et <i>Vulnérable</i> . Les taxons inscrits dans cette catégorie peuvent être séparés en trois sous-catégories.
→ Dépendant de la conservation (Conservation Dependant)	CD	Un taxon est dit <i>Dépendant de la conservation</i> lorsqu'il fait l'objet d'un programme de conservation spécifique du taxon ou spécifique de l'habitat typique du taxon, et dont la cessation entraînerait la qualification du taxon dans l'une des catégories ci-dessus dans un délai de cinq ans.
→ Quasi menacé (Near Threatened)	NT	Un taxon est dit <i>Quasi menacé</i> lorsqu'il a été évalué d'après les critères et ne remplit pas, pour l'instant, les critères des catégories <i>En danger critique d'extinction</i> , <i>En danger</i> ou <i>Vulnérable</i> mais qu'il est près de remplir les critères correspondant aux catégories du groupe <i>Menacé</i> ou qu'il les remplira probablement dans un proche avenir.
→ Préoccupation mineure (Least Concern)	LC	Un taxon est dit de <i>Préoccupation mineure</i> lorsqu'il a été évalué d'après les critères et ne remplit pas les critères des catégories <i>En danger critique d'extinction</i> , <i>En danger</i> , <i>Vulnérable</i> ou <i>Quasi menacé</i> . Dans cette catégorie sont inclus les taxons largement répandus et abondants.
Données insuffisantes (Data Deficient)	DD	Un taxon entre dans la catégorie <i>Données insuffisantes</i> lorsqu'on ne dispose pas d'assez de données pour évaluer directement ou indirectement le risque d'extinction en fonction de sa distribution et/ou de l'état de sa population. Un taxon inscrit dans cette catégorie peut avoir fait l'objet d'études approfondies et sa biologie peut être bien connue, sans que l'on dispose pour autant de données pertinentes sur l'abondance et/ou la distribution. Il ne s'agit donc pas d'une catégorie <i>Menacé</i> . L'inscription d'un taxon dans cette catégorie indique qu'il est nécessaire de rassembler davantage de données et n'exclut pas la possibilité de démontrer, grâce à de futures recherches, que le taxon aurait pu être classé dans une catégorie <i>Menacé</i> . Il est impératif d'utiliser pleinement toutes les données disponibles. Dans de nombreux cas, le choix entre <i>Données insuffisantes</i> et une catégorie <i>Menacé</i> doit faire l'objet d'un examen très attentif. Si l'on soupçonne que l'aire de répartition d'un taxon est relativement circonscrite, s'il s'est écoulé un laps de temps considérable depuis la dernière observation du taxon, le choix d'une catégorie <i>Menacé</i> peut parfaitement se justifier.
Non évalué (Not Evaluated)	NE	Un taxon est dit <i>Non évalué</i> lorsqu'il n'a pas encore été confronté aux critères.

Aqua



Terra

Ingénierie de l'Environnement et de la Réhabilitation



Milieu Naturel Terrestre

Milieux Marin et Littoral

Milieu Urbain

Mines et Carrieres

Milieu Eaux Douces

SIG et Télédétection